



Atlas géochimique des eaux  
souterraines de la région du  
BAS SAINT-LAURENT

DV 83-07

J.-P. Lalonde  
M. Pelletier  
N. Chouinard

MINISTÈRE DE L'ÉNERGIE ET DES RESSOURCES  
DIRECTION GÉNÉRALE DE L'EXPLORATION GÉOLOGIQUE ET MINÉRALE  
DIRECTION DE LA RECHERCHE GÉOLOGIQUE  
SERVICE DE GÉOCHIMIE-GÉOPHYSIQUE

- . Présentation (pages 1 à 40)
- . Cartes géochimiques (pages 41 et suivantes)

Dépôt légal 4<sup>e</sup> trimestre 1984  
Bibliothèque nationale du Québec

## ERRATA

Veillez prendre note des erreurs suivantes:

A) Page 13

Sur l'histogramme du Fluor(F),il faut corriger la légende.

lire 

F
PPM x 100

 et non 

F
PPM x 10

B) Sur les cartes de l'Arsenic(As),il faut corriger la légende.

lire 

TENEURS (ppb)	
•	2
①	3 - 5
②	6 - 11
③	12 - 23
④	24 - 47
⑤	48 - 95

 et non 

TENEURS (ppb)	
•	2
+	3 - 5
⊕	6 - 11
●	12 - 23
①	24 - 47
②	48 - 95

C) Sur les cartes de l'Uranium(U),il faut corriger la légende.

lire 

TENEURS (ppb)	
•	.2 .3
+	.4 .5
⊕	.6 .8
●	.9 1.9
①	2.0 3.9
②	4.0 7.9
③	8.0 15.9

 et non 

TENEURS (ppb)	
•	2 3
+	4 5
⊕	6 8
●	9 19
①	20 39
②	40 79
③	80 159

PRÉSENTATION

SOMMAIRE

	Page
INTRODUCTION .....	3
Remerciements .....	3
Travaux antérieurs .....	3
HYDROGÉOCHIMIE .....	4
Echantillonnage .....	4
Analyses .....	5
Mise en carte des données .....	6
Histogrammes de distribution .....	10
COMPILATIONS .....	16
Compilation régionale .....	16
Compilation locale .....	17
CONCLUSION .....	20
BIBLIOGRAPHIE .....	20
ANNEXES:	
A - Zones prioritaires, sites d'échantillonnage des roches, localisation des indices minéralisés et résultats de l'analyse des roches .....	23
B - Rééchantillonnage des eaux souterraines de quatre sous-régions .....	33
C - Carte des aires d'intérêt régionales (1:250 000) .....	en pochette
Carte des aires d'intérêt locales (1:250 000) .....	" "

## INTRODUCTION

Depuis le milieu des années 1970, le ministère de l'Énergie et des Ressources effectue des inventaires géochimiques des eaux souterraines en Abitibi et au Témiscamingue (Lalonde et al, 1980; Lalonde & Pelletier, 1983). Suite à ces travaux, de nombreux essais d'orientation furent effectués dans le sud de la province afin d'évaluer la validité de ces inventaires dans des environnements de roches sédimentaires. Les régions touchées par ces essais furent celles d'Acton, de la Beauce, d'Oka, de St-Honoré, de Montauban, de Harvey Hill et de Sherbrooke. Les résultats favorables ont encouragé l'inventaire des zones urbaine et rurale du sud de la province. C'est ainsi que la partie est du Bas Saint-Laurent a été systématiquement échantillonnée au cours de l'année 78.

L'inventaire des eaux souterraines du Bas St-Laurent se rattache à la couverture systématique des sédiments de ruisseau de la Gaspésie. Il facilitera l'identification et l'évaluation de zones à potentiel en cuivre dans le secteur du lac Matapédia et en Zn, Pb et Ba dans celui de Rimouski. Il a permis d'obtenir, à faible coût, des données dans des aires d'épais recouvrement, telles les vallées de la Matapédia et du lac Témiscouata.

Dans le cadre de l'inventaire des eaux souterraines du Bas St-Laurent, près de 4000 échantillons ont été prélevés de puits domestiques sur une superficie d'environ 14 000 km<sup>2</sup>. Ils ont été

analysés pour une vingtaine de paramètres chimiques et les résultats ont permis de dégager une cinquantaine de zones d'activité géochimique, dont plusieurs semblent intéressantes pour l'exploration.

## REMERCIEMENTS

Nous tenons à souligner la collaboration de tout le personnel de la division de la Géochimie ainsi que tous ceux qui ont participé de près ou de loin à l'échantillonnage, à l'analyse, au traitement et à la publication des résultats de ce levé.

## TRAVAUX ANTÉRIEURS

La partie est du territoire à l'étude a déjà fait l'objet de nombreux levés de sédiments de ruisseau (figure 1). Les levés les plus anciens, i.e. ceux effectués par Héroux (1970), Mukherji (1971) et Liard (1971), ont une densité d'échantillonnage irrégulière. Par contre, les levés effectués par l'Université du Québec à Rimouski (MER, 1984) entre 1971 et 1973 et par Tremblay & Choinière (1978) ont une densité régulière d'échantillonnage à l'échelle régionale et fournissent des données sur le potentiel minéral de la vallée de la Matapédia. Le levé de minéraux lourds effectué par Wilhelm (1978) complète l'information dans la partie nord-est de ce secteur. Enfin, un levé de sols (humus), effectué par Henry (1983), fournit des données additionnelles sur le potentiel en Pb-Ba du secteur de Saint-Fabien.

## HYDROGÉOCHIMIE

### Échantillonnage

L'échantillonnage fut exécuté à contrat par la **Compagnie nationale de Forage et Sondage** à l'automne de 1978. Les 4000 échantillons prélevés par la firme proviennent de systèmes d'alimentation en eau domestique. Après cueillette dans des bouteilles de polyéthylène décontaminées, ils furent additionnés d'acide acétique glacial puis expédiés au laboratoire du Centre de Recherche minérale du MER.

La densité de l'échantillonnage, d'une moyenne de 1 échantillon par 2,5 km<sup>2</sup>, a varié directement avec la densité du développement rural. La distance normale entre les sites le long des rangs se situe entre 150 et 1000 m.

Le pH, la température et de nombreuses informations relatives au site et à l'échantillon ont été codifiés sur le terrain. Tous ces renseignements ainsi que les cartes de localisation des sites sont disponibles dans le recueil des données brutes (Lalonde et al., 1984).

De nombreuses données sur la méthodologie d'échantillonnage, les méthodes de préservation des échantillons, la qualité des

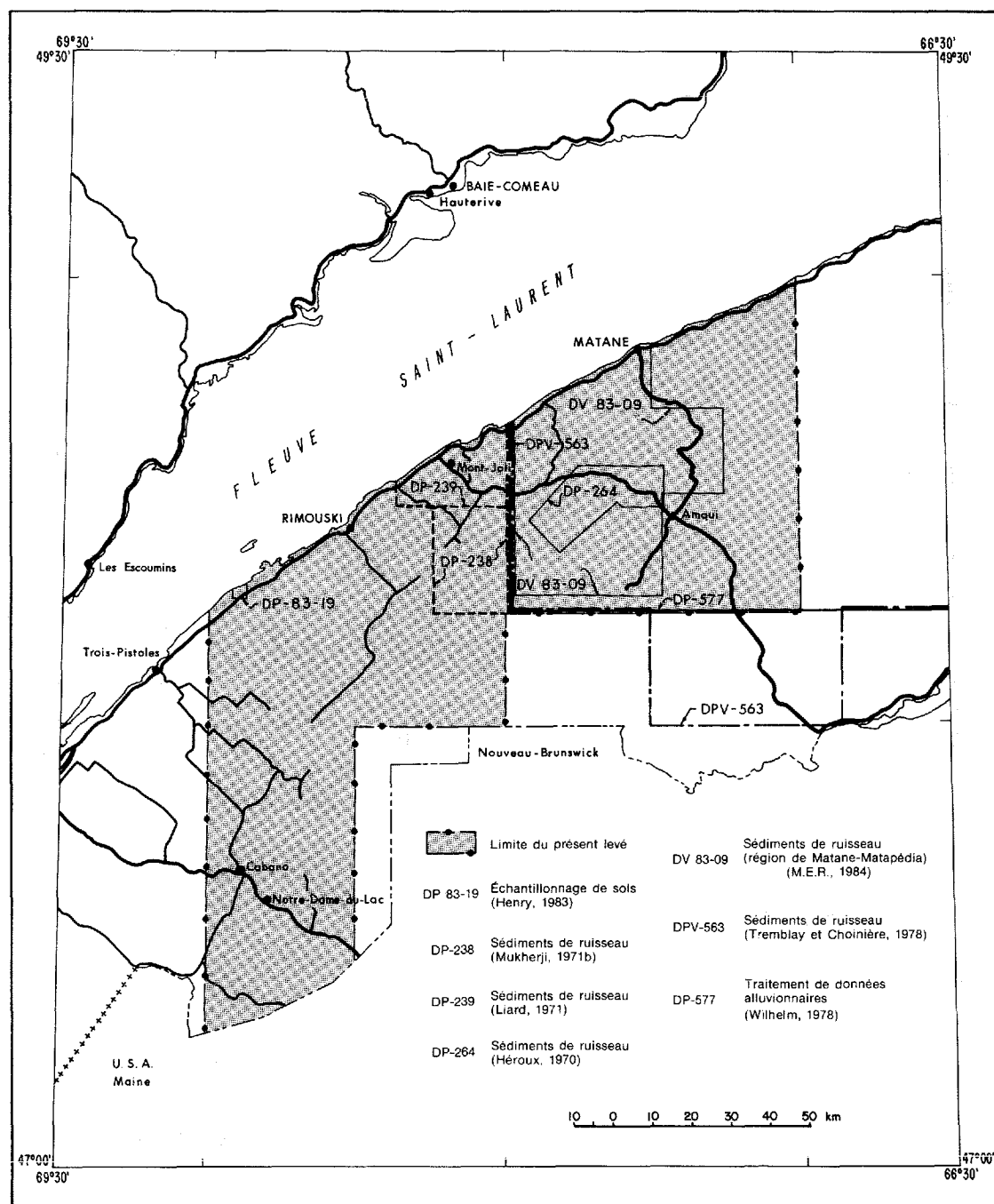


FIGURE 1 - Limite d'échantillonnage du présent levé et des travaux antérieurs en géochimie.

analyses, les variations saisonnières et les essais de vérification de la qualité de certaines méthodes de travail sont fournies dans Lalonde & Chouinard (1983).

### Analyses

Les échantillons ont été analysés dans les laboratoires du Centre de Recherches minérales du MER pour les 18 paramètres suivants: Cu, Zn, Pb, Ni, Co, Cd, Mn, Fe, Mo, As, U, F, Cl, Li, Na, K, Ca et Mg. Le tableau 1 résume les méthodes de préparation, de pré-concentration et de dosage pour chacun des éléments; ces méthodes sont décrites en détail dans Guimont & Pichette (1979). Certains problèmes relatifs aux analyses sont évalués par Lalonde & Chouinard (1983).

Pour vérifier la qualité des analyses, 14 échantillons-contrôles furent insérés parmi les échantillons réguliers. Chacun d'eux fut utilisé environ 20 fois afin d'obtenir des données statistiques représentatives. Les résultats de ces vérifications de qualité sont présentés aux figures 2a, 2b et 2c. On remarque, si l'on tient compte à la fois des écarts relatifs et du seuil de sensibilité analytique, que la précision des analyses (Guimont & Pichette, 1979) est généralement à l'intérieur de ces limites. Par contre, quelques échantillons de contrôle ont des teneurs erratiques pour le Cu, Zn, Pb ou U, lesquelles pourraient être reliées à une contamination mono-élément de certains échantillons, à l'instabilité de cer-

TABLEAU 1 - Eléments dosés et méthodes utilisées en 1978.

PRÉPARATION OU PRÉCONCENTRATION	MÉTHODE DE DOSAGE	ÉLÉMENTS	LIMITE DE DÉTECTION	COMMENTAIRES
APDC-MIBK	absorption atomique	Cd	0,1 ppb	RENDEMENT MOYEN DE L'EXTRACTION 90%
		Co	0,3 ppb	95%
		Cu	0,3 ppb	90%
			10 ppb	teneurs > 25 ppb reprises par aspiration directe
		Mo	1,3 ppb	69%
		Ni	1 ppb	teneurs > 25 ppb reprises par aspiration directe 75%
		Pb	1 ppb	34%
Aspiration directe	absorption atomique	Ca	0,6 ppm	arrondissement au 0,5 ppm près
		Fe	0,1 ppm	Fe total
		Mn	10 ppb	facteur de multiplication de 5 à l'analyse
		Zn	4 ppb	facteur de multiplication de 2 à l'analyse
	émission atomique	Li	0,2 ppb	Correction d'interférence effectuée pour le Li en fonction du Ca (PPB LI = Lecture - (ppm Ca x 0,11))
Addition de solution de La	absorption atomique	Mg	0,1 ppm	Le La élimine les interférences
		Na	0,1 ppm	
	émission atomique	K	0,1 ppm	
Addition de K Cr O et HNO	absorption atomique	Hg	,05 ppb	possibilité d'interférence des composés organiques qui abaisseraient les résultats
Génération d'arsine		As	2 ppb	
Evaporation et formation de pastille avec fluorure et carbonate	fluorimétrie	U	0,14 ppb	possibilité d'interférence des composés qui abaisseraient les résultats
Solution tampon à force ionique totale (TIS AB)	électrode spécifique	F	10 ppb	lecture directe
Solution à forte force ionique (ISA)		Cl	0,1 ppm	lecture en mV

tains éléments dans certaines matrices d'échantillons, ou à des difficultés analytiques. Les graphiques pour le Co et le Cd ne sont pas présentés car les teneurs dans tous les échantillons de contrôles étaient à la limite de détection.

#### Mise en carte des données

Toutes les données analytiques ont d'abord été examinées à la lumière de paramètres statistiques de base (écarts, moyennes, variances, écarts-types, pourcentages cumulatifs). Des teneurs de coupure supérieures (écrans) ont ensuite été choisies pour plusieurs des éléments et de nouveaux calculs ont été effectués (tableau 2).

L'usage d'écrans permet, lorsqu'on se sert de valeurs réelles, de minimiser l'effet des teneurs fortement anormales. Ceci est important pour les eaux souterraines parce que les courbes de distribution de plusieurs éléments traces sont comprimées du côté des faibles teneurs à cause d'un manque de sensibilité de la méthode d'analyse. En plus, il est important de noter que le calcul de la moyenne, de l'écart-type et de nombreux autres paramètres statistiques sont sérieusement affectés lorsqu'une population est ainsi comprimée et tend à devenir asymptotique à l'axe des y.

Les intervalles de teneurs utilisés pour la mise en carte ont été déterminés en suivant, le plus fidèlement possible, une méthode qui se fonde sur les percentiles et le pourcentage cumulatif.

TABLEAU 2 - Statistiques de base - Région du Bas Saint-Laurent.

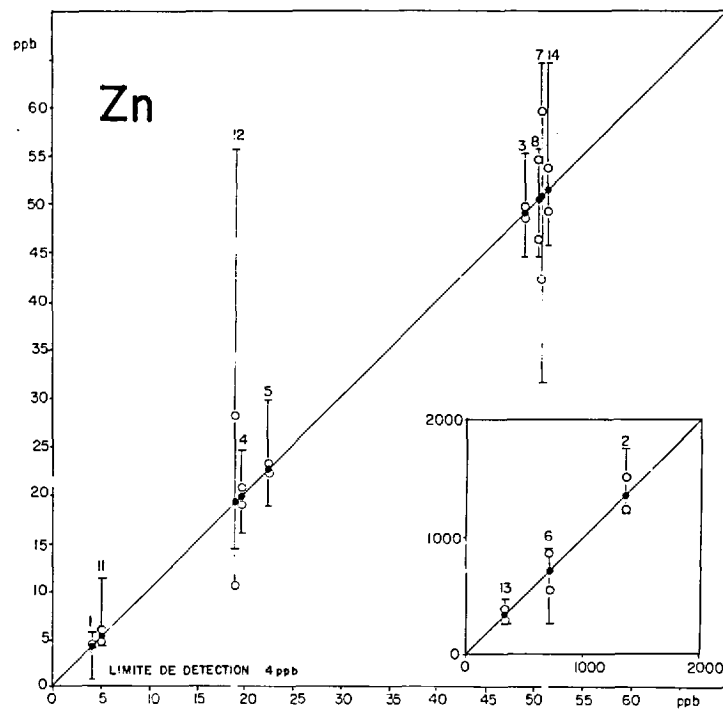
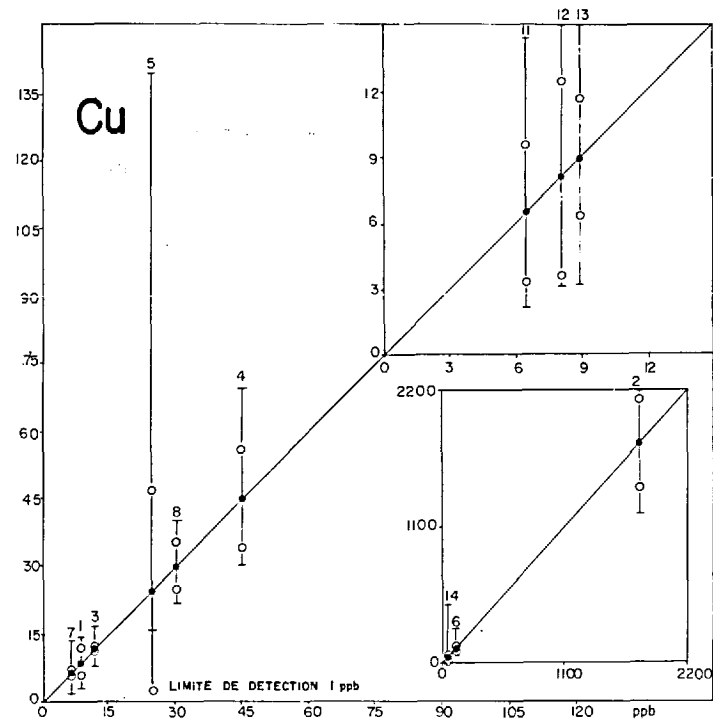
ÉLÉMENT	UNITÉ*	TENEUR MINIMUM	TENEUR-ÉCRAN	TENEUR MAXIMUM	MOYENNE AVEC TENEUR-ÉCRAN	ÉCART-TYPE AVEC TENEUR-ÉCRAN
Cu	ppb	1	250	2 000	32	36
Zn	ppb	4	1 200	16 000	157	228
Pb	ppb	1	25	250	1,3	1,6
Ni	ppb	1	25	360	1,4	2,1
Co	ppb	1	14	360	1,0	0,5
Cd	ppb	0,1	2,0	130	0,1	0,1
Mn	ppb	5	500	3 400	36	70
Fe	ppm	0,1	3,4	10	0,2	0,4
U	ppb	0,2	3,4	12	0,4	0,4
As	ppb	2	18	80	2,1	0,8
F	ppm	0,01	0,63	8,70	0,08	0,08
Cl	ppm	1	120	2 000	17	20
Li	ppb	0,5	100	1 936	15,4	14,4
Ca	ppm	1,0	250	360	61,5	32,4
Mg	ppm	0,1	36	88	10,1	6,4
Na	ppm	0,9	120	1 020	15,0	20,7
K	ppm	0,2	12	53	2,0	1,8
PH		4,7	0,6	9,6	7,1	0,5
Profondeur	piéd	0	425	425	79	76

\* Les teneurs sur les histogrammes de distribution (figure 3 ) sont multipliées par 10.

Les échantillons sont groupés d'après leurs teneurs (tableau 3) pour constituer trois classes:

- classe inférieure: teneurs ne dépassant pas le 33,3<sup>e</sup> percentile;
- classe moyenne: teneurs entre les 33,3<sup>e</sup> et 66,6<sup>e</sup> percentiles;
- classe supérieure: teneurs entre les 66,6<sup>e</sup> et 100<sup>e</sup> percentiles.





8 Identification du standard

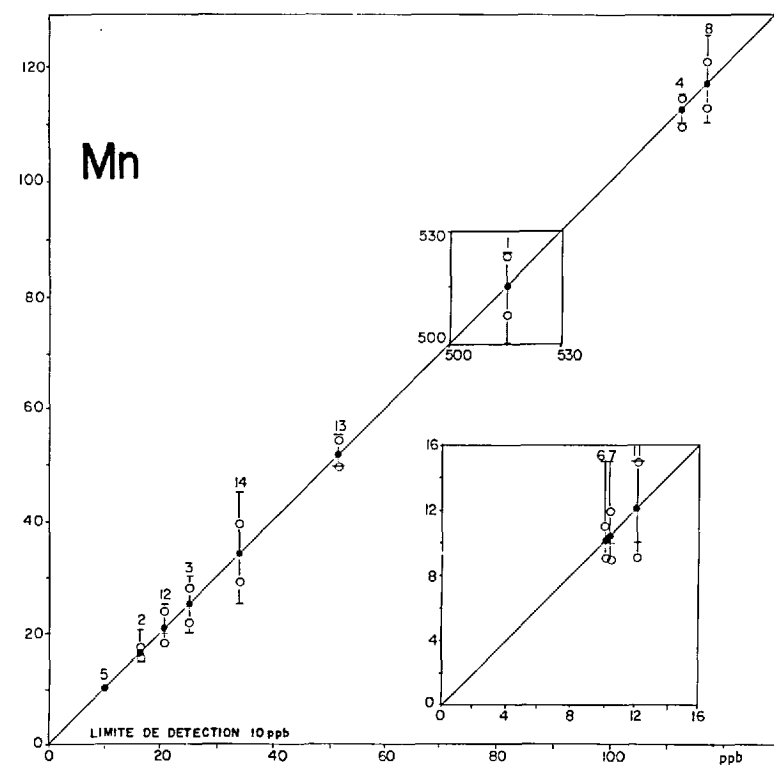
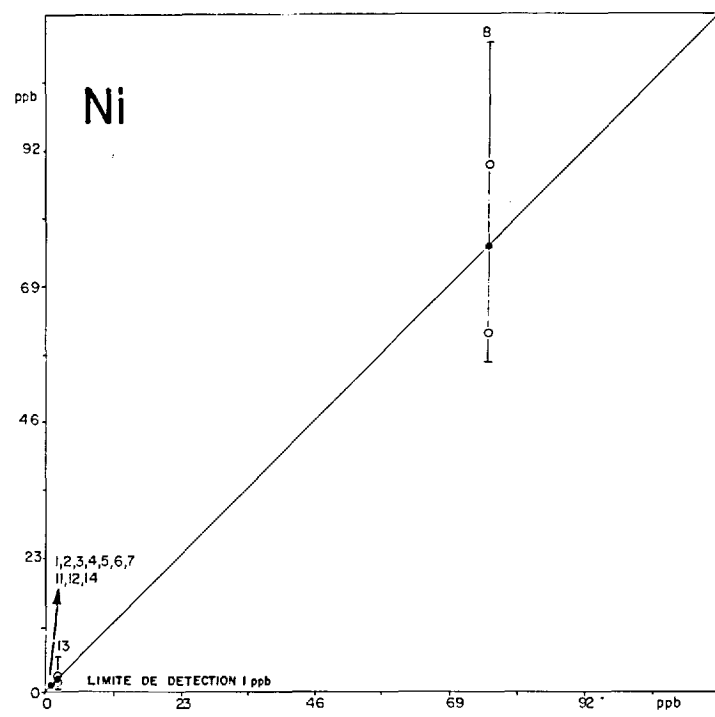
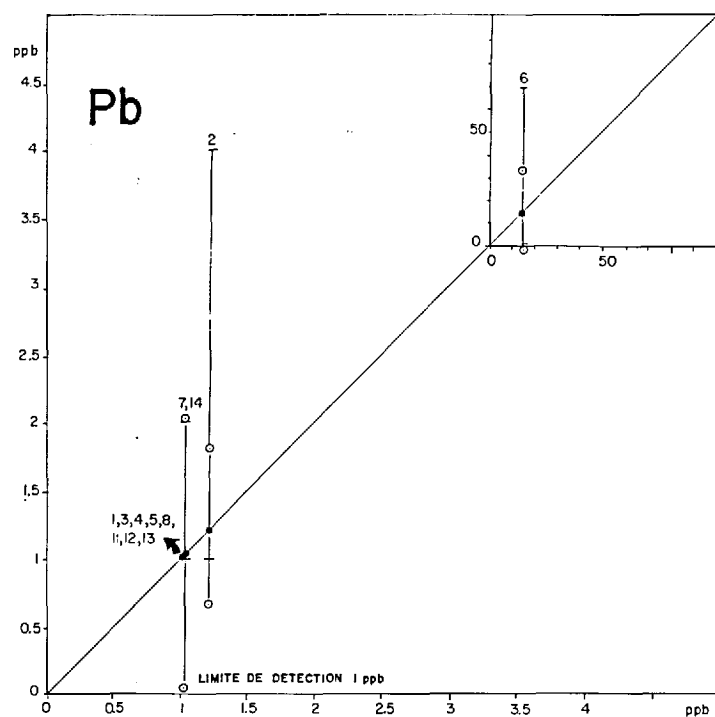
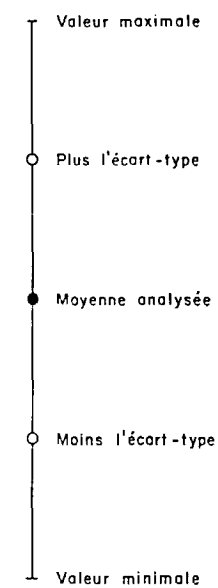


FIGURE 2A - Contrôles pour Cu, Zn, Pb, Ni, Mn.

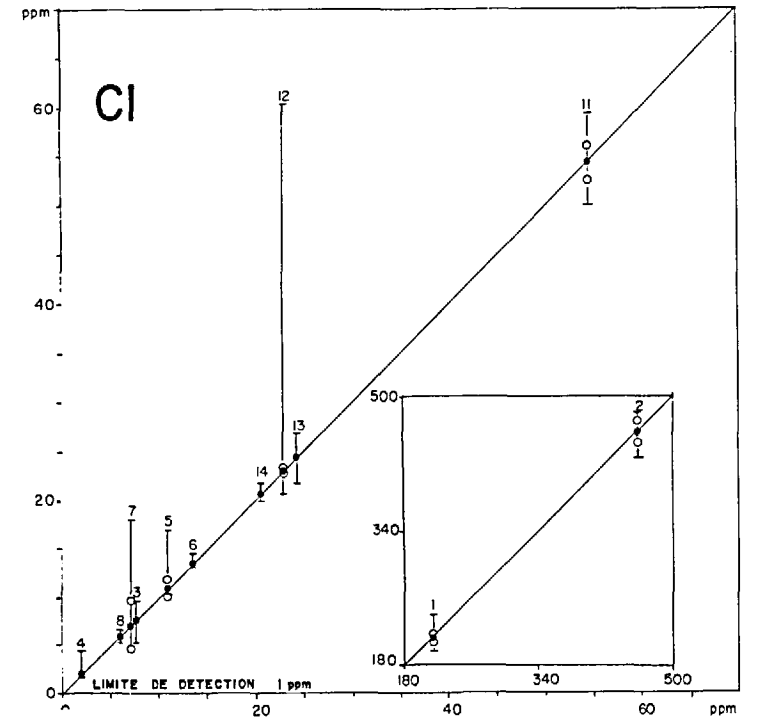
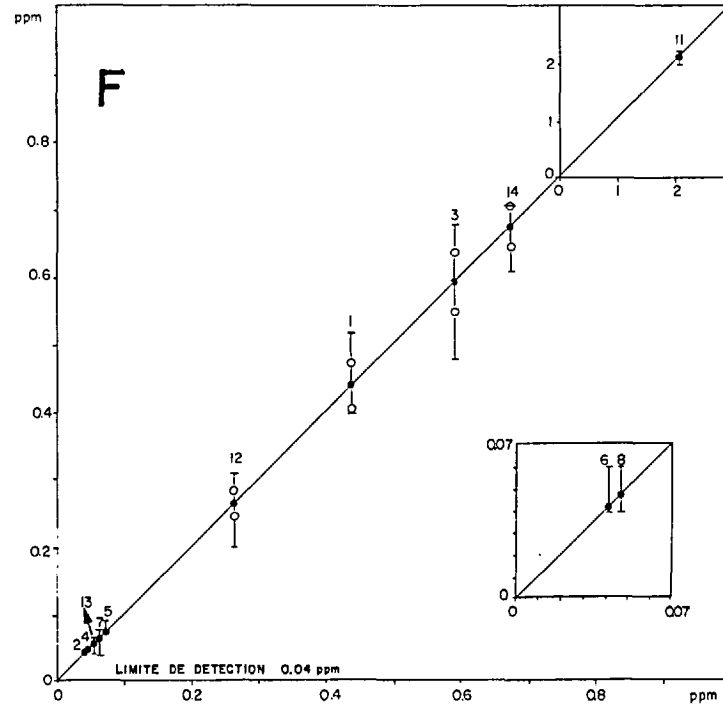
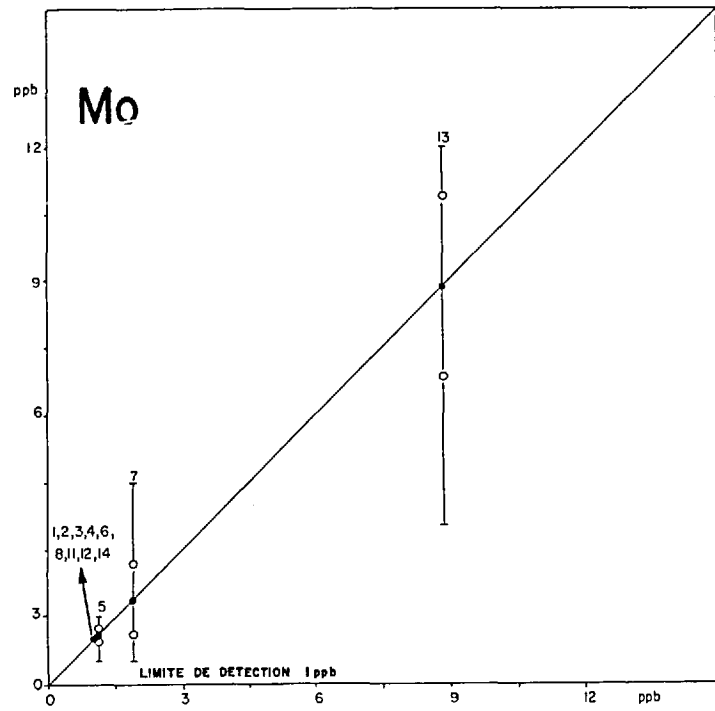
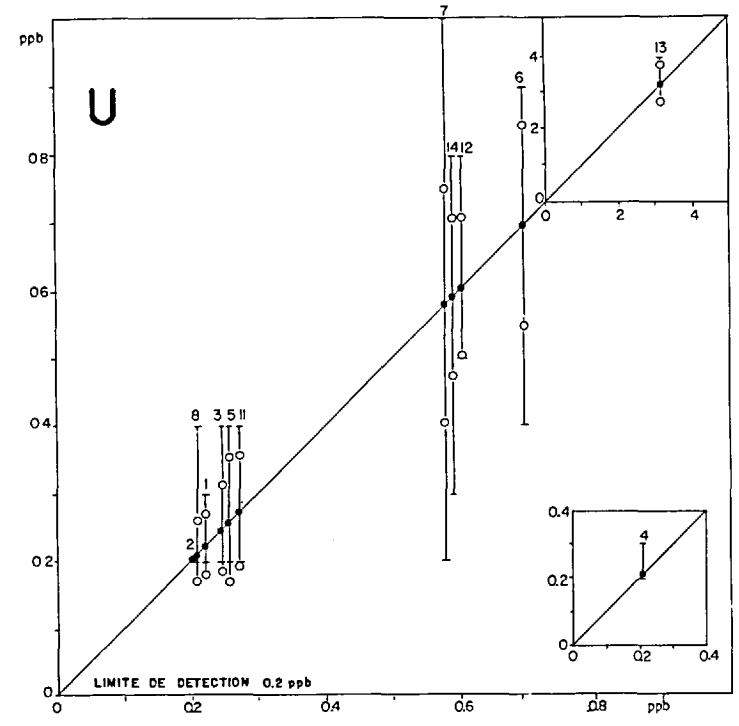
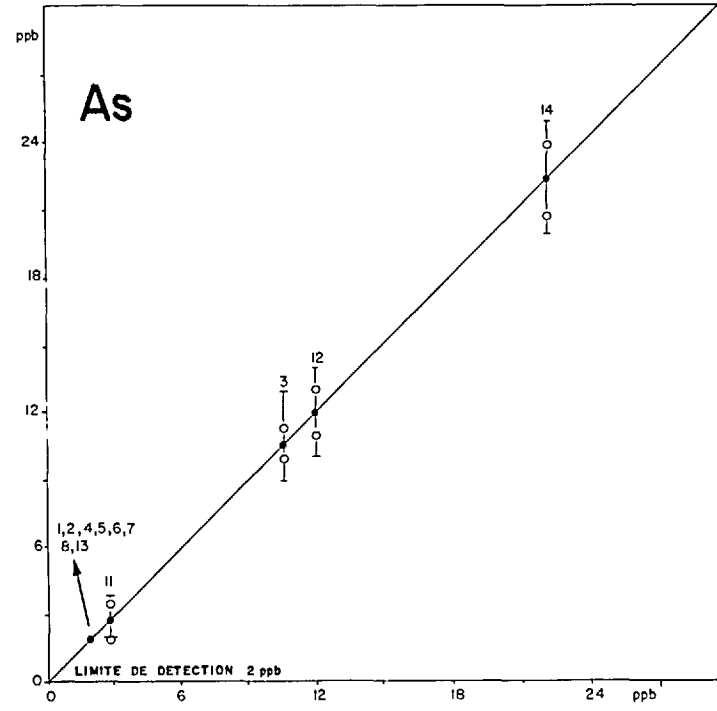
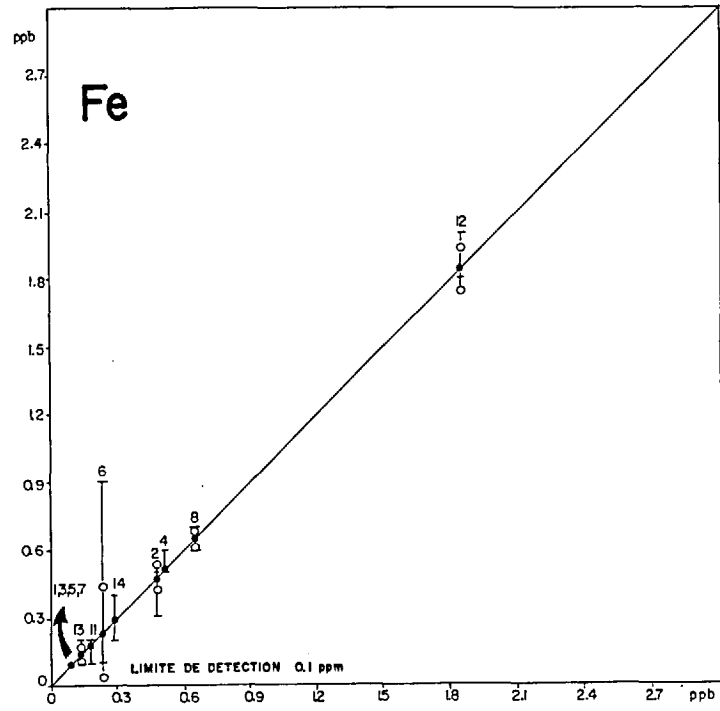
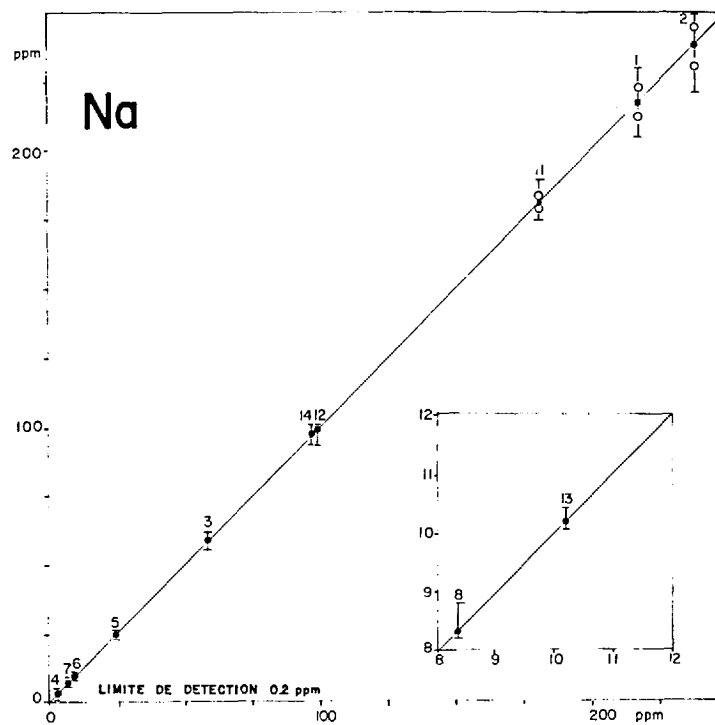
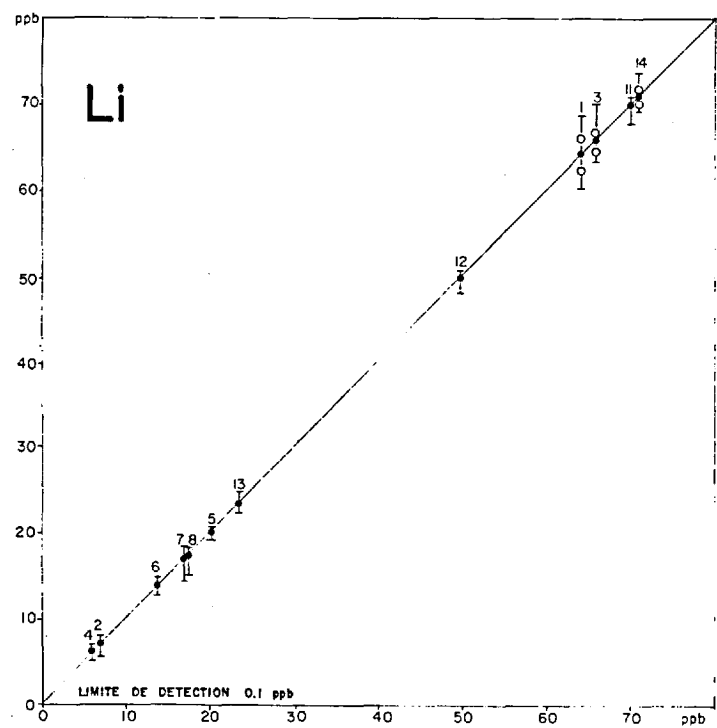


FIGURE 2B - Contrôles pour Fe, As, U, Mo, F, Cl.



8 Identification du standard

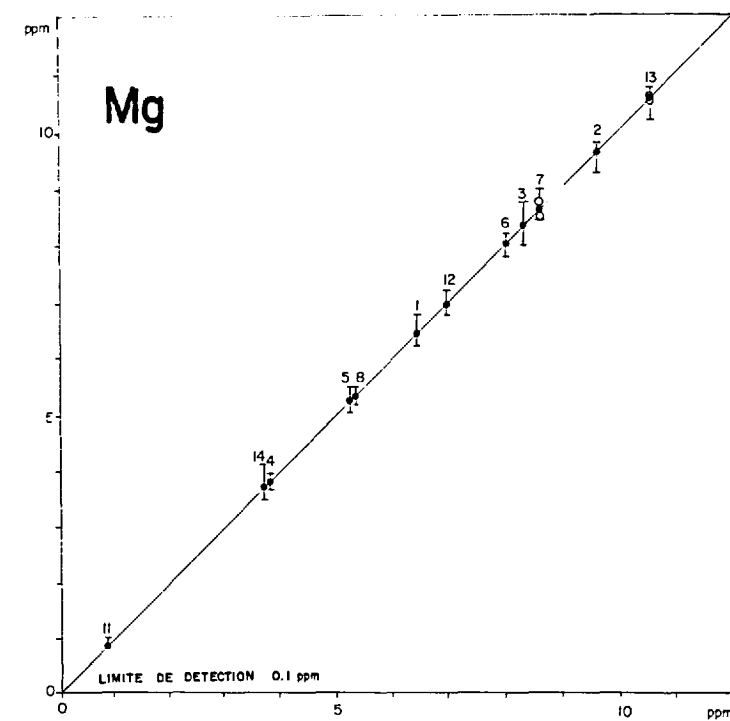
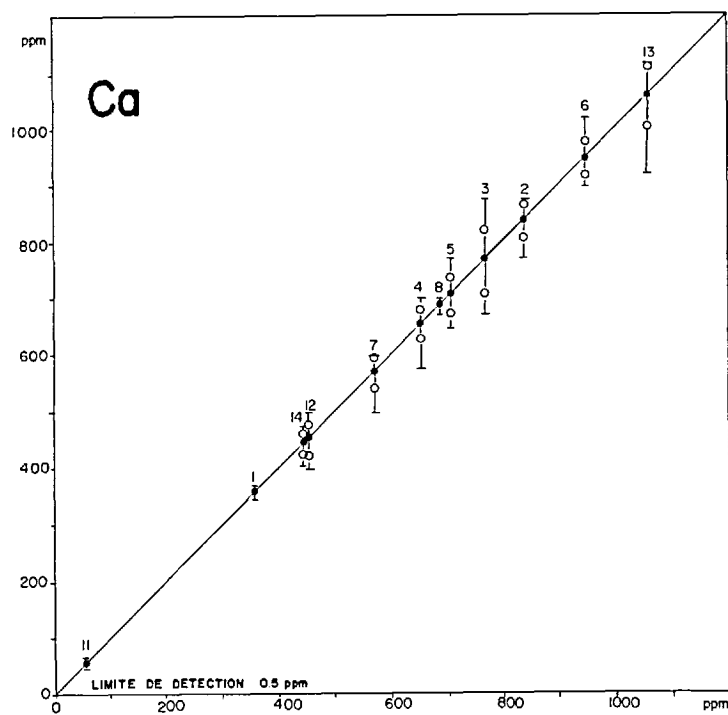
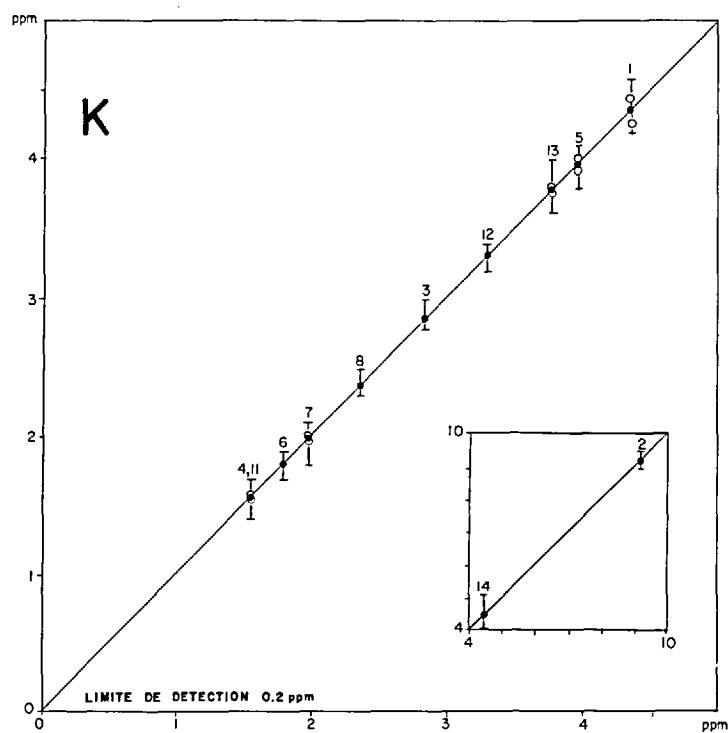
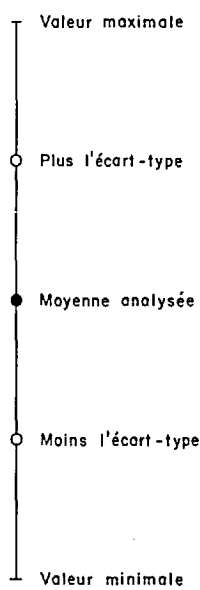


FIGURE 2C - Contrôles pour Li, Na, K, Ca, Mg.

Lorsque la limite de sensibilité analytique pour un élément était suffisamment basse et que la précision le permettait, la classe inférieure a été subdivisée en deux groupes, séparés par la teneur du 17<sup>e</sup> percentile. Ces groupes sont représentés par un grand et un petit cercles (tableau 3), le grand représentant le groupe de 0 au 17<sup>e</sup> percentile; ceci permet d'attirer l'attention sur les teneurs les plus faibles. A défaut de cette division, les teneurs de la classe inférieure sont représentées par le petit cercle (ou un point si la classe ne peut être définie).

Les teneurs de la classe moyenne sont représentées par un point (tableau 3). Bien qu'ils soient faciles à repérer, ces points

TABLEAU 3 - Classes de teneurs et leurs symboles.

CLASSE	SOUS-CLASSE	INTERVALLES DE POUR-CENTAGES CUMULATIFS (approximatifs)	SYMBOLE
inférieure	1	0 à 17	○
	2	17 à 33	◦
moyenne		33 à 66	•
supérieure	1	66 à 83	+
	2	83 à 92	⊕
	3	92 à 98	●
	4	98 à 100	①, ②, etc.*

\* Chaque chiffre représente un champ de teneurs qui double le précédent, 1 étant le champ entre la teneur du 98<sup>e</sup> percentile et le double de cette teneur. Ainsi, à titre d'exemple, pour un 98<sup>e</sup> percentile à 40 ppm et des teneurs restantes de 50, 70, 115 et 340 ppm, on obtient les champs suivants: 41-80 ppm (symbolisé par 1), 81-160 ppm (symbolisé par 2), 161-320 (sans symbole puisqu'il n'y a pas de teneur à représenter) et 341-640 (symbolisé par 4).

possèdent l'intensité visuelle la moins importante, ce qui correspond à l'importance de cette classe.

Afin d'alléger la symbolisation des données, la classe supérieure est divisée en quatre sous-classes (tableau 3). De celles-ci, les trois premières sont symbolisées par des croix et un cercle noir. La quatrième est symbolisée par les chiffres 1 à n, ceux-ci représentant des teneurs qui doublent géométriquement la teneur du 98<sup>e</sup> percentile et qui sont créés jusqu'à ce que soient représenté l'entier des teneurs au-dessus du 98<sup>e</sup> percentile.

### Histogrammes de distribution

Les histogrammes de distribution pour chacun des éléments dosés sont présentés aux figures 3a à 3E. Afin de donner une meilleure vue d'ensemble de la cloche de distribution et d'obtenir une moyenne et un écart-type plus représentatifs de la population (tableau 2), des teneurs écrans ont été utilisées.

A l'examen des histogrammes, on remarquera que les courbes de distribution de plusieurs éléments (Zn, Pb, Ni, Co, Cd, Mn, Fe, U, As et F) sont asymptotiques à la limite de détection; ceci indique un seuil analytique trop élevé. Sur l'histogramme du calcium, on notera également l'effet causé par la dilution des échantillons au cours des dosages lorsque la teneur en Ca excédait 50 ppm.

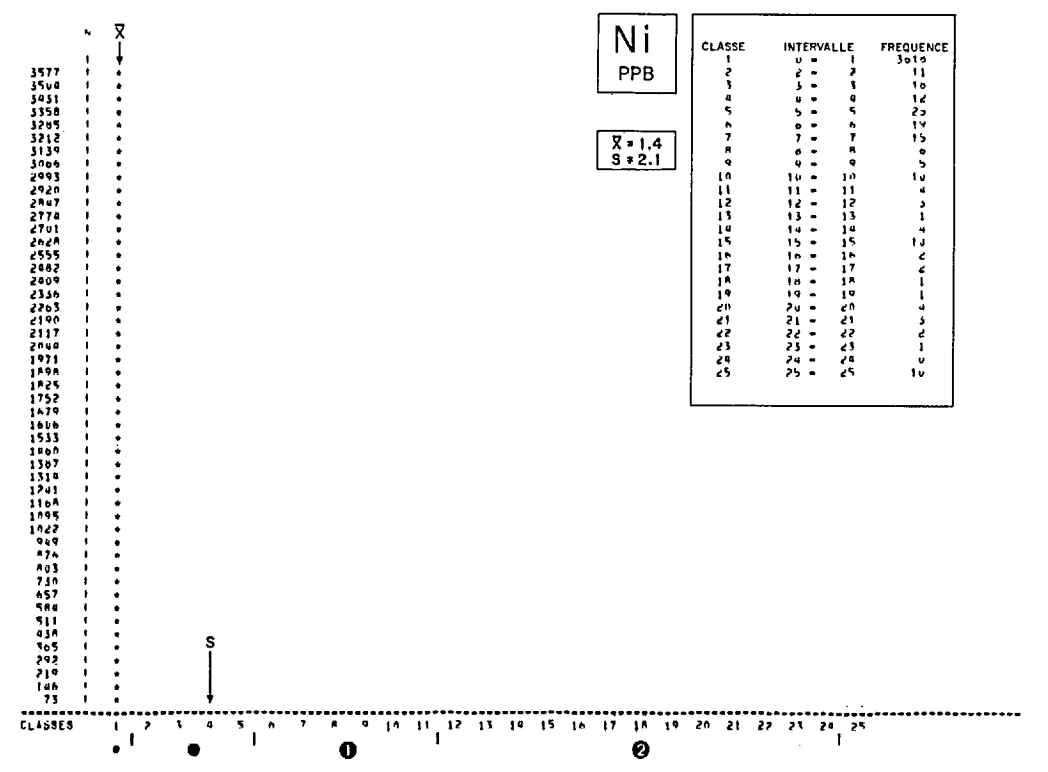
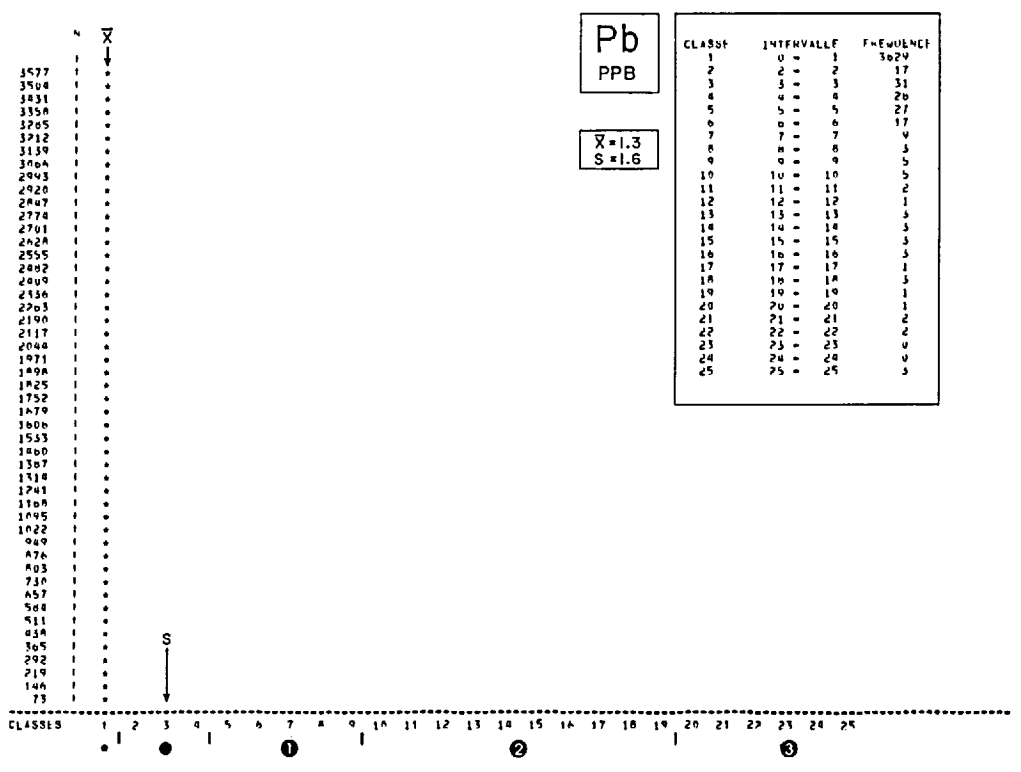
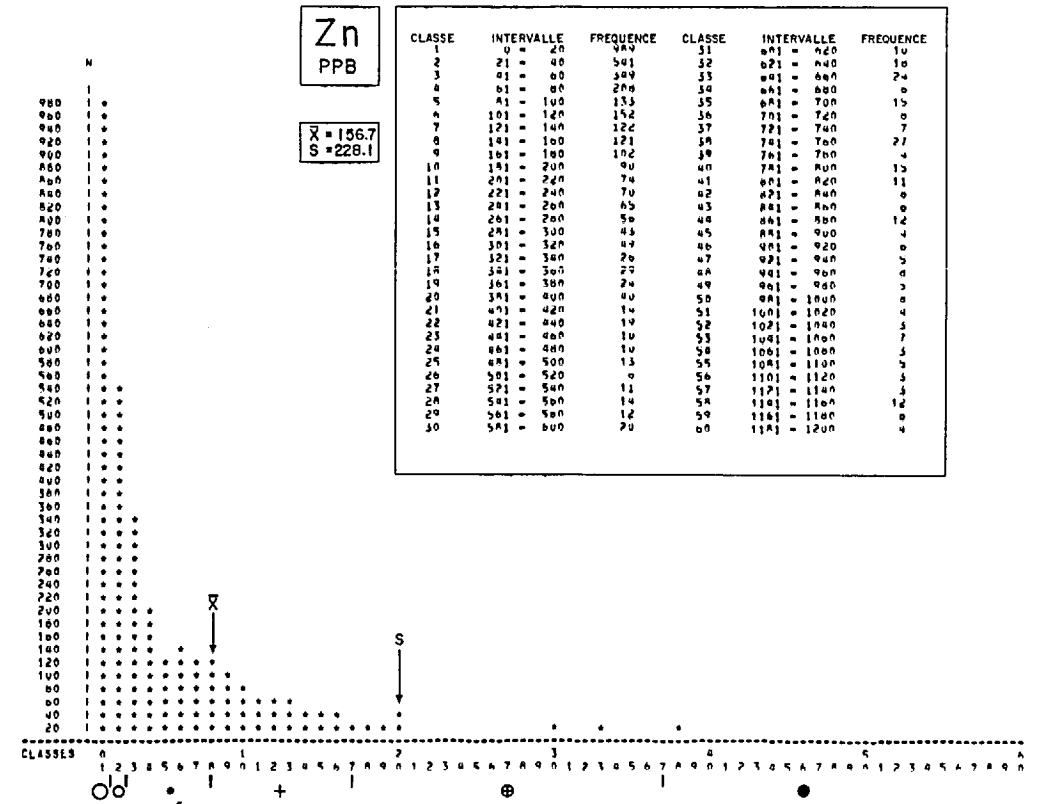
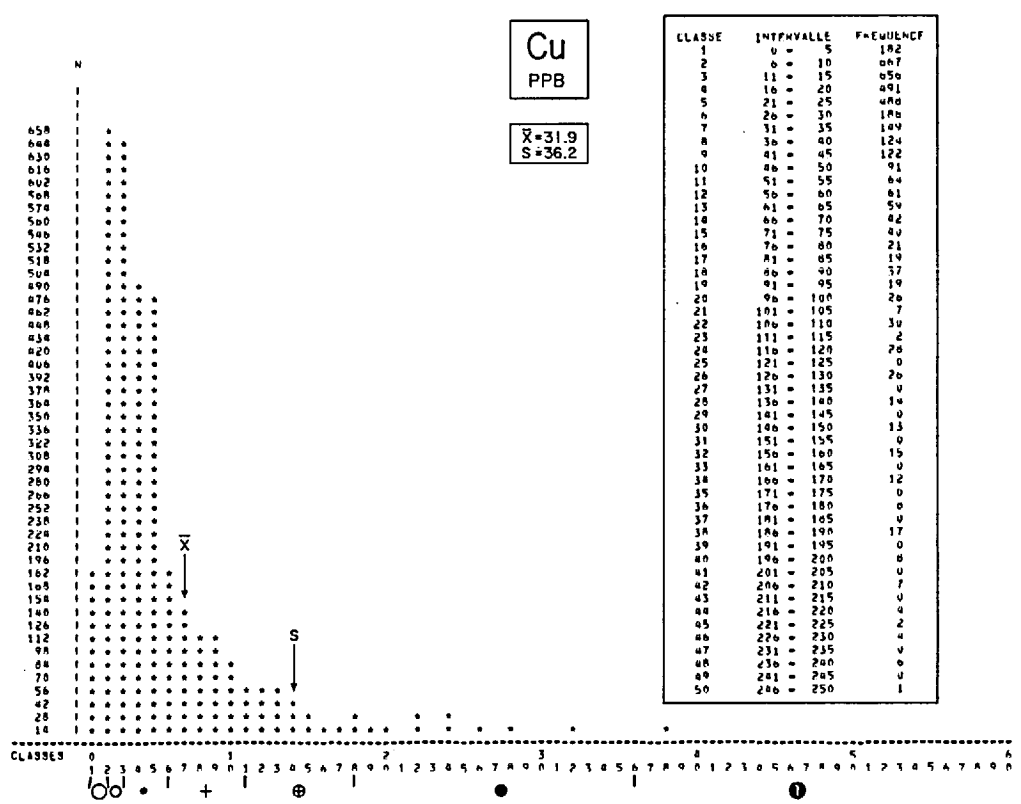


FIGURE 3A - Histogrammes de distribution pour Cu, Zn, Pb, Ni.

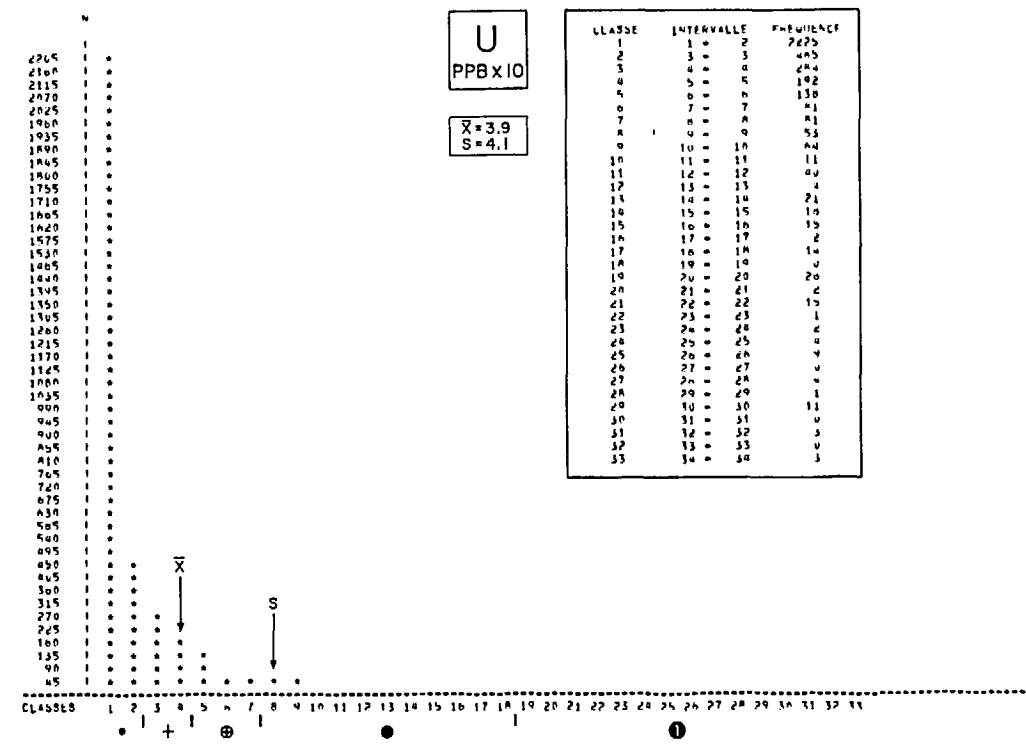
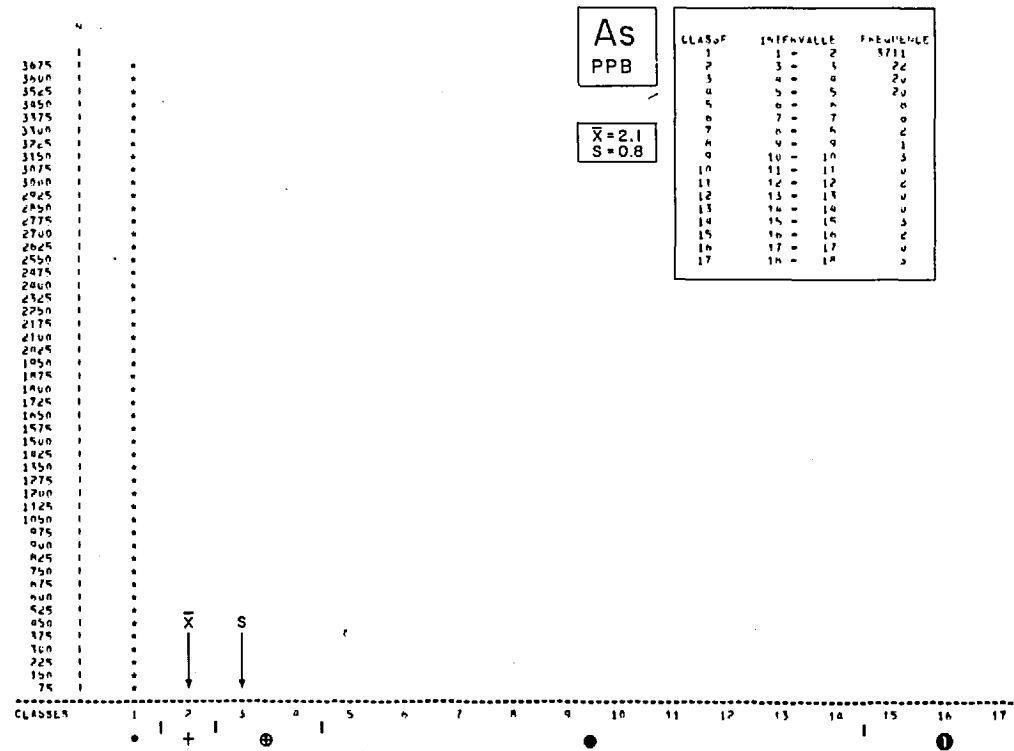
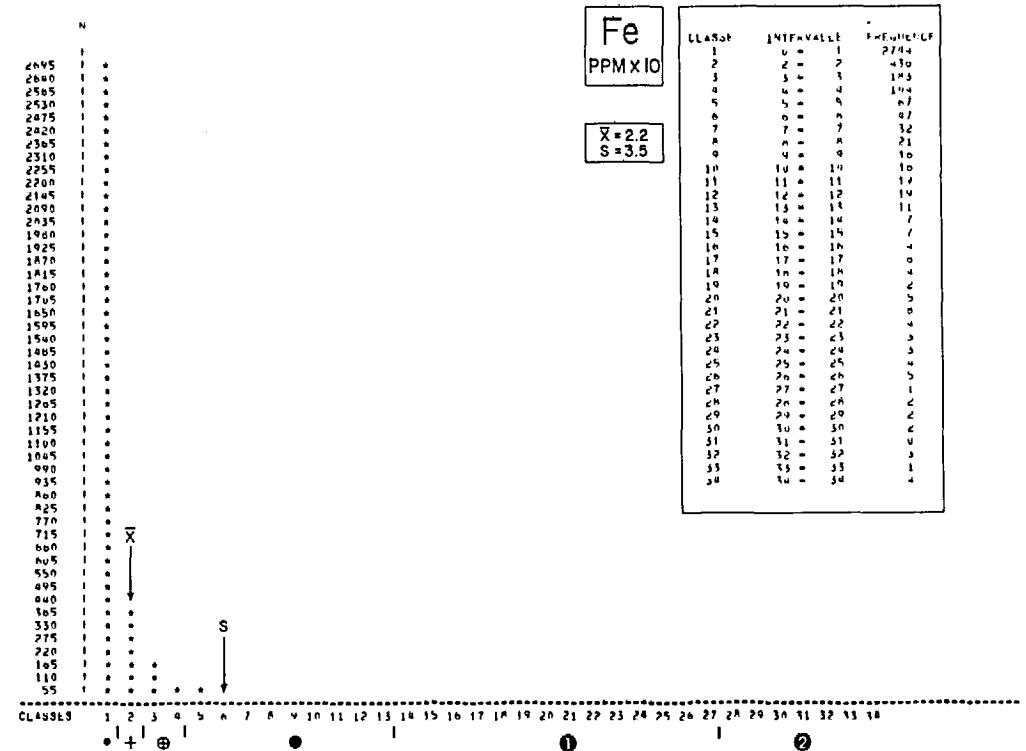
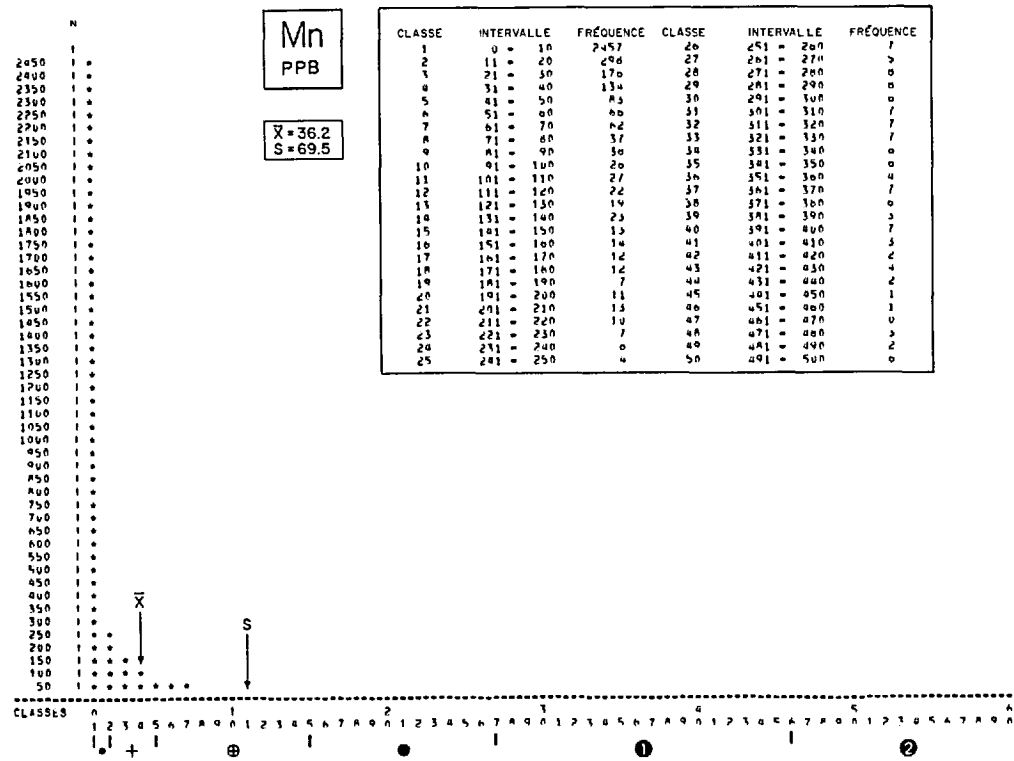


FIGURE 3B - Histogrammes de distribution pour Mn, Fe, As, U.

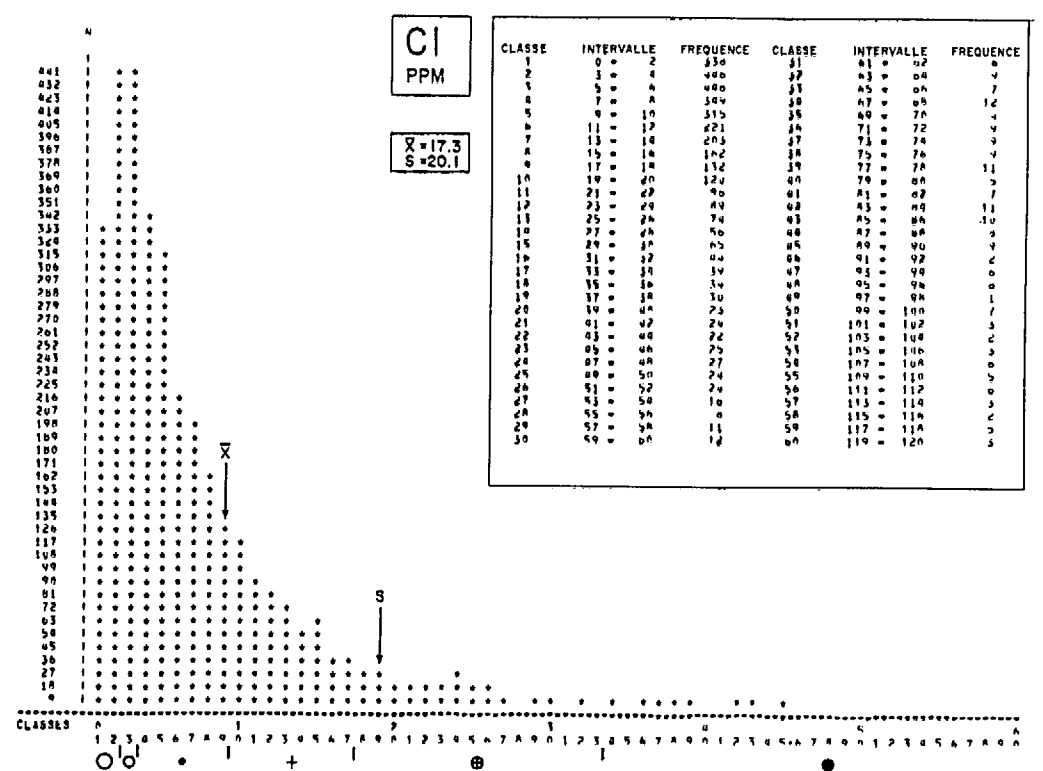
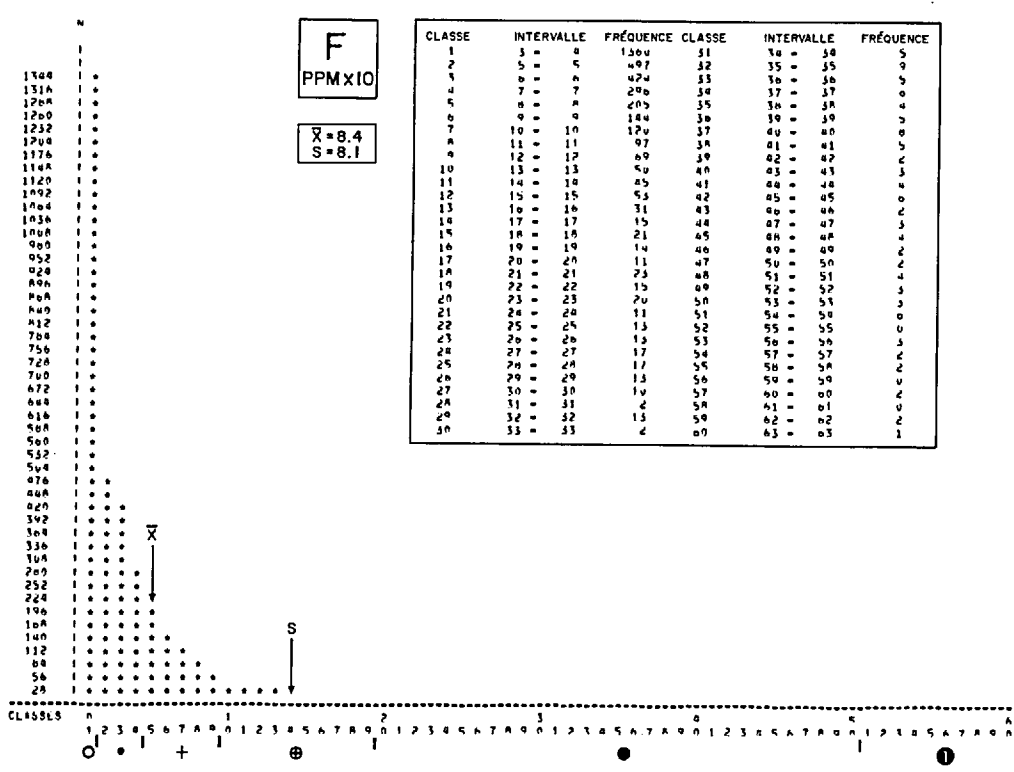
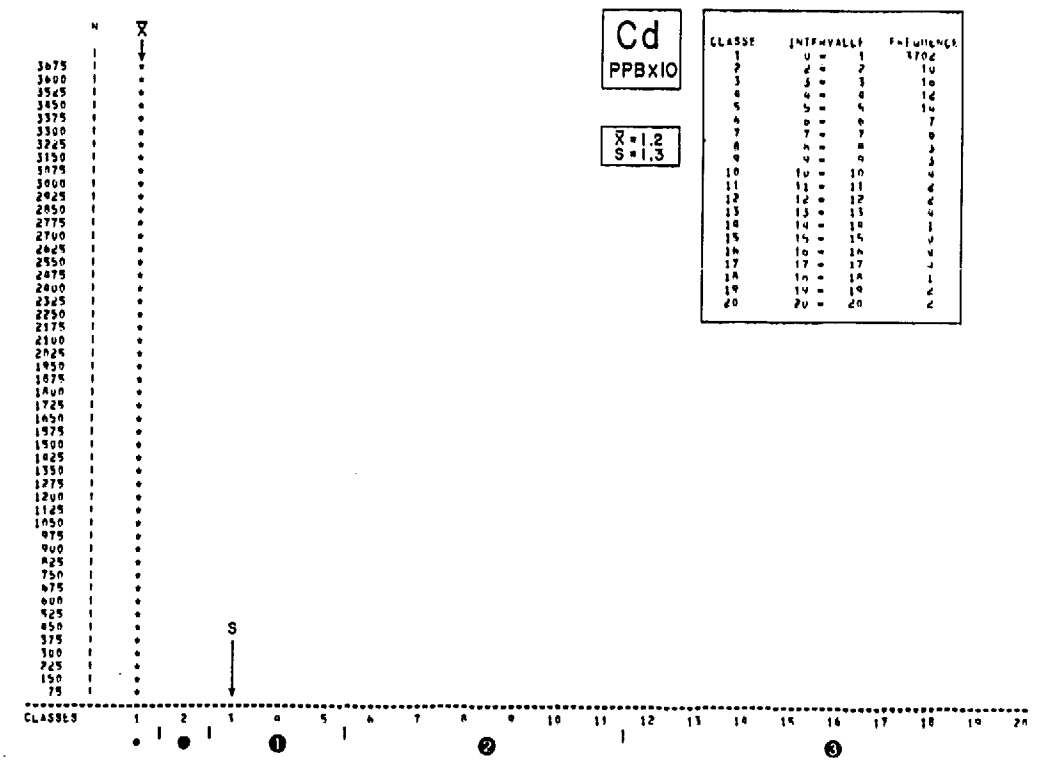
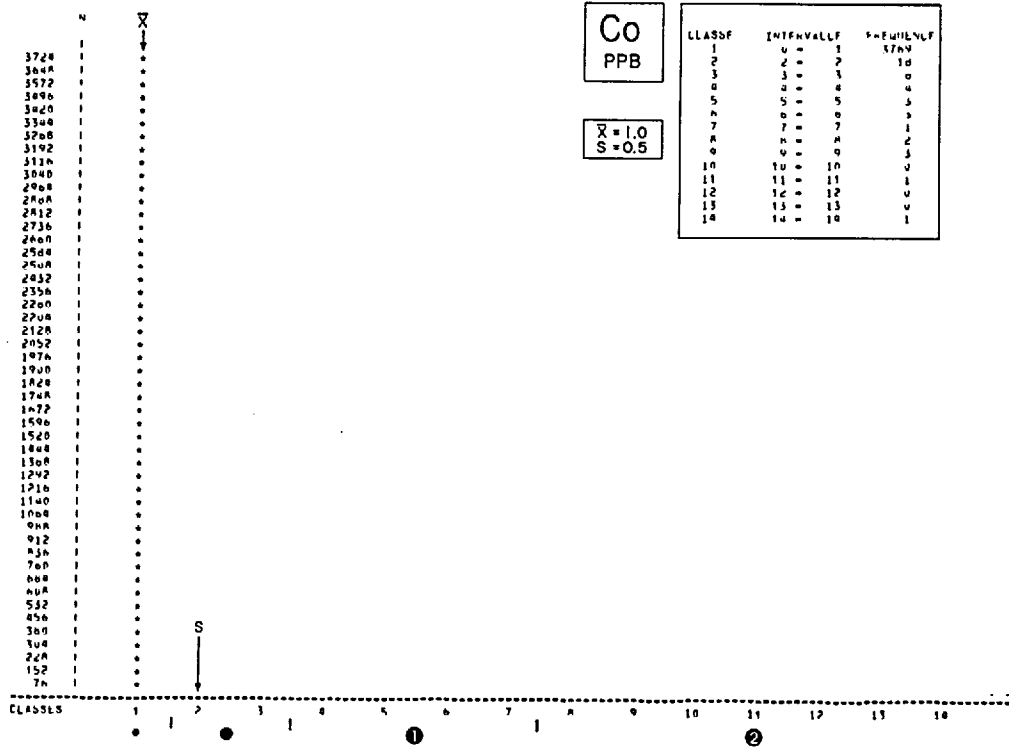


FIGURE 3C - Histogrammes de distribution pour Co, Cd, F, Cl.

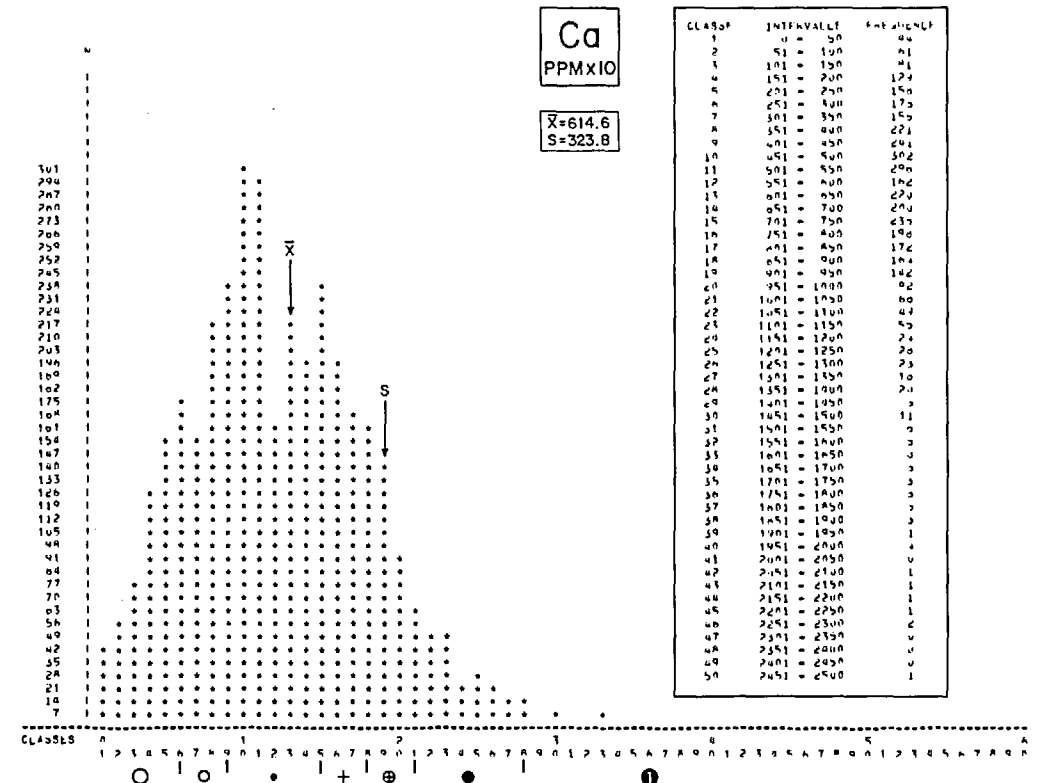
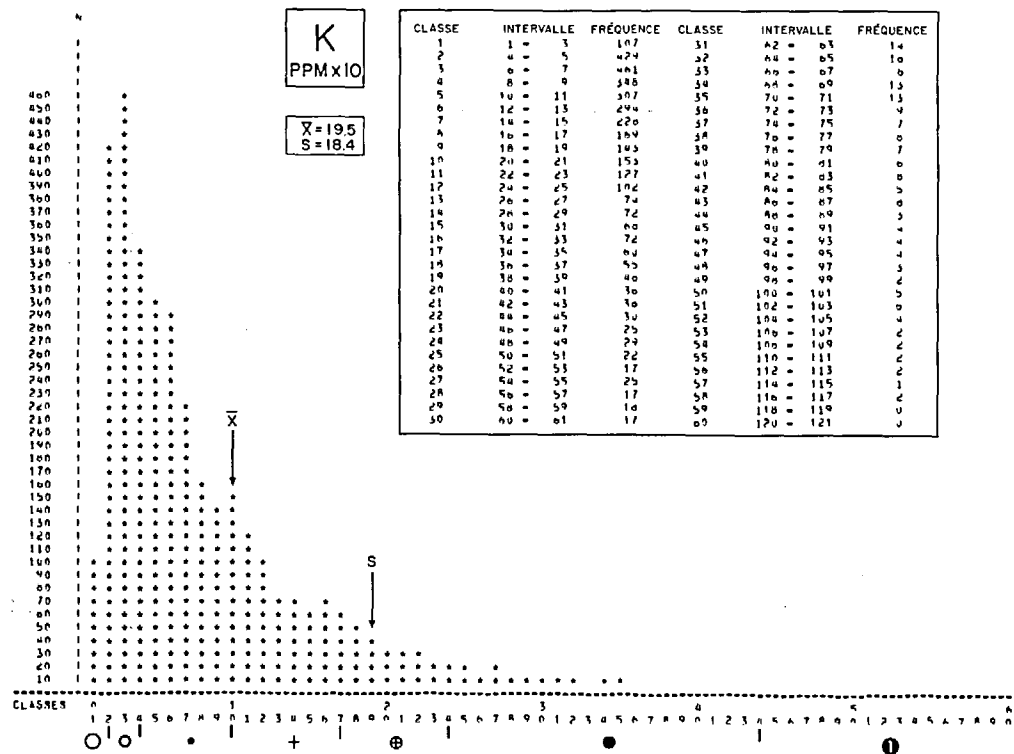
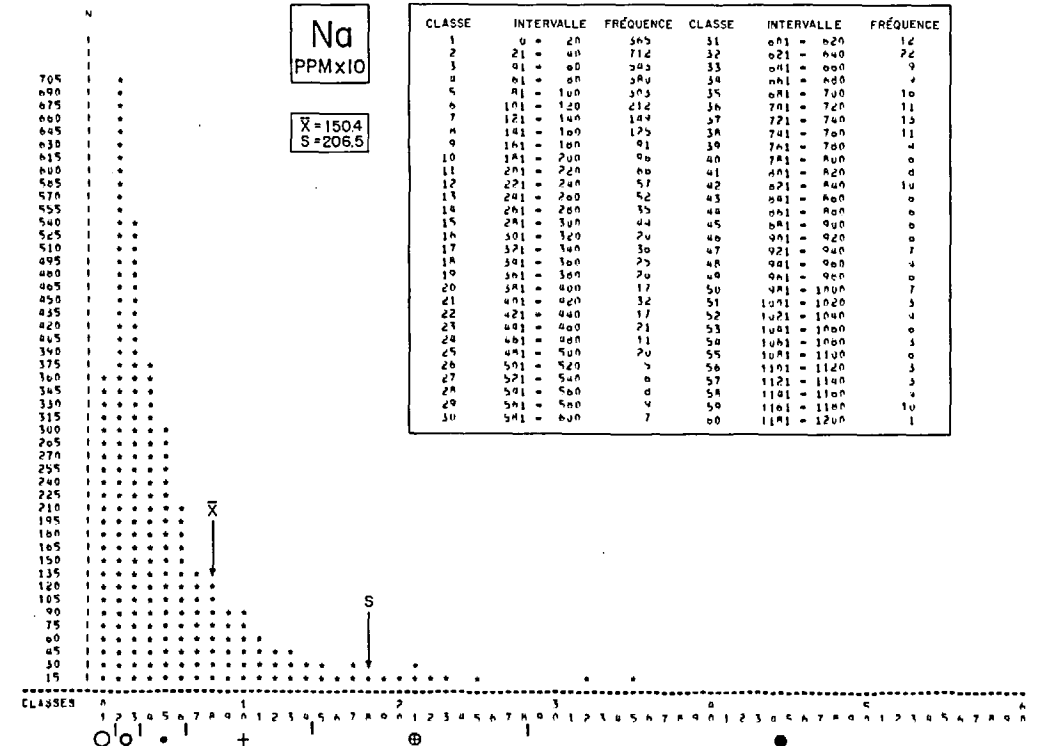
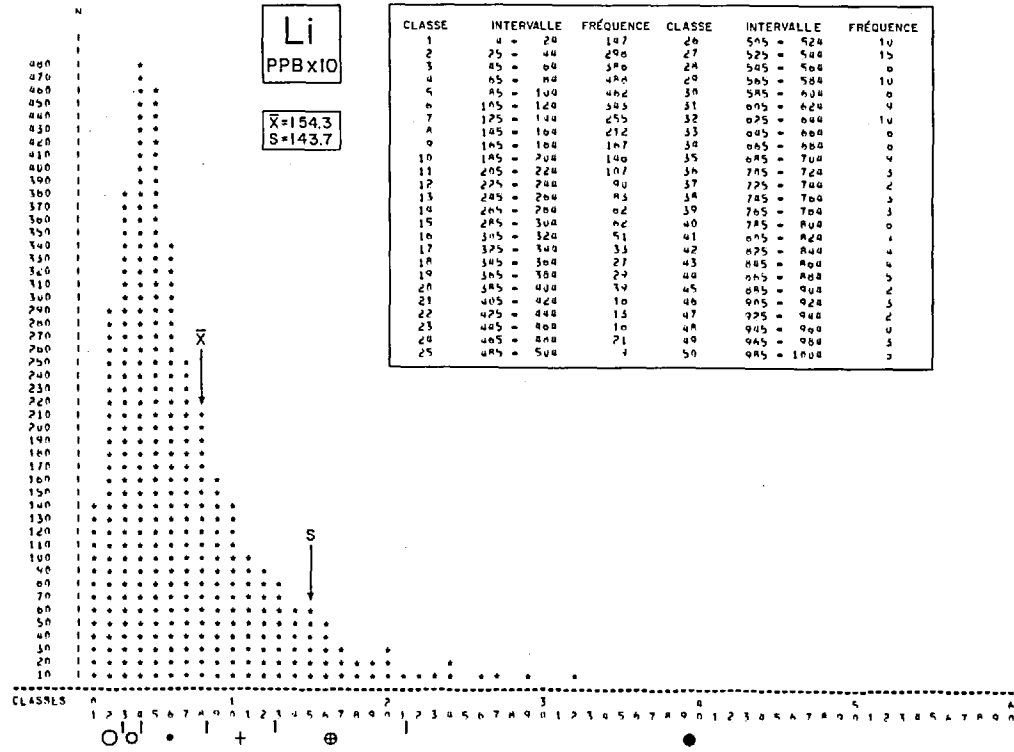


FIGURE 3D - Histogrammes de distribution pour Li, Na, K, Ca.



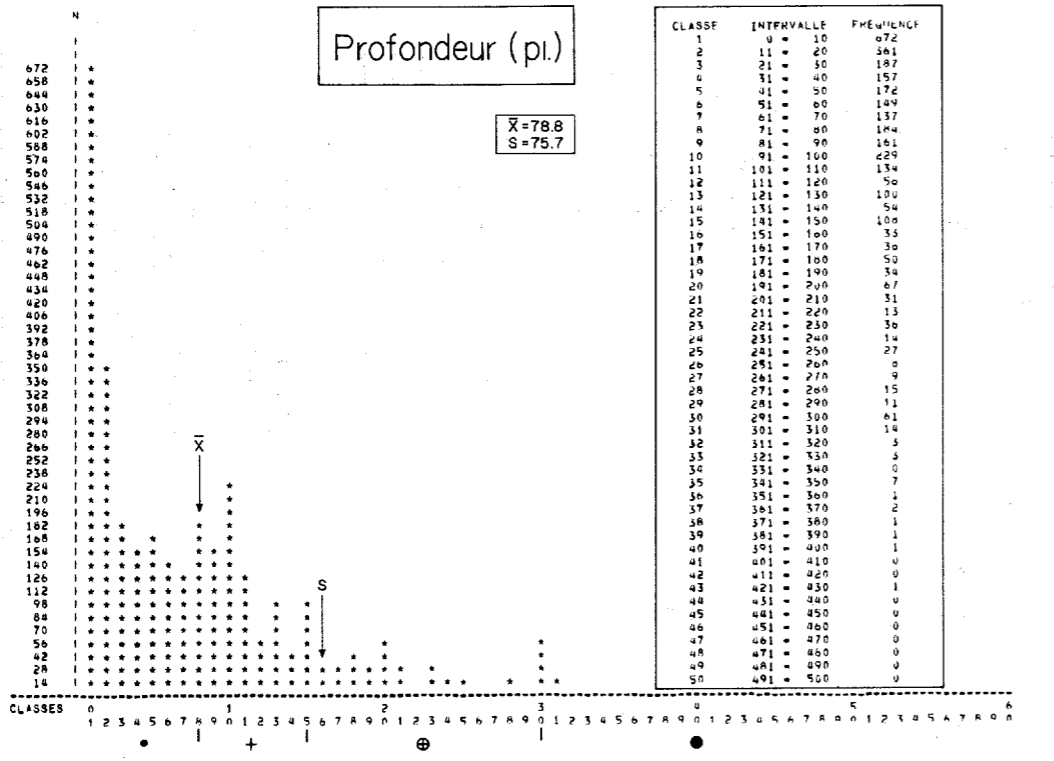
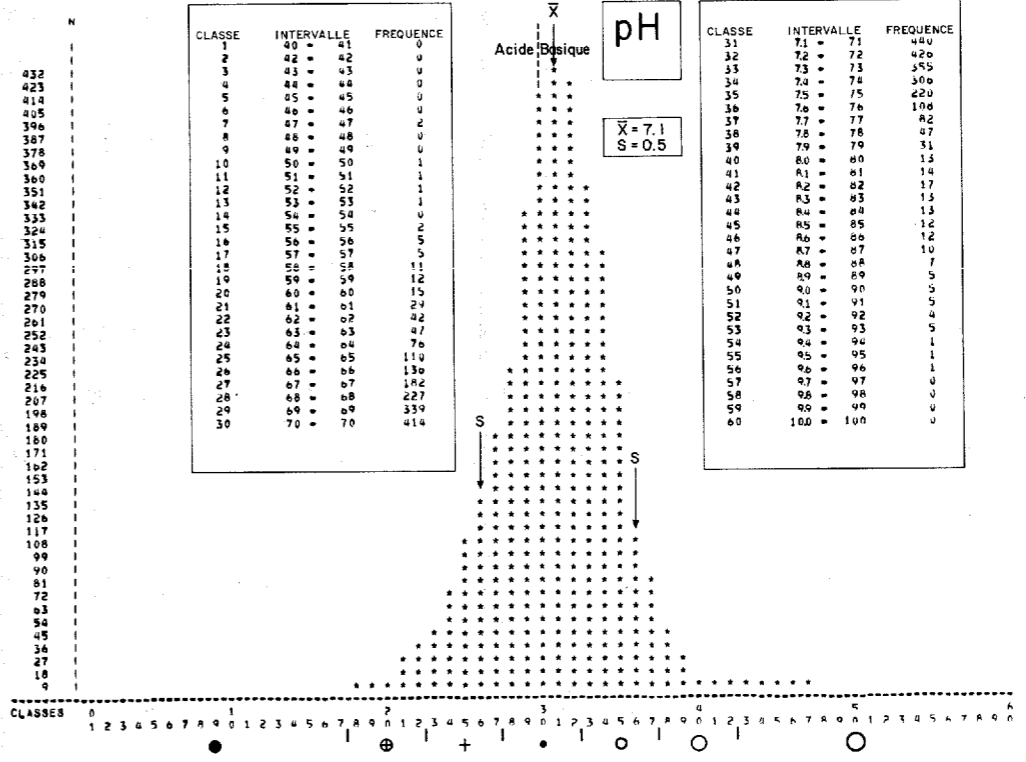
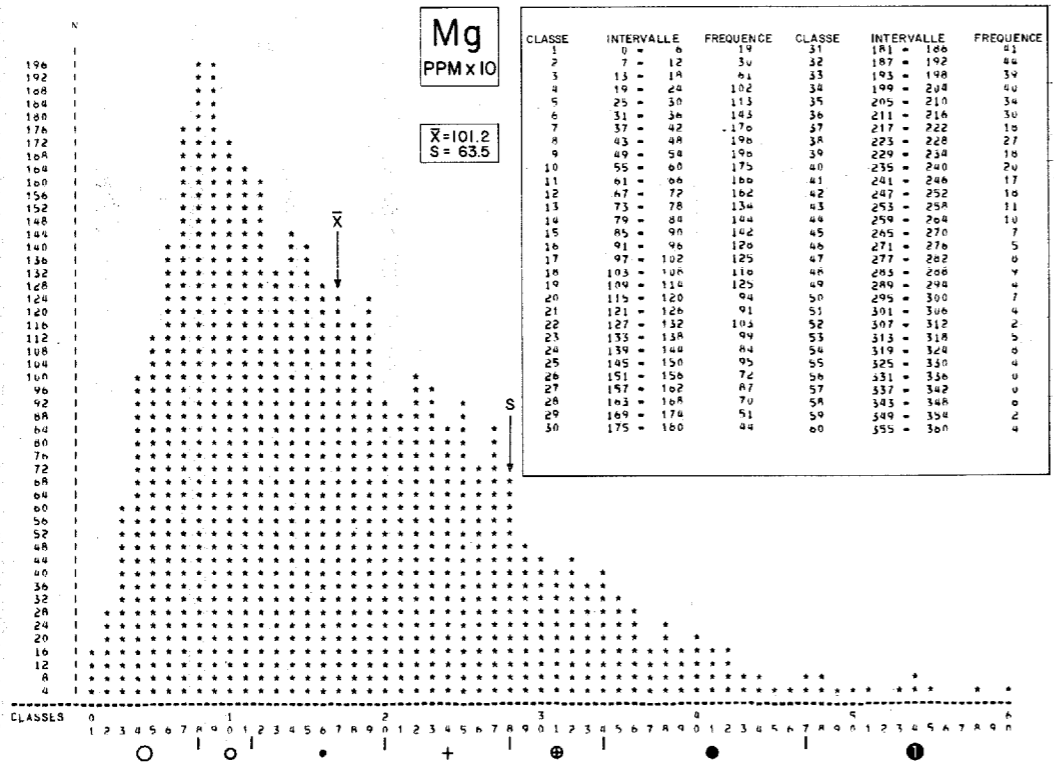


FIGURE 3E - Histogrammes de distribution pour Mg, pH, Prof.

On observe aussi que les teneurs en sodium et magnésium sont influencées par l'environnement géologique. La figure 4 contient les histogrammes de distribution et les moyennes de ces éléments pour les principales formations géologiques couvertes par l'échantillonnage.

COMPILATIONS

Pour faciliter l'évaluation des résultats, nous avons effectué une compilation régionale et une compilation locale.

Compilation régionale

La compilation régionale définit des zones d'activité géochimique d'une superficie égale ou supérieure à 10 km<sup>2</sup>. Elle donne une vue d'ensemble sur la distribution des teneurs élevées et permet de cerner les ceintures et complexes géochimiques (Lalonde et al., 1980). Pour son établissement, les éléments ont été séparés en deux groupes. Le premier comprend les éléments dont 90% et plus des teneurs sont à la limite de détection analytique (As, Co, Cd, Pb et Ni); le second comprend les autres éléments.

Les aires définies par chacun des éléments du premier groupe comprennent un minimum de trois sites d'échantillonnage, avec teneurs supérieures au 98<sup>e</sup> percentile et distance maximale de 3 km entre chacun des sites. Il est important de noter que ces aires peuvent aussi contenir plusieurs teneurs faibles.

Les aires définies par les éléments du second groupe doivent également comprendre au moins trois sites d'échantillonnage mais avec des teneurs supérieures au 84<sup>e</sup> percentile et une distance maximale de 2 km entre chacun des sites.

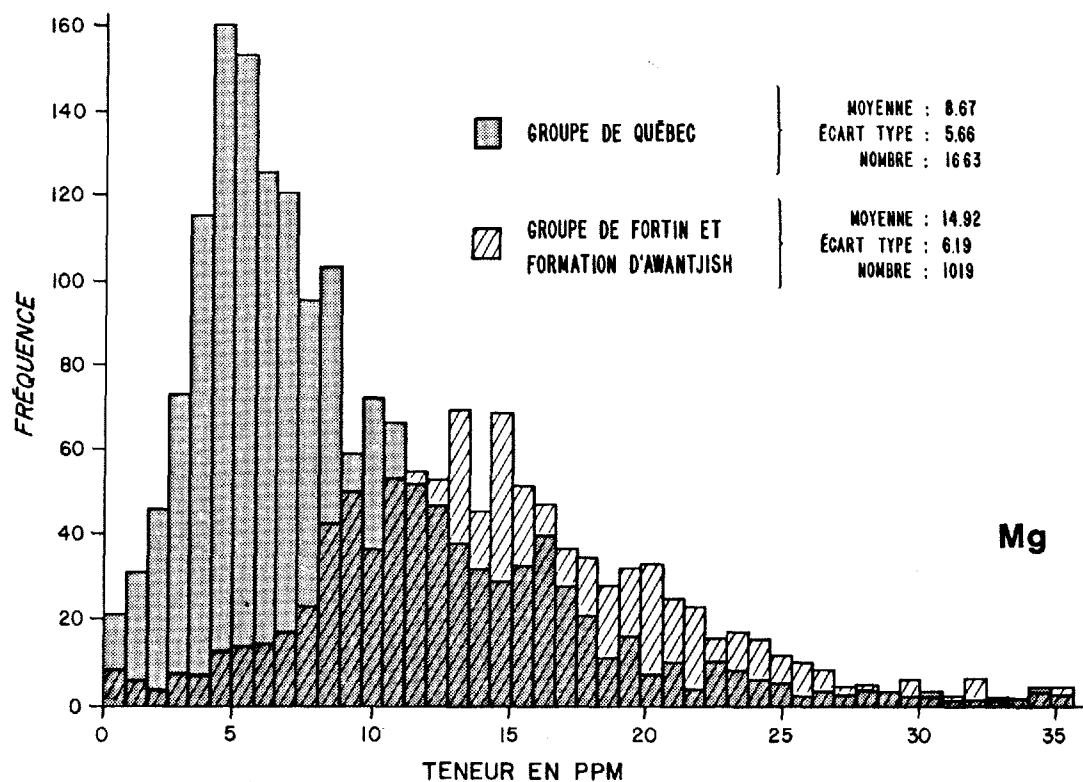
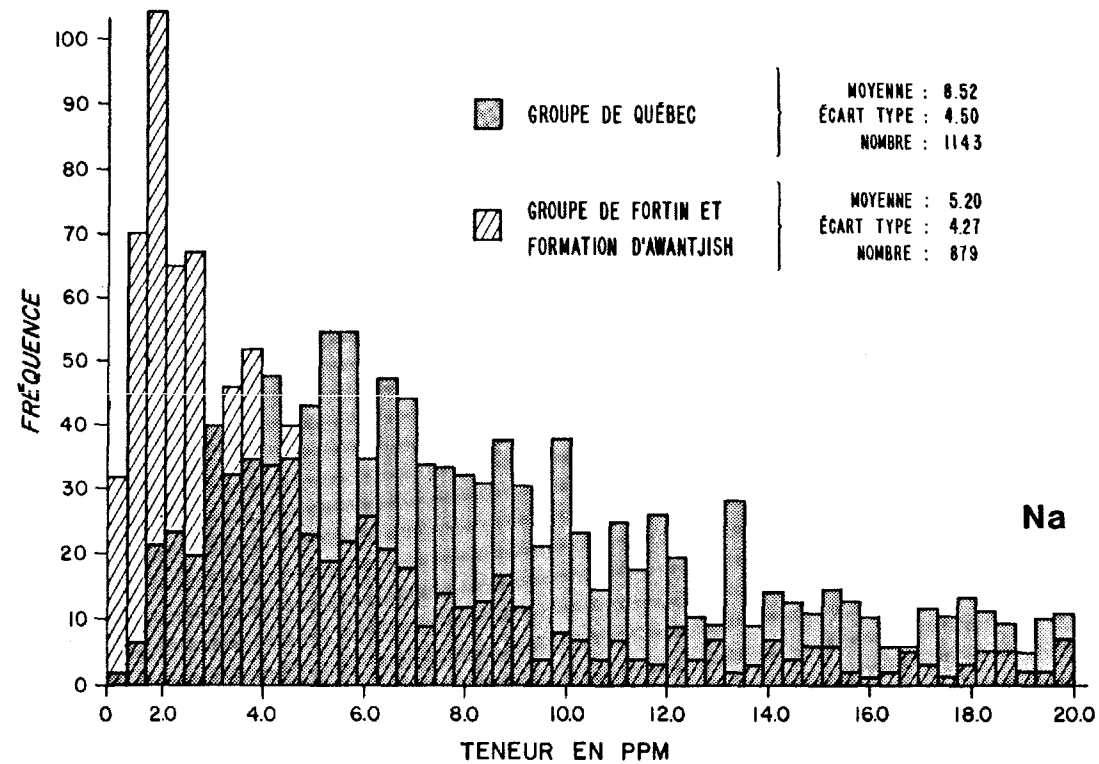


FIGURE 4 - Histogramme de distribution du Na et Mg pour les principales formations géologiques.

Le tableau 4 présente la superficie moyenne et le nombre d'aires définies par chacun des éléments dans la compilation régionale. On remarque que l'uranium présente le plus grand nombre d'aires et que le cobalt et le plomb ont les superficies moyennes les plus petites. Les éléments majeurs pour leur part ont tous des superficies moyennes qui dépassent les 30 km<sup>2</sup>. Des paramètres importants qui influencent l'étude des patrons définis sont la composition de l'environnement primaire et la mobilité des éléments dans l'environnement secondaire.

La carte de compilation géochimique régionale (annexe C) permet d'individualiser quatre complexes géochimiques. Ceux-ci sont décrits au tableau 5.

TABLEAU 4 - Nombre d'aires et superficie moyenne des aires géochimiques dans la compilation régionale.

ÉLÉMENTS	NOMBRE D'AIRES	SUPERFICIE MOYENNE (km <sup>2</sup> )
Co	1	10,0
Pb	2	10,0
Ni	4	12,1
As	1	15,0
Zn	2	18,3
Cl	5	18,5
Cu	4	25,1
U	10	26,3
Cd	3	27,0
Na	7	31,0
Ca	9	34,4
Li	4	48,3
K	4	51,5
F	3	52,0
Mg	6	66,5

TABLEAU 5 - Complexes géochimiques définis par la compilation régionale.

NOM DU COMPLEXE	FEUILLET SNRC	SUPERFICIE APPROXIMATIVE (km <sup>2</sup> )	ÉLÉMENTS PRÉSENTS	REMARQUE
Bic - St-Fabien	22 C/07	175	As, U, Cl, Na, K, F	Gisement de Pb-Ba dans la partie SW du complexe, à 1 km au SW de St-Fabien
Rimouski	22 C/07 22 C/08	100	Pb, Ni, U, F, Li, Na, K, Ca, Cl, Cu	Nombreuses failles inverses au voisinage de l'assemblage Pb, U, Ni du complexe et nombreuses petites minéralisations en Zn-Pb
Saint-Narcisse	22 C/08 22 C/01	120	Cu, Na, Cl, Ca, Li, Mg	Semble être le prolongement sud du complexe de Rimouski
Lac Matapédia	22 B/12	55	Zn, Cd, Ca, Mg, Li	Ce complexe est à proximité des roches volcaniques des Shickshocs au NE. Les cartes magnétiques suggèrent le prolongement de ces roches sous le lac Matapédia

#### Compilation locale

Cette compilation, qui définit des zones d'activité géochimique de 2 à 3 km<sup>2</sup>, peut servir de base pour le choix de cibles pour la prospection minière. Elle tient compte du niveau des teneurs, des éléments analysés, de la superficie occupée par les teneurs de chacun des éléments et de la superpositions des différentes superficies.

Pour que le signal d'un élément soit conservé dans la compilation locale, il faut que les trois conditions suivantes soient réunies: deux sites ont des teneurs supérieures au 92<sup>e</sup> percentile; la distance entre ces sites est inférieure à 1 km; et il n'y a pas plus d'un site à teneurs faibles entre deux sites à teneurs élevées. Les zones de superposition d'au moins trois teneurs élevées des signaux mono-élément ainsi définies sont appelées "zones d'activité géochimique".

La carte de compilation locale (annexe C) présente 58 zones d'activité géochimique dont plusieurs semblent intéressantes pour l'exploration minière. Pour faciliter le choix de l'explorateur, nous avons donné un ordre de priorité pour chacune d'elles, laquelle a été établie en fonction du nombre d'éléments présents dans la zone et de la mobilité relative des éléments dans la région d'inventaire.

Pour définir la mobilité relative ou, en d'autres termes, la proximité d'un élément par rapport à certaines sources, on doit émettre le principe général suivant: que la distance de dispersion d'un élément est directement reliée à sa mobilité. Partant de ce principe, on peut estimer que, selon les probabilités, plus un élément sera immobile (proximal), moins il formera de patrons cohérents; plus faible sera donc sa fréquence dans la compilation.

Ainsi, la fréquence d'occurrence de chacun des éléments

dans les 58 zones (tableau 6) est une approximation de l'indice de proximité. Pour quantifier la proximité dans notre mécanisme de définition de priorités, il a été essentiel d'attribuer un pointage à chacun des éléments.

TABLEAU 6 - Fréquence des éléments observés dans les 58 zones d'activités géochimiques de la compilation locale.

ÉLÉMENT	FRÉQUENCE D'OCCURENCE	POINTAGE DE PROXIMITÉ
Co	4	Eléments proximaux 5 points par élément
As	5	
Cd	5	
Ni	9	Eléments semi-proximaux 3 point par élément
Zn	10	
Pb	10	
U	11	
CU	13	
Mg	18	Eléments distaux 1 point par élément
Li	22	
K	23	
Ca	24	
Cl	27	
F	27	
Na	33	

Le nombre total de points a ensuite été calculé pour chacune des zones. La figure 5 est un exemple de ce traitement très simple. L'histogramme de la figure 6 est une courbe de distribution de la fréquence des pointages pour les 58 zones d'activité. Nous avons donc défini les trois niveaux de priorité des zones à l'aide de cet histogramme. On constate que 19% des zones ont la priorité

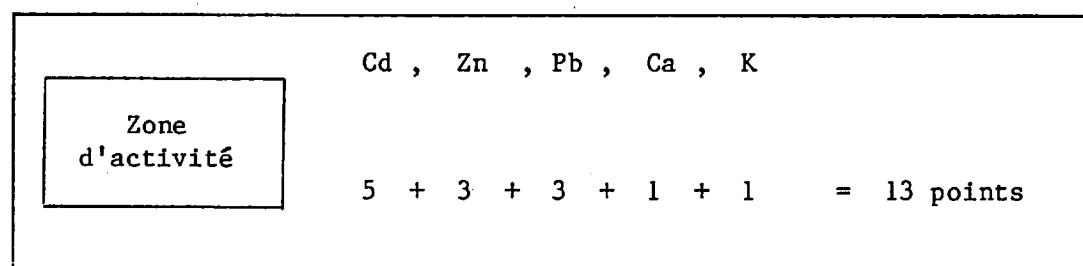


FIGURE 5 - Exemple de détermination du pointage pour les 58 zones d'activité géochimique.

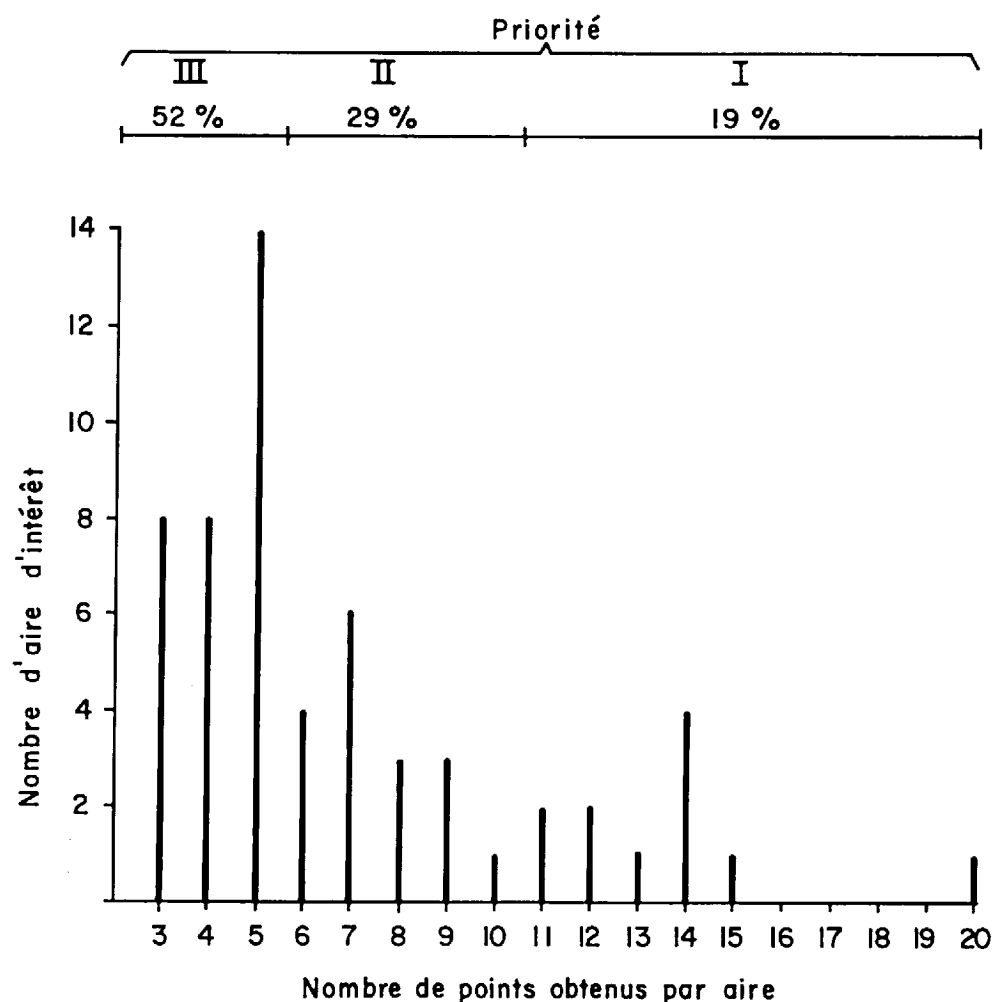


FIGURE 6 - Fréquence des pointage attribués aux 58 zones d'activités géochimiques de la compilation locale.

I; 29% ont la priorité II; et plus de la moitié ont la priorité III. Les onze zones d'activité géochimique de priorité I ont fait l'objet de travaux additionnels. Ceux-ci sont présentés à l'annexe A. Il est important de noter que ce mécanisme très simple en est un parmi plusieurs qui auraient pu être utilisés. Sans être parfait ce mécanisme permet au lecteur de suivre le cheminement et de reproduire le travail qui a été fait.

Durant les périodes estivales de 1979 et 1980, nous avons visité les principales zones d'activité géochimique définies à partir des résultats du levé. Ces visites ont permis de vérifier les possibilités de contamination, d'identifier les relations géologiques existantes et de prélever plusieurs échantillons de roche à proximité ou à l'intérieur des zones. L'annexe A décrit brièvement les zones de priorité I (figures A-1 à A-6), fournit la localisation des sites d'échantillonnage et des principaux indices minéralisés (figures A-1 à A-10) et présente les résultats d'analyse des échantillons de roche (tableaux A-1 à A-10).

Le tableau 7 donne le seuil anormalique pour chacun des éléments dosés dans les échantillons de roche. Ce seuil fut choisi empiriquement par rapport à l'abondance de chacun des éléments dans les 80 échantillons recueillis.

TABLEAU 7 - Seuils suggérés pour les éléments dosés dans les roches.

ÉLÉMENT	SEUIL ANOMAL	ÉLÉMENT	SEUIL ANOMAL
Cu	200 ppm	Mo	15 ppm
Zn	200 ppm	Ba	1000 ppm
Pb	100 ppm	Mn	6,0 %
Ni	50 ppm	Fe	10,0 %
Co	100 ppm	Au	0,15 g/t
Sn	35 ppm	Ag	1,0 g/t
As	75 ppm		

Par ailleurs, dans le but de vérifier si une augmentation de la densité d'échantillonnage pouvait apporter plus de précision aux résultats dans des aires minéralisées, quatre sous-régions furent choisies où tous les sites possibles furent échantillonnés.

L'annexe B présente les cartes de localisation de ces quatre sous-régions. Elle fournit également les résultats d'analyse du deuxième échantillonnage.

Les résultats de ces essais semblent indiquer que l'échantillonnage à forte densité apporte peu de renseignements supplémentaires. Il ne fait qu'accentuer les contrastes géochimiques déjà décelés.

#### CONCLUSION

Les secteurs Matane, Rimouski, Matapédia et Témiscouata furent couverts par un levé d'inventaire hydrogéochimique. Près de

4000 échantillons furent prélevés et analysés pour une vingtaine de paramètres chimiques. On a pu définir, à l'aide des cartes de compilation, quatre complexes géochimiques régionaux et 58 zones locales d'activité géochimique. Les quatre complexes géochimiques ont une superficie variant entre 55 et 175 km<sup>2</sup> et se localisent à proximité de la zone Pb-Ba de Rimouski - St-Fabien et de la zone Cu-Zn-Pb du lac Matapédia.

Dans les 58 zones locales d'activité géochimique, Co, As et Cd sont des éléments proximaux (près de la source) et Ni, Zn, Pb, U et Cu sont des éléments semi-proximaux. Sur la base de cette information, on a délimité 11 zones prioritaires pour l'exploration et 17 de deuxième importance.

#### RÉFÉRENCES

- BEUS, A.A. - GRIGORIAN, S.V., 1977 - Geochemical exploration methods for mineral deposits. Applied Publishing Ltd., Illinois, U.S.A.
- GORMAN, W.A., 1961 - Estcourt - Baker Lake area. Ministère de l'Énergie et des Ressources, Québec; DP-472.
- GUIMONT, J. - PICHETTE, M., 1979 - Méthode de dosage d'éléments en traces dans les sédiments, les roches et les eaux. Ministère des Richesses naturelles, Québec; A.C.-5..

HAWKES, H.E. - WEBB, J.S., 1962 - *Geochemistry in mineral exploration*. Harper & Row, publishers, New-York, U.S.A.

HENRY, J., 1983 - *Géochimie des humus dans la région de Saint-Fabien*. Ministère de l'Énergie et des Ressources, Québec; DP 83-19.

HÉROUX, Y., 1970 - *Géochimie des sédiments de ruisseau, région de Sayabec*. Ministère de l'Énergie et des Ressources, Québec; DP-264.

\_\_\_\_\_ 1971 - *Formation de Sayabec dans la région de La Rédemption - Sayabec - Val Brillant*. Ministère de l'Énergie et des Ressources, Québec; DP-45.

KRAUSKOPF, K.B., 1967 - *Introduction to geochemistry*. McGraw-Hill Book Company, New-York, U.S.A.

LAJUÏE, V., 1972 - *Régions de Rimouski et du Lac-des-Baies (moitié ouest)*. Ministère de l'Énergie et des Ressources, Québec; DP-64.

LALONDE, J.-P. - CHOUINARD, N., 1983 - *Géochimie des eaux souterraines - Méthodologie et essais*. Ministère de l'Énergie et des Ressources, Québec; DV 82-01.

LALONDE, J.-P. - CHOUINARD, N. - BERGERON, R., 1980 - *Atlas géochimique des eaux souterraines de l'Abitibi*. Ministère de l'Énergie et des Ressources, Québec; DPV-725.

LALONDE, J.-P. - CHOUINARD, N. - PELLETIER, M., 1984 - *Données brutes de l'échantillonnage des eaux souterraines de la région du Bas Saint-Laurent*. Ministère de l'Énergie et des Ressources, Québec; DV 83-08.

LALONDE, J.-P. - PELLETIER, M., 1983 - *Atlas géochimique des eaux souterraines du Témiscamingue*. Ministère de l'Énergie et des Ressources, Québec; DV 83-02.

LEBUISSON, J., 1975 - *Géologie du Quaternaire, partie occidentale de la Gaspésie*. Ministère de l'Énergie et des Ressources, Québec; DP-327.

LEVINSUN, A.A., 1974 - *Introduction to exploration geochemistry*. Applied Publishing Ltd., Calgary, Canada.

LIARD, P., 1971 - *Géochimie des sédiments de ruisseau, région de Mont-Joli*. Ministère de l'Énergie et des Ressources, Québec; DP-239.

\_\_\_\_\_ 1972 - *Région de Mont-Joli - Matane*. Ministère de l'Énergie et des Ressources, Québec; DP-202.

\_\_\_\_\_ 1973 - *Régions de Sayabec et de Matane*. Ministère de l'Énergie et des Ressources, Québec; DP-290.

LOCAT, J., 1978 - *Le Quaternaire de la région de Baie-des-Sabres - Trois-Pistoles*. Ministère de l'Énergie et des Ressources, Québec; DPV-605.

MARTINEAU, G., 1979 - Géologie des dépôts meubles de la région du lac Témiscouata. Ministère de l'Energie et des Ressources, Québec; DVP-618.

\_\_\_\_\_ 1980 - Dépôts meubles de la région de Rimouski - Trois-Pistoles. Ministère de l'Energie et des Ressources, Québec; DPV-707.

MER, 1984 - Atlas géochimique des sédiments de ruisseau dans la région de Matane - Matapédia. Ministère de l'Energie et des Ressources, Québec; DV 83-09.

MURKHERJI, K.K., 1971a - Ste-Blandine Area. Ministère de l'Energie et des Ressources, Québec; DP-196.

\_\_\_\_\_ 1971b - Géochimie des sédiments de ruisseau, région de Sainte-Blandine. Ministère de l'Energie et des Ressources, Québec; DP-238.

ROSE A.W. - GUNDLACH, H., 1981 - Geochemical exploration 1980. IN Developments in economic geology, 15 (Rose et Gundlach, éditeurs). The Association of Exploration Geochemists. Special publication No 9. Elsevier Scientific Publishing Company, New-York, U.S.A.

TREMBLAY, R.L. - CHOINIÈRE, J., 1978 - Atlas géochimique des sédiments de ruisseau de la Gaspésie. Ministère de l'Energie et des Ressources, Québec; DPV-563.

UDODOV, P.A. - SHVARTSEV, S.L. - RASSKAZOV, M.M. - MATUSEVICH, V.M. - SOLODOVNIKOVA, R.S., 1973 - A manual of methods used in hydro-geochemical prospecting for ore deposits. Ministère de l'Energie, des Mines et des Ressources, Canada; traduction 861.






UQAR, 1975 - Projet Matapédia. Université du Québec à Rimouski. Documentation pour consultation seulement (DP-325).

WILHELM, E., 1978 - Traitement de données alluvionnaires - Gaspésie. Ministère de l'Energie et des Ressources, Québec; DP-577.



ANNEXE A

ZONES PRIORITAIRES, SITES D'ÉCHANTILLONNAGE DES ROCHES,  
LOCALISATION DES INDICES MINÉRALISÉS ET  
RÉSULTATS DE L'ANALYSE DES ROCHES

-  Sites d'échantillonnage de roches (figures A-1 à A-10)
-   
 Indices minéralisés (figures A-1 à A-7 et figure A-10)
-   
 Zones prioritaires (figures A-1 à A-6)

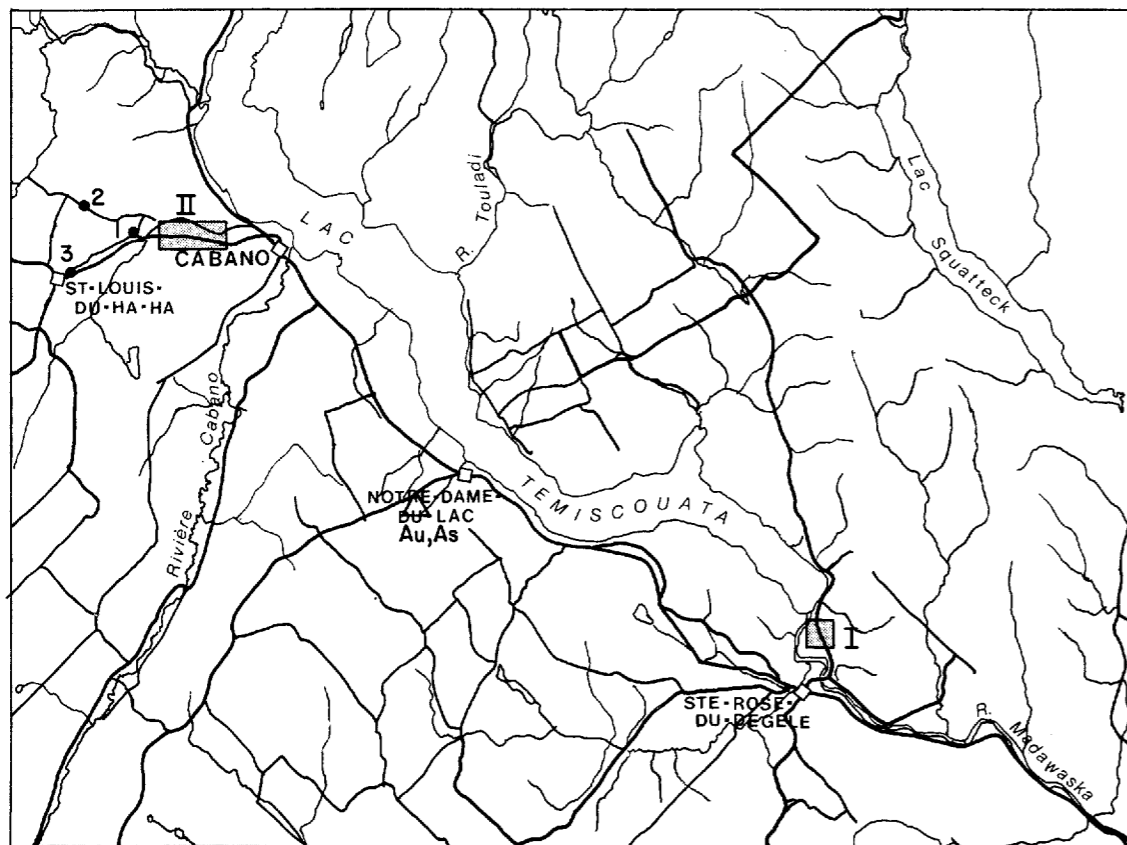


FIGURE A-1 - Zones prioritaires I et II, sites des échantillonnage de roches et localisation des indices minéralisés. Feuillet 21 N/10.

**ZONE PRIORITAIRE I**

(Co, Cu, Ni, K)

Cette zone, à la pointe sud-est du lac Témiscouata, est entièrement recouverte par des dépôts d'âge quaternaire. L'affleurement rocheux le plus près, à 1 km au nord de la zone, est constitué de shale gris verdâtre ne présentant ni oxydation ni pyritisation. A noter que cette zone fait partie, à l'échelle régionale, d'une ceinture de cuivre qui s'étire le long de la rivière Madawaska.

**ZONE PRIORITAIRE II**

(Cu, As, Li, U, F, Na)

Située à l'ouest du village de Cabano, elle est recouverte en grande partie par des dépôts post-glaciaires. Les roches constituant le socle à l'ouest de la zone sont des grès impurs et des schistes ardoisiers. Parmi les échantillons de roches qui furent prélevés, seul l'échantillon #2 présente des teneurs intéressantes en Mo et Ag.

TABLEAU A-1 - Résultats des analyses des échantillons de roches - Feuillet 21 N/10.

NUMÉRO*	ÉLÉMENT													REMARQUES
	Cu ppm	Zn ppm	Pb ppm	Ni ppm	Co ppm	Sn ppm	As ppm	Mo ppm	Ba ppm	Mn %	Fe %	Au g/t	Ag g/t	
1	33	100	10	43	18	8	4	3	450	0,04	4,8	0,07	0,07	shale très friable
2	30	83	14	13	3	9	9	16	360	0,01	3,8	0,13	2,77	shale
3	15	43	15	20	7	8	8	3	110	0,03	3,7	0,07	0,07	grès quartzueux avec pyrite

\* Voir localisation sur figure A-1.

### ZONE PRIORITAIRE III

(Cd, Pb, Zn, Cu)

Cette zone se situe dans la partie sud-est du complexe hydrogéochimique du lac Matapédia (Li, Cd, Zn, Ca et Mg). Bien que l'épaisseur du recouvrement soit importante, la zone demeure intéressante à cause de la proximité des roches volcaniques basiques au nord-est, de la faille des Shickshocks au sud-est et de l'indice minéralisé en Pb qui a déjà été répertorié dans le secteur.

TABLEAU A-2 - Résultats des analyses des échantillons de roches - Feuillet 22 B/12.

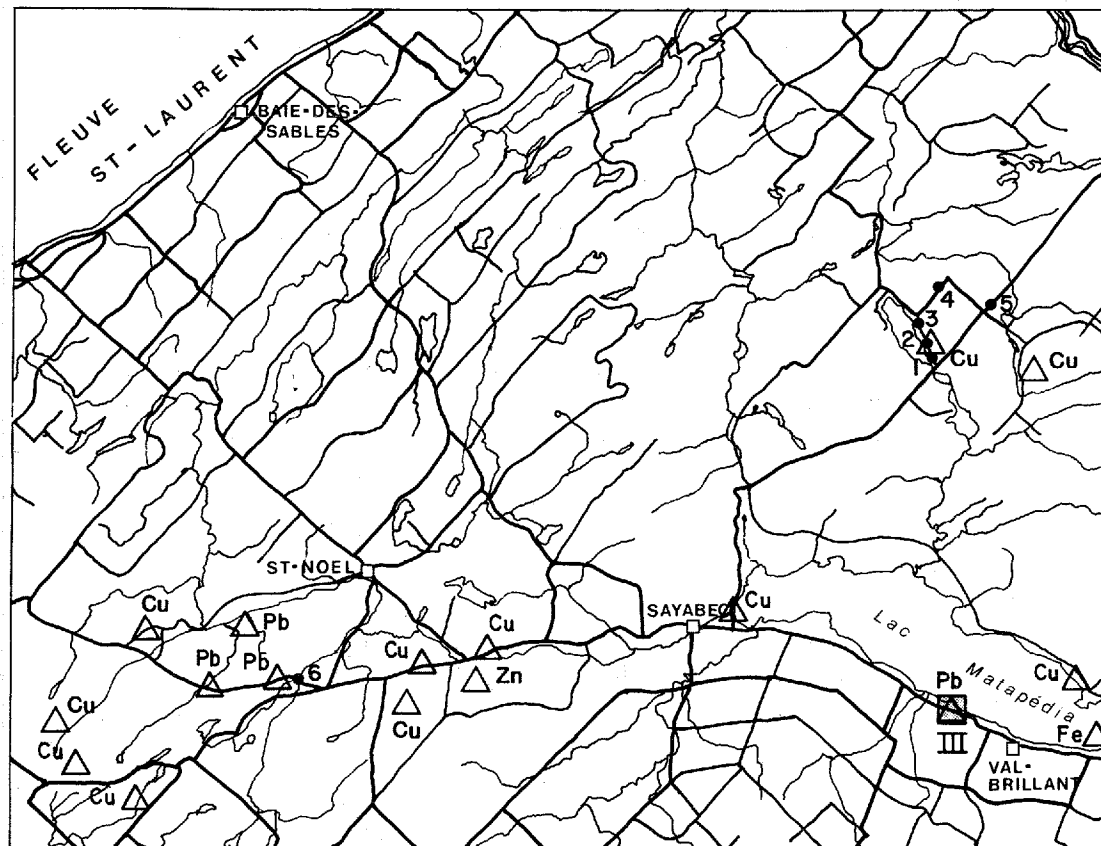


FIGURE A-2 - Zone prioritaire III, sites d'échantillonnage des roches et localisation des indices minéralisés. Feuillet 22 B/2.

NUMÉRO*	ÉLÉMENT													Description
	Cu ppm	Zn ppm	Pb ppm	Ni ppm	Co ppm	Sn ppm	As ppm	Mo ppm	Ba ppm	Mn %	Fe %	Au g/t	Ag g/t	
1	20	75	6	13	7	5	3	19	5 700	0,47	1,1	0,13	0,07	grès avec oxydation de fer
2	35	93	78	10	14	5	4	3	280	0,75	2,7	0,13	0,07	grès quartzeux
3	40	100	9	20	1	5	14	3	750	0,03	5,0	0,07	0,07	shale avec oxydation de fer
4	20	55	6	7	3	5	12	3	440	0,02	3,5	0,13	0,07	shale vert avec pyrite
5	38	140	13	38	22	5	8	3	520	0,18	6,1	0,07	0,07	shale rouge
6A	13	53	15	7	2	26	6	3	160	0,10	2,7	0,07	0,07	grès
6B	18	68	7	18	6	31	8	3	270	0,16	3,8	0,13	0,53	grès avec oxydation de fer

\* Voir localisation sur figure A-2.

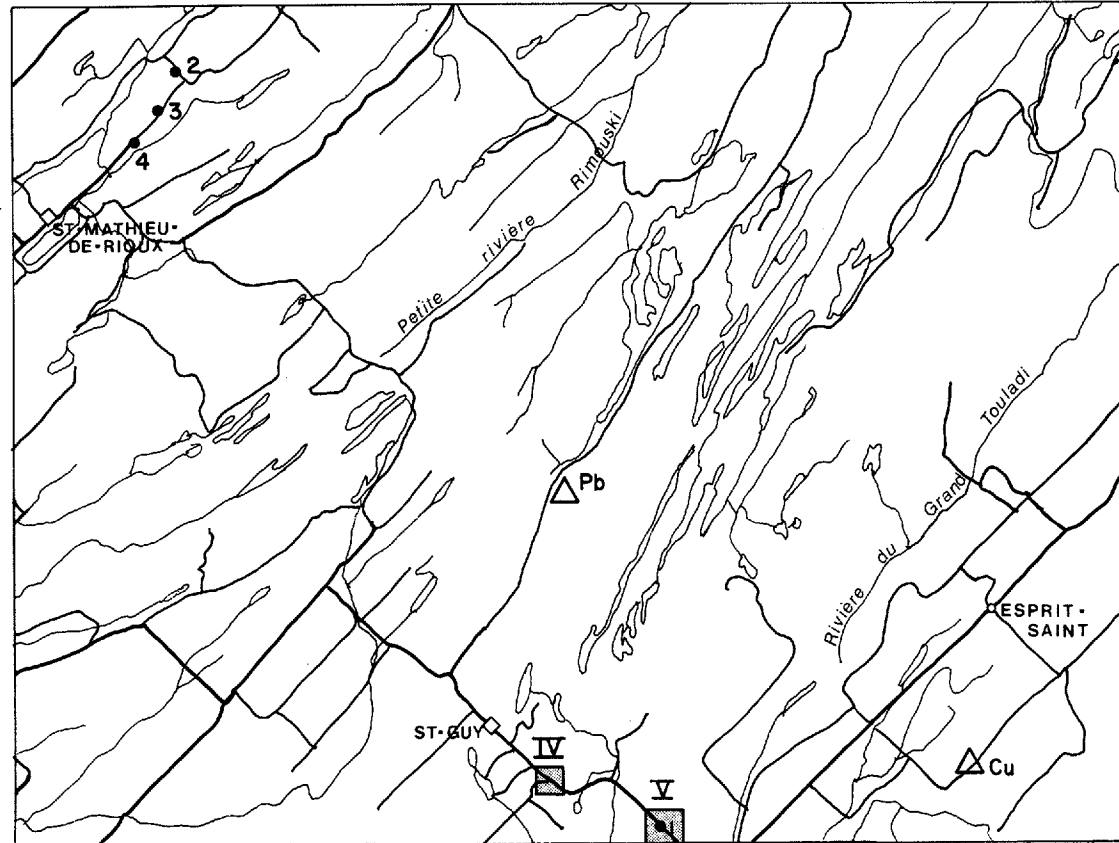


FIGURE A-3 - Zones prioritaires IV et V, sites d'échantillonnage des roches et localisation des indices minéralisés. Feuillet 22 C/2.

ZONES PRIORITAIRES IV (Cd, Cu, Zn, Pb)  
et V (Cd, Cu, Zn)

Bien que ces deux zones aient une image géochimique semblable, elles se situent sur des terrains géologiques très différents. La zone IV repose sur des siltstones calcaireux d'âge silurien et la zone V sur des calcaires et ardoises d'âge ordovicien. Egalement, les deux zones sont séparées par une faille inverse NE-SW. Les visites sur le terrain n'ont pas permis de déterminer l'origine de ces dispersions géochimiques.

TABLEAU A-3 - Résultats des analyses des échantillons de roches - Feuillet 22 C/2.

NUMÉRO*	ÉLÉMENT													REMARQUES
	Cu ppm	Zn ppm	Pb ppm	Ni ppm	Co ppm	Sn ppm	As ppm	Mo ppm	Ba ppm	Mn %	Fe %	Au g/t	Ag g/t	
1	16	57	26	37	32	15	2	7	175	0,08	2,4	0,01	1,5	shale
2A	425	56	24	30	55	5	4	16	2 573	0,07	4,0	0,03	1,1	mudstone avec oxydation de fer
2B	16	123	12	29	22	10	3	17	402	0,05	3,1	0,01	0,5	" " "
3	42	42	3	18	11	19	1	26	2 578	0,04	1,7	0,01	0,2	mudstone
4	12	44	6	18	9	4	1	6	404	0,08	1,8	0,01	0,3	shale gris verdâtre

\* Voir localisation sur figure A-3.

TABLEAU A-4 - Résultats des analyses des échantillons de roches - Feuillet 22 C/7 (page 27)

NUMÉRO*	ÉLÉMENT													REMARQUES
	Cu ppm	Zn ppm	Pb ppm	Ni ppm	Co ppm	Sn ppm	As ppm	Mo ppm	Ba ppm	Mn %	Fe %	Au g/t	Ag g/t	
1	14	66	4	22	21	5	1	33	464	0,06	3,4	0,01	0,40	shale vert
2A	270	73	190	45	39	5	150	3	360	0,09	15,4	0,07	0,07	veine de quartz avec oxydation de Fe
2B	320	90	200	5	14	5	176	3	350	0,03	18,3	0,13	0,07	matériel très oxydé en Fe-Mn
2C	40	63	8	18	7	8	9	3	330	0,07	2,3	0,20	0,07	matériel très oxydé en Fe-Mn
3	33	110	11	20	12	8	15	3	230	2,18	6,1	0,07	0,07	veine de quartz avec oxydation de Fe
4	6	17	18	20	14	2	4	8	245	0,14	1,2	0,01	0,80	grès quartzeux
5A	7	70	12	12	9	18	6	10	645	0,39	1,9	0,01	0,20	quartz avec oxydation de fer
5B	9	129	16	24	20	14	9	8	1 978	0,06	3,4	0,01	0,50	quartz avec oxydation de fer
6	13	42	38	49	41	8	18	14	132	1,34	3,2	0,01	1,40	shale vert
7	93	120	11	43	19	38	12	3	460	0,12	4,9	0,07	0,07	shale vert
8A	414	121	679	79	140	1	85	9	444	2,49	12,0	0,02	5,80	shale avec oxydation en Fe-Mn et silicifié
8B	89	53	18	27	24	13	4	8	22 200	1,48	2,9	0,02	0,90	" " " "
8C	13	89	7	32	26	14	2	5	1 140	0,40	4,3	0,02	0,60	" " " "
9A	7	100	8	41	42	9	6	8	201	0,97	4,8	0,01	0,60	" " " "
9B	55	48	119	58	83	18	75	37	199	14,89	12,3	0,26	2,50	" " " "
9C	11	69	8	31	23	14	2	23	24 900	0,57	3,5	0,01	0,60	" " " "
9D	54	65	10	32	29	2	3	11	573	2,39	3,7	0,01	0,70	" " " "
9E	19	72	66	28	27	9	9	18	393	0,92	4,1	0,01	0,50	" " " "
10	65	120	6	40	20	27	10	3	830	0,13	5,8	0,13	0,06	shale gris verdâtre
11	55	110	23	40	21	19	21	3	310	1,95	5,8	0,07	0,06	très peu d'oxydation
12	53	120	25	45	24	19	18	3	340	1,38	6,0	0,07	0,06	" " "
13	45	120	35	45	24	31	19	3	400	0,53	5,7	0,07	0,06	" " "
14	55	120	17	40	20	19	24	3	400	0,50	5,1	0,07	0,06	" " "
15	53	120	25	38	20	38	19	3	310	0,75	6,2	0,07	0,06	" " "
16	68	120	28	45	26	33	24	3	380	1,02	5,7	0,07	0,06	" " "

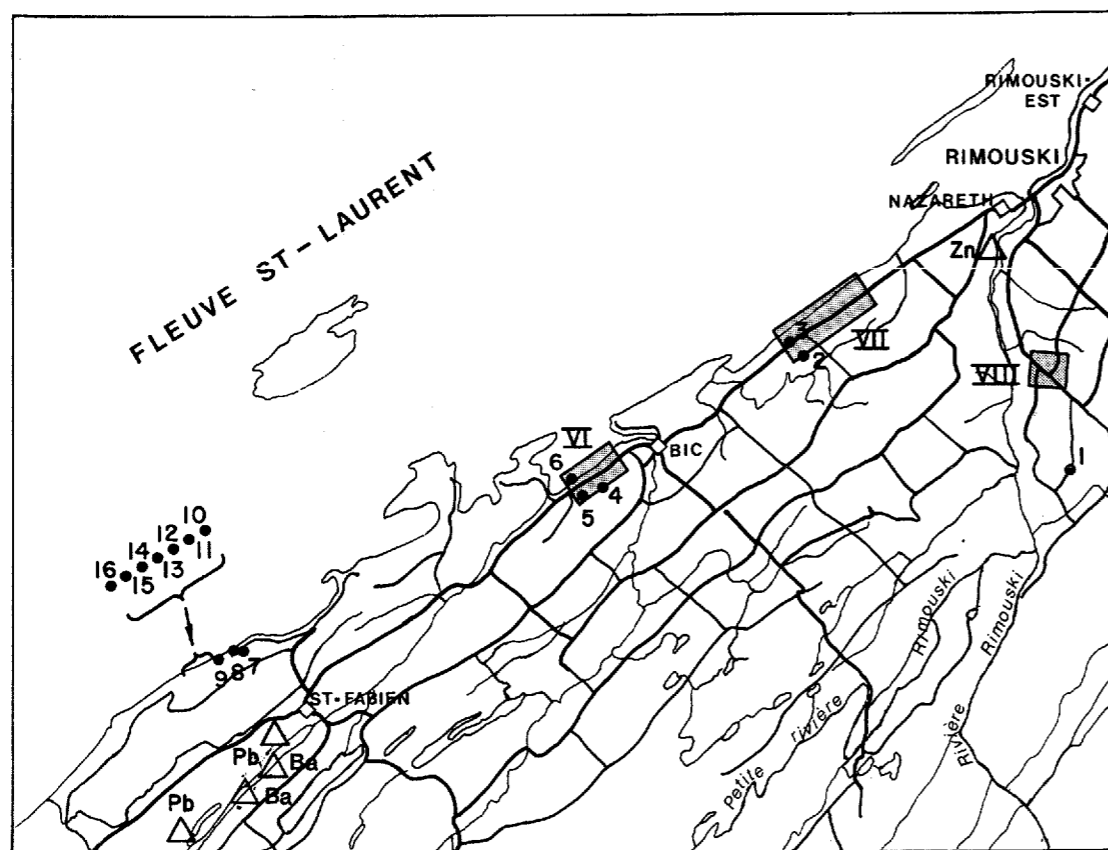


FIGURE A-4 - Zones prioritaires VI, VII et VIII, sites d'échantillonnage des roches et localisation des indices minéralisés. Feuillet 22 C/7.

#### ZONE PRIORITAIRE VI

(Pb, Cu, Cl, F, Li, K, Na, Ca)

Cette zone se situe à l'extrémité nord-est du complexe hydrogéochimique de Bic - Saint-Fabien (Cl, As, U, Na, K et F), qui se superpose à l'importante zone minéralisée en Pb-Ba de Saint-Fabien. Plusieurs bandes altérées en Mn ou contenant de la pyrite nodulaire furent observées dans la zone prioritaire et dans sa périphérie; de petites veines de quartz avec des fonds d'altération furent aussi notées. L'échantillon 6 (tableau A-4) montre une teneur en argent de 1,4 g/t.

#### ZONE PRIORITAIRE VII

(Ni, Pb, Zn, Cl, F, Li, K, Na, Mn)

Cette zone est géochimiquement similaire à la précédente. On y retrouve à nouveau Pb, Cl, F, Li, K et Na. Les roches y présentent les mêmes phénomènes d'altération (Mn) et de pyritisation. Les analyses (tableau A-4) montrent des teneurs très intéressantes en Cu, Pb, As, Fe et Au.

#### ZONE PRIORITAIRE VIII

(Ni, Co, Pb, Cu, F, Fe)

Cette zone prioritaire se situe à l'est de la rivière Rimouski, dans le secteur le plus actif du complexe hydrogéochimique de Rimouski (Pb, Ni, U, F, Cl, Ca, Li, K et Na). Seules les roches au sud et à l'est de la zone ne sont pas recouvertes par des dépôts quaternaires. Elles sont très peu altérées et on y trouve parfois de la pyrite. L'analyse d'un échantillon de shale prélevé à quelques kilomètres au sud de la zone révèle une teneur de 33 ppm de Mo.

ZONE PRIORITAIRE IX

(Cu, U, Na, Cl, Ca, Mg, K, Li, F, Fe)

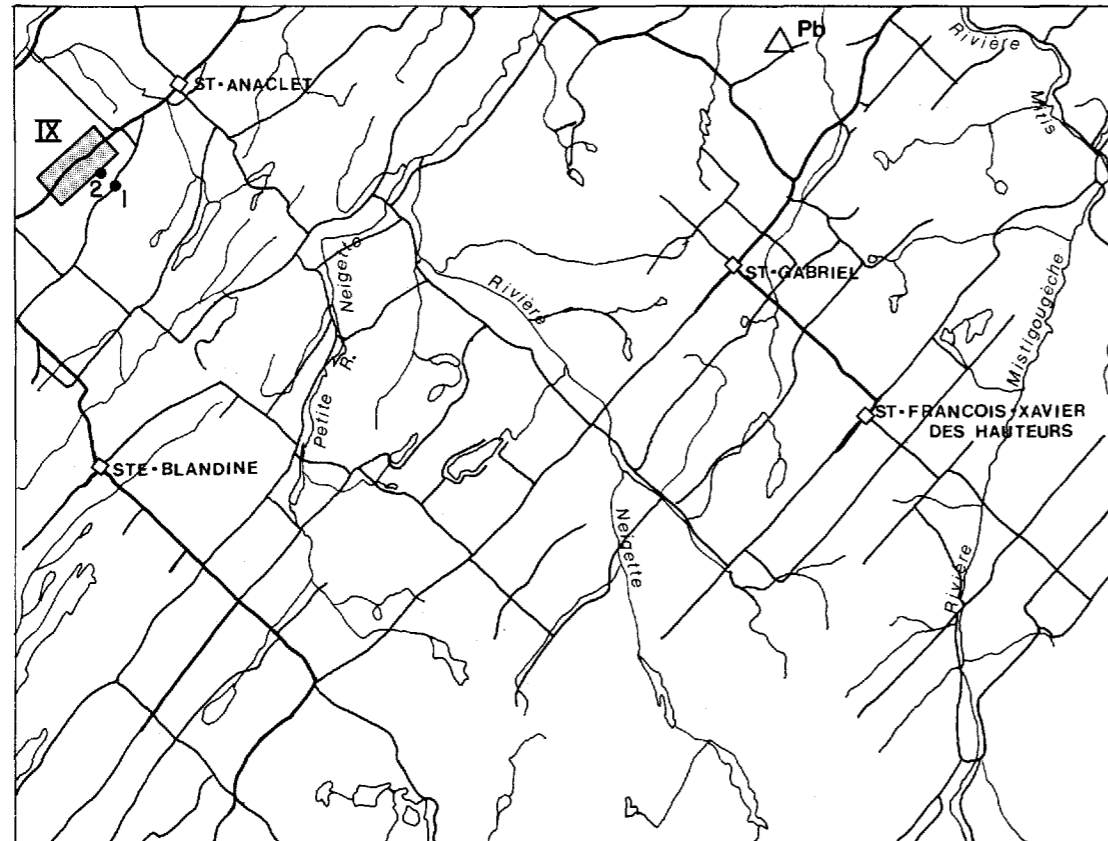


FIGURE A-5 - Zone prioritaire IX, sites d'échantillonnage et localisation des indices minéralisés. Feuille 22 C/8.

Cette zone, située dans la partie nord du complexe géochimique de Rimouski, repose sur des terrains d'âge ordovicien qui ont été affectés par un réseau de failles N-S et un système de plissement E-W. Les résultats d'analyse des roches ne donnent pas d'indice pour une possibilité de minéralisation. Il existe des possibilités de contamination en ce qui concerne les éléments majeurs à cause du réseau d'aqueduc de Rimouski, lequel traverse la zone (N-W, S-E).

TABLEAU A-5 - Résultats des analyses des échantillons de roches - Feuille 22 C/8.

NUMÉRO*	ÉLÉMENT													REMARQUES
	Cu ppm	Zn ppm	Pb ppm	Ni ppm	Co ppm	Sn ppm	As ppm	Mo ppm	Ba ppm	Mn %	Fe %	Au g/t	Ag g/t	
1	18	30	3	7	2	11	4	3	350	0,02	1,1	0,13	0,07	grès quartzeux avec pyrite
2A	15	23	2	2	1	9	2	3	100	---	0,2	0,07	0,07	grès quartzeux avec pyrite
2B	20	23	7	2	1	9	9	3	100	0,04	1,8	0,07	0,07	grès quartzeux avec oxydation de Fe
2C	20	20	6	2	1	10	8	3	140	---	0,4	0,07	0,07	" " "
2D	20	30	7	2	1	10	8	3	100	---	1,2	0,13	0,07	grès quartzeux

\* Voir localisation sur figure A-5.

ZONES PRIORITAIRES X (Cd, Zn, Co, Ni, F, Cl, Na, Ca, Mn, Fe)  
 et XI (As, Ni, F, Na, Li)

Ces deux zones, situées très près l'une de l'autre, se superposent à une zone structurale très active où l'on retrouve de nombreuses failles N-S et plusieurs plissements E-W. Les roches y sont très friables mais très peu altérées ou oxydées.

La zone X fait partie d'une importante ceinture géochimique de Cd, orientée NE-SW.

Un indice minéralisé en Pb a déjà été répertorié à quelques kilomètres au sud de ces deux zones.

TABLEAU A-6 - Résultats des analyses des échantillons de roches - Feuillet 22 C/9.

NUMÉRO	ÉLÉMENT													Description
	Cu ppm	Zn ppm	Pb ppm	Ni ppm	Co ppm	Sn ppm	As ppm	Mo ppm	Ba ppm	Mn %	Fe %	Au g/t	Ag g/t	
1	10	75	56	27	19	7	3	1	32	0,44	3,1	0,01	0,8	matériel de veine dans shale vert
2	20	35	11	38	38	1	2	12	255	0,03	5,6	0,01	0,6	" " "
3	8	123	51	16	9	5	2	6	60	0,05	2,1	0,01	0,3	shale vert fracturé
4A	21	31	10	19	12	7	12	21	382	0,01	2,8	---	0,5	shale noir oxydé en Fe
4B	9	82	9	24	12	13	6	24	407	0,07	1,9	0,01	0,6	shale noir oxydé en Fe
5	22	89	13	42	28	9	3	22	710	0,08	3,1	---	0,4	shale rouge
6	18	91	18	28	30	9	7	12	898	0,28	4,6	---	0,6	shale noir avec oxydation de Fe

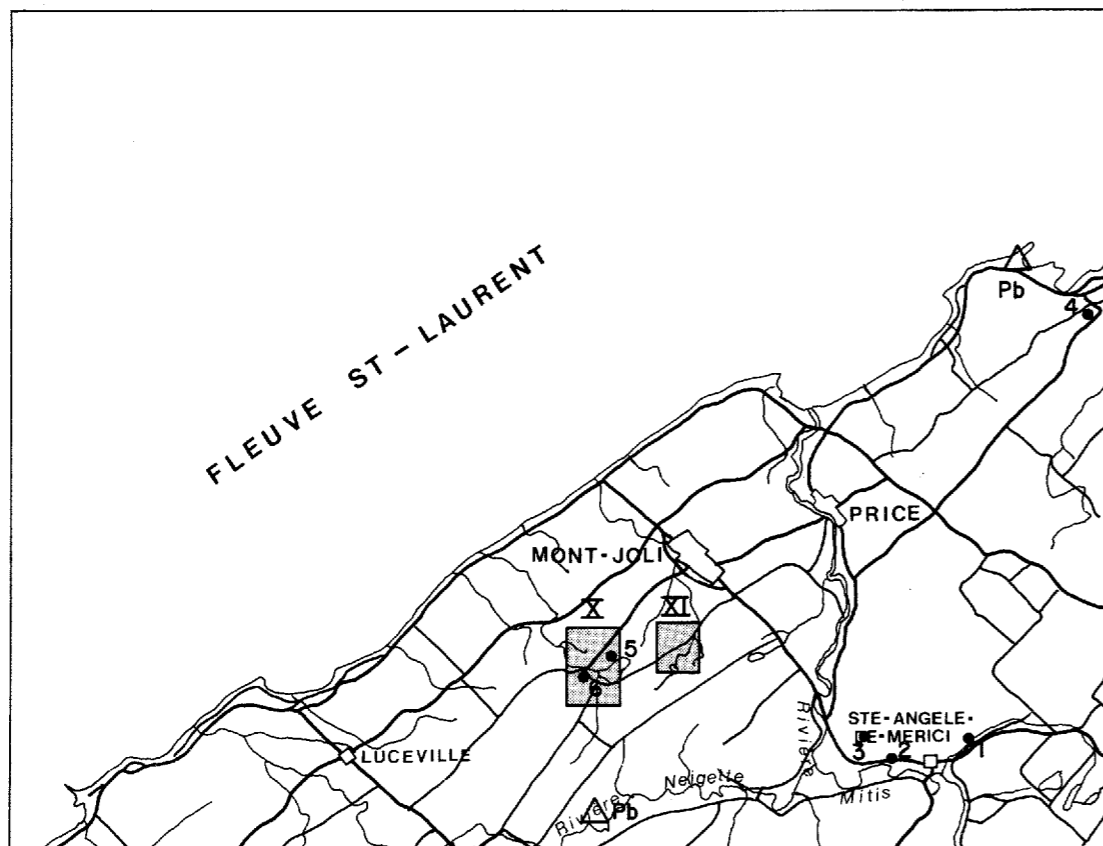


FIGURE A-6 - Zones prioritaires X et XI, sites d'échantillonnage des roches et localisation des indices minéralisés. Feuillet 22 C/9.

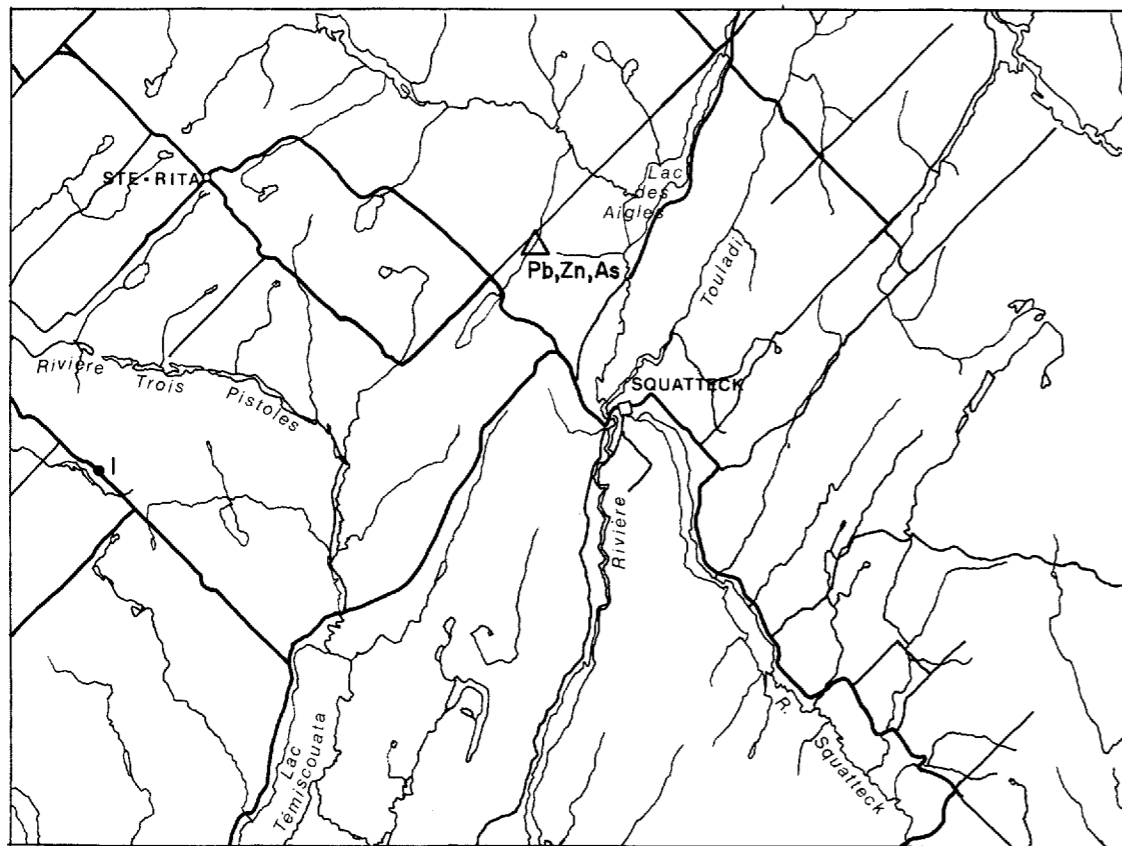


FIGURE A-7 - Sites d'échantillonnage des roches et localisation des indices minéralisés. Feuille 21 N/15.

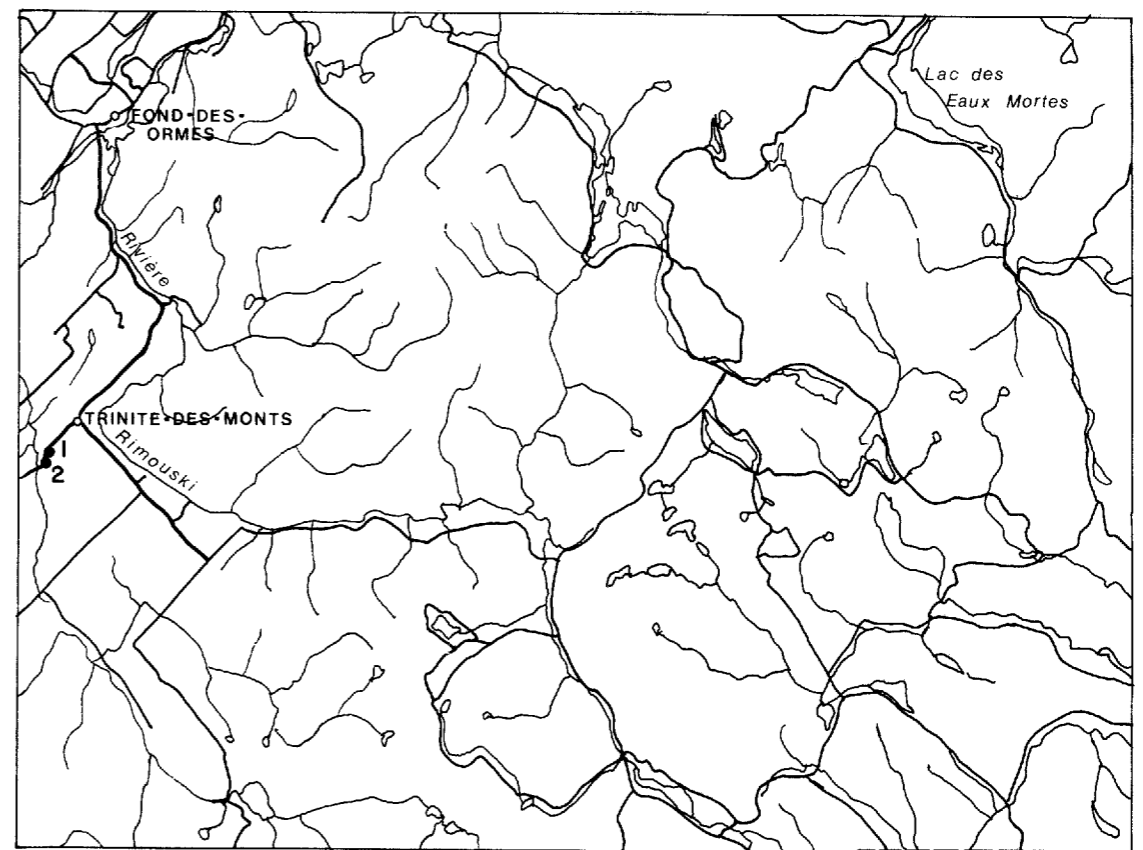


FIGURE A-8 - Sites d'échantillonnage des roches. Feuille 22 C/11.

TABLEAU A-7 - Résultats des analyses des échantillons de roches - Feuille 21 N/15.

NUMÉRO*	ÉLÉMENT													REMARQUES
	Cu ppm	Zn ppm	Pb ppm	Ni ppm	Co ppm	Sn ppm	As ppm	Mo ppm	Ba ppm	Mn %	Fe %	Au g/t	Ag g/t	
1A	30	68	4	23	6	8	5	3	210	0,05	2,5	0,13	0,07	shale vert avec pyrite
1B	23	65	4	15	5	8	5	6	180	0,04	2,3	0,07	0,07	shale vert avec oxydation de fer
1C	33	80	17	20	6	8	7	7	590	0,02	3,4	0,07	0,07	shale vert avec dissolution calcaire

\* Voir localisation sur figure A-7.

TABLEAU A-8 - Résultats des analyses des échantillons de roches - Feuille 22 C/11.

NUMÉRO*	ÉLÉMENT													REMARQUES
	Cu ppm	Zn ppm	Pb ppm	Ni ppm	Co ppm	Sn ppm	As ppm	Mo ppm	Ba ppm	Mn %	Fe %	Au g/t	Ag g/t	
1	30	95	19	33	18	13	6	3	320	0,05	4,1	0,07	0,07	shale noir avec pyrite
2A	33	110	5	48	13	10	4	3	170	0,05	4,3	0,07	0,07	shale noir avec pyrite
2B	38	83	8	35	11	9	3	3	280	0,06	3,7	0,07	0,07	shale noir avec pyrite

\* Voir localisation sur figure A-8.



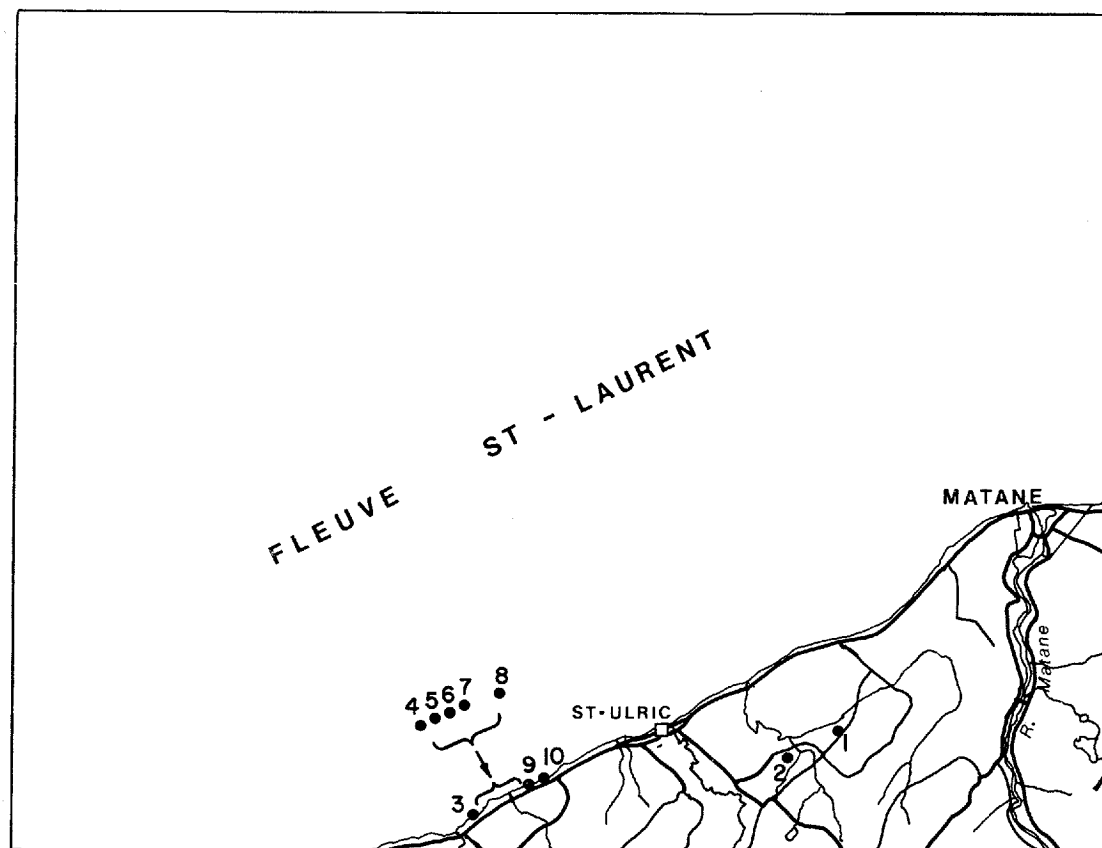


FIGURE A-9 - Sites d'échantillonnage des roches. Feuille 22 B/13.

TABLEAU A-9 - Résultats des analyses des échantillons de roches - Feuille 22 B/13.

NUMÉRO	ÉLÉMENT													REMARQUES
	Cu ppm	Zn ppm	Pb ppm	Ni ppm	Co ppm	Sn ppm	As ppm	Mo ppm	Ba ppm	Mn %	Fe %	Au g/t	Ag g/t	
1	30	128	22	35	34	14	8	13	534	0,05	5,2	0,01	0,60	shale noir
2	17	108	44	41	34	2	4	3	11	0,05	3,8	0,04	1,20	grès gris
3A	21	58	42	29	37	11	1	13	92	0,50	3,4	0,01	1,00	shale vert avec pyrite
3B	50	93	16	55	18	5	5	3	400	0,06	4,0	0,07	0,07	shale gris verdâtre
4	50	83	10	60	19	5	7	3	440	0,12	4,1	0,13	0,07	shale noir
5	58	85	49	38	23	5	0	3	550	0,05	2,8	0,07	0,07	shale noir
6	58	98	7	40	14	5	5	3	300	0,28	4,4	0,07	0,07	siltstone avec pyrite veine de quartz dans shale
7	110	68	44	20	7	5	0	3	250	0,16	2,0	0,07	0,07	shale
8	48	93	31	33	17	5	7	3	400	0,06	3,3	0,07	0,07	shale noir avec pyrite
9A	45	90	5	38	12	38	0	3	330	0,03	3,9	0,07	0,07	shale noir
9B	7	42	8	27	25	10	2	9	1 728	0,08	2,1	0,01	0,40	shale mauve
9C	139	62	2	39	40	6	1	10	293	0,02	2,4	0,01	0,50	shale vert
9D	3	52	7	38	25	16	2	12	872	0,02	3,1	0,01	0,40	shale rouge
9E	3 810	78	9	36	31	9	1	7	321	0,10	2,9	0,01	1,40	shale noir
10	50	140	13	45	14	39	11	3	470	0,04	3,5	0,07	0,07	shale noir

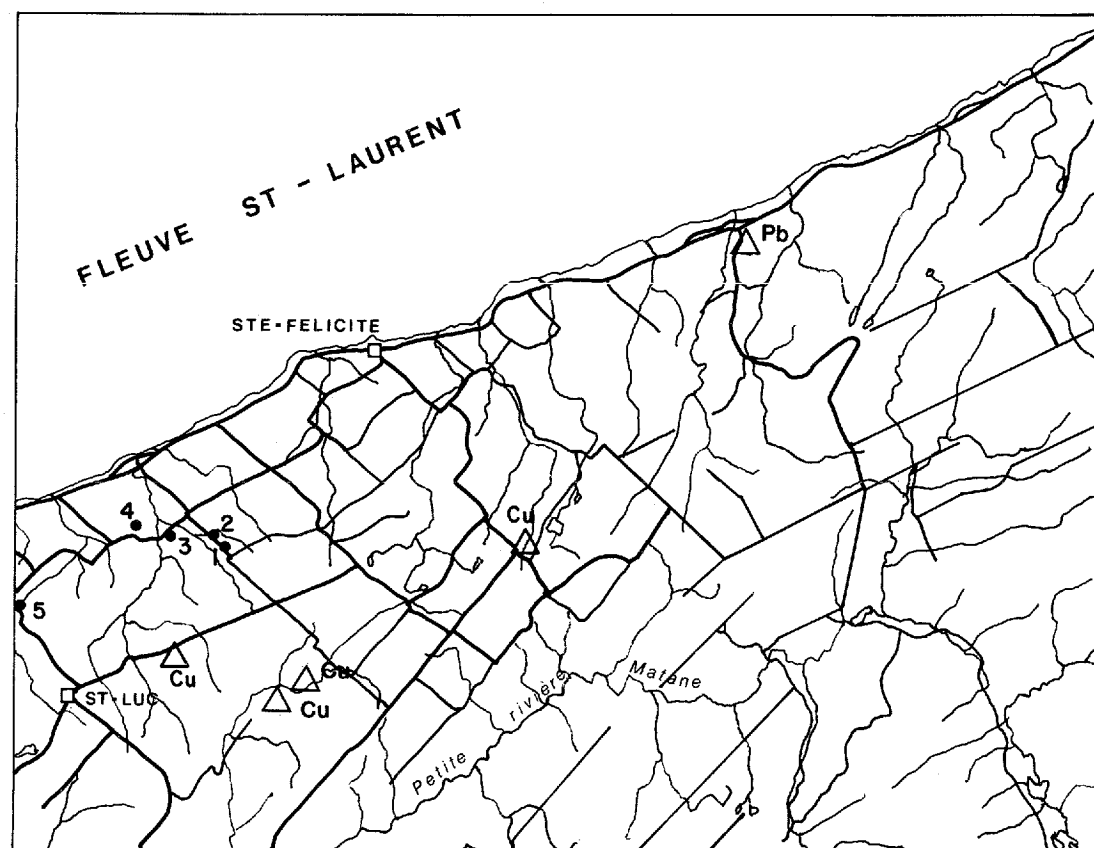


FIGURE A-10 - Sites d'échantillonnage des roches et localisation des indices minéralisés. Feuille 22 B/14.

TABLEAU A-10 - Résultats des analyses des échantillons de roches - Feuille 22 B/14.

NUMÉRO	ÉLÉMENT													REMARQUES
	Cu ppm	Zn ppm	Pb ppm	Ni ppm	Co ppm	Sn ppm	As ppm	Mo ppm	Ba ppm	Mn %	Fe %	Au g/t	Ag g/t	
1	6	4	38	28	36	0	1	2	1 083	0,03	0,8	0,01	2,8	calcaire friable
2	24	87	12	26	23	10	5	7	441	0,02	3,5	0,01	0,6	shale silteux
3A	32	21	17	37	19	10	13	5	848	0,01	5,9	0,03	1,0	shale noir avec pyrite
3B	6	17	1	13	5	18	1	6	41	0,05	1,4	0,02	0,1	grès oxydation Fe-Mn
4A	55	41	22	37	35	9	20	91	944	0,01	12,8	0,01	1,2	schiste oxydation Fe
4B	34	41	29	10	9	20	4	24	1 191	0,02	3,2	0,03	0,5	schiste oxydation Fe
5	30	112	328	35	67	9	10	42	1 236	0,15	8,1	0,01	0,5	schiste altération Fe-Mn



ANNEXE B

RÉÉCHANTILLONNAGE DES EAUX SOUTERRAINES DE  
QUATRE SOUS-RÉGIONS

SOUS-RÉGION 1 (carte 22 C/8)

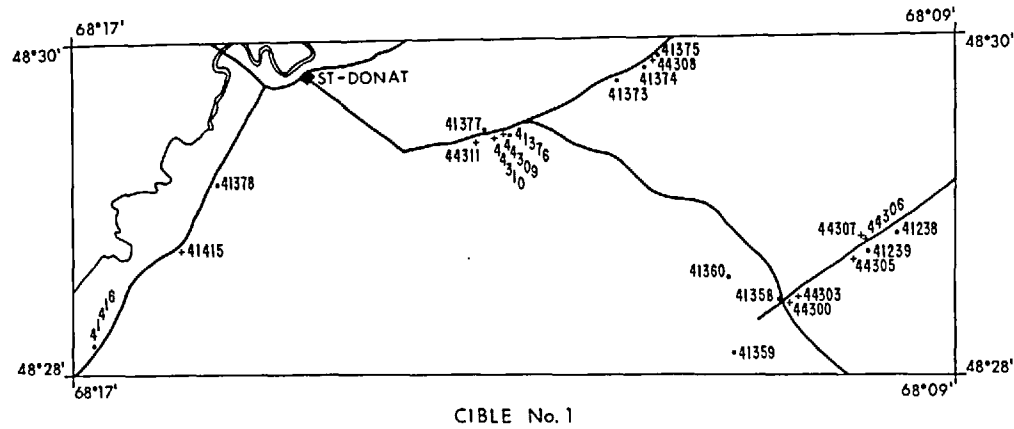


FIGURE B-1 - Sites du premier (.) et du second (+) échantillonnage. Sous-région 1.

TABLEAU B-1 - Identification des sites d'échantillonnage de la sous-région 1.

N° de site	Nom	Adresse
44300	Parent, Robert	Rang des Sept-Lacs
44303	Lévesque, Adrien	" "
44305	Ouellet, Marcel	" "
44306	Hallé, Antonio	" "
44307	Hallé, Antonio	" "
44308	Turcotte, Jacques	7 <sup>e</sup> rang est
44309	Hallé, Germain	R.R. 1, St-Donat
44310	Hallé, Anthime	" "
44311	Hallé, Jean-Paul	" "

TABLEAU B-2 - Résultats d'analyse des échantillons de la sous-région 1.

Echan- tillon*	Cu (PPB)	Zn (PPB)	Pb (PPB)	Ni (PPB)	Co (PPB)	Cd (DPB)	Mn (PPB)	Fe (DPM)	Mo (PPB)	As (PPB)	U (DPB)	F (CPM)	Cl (PPM)	Na (DPM)	K (DPM)	Ca (DPM)	Mg (DPM)	Li (DPB)
44300	50	34	1	1	1	1	10	1	1	2	2	7	62	570	90	1025	207	520
44303	10	318	1	1	1	1	375	2	1	4	2	4	53	173	12	1250	192	453
44305	35	28	1	1	1	1	50	1	1	2	2	6	22	93	17	575	47	152
44306	30	510	1	1	1	1	30	1	1	2	5	8	8	82	14	700	144	253
44307	17	1200	1	1	1	1	50	1	1	2	21	7	12	106	22	750	187	314
44308	45	258	1	1	1	1	30	2	1	2	2	5	7	49	10	450	59	128
44309	35	1920	1	1	1	1	50	3	1	2	2	4	3	60	5	335	68	120
44310	30	72	1	1	1	1	35	1	1	2	2	4	16	58	9	280	73	94
44311	22	48	1	1	1	1	10	1	1	2	2	4	2	73	5	425	75	124

\* Voir figure B-1 pour localisation.

SOUS-RÉGION 2 (carte 22 C/7)

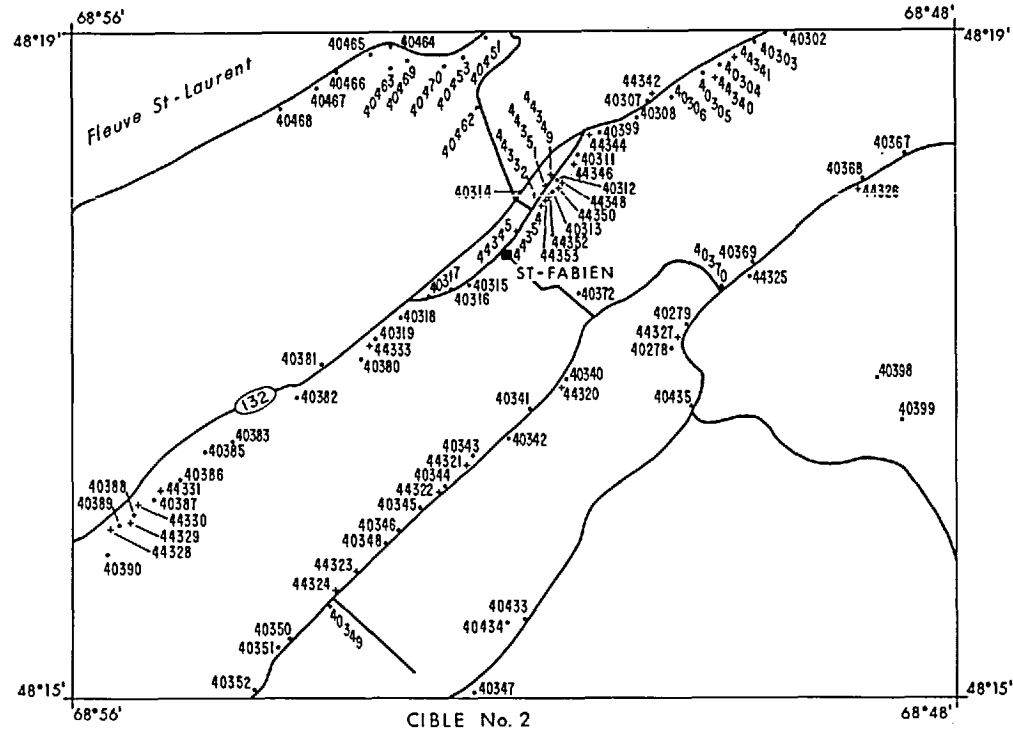


TABLEAU B-3 - Identification des sites d'échantillonnage de la sous-région 2.

N° de site	Nom	Adresse	N° de site	Nom	Adresse
44320	Roy, Isidore	2e rang ouest, St-Fabien	44340	Bou langer, Rosaire	St-Fabien
44321	Brillant, Normand	"	44341	Gagnon, J. Charles	"
44322	Rioux, Antonio	"	44342	Michaud, Benoit	"
44323	Thibeault, Irène	"	44344	Coulombe, Aimé	1er rang est, St-Fabien
44324	Clourier, Laurent	"	44345	Coulombe, Richard	122, 1ère rue, St-Fabien
44325	Belzile, Gabriel	"	44346	Bou langer, Maurice	1er rang est, St-Fabien
44326	Pigeon, Mme Léo	"	44348	Bou langer, Raymon	"
44327	Roy, Yvon	"	44349	Viel, Gilbert	St-Fabien
44328	Gagnon, André	St-Fabien	44350	Jean, Xavier	1er rang est, St-Fabien
44329	Bélanger, Nap.	"	44351	Roy, Paul	St-Fabien
44330	Coulombe, André	"	44352	Boucher, Lucien	"
44331	Coulombe, Roger	"	44353	Coulombe, Hyacinthe	1ère rue est, St-Fabien
44332	Bou langer, Benoit	"	44354	Bélanger, Marcel	St-Fabien
44333	Roy, N.Y.	"			

← FIGURE B-2 - Sites d'échantillonnage de la sous-région 2.

TABLEAU B-4 - Résultats d'analyse des échantillons de la sous-région 2.

Echan- tillon*	Cu (PPB)	Zn (PPB)	Pb (PPB)	Ni (PPB)	Co (PPB)	Cd (DPB)	Mn (PPB)	Fe (DPM)	Mo (PPB)	As (PPB)	U (DPB)	F (CPM)	Cl (PPM)	Na (DPM)	K (DPM)	Ca (DPM)	Mg (DPM)	Li (DPB)
44320	16	24	1	1	1	1	10	1	1	2	5	13	56	188	36	525	132	210
44321	35	22	1	1	1	1	15	2	1	2	3	9	10	165	47	725	68	298
44322	15	580	1	1	1	1	10	1	1	2	6	13	24	211	27	775	75	296
44323	7	780	1	1	1	1	10	1	1	2	3	9	9	82	18	410	76	143
44324	60	244	1	1	1	1	50	1	1	2	4	7	9	115	22	525	72	188
44325	30	32	1	1	1	1	10	2	1	2	2	32	8	375	23	410	46	236
44326	20	68	1	1	1	1	25	1	1	2	4	6	19	147	44	320	77	167
44327	70	20	1	1	1	1	135	1	1	2	2	9	26	148	34	800	123	252
44328	13	24	1	1	1	1	20	2	1	2	6	14	9	104	13	500	67	218
44329	14	30	1	1	1	1	20	1	1	2	7	9	12	42	13	525	67	175
44330	140	4	1	1	1	1	35	1	1	2	4	14	9	94	18	475	71	196
44331	40	24	1	1	1	1	10	1	1	2	2	19	10	136	21	335	74	198
44332	6	36	1	1	1	1	35	3	1	2	2	17	11	78	18	575	79	176
44333	9	20	1	1	1	1	30	1	1	2	4	16	45	235	31	650	104	300
44340	75	20	1	1	1	1	10	1	1	2	7	15	8	150	29	525	72	200
44341	30	4	1	1	1	1	75	1	1	2	4	38	16	500	65	525	94	304
44342	7	4	1	1	1	1	90	15	1	2	2	114	19	1065	55	320	112	442
44344	10	28	1	1	1	1	10	1	1	2	4	13	9	72	13	475	69	154
44345	8	120	6	7	2	1	1600	65	1	2	6	4	193	675	70	1200	129	255
44346	8	362	1	1	1	1	30	2	1	2	14	11	5	65	15	575	75	170
44348	12	80	1	1	1	1	15	6	1	2	7	14	4	65	15	500	72	165
44349	25	74	1	1	1	1	10	6	1	2	8	13	4	59	13	525	72	166
44350	25	32	1	1	1	1	40	4	1	2	9	15	5	75	30	525	77	167
44351	9	540	1	1	1	1	20	8	1	2	4	20	4	81	22	525	79	174
44352	14	176	1	1	1	1	45	4	1	2	2	23	5	108	24	550	80	178
44353	18	10	1	1	1	1	10	1	1	2	2	21	5	880	18	50	8	85
44354	11	6	1	1	1	1	50	1	1	2	3	20	5	134	30	550	84	190

\* Voir figure B-2 pour localisation

SOUS-RÉGION 3 (carte 22 B/12)

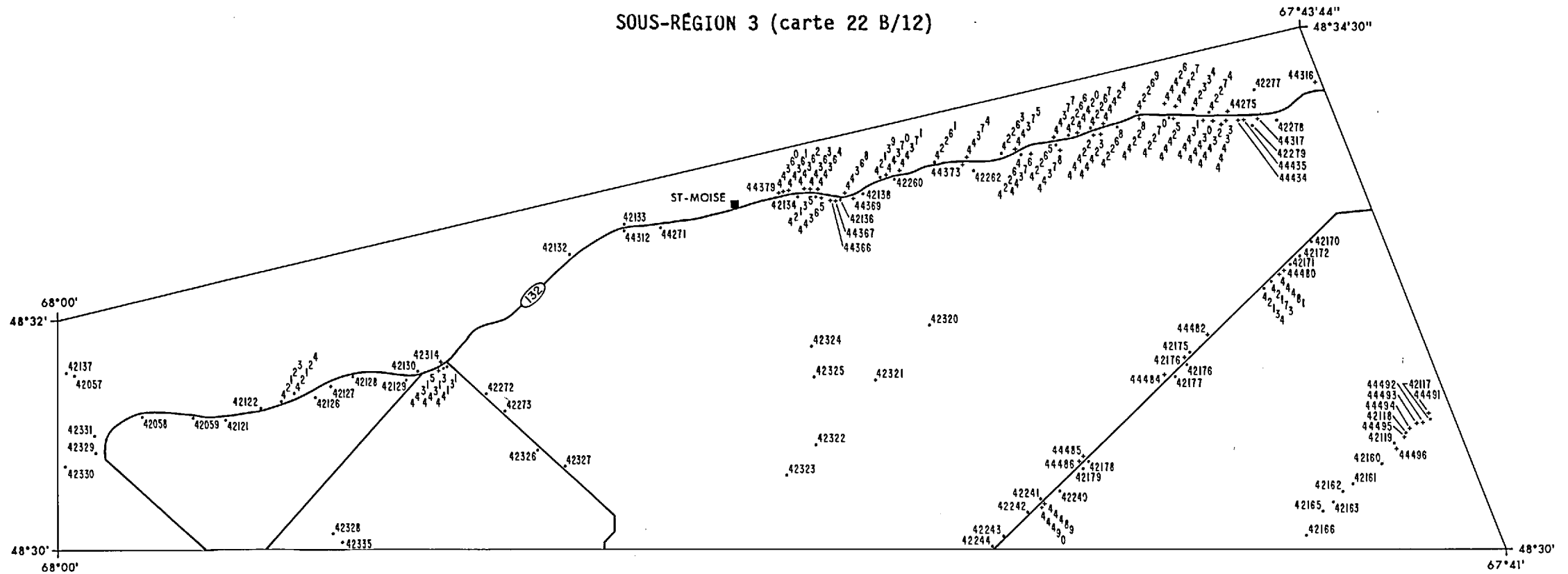


FIGURE B-3 - Sites d'échantillonnage de la sous-région 3.

TABLEAU B-5 - Identification des sites d'échantillonnage de la sous-région 3.

N° de site	Nom	Adresse	N° de site	Nom	Adresse	N° de site	Nom	Adresse
44313	Paradis, Raymond	Rte 132, St-Moïse	44374	St-Amand, Yvon	St-Moïse	44434	Gaudreault, Joseph	Sayabec
44314	Laure, Alcide	" "	44375	Gagné, Gilles	"	44435	Gaudreault, Georges	"
44315	Ouellet, Maurice	" "	44376	Thibeault, Maurice	"	44480	Gagné, Philippe	3e rang, Sayabec
44316	Bouchard, Hermas	Rte 132, Sayabec	44377	Sirois, Rodrigue	"	44481	Gagné, Marius	" "
44317	Morin, Edmond	R.R. 1, Sayabec	44378	Bouchard, Antonio	"	44482	Boulay, David	2e rang, Sayabec
44360	Gagnon, Roland	St-Moïse	44379	Morissette, René	"	44483	Lizotte, Armand	" "
44361	Gagné, Mme J.P.	"	44420	Bellavance, Irénée	"	44484	Lévesque, Alyre	" "
44362	Boucher, J.B.	"	44422	Saucier, François	"	44485	Lizotte, Léopold	3e rang, Sayabec
44363	Gendron, L.	"	44423	Lévesque, François	"	44486	Leclerc, Arthur	" "
44364	Harvey, Léonard	"	44424	Bouchard, Ernest	"	44489	Sirois, Evariste	" "
44365	Lavoie, A.A.	"	44425	Dumas, F.	Sayabec	44490	Sirois, Jocelyn	" "
44366	Thibault, Pierre	"	44426	Bouchard, François	"	44491	Morin, Raymond	R.R.3, St-Cléophas
44367	Thibeault, Roland	"	44427	Otis, Adhémard	"	44492	Poirier, Emile	" "
44368	Jean, Odilon	"	44428	Lévesque, Ernest	"	44493	Poirier, Edmond	" "
44369	Jean, Robert	"	44430	Caron, Hector	"	44494	Jean, Claude	" "
44370	Thibeault, Alphonse	"	44431	Vaillancourt, N.	"	44495	Morin, Mme Nellie	" "
44371	Doiron, Gérald	"	44431	Gagné, A.A.	"	44496	Pouliot, Serge	" "
44373	Marin, Joseph	"	44433	Gaudreault, J.P.	"			

TABLEAU B-6 - Résultats d'analyse des échantillons de la sous-région 3.

Echan- tillon*	Cu (PPB)	Zn (PPB)	Pb (PPB)	Ni (PPB)	Co (PPB)	Cd (DPB)	Mn (PPB)	Fe (DPM)	Mo (PPB)	As (PPB)	U (DPB)	F (CPM)	Cl (PPM)	Na (DPM)	K (DPM)	Ca (DPM)	Mg (DPM)	Li (DPB)
44312	6	16	1	1	1	1	50	2	1	2	2	4	6	18	27	475	103	488
44313	12	334	4	1	1	1	120	4	1	2	27	6	239	1150	20	1650	175	416
44314	15	48	1	1	1	1	85	5	1	2	24	4	9	60	29	850	77	210
44315	50	164	1	1	1	1	50	1	1	2	7	5	86	291	19	900	89	236
44316	13	36	1	1	1	1	40	3	1	2	6	9	10	158	17	600	159	236
44317	10	130	1	1	1	1	15	1	1	2	5	4	112	760	61	1550	141	297
44360	55	56	1	1	1	1	90	1	1	2	3	4	85	234	9	1650	117	360
44361	20	90	1	1	1	1	10	2	1	2	3	4	47	170	8	1150	81	276
44362	22	82	1	1	1	1	10	1	1	2	3	4	20	83	12	775	51	169
44363	35	150	1	1	1	1	10	1	1	2	2	4	3	26	5	650	59	165
44364	8	180	1	1	1	1	10	1	1	2	4	4	108	580	8	1100	101	275
44365	23	310	1	1	1	1	10	1	1	2	4	4	4	44	4	725	78	188
44366	55	296	1	1	1	1	15	1	1	2	6	4	22	66	101	1150	90	246
44367	180	356	1	1	1	1	25	1	1	2	5	4	7	41	5	850	86	196
44368	6	96	1	1	1	1	10	1	1	2	5	4	74	172	9	950	222	315
44369	30	200	1	1	1	1	65	1	1	2	5	4	28	104	109	1200	96	277
44370	20	228	1	1	1	1	10	1	1	2	3	4	59	165	6	1000	77	252
44371	9	280	1	1	1	1	10	1	1	2	90	4	149	120	17	1400	214	785
44373	20	34	1	1	1	1	25	1	1	2	8	4	45	245	12	1300	188	338
44374	16	190	1	1	1	1	15	1	1	2	5	5	49	169	8	1025	248	364
44375	4	134	1	1	1	1	105	1	1	2	6	4	5	27	6	850	150	228
44376	13	164	1	1	1	1	10	1	1	2	6	4	8	136	55	825	54	170
44377	75	900	1	1	1	1	15	1	1	2	4	4	6	48	101	875	48	203
44378	23	40	1	1	1	1	100	1	1	2	2	4	6	19	6	575	47	120
44379	12	3140	1	1	4	1	4550	72	1	2	3	4	445	1830	8	2400	95	485
44420	50	12	1	1	1	1	10	1	1	5	3	30	7	423	9	525	59	261
44422	11	54	1	1	1	1	65	2	1	2	10	8	219	1300	28	1600	158	416
44423	9	404	1	1	1	1	10	1	1	2	3	6	84	292	11	1200	234	290
44424	35	34	1	1	1	9	15	2	1	2	9	4	590	2520	66	2350	174	534
44425	7	170	1	1	1	1	125	18	1	2	5	86	242	2020	13	825	97	373
44426	9	4	1	1	1	1	10	1	1	2	4	4	52	35	4	725	36	140
44427	15	110	1	1	1	1	10	1	1	2	3	4	8	29	5	410	28	95
44428	25	200	1	1	1	1	95	3	1	2	12	11	149	395	13	1025	188	435
44430	16	116	1	1	1	1	20	1	1	2	2	4	85	302	16	1300	99	265
44431	35	208	1	1	1	1	20	1	1	2	3	4	122	465	40	1450	118	278
44432	40	730	1	1	1	1	10	1	1	2	2	4	74	306	18	1300	100	252
44433	18	620	1	1	1	1	10	1	1	2	6	4	227	780	25	1300	206	287
44434	30	52	1	1	1	1	10	1	1	2	3	9	157	530	14	975	239	395
44435	22	1300	1	1	1	1	10	2	1	2	4	4	211	595	10	1550	140	290
44480	95	374	1	7	1	1	10	5	1	2	2	4	15	82	31	1000	128	193
44481	45	260	1	1	1	1	10	1	1	2	4	4	9	46	29	950	153	230
44482	15	860	1	1	1	1	10	1	1	2	2	5	2	18	22	675	151	234
44483	19	30	1	1	1	1	10	1	1	2	4	6	2	25	11	700	179	204
44484	22	200	1	1	1	1	10	1	1	2	10	5	28	87	27	825	242	257
44485	25	44	1	1	1	1	10	1	1	2	8	12	10	126	33	775	177	406
44486	35	176	1	1	1	1	10	1	1	2	7	9	16	127	82	1000	183	314
44489	12	200	1	1	1	1	110	3	1	2	10	4	8	35	22	700	122	142
44490	12	120	1	1	1	1	40	1	1	2	2	4	1	16	6	700	96	132
44491	35	30	1	1	1	1	10	2	1	2	2	4	36	142	12	900	89	178
44492	30	56	1	1	1	1	10	1	1	2	4	4	24	95	16	975	91	187
44493	25	140	1	1	1	1	10	1	1	2	2	4	21	87	14	825	95	180
44494	150	40	1	1	1	1	30	2	1	2	10	4	16	64	11	1300	169	280
44495	40	86	1	1	1	1	10	1	1	2	3	4	13	54	7	750	98	171
44496	15	160	1	1	1	1	10	1	1	2	3	4	4	40	16	550	117	317

\* Voir figure B-3 pour localisation.

SOUS-RÉGION 4 (carte 22 C/7)

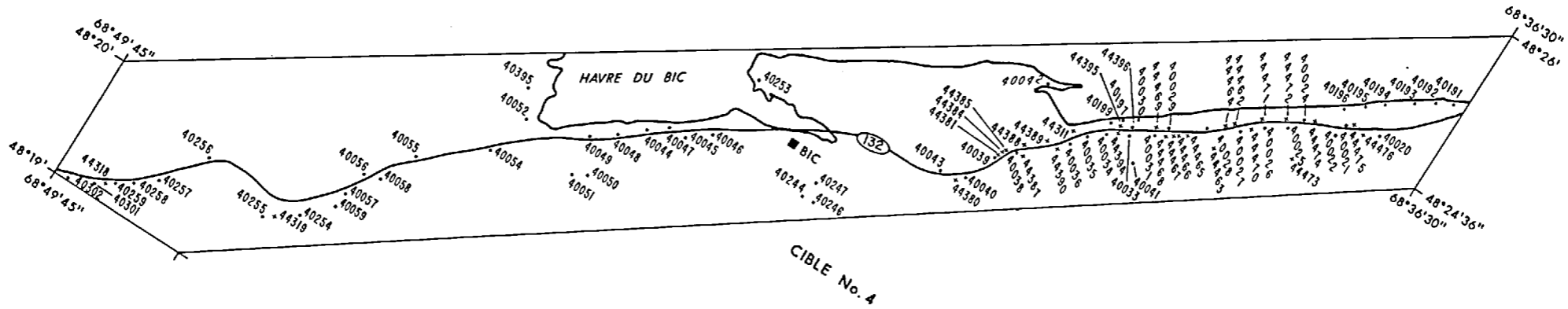


FIGURE B-4 - Sites d'échantillonnage de la sous-région 4.

TABLEAU B-7 - Identification des sites d'échantillonnage de la sous-région 4.

N° de site	Nom	Adresse	N° de site	Nom	Adresse
44318	Belzile, Léopold	1er rang est, St-Fabien	44392	Garon, Gilbert	Rte 132, Riv. Hatée
44319	Coté, Maurice	"	44393	Bérubé, Paul-Emile	"
44380	Marquis, Charles	Rte 132, Bic	44394	Brillant, Oscar	"
44381	Ouellet, Yvon	"	44395	Marquis, Jean-Paul	B.P. 1050, Riv. Hatée
44384	Roussel, Jean-Marie	"	44396	Rioux, Paul-Emile	Rivière Hatée
44385	Gagnon, Xavier	Rte 132, Riv. Hatée	44463	Dassylva, Pierre	B.P. 3008, Riv. Hatée
44386	Gendreau, Jean-Paul	Rte 132, B.P. 1025, Riv. Hatée	44463	Parent, Pierre	Rivière Hatée, Bic
44387	Brillant, Gilles	Rte 132, B.P. 2027, Riv. Hatée	44464	Rioux, Fernand	"
44388	Gagnon, Adéodat	Rte 132, Riv. Hatée	44465	St-Pierre, Lorenzo	"
44389	Lavoie, Moïse	"	44466	Chenard, Raymond	"
44390	Isabel, Roland	"	44467	Chenard, J.M.	"
44391	Rioux, Germain	R.R.1, B.P. 203, Riv. Hatée	44468	Blais, Gérard	"
			44469	Lavoie, Emilien	"

TABLEAU B-8 - Résultats d'analyse des échantillons de la sous-région 4.

Echan- tillon*	Cu (PPB)	Zn (PPB)	Pb (PPB)	Ni (PPB)	Co (PPB)	Cd (DPB)	Mn (PPB)	Fe (DPM)	Mo (PPB)	As (PPB)	U (DPB)	F (CPM)	Cl (PPM)	Na (DPM)	K (DPM)	Ca (DPM)	Mg (DPM)	Li (DPB)
44318	8	4	1	1	1	1	35	1	1	2	3	25	64	365	44	700	91	338
44319	10	42	1	1	1	1	10	1	1	2	2	19	7	345	38	575	79	295
44380	105	12	1	1	1	1	185	1	1	2	2	14	48	397	65	1075	78	485
44381	35	42	1	1	1	1	25	2	1	2	2	4	99	444	32	550	109	242
44384	35	48	1	1	1	1	75	1	1	2	4	4	106	439	35	675	131	212
44385	45	84	1	1	1	1	3000	4	1	2	2	4	104	414	31	675	151	357
44386	55	12	1	1	1	1	100	1	1	2	2	5	48	213	27	410	120	160
44387	6	30	1	1	1	1	1450	3	1	2	6	5	15	500	27	360	76	323



TABLEAU B-8 (suite)

Echan- tillon*	Cu (PPB)	Zn (PPB)	Pb (PPB)	Ni (PPB)	Co (PPB)	Cd (DPB)	Mn (PPB)	Fe (DPM)	Mo (PPB)	As (PPB)	U (DPB)	F (CPM)	Cl (PPM)	Na (DPM)	K (DPM)	Ca (DPM)	Mg (DPM)	Li (DPB)
44388	50	132	1	1	1	1	25	3	1	2	12	30	63	930	35	155	27	122
44389	4	4	1	1	1	1	10	1	1	2	2	25	100	1680	15	15	3	610
44390	30	12	1	1	1	1	110	1	1	2	4	7	31	268	36	925	67	394
44391	575	90	1	1	1	1	10	1	1	2	2	4	31	178	36	220	29	46
44392	240	140	1	1	1	1	10	1	1	2	10	4	33	69	18	250	33	56
44393	85	880	6	1	1	1	10	1	1	2	2	5	23	96	12	265	30	64
44394	220	92	1	1	1	1	10	1	1	2	3	4	16	80	14	225	23	66
44395	550	760	1	1	1	1	10	1	1	2	2	4	31	144	83	205	22	71
44396	75	24	1	1	1	1	10	1	1	2	2	4	16	94	14	200	25	45
44462	100	18		1	1	1	2450	1	1	2	2	4	204	1275	27	675	180	528
44463	105	22		1	1	1	30	1	1	2	2	6	14	98	12	365	44	92
44464	7	14		1	1	1	200	2	1	2	2	82	306	3020	26	100	29	1200
44465	35	436		1	1	1	10	1	1	2	2	7	18	153	20	325	36	78
44466	300	164		1	1	1	15	1	1	2	2	6	16	120	27	300	34	72
44467	120	214	1	1	1	1	10	1	1	2	2	6	15	119	19	250	30	65
44468	70	620	1	1	1	1	10	2	1	2	2	7	13	111	13	210	28	55
44469	2800	940	12	1	1	1	10	2	1	2	2	5	32	161	17	300	39	78
44470	180	120	1	1	1	1	10	2	1	2	2	5	253	1380	147	875	89	155
44471	220	136	1	1	1	1	25	8	1	2	2	96	54	1230	143	310	67	486
44472	110	660	1	1	1	1	1625	6	1	2	4	9	42	1150	37	550	133	553
44473	55	4	1	1	1	1	10	1	1	2	2	10	19	137	16	165	26	104
44474	24	16	1	1	1	1	10	1	1	2	2	4	80	212	28	500	73	142
44475	21	114	1	1	1	1	80	7	1	2	2	5	380	1835	113	1100	190	275
44476	120	112	1	1	1	1	10	1	1	2	2	5	17	69	16	380	48	116

\* Voir figure B-4 pour localisation.



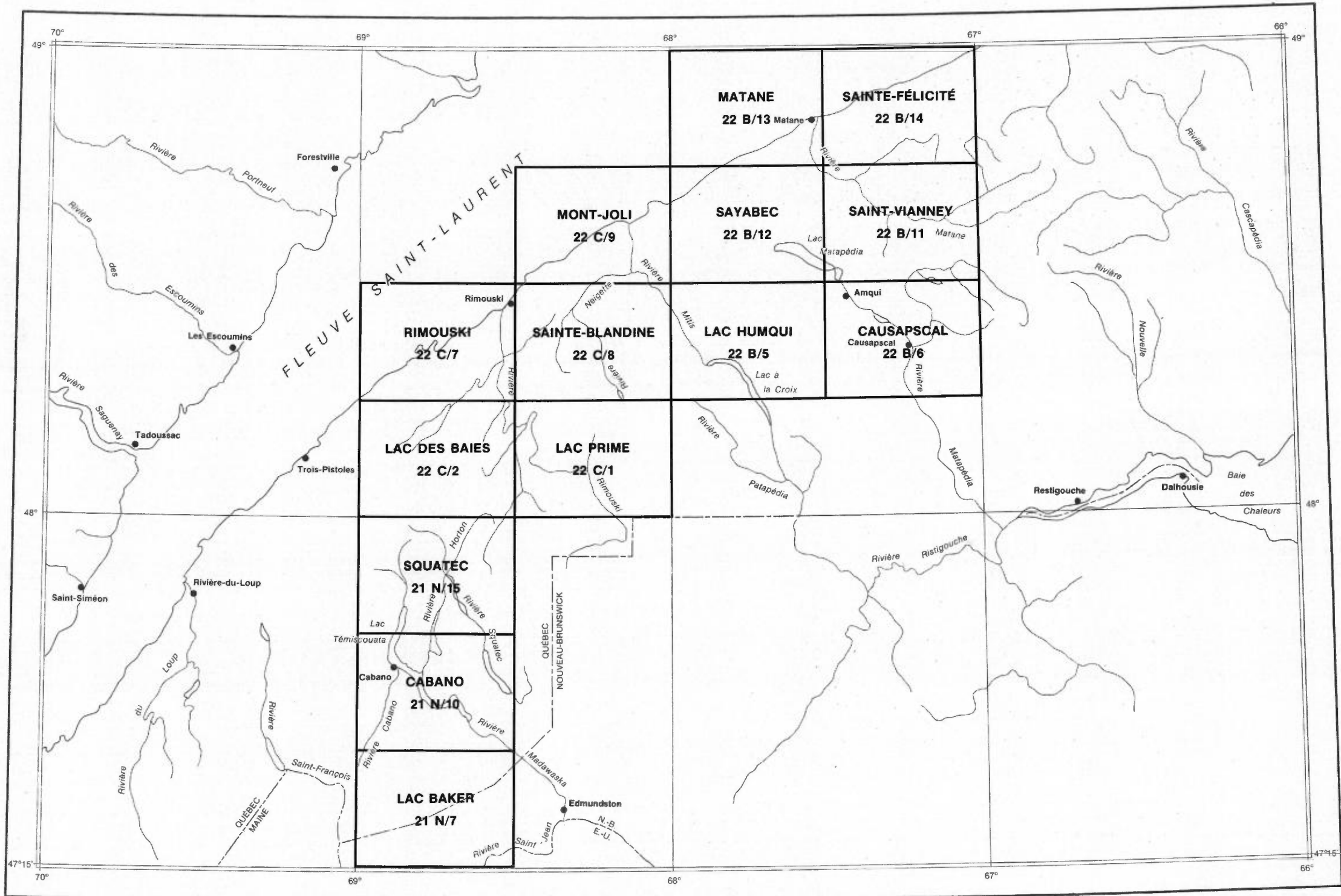
CARTES GÉOCHIMIQUES (1:250 000)

- . Cuivre
- . Zinc
- . Plomb
- . Nickel
- . Cobalt
- . Cadmium
- . Manganèse
- . Fer
- . Molybdène
- . Arsenic
- . Fluor
- . Uranium
- . Chlore
- . Sodium
- . Potassium
- . Calcium
- . Magnésium
- . Lithium
- . pH
- . PROFONDEURS

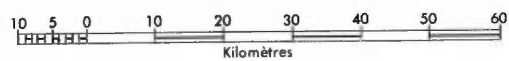
Chacun des paramètres apparaît sur  
14 feuillets, dans l'ordre suivant:

21 N/7	22 B/11	22 C/2
21 N/10	22 B/12	22 C/7
21 N/15	22 B/13	22 C/8
22 B/5	22 B/14	22 C/9
22 B/6	22 C/1	



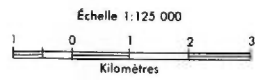


**INDEX DES CARTES GÉOCHIMIQUES  
RÉGION DU BAS SAINT-LAURENT**

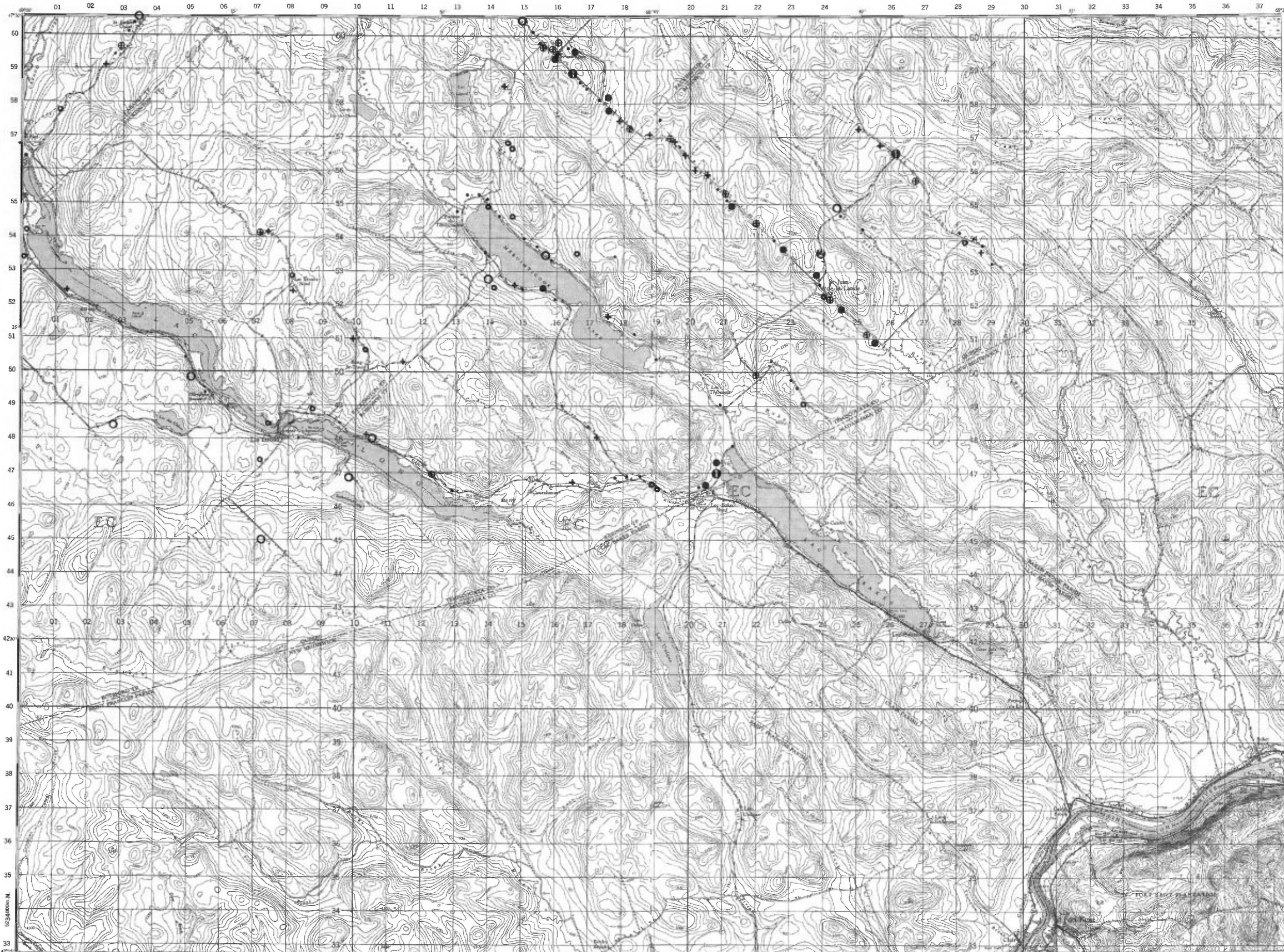


TENEURS (ppb)

- 1 - 8
- 9 - 13
- 14 - 29
- ⊕ 30 - 54
- ⊗ 55 - 89
- 90 - 179
- 180 - 359
- 360 - 719
- 720 - 1439
- 1440 - 2879



Service de la  
GÉOCHIMIE-GÉOPHYSIQUE



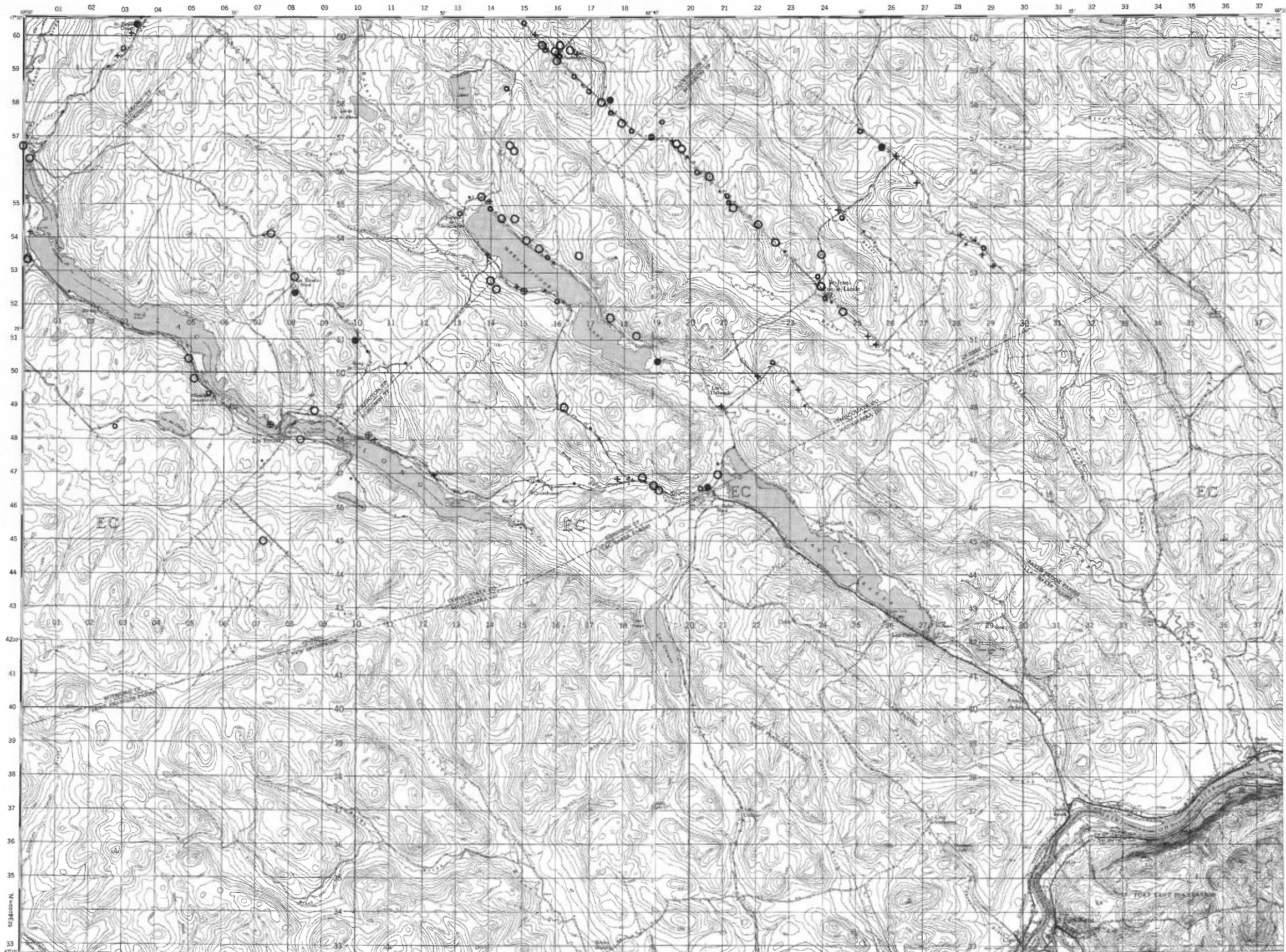
LAC BAKER

TENEURS (ppb)

- 4 - 12
- 14 - 34
- 36 - 144
- + 146 - 338
- ⊕ 340 - 738
- 740 - 1498
- ① 1500 - 2998
- ② 3000 - 5998
- ③ 6000 - 11998
- ④ 12000 - 23998



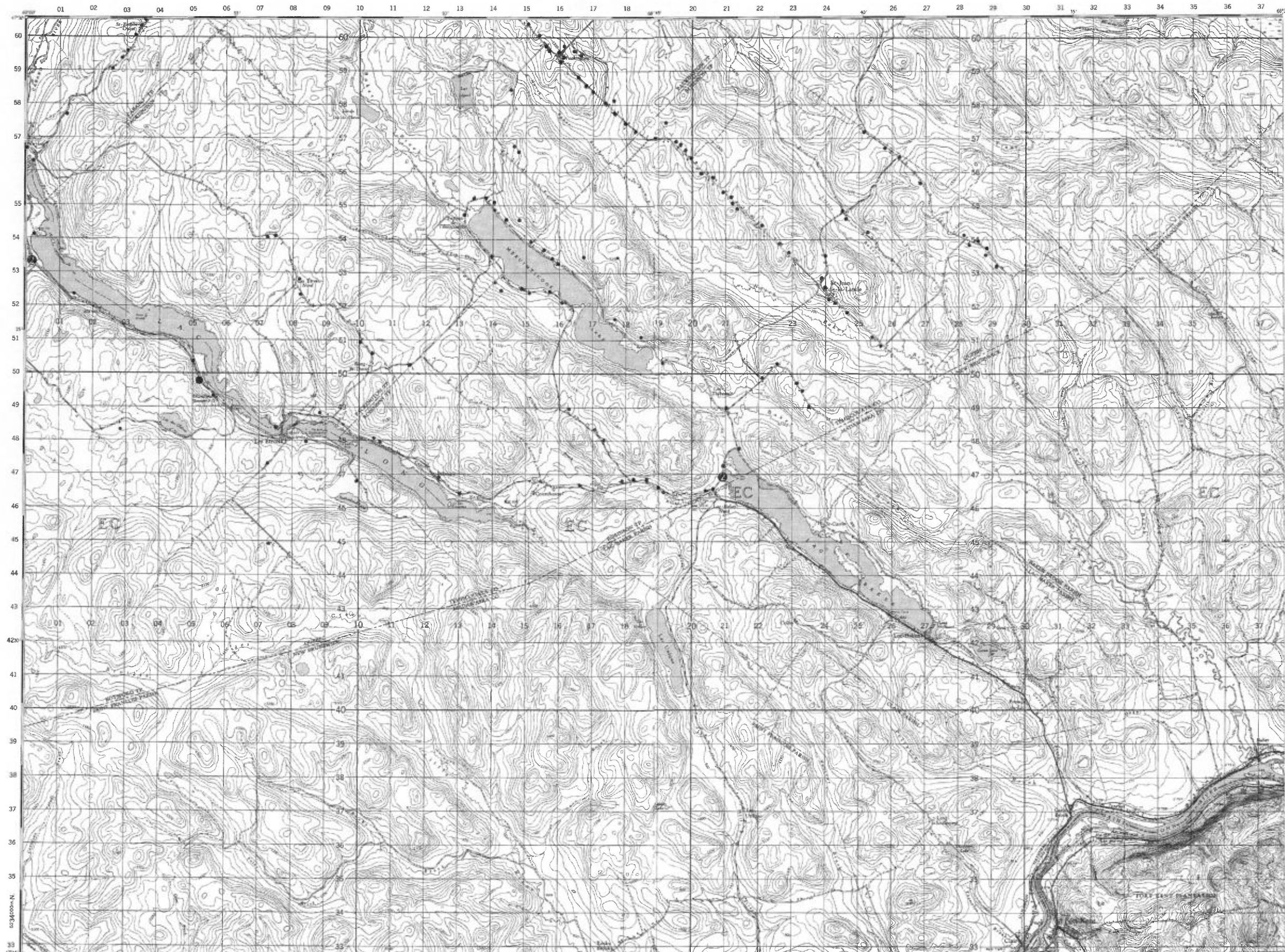
Service de la  
 GÉOCHIMIE-GÉOPHYSIQUE



LAC BAKER

TENEURS (ppb)

- 1
- 2 - 4
- 5 - 9
- 10 - 19
- 20 - 39
- 40 - 79
- 80 - 159
- 160 - 219



Échelle 1:125 000



Service de la  
GÉOCHIMIE-GÉOPHYSIQUE

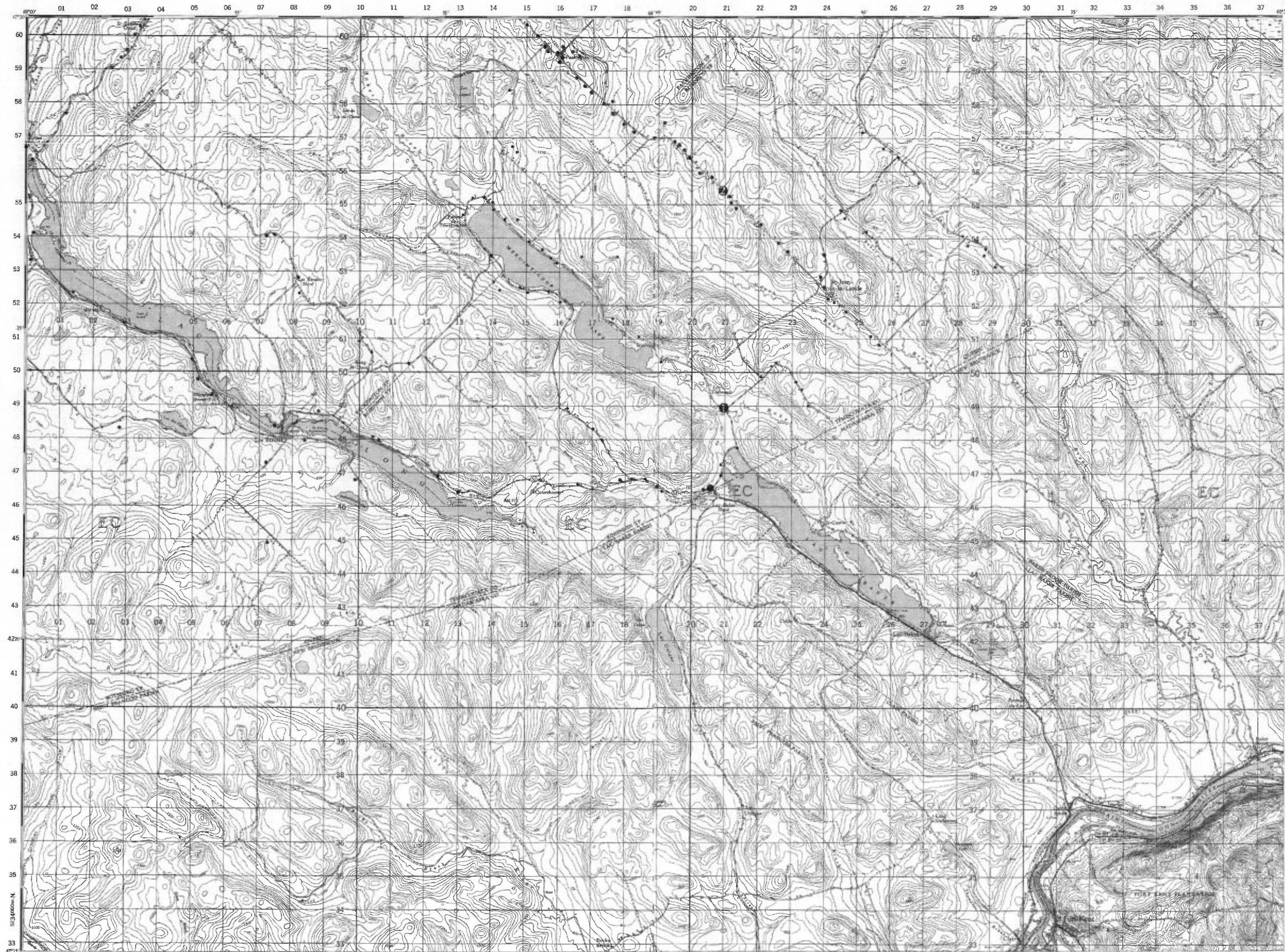


TENEURS (ppb)

- 1
- 2 - 5
- ① 6 - 11
- ② 12 - 24
- ③ 25 - 49
- ④ 50 - 99
- ⑤ 100 - 199
- ⑥ 200 - 399



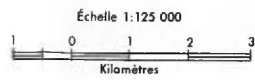
Service de la  
GÉOCHIMIE-GÉOPHYSIQUE



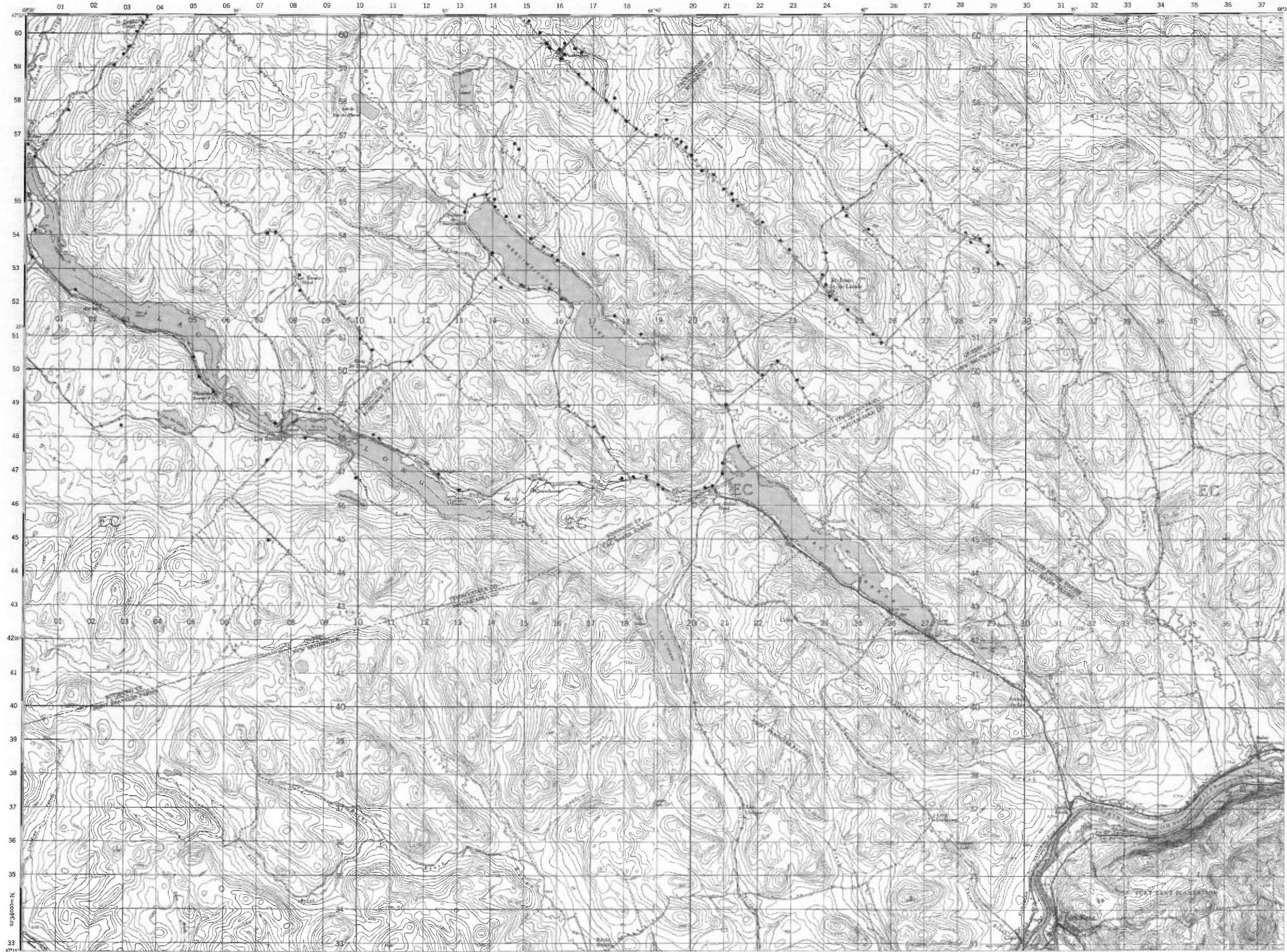
LAC BAKER

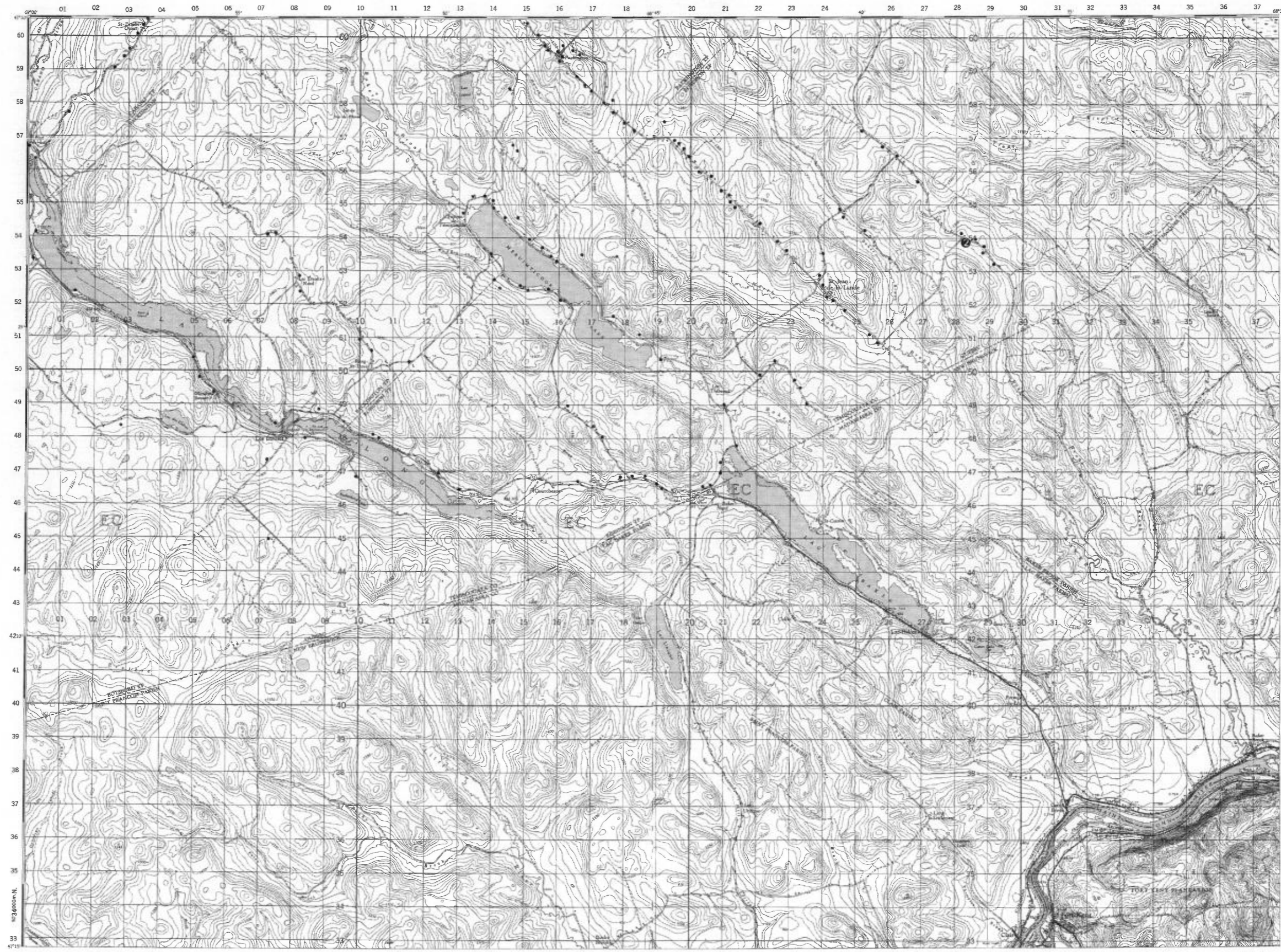
TENEURS (ppb)

- 1
- 2 - 3
- 4 - 7
- 8 - 15
- 16 - 31
- 32 - 63



Service de la  
GÉOCHIMIE-GÉOPHYSIQUE





- TENEURS (ppb)**
- 0,1
  - 0,2
  - ① 0,3 — 0,5
  - ② 0,6 — 1,1
  - ③ 1,2 — 2,3
  - ④ 2,4 — 4,9
  - ⑤ 5,0 — 9,9
  - ⑥ 10,0 — 19,9
  - ⑦ 20,0 — 39,9
  - ⑧ 40,0 — 79,9



Service de la  
GÉOCHIMIE-GÉOPHYSIQUE

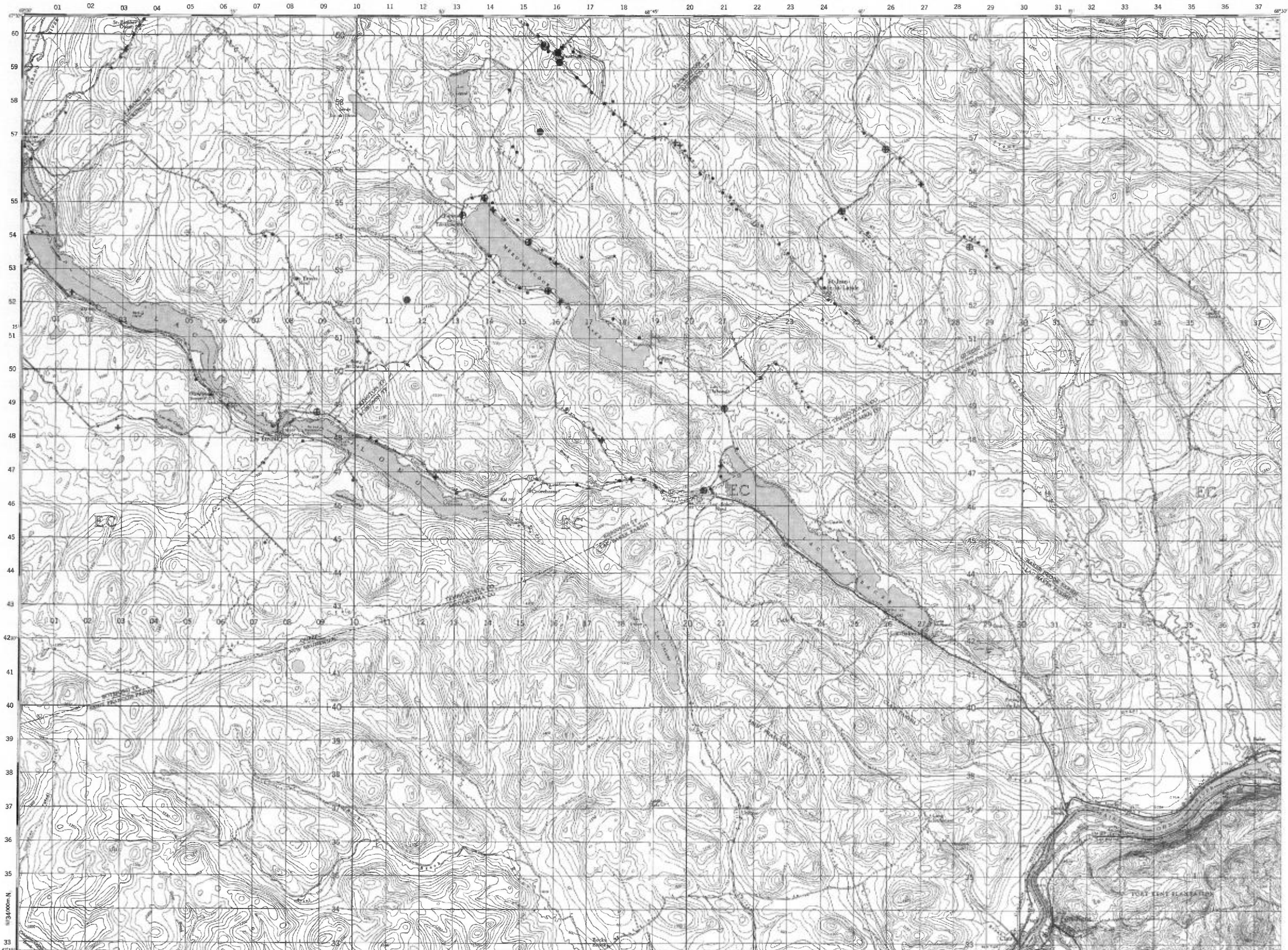
TENEURS (ppb)

- 5 - 10
- + 15 - 50
- ⊕ 55 - 145
- 150 - 455
- ① 460 - 895
- ② 900 - 1795
- ③ 1800 - 3595

Échelle 1:125 000

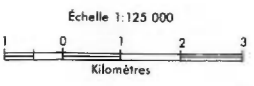


Service de la  
GÉOCHIMIE-GÉOPHYSIQUE

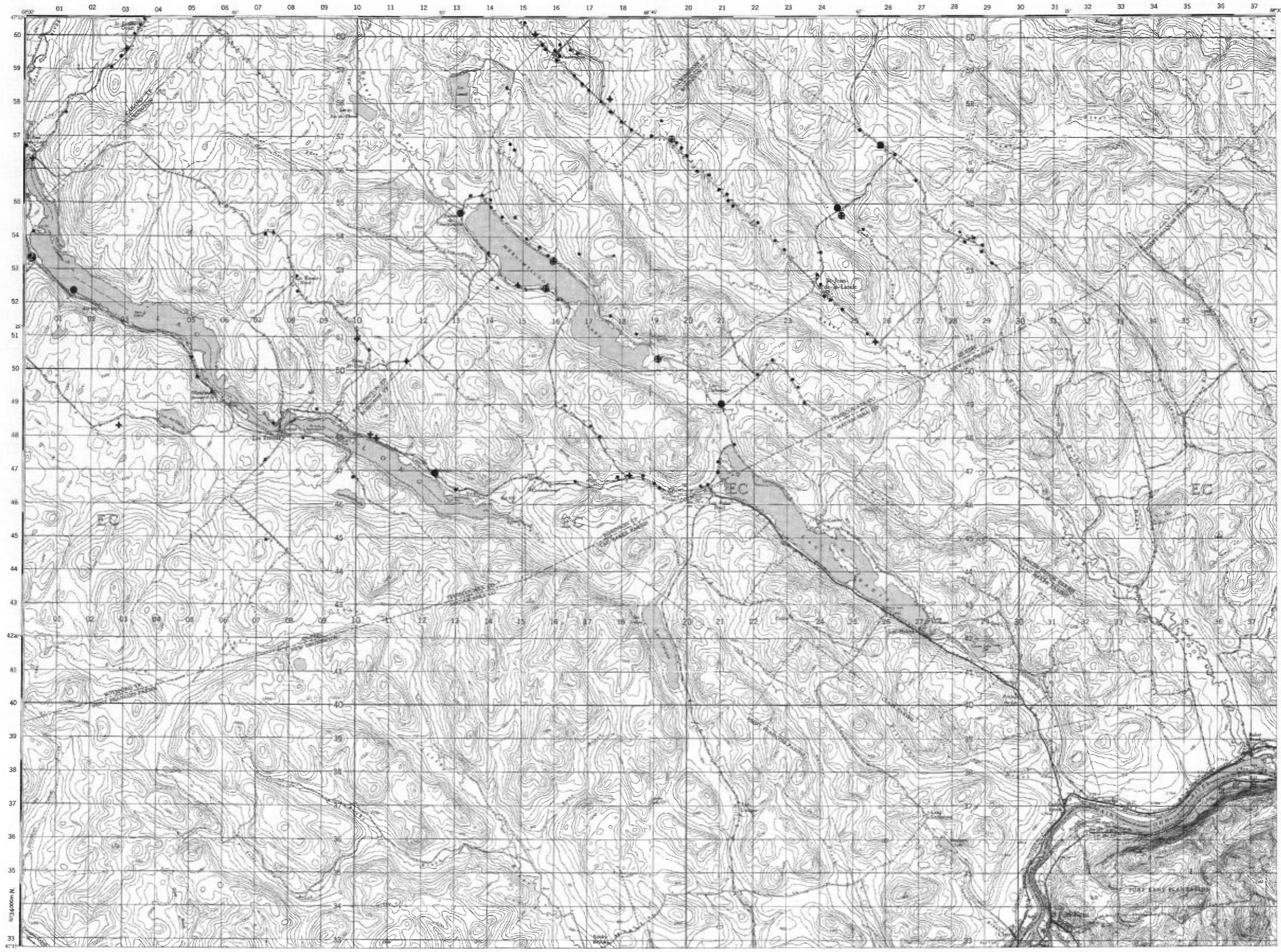


LAC BAKER

- TENEURS (ppm)
- 0,1
  - + 0,2
  - ⊕ 0,3 - 0,4
  - 0,5 - 1,3
  - ⊙ 1,4 - 2,7
  - ⦿ 2,8 - 5,5
  - ⊚ 5,6 - 11,1

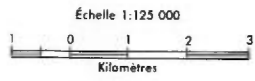
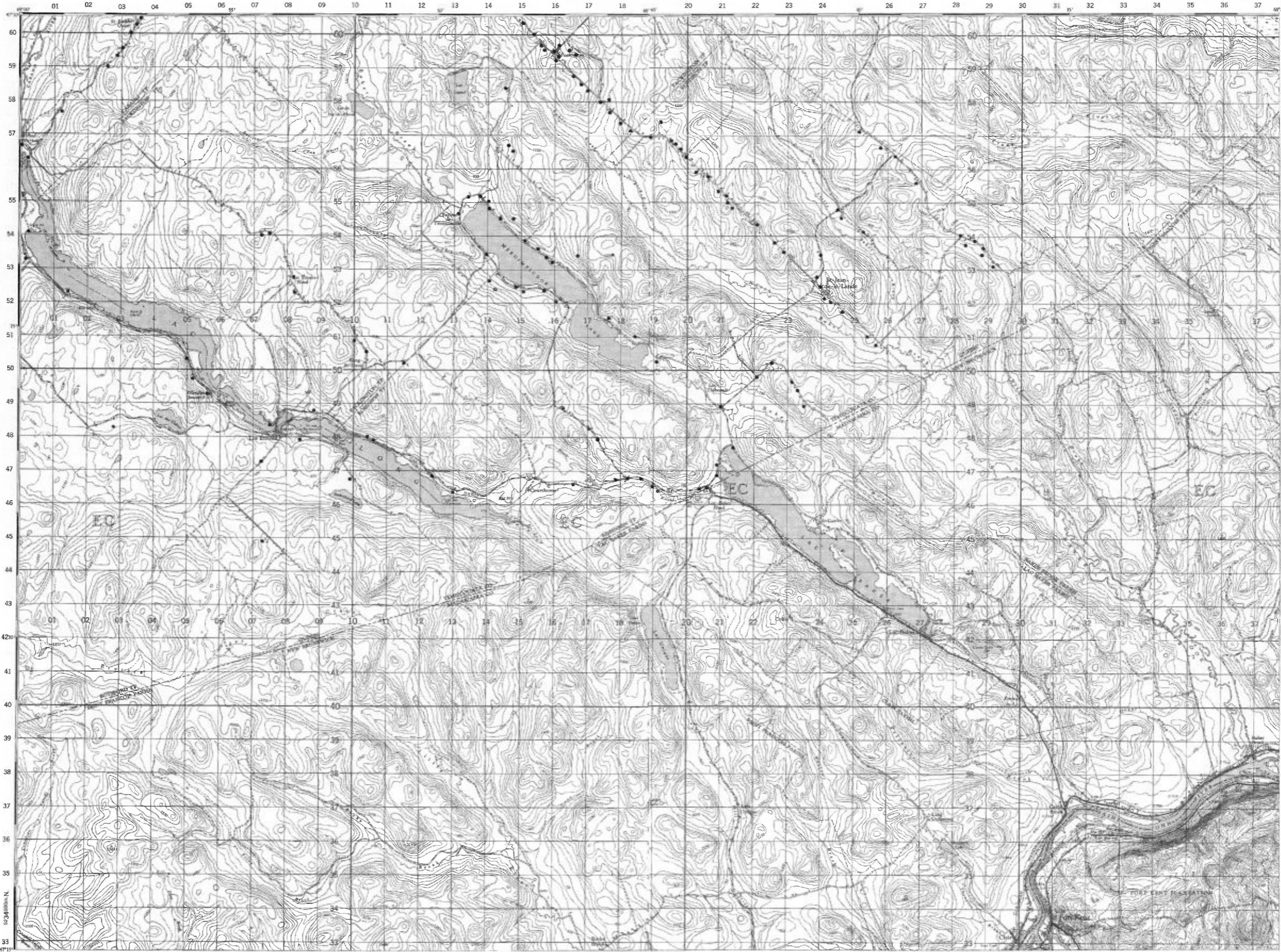


Service de la  
GÉOCHIMIE-GÉOPHYSIQUE



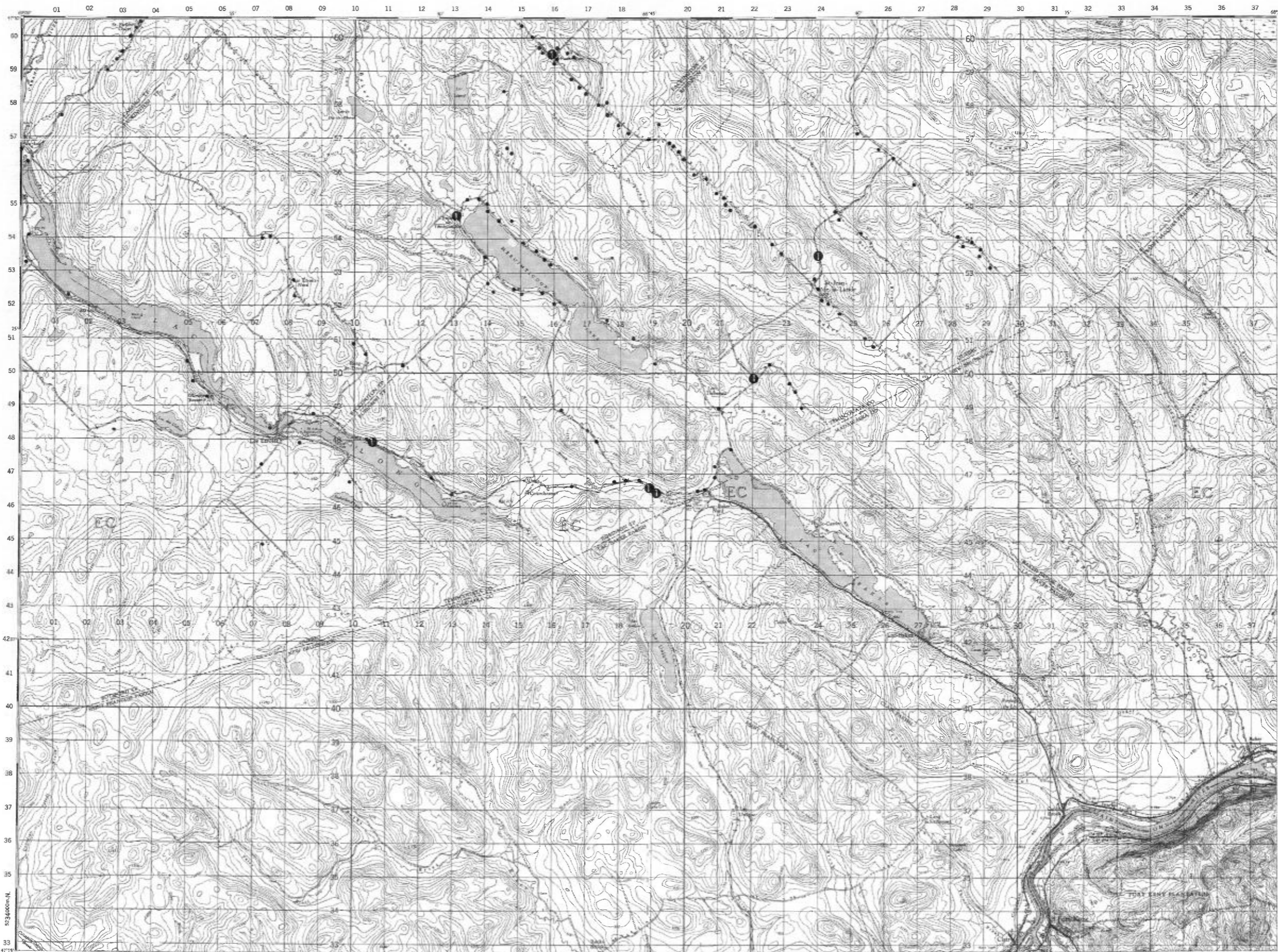
TENEURS (ppb)

- 1
- 2
- 3 - 5
- 6 - 11



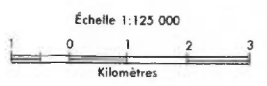
Service de la  
GÉOCHIMIE-GÉOPHYSIQUE

LAC BAKER



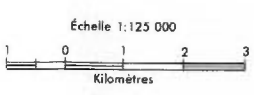
TENEURS (ppb)

- 2
- + 3 - 5
- ⊕ 6 - 11
- 12 - 23
- ⊙ 24 - 47
- ⊗ 48 - 95

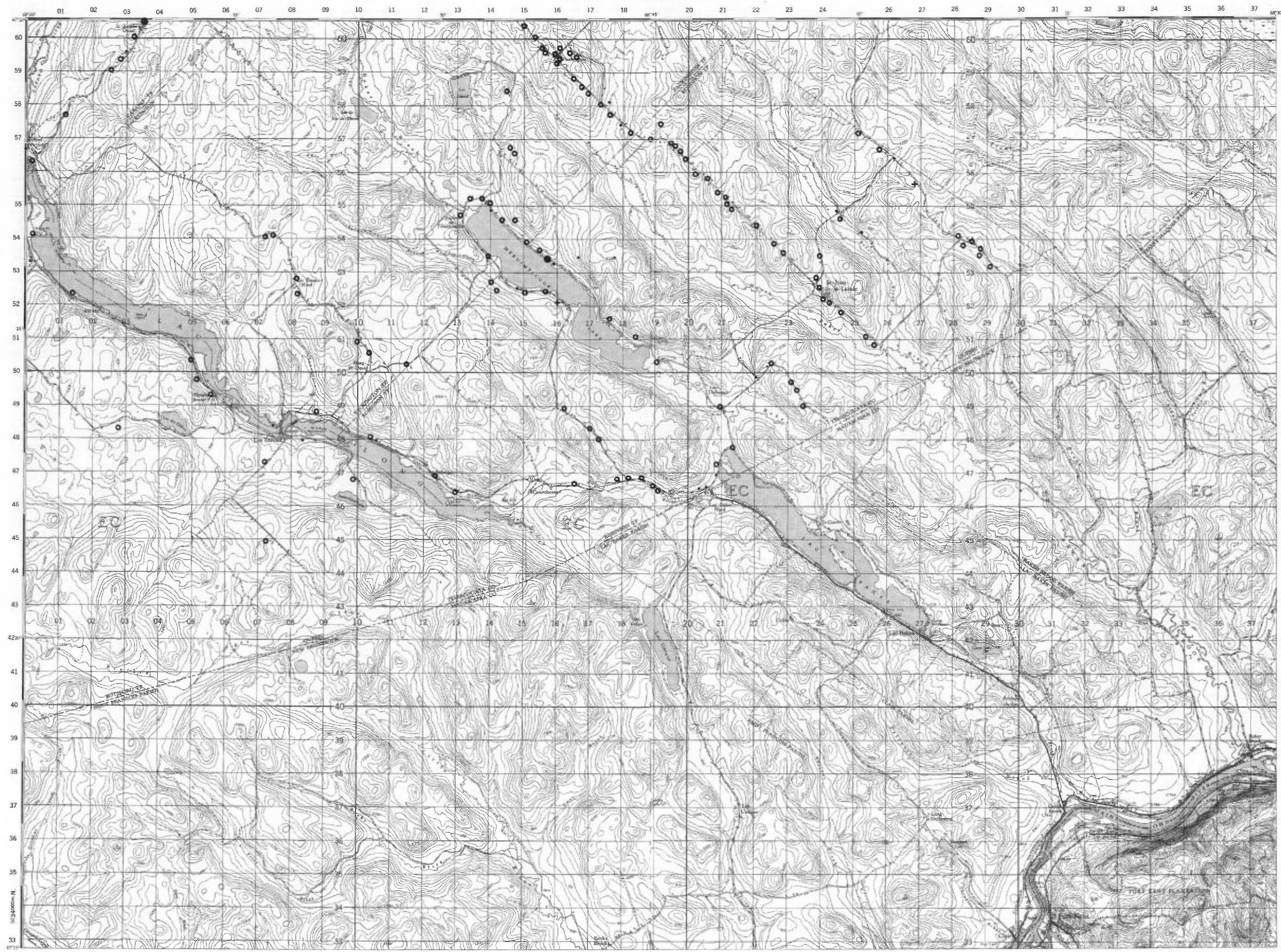


Service de la  
GÉOCHIMIE-GÉOPHYSIQUE

- TENEURS (ppm)
- 0,01 - 0,04
  - 0,05 - 0,07
  - + 0,08 - 0,12
  - ⊕ 0,13 - 0,22
  - 0,23 - 0,54
  - ① 0,55 - 1,09
  - ② 1,10 - 2,19
  - ③ 2,20 - 4,39
  - ④ 4,40 - 8,79



Service de la  
 GÉOCHIMIE-GÉOPHYSIQUE





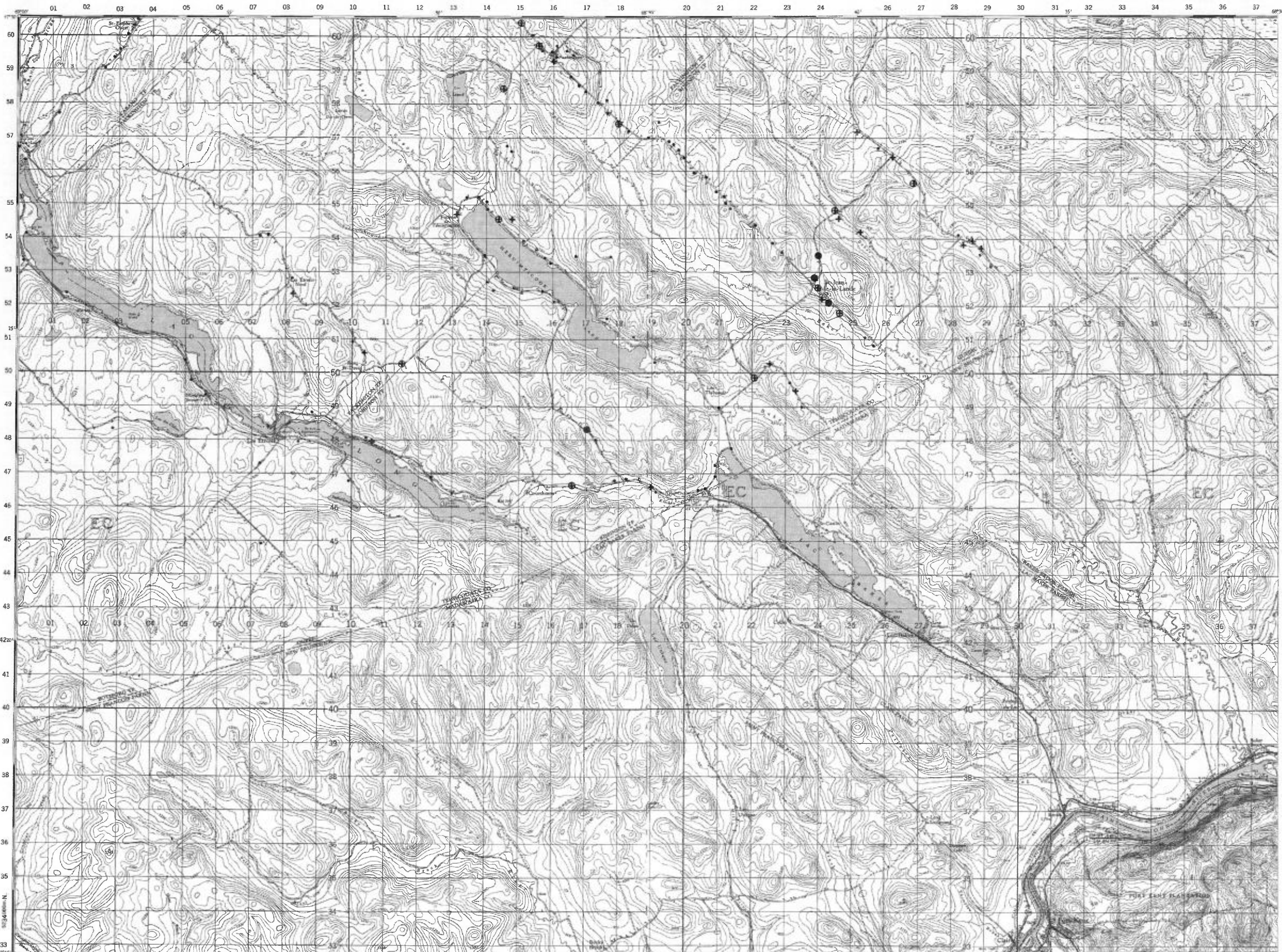
LAC BAKER

TENEURS (ppb)

- 2 - 3
- + 4 - 5
- ⊕ 6 - 8
- 9 - 19
- ① 20 - 39
- ② 40 - 79
- ③ 80 - 159



Service de la  
GÉOCHIMIE-GÉOPHYSIQUE

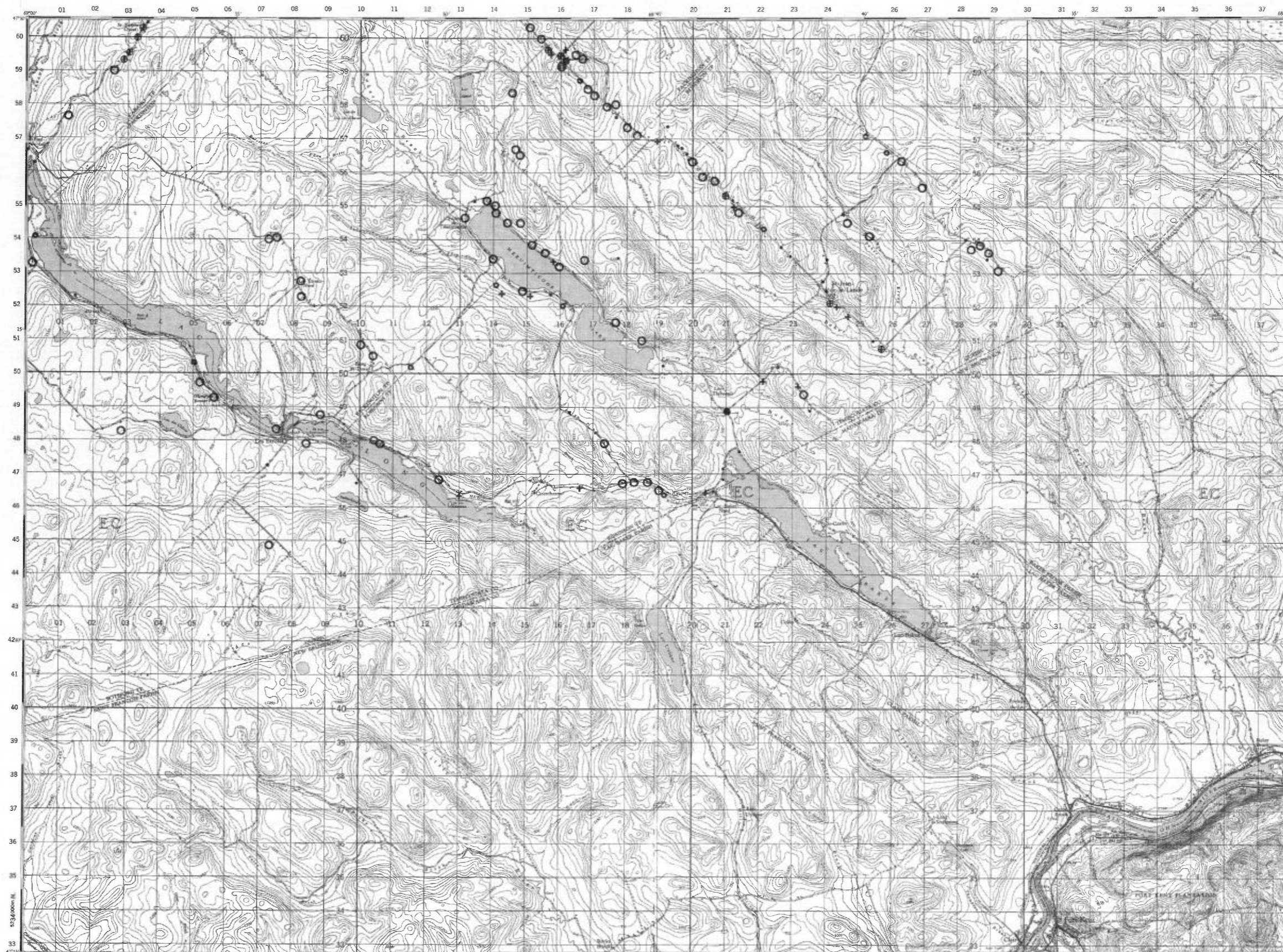


TENEURS (ppm)

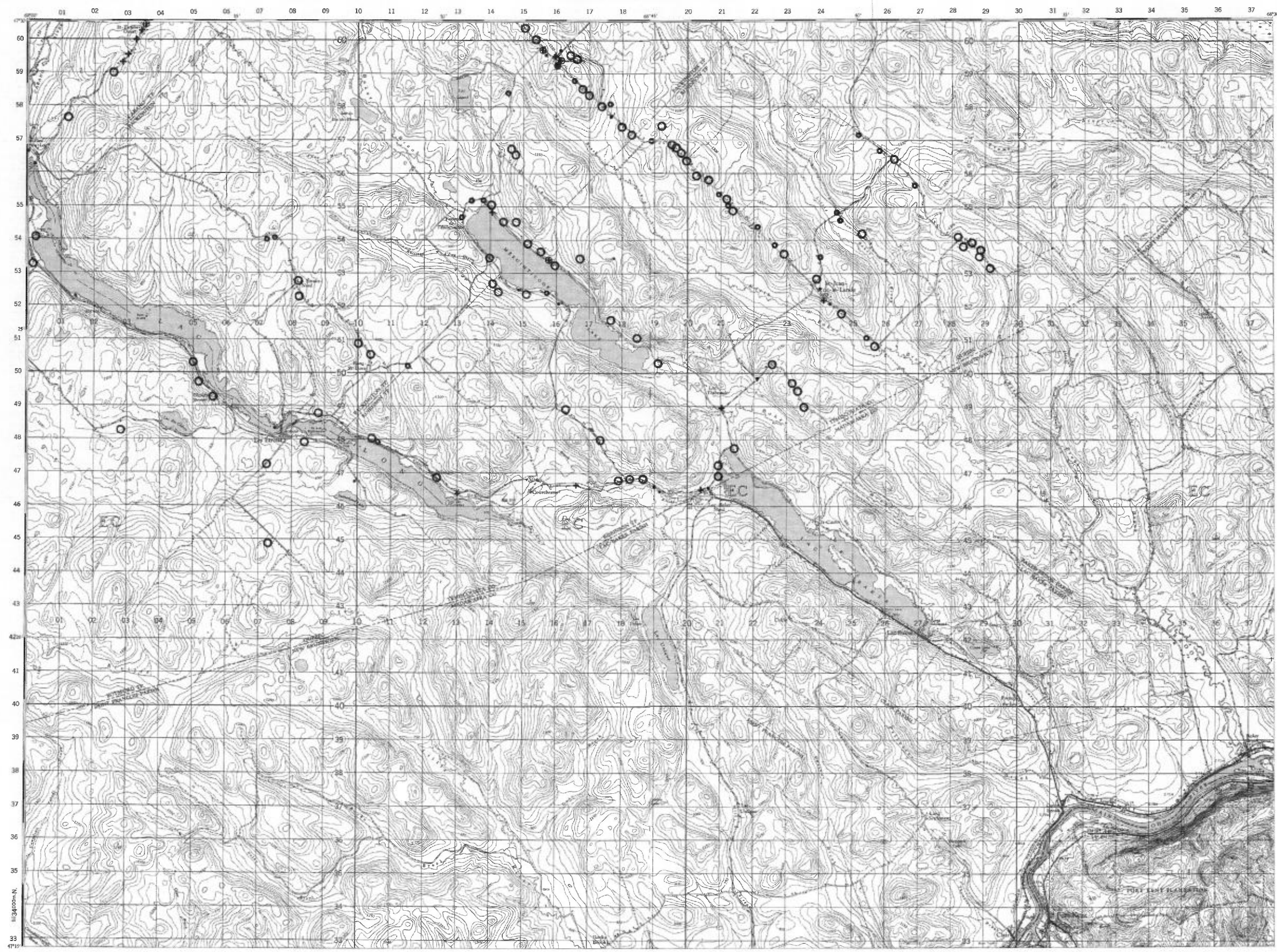
- 1 - 4
- 5 - 6
- 7 - 17
- + 18 - 34
- ⊕ 35 - 65
- 66 - 149
- ① 150 - 299
- ② 300 - 599
- ③ 600 - 1199
- ④ 1200 - 2399



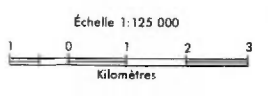
Service de la  
 GÉOCHIMIE-GÉOPHYSIQUE



GÉOCHIMIE DES EAUX SOUTERRAINES  
**LAC BAKER**  
 RÉGION DU BAS SAINT-LAURENT



- TENEURS (ppm)**
- 0,9 — 2,9
  - 3,0 — 4,5
  - 4,6 — 11,4
  - + 11,5 — 26,9
  - ⊕ 27,0 — 54,9
  - 55,0 — 122,9
  - ① 123,0 — 249,9
  - ② 250,0 — 499,9
  - ③ 500,0 — 999,9
  - ④ 1000,0 — 1999,9



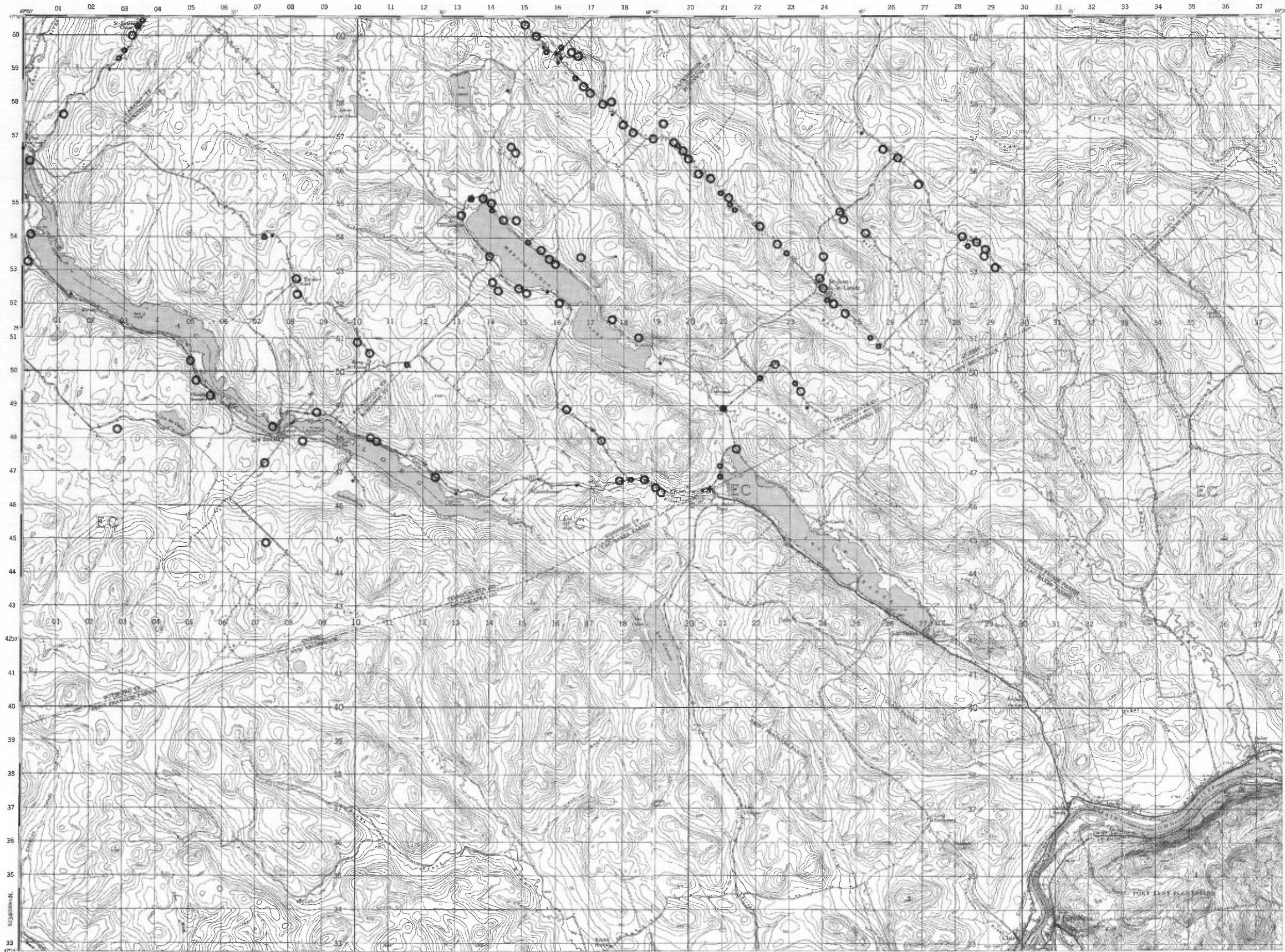
Service de la  
 GÉOCHIMIE-GÉOPHYSIQUE

TENEURS (ppm)

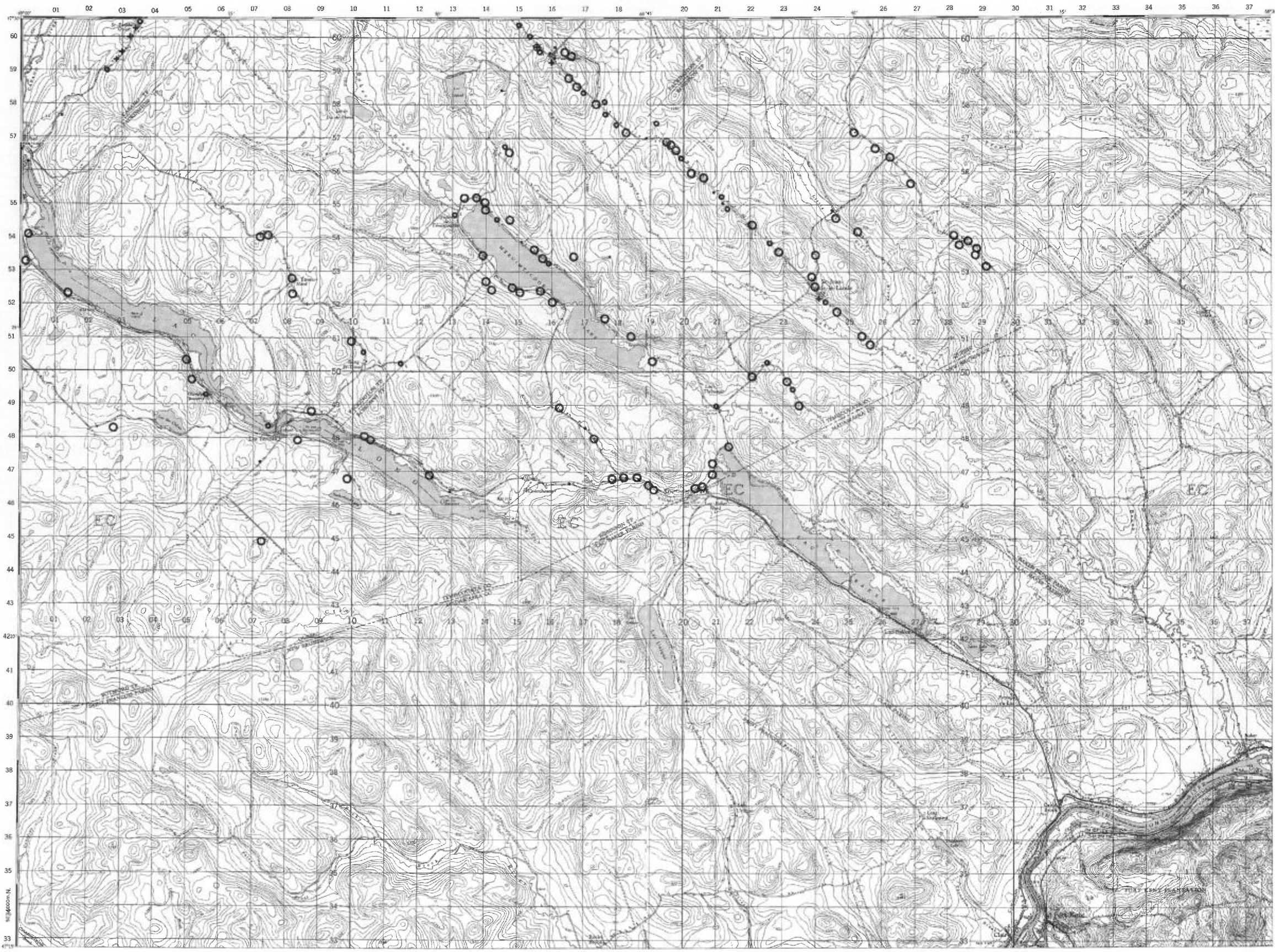
- 0,2 — 0,5
- 0,6 — 0,9
- 1,0 — 2,1
- + 2,2 — 3,5
- ⊕ 3,6 — 4,9
- 5,0 — 8,9
- ⊙ 9,0 — 17,9
- ⊗ 18,0 — 35,9
- ⊛ 36,0 — 71,9



Service de la  
 GÉOCHIMIE-GÉOPHYSIQUE

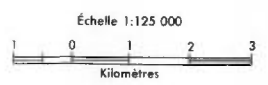


GÉOCHIMIE DES EAUX SOUTERRAINES  
**LAC BAKER**  
 RÉGION DU BAS SAINT-LAURENT



TENEURS (ppm)

- 1,0 — 29,9
- 30,0 — 44,9
- 45,0 — 72,9
- + 73,0 — 88,9
- ⊕ 89,0 — 104,9
- 105,0 — 139,9
- ⊕ 140,0 — 279,9
- ⊕ 280,0 — 559,9

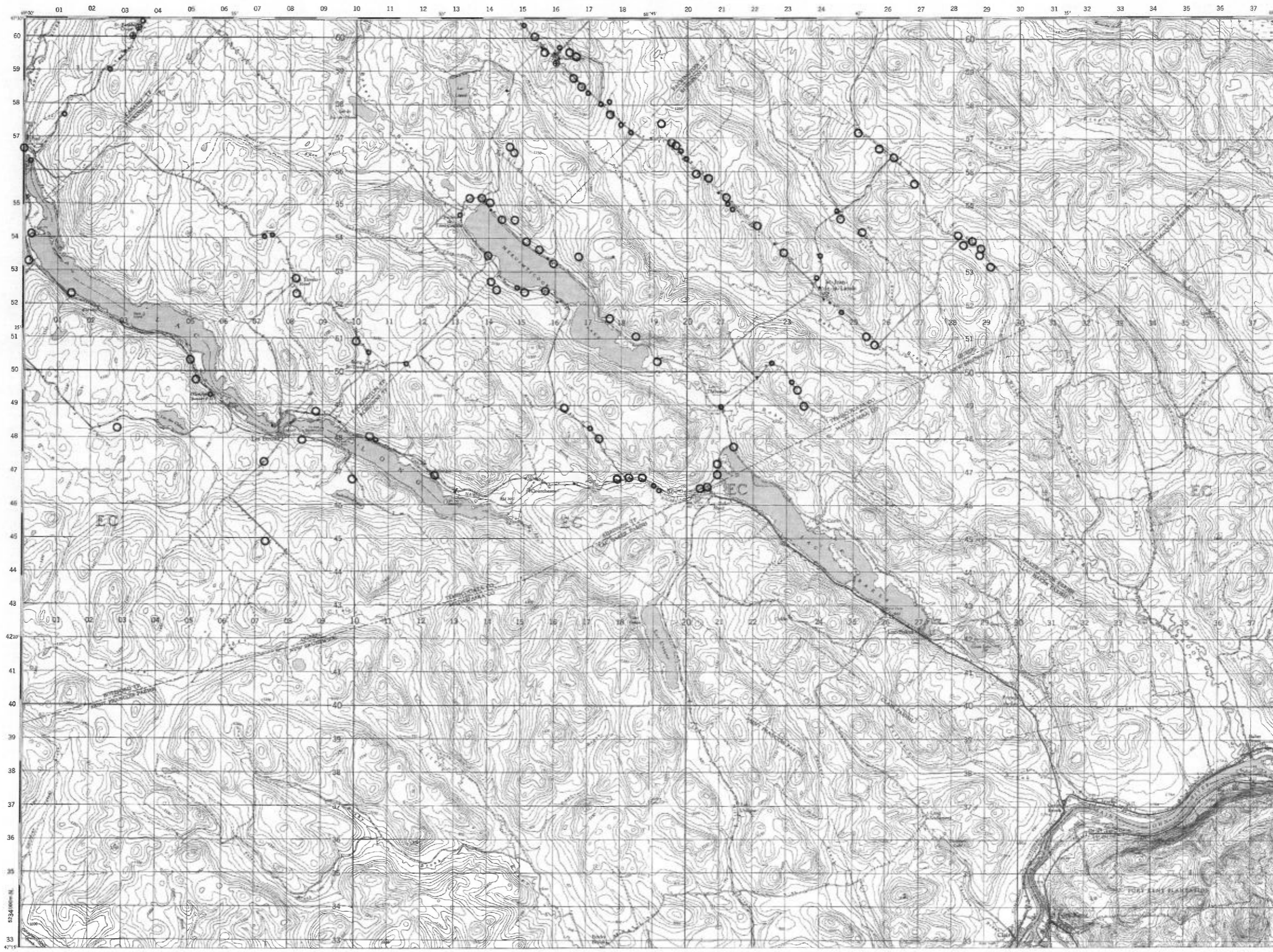


Service de la  
 GÉOCHIMIE-GÉOPHYSIQUE

LAC BAKER

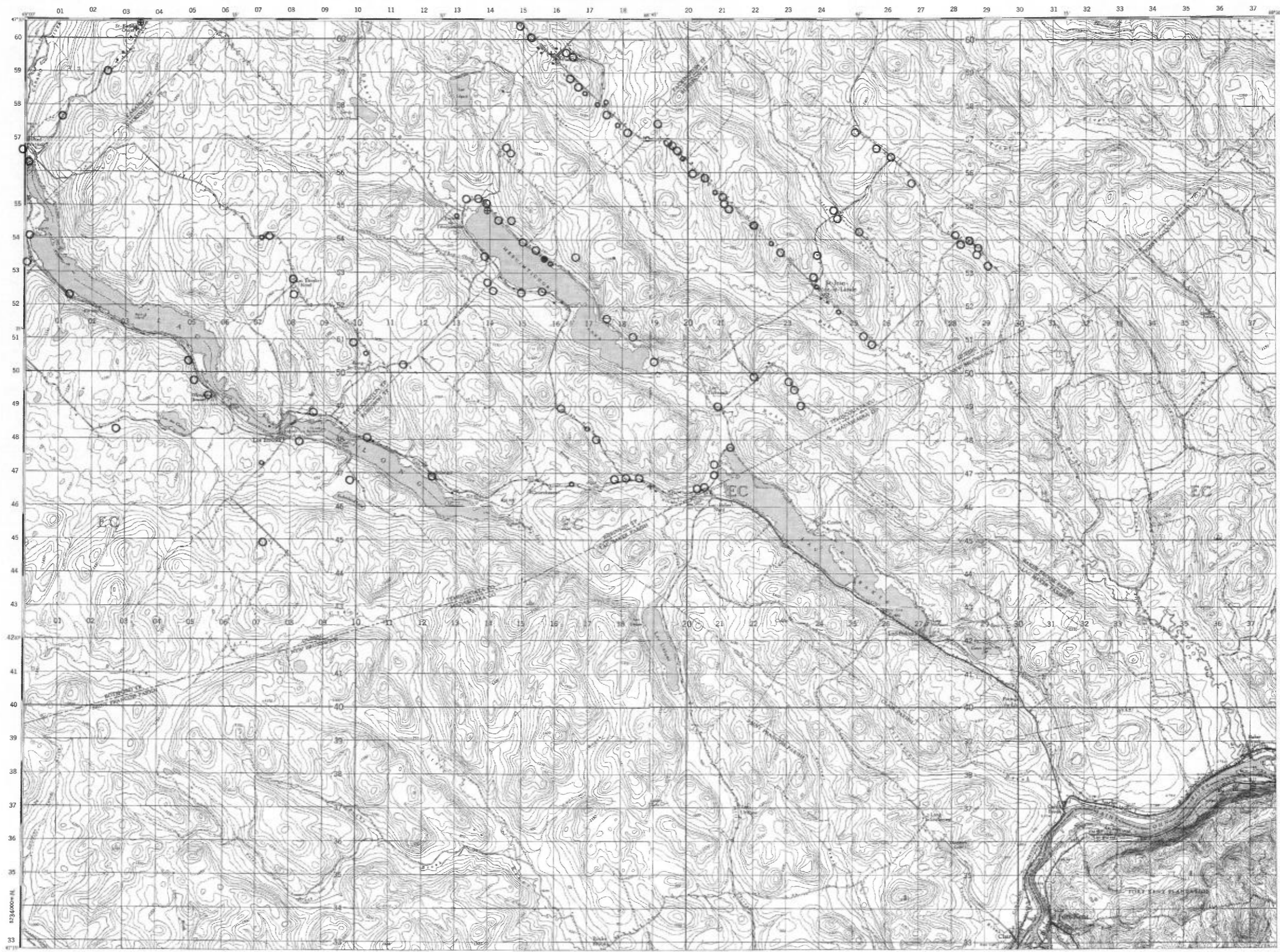
TENEURS (ppm)

- 0,1 — 4,2
- 4,3 — 6,3
- 6,4 — 11,9
- + 12,0 — 16,2
- ⊕ 16,3 — 20,0
- 20,1 — 27,9
- ⊕ 28,0 — 55,9
- ⊕ 56,0 — 111,9



Service de la  
 GÉOCHIMIE-GÉOPHYSIQUE

GÉOCHIMIE DES EAUX SOUTERRAINES  
**LAC BAKER**  
 RÉGION DU BAS SAINT-LAURENT



- TENEURS (ppb)**
- 0,1 — 5,5
  - 5,6 — 7,9
  - 8,0 — 15,4
  - + 15,5 — 25,9
  - ⊕ 26,0 — 41,9
  - 42,0 — 115,0
  - ① 115,1 — 229,9
  - ② 230,0 — 459,9
  - ③ 460,0 — 919,9
  - ④ 920,0 — 1839,9
  - ⑤ 1840,0 — 3679,9

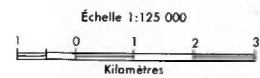


Service de la  
 GÉOCHIMIE-GÉOPHYSIQUE

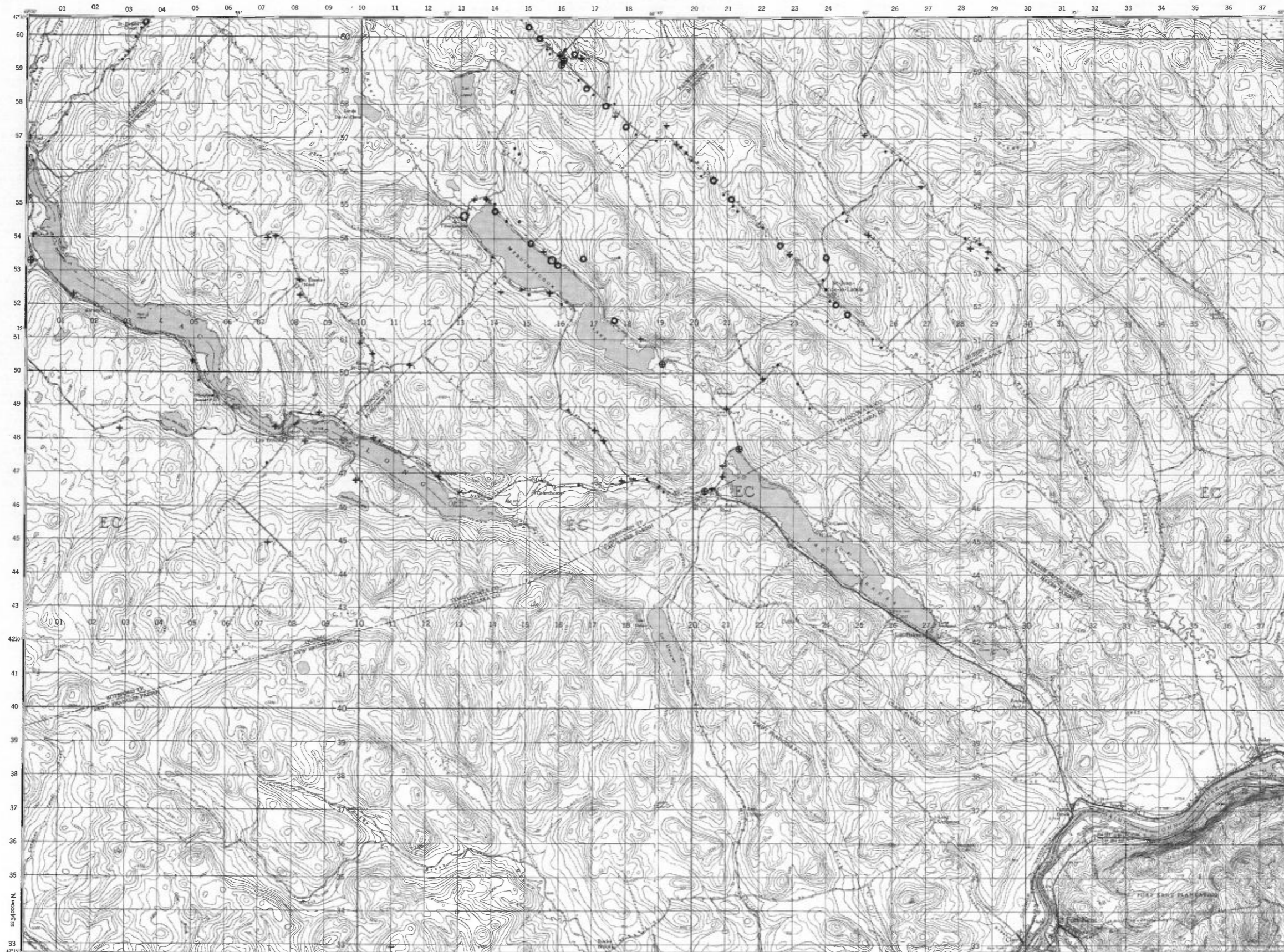
LAC BAKER

TENEURS (unité)

- 0,0 — 5,7
- ⊕ 5,8 — 6,2
- + 6,3 — 6,7
- 6,8 — 7,2
- 7,3 — 7,7
- 7,8 — 8,2
- 8,3 — 14,0



Service de la  
GÉOCHIMIE-GÉOPHYSIQUE





PROFONDEUR DES PUIITS

pieds

- 1 - 75
- + 76 - 150
- ⊕ 151 - 300
- 301 - 600

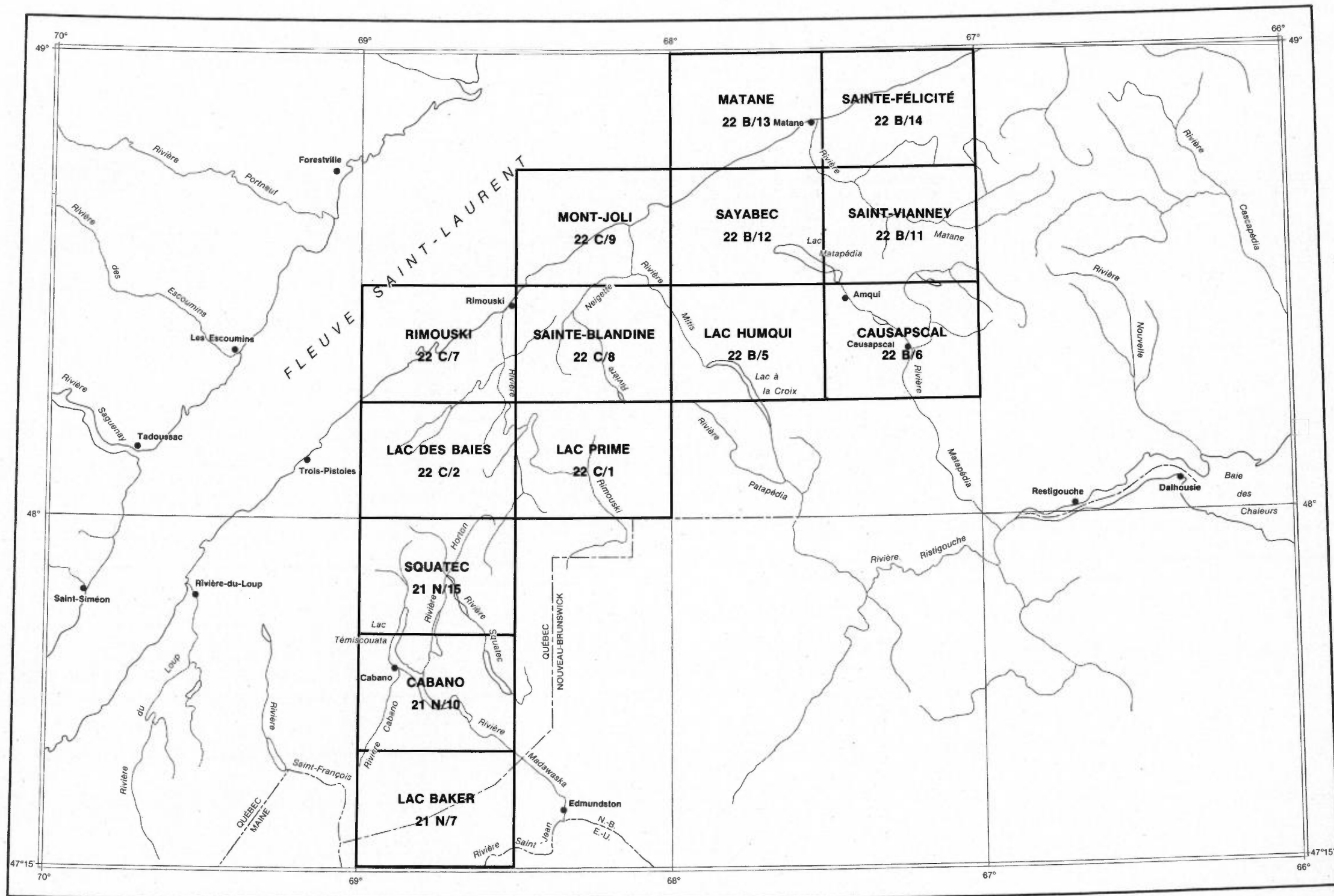


Échelle 1:125 000

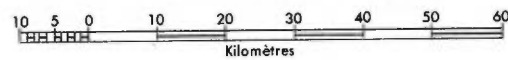


Service de la  
GÉOCHIMIE-GÉOPHYSIQUE

PROFONDEUR  
DES PUIITS



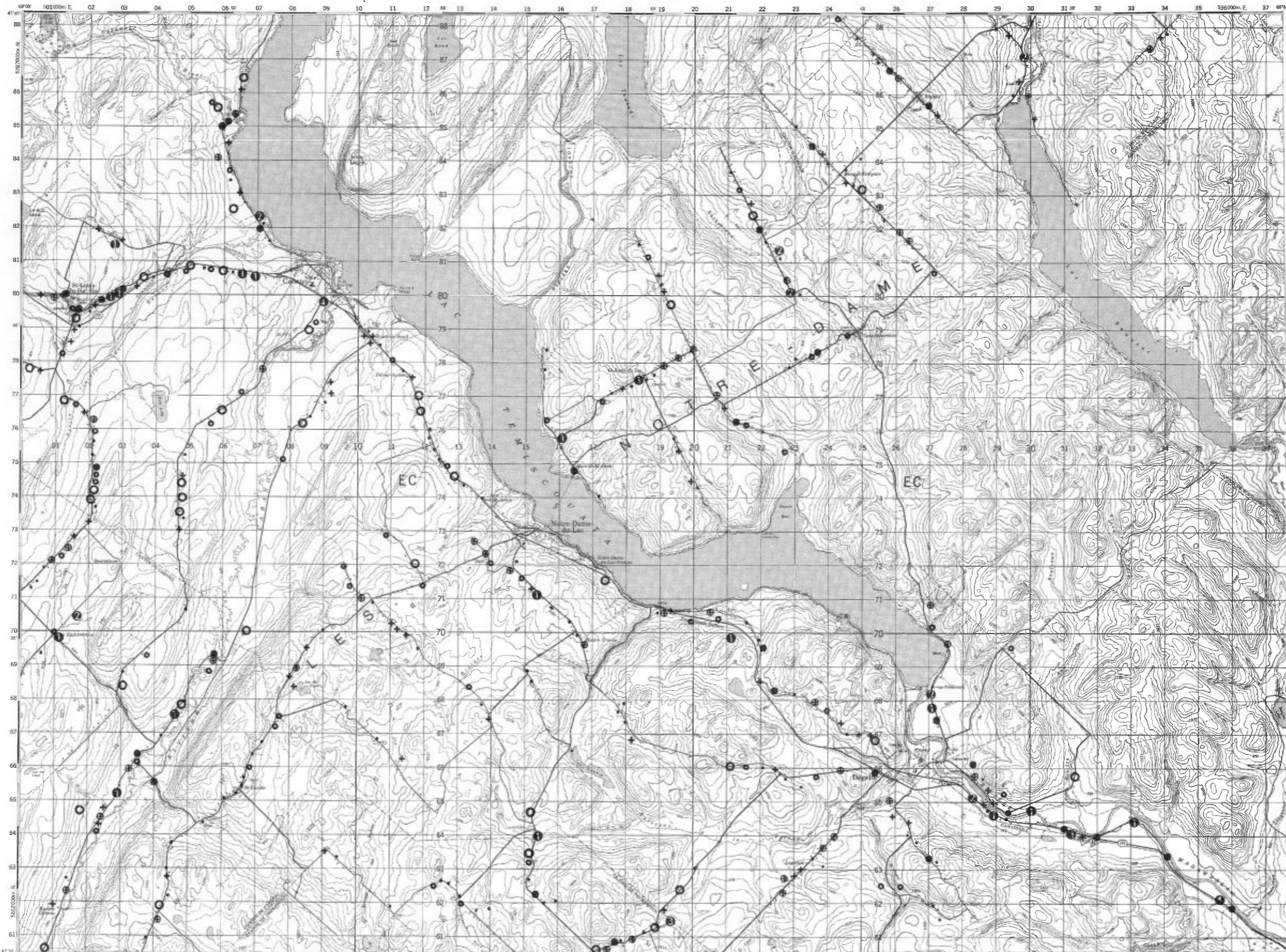
**INDEX DES CARTES GÉOCHIMIQUES  
RÉGION DU BAS SAINT-LAURENT**



CABANO

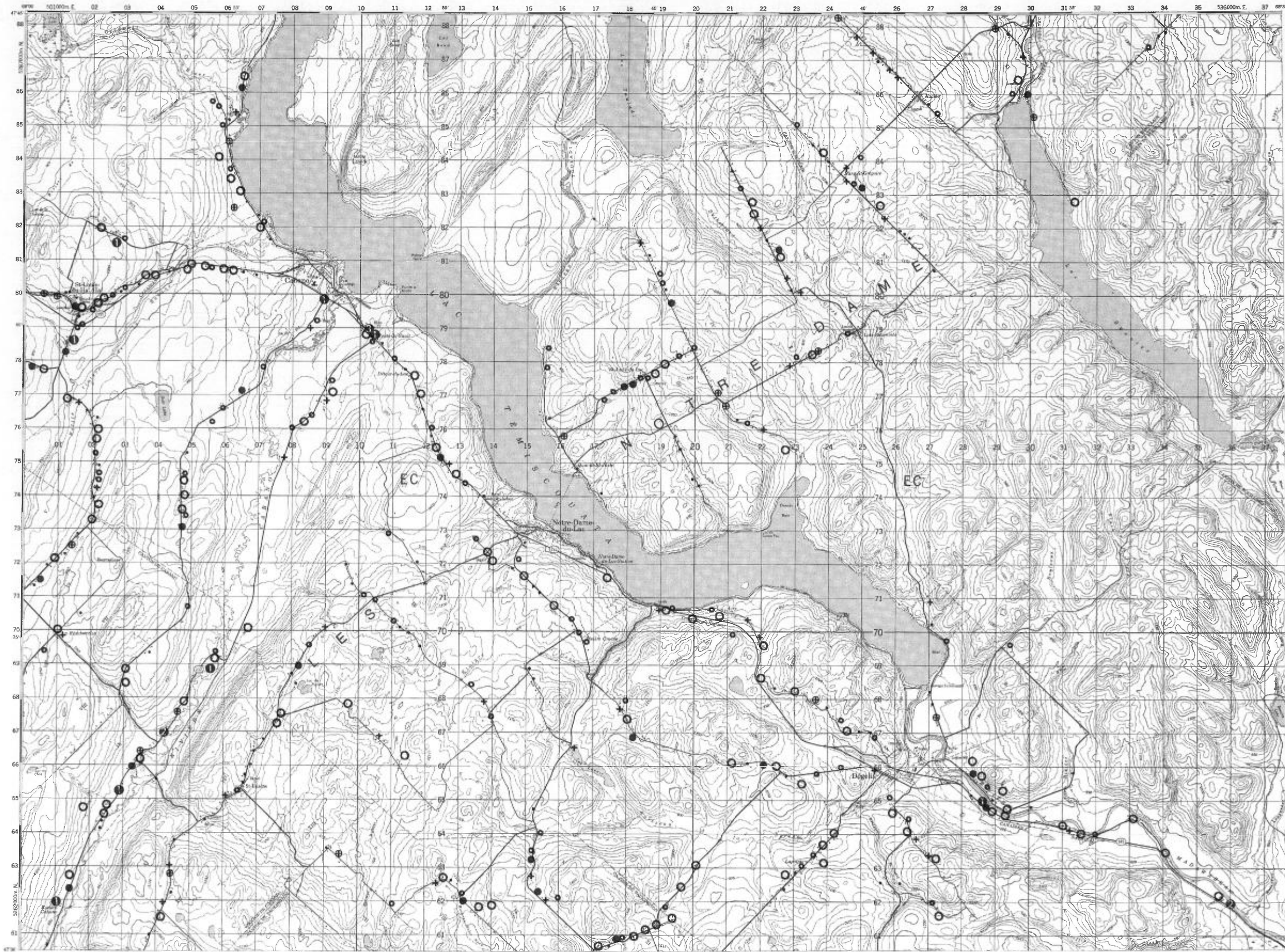
TENEURS (ppb)

- 1 - 8
- 9 - 13
- 14 - 29
- ⊕ 30 - 54
- ⊗ 55 - 89
- 90 - 179
- ⊕ 180 - 359
- ⊗ 360 - 719
- ⊕ 720 - 1439
- ⊗ 1440 - 2879



Échelle 1:125 000  
Kilomètres

Service de la  
GÉOCHIMIE-GÉOPHYSIQUE



TENEURS (ppb)

- 4 - 12
- 14 - 34
- 36 - 144
- + 146 - 338
- ⊕ 340 - 738
- 740 - 1498
- ① 1500 - 2998
- ② 3000 - 5998
- ③ 6000 - 11998
- ④ 12000 - 23998

Échelle 1:125 000

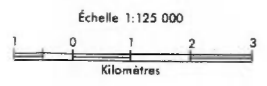


Service de la  
GÉOCHIMIE-GÉOPHYSIQUE

Zn

TENEURS (ppb)

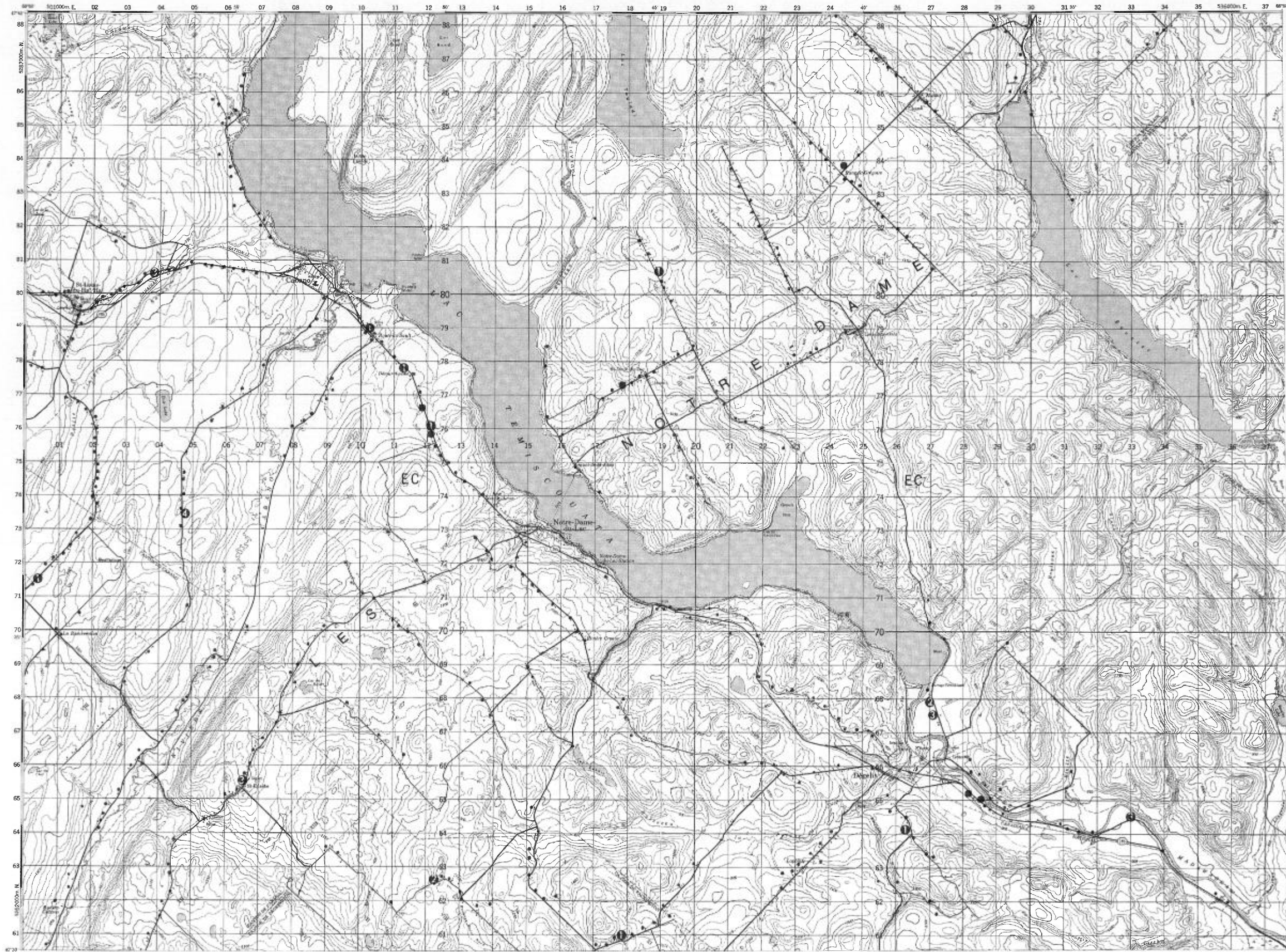
- 1
- 2 - 4
- 5 - 9
- 10 - 19
- 20 - 39
- 40 - 79
- 80 - 159
- 160 - 219



Service de la  
GÉOCHIMIE-GÉOPHYSIQUE

TENEURS (ppb)

- 1
- 2 - 5
- ① 6 - 11
- ② 12 - 24
- ③ 25 - 49
- ④ 50 - 99
- ⑤ 100 - 199
- ⑥ 200 - 399



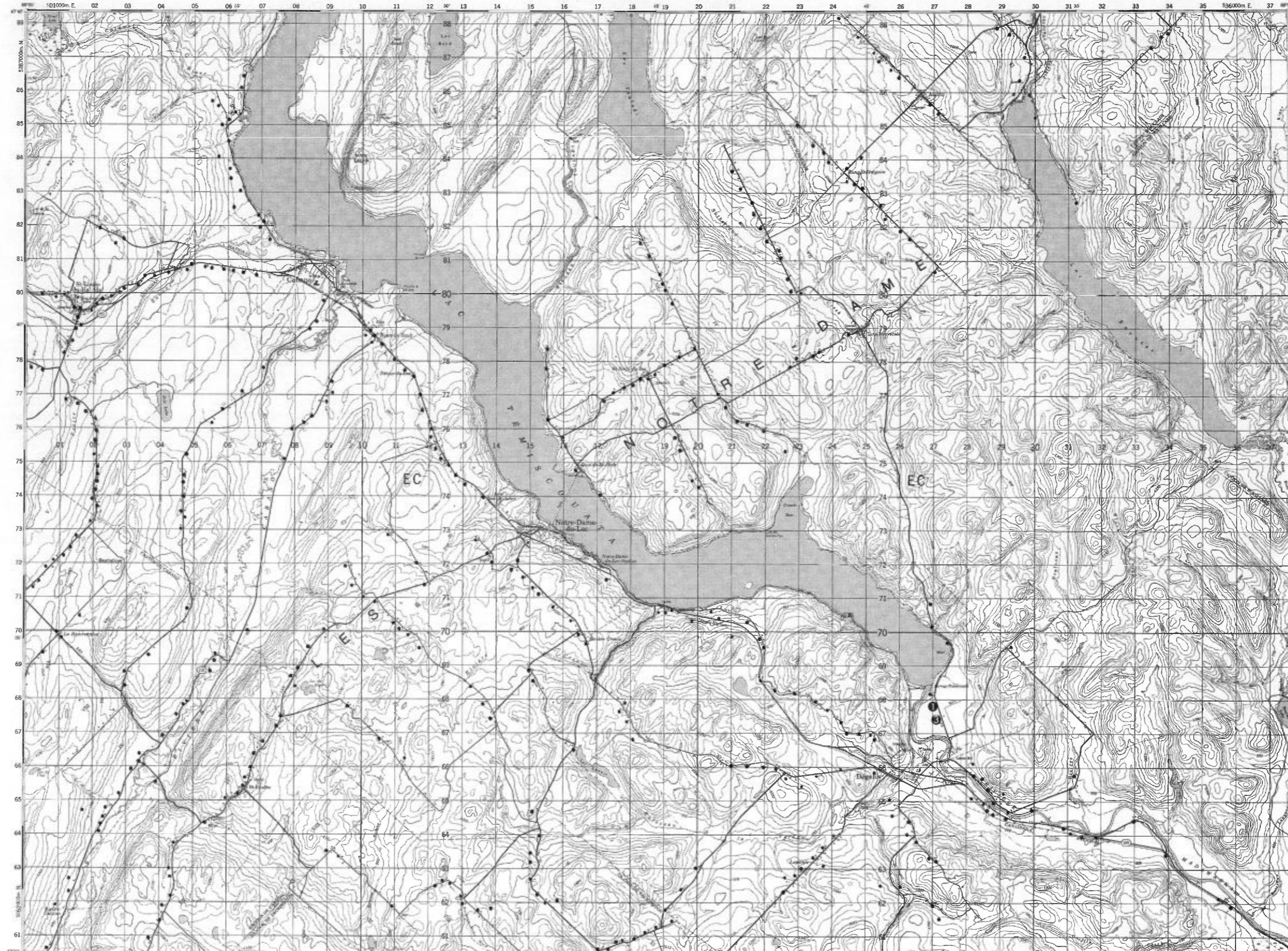
Échelle 1:125 000



Service de la  
GÉOCHIMIE-GÉOPHYSIQUE

TENEURS (ppb)

- 1
- 2 - 3
- ⊙ 4 - 7
- ⊕ 8 - 15
- ⊗ 16 - 31
- ⦿ 32 - 63



Échelle 1:125 000

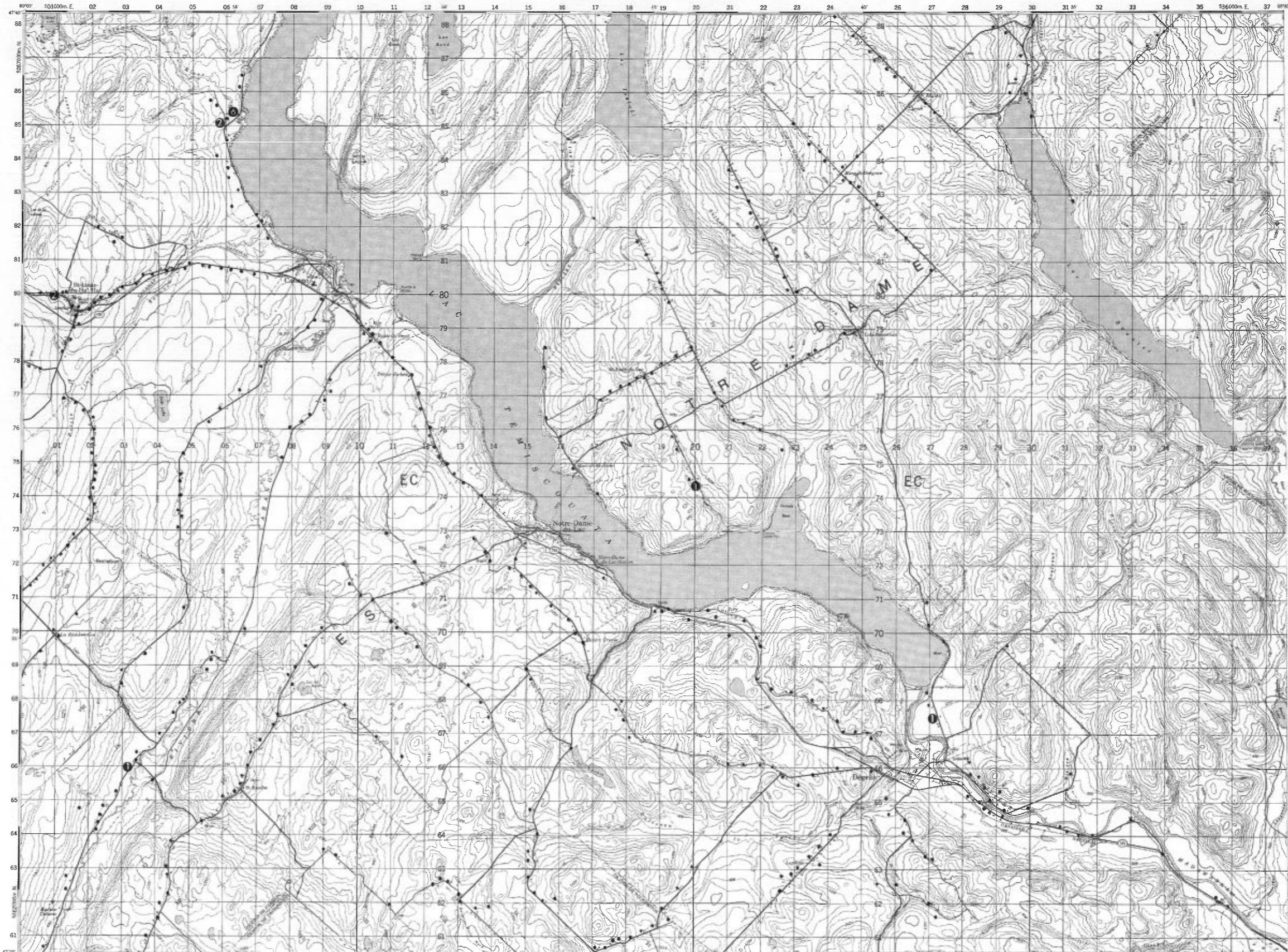


Service de la  
GÉOCHIMIE-GÉOPHYSIQUE

CABANO

TENEURS (ppb)

- 0,1
- 0,2
- ① 0,3 — 0,5
- ② 0,6 — 1,1
- ③ 1,2 — 2,3
- ④ 2,4 — 4,9
- ⑤ 5,0 — 9,9
- ⑥ 10,0 — 19,9
- ⑦ 20,0 — 39,9
- ⑧ 40,0 — 79,9

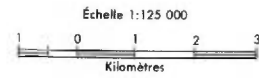


Service de la  
GÉOCHIMIE-GÉOPHYSIQUE

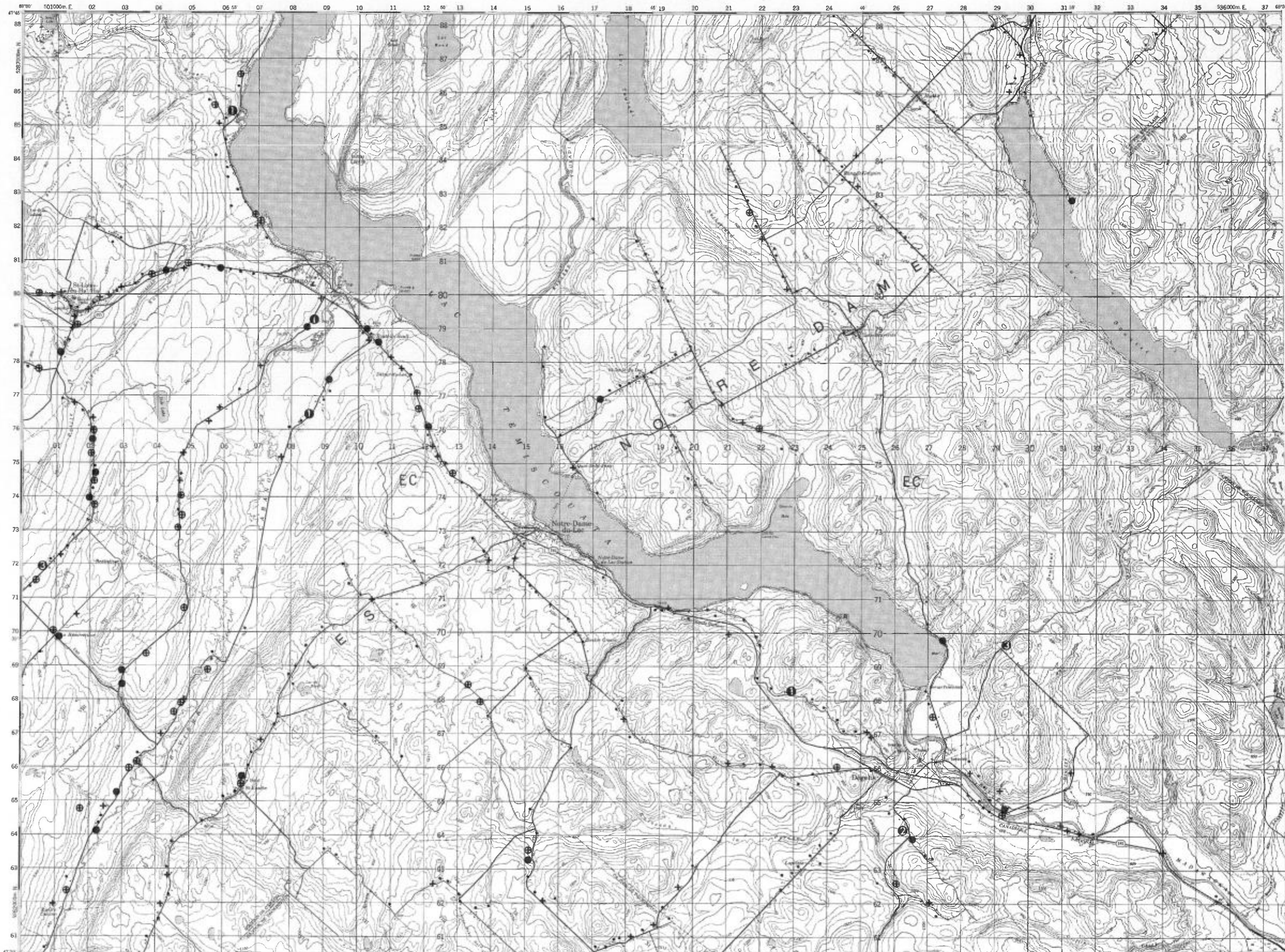


TENEURS (ppb)

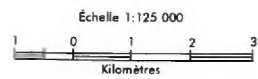
- 5 - 10
- + 15 - 50
- ⊕ 55 - 145
- 150 - 455
- ① 460 - 895
- ② 900 - 1795
- ③ 1800 - 3595



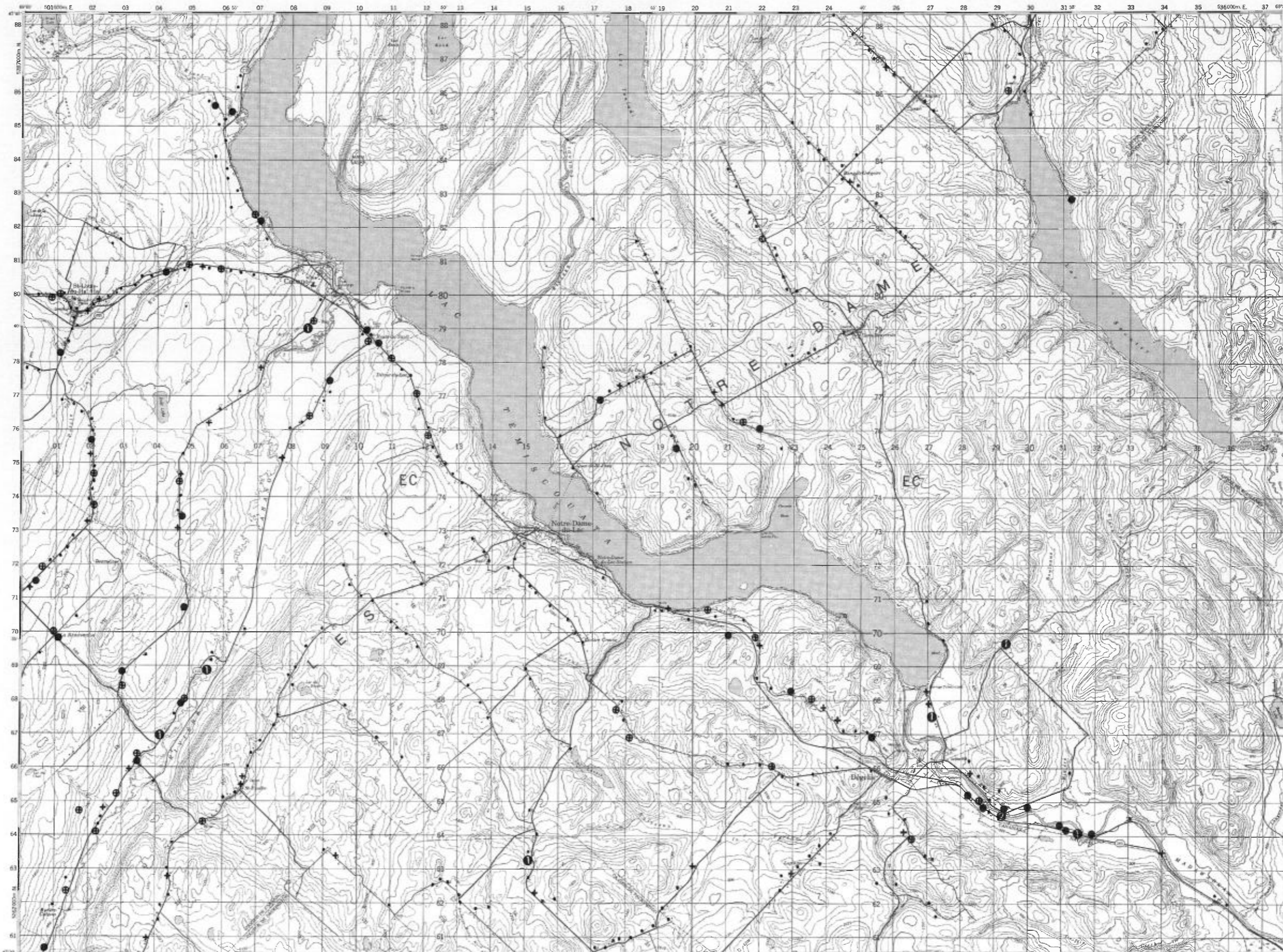
Service de la  
GÉOCHIMIE-GÉOPHYSIQUE



- TENEURS (ppm)
- 0.1
  - + 0.2
  - ⊕ 0.3 - 0.4
  - 0.5 - 1.3
  - ⊕ 1.4 - 2.7
  - 2.8 - 5.5
  - ⊕ 5.6 - 11.1

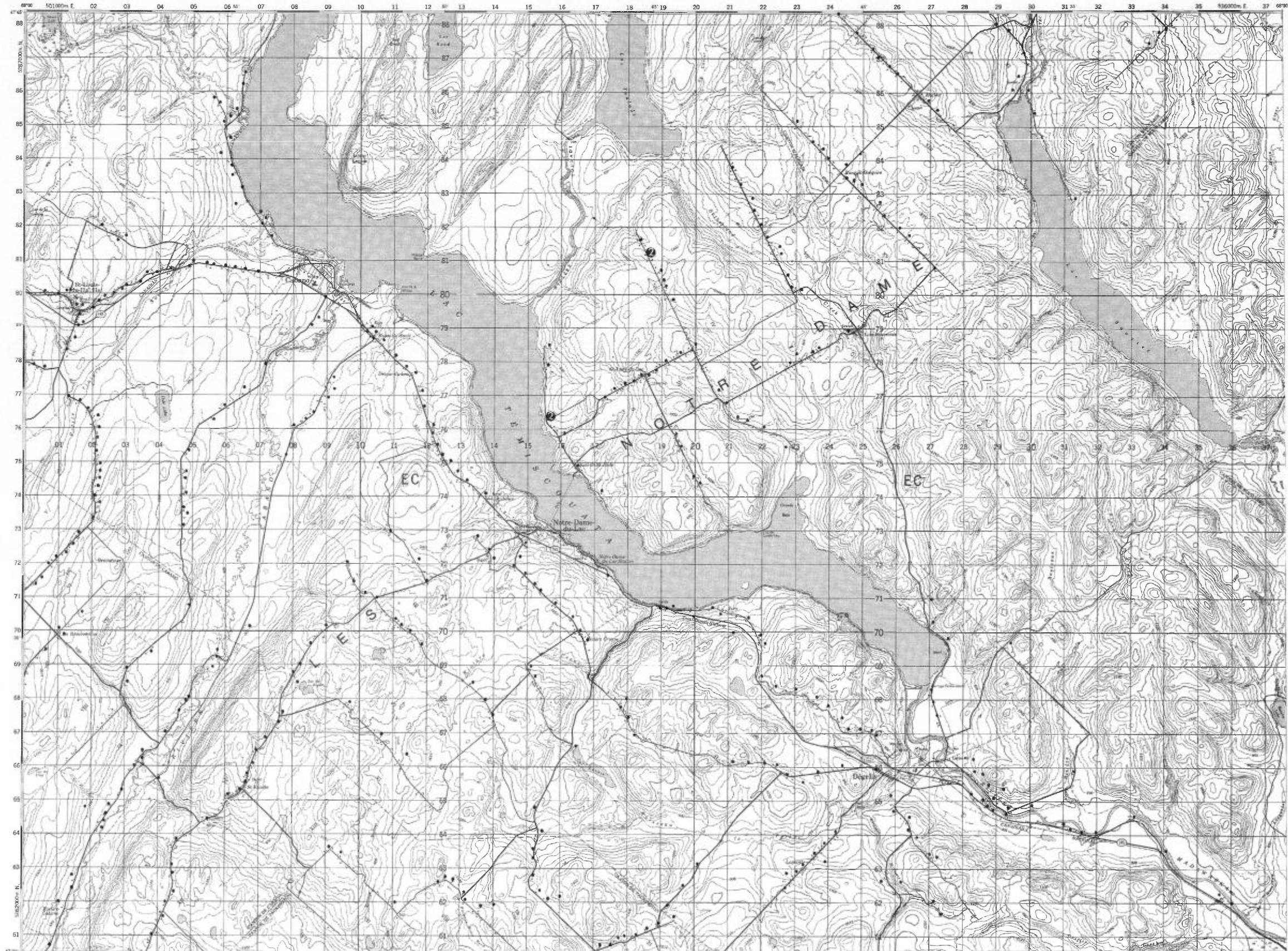


Service de la  
GÉOCHIMIE-GÉOPHYSIQUE



TENEURS (ppb)

- 1
- 2
- ⊙ 3 - 5
- ⊗ 6 - 11



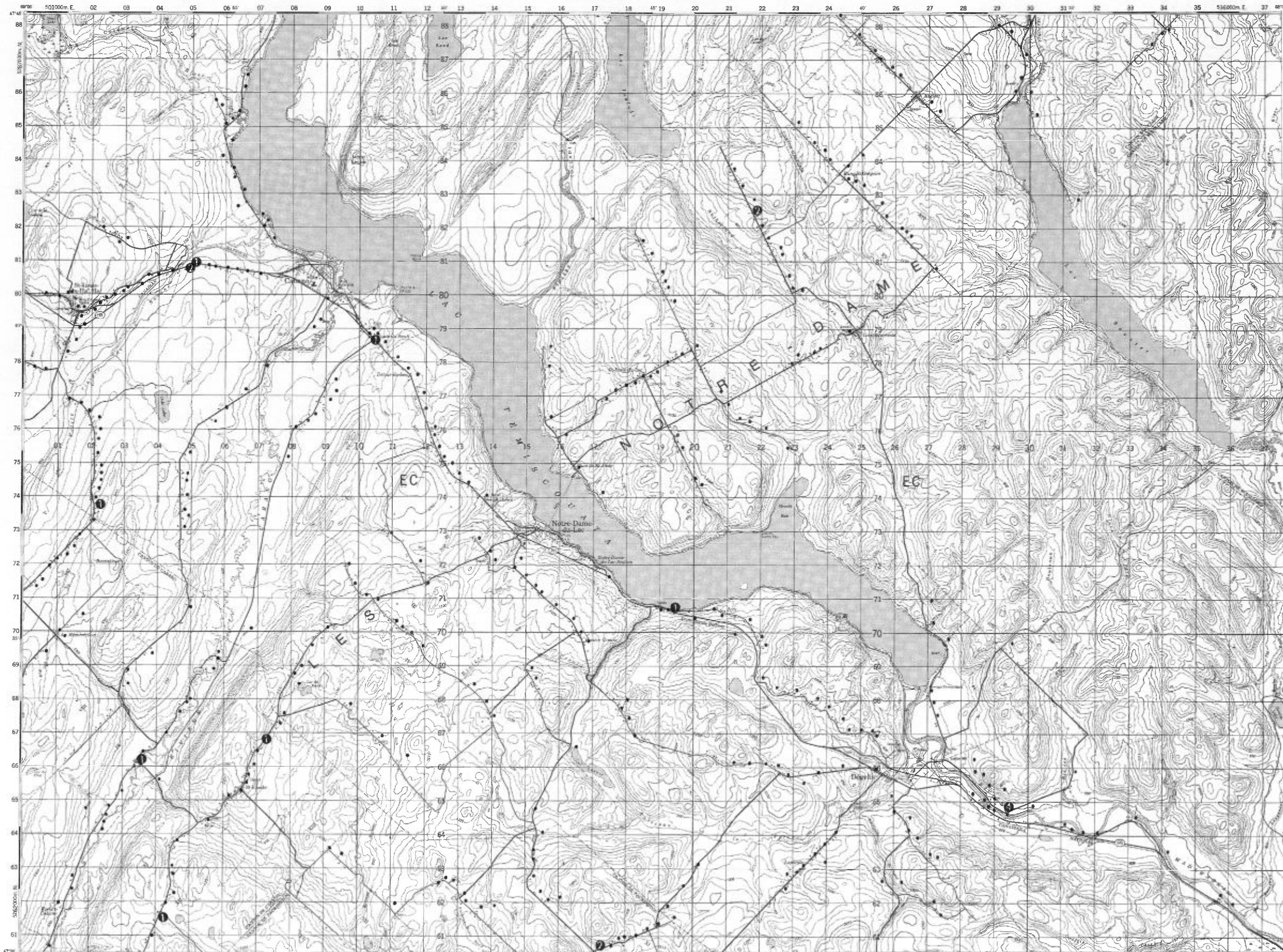
Échelle 1:125 000



Service de la  
GÉOCHIMIE-GÉOPHYSIQUE

TENEURS (ppb)

- 2
- + 3 - 5
- ⊕ 6 - 11
- 12 - 23
- ⓪ 24 - 47
- Ⓛ 48 - 95



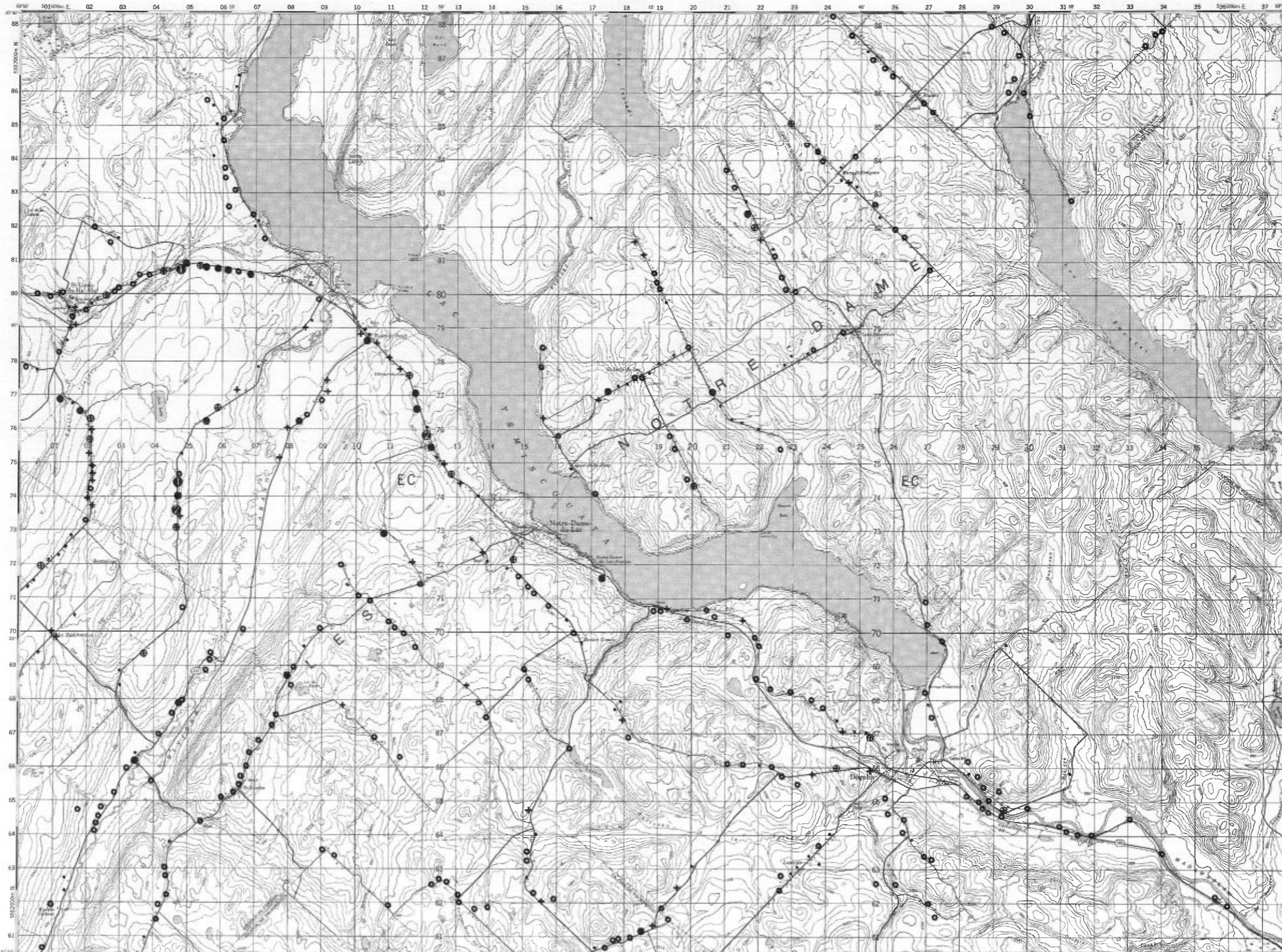
Échelle 1:125 000  
0 1 2 3  
Kilomètres

Service de la  
GÉOCHIMIE-GÉOPHYSIQUE

As

TENEURS (ppm)

- 0,01 - 0,04
- 0,05 - 0,07
- + 0,08 - 0,12
- ⊕ 0,13 - 0,22
- 0,23 - 0,54
- 0,55 - 1,09
- 1,10 - 2,19
- 2,20 - 4,39
- 4,40 - 8,79



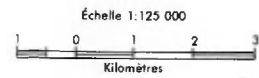
Échelle 1:125 000



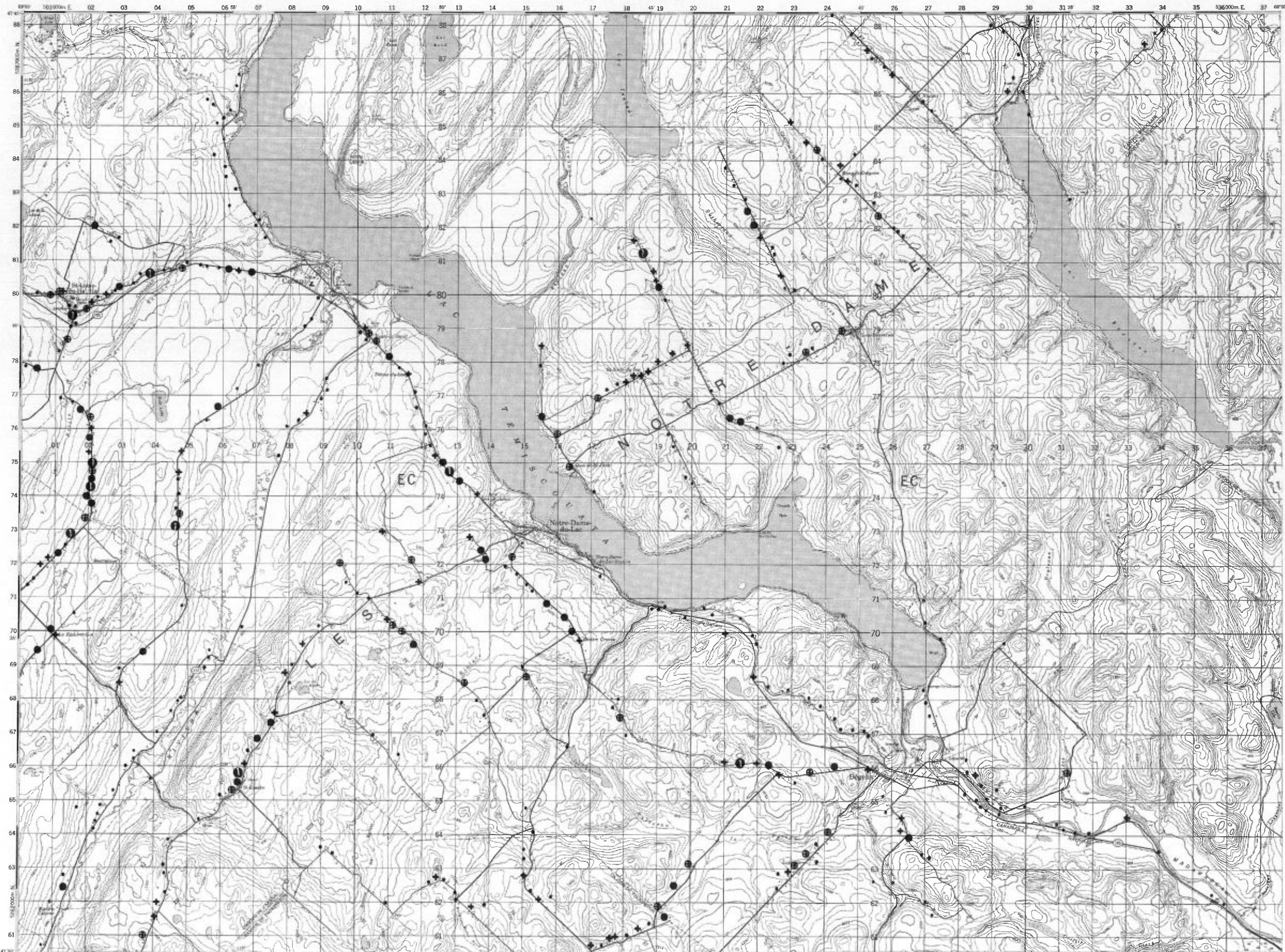
Service de la  
GÉOCHIMIE-GÉOPHYSIQUE

TENEURS (ppb)

- 2 - 3
- + 4 - 5
- ⊕ 6 - 8
- 9 - 19
- ⊙ 20 - 39
- ⊗ 40 - 79
- ⊛ 80 - 159

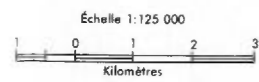


Service de la  
GÉOCHIMIE-GÉOPHYSIQUE

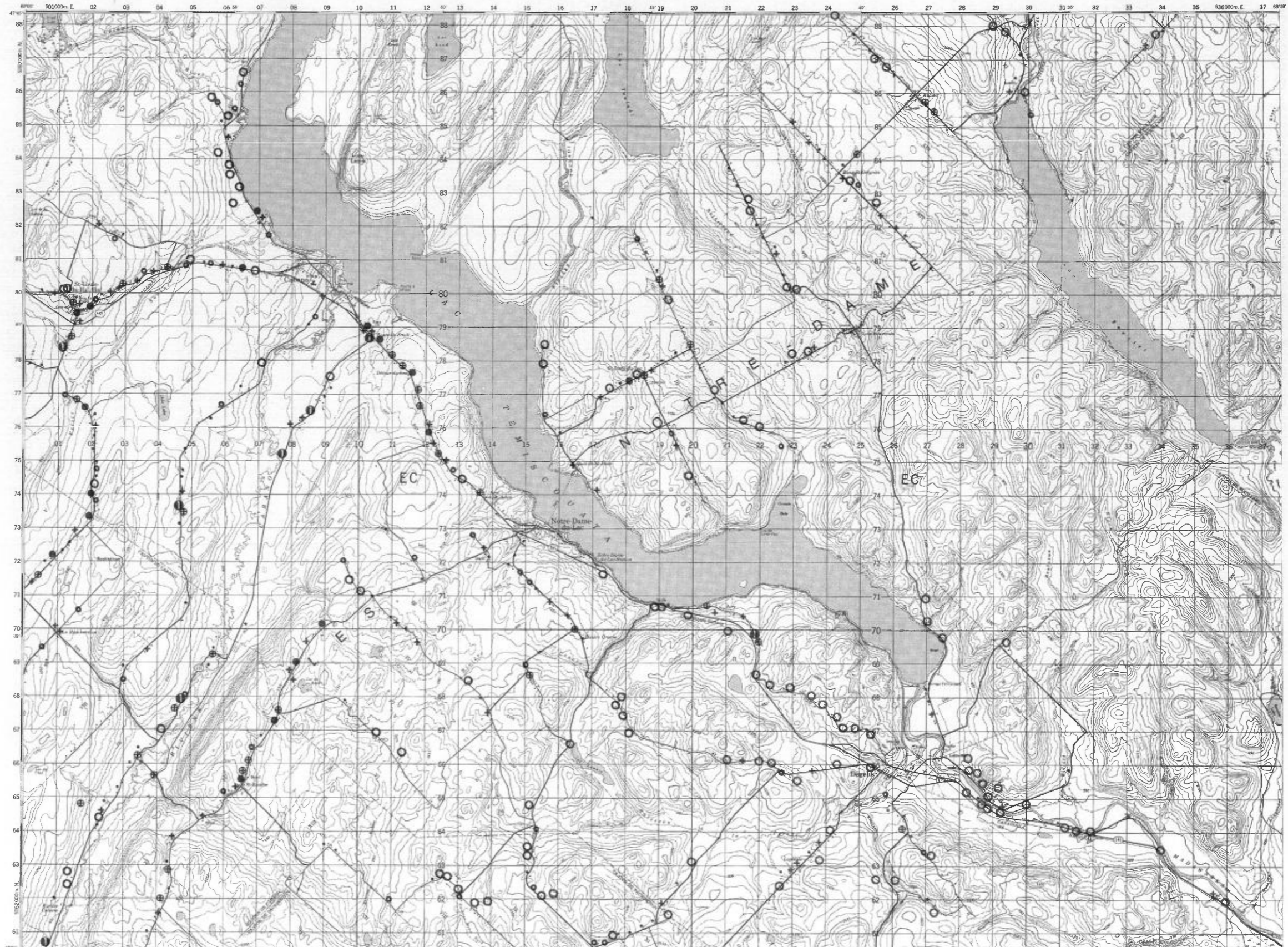


TENEURS (ppm)

- 1 - 4
- 5 - 6
- 7 - 17
- + 18 - 34
- ⊕ 35 - 65
- ⊗ 66 - 149
- ⓪ 150 - 299
- Ⓛ 300 - 599
- Ⓜ 600 - 1199
- Ⓝ 1200 - 2399

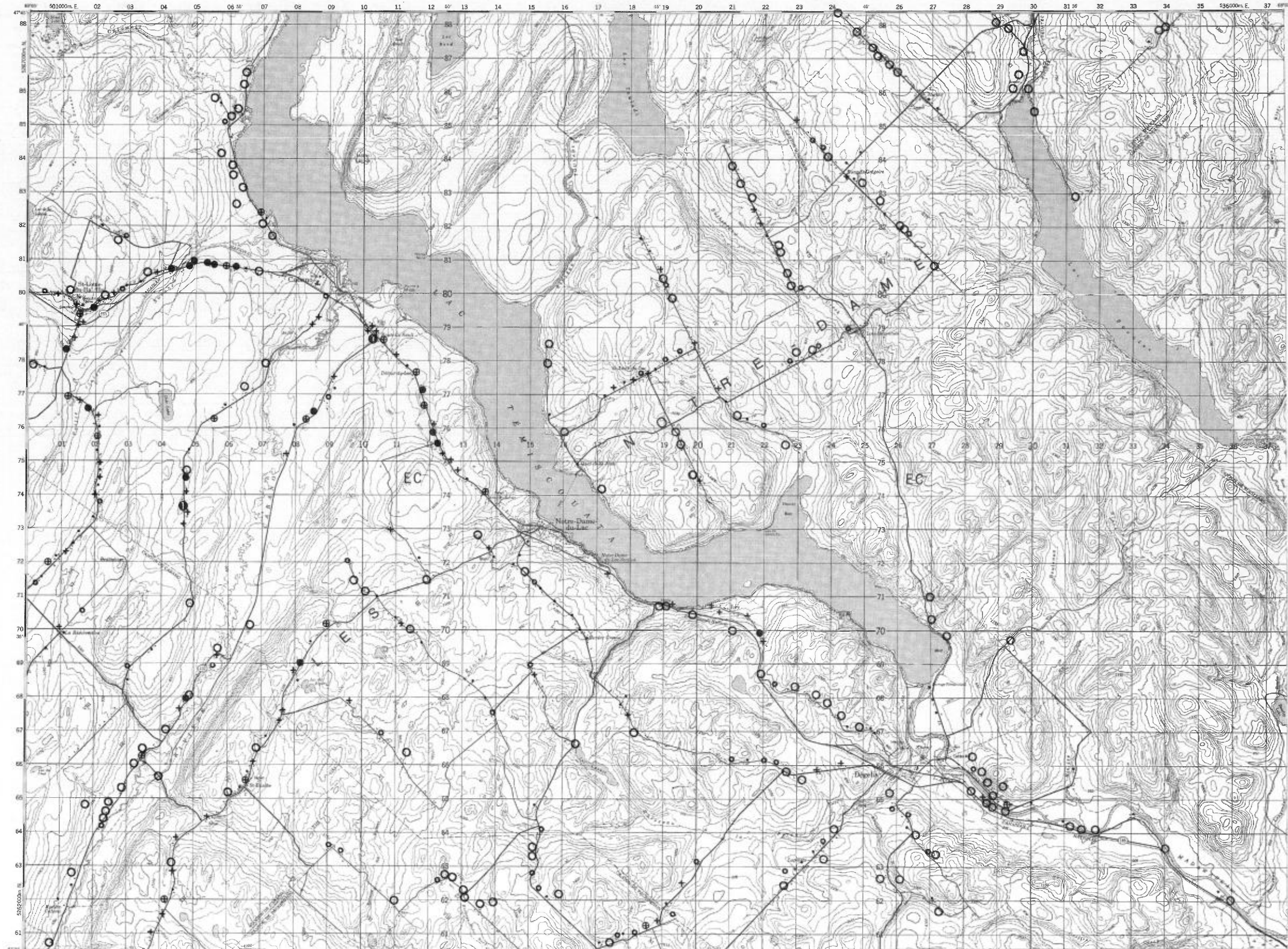


Service de la  
GÉOCHIMIE-GÉOPHYSIQUE



TENEURS (ppm)

- 0,9 - 2,9
- 3,0 - 4,5
- 4,6 - 11,4
- + 11,5 - 26,9
- ⊕ 27,0 - 54,9
- 55,0 - 122,9
- ① 123,0 - 249,9
- ② 250,0 - 499,9
- ③ 500,0 - 999,9
- ④ 1000,0 - 1999,9



Échelle 1:125 000  
 0 1 2 3  
 Kilomètres

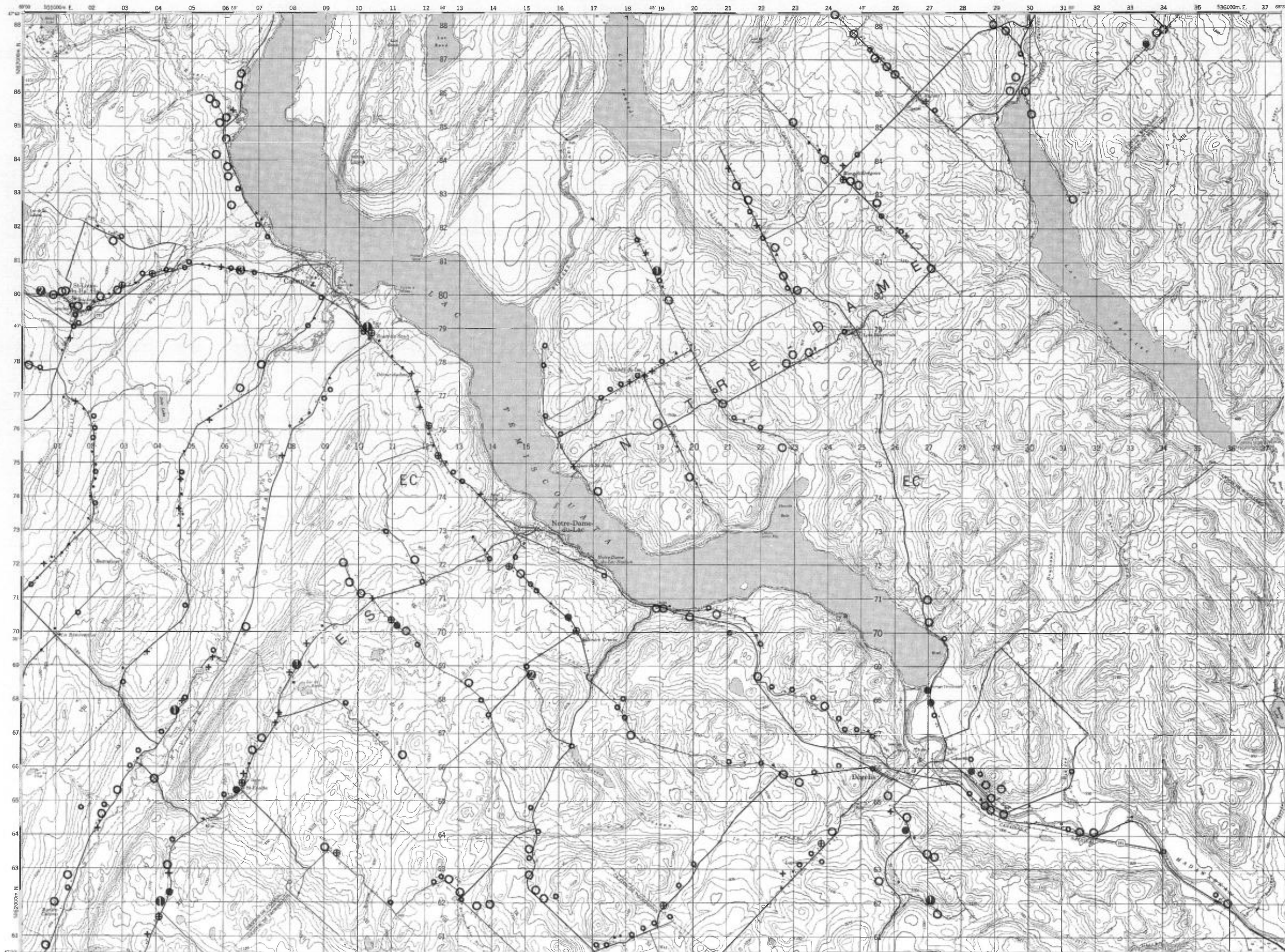
Service de la  
 GÉOCHIMIE-GÉOPHYSIQUE

Na



TENEURS (ppm)

- 0,2 - 0,5
- 0,6 - 0,9
- 1,0 - 2,1
- ⊕ 2,2 - 3,5
- ⊗ 3,6 - 4,9
- 5,0 - 8,9
- ⊕ 9,0 - 17,9
- ⊗ 18,0 - 35,9
- ⊕ 36,0 - 71,9



Échelle 1:125 000



Service de la  
GÉOCHIMIE-GÉOPHYSIQUE

TENEURS (ppm)

- 1.0 - 29.9
- 30.0 - 44.9
- 45.0 - 72.9
- + 73.0 - 88.9
- ⊕ 89.0 - 104.9
- 105.0 - 139.9
- ⊙ 140.0 - 279.9
- ⊙ 280.0 - 559.9



Echelle 1:125 000

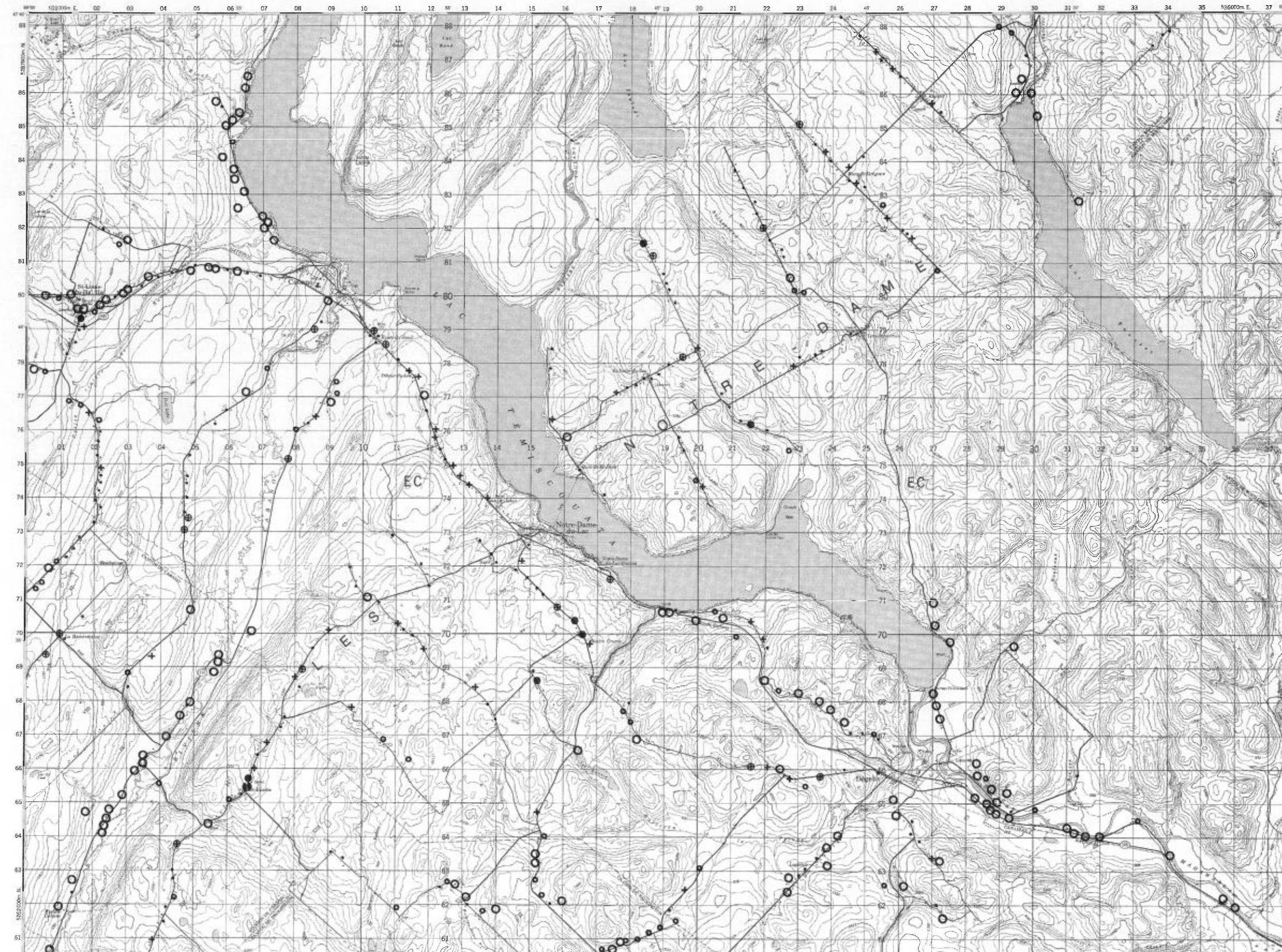


Service de la  
GÉOCHIMIE-GÉOPHYSIQUE

Ca

TENEURS (ppm)

- 0,1 — 4,2
- 4,3 — 6,3
- 6,4 — 11,9
- + 12,0 — 16,2
- ⊕ 16,3 — 20,0
- 20,1 — 27,9
- ⊕ 28,0 — 55,9
- 56,0 — 111,9



Échelle 1:125 000

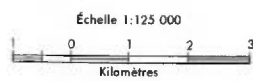


Service de la  
GÉOCHIMIE-GÉOPHYSIQUE

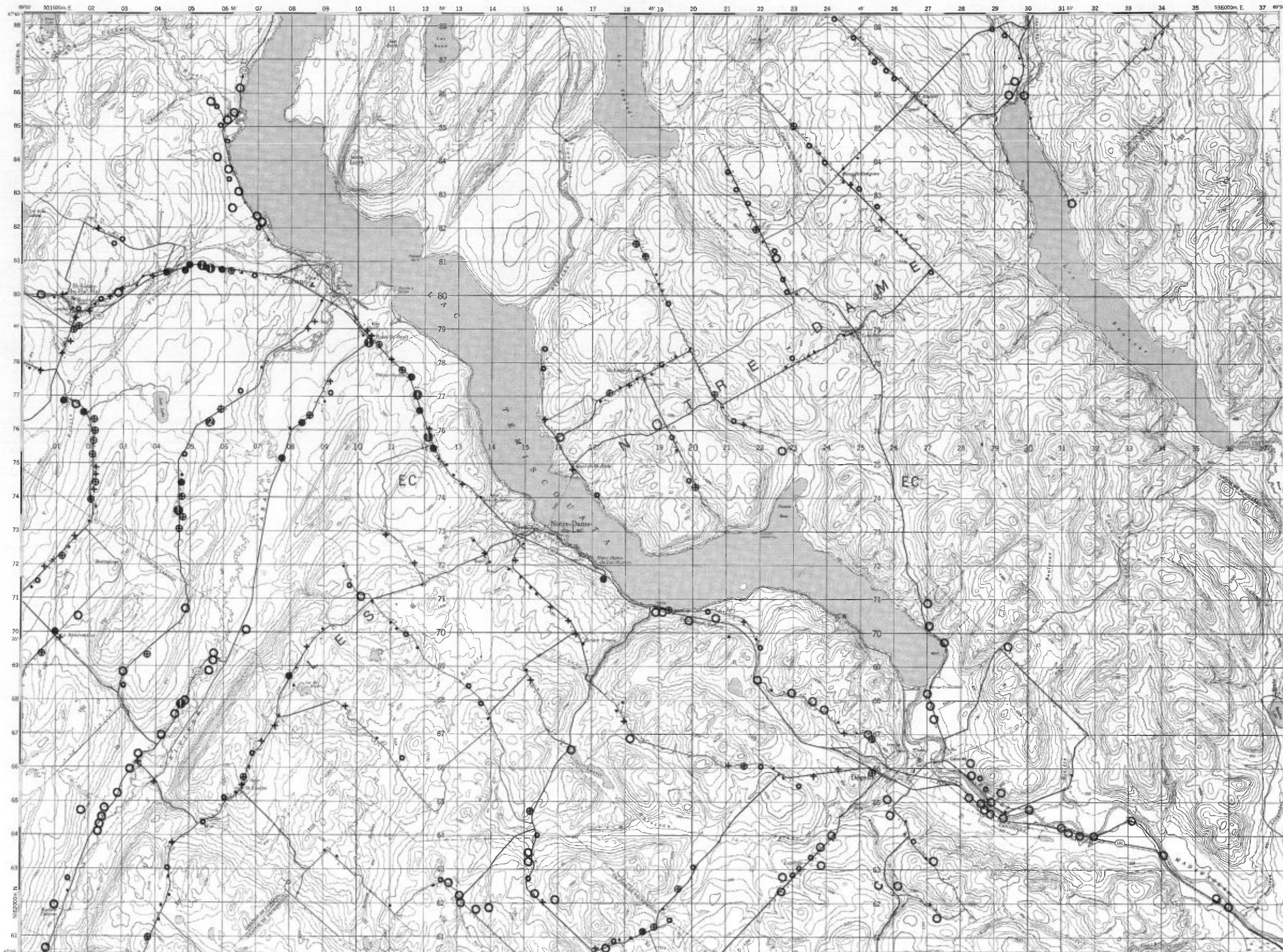
Mg

TENEURS (ppb)

- 0,1 - 5,5
- 5,6 - 7,9
- 8,0 - 15,4
- ⊕ 15,5 - 25,9
- ⊕ 26,0 - 41,9
- 42,0 - 115,0
- ⊕ 115,1 - 229,9
- ⊕ 230,0 - 459,9
- ⊕ 460,0 - 919,9
- ⊕ 920,0 - 1839,9
- ⊕ 1840,0 - 3679,9



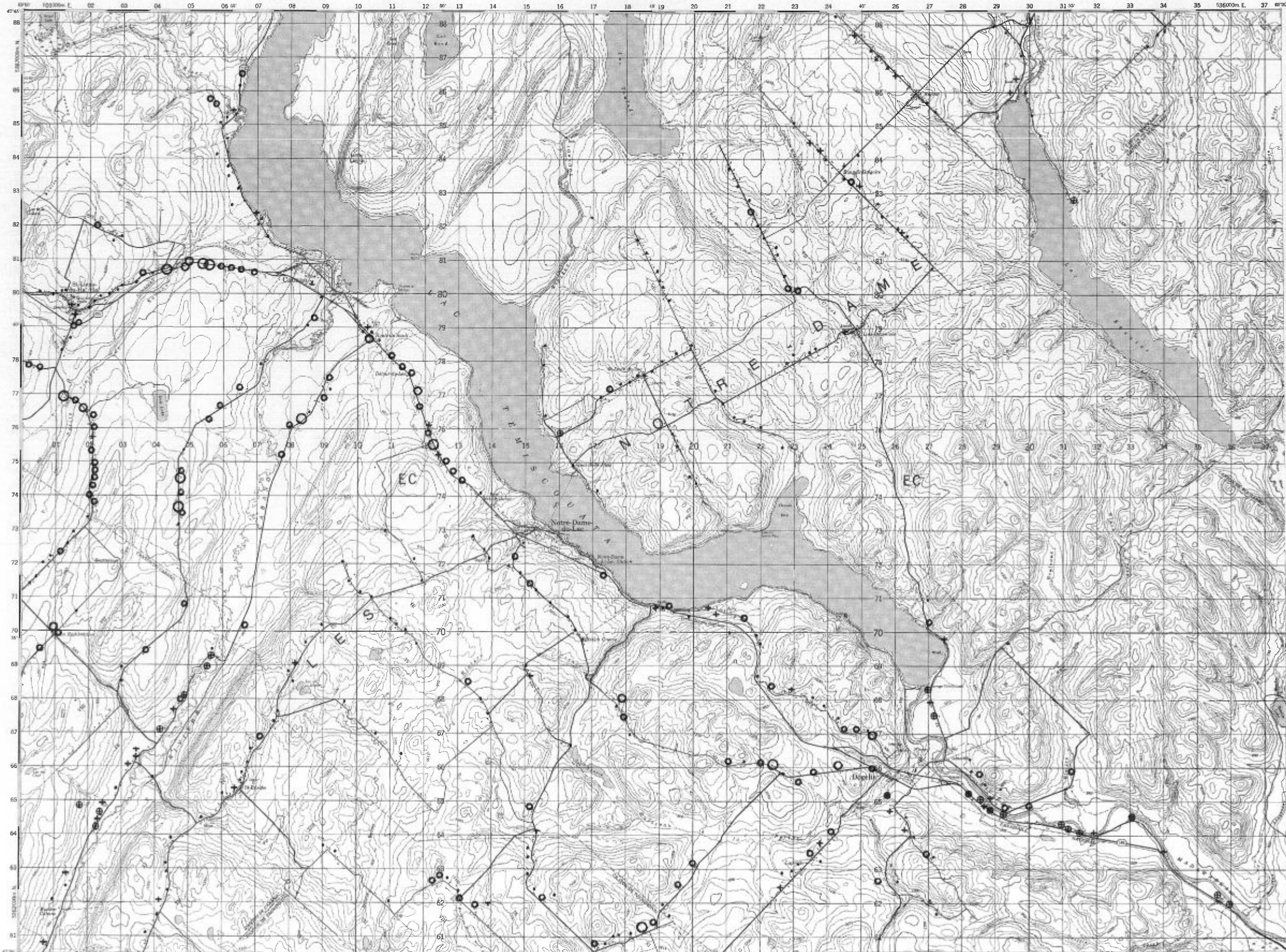
Service de la  
GÉOCHIMIE-GÉOPHYSIQUE



CABANO

TENEURS (unité)

- 0.0 - 5.7
- ⊕ 5.8 - 6.2
- + 6.3 - 6.7
- 6.8 - 7.2
- 7.3 - 7.7
- 7.8 - 8.2
- 8.3 - 14.0



Échelle 1:125 000

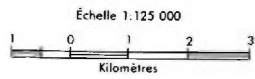


Service de la  
GÉOCHIMIE-GÉOPHYSIQUE

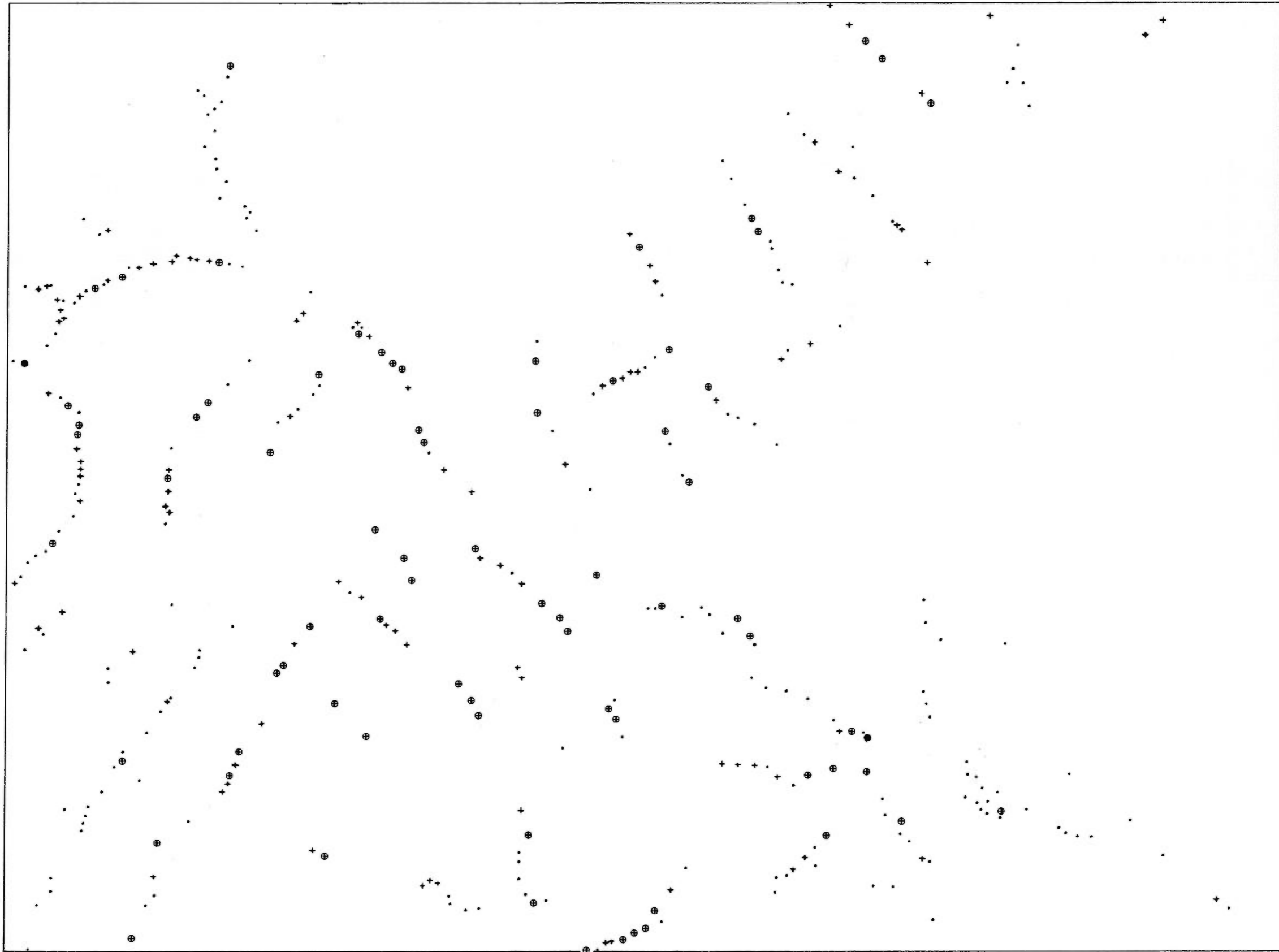
pH

PROFONDEUR DES PUIITS

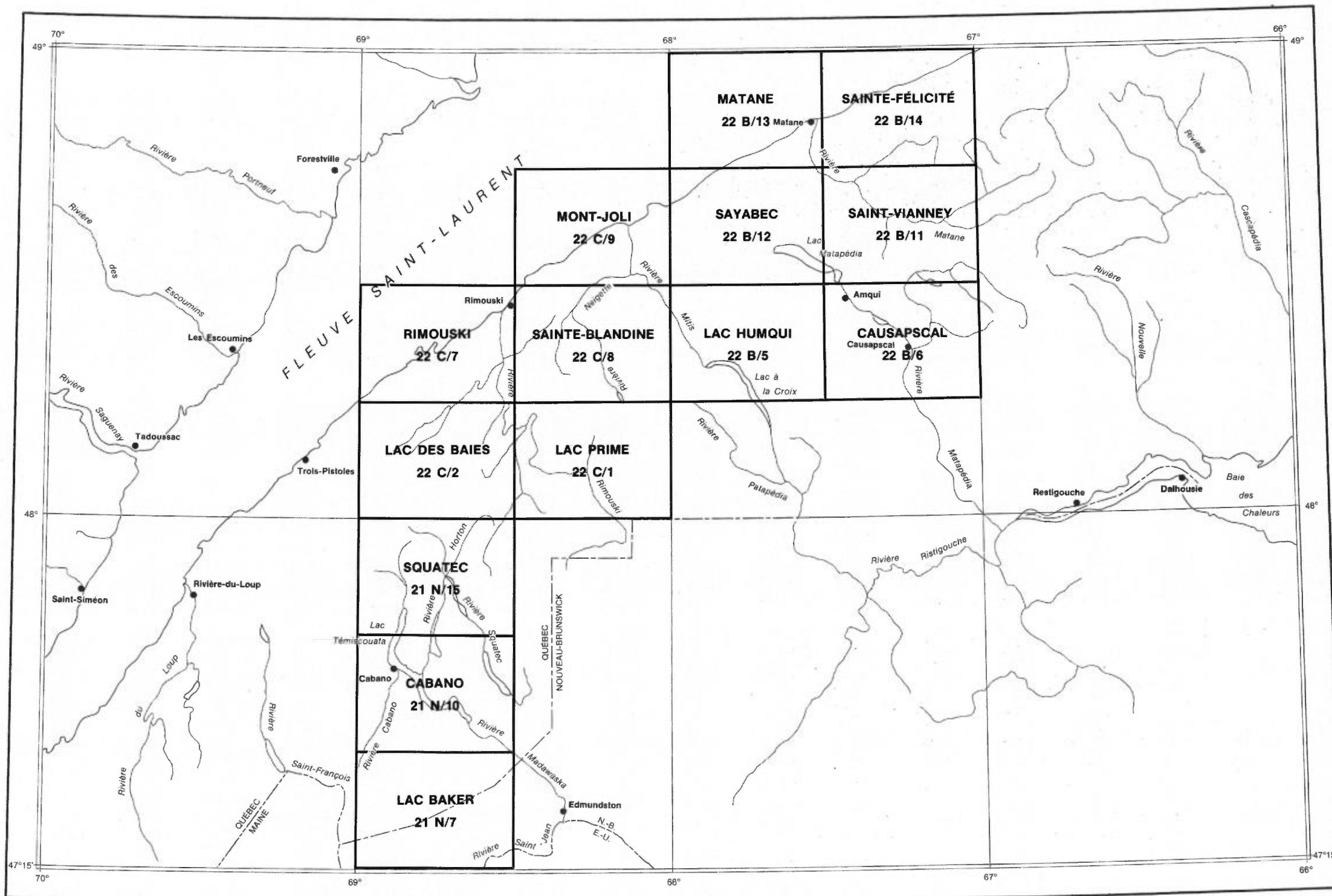
- pieds
- 1 — 75
  - + 76 — 150
  - ⊕ 151 — 300
  - 301 — 600



Service de la  
GÉOCHIMIE-GÉOPHYSIQUE



PROFONDEUR  
DES PUIITS

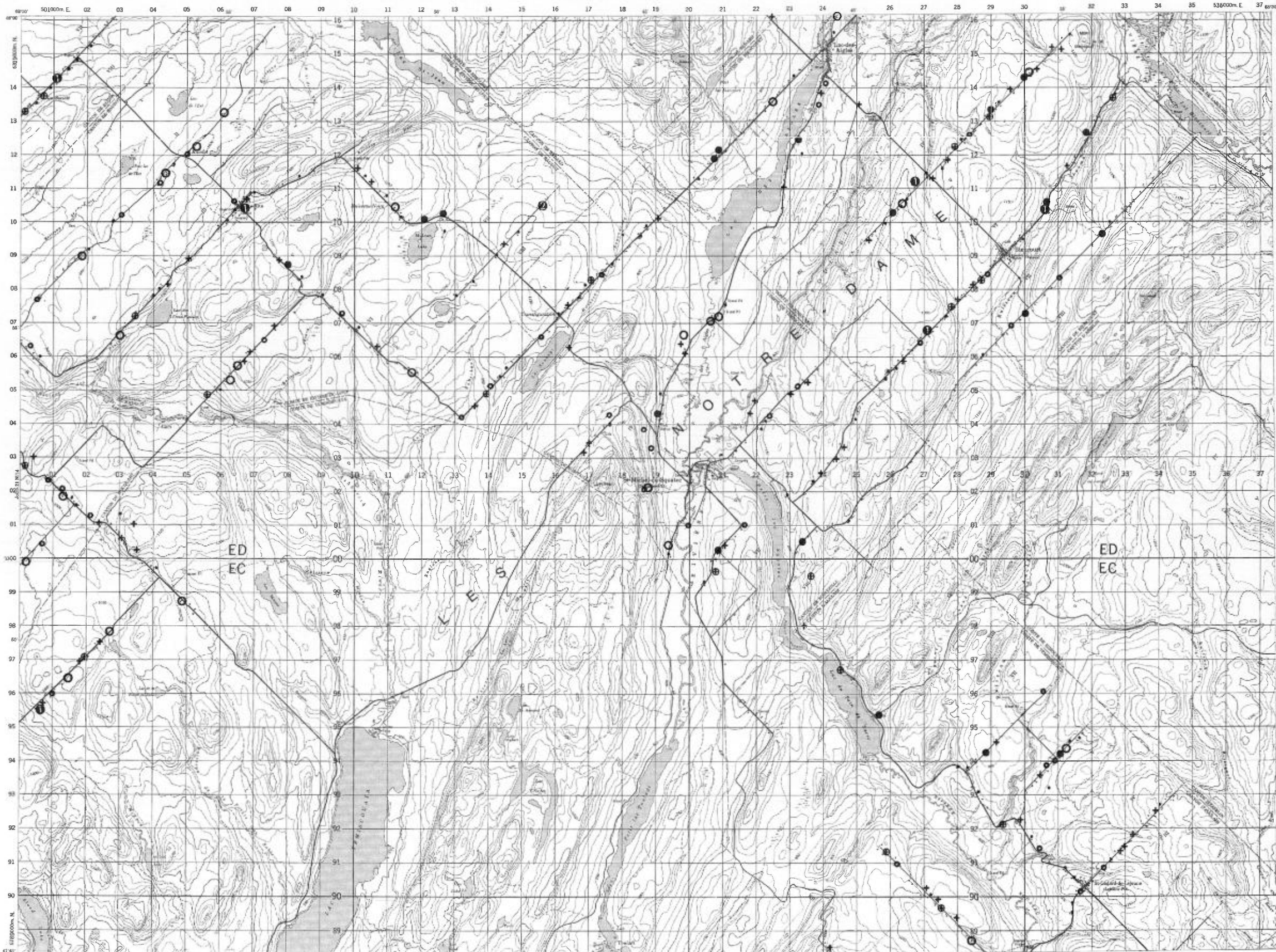


**INDEX DES CARTES GÉOCHIMIQUES**  
**RÉGION DU BAS SAINT-LAURENT**



TENEURS (ppb)

- 1 - 8
- 9 - 13
- 14 - 29
- ⊕ 30 - 54
- ⊗ 55 - 89
- 90 - 179
- ⊙ 180 - 359
- ⊚ 360 - 719
- ⊛ 720 - 1439
- ⊜ 1440 - 2879



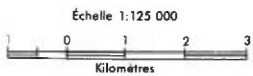
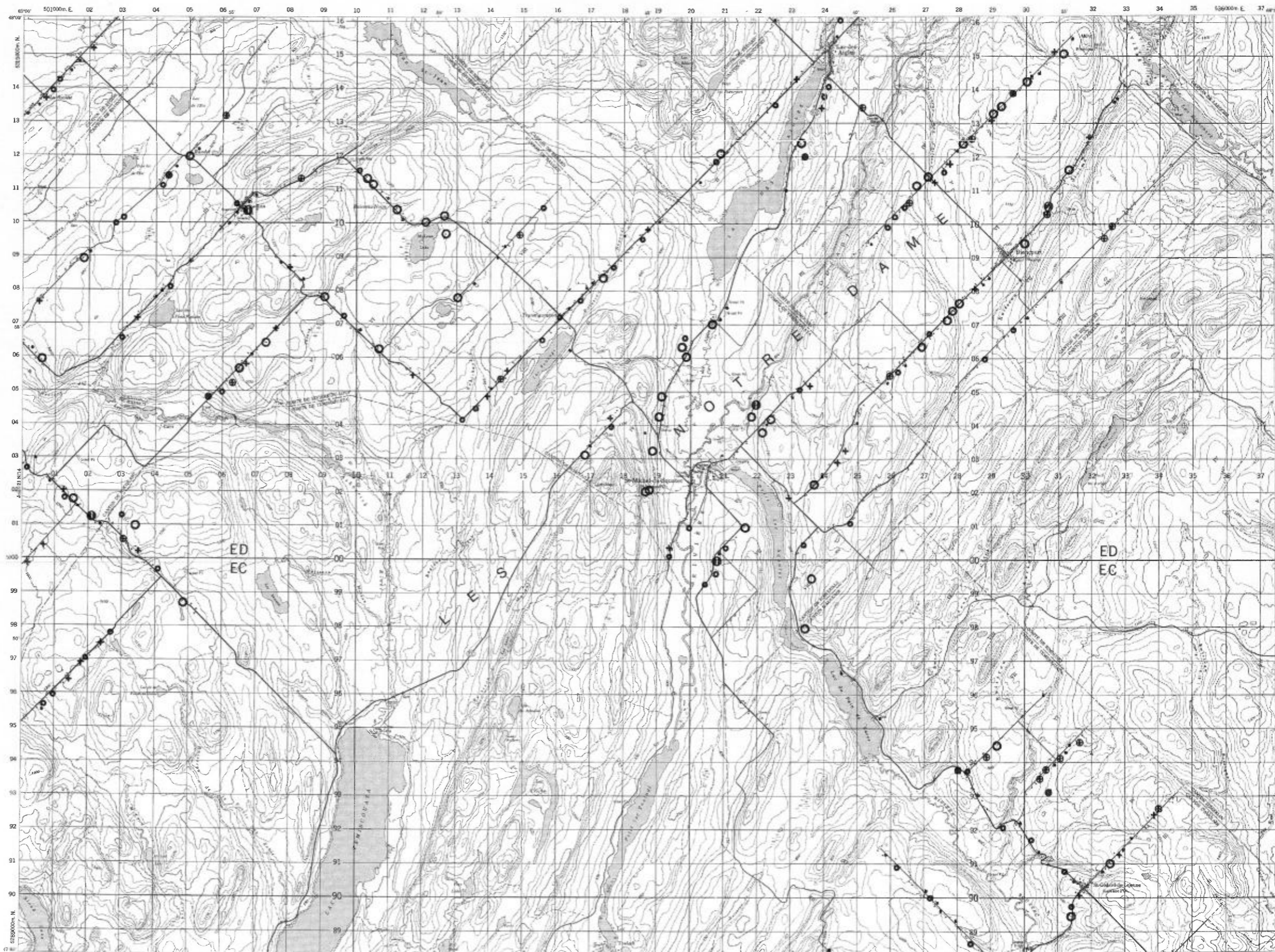
Échelle 1:125 000



Service de la  
 GÉOCHIMIE-GÉOPHYSIQUE



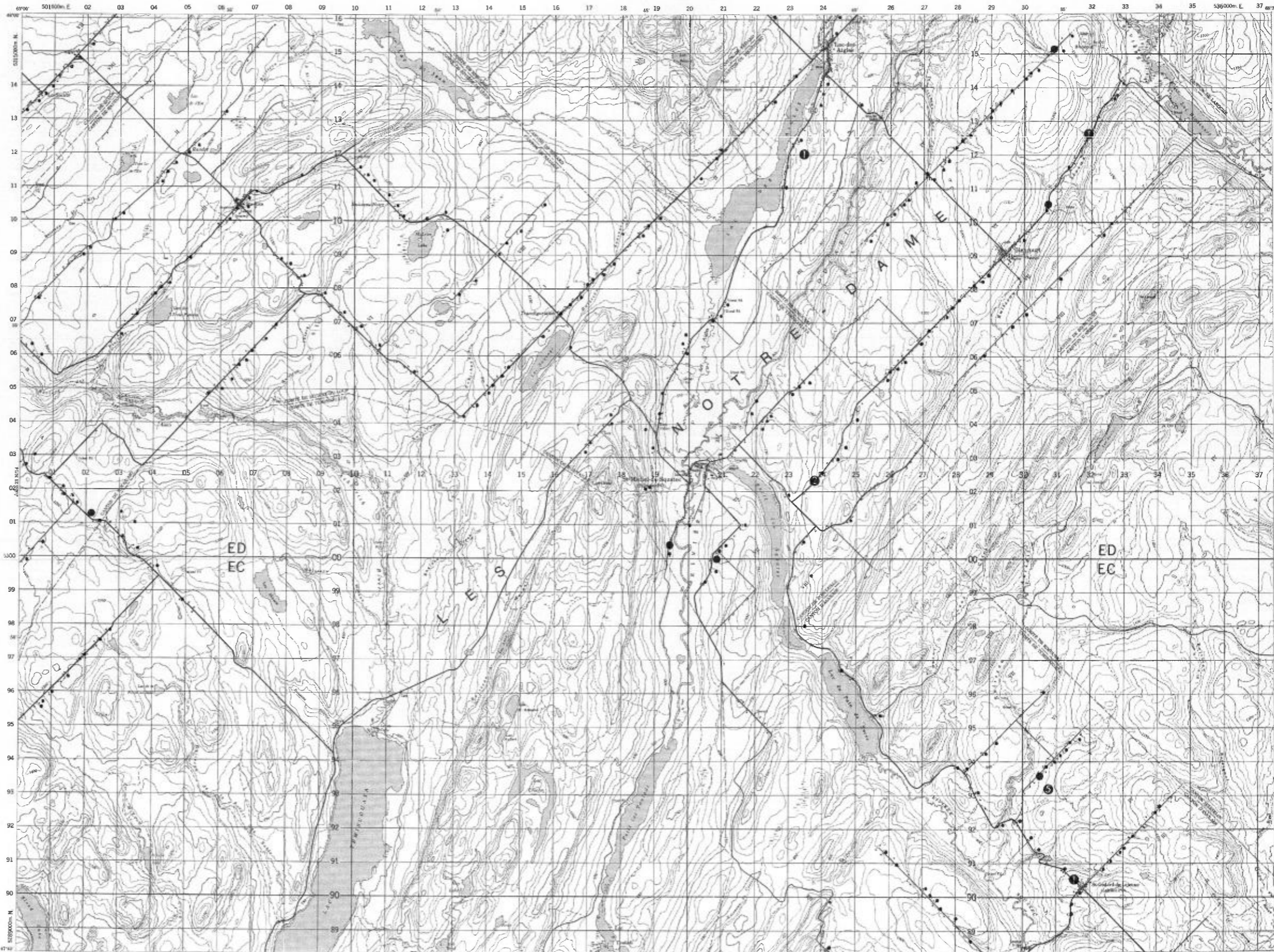
- TENEURS (ppb)
- 4 - 12
  - 14 - 34
  - 36 - 144
  - + 146 - 338
  - ⊕ 340 - 738
  - 740 - 1498
  - ① 1500 - 2998
  - ② 3000 - 5998
  - ③ 6000 - 11998
  - ④ 12000 - 23998



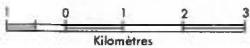
Service de la  
 GÉOCHIMIE-GÉOPHYSIQUE

TENEURS (ppb)

- 1
- 2 - 4
- ① 5 - 9
- ② 10 - 19
- ③ 20 - 39
- ④ 40 - 79
- ⑤ 80 - 159
- ⑥ 160 - 219



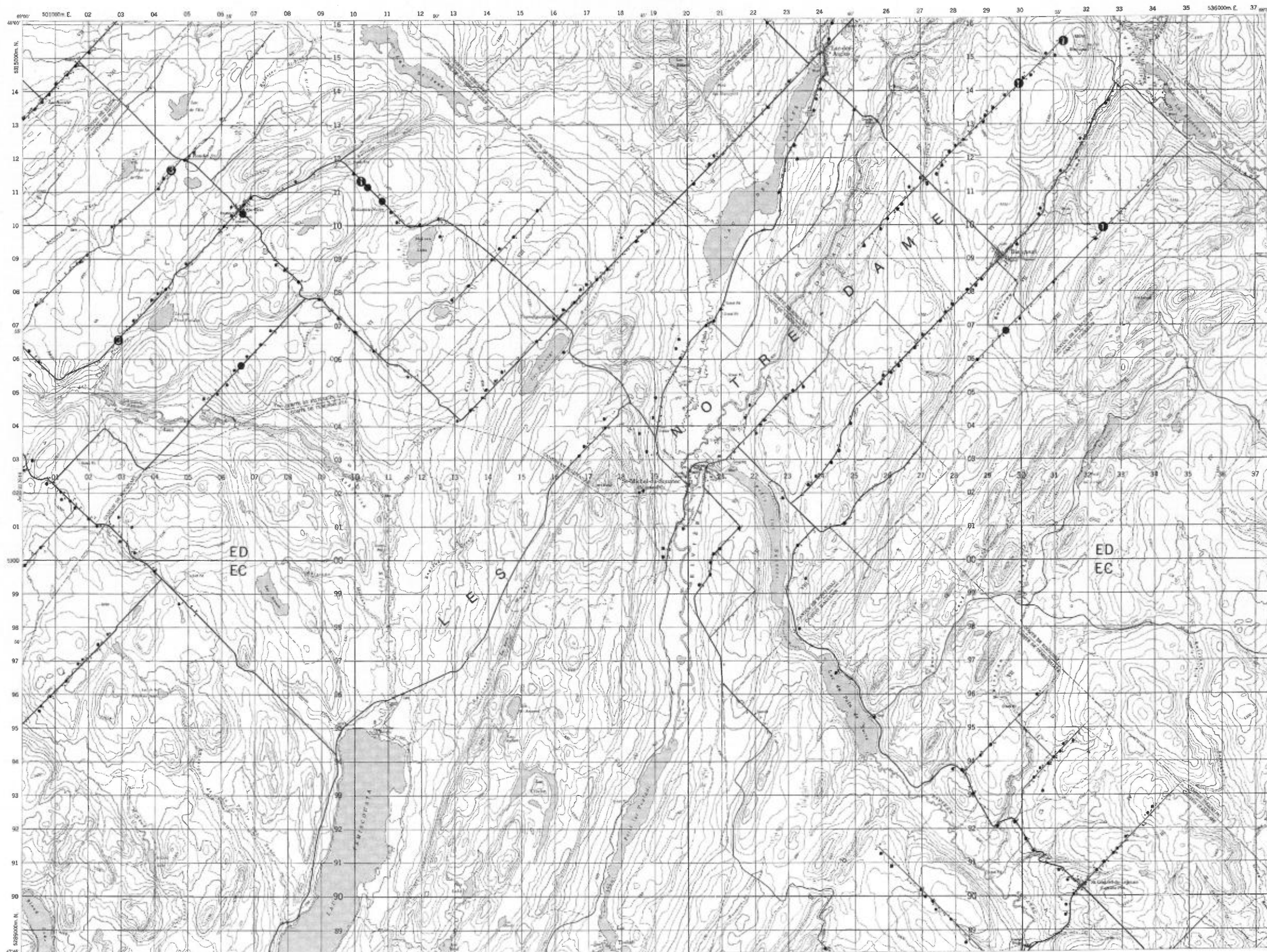
Échelle 1:125 000



Service de la  
 GÉOCHIMIE-GÉOPHYSIQUE

TENEURS (ppb)

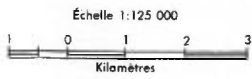
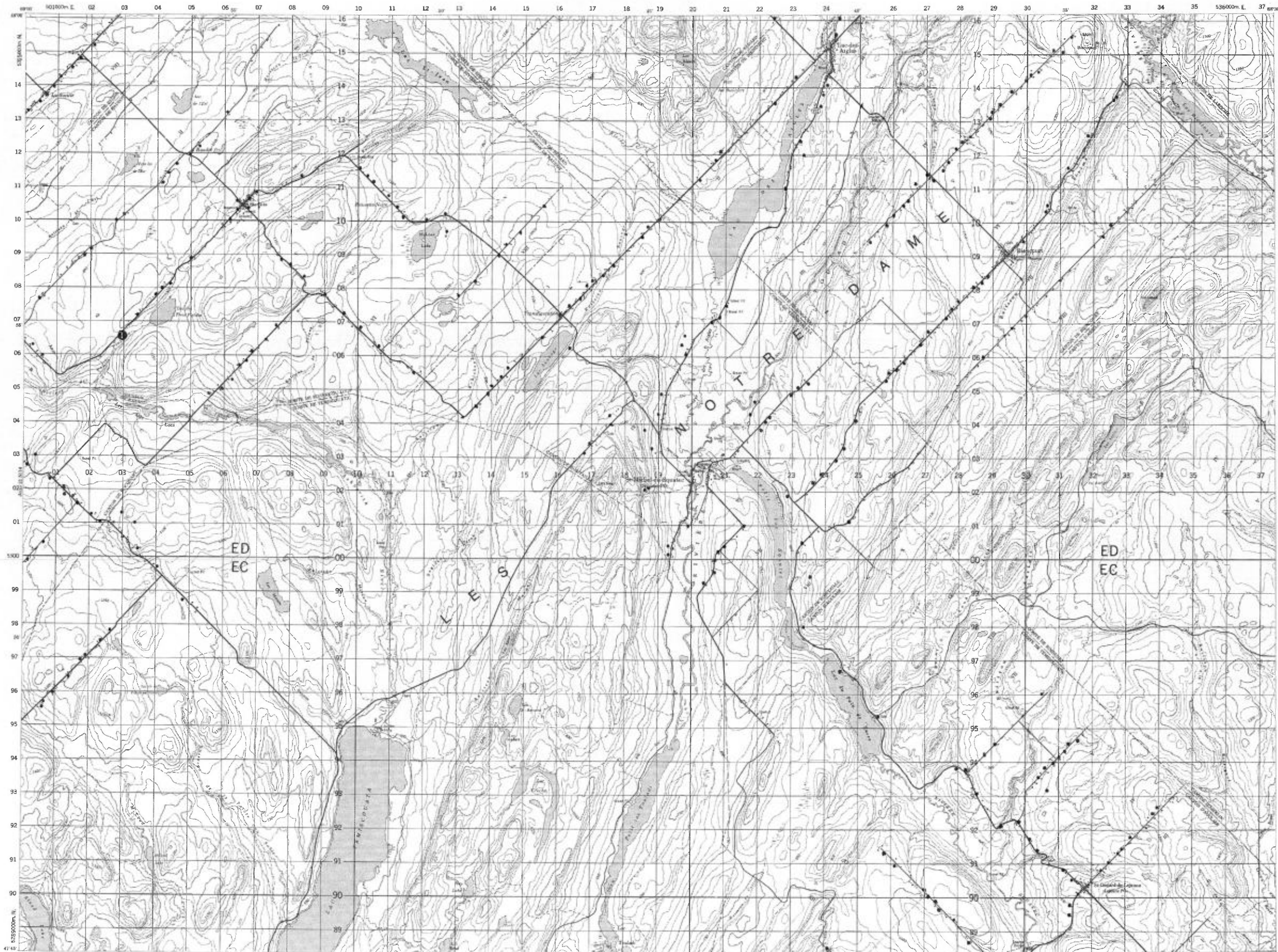
- 1
- 2 - 5
- ① 6 - 11
- ② 12 - 24
- ③ 25 - 49
- ④ 50 - 99
- ⑤ 100 - 199
- ⑥ 200 - 399



Service de la  
GÉOCHIMIE-GÉOPHYSIQUE

TENEURS (ppb)

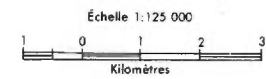
- 1
- 2 - 3
- ⊙ 4 - 7
- ⊕ 8 - 15
- ⊗ 16 - 31
- ⊘ 32 - 63



Service de la  
GÉOCHIMIE-GÉOPHYSIQUE

TENEURS (ppb)

- 0,1
- 0,2
- ① 0,3 — 0,5
- ② 0,6 — 1,1
- ③ 1,2 — 2,3
- ④ 2,4 — 4,9
- ⑤ 5,0 — 9,9
- ⑥ 10,0 — 19,9
- ⑦ 20,0 — 39,9
- ⑧ 40,0 — 79,9

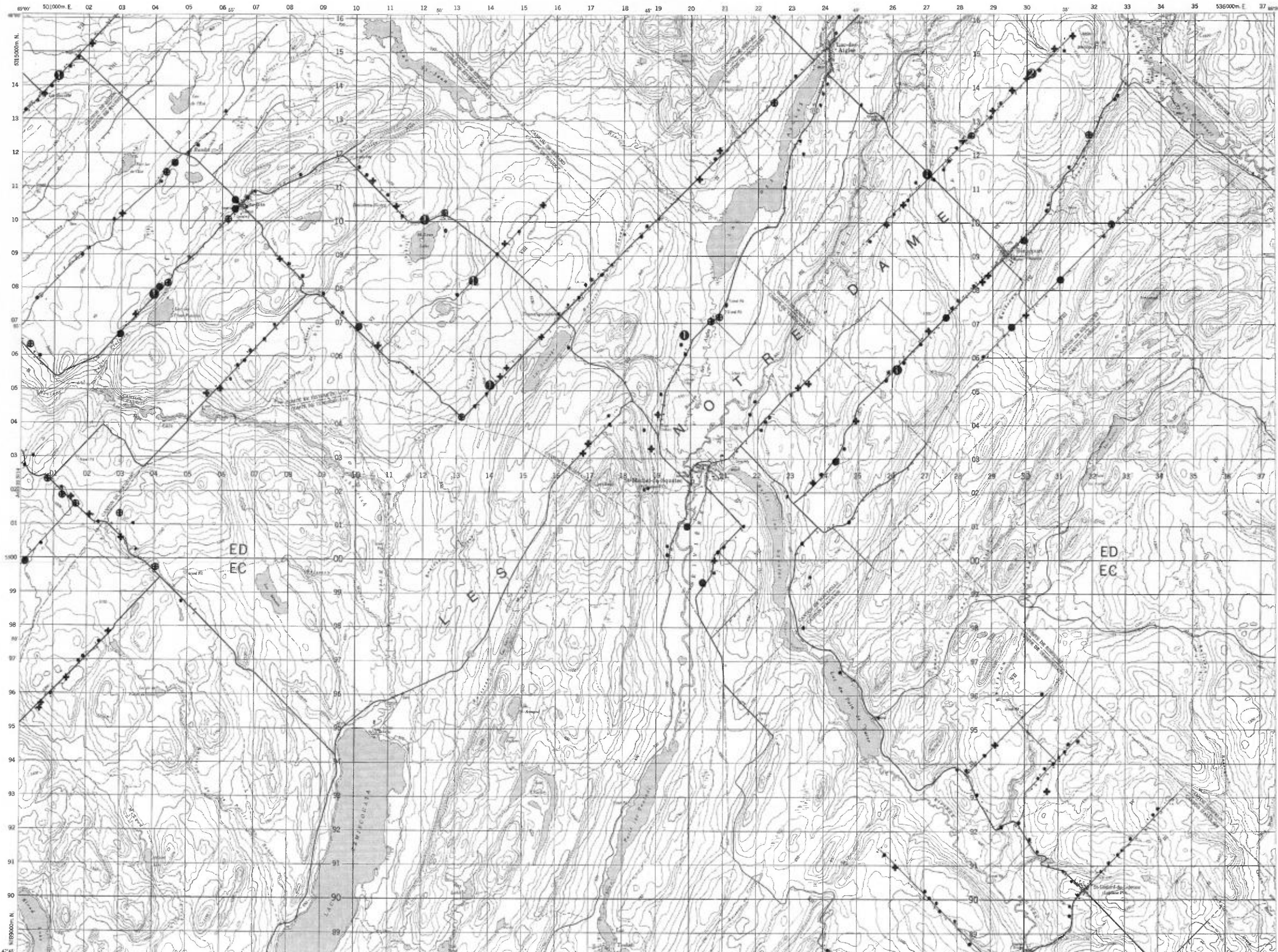


Service de la  
GÉOCHIMIE-GÉOPHYSIQUE



TENEURS (ppb)

- 5 - 10
- + 15 - 50
- ⊕ 55 - 145
- ⊙ 150 - 455
- ⊖ 460 - 895
- ⊗ 900 - 1795
- ⊘ 1800 - 3595



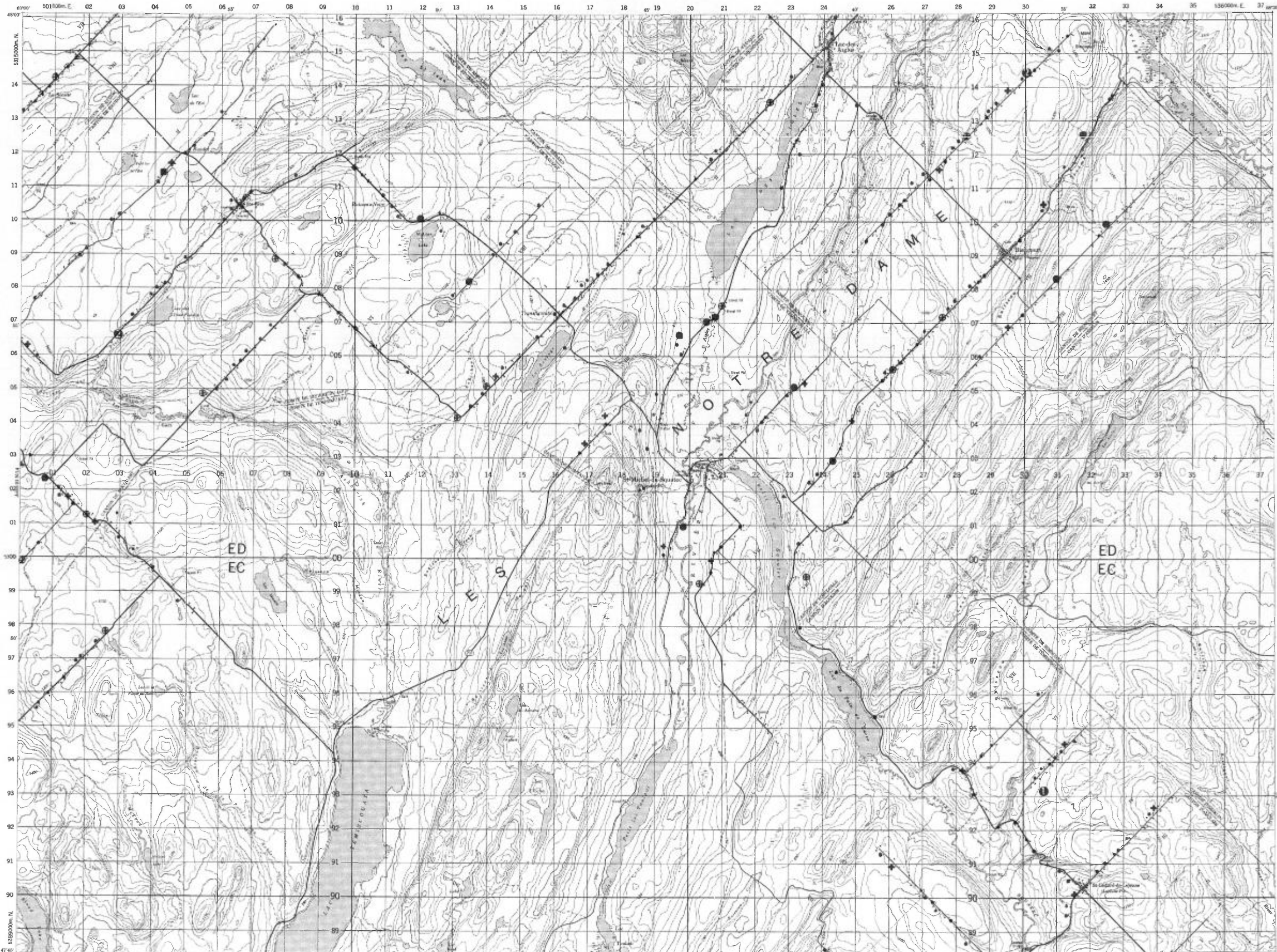
Échelle 1:125 000



Service de la  
GÉOCHIMIE-GÉOPHYSIQUE

TENEURS (ppm)

- 0.1
- + 0.2
- ⊕ 0.3 - 0.4
- ⊙ 0.5 - 1.3
- ① 1.4 - 2.7
- ② 2.8 - 5.5
- ③ 5.6 - 11.1



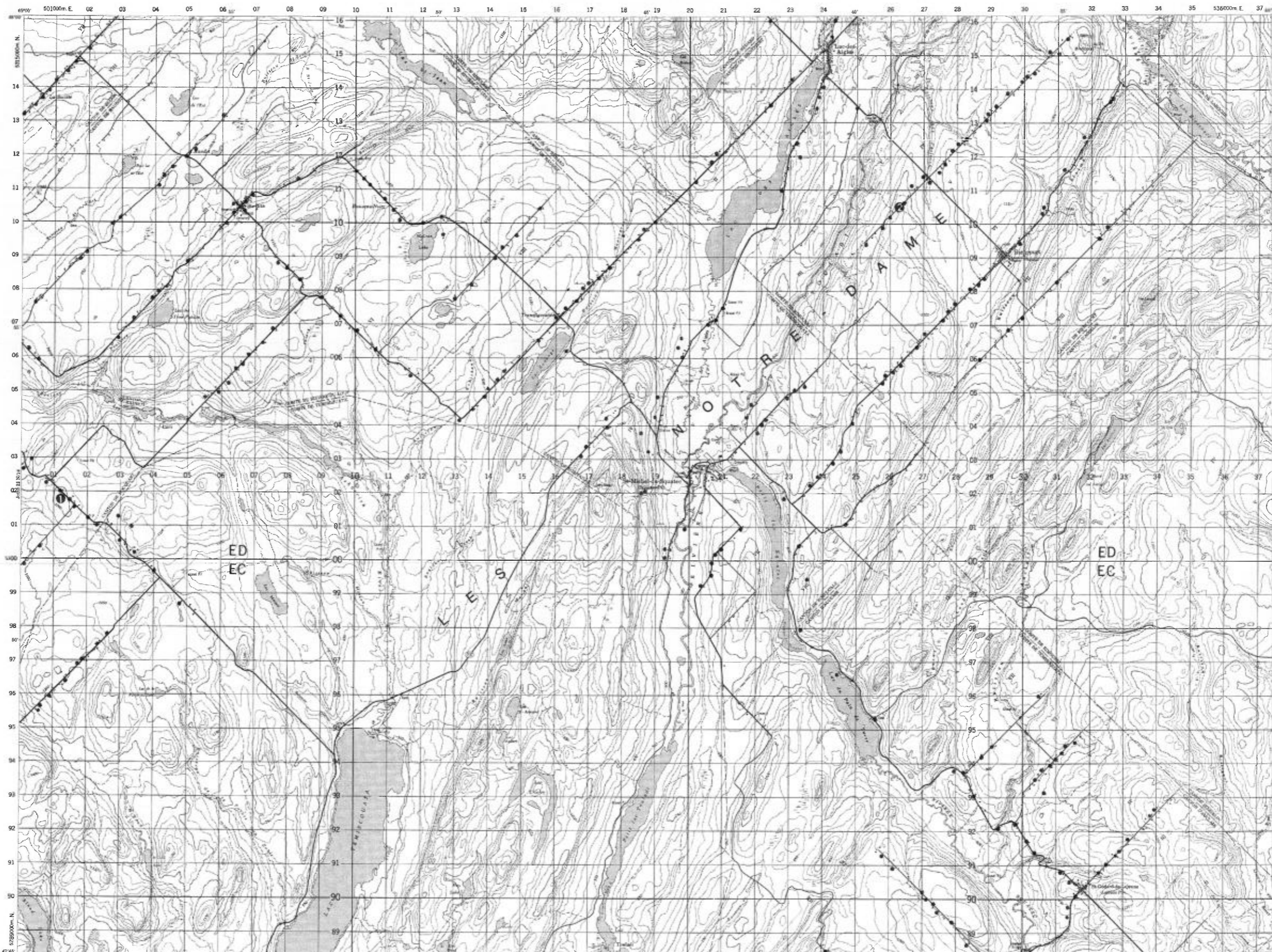
Échelle 1:125 000



Service de la  
GÉOCHIMIE-GÉOPHYSIQUE

TENEURS (ppb)

- 1
- 2
- ① 3 - 5
- ② 6 - 11

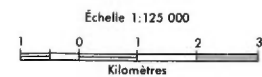


Service de la  
GÉOCHIMIE-GÉOPHYSIQUE

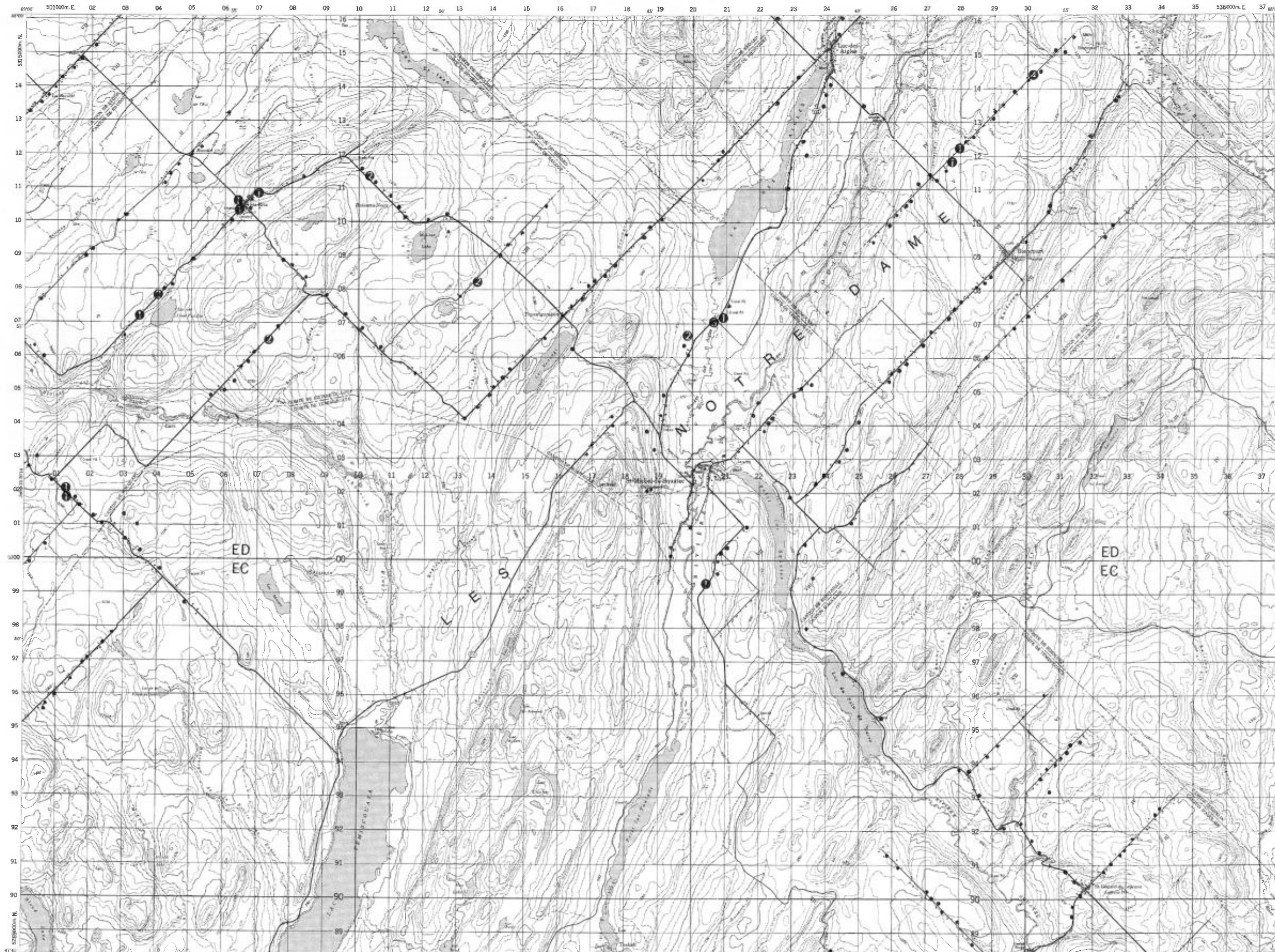


TENEURS (ppb)

- 2
- + 3 - 5
- ⊕ 6 - 11
- 12 - 23
- ⊙ 24 - 47
- ⦿ 48 - 95



Service de la  
GÉOCHIMIE-GÉOPHYSIQUE

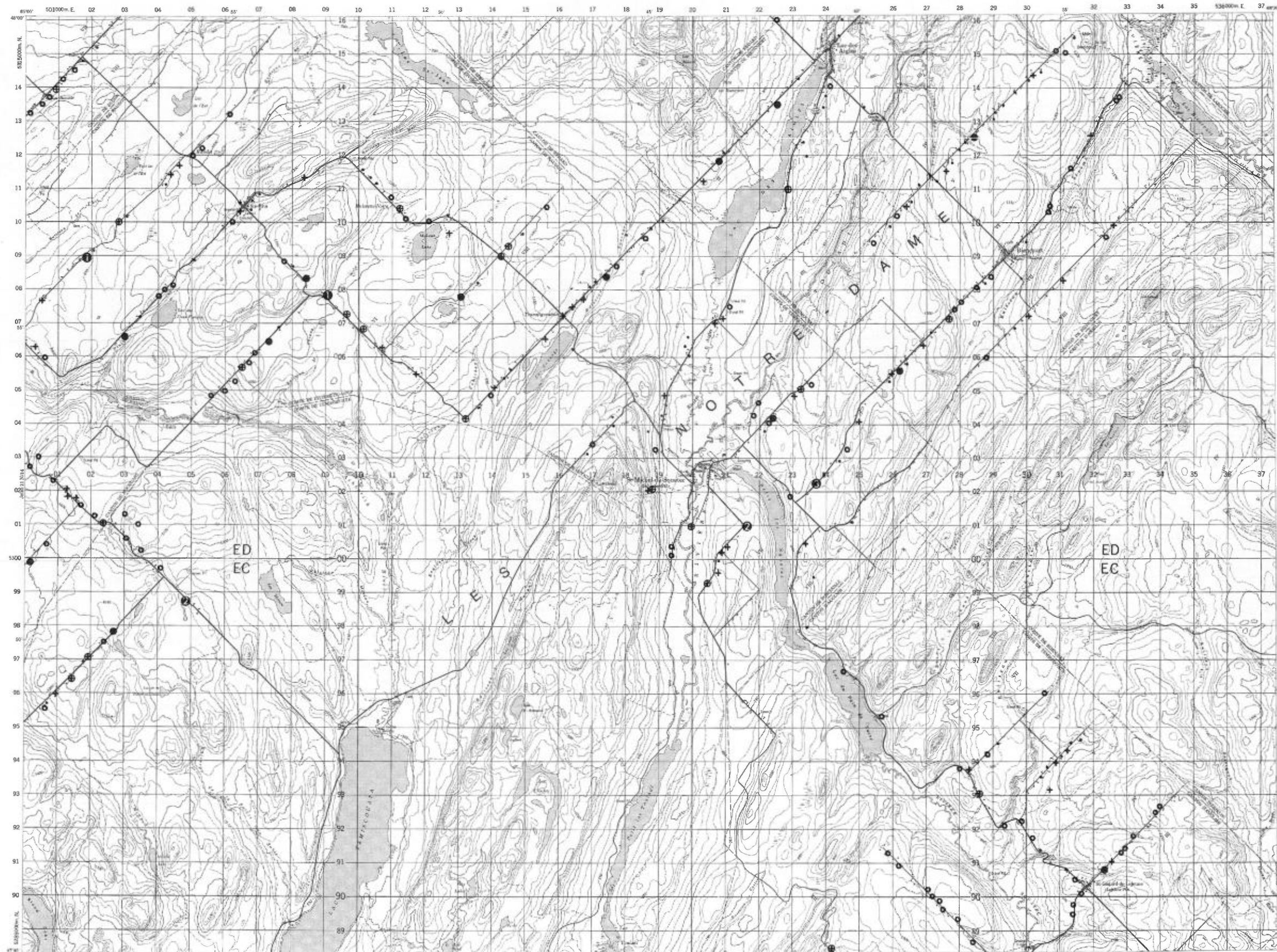


TENEURS (ppm)

- 0,01 — 0,04
- 0,05 — 0,07
- + 0,08 — 0,12
- ⊕ 0,13 — 0,22
- 0,23 — 0,54
- ① 0,55 — 1,09
- ② 1,10 — 2,19
- ③ 2,20 — 4,39
- ④ 4,40 — 8,79

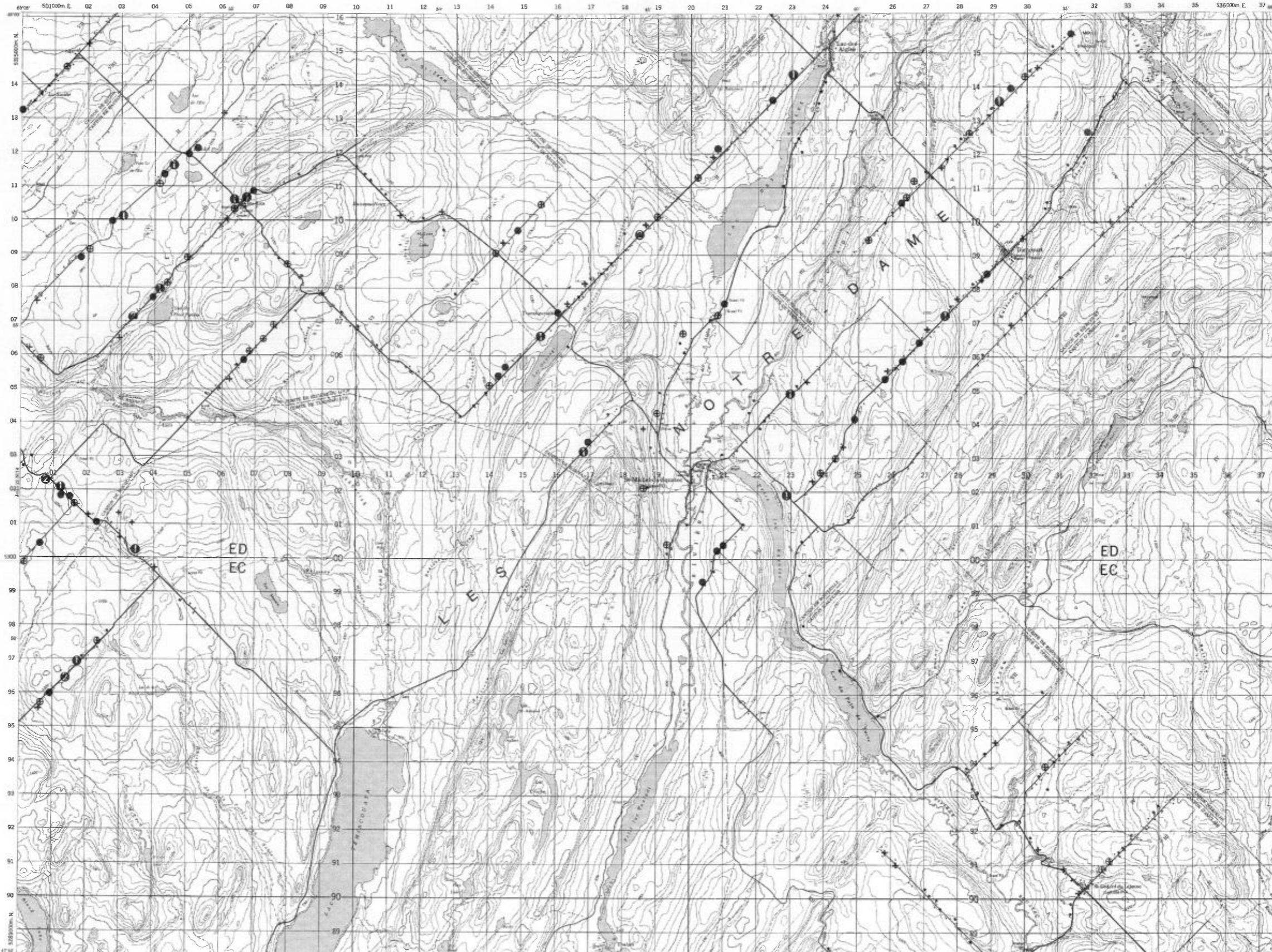


Service de la  
GÉOCHIMIE-GÉOPHYSIQUE



TENEURS (ppb)

- 2 - 3
- + 4 - 5
- ⊕ 6 - 8
- ⊙ 9 - 19
- ① 20 - 39
- ② 40 - 79
- ③ 80 - 159



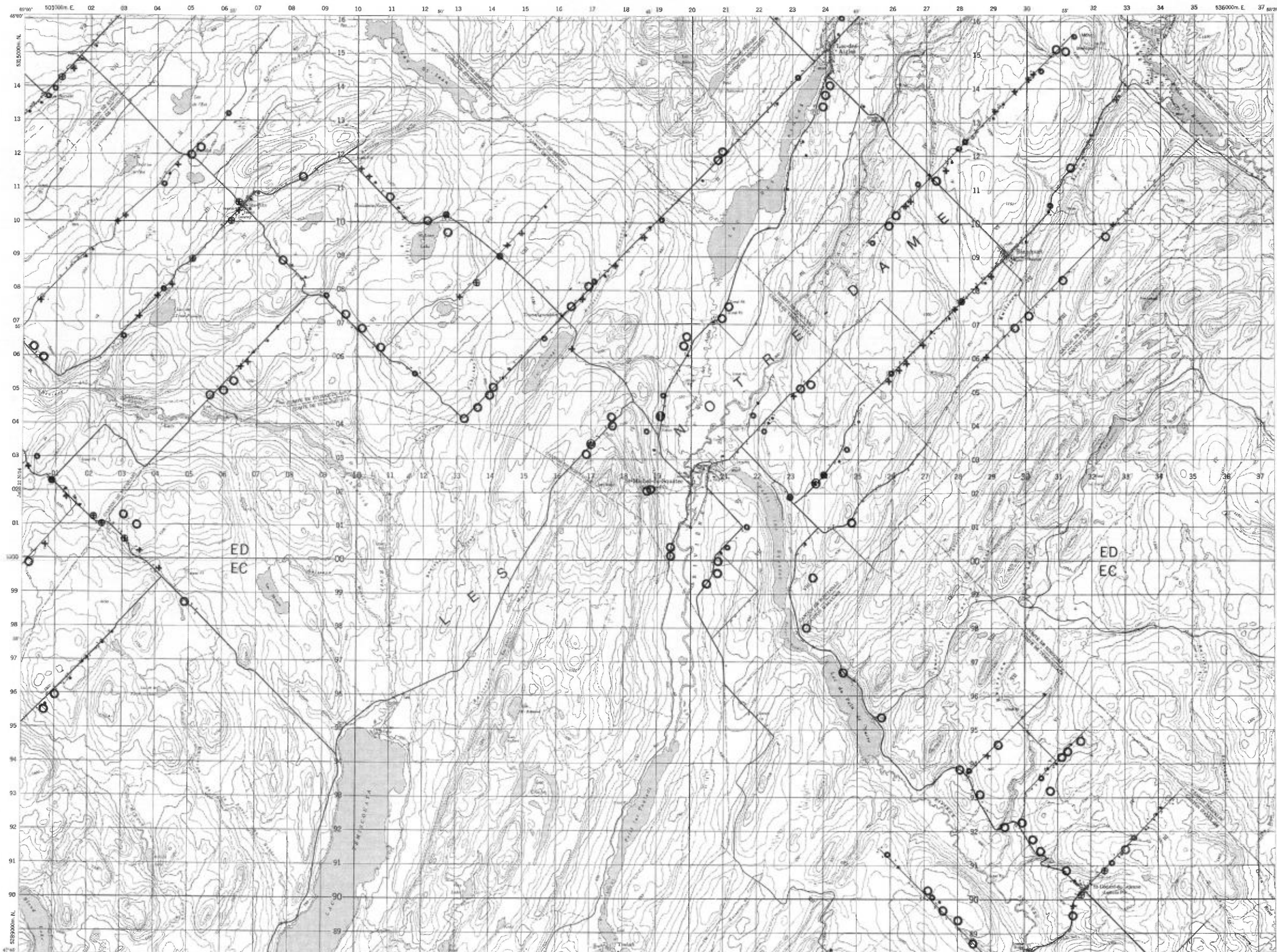
Service de la  
 GÉOCHIMIE-GÉOPHYSIQUE

SQUATEC

RÉGION DU BAS SAINT-LAURENT

TENEURS (ppm)

- 1 - 4
- 5 - 6
- 7 - 17
- + 18 - 34
- ⊕ 35 - 65
- 66 - 149
- ① 150 - 299
- ② 300 - 599
- ③ 600 - 1199
- ④ 1200 - 2399



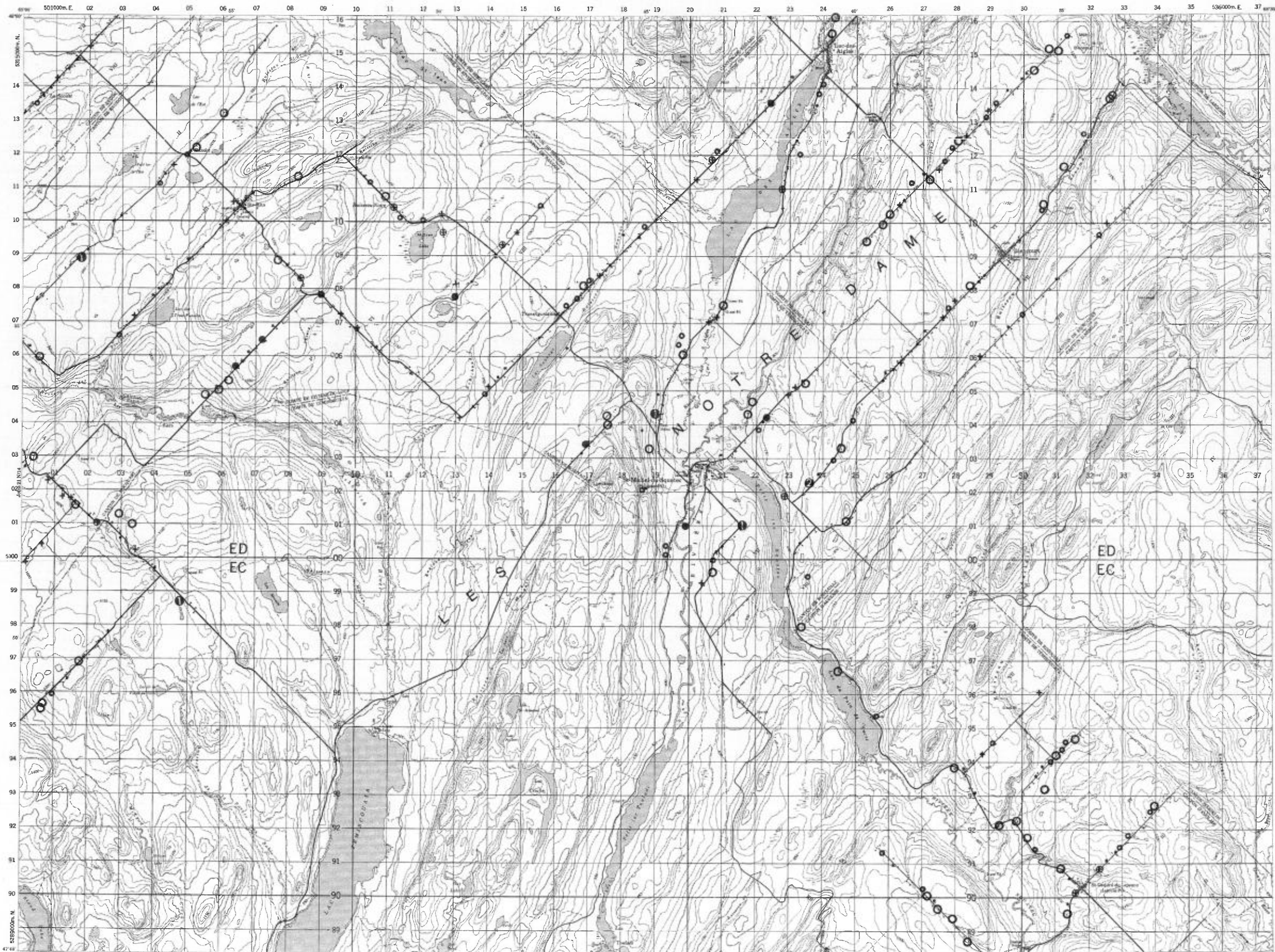
Échelle 1:125 000



Service de la  
GÉOCHIMIE-GÉOPHYSIQUE

TENEURS (ppm)

- 0.9 — 2.9
- 3.0 — 4.5
- 4.6 — 11.4
- ⊕ 11.5 — 26.9
- ⊕ 27.0 — 54.9
- 55.0 — 122.9
- ⊕ 123.0 — 249.9
- ⊕ 250.0 — 499.9
- ⊕ 500.0 — 999.9
- ⊕ 1000.0 — 1999.9



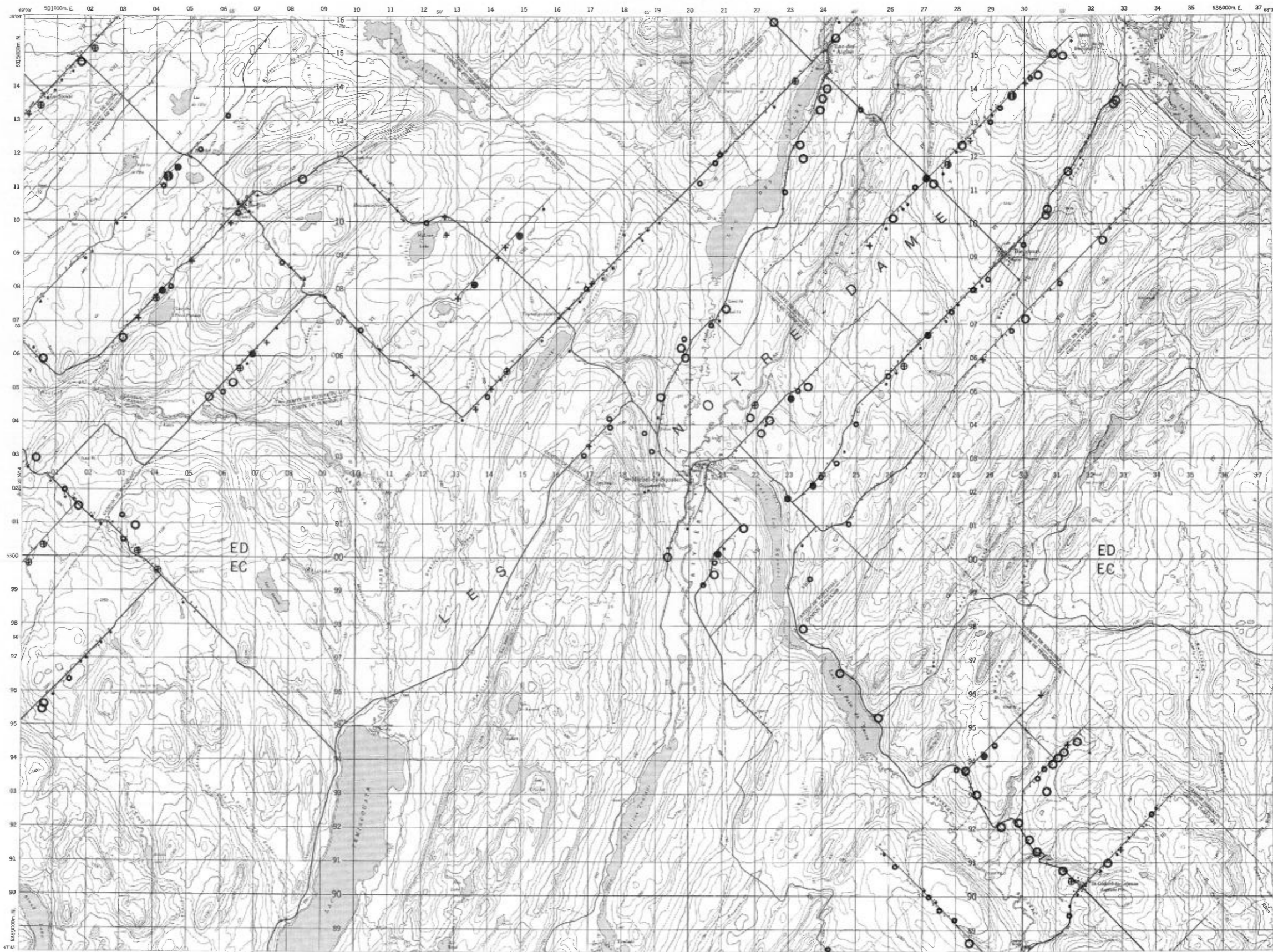
Échelle 1:125 000



Service de la  
GÉOCHIMIE-GÉOPHYSIQUE

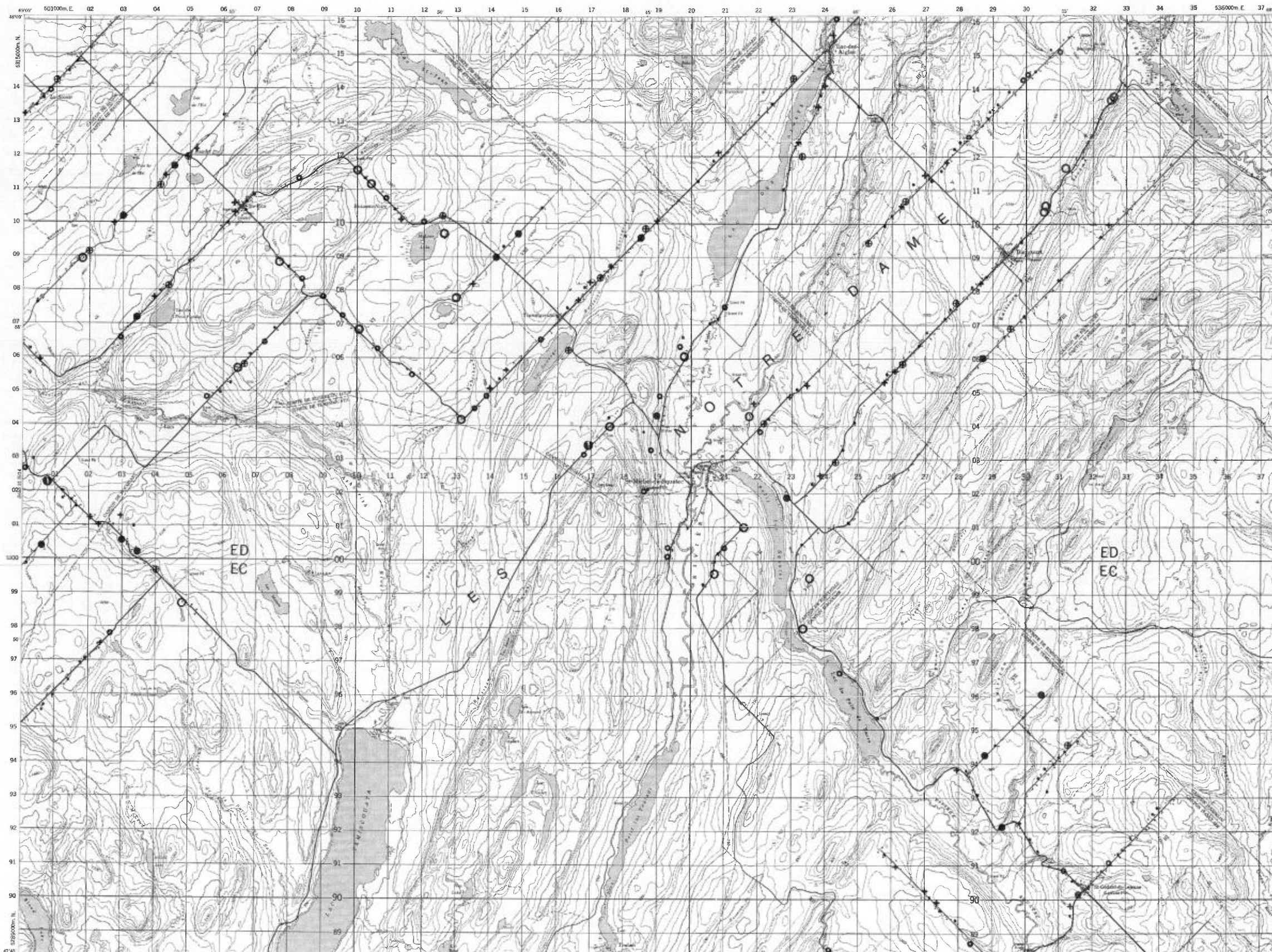
TENEURS (ppm)

- 0,2 — 0,5
- 0,5 — 0,9
- 1,0 — 2,1
- + 2,2 — 3,5
- ⊕ 3,6 — 4,9
- 5,0 — 8,9
- ① 9,0 — 17,9
- ② 18,0 — 35,9
- ③ 36,0 — 71,9



Service de la  
 GÉOCHIMIE-GÉOPHYSIQUE

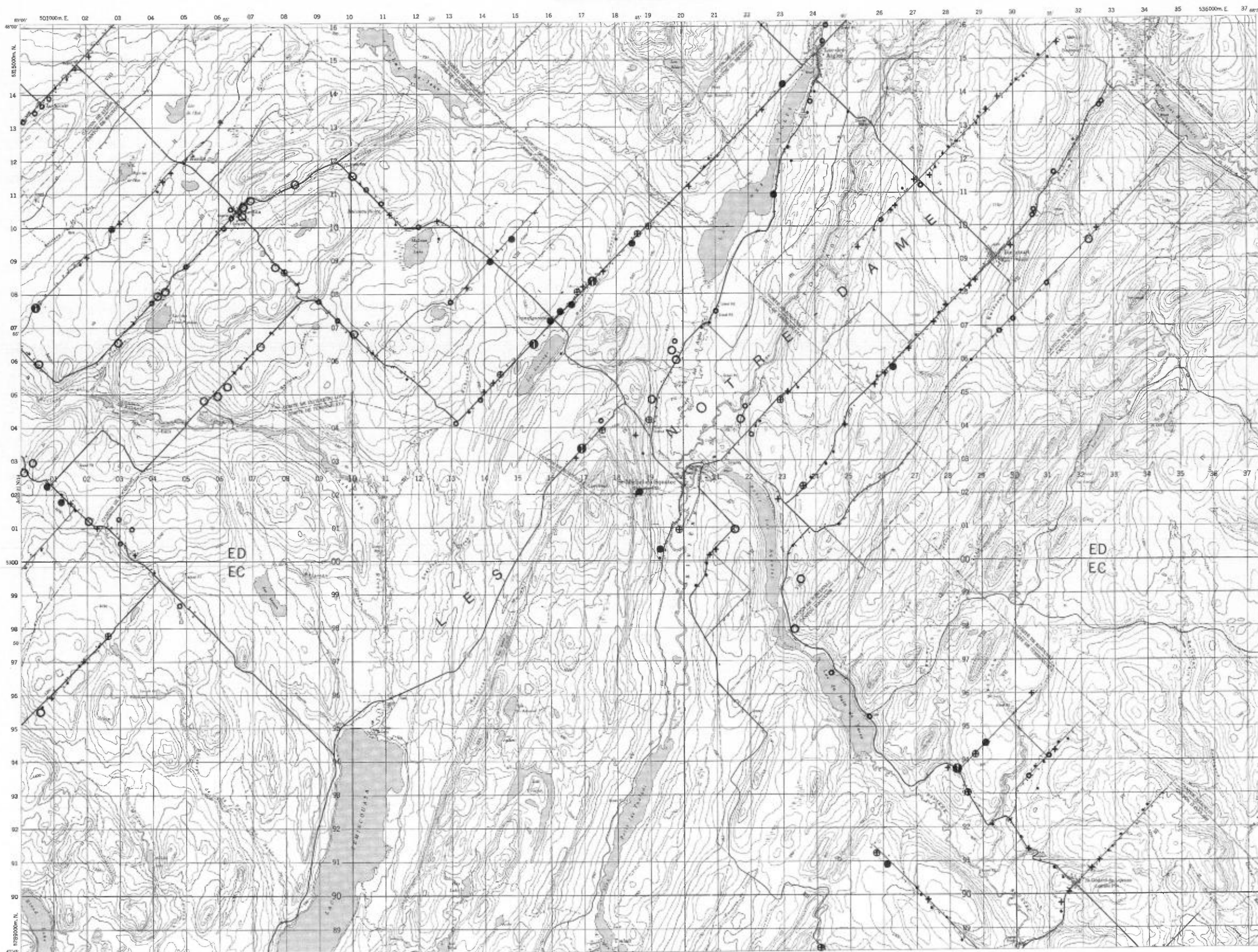
- TENEURS (ppm)
- 1,0 - 29,9
  - 30,0 - 44,9
  - 45,0 - 72,9
  - + 73,0 - 88,9
  - ⊕ 89,0 - 104,9
  - 105,0 - 139,9
  - ⊕ 140,0 - 279,9
  - ⊕ 280,0 - 559,9



Service de la  
GÉOCHIMIE-GÉOPHYSIQUE

TENEURS (ppm)

- 0,1 - 4,2
- 4,3 - 6,3
- 6,4 - 11,9
- + 12,0 - 16,2
- ⊕ 16,3 - 20,0
- 20,1 - 27,9
- ① 28,0 - 55,9
- ② 56,0 - 111,9



Échelle 1:125 000



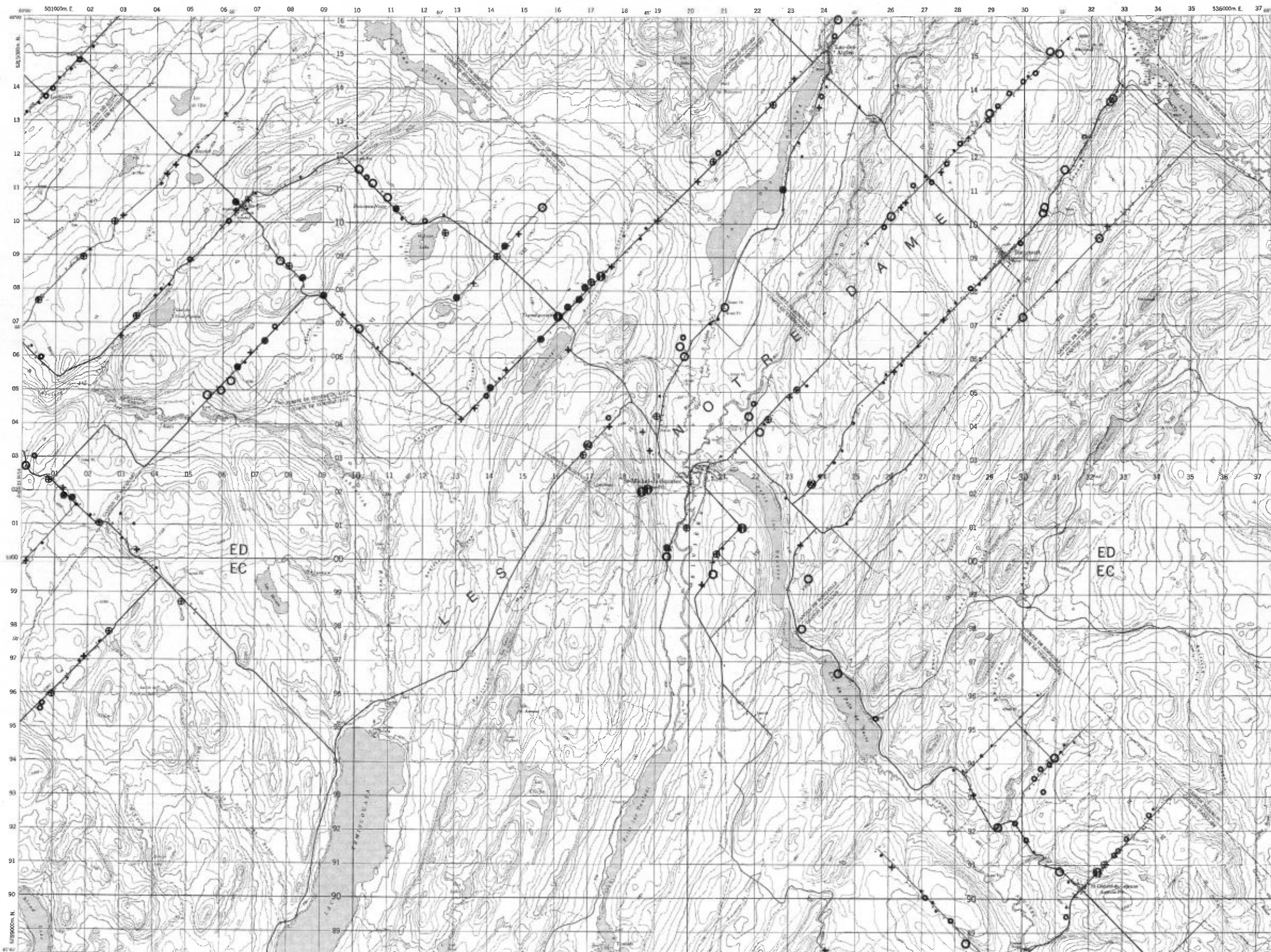
Service de la  
GÉOCHIMIE-GÉOPHYSIQUE



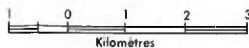
SQUATEC

RÉGION DU BAS SAINT-LAURENT

- TENEURS (ppb)
- 0,1 — 5,5
  - 5,6 — 7,9
  - 8,0 — 15,4
  - + 15,5 — 25,9
  - ⊕ 26,0 — 41,9
  - 42,0 — 115,0
  - ⊕ 115,1 — 229,9
  - ⊕ 230,0 — 459,9
  - ⊕ 460,0 — 919,9
  - ⊕ 920,0 — 1839,9
  - ⊕ 1840,0 — 3679,9



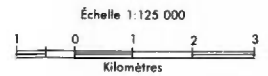
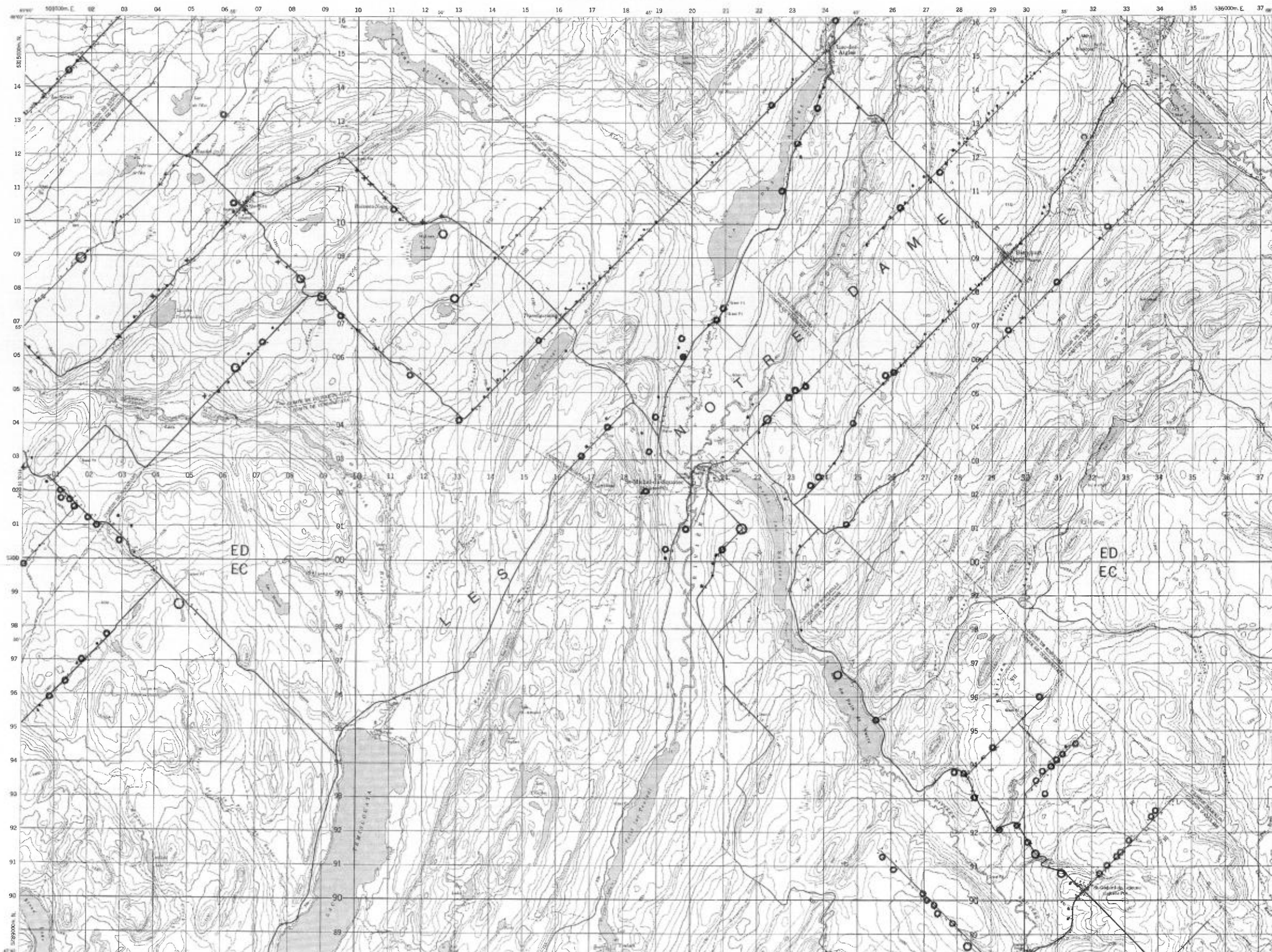
Échelle 1:125 000



Service de la  
GÉOCHIMIE-GÉOPHYSIQUE

TENEURS (unité)

- 0.0 — 5.7
- ⊕ 5.8 — 6.2
- + 6.3 — 6.7
- 6.8 — 7.2
- 7.3 — 7.7
- 7.8 — 8.2
- 8.3 — 14.0

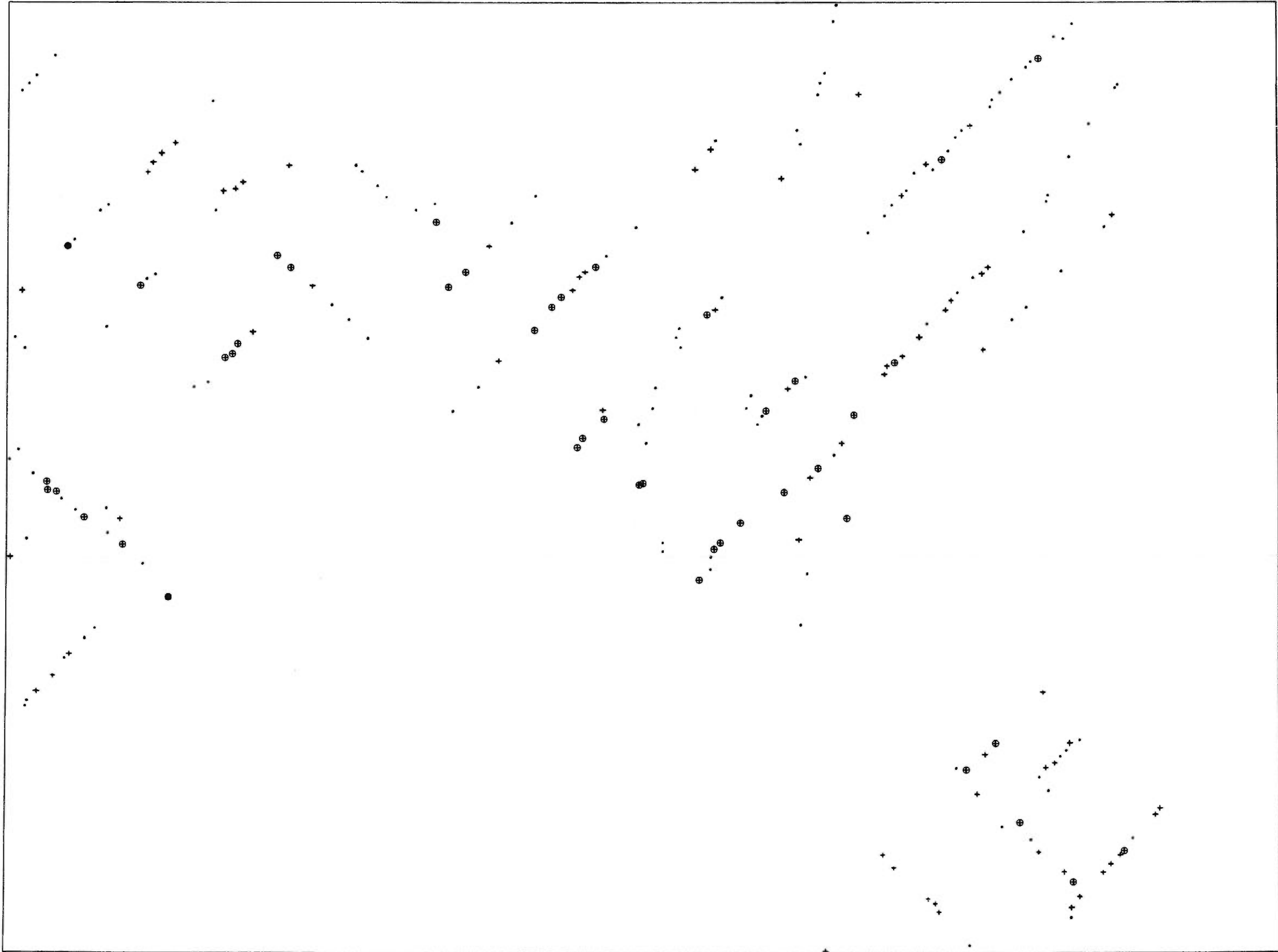


Service de la  
 GÉOCHIMIE-GÉOPHYSIQUE

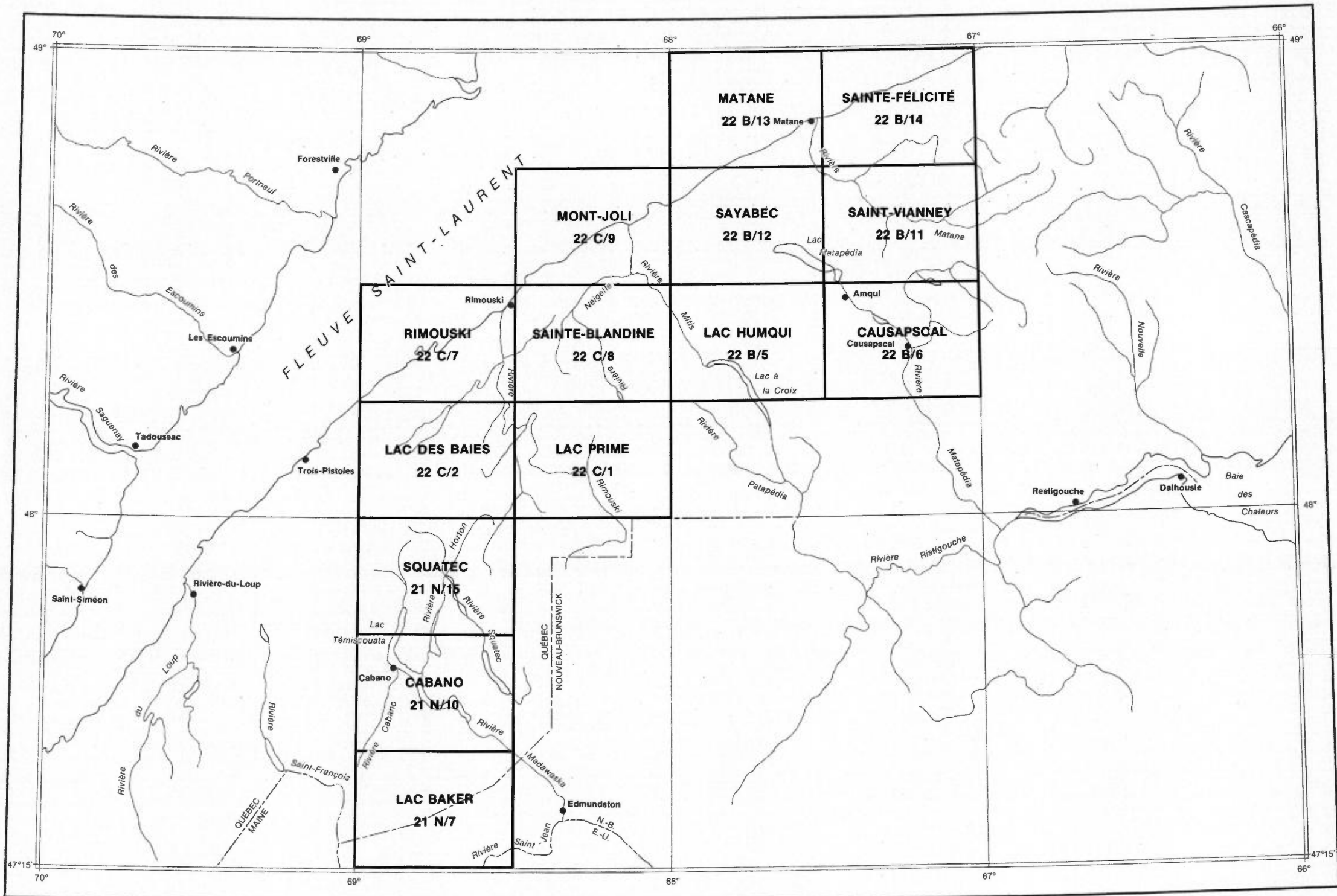
SQUATEC

PROFONDEUR DES PUIITS

- pieds
- 1 — 75
  - + 76 — 150
  - ⊕ 151 — 300
  - 301 — 600



Service de la  
GÉOCHIMIE-GÉOPHYSIQUE



**INDEX DES CARTES GÉOCHIMIQUES  
RÉGION DU BAS SAINT-LAURENT**

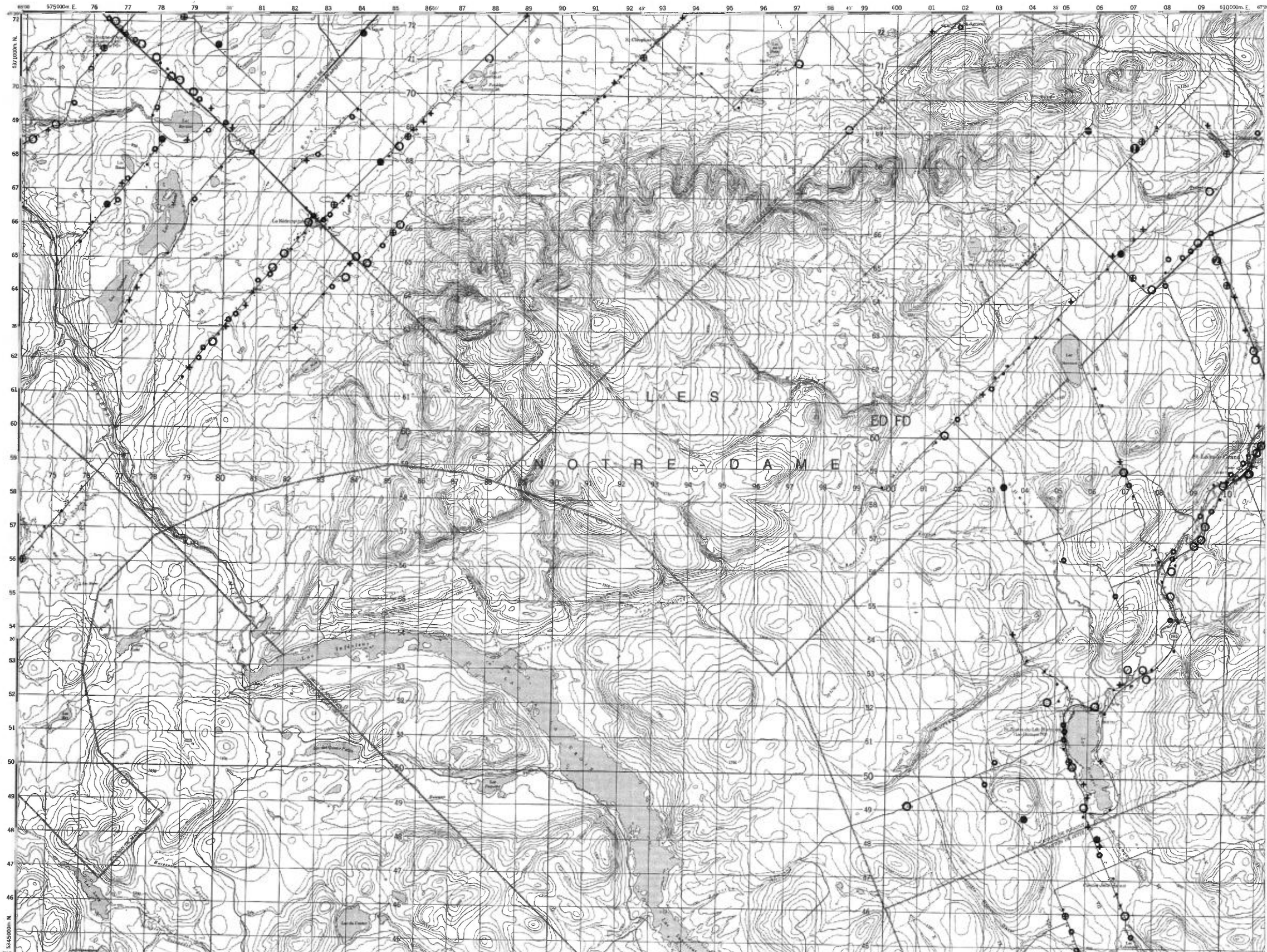


LAC HUMQUI

RÉGION DU BAS SAINT-LAURENT

TENEURS (ppb)

- 1 - 8
- 9 - 13
- 14 - 29
- ⊕ 30 - 54
- ⊕ 55 - 89
- 90 - 179
- ⊕ 180 - 359
- ⊕ 360 - 719
- ⊕ 720 - 1439
- ⊕ 1440 - 2879



Échelle 1:125 000



Service de la  
GÉOCHIMIE-GÉOPHYSIQUE

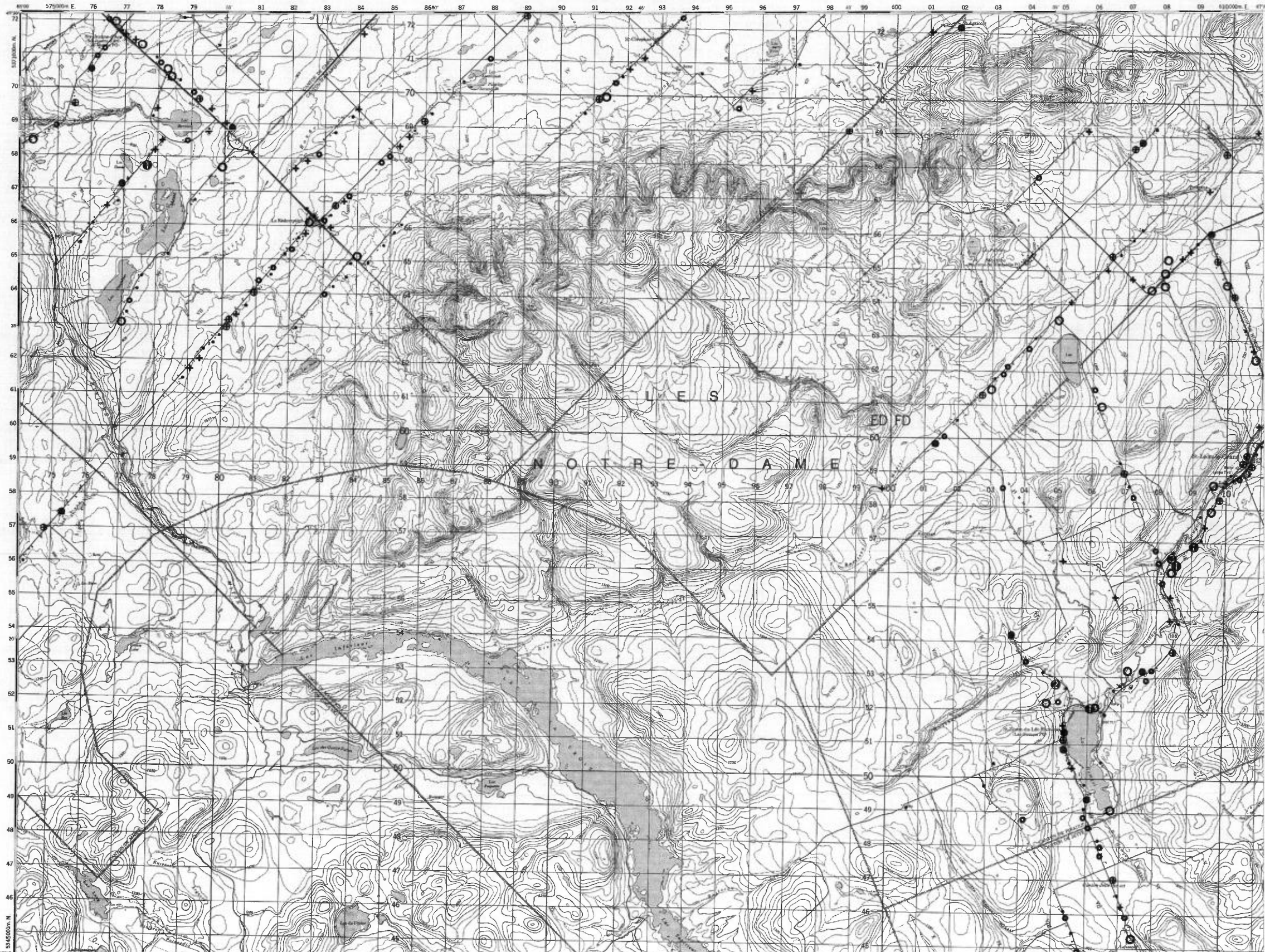
Cu

LAC HUMQUI

RÉGION DU BAS SAINT-LAURENT

TENEURS (ppb)

- 4 - 12
- 14 - 34
- 36 - 144
- + 146 - 338
- ⊕ 340 - 738
- 740 - 1498
- ① 1500 - 2998
- ② 3000 - 5998
- ③ 6000 - 11998
- ④ 12000 - 23998



Échelle 1:125 000

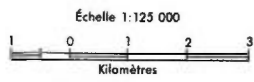


Service de la  
GÉOCHIMIE-GÉOPHYSIQUE

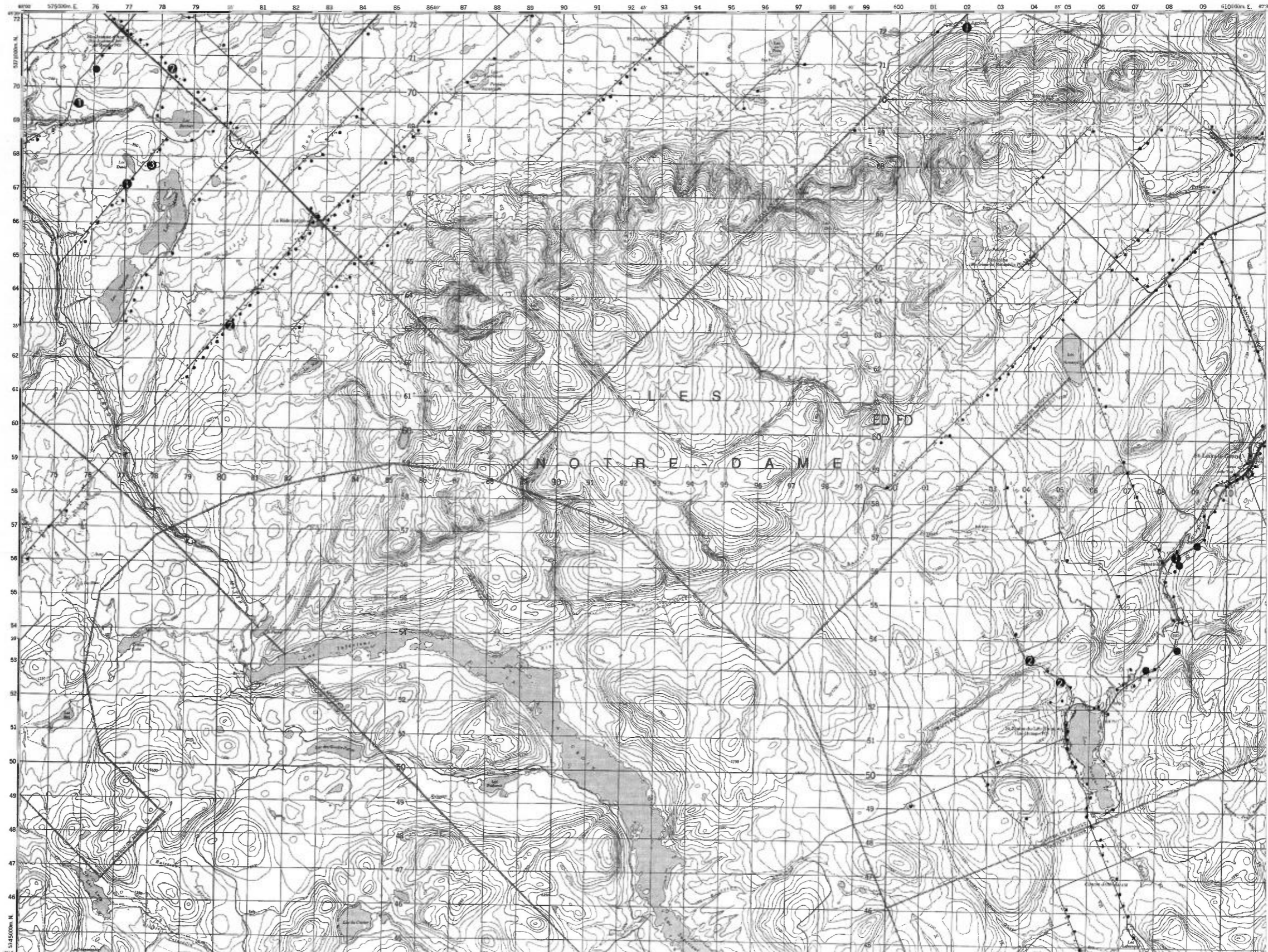
Zn

TENEURS (ppb)

- 1
- 2 - 4
- ① 5 - 9
- ② 10 - 19
- ③ 20 - 39
- ④ 40 - 79
- ⑤ 80 - 159
- ⑥ 160 - 219



Service de la  
GÉOCHIMIE-GÉOPHYSIQUE

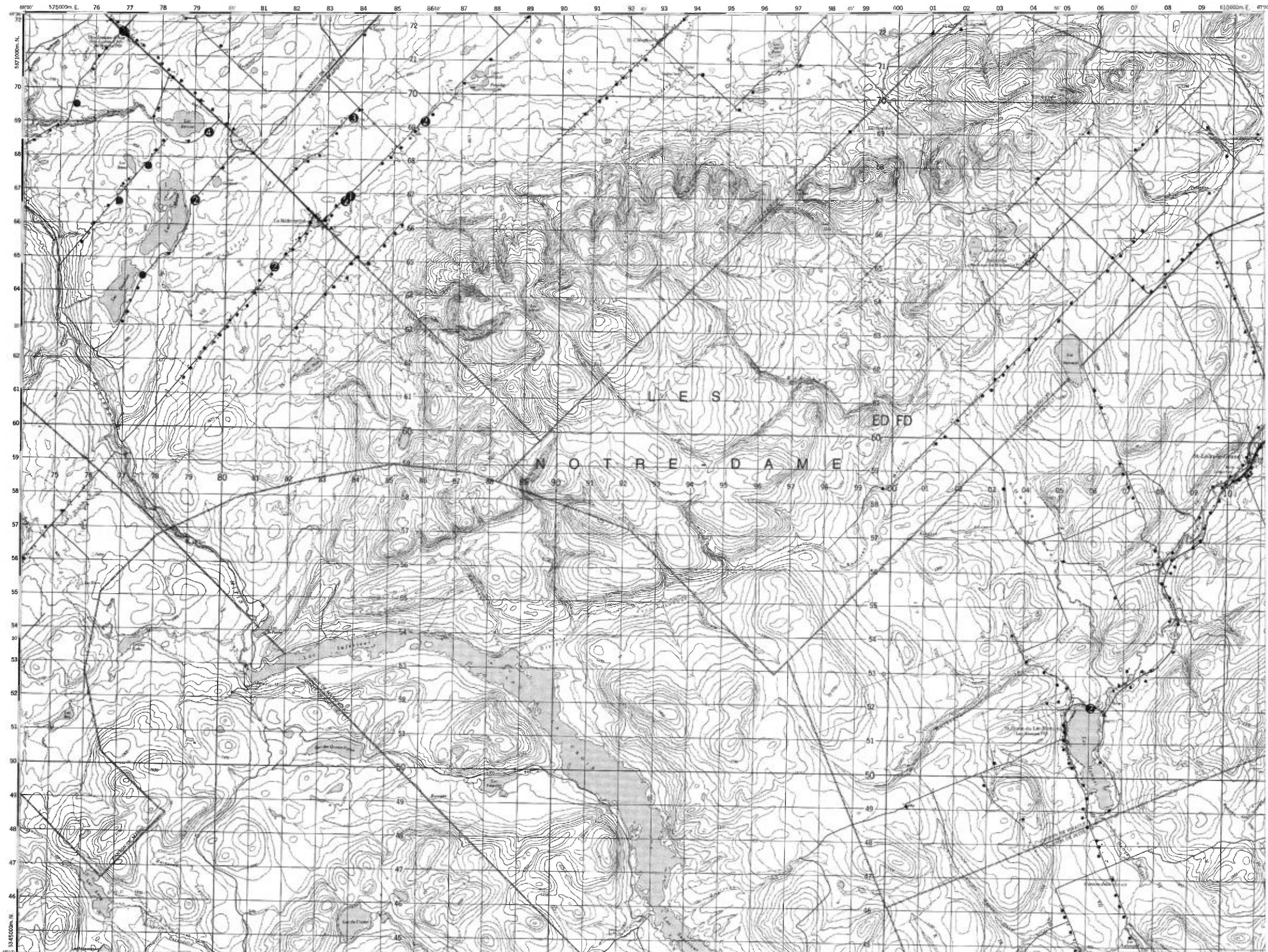


LAC HUMQUI

RÉGION DU BAS SAINT-LAURENT

TENEURS (ppb)

- 1
- 2 - 5
- ① 6 - 11
- ② 12 - 24
- ③ 25 - 49
- ④ 50 - 99
- ⑤ 100 - 199
- ⑥ 200 - 399



Échelle 1:125 000

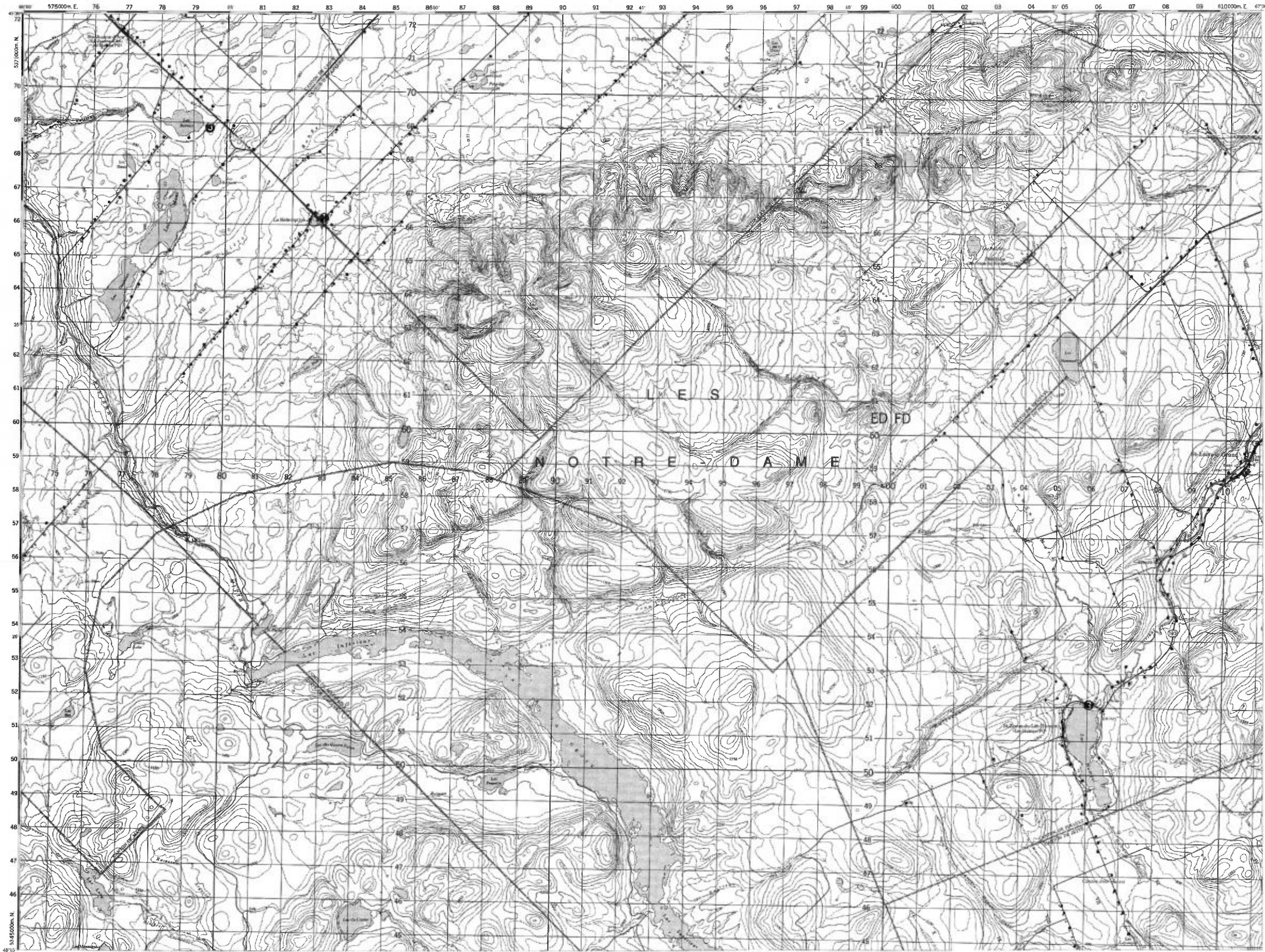


Service de la  
GÉOCHIMIE-GÉOPHYSIQUE



TENEURS (ppb)

- 1
- 2 - 3
- ⊙ 4 - 7
- ⊗ 8 - 15
- ⊕ 16 - 31
- ⊗ 32 - 63



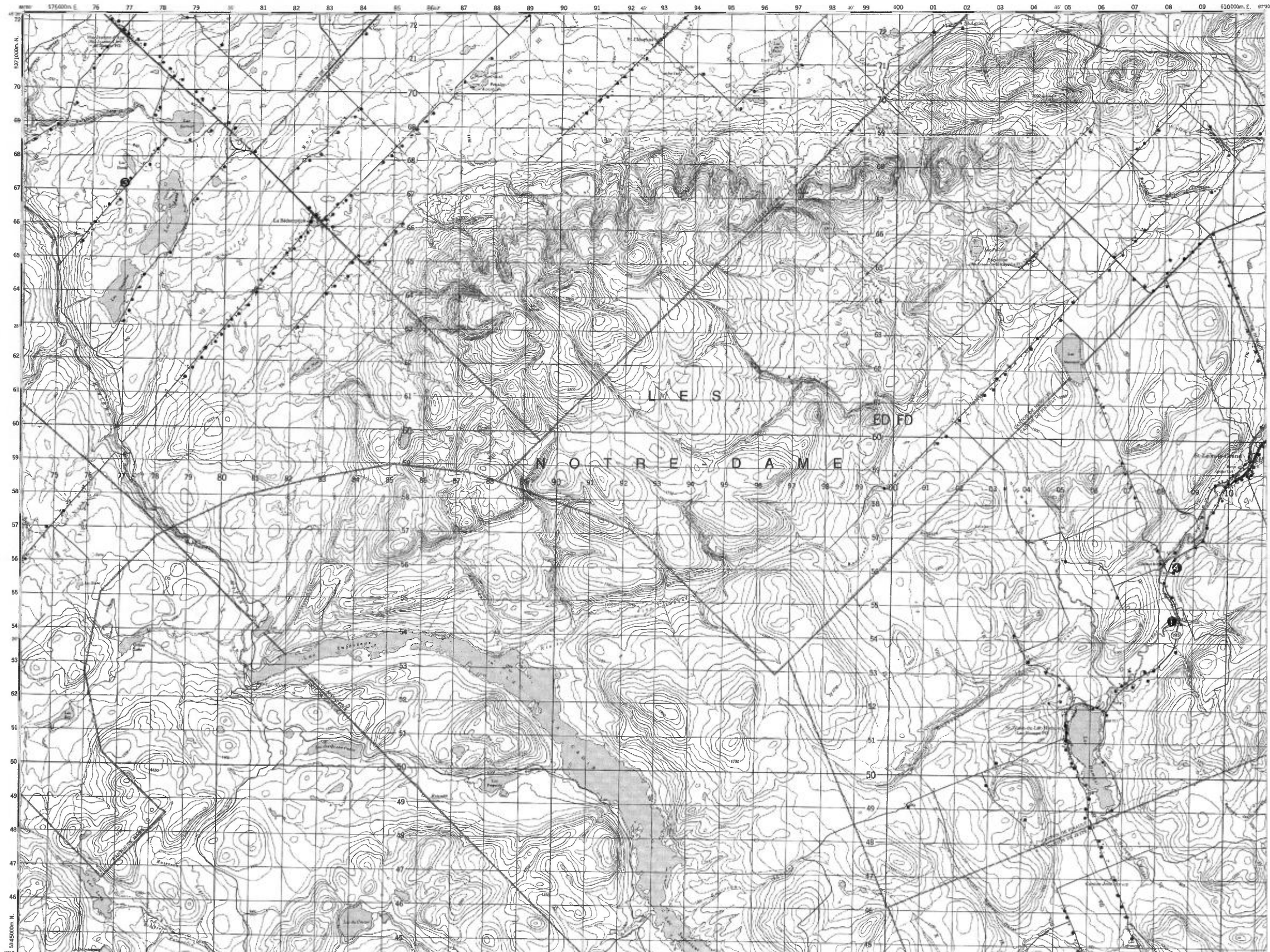
Échelle 1:125 000



Service de la  
GÉOCHIMIE-GÉOPHYSIQUE

LAC HUMQUI

RÉGION DU BAS SAINT-LAURENT



TENEURS (ppb)

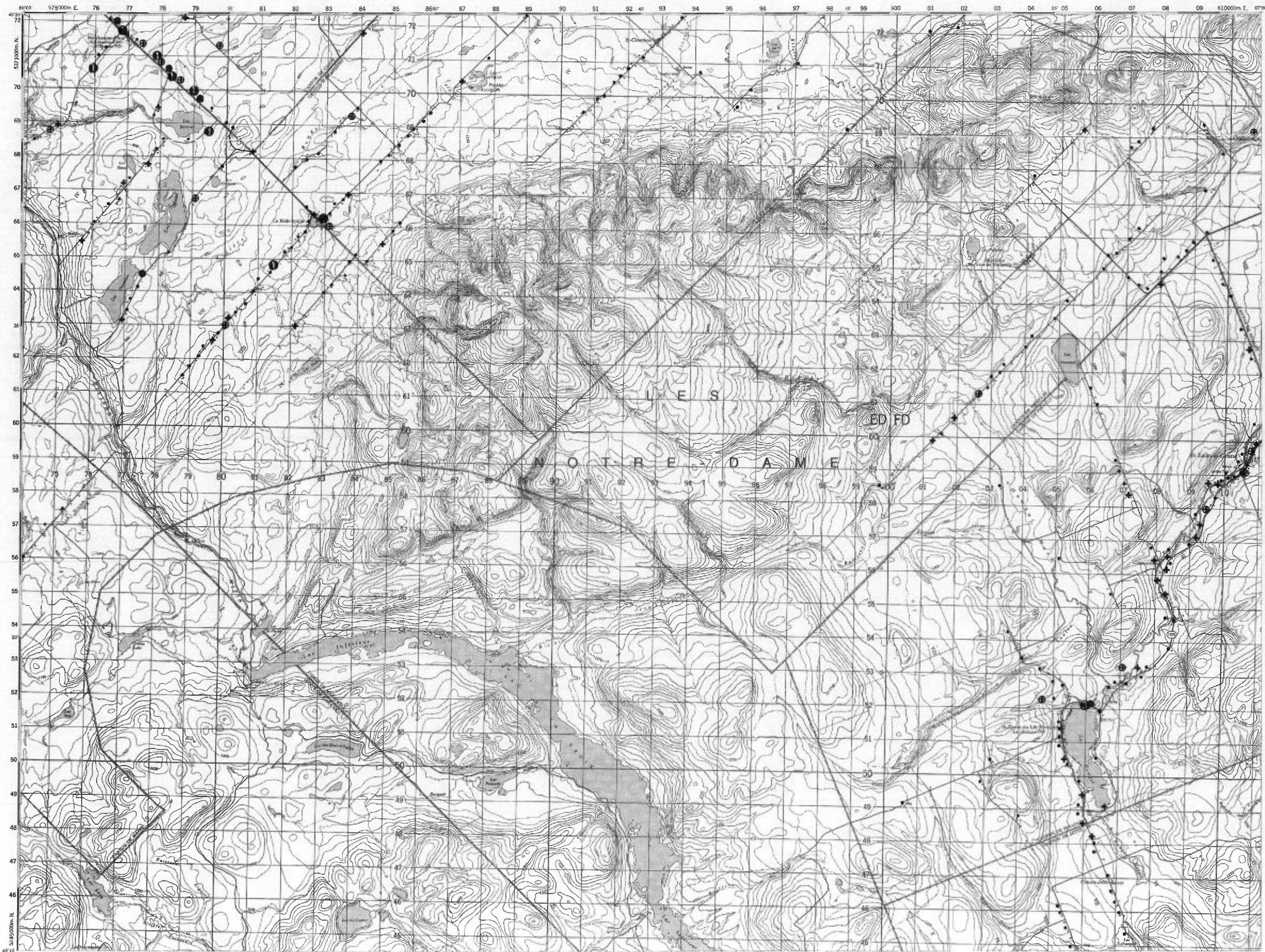
- 0.1
- 0.2
- ① 0.3 - 0.5
- ② 0.6 - 1.1
- ③ 1.2 - 2.3
- ④ 2.4 - 4.9
- ⑤ 5.0 - 9.9
- ⑥ 10.0 - 19.9
- ⑦ 20.0 - 39.9
- ⑧ 40.0 - 79.9

Échelle 1:125 000



Service de la  
GÉOCHIMIE-GÉOPHYSIQUE

- TENEURS (ppb)
- 5 - 10
  - + 15 - 50
  - ⊕ 55 - 145
  - 150 - 455
  - ① 460 - 895
  - ② 900 - 1795
  - ③ 1800 - 3595



Échelle 1:125 000



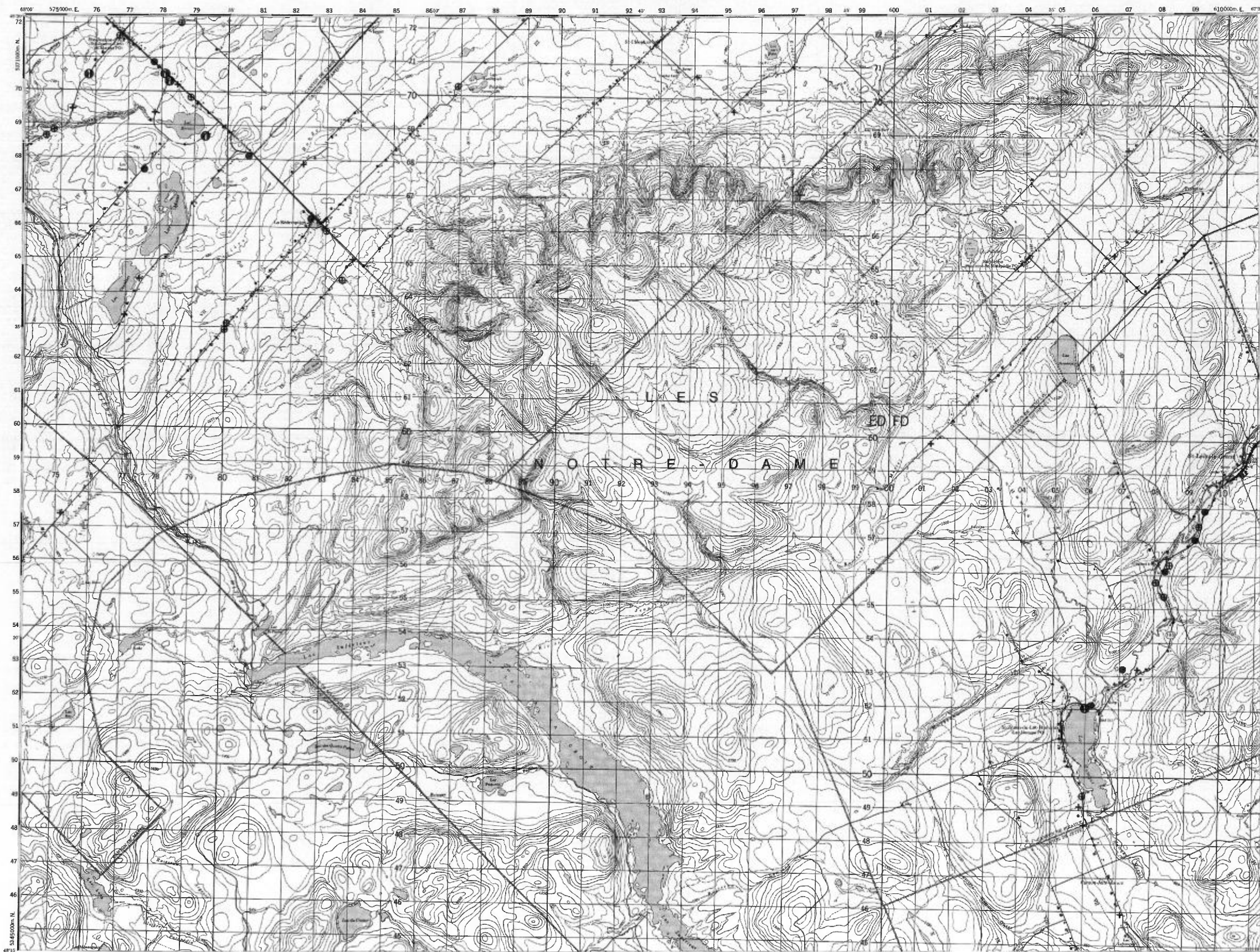
Service de la  
GÉOCHIMIE-GÉOPHYSIQUE

LAC HUMQUI

RÉGION DU BAS SAINT-LAURENT

TENEURS (ppm)

- 0,1
- + 0,2
- ⊕ 0,3 - 0,4
- 0,5 - 1,3
- ① 1,4 - 2,7
- ② 2,8 - 5,5
- ③ 5,6 - 11,1



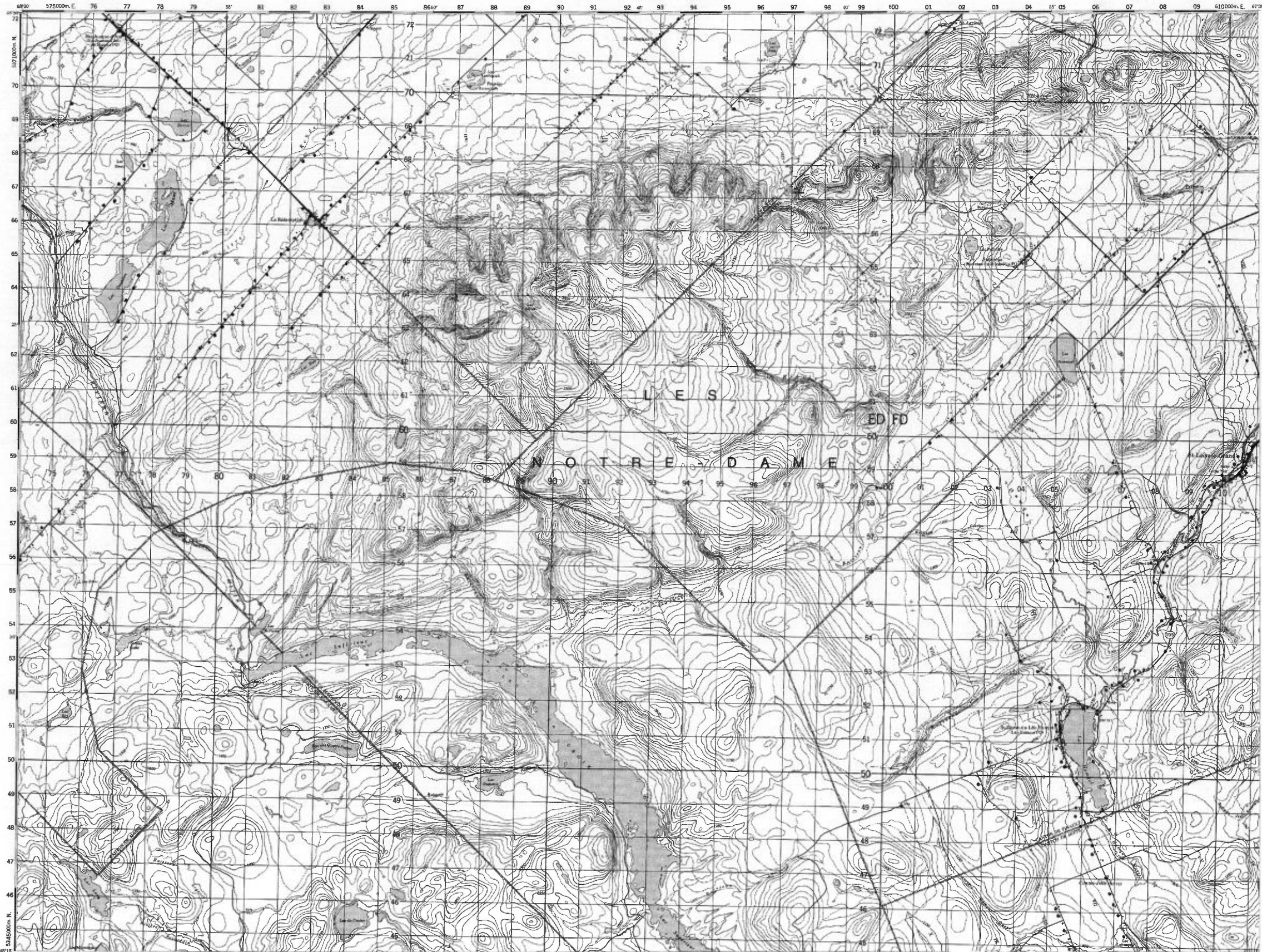
Échelle 1:125 000



Service de la  
GÉOCHIMIE-GÉOPHYSIQUE

TENEURS (ppb)

- 1
- 2
- ① 3 - 5
- ② 6 - 11



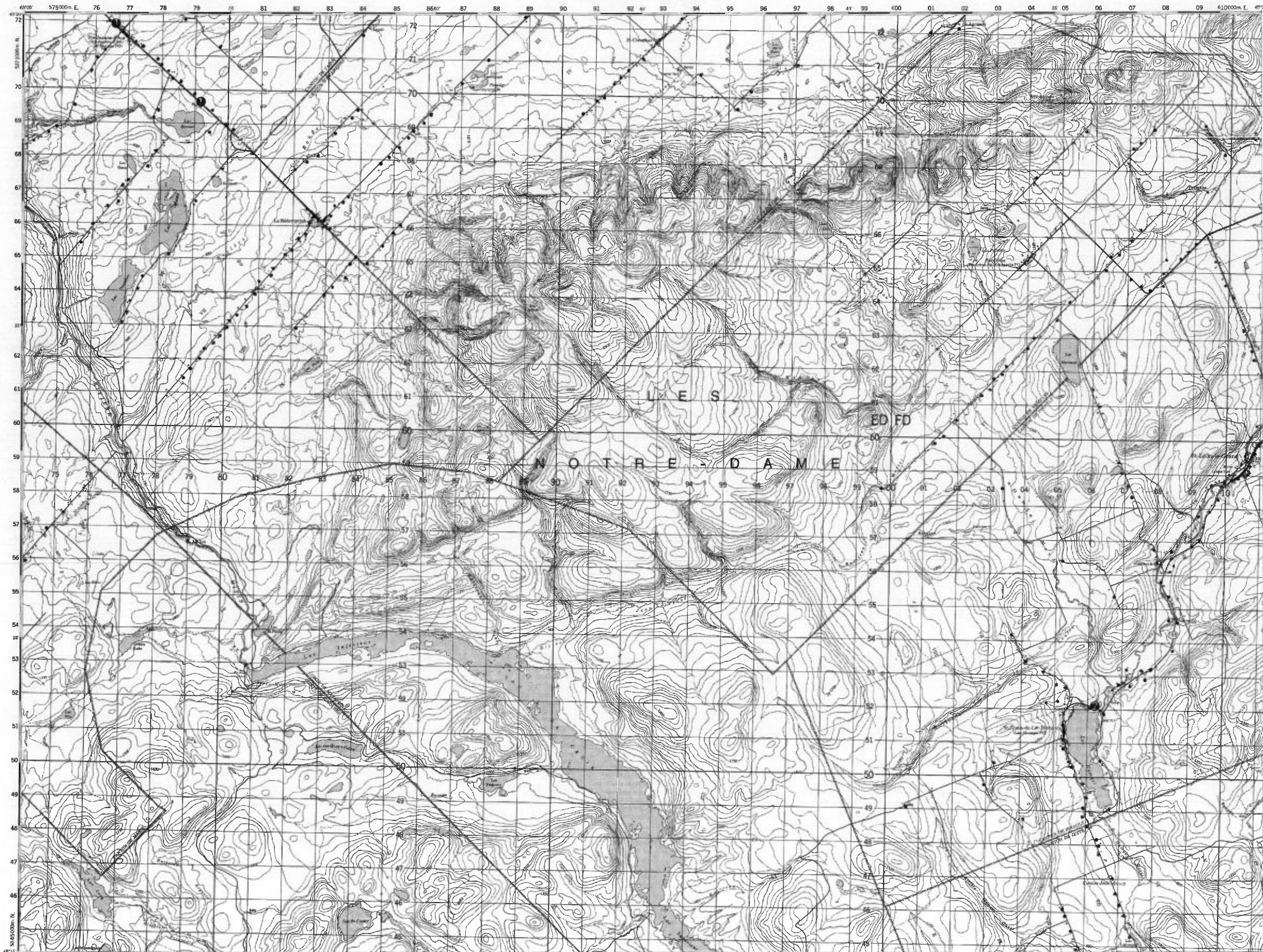
Échelle 1:125 000



Service de la  
GÉOCHIMIE-GÉOPHYSIQUE

TENEURS (ppb)

- 2
- + 3 - 5
- ⊕ 6 - 11
- 12 - 23
- ⊙ 24 - 47
- ⦿ 48 - 95



Échelle 1:125 000



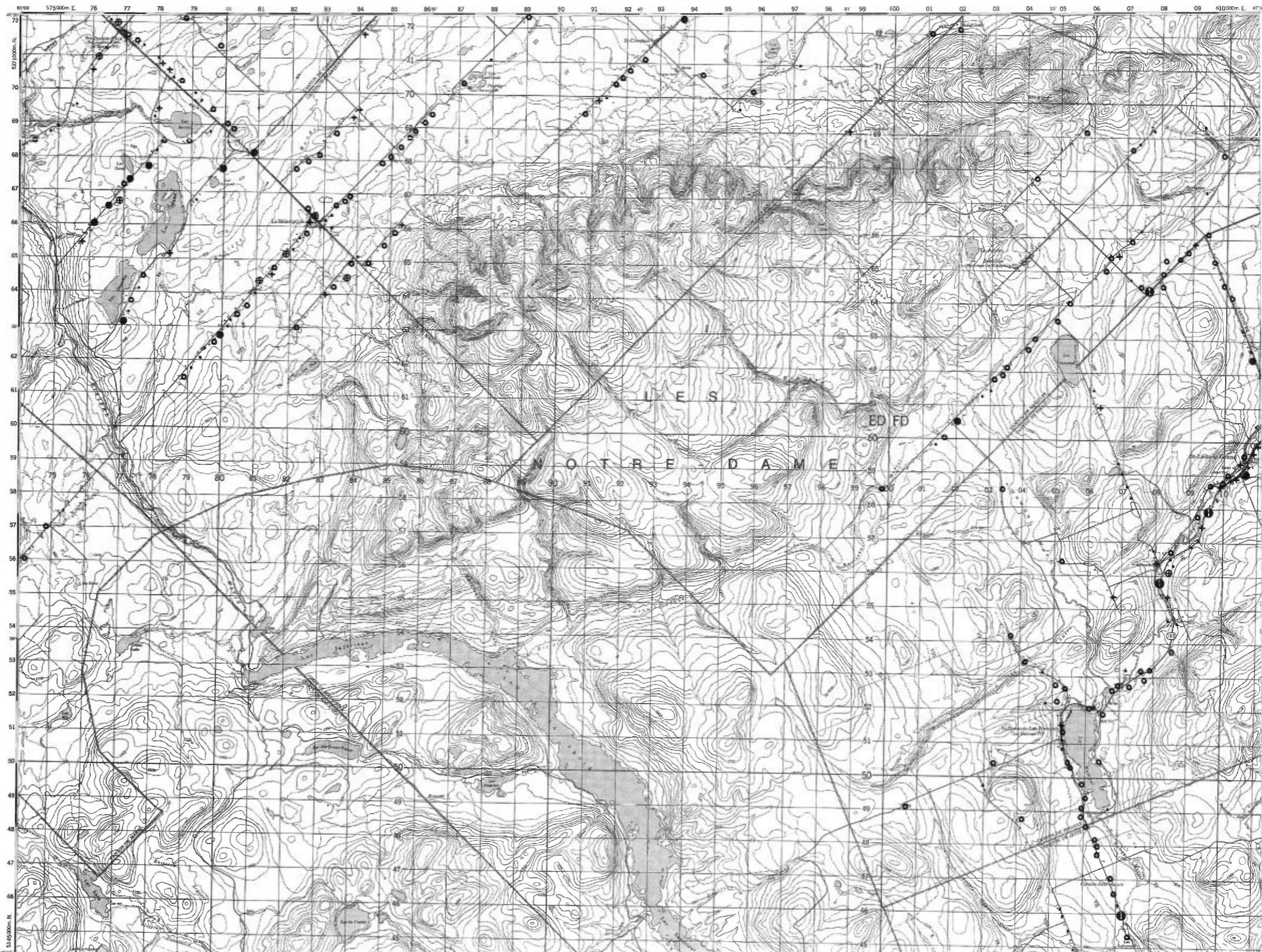
Service de la  
GÉOCHIMIE-GÉOPHYSIQUE

LAC HUMQUI

RÉGION DU BAS SAINT-LAURENT

TENEURS (ppm)

- 0.01 — 0.04
- 0.05 — 0.07
- ⊕ 0.08 — 0.12
- ⊕ 0.13 — 0.22
- 0.23 — 0.54
- ⊕ 0.55 — 1.09
- ⊕ 1.10 — 2.19
- ⊕ 2.20 — 4.39
- ⊕ 4.40 — 8.79



Échelle 1:125 000



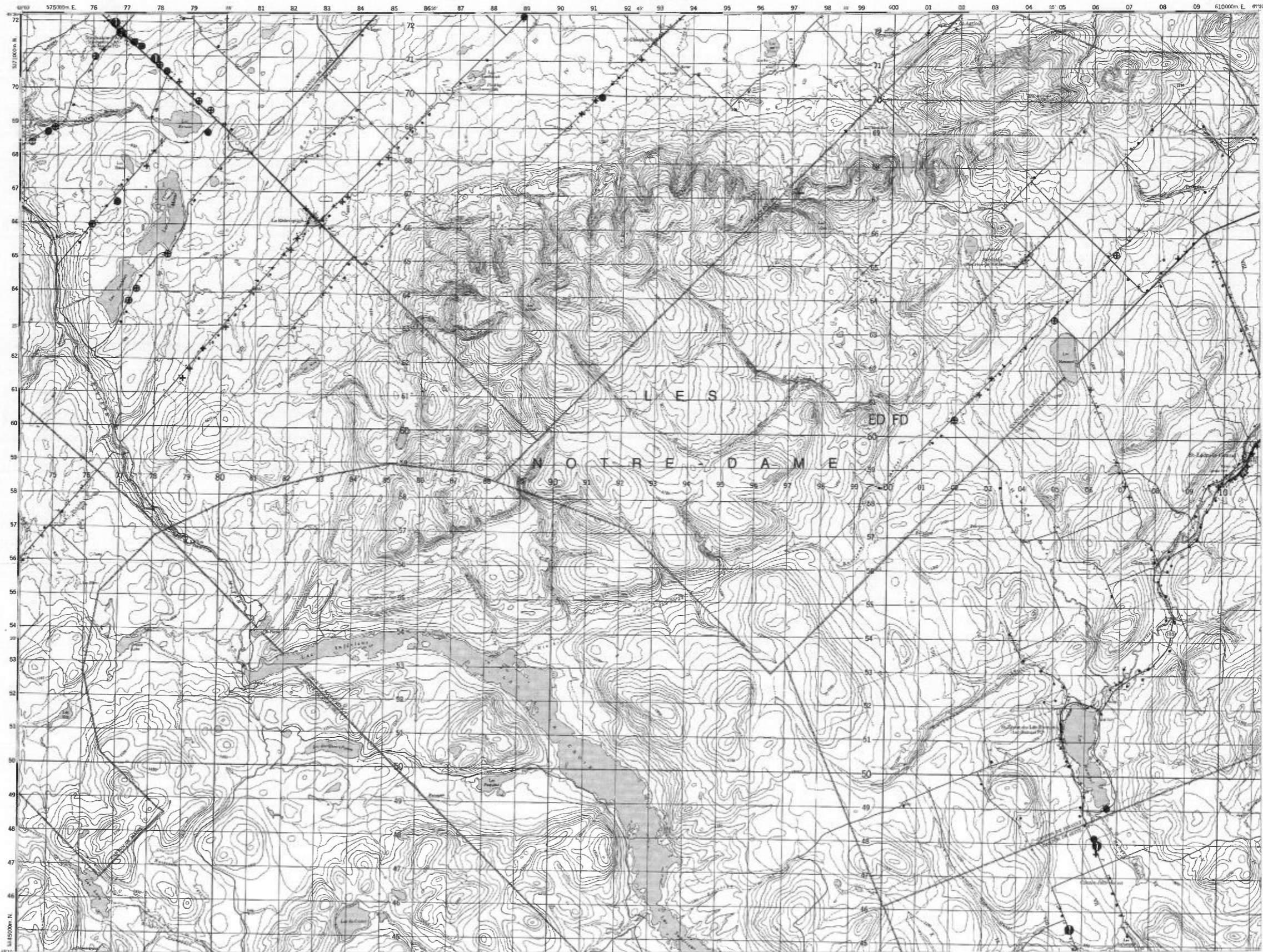
Service de la  
GÉOCHIMIE-GÉOPHYSIQUE

LAC HUMQUI

RÉGION DU BAS SAINT-LAURENT

TENEURS (ppb)

- 2 - 3
- + 4 - 5
- ⊕ 6 - 8
- 9 - 19
- ⊙ 20 - 39
- ⊗ 40 - 79
- ⊚ 80 - 159



Échelle 1:125 000

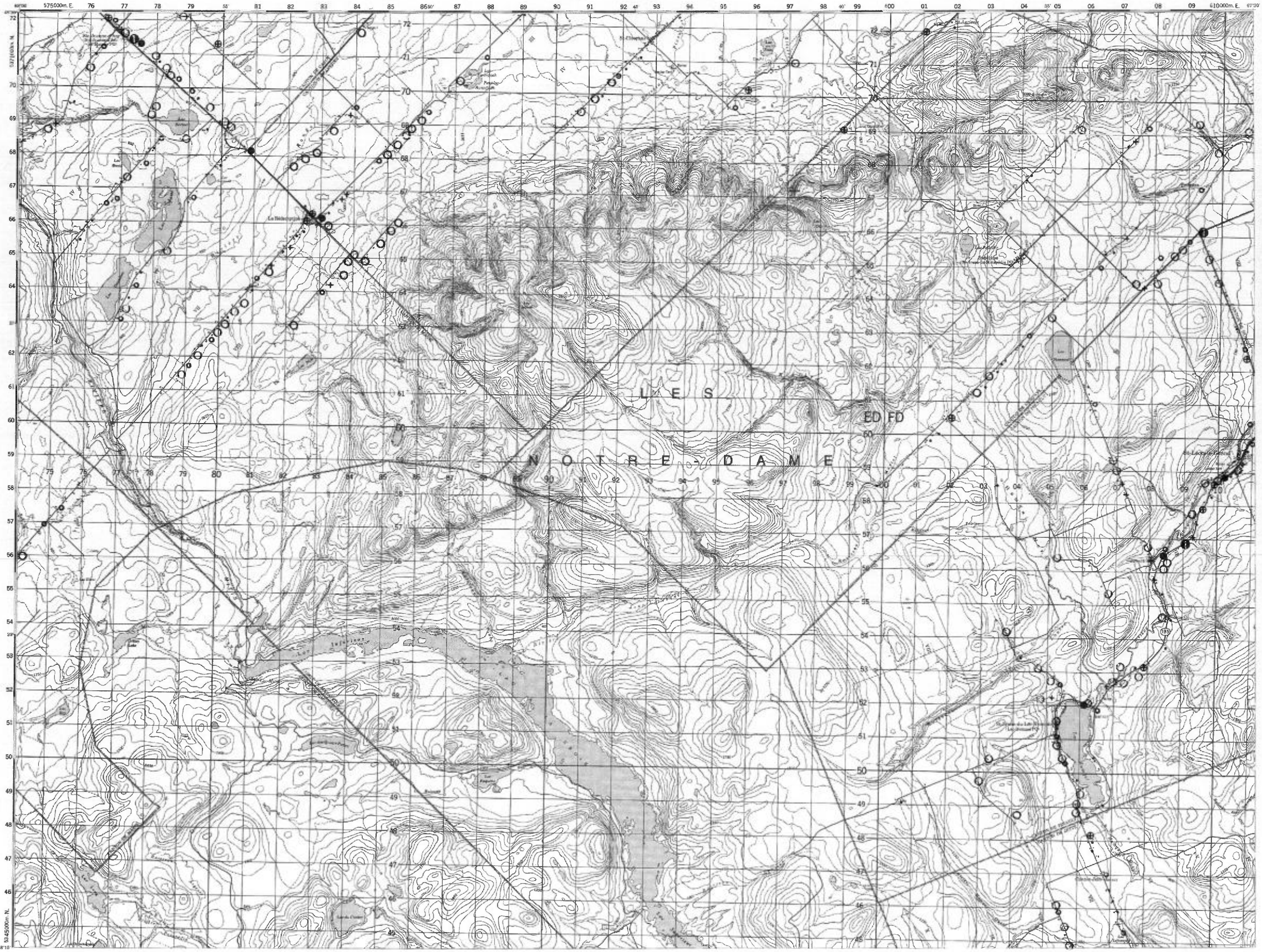


Service de la  
GÉOCHIMIE-GÉOPHYSIQUE



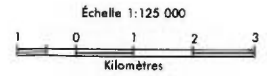
LAC HUMQUI

RÉGION DU BAS SAINT-LAURENT



TENEURS (ppm)

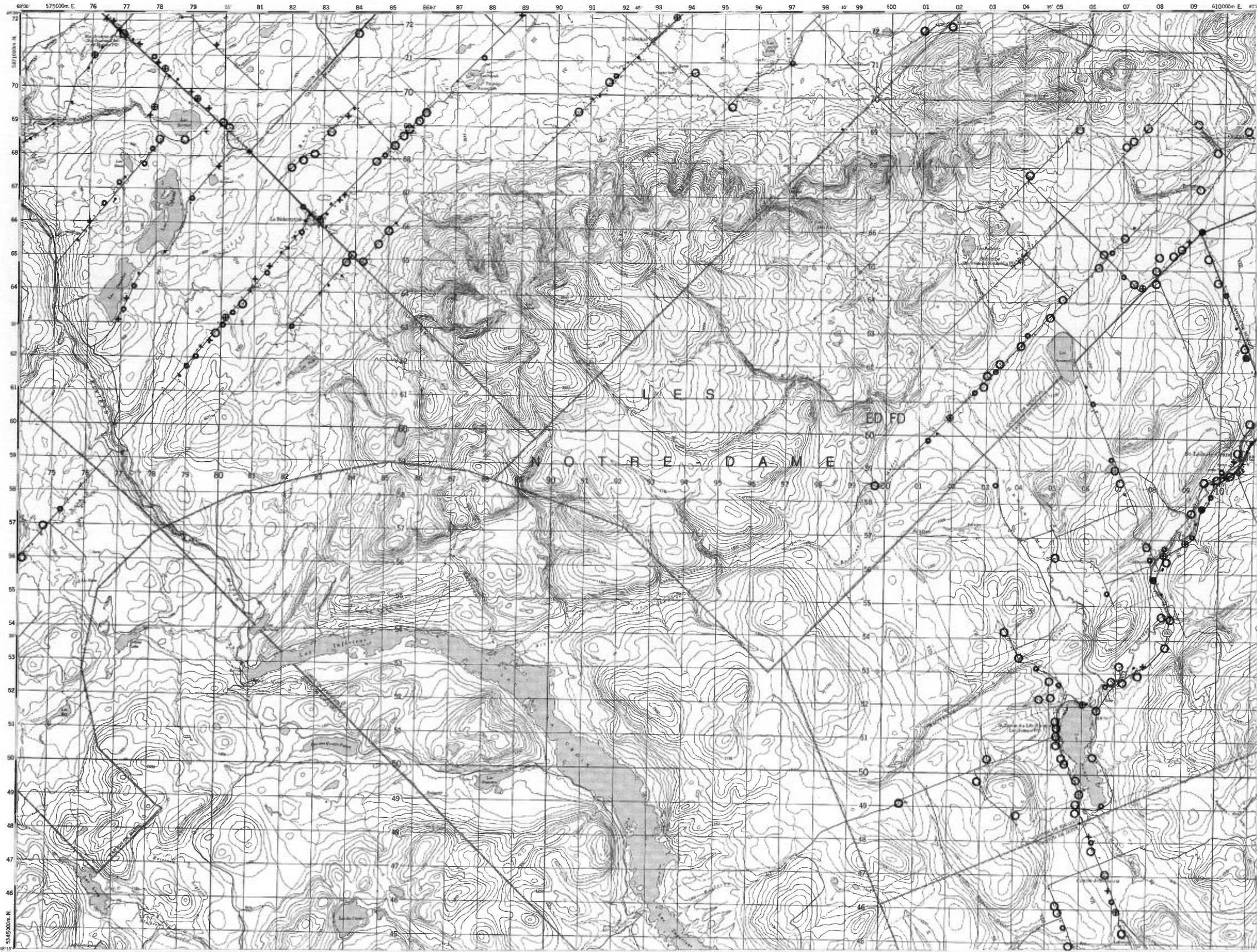
- 1 - 4
- 5 - 6
- 7 - 17
- + 18 - 34
- ⊕ 35 - 65
- ⊙ 66 - 149
- ⦿ 150 - 299
- ⊗ 300 - 599
- ⦿ 600 - 1199
- ⦿ 1200 - 2399



Service de la  
GÉOCHIMIE-GÉOPHYSIQUE

TENEURS (ppm)

- 0,9 - 2,9
- 3,0 - 4,5
- 4,6 - 11,4
- + 11,5 - 26,9
- ⊕ 27,0 - 54,9
- 55,0 - 122,9
- ① 123,0 - 249,9
- ② 250,0 - 499,9
- ③ 500,0 - 999,9
- ④ 1000,0 - 1999,9

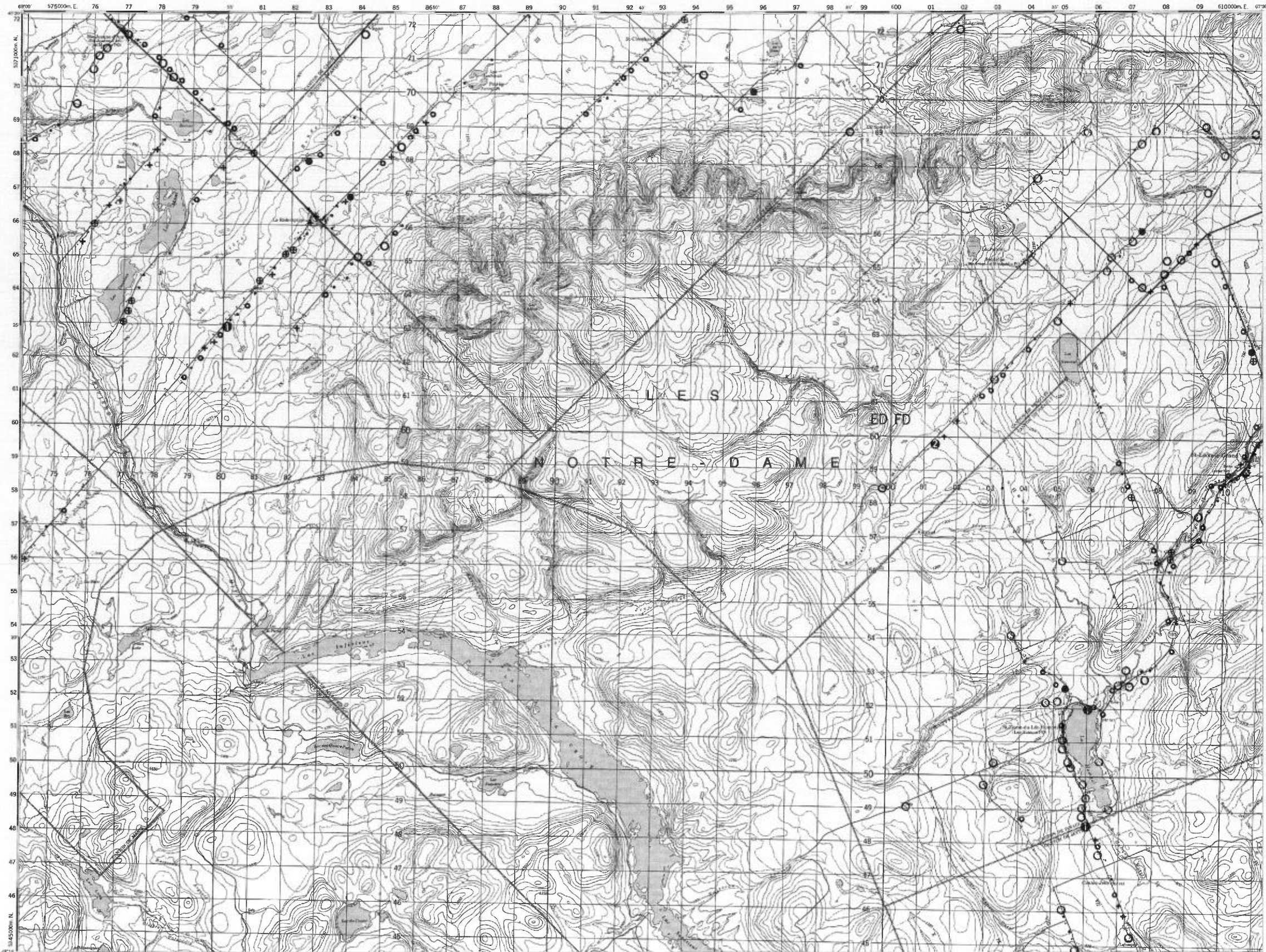


Échelle 1:125 000  
 0 1 2 3  
 Kilomètres

Service de la  
 GÉOCHIMIE-GÉOPHYSIQUE

TENEURS (ppm)

- 0,2 — 0,5
- 0,6 — 0,9
- 1,0 — 2,1
- + 2,2 — 3,5
- ⊕ 3,6 — 4,9
- ⊙ 5,0 — 8,9
- ⊗ 9,0 — 17,9
- ⊚ 18,0 — 35,9
- ⊛ 36,0 — 71,9



Échelle 1:125 000



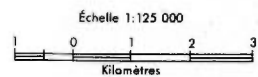
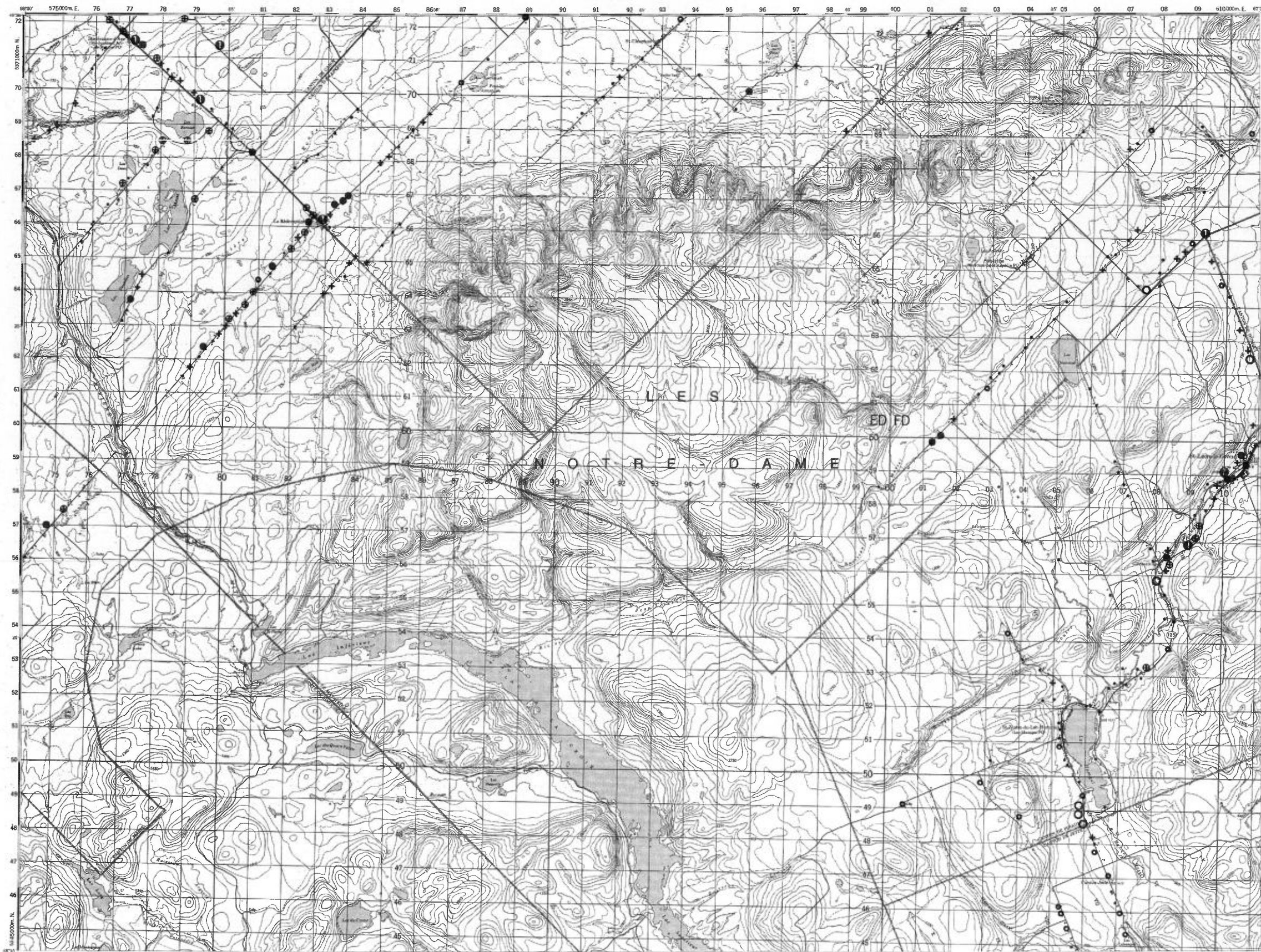
Service de la  
GÉOCHIMIE-GÉOPHYSIQUE

LAC HUMQUI

RÉGION DU BAS SAINT-LAURENT

TENEURS (ppm)

- 1,0 - 29,9
- 30,0 - 44,9
- 45,0 - 72,9
- ⊕ 73,0 - 88,9
- ⊗ 89,0 - 104,9
- 105,0 - 139,9
- ⊕ 140,0 - 279,9
- ⊗ 280,0 - 559,9

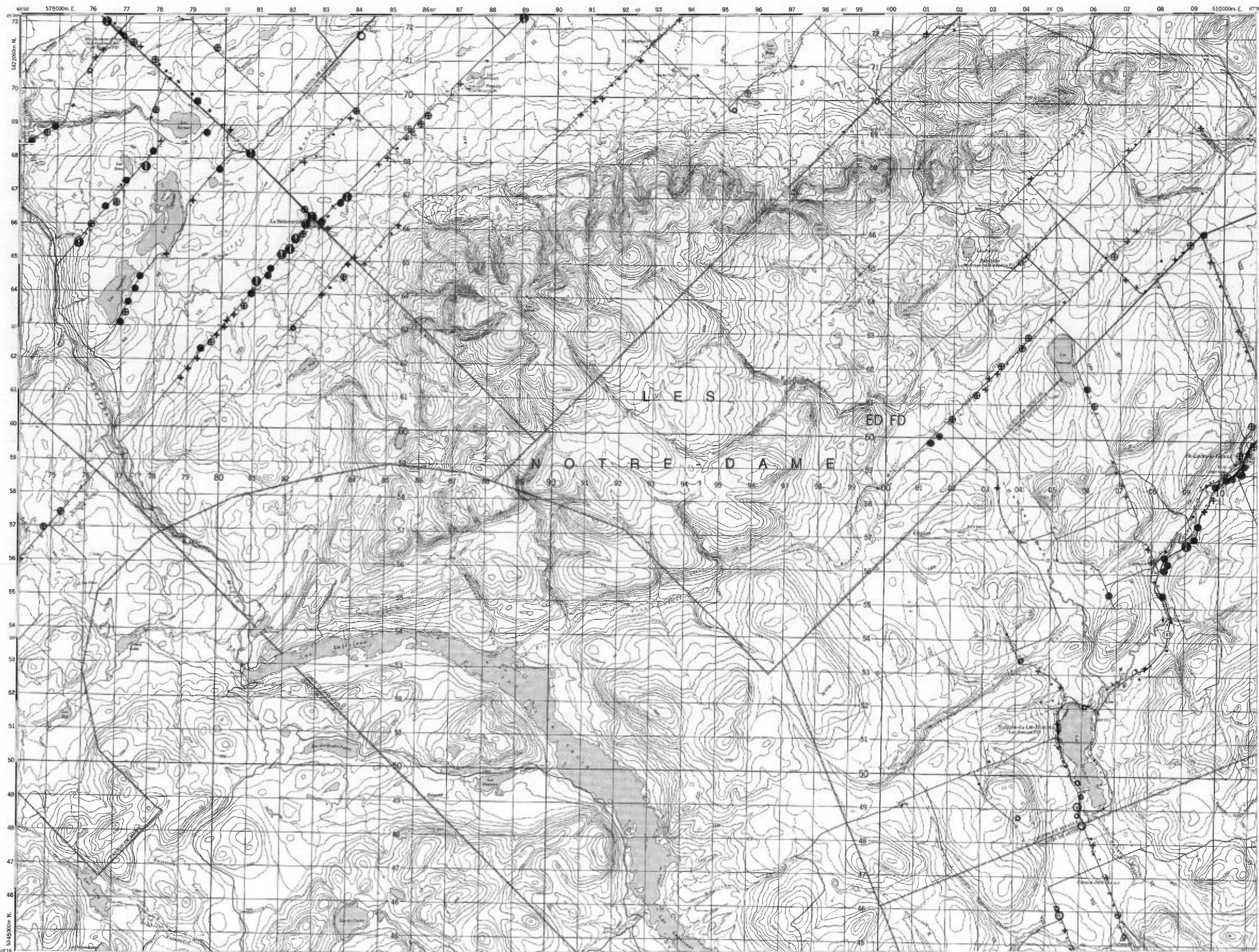


Service de la  
GÉOCHIMIE-GÉOPHYSIQUE

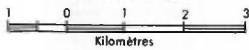
LAC HUMQUI

TENEURS (ppm)

- 0,1 — 4,2
- 4,3 — 6,3
- 6,4 — 11,9
- + 12,0 — 16,2
- ⊕ 16,3 — 20,0
- ⊙ 20,1 — 27,9
- ⊕ 28,0 — 55,9
- ⊙ 56,0 — 111,9

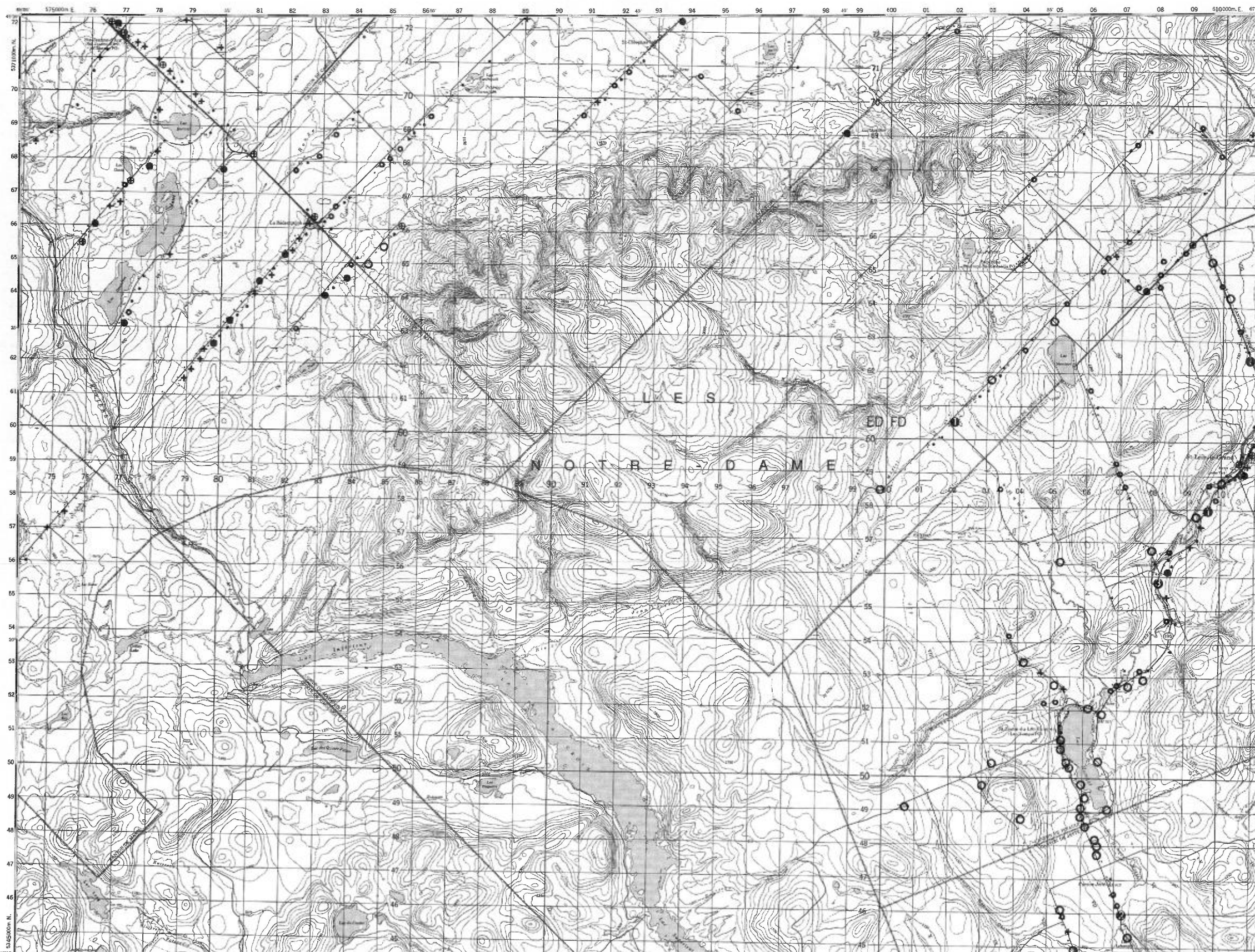


Échelle 1:125 000



Service de la  
 GÉOCHIMIE-GÉOPHYSIQUE

- TENEURS (ppb)
- 0,1 — 5,5
  - 5,6 — 7,9
  - 8,0 — 15,4
  - ⊕ 15,5 — 25,9
  - ⊗ 26,0 — 41,9
  - ⊙ 42,0 — 115,0
  - ⊚ 115,1 — 229,9
  - ⊛ 230,0 — 459,9
  - ⊜ 460,0 — 919,9
  - ⊝ 920,0 — 1839,9
  - ⊞ 1840,0 — 3679,9



Échelle 1:125 000  
Kilomètres

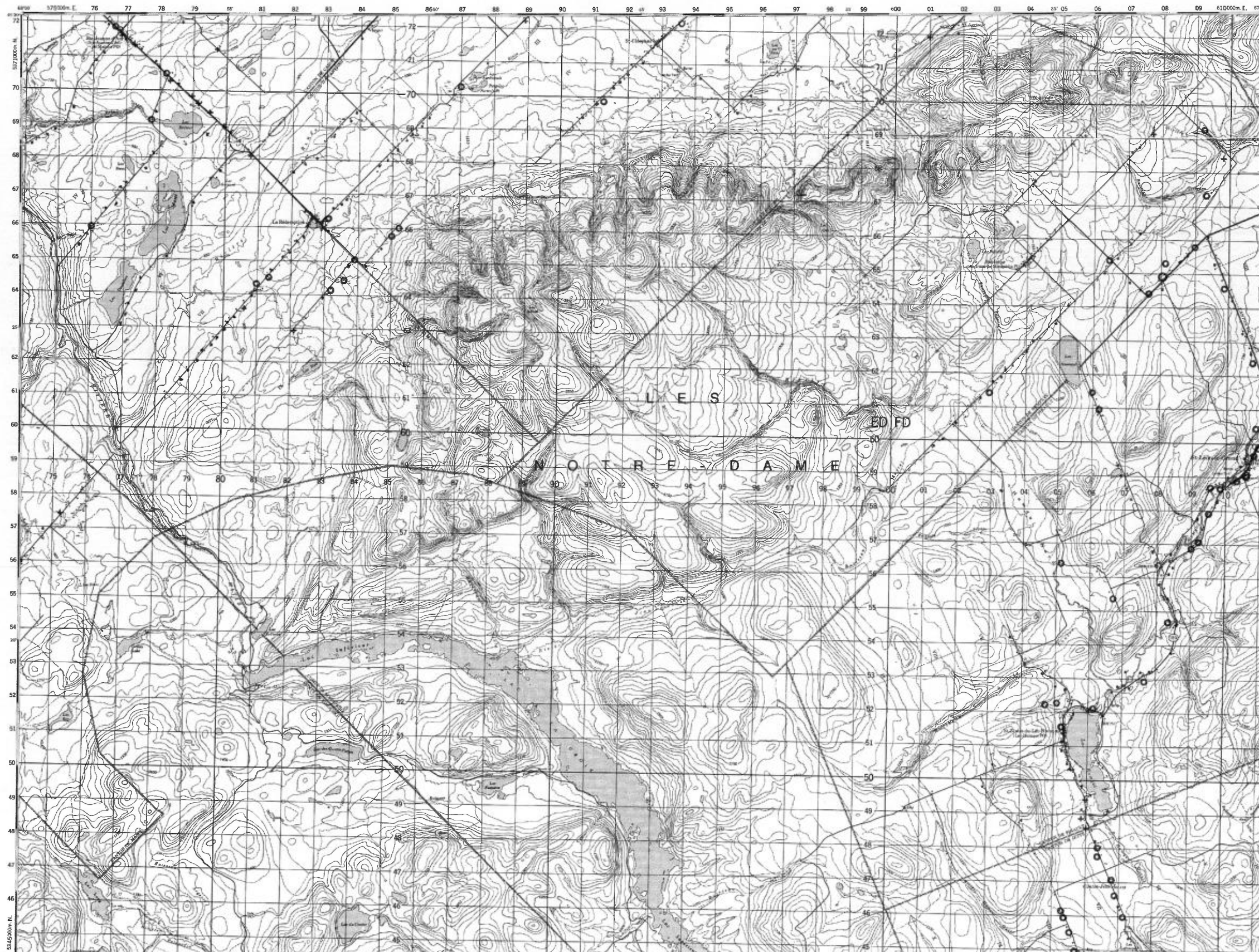
Service de la  
GÉOCHIMIE-GÉOPHYSIQUE

LAC HUMQUI

RÉGION DU BAS SAINT-LAURENT

TENEURS (unité)

- 0.0 - 5.7
- ⊕ 5.8 - 6.2
- + 6.3 - 6.7
- 6.8 - 7.2
- 7.3 - 7.7
- 7.8 - 8.2
- 8.3 - 14.0



Échelle 1:125 000



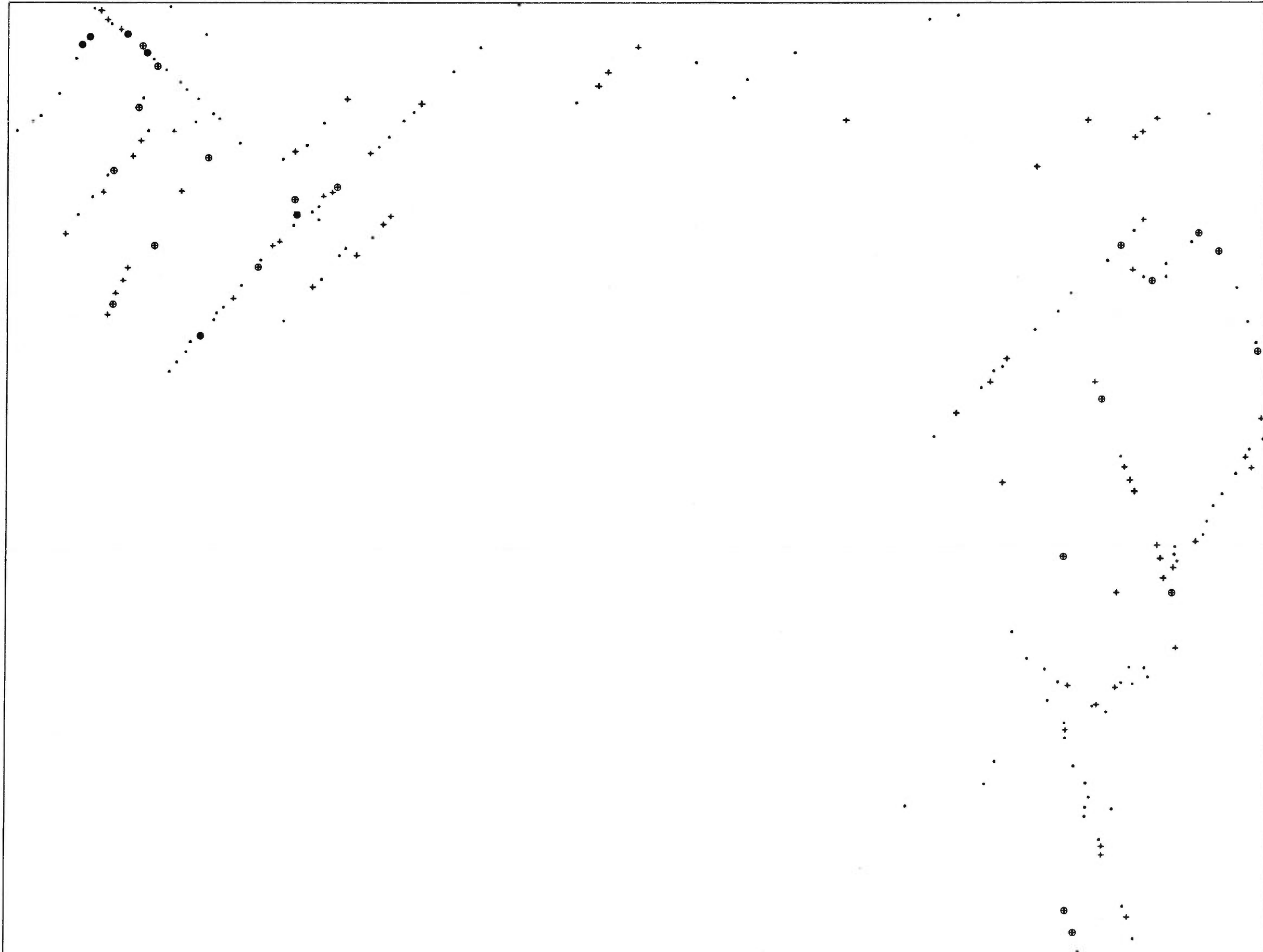
Service de la  
GÉOCHIMIE-GÉOPHYSIQUE

LAC HUMQUI

PROFONDEUR DES PUIITS

pieds

- 1 — 75
- + 76 — 150
- ⊕ 151 — 300
- 301 — 600



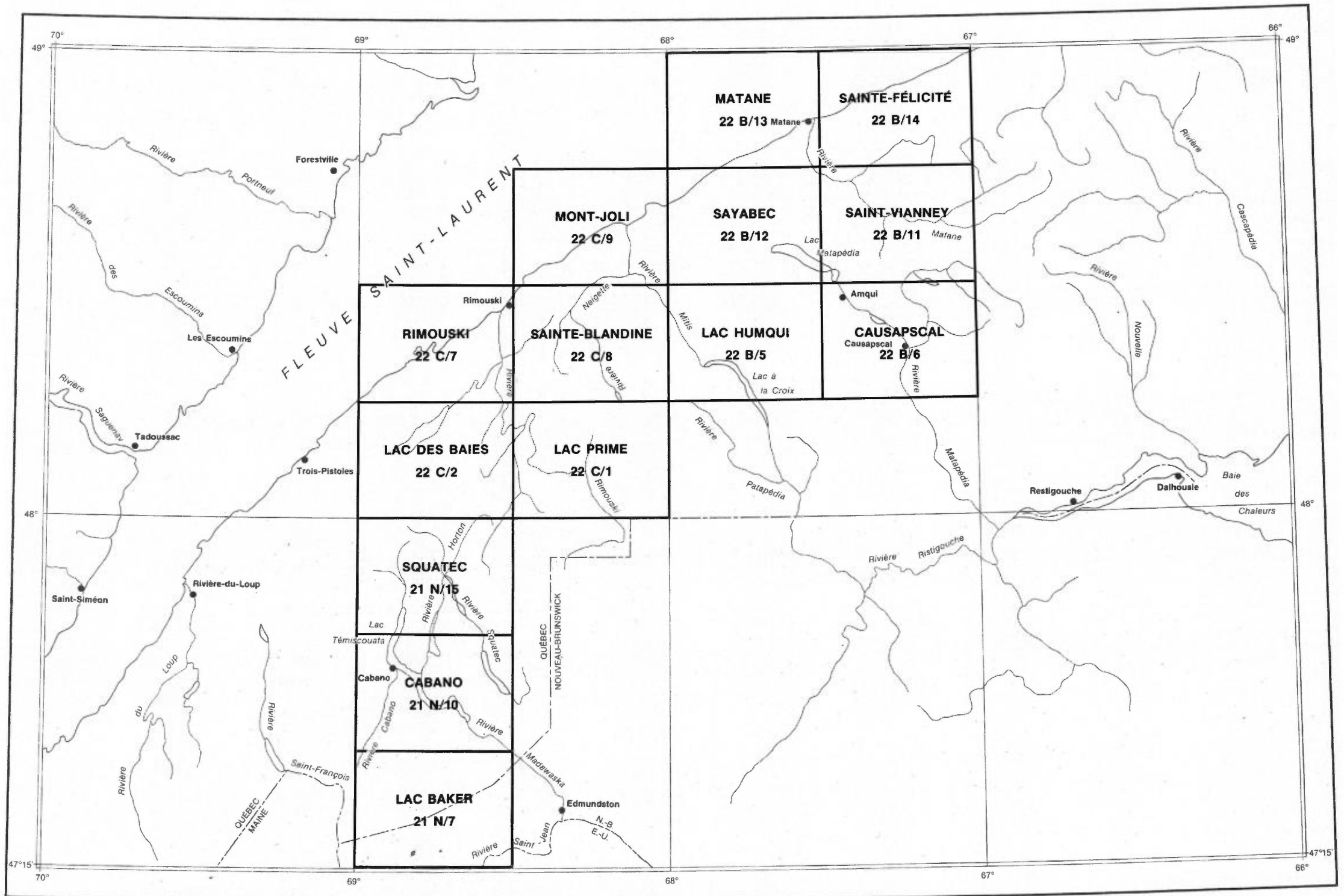
Échelle 1:125 000



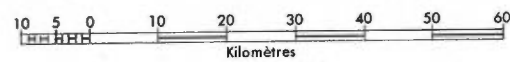
Service de la  
GÉOCHIMIE-GÉOPHYSIQUE

PROFONDEUR  
DES PUIITS



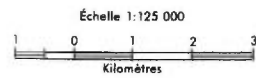


**INDEX DES CARTES GÉOCHIMIQUES**  
**RÉGION DU BAS SAINT-LAURENT**

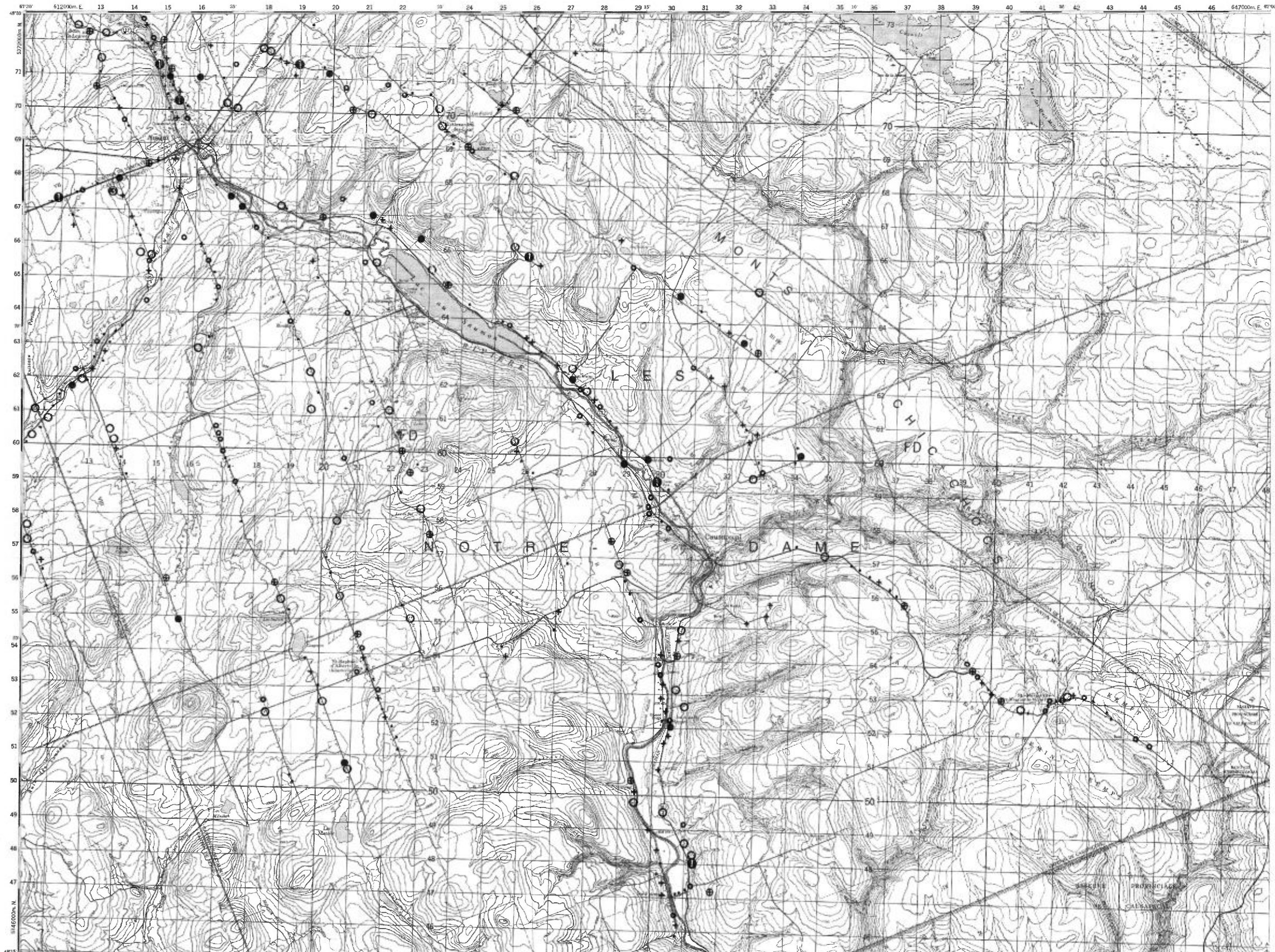


TENEURS (ppb)

- 1 - 8
- 9 - 13
- 14 - 29
- ⊕ 30 - 54
- ⊕ 55 - 89
- 90 - 179
- ① 180 - 359
- ② 360 - 719
- ③ 720 - 1439
- ④ 1440 - 2879



Service de la  
GÉOCHIMIE-GÉOPHYSIQUE

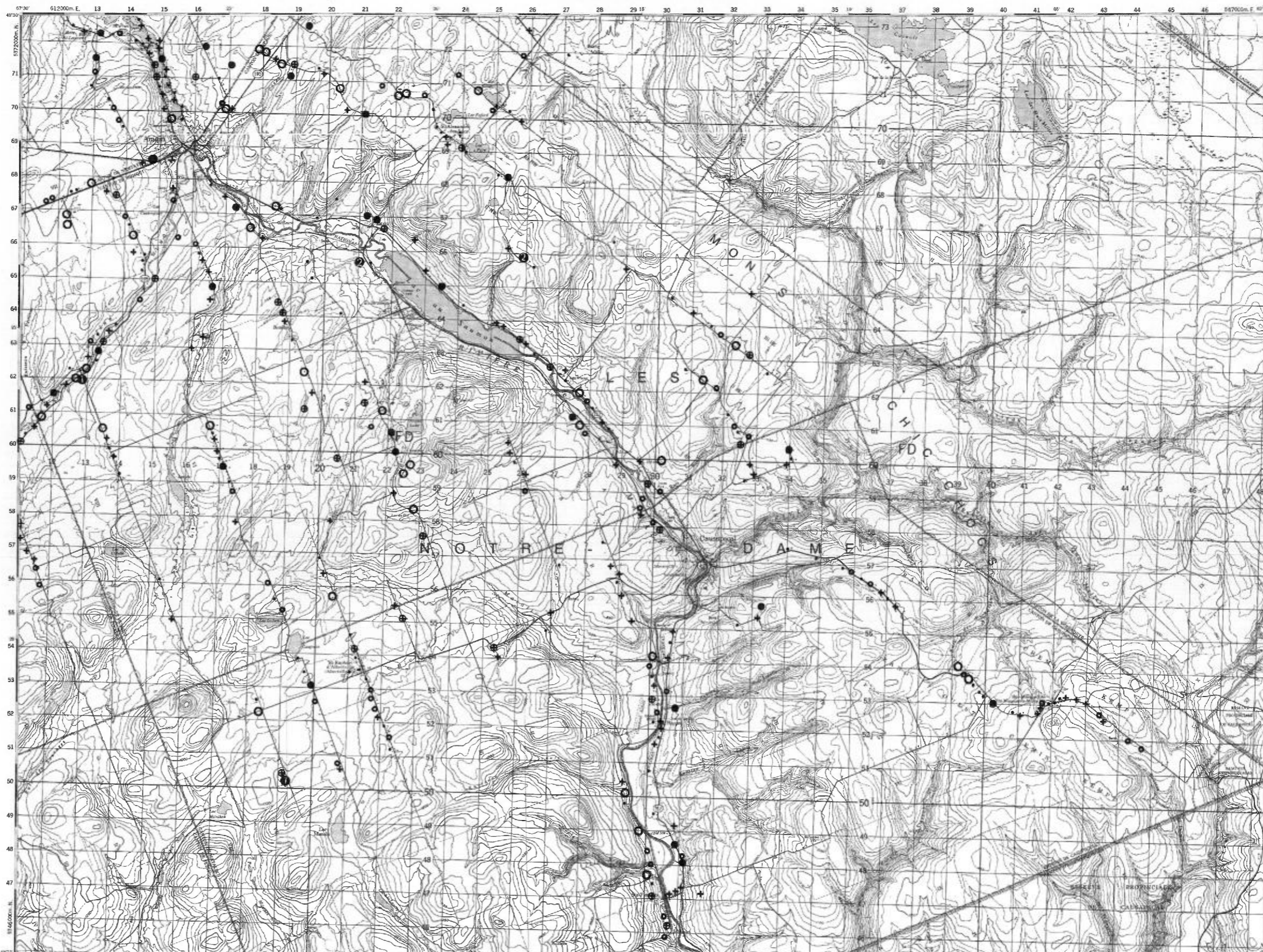


CAUSAPSCAL

RÉGION DU BAS SAINT-LAURENT

TENEURS (ppb)

- 4 - 12
- 14 - 34
- 36 - 144
- + 146 - 338
- ⊕ 340 - 738
- 740 - 1498
- ⊕ 1500 - 2998
- ⊕ 3000 - 5998
- ⊕ 6000 - 11998
- ⊕ 12000 - 23998



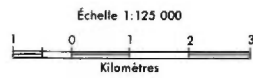
Échelle 1:125 000



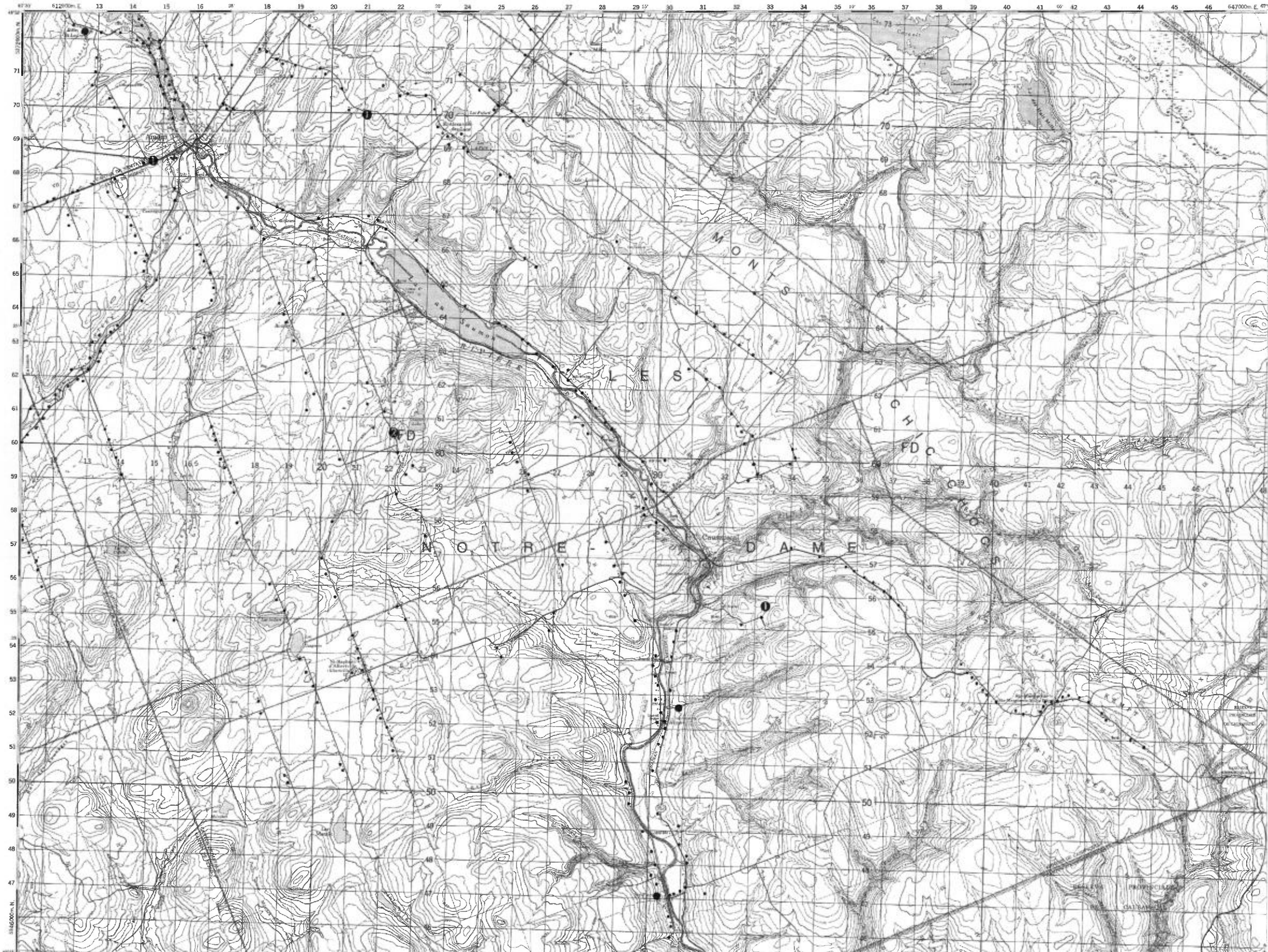
Service de la  
GÉOCHIMIE-GÉOPHYSIQUE

TENEURS (ppb)

- 1
- 2 - 4
- ① 5 - 9
- ② 10 - 19
- ③ 20 - 39
- ④ 40 - 79
- ⑤ 80 - 159
- ⑥ 160 - 219



Service de la  
GÉOCHIMIE-GÉOPHYSIQUE

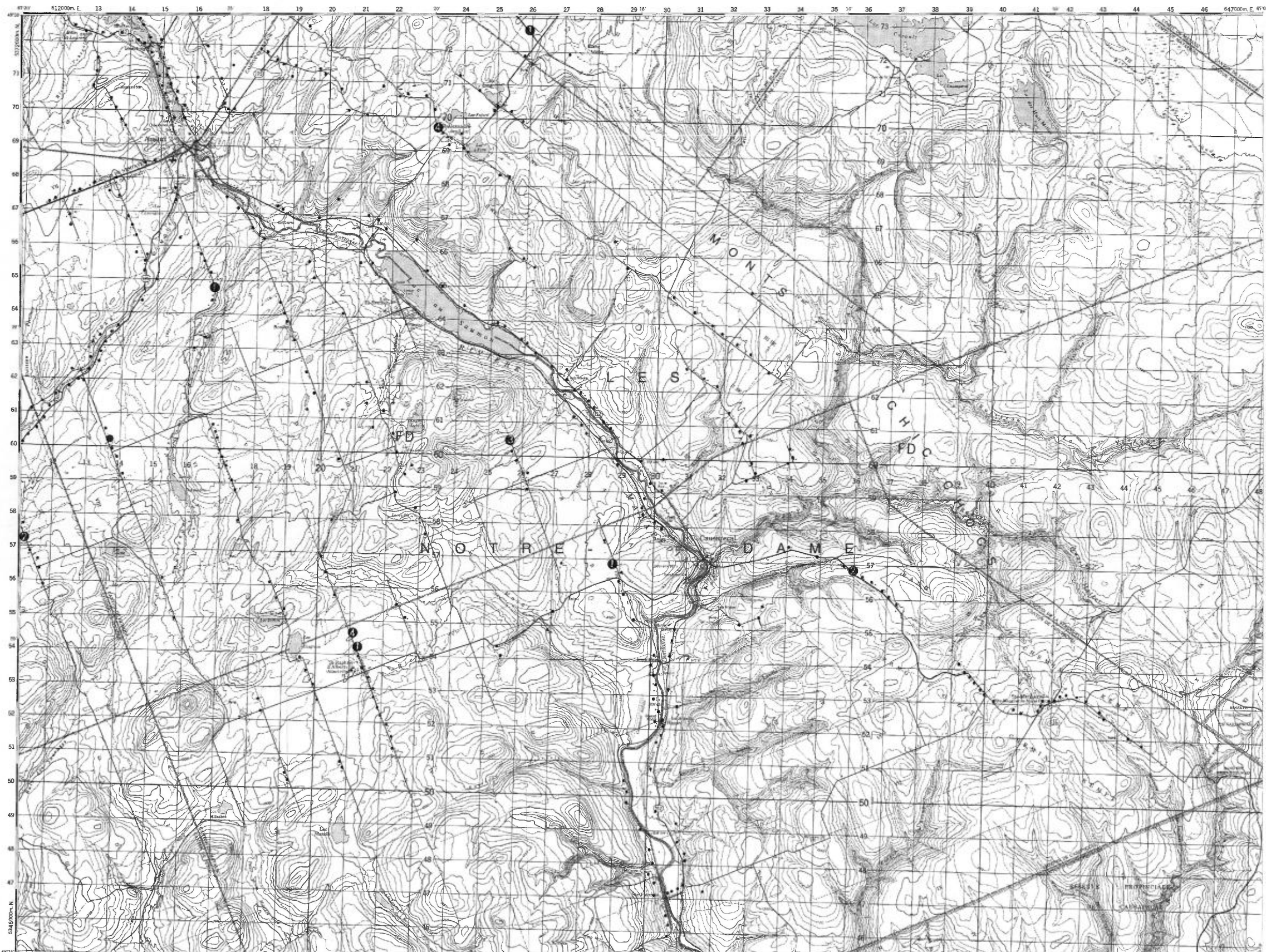


CAUSAPSCAL

RÉGION DU BAS SAINT-LAURENT

TENEURS (ppb)

- 1
- 2 - 5
- ① 6 - 11
- ② 12 - 24
- ③ 25 - 49
- ④ 50 - 99
- ⑤ 100 - 199
- ⑥ 200 - 399



Échelle 1:125 000



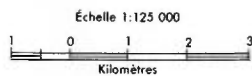
Service de la  
GÉOCHIMIE-GÉOPHYSIQUE

CAUSAPSCAL

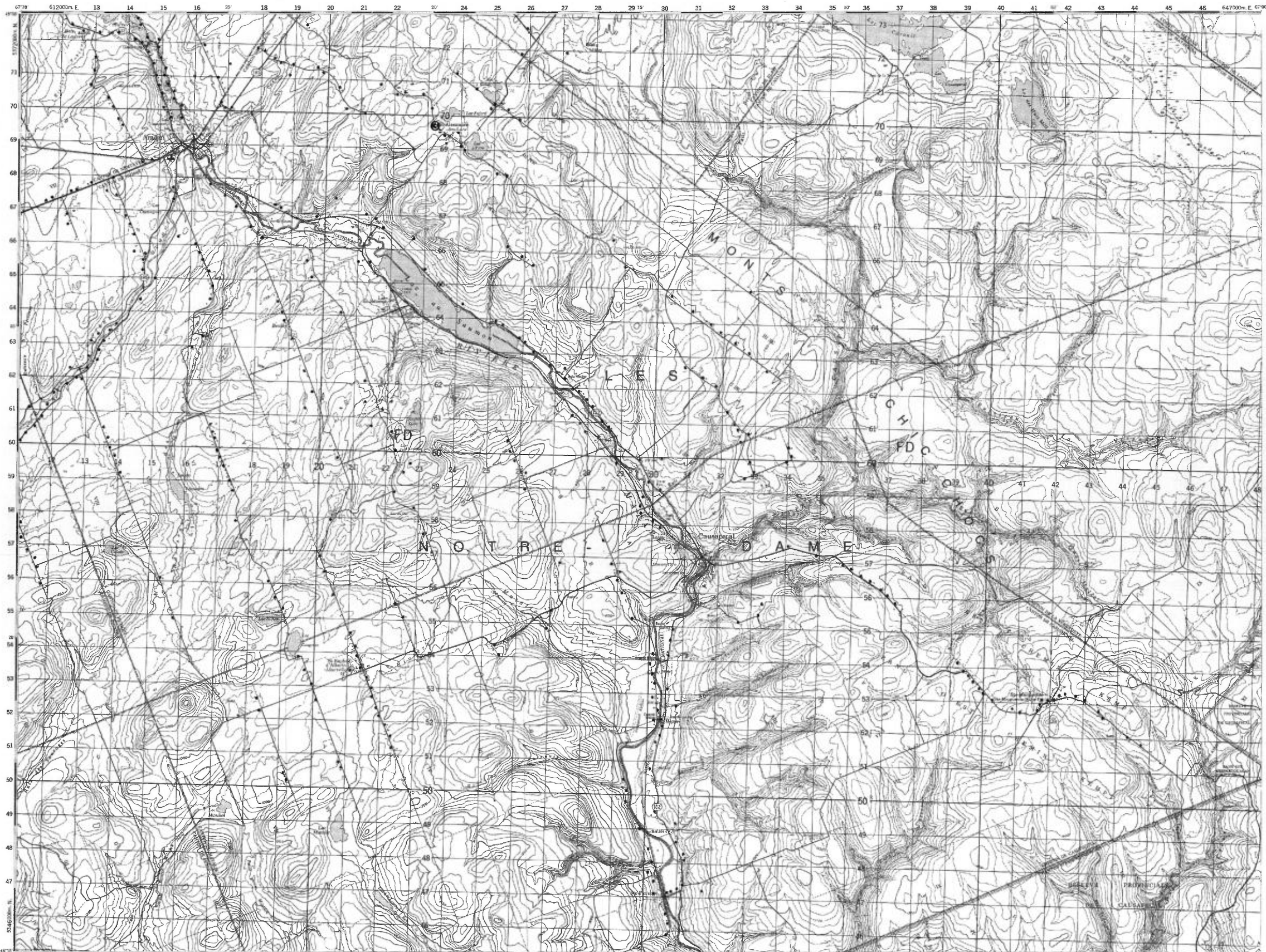
RÉGION DU BAS SAINT-LAURENT

TENEURS (ppb)

- 1
- 2 - 3
- ① 4 - 7
- ② 8 - 15
- ③ 16 - 31
- ④ 32 - 63



Service de la  
GÉOCHIMIE-GÉOPHYSIQUE

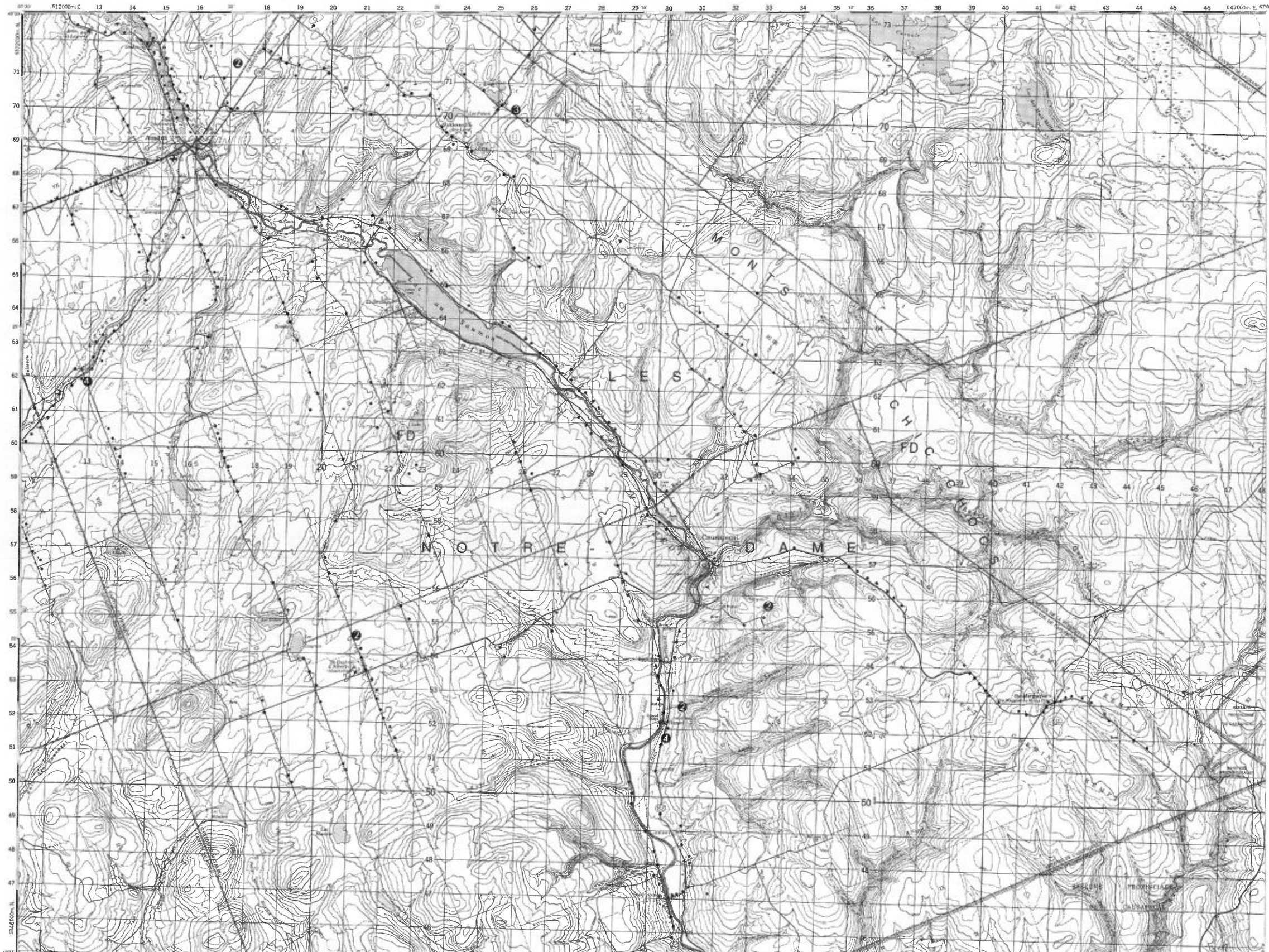


CAUSAPSICAL

RÉGION DU BAS SAINT-LAURENT

TENEURS (ppb)

- 0,1
- 0,2
- ① 0,3 - 0,5
- ② 0,6 - 1,1
- ③ 1,2 - 2,3
- ④ 2,4 - 4,9
- ⑤ 5,0 - 9,9
- ⑥ 10,0 - 19,9
- ⑦ 20,0 - 39,9
- ⑧ 40,0 - 79,9



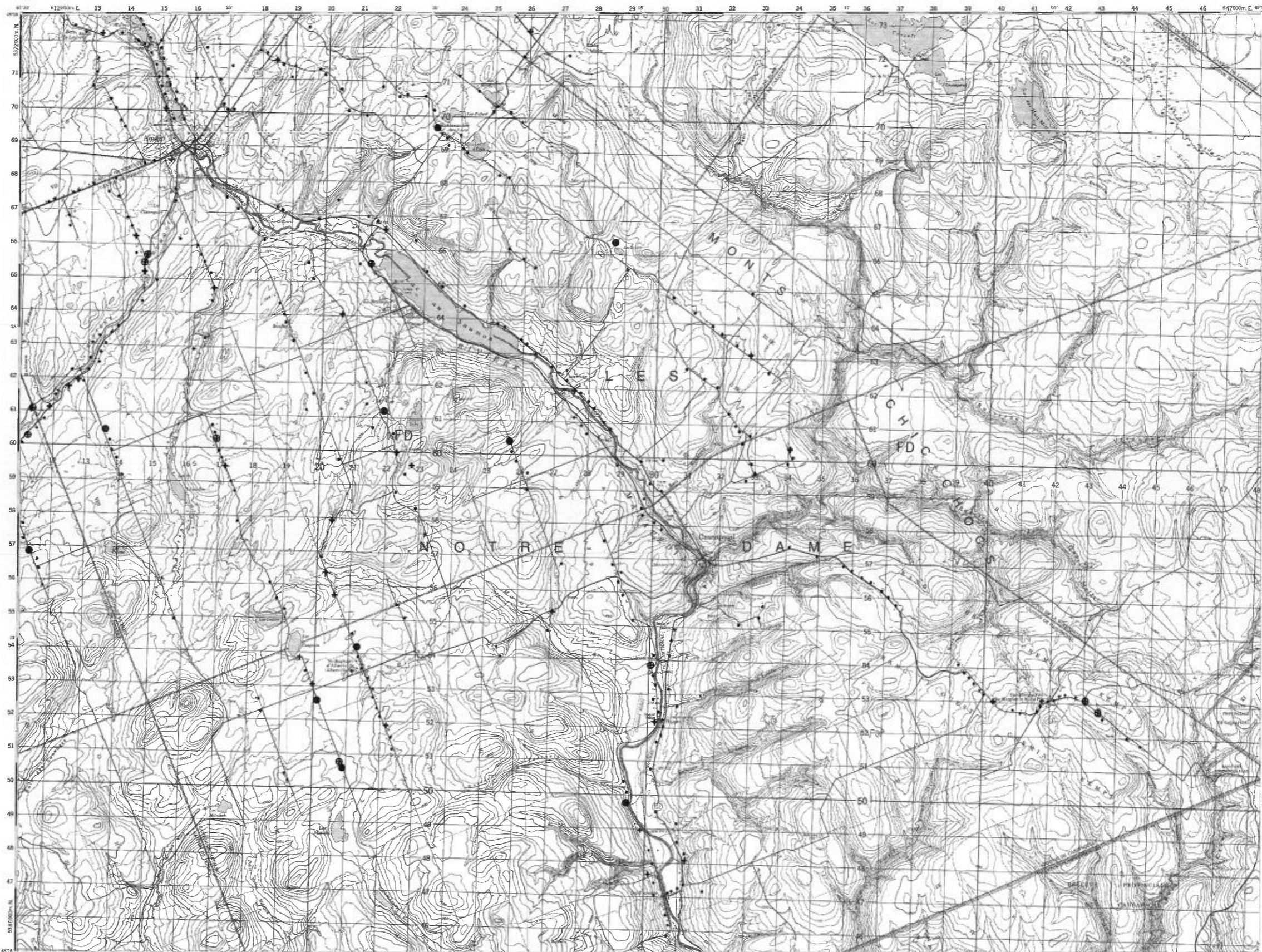
Échelle 1:125 000



Service de la  
GÉOCHIMIE-GÉOPHYSIQUE

TENEURS (ppb)

- 5 - 10
- + 15 - 50
- ⊕ 55 - 145
- 150 - 455
- ① 460 - 895
- ② 900 - 1795
- ③ 1800 - 3595



Échelle 1:125 000

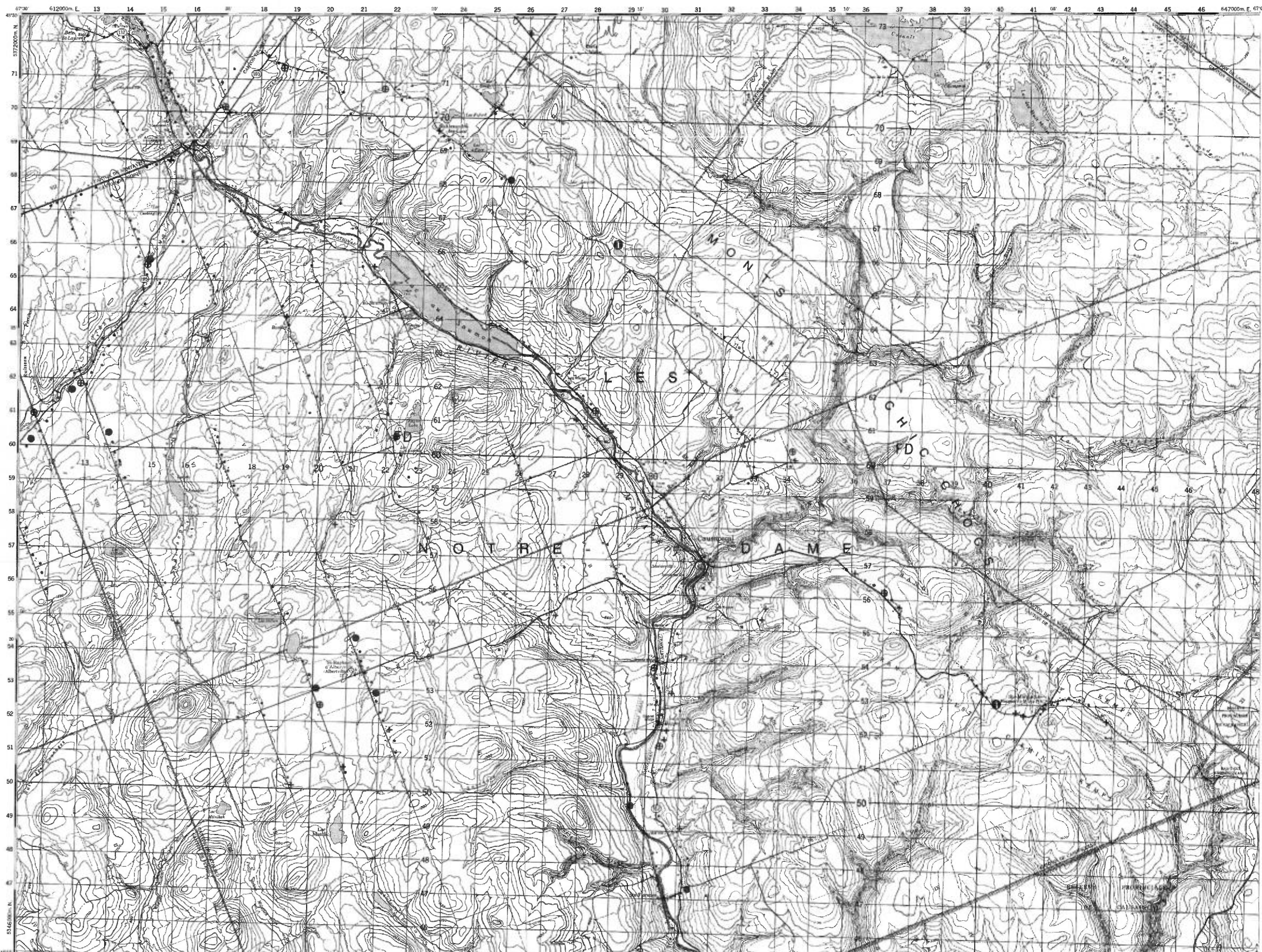


Service de la  
GÉOCHIMIE-GÉOPHYSIQUE



TENEURS (ppm)

- 0,1
- + 0,2
- ⊕ 0,3 - 0,4
- 0,5 - 1,3
- ⊙ 1,4 - 2,7
- ⊗ 2,8 - 5,5
- ⊛ 5,6 - 11,1



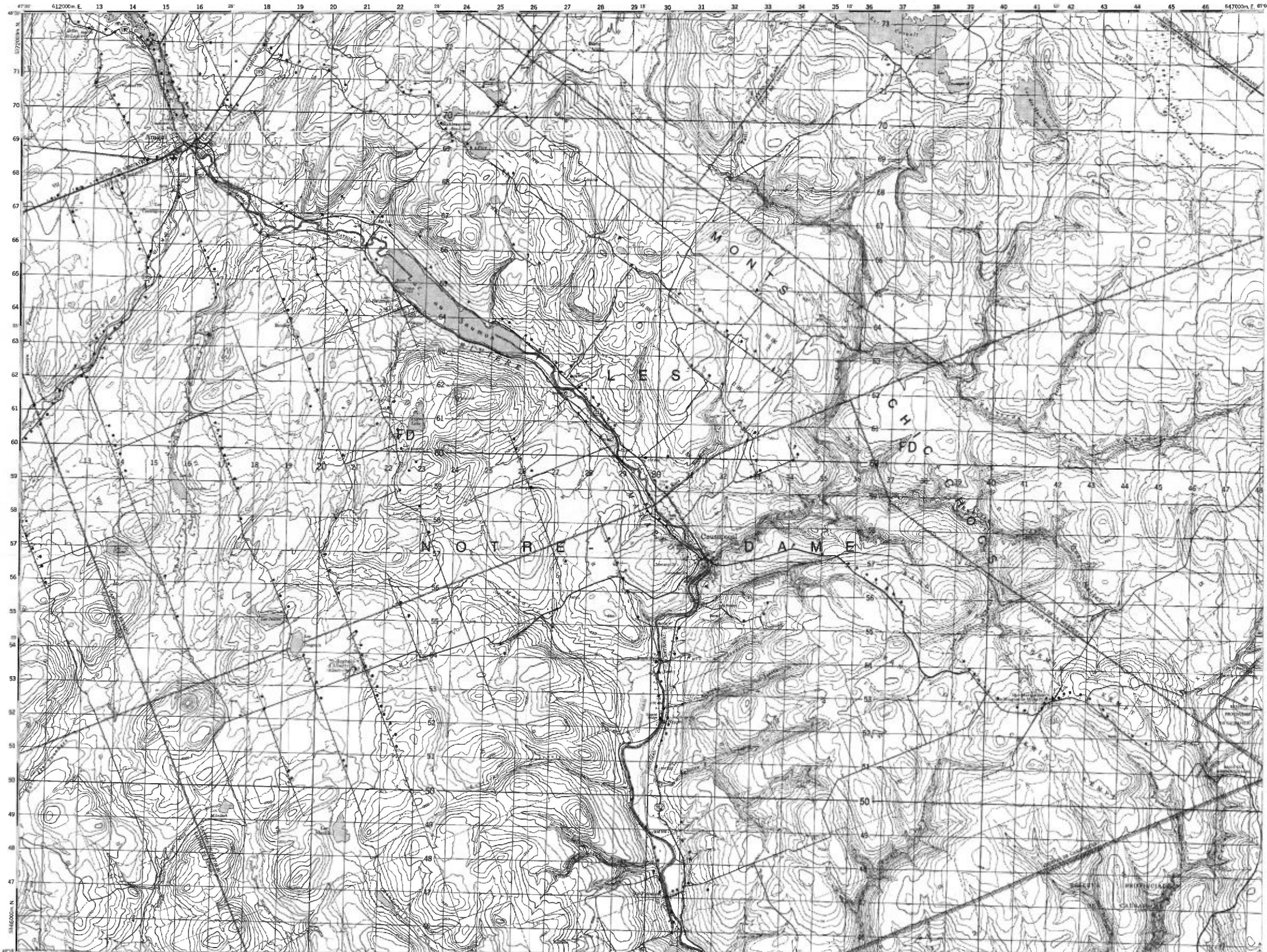
Échelle 1:125 000



Service de la  
GÉOCHIMIE-GÉOPHYSIQUE

TENEURS (ppb)

- 1
- 2
- ⊙ 3 - 5
- ⊙ 6 - 11



Échelle 1:125 000



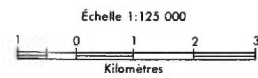
Service de la  
GÉOCHIMIE-GÉOPHYSIQUE

CAUSAPSCAL

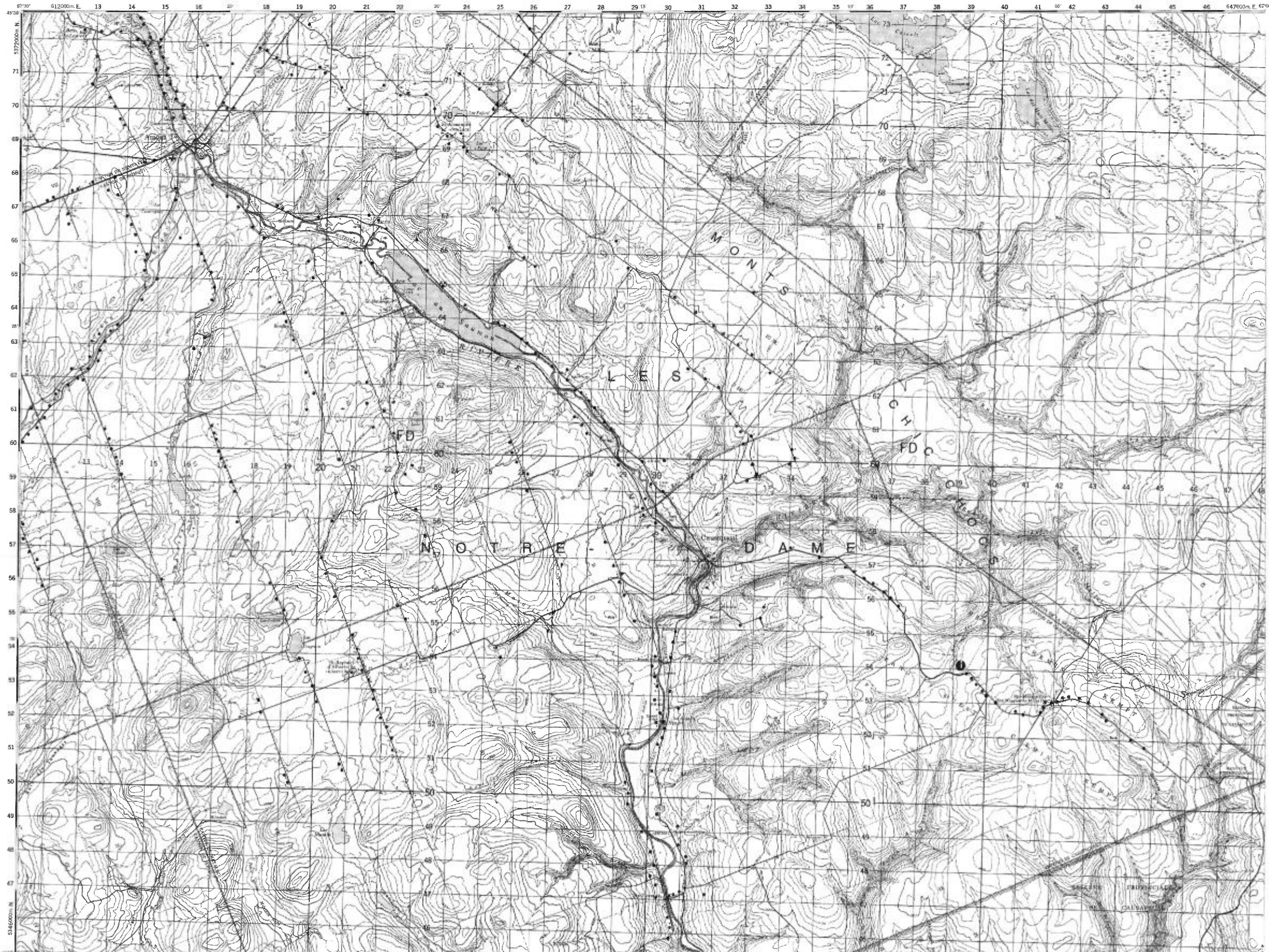
RÉGION DU BAS SAINT-LAURENT

TENEURS (ppb)

- 2
- + 3 - 5
- ⊕ 6 - 11
- 12 - 23
- ⊙ 24 - 47
- ⦿ 48 - 95



Service de la  
GÉOCHIMIE-GÉOPHYSIQUE

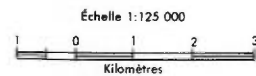


CAUSAPSCAL

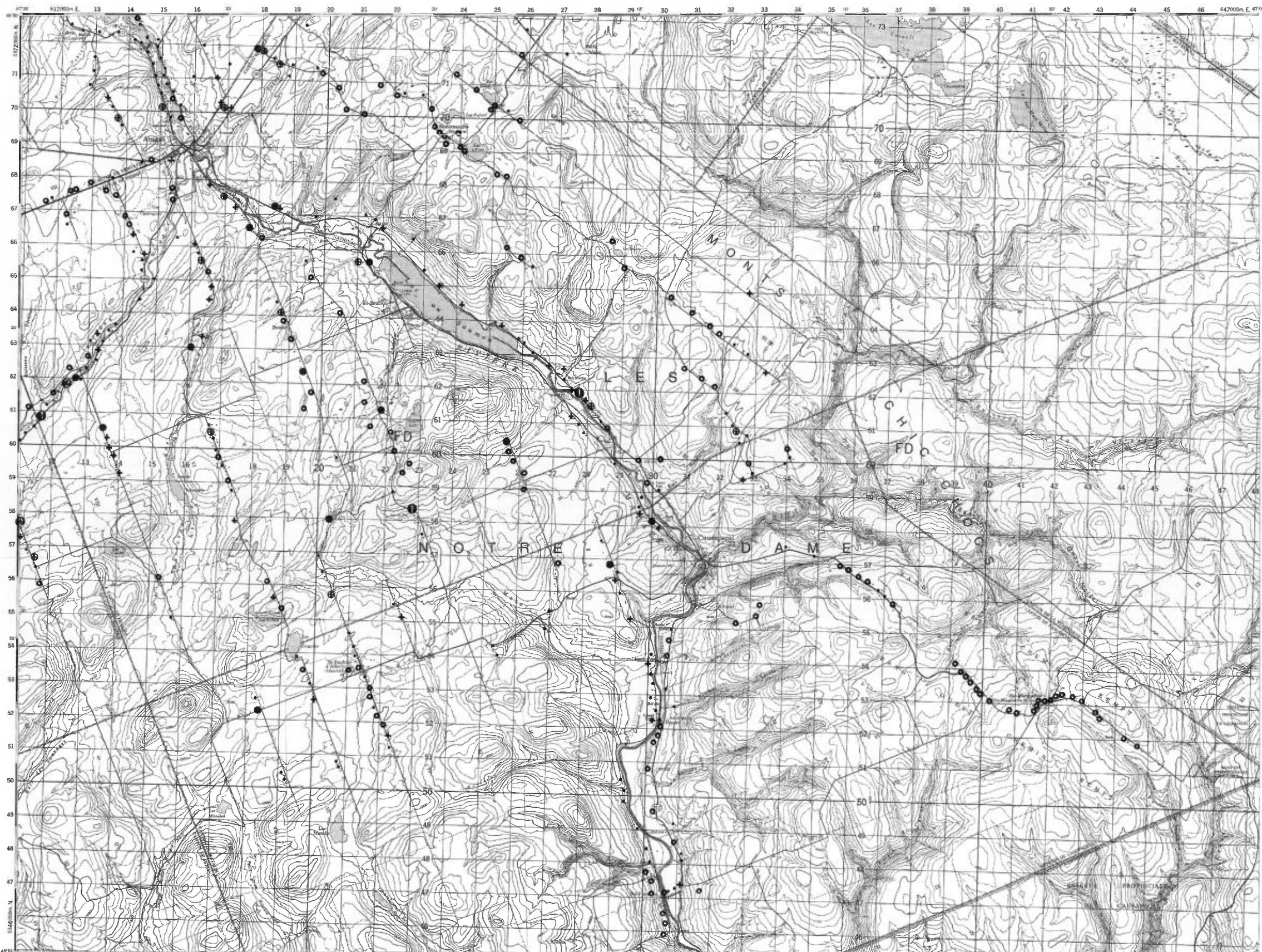
RÉGION DU BAS SAINT-LAURENT

TENEURS (ppm)

- 0,01 — 0,04
- 0,05 — 0,07
- + 0,08 — 0,12
- ⊕ 0,13 — 0,22
- 0,23 — 0,54
- ① 0,55 — 1,09
- ② 1,10 — 2,19
- ③ 2,20 — 4,39
- ④ 4,40 — 8,79



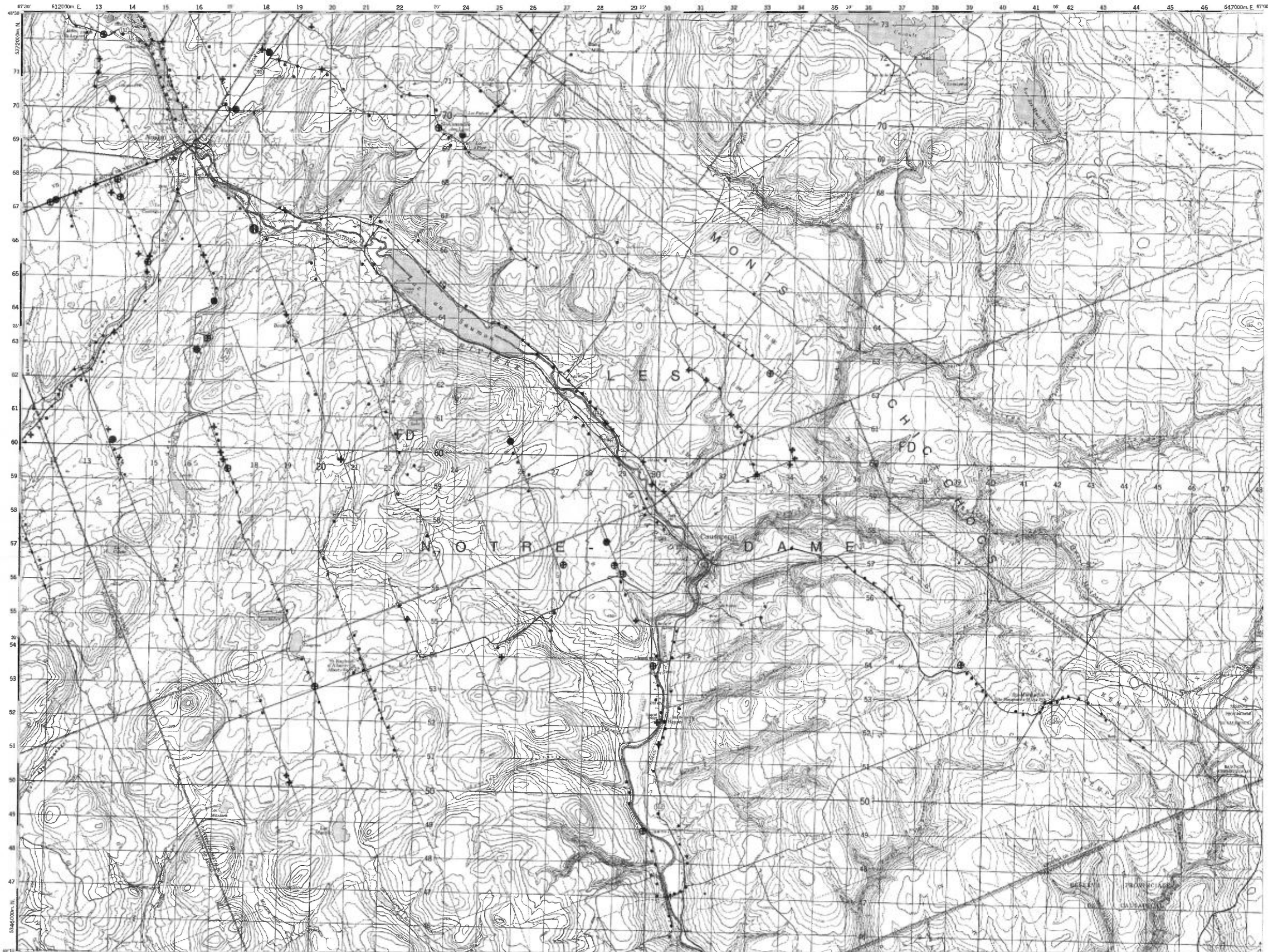
Service de la  
GÉOCHIMIE-GÉOPHYSIQUE



CAUSAPSCAL

TENEURS (ppb)

- 2 - 3
- + 4 - 5
- ⊕ 6 - 8
- 9 - 19
- ⊙ 20 - 39
- ⊗ 40 - 79
- ⊚ 80 - 159



Échelle 1:125 000



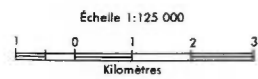
Service de la  
GÉOCHIMIE-GÉOPHYSIQUE

CAUSAPSCAL

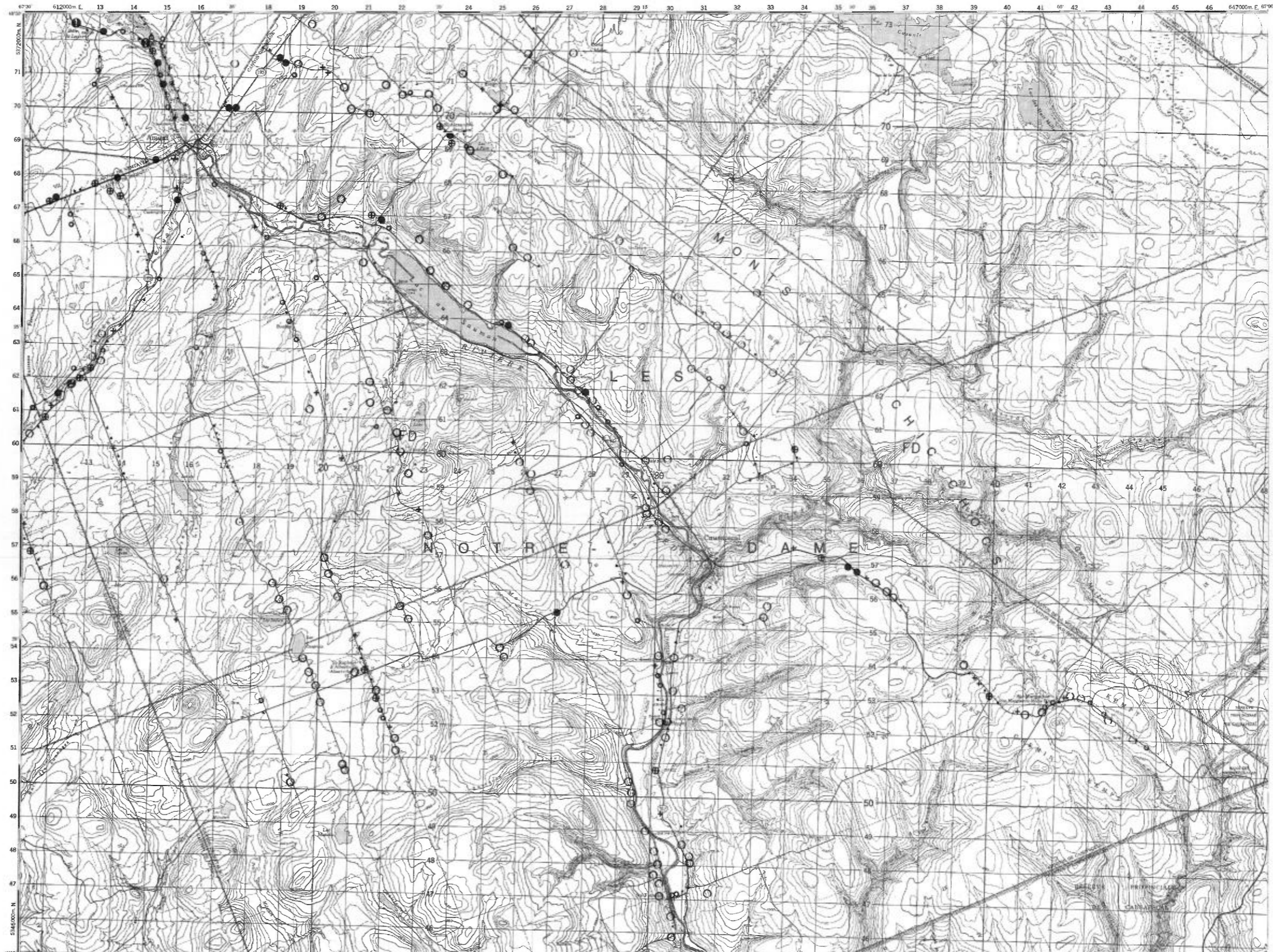
RÉGION DU BAS SAINT-LAURENT

TENEURS (ppm)

- 1 - 4
- 5 - 6
- 7 - 17
- + 18 - 34
- ⊕ 35 - 65
- 66 - 149
- ① 150 - 299
- ② 300 - 599
- ③ 600 - 1199
- ④ 1200 - 2399



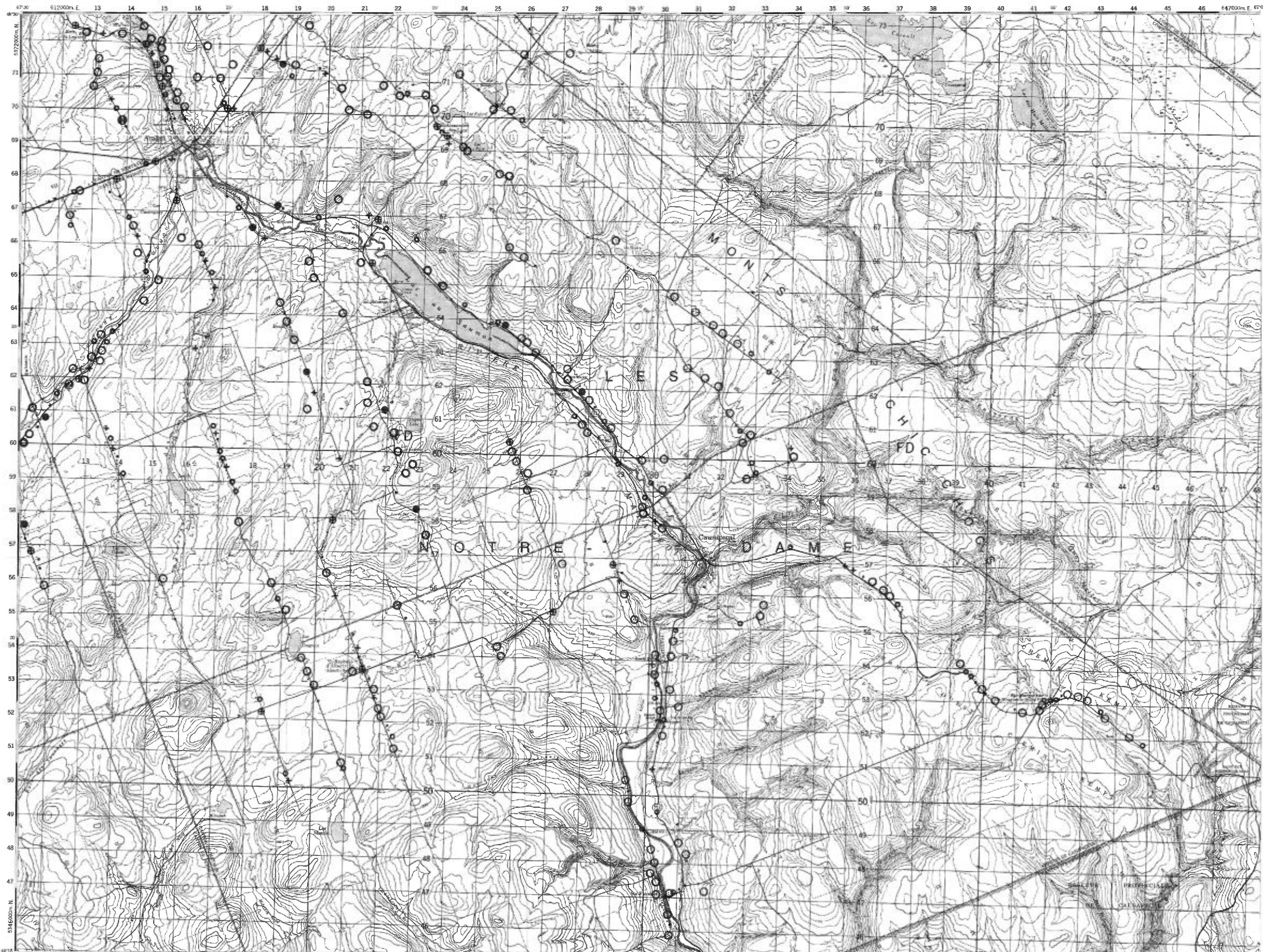
Service de la  
GÉOCHIMIE-GÉOPHYSIQUE



CAUSAPSCAL

TENEURS (ppm)

- 0,9 — 2,9
- 3,0 — 4,5
- 4,6 — 11,4
- + 11,5 — 26,9
- ⊕ 27,0 — 54,9
- 55,0 — 122,9
- ① 123,0 — 249,9
- ② 250,0 — 499,9
- ③ 500,0 — 999,9
- ④ 1000,0 — 1999,9



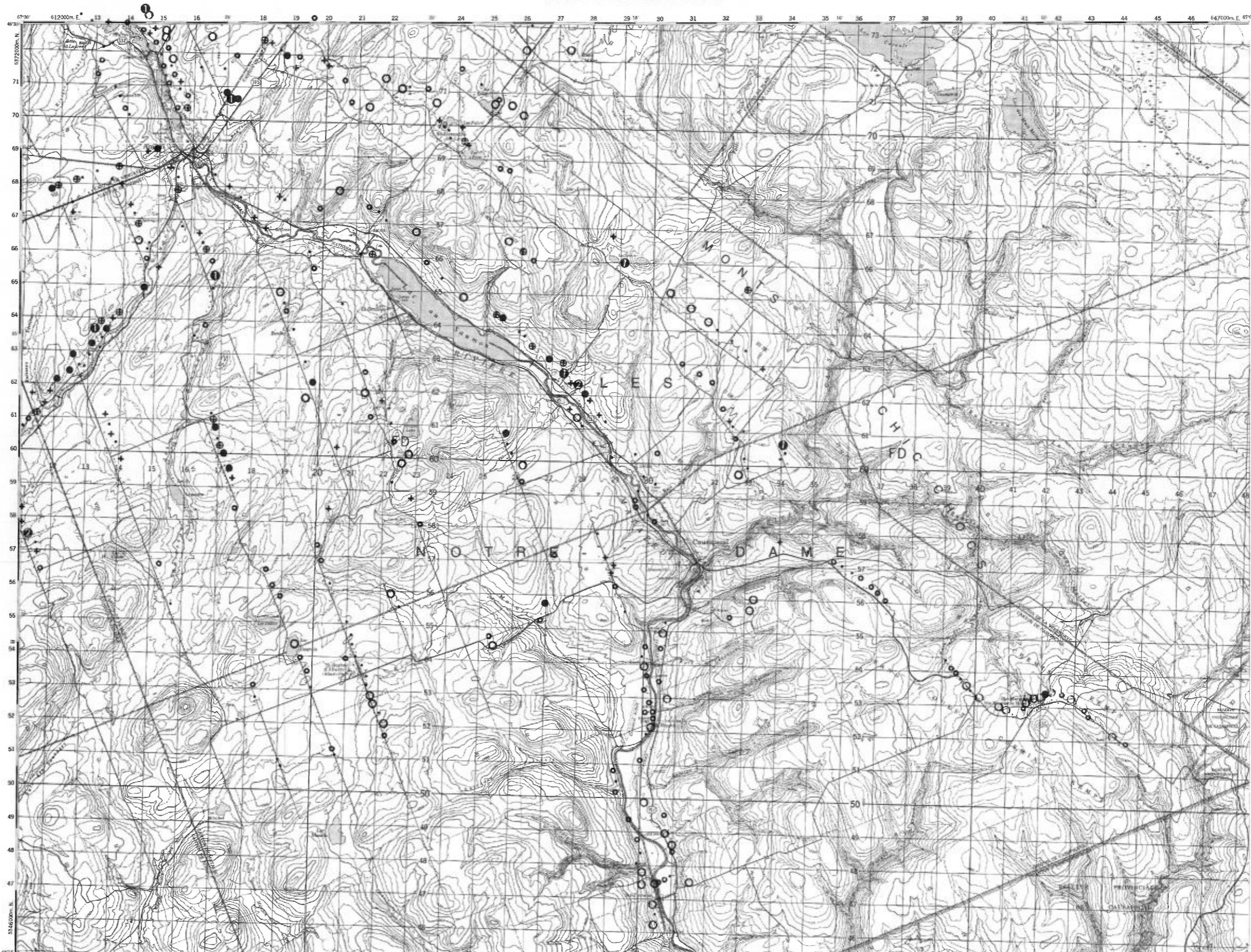
Echelle 1:125 000



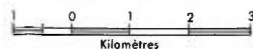
Service de la  
GÉOCHIMIE-GÉOPHYSIQUE

TENEURS (ppm)

- 0,2 - 0,5
- 0,6 - 0,9
- 1,0 - 2,1
- + 2,2 - 3,5
- ⊕ 3,6 - 4,9
- 5,0 - 8,9
- ① 9,0 - 17,9
- ② 18,0 - 35,9
- ③ 36,0 - 71,9



Échelle 1:125 000



Service de la  
GÉOCHIMIE-GÉOPHYSIQUE

K

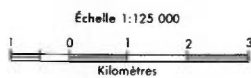


CAUSAPSCAL

RÉGION DU BAS SAINT-LAURENT

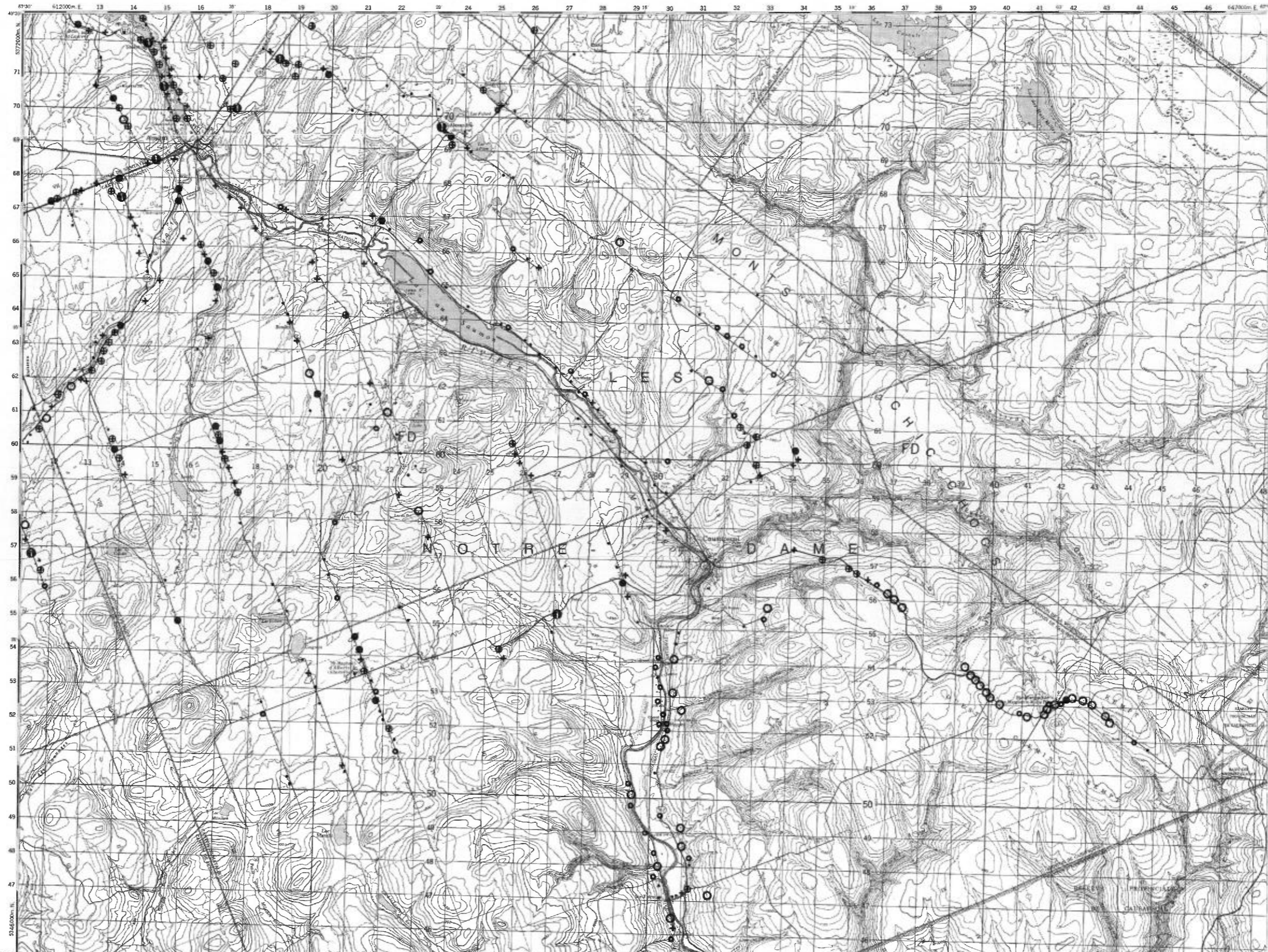
TENEURS (ppm)

- 1,0 - 29,9
- 30,0 - 44,9
- 45,0 - 72,9
- ⊕ 73,0 - 88,9
- ⊕ 89,0 - 104,9
- 105,0 - 139,9
- ⊕ 140,0 - 279,9
- 280,0 - 559,9



Service de la  
GÉOCHIMIE-GÉOPHYSIQUE

Ca



CAUSAPSCAL

RÉGION DU BAS SAINT-LAURENT

TENEURS (ppm)

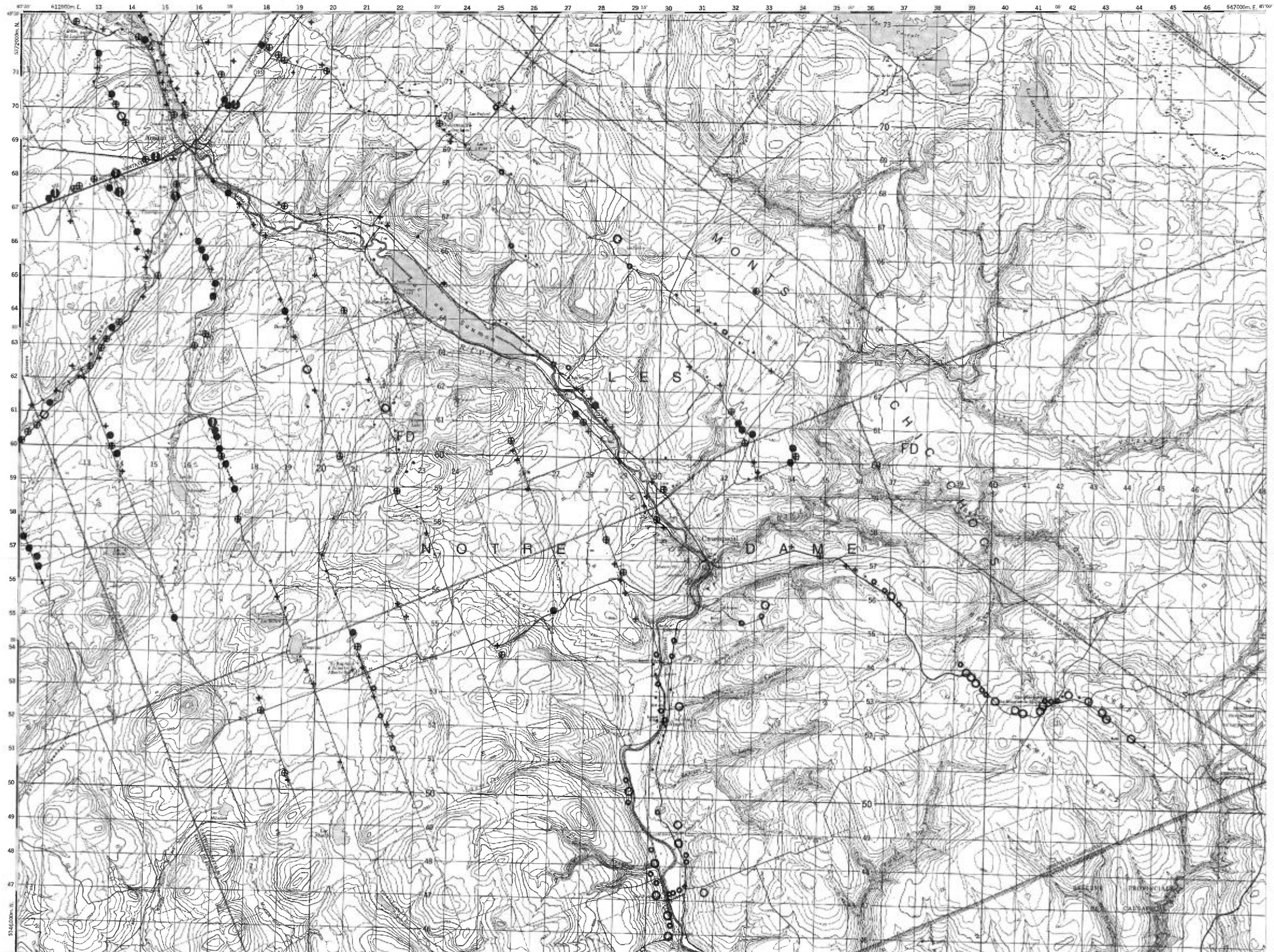
- 0,1 - 4,2
- 4,3 - 6,3
- 6,4 - 11,9
- + 12,0 - 16,2
- ⊕ 16,3 - 20,0
- 20,1 - 27,9
- ① 28,0 - 55,9
- ② 56,0 - 111,9

Échelle 1:125 000



Service de la  
GÉOCHIMIE-GÉOPHYSIQUE

Mg

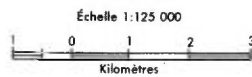


CAUSAPSCAL

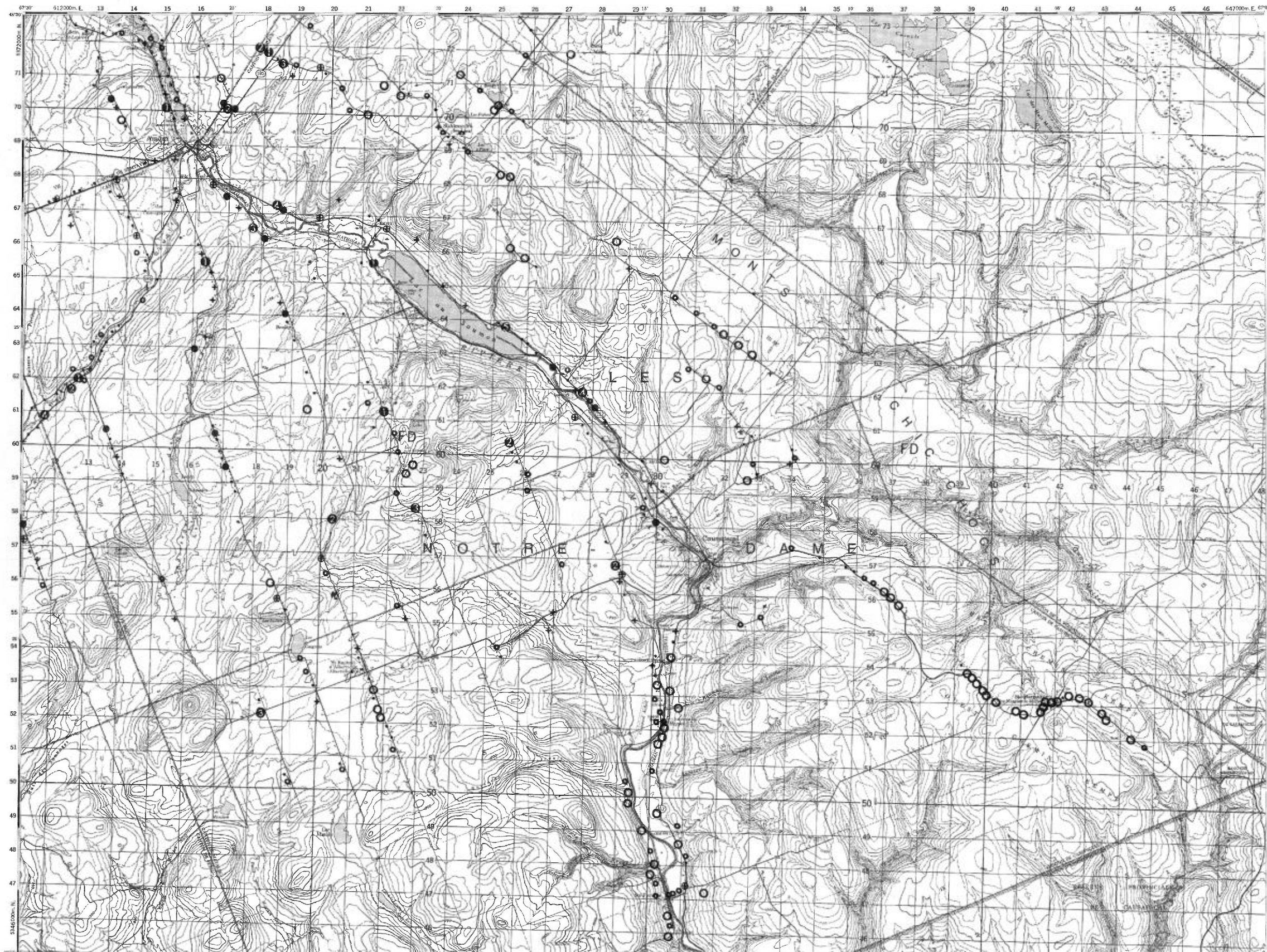
RÉGION DU BAS SAINT-LAURENT

TENEURS (ppb)

- 0,1 - 5,5
- 5,6 - 7,9
- 8,0 - 15,4
- + 15,5 - 25,9
- ⊕ 26,0 - 41,9
- 42,0 - 115,0
- ① 115,1 - 229,9
- ② 230,0 - 459,9
- ③ 460,0 - 919,9
- ④ 920,0 - 1839,9
- ⑤ 1840,0 - 3679,9



Service de la  
GÉOCHIMIE-GÉOPHYSIQUE

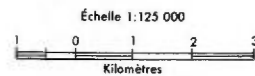


CAUSAPSCAL

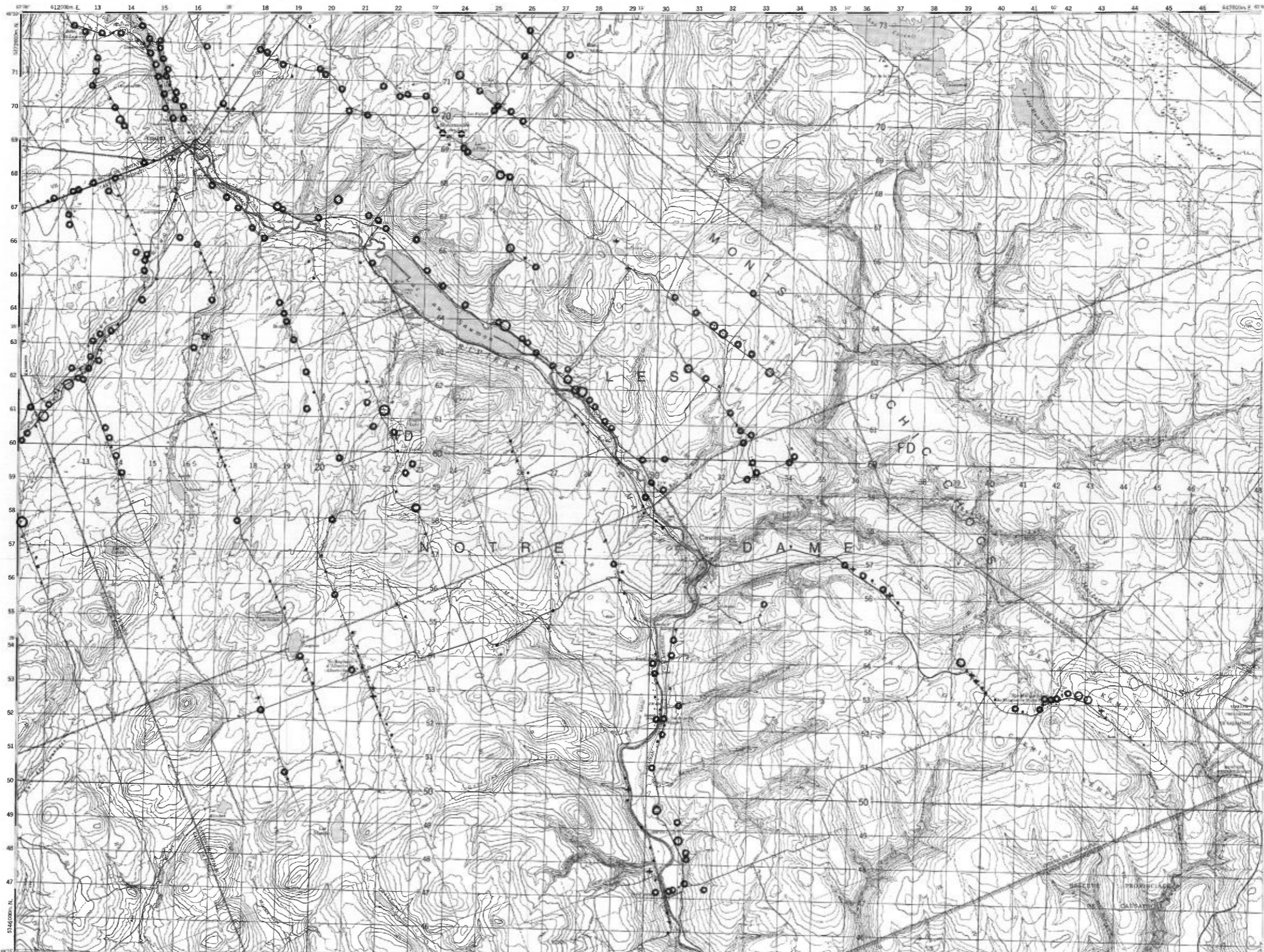
RÉGION DU BAS SAINT-LAURENT

TENEURS (unité)

- 0.0 - 5.7
- ⊕ 5.8 - 6.2
- + 6.3 - 6.7
- 6.8 - 7.2
- 7.3 - 7.7
- 7.8 - 8.2
- 8.3 - 14.0



Service de la  
GÉOCHIMIE-GÉOPHYSIQUE



PROFONDEUR DES PUIITS

- pieds
- 1 - 75
  - + 76 - 150
  - ⊕ 151 - 300
  - 301 - 600



Échelle 1:125 000



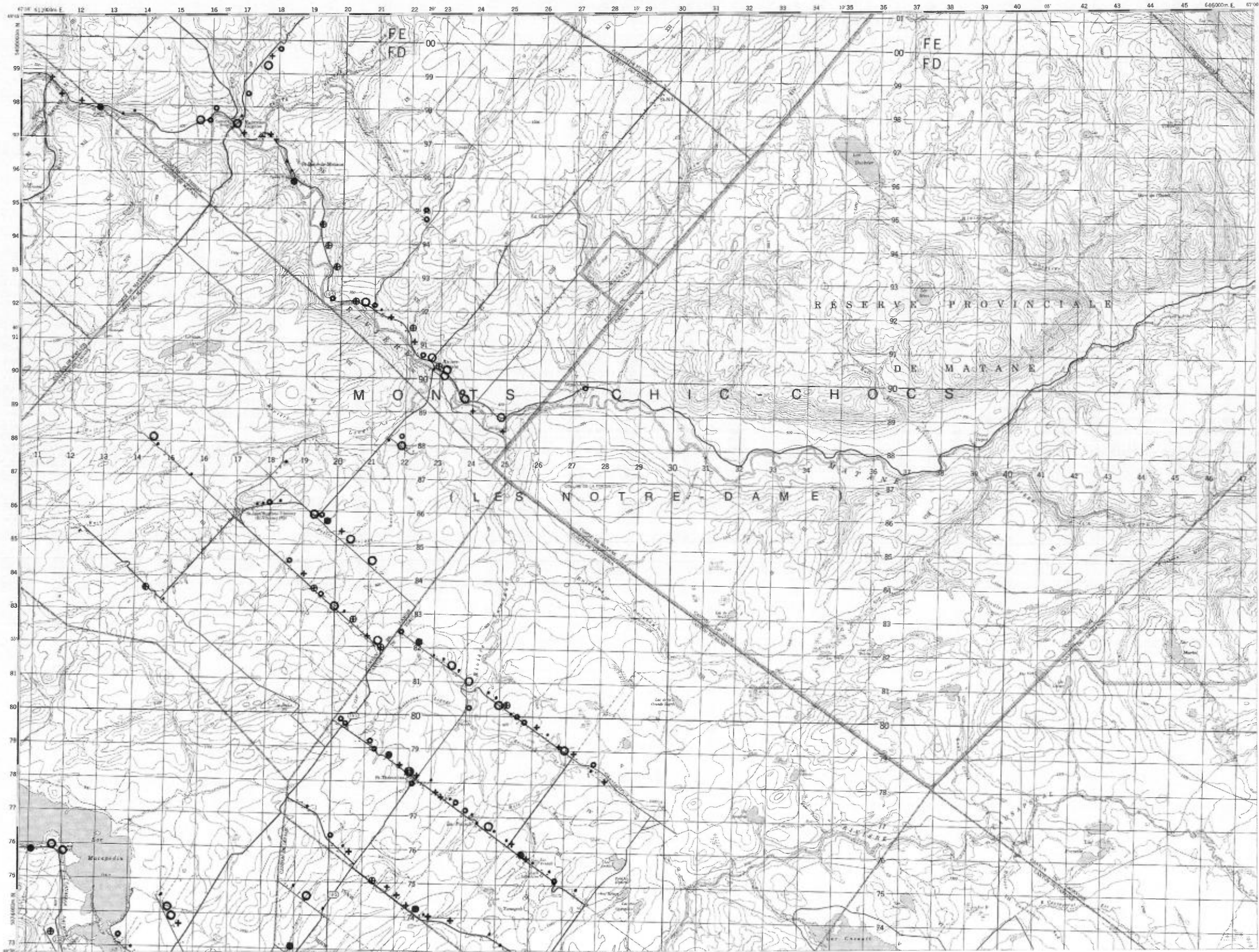
Service de la  
GÉOCHIMIE-GÉOPHYSIQUE

PROFONDEUR  
DES PUIITS



TENEURS (ppb)

- 1 - 8
- 9 - 13
- 14 - 29
- ⊕ 30 - 54
- ⊕ 55 - 89
- 90 - 179
- ① 180 - 359
- ② 360 - 719
- ③ 720 - 1439
- ④ 1440 - 2879

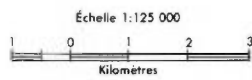


Échelle 1:125 000  
 0 1 2 3  
 Kilomètres

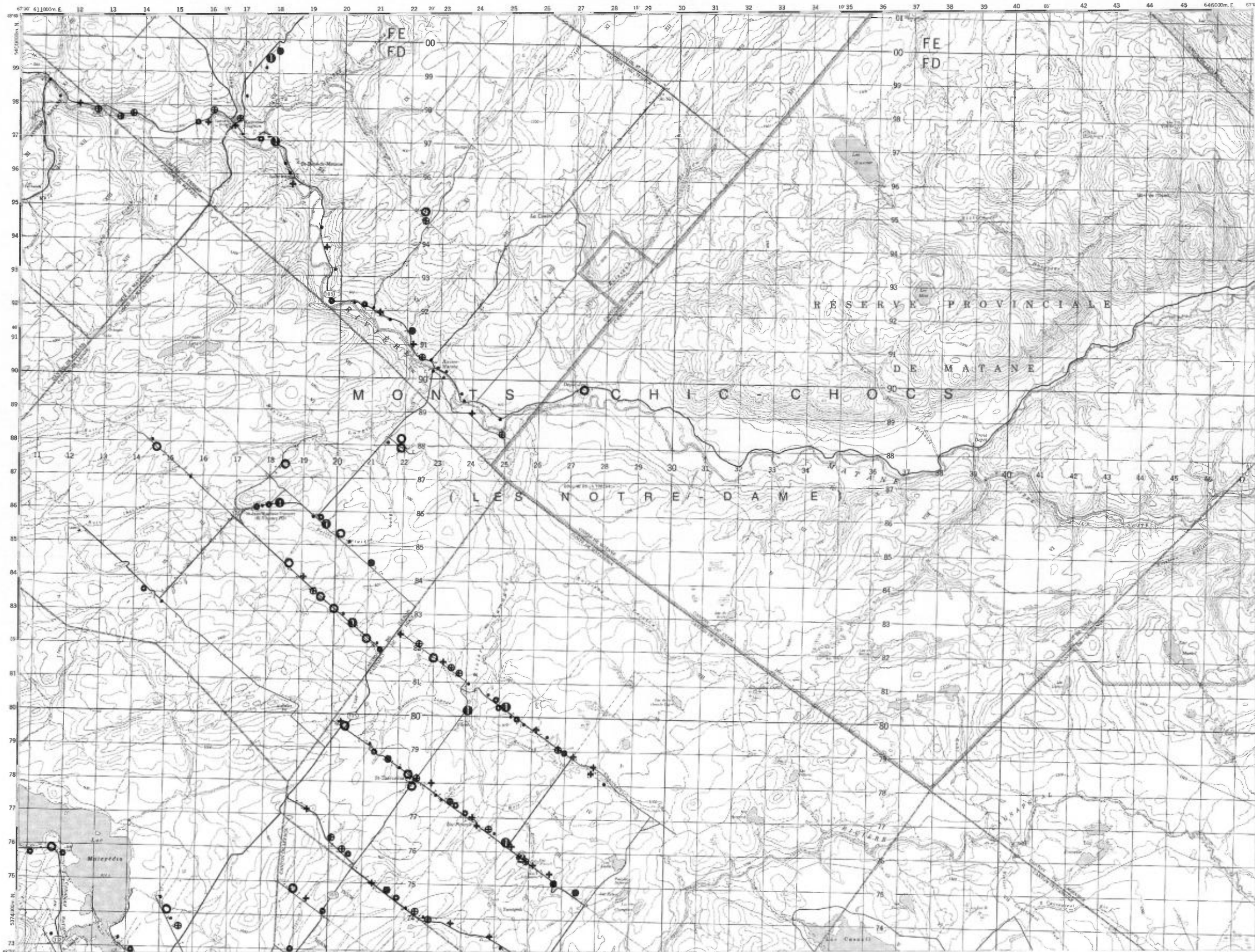
Service de la  
 GÉOCHIMIE-GÉOPHYSIQUE

TENEURS (ppb)

- 4 - 12
- 14 - 34
- 36 - 144
- + 146 - 338
- ⊕ 340 - 738
- 740 - 1498
- ⊙ 1500 - 2998
- ⊙ 3000 - 5998
- ⊙ 6000 - 11998
- ⊙ 12000 - 23998



Service de la  
GÉOCHIMIE-GÉOPHYSIQUE





TENEURS (ppb)

- 1
- 2 - 4
- ① 5 - 9
- ② 10 - 19
- ③ 20 - 39
- ④ 40 - 79
- ⑤ 80 - 159
- ⑥ 160 - 219

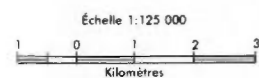


Échelle 1:125 000  
 1 0 1 2 3  
 Kilomètres

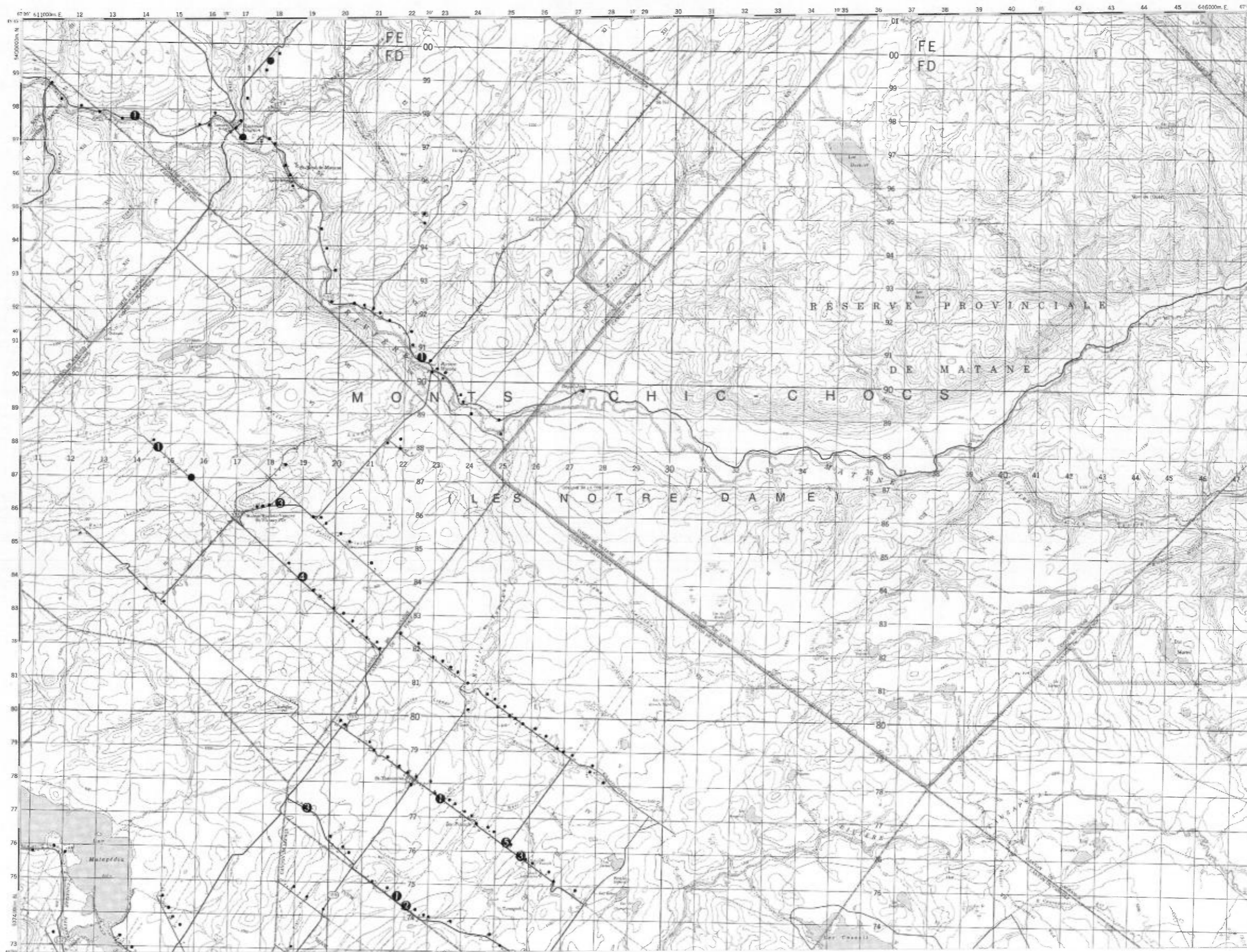
Service de la  
 GÉOCHIMIE-GÉOPHYSIQUE

TENEURS (ppb)

- 1
- 2 - 5
- ① 6 - 11
- ② 12 - 24
- ③ 25 - 49
- ④ 50 - 99
- ⑤ 100 - 199
- ⑥ 200 - 399

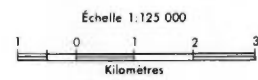


Service de la  
GÉOCHIMIE-GÉOPHYSIQUE



TENEURS (ppb)

- 1
- 2 - 3
- ⊙ 4 - 7
- ⊕ 8 - 15
- ⊗ 16 - 31
- ⦿ 32 - 63



Service de la  
GÉOCHIMIE-GÉOPHYSIQUE

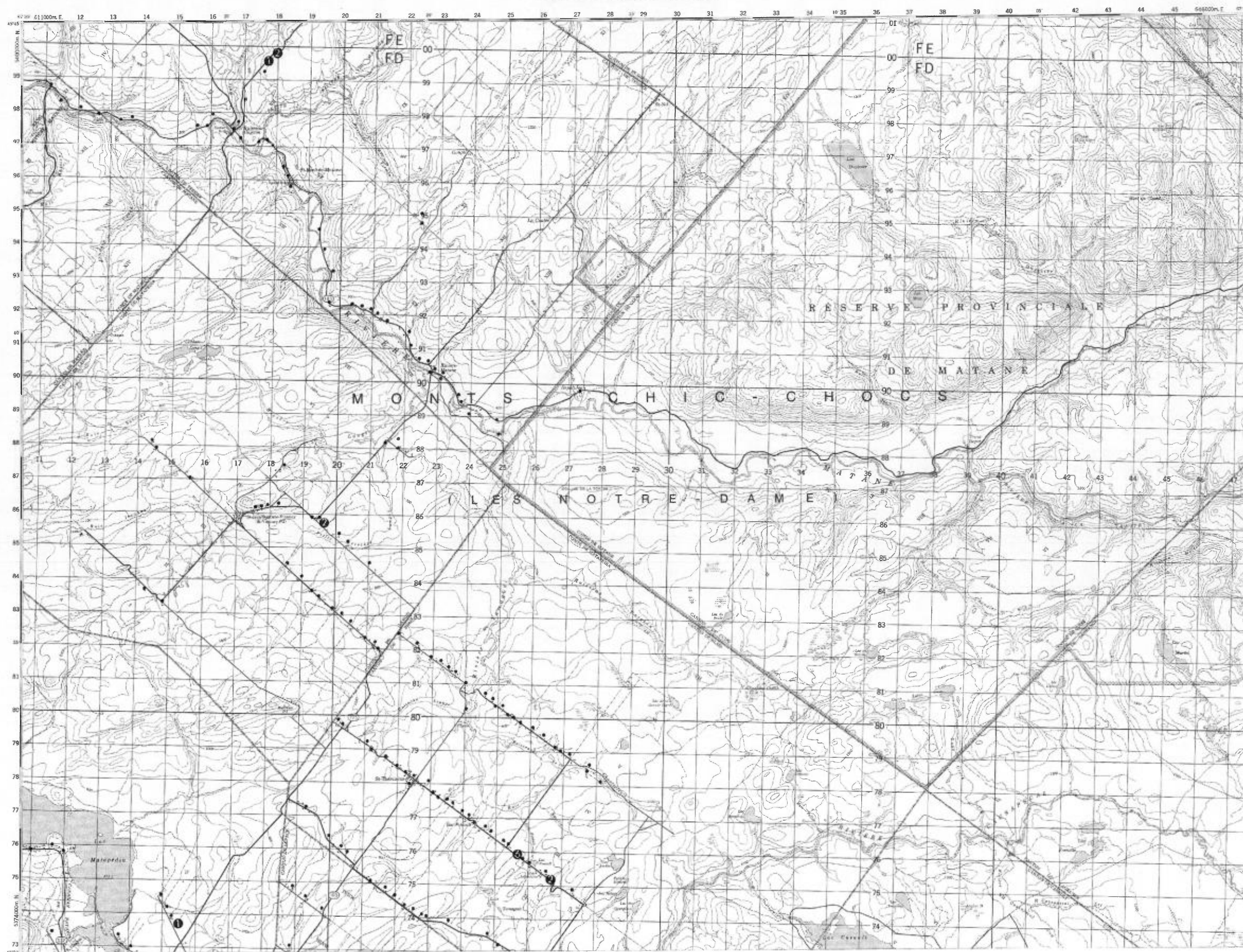


GÉOCHIMIE DES EAUX SOUTERRAINES  
**SAINT-VIANNEY**  
RÉGION DU BAS SAINT-LAURENT

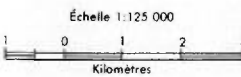
- TENEURS (ppb)
- 0.1
  - 0.2
  - ① 0.3 - 0.5
  - ② 0.6 - 1.1
  - ③ 1.2 - 2.3
  - ④ 2.4 - 4.9
  - ⑤ 5.0 - 9.9
  - ⑥ 10.0 - 19.9
  - ⑦ 20.0 - 39.9
  - ⑧ 40.0 - 79.9



Service de la  
GÉOCHIMIE-GÉOPHYSIQUE



- TENEURS (ppb)
- 5 - 10
  - + 15 - 50
  - ⊕ 55 - 145
  - 150 - 455
  - ① 460 - 895
  - ② 900 - 1795
  - ③ 1800 - 3595



Service de la  
 GÉOCHIMIE-GÉOPHYSIQUE

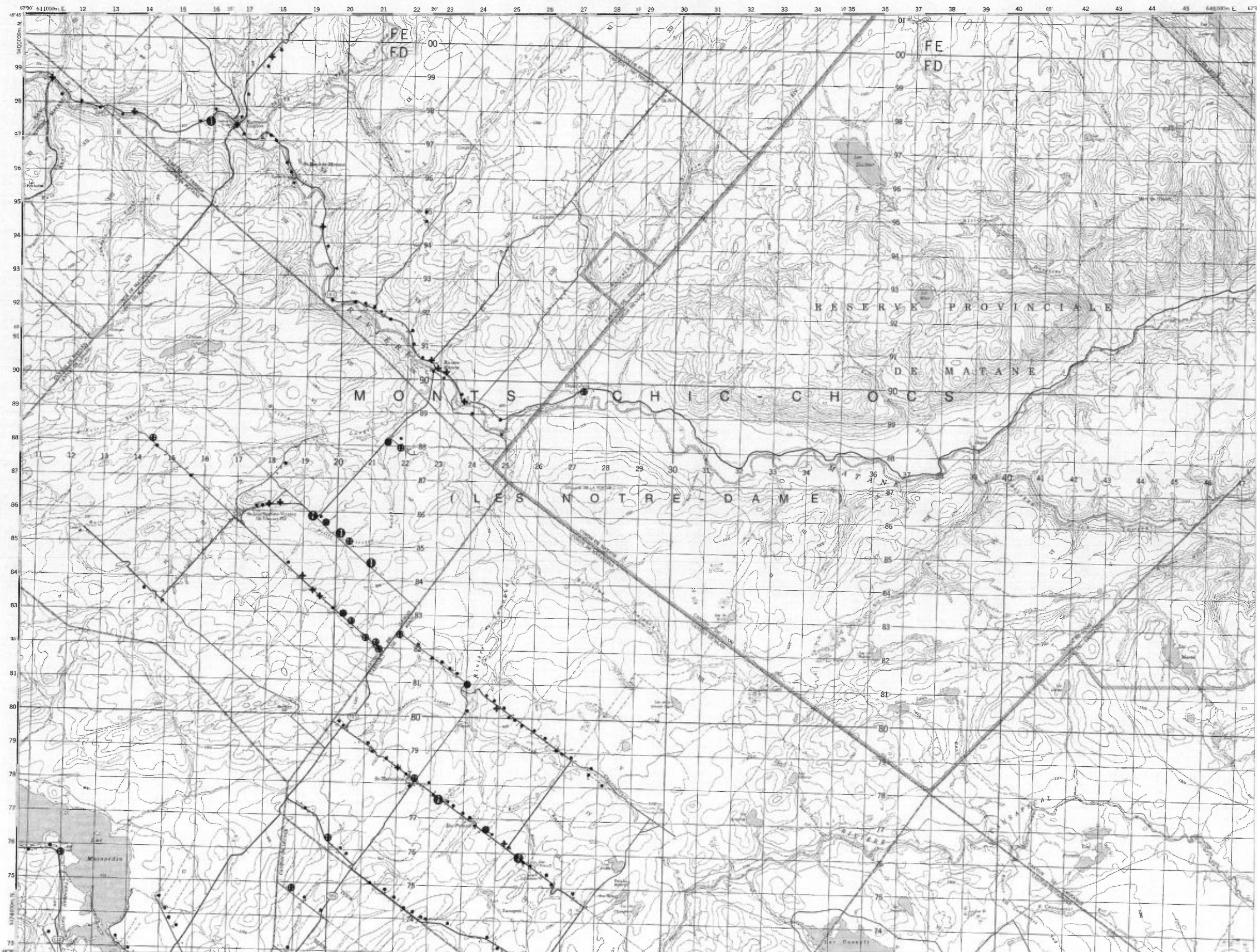


TENEURS (ppm)

- 0,1
- + 0,2
- ⊕ 0,3 - 0,4
- 0,5 - 1,3
- ① 1,4 - 2,7
- ② 2,8 - 5,5
- ③ 5,6 - 11,1

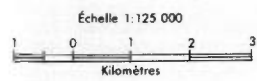


Service de la  
GÉOCHIMIE-GÉOPHYSIQUE

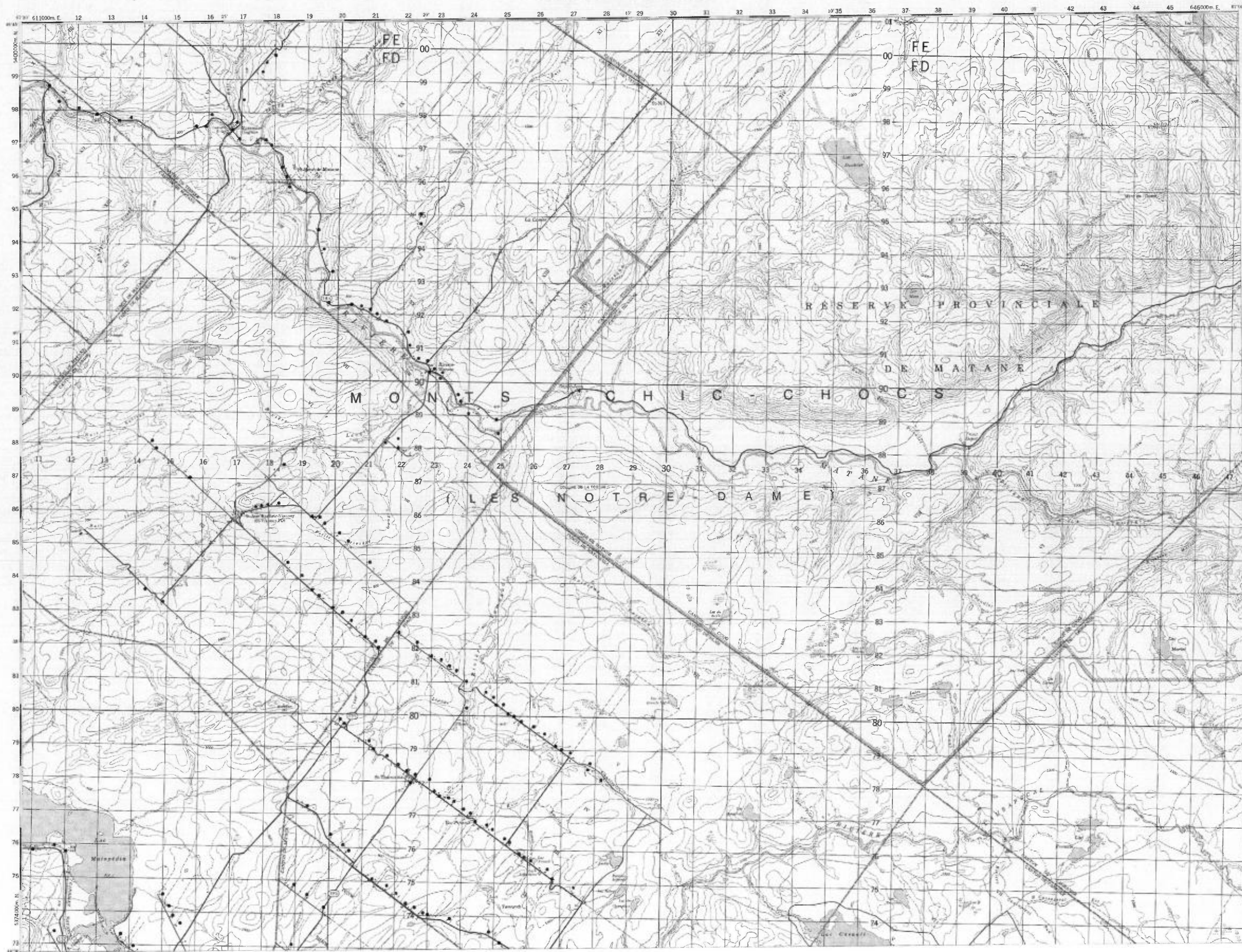


TENEURS (ppb)

- 1
- 2
- ① 3 - 5
- ② 6 - 11



Service de la  
GÉOCHIMIE-GÉOPHYSIQUE



TENEURS (ppb)

- 2
- + 3 - 5
- ⊕ 6 - 11
- 12 - 23
- ⊙ 24 - 47
- ⊗ 48 - 95



Échelle 1:125 000



Service de la  
GÉOCHIMIE-GÉOPHYSIQUE



TENEURS (ppm)

- 0.01 - 0.04
- 0.05 - 0.07
- ⊕ 0.08 - 0.12
- ⊕ 0.13 - 0.22
- 0.23 - 0.54
- ① 0.55 - 1.09
- ② 1.10 - 2.19
- ③ 2.20 - 4.39
- ④ 4.40 - 8.79



Échelle 1:125 000



Service de la  
GÉOCHIMIE-GÉOPHYSIQUE

TENEURS (ppb)

- 2 - 3
- + 4 - 5
- ⊕ 6 - 8
- ⊙ 9 - 19
- ① 20 - 39
- ② 40 - 79
- ③ 80 - 159

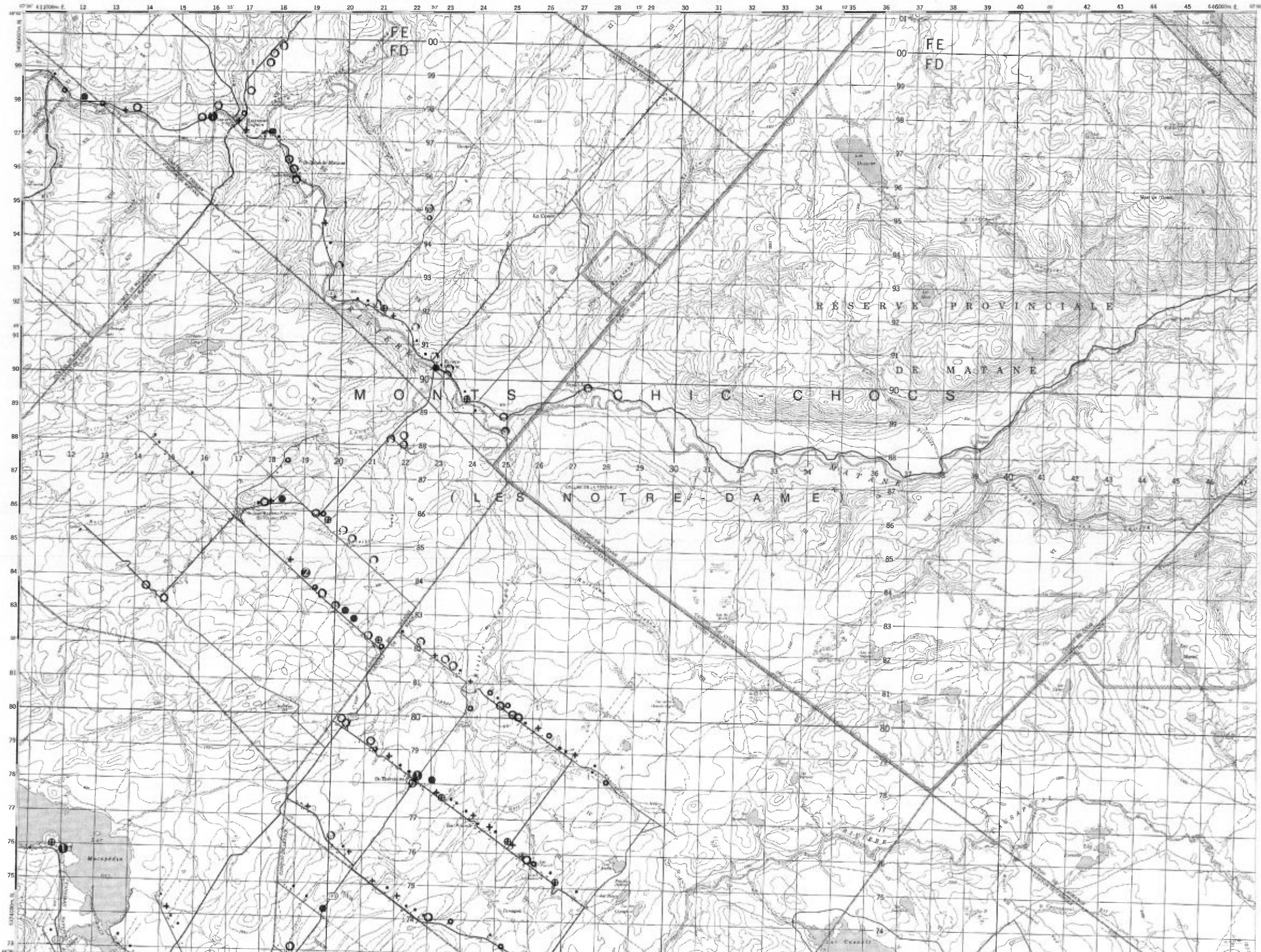


Échelle 1:125 000  
0 1 2 3  
Kilomètres

Service de la  
GÉOCHIMIE-GÉOPHYSIQUE

TENEURS (ppm)

- 1 - 4
- 5 - 6
- 7 - 17
- + 18 - 34
- ⊕ 35 - 65
- 66 - 149
- ⊕ 150 - 299
- ⊕ 300 - 599
- ⊕ 600 - 1199
- ⊕ 1200 - 2399



Échelle 1:125 000



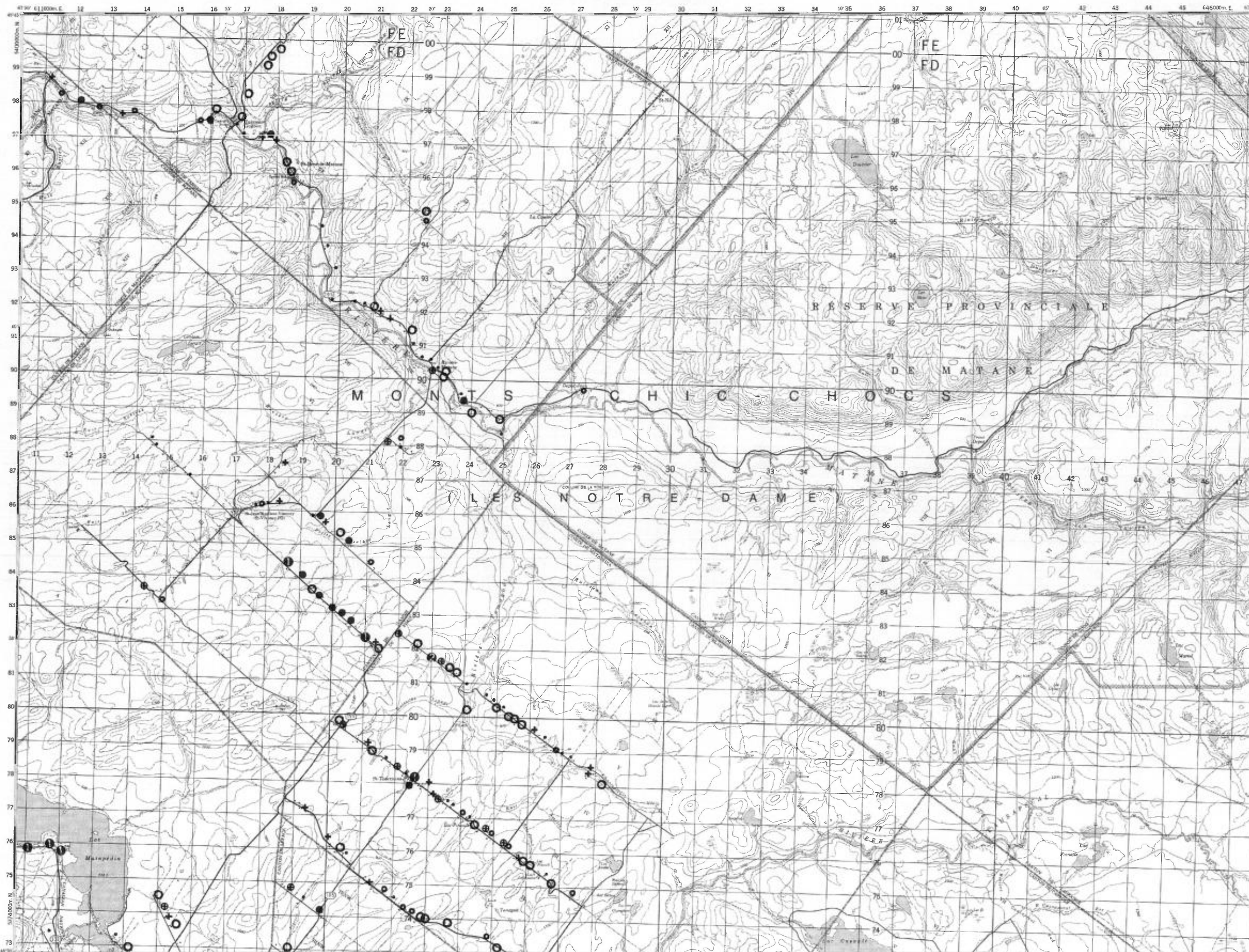
Service de la  
GÉOCHIMIE-GÉOPHYSIQUE

SAINT-VIANNEY

RÉGION DU BAS SAINT-LAURENT

TENEURS (ppm)

- 0,9 - 2,9
- 3,0 - 4,5
- 4,6 - 11,4
- + 11,5 - 26,9
- ⊕ 27,0 - 54,9
- ⊗ 55,0 - 122,9
- ⊙ 123,0 - 249,9
- ⊚ 250,0 - 499,9
- ⊛ 500,0 - 999,9
- ⊜ 1000,0 - 1999,9



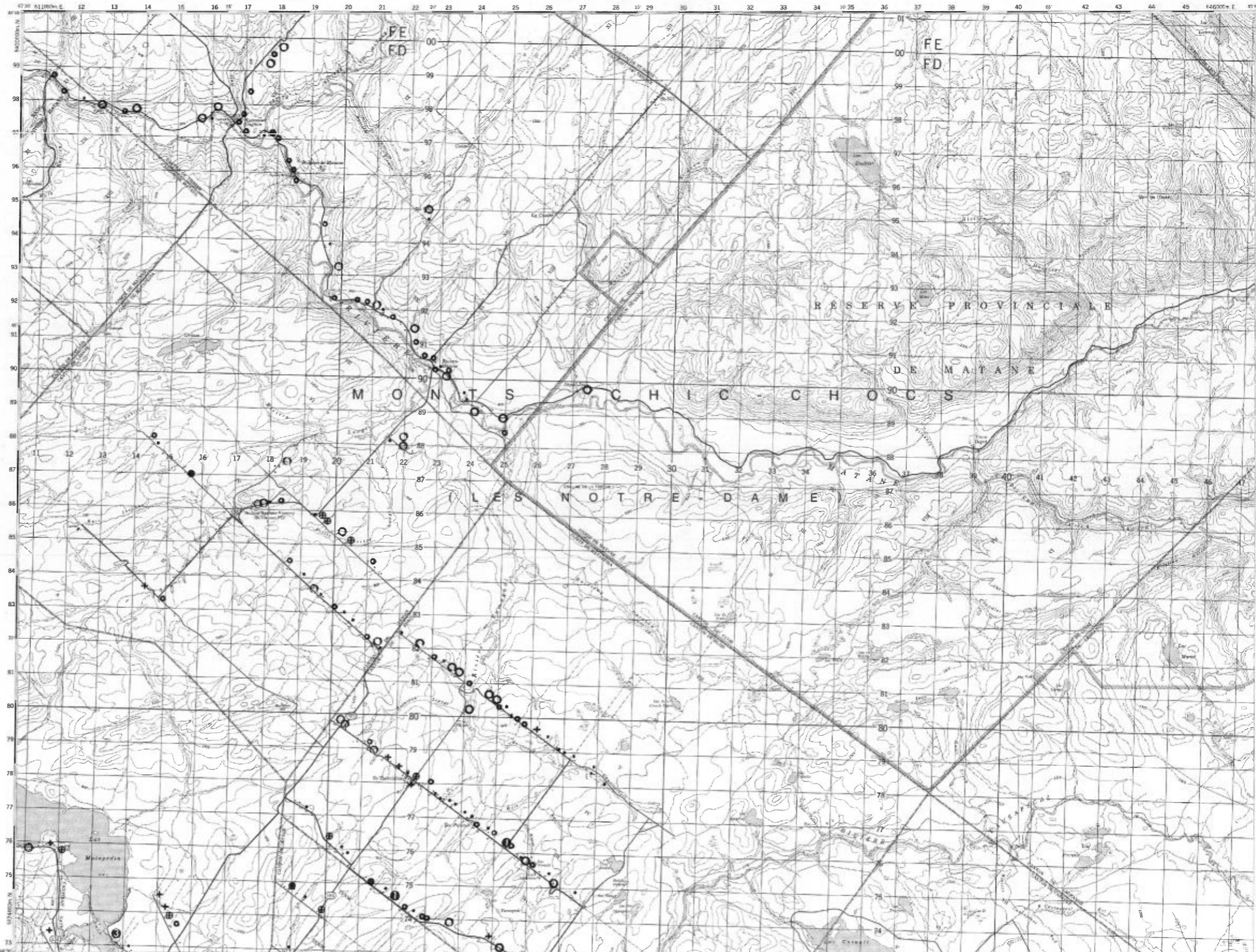
Échelle 1:125 000



Service de la  
GÉOCHIMIE-GÉOPHYSIQUE

TENEURS (ppm)

- 0,2 — 0,5
- 0,6 — 0,9
- 1,0 — 2,1
- + 2,2 — 3,5
- ⊕ 3,6 — 4,9
- 5,0 — 8,9
- ① 9,0 — 17,9
- ② 18,0 — 35,9
- ③ 36,0 — 71,9



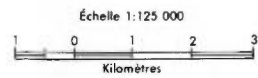
Échelle 1:125 000



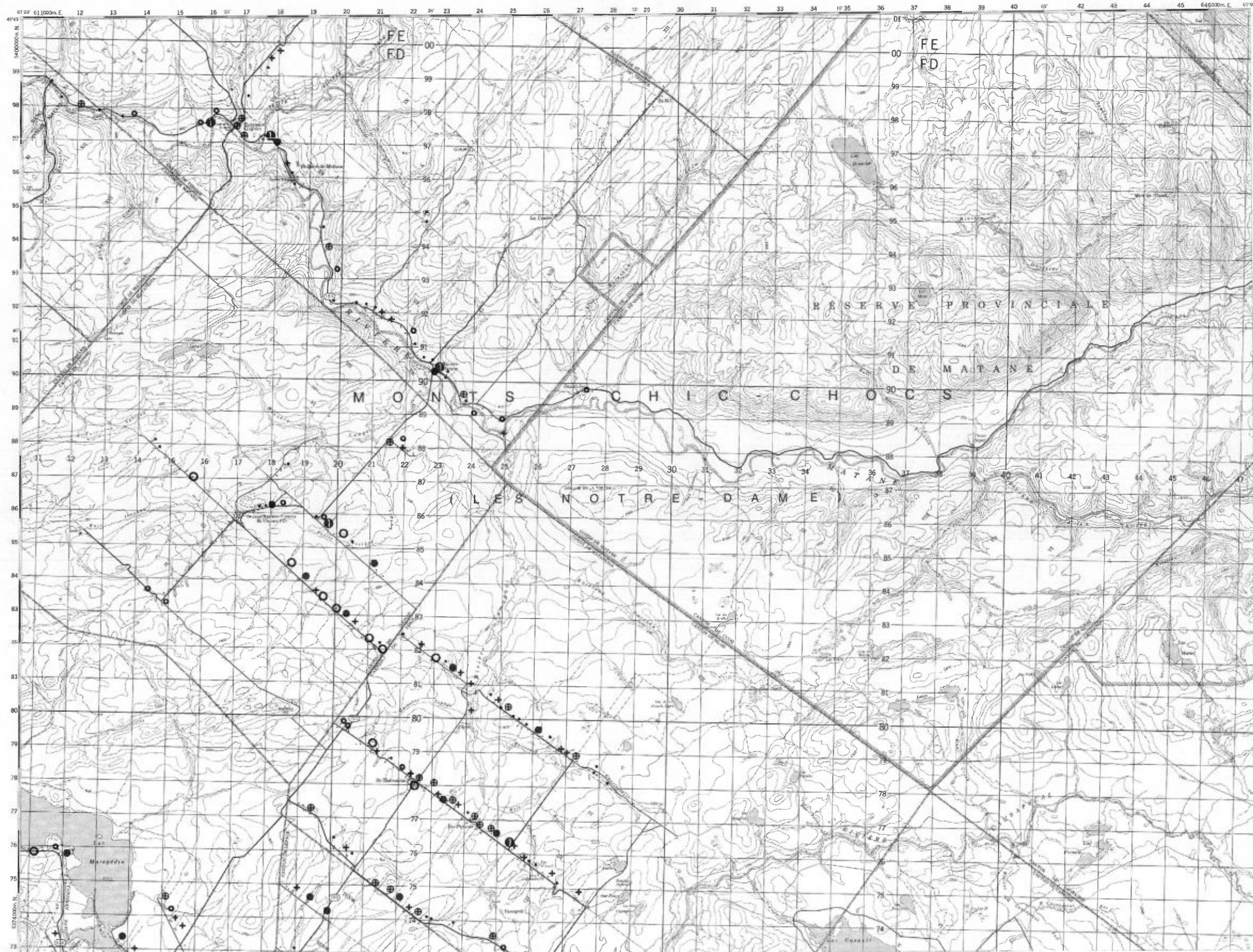
Service de la  
GÉOCHIMIE-GÉOPHYSIQUE

TENEURS (ppm)

- 1,0 — 29,9
- 30,0 — 44,9
- 45,0 — 72,9
- + 73,0 — 88,9
- ⊕ 89,0 — 104,9
- 105,0 — 139,9
- ⊖ 140,0 — 279,9
- ⊗ 280,0 — 559,9



Service de la  
GÉOCHIMIE-GÉOPHYSIQUE

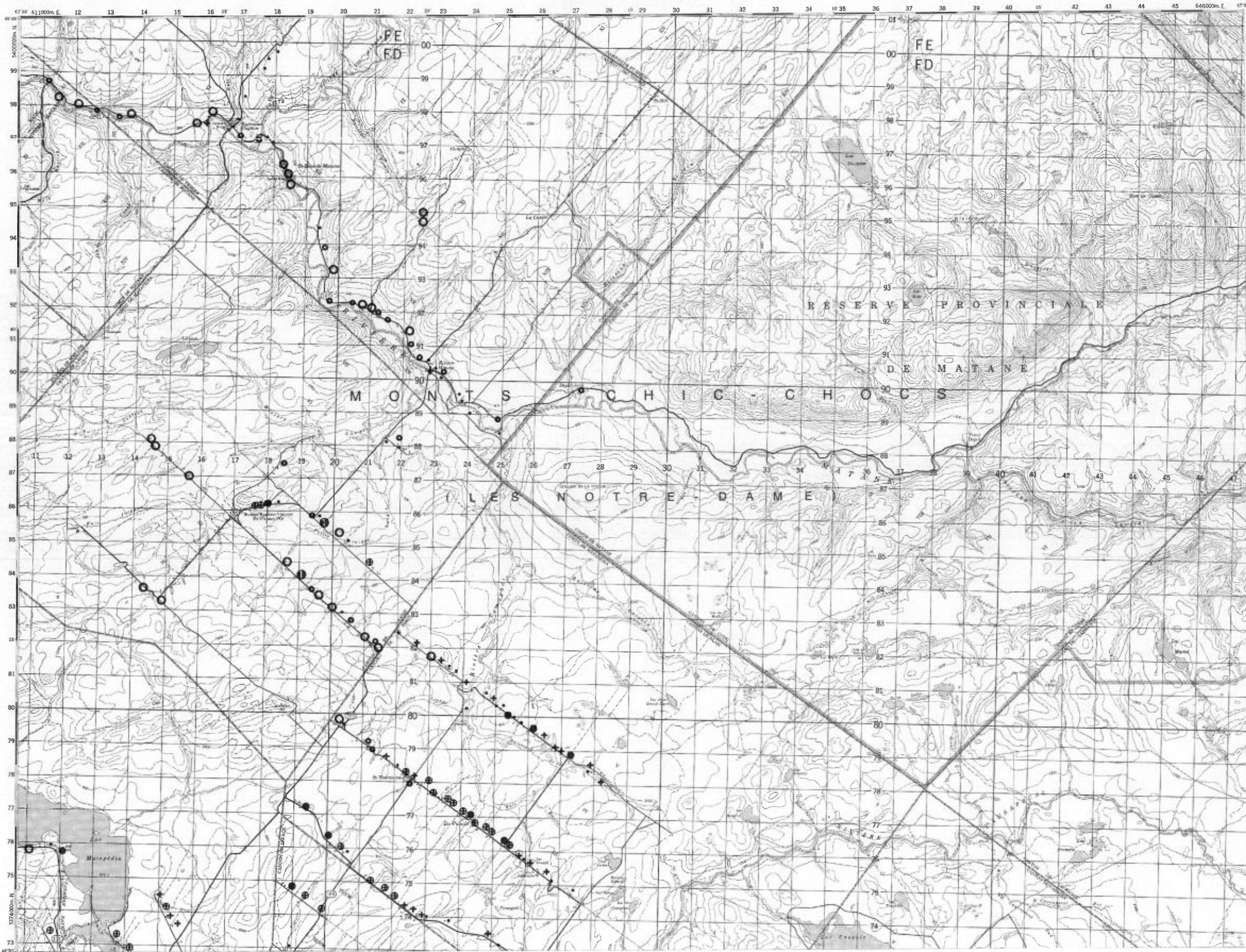


SAINT-VIANNEY

RÉGION DU BAS SAINT-LAURENT

TENEURS (ppm)

- 0,1 - 4,2
- 4,3 - 6,3
- 6,4 - 11,9
- + 12,0 - 16,2
- ⊕ 16,3 - 20,0
- 20,1 - 27,9
- ⊕ 28,0 - 55,9
- ⊕ 56,0 - 111,9



Échelle 1:125 000

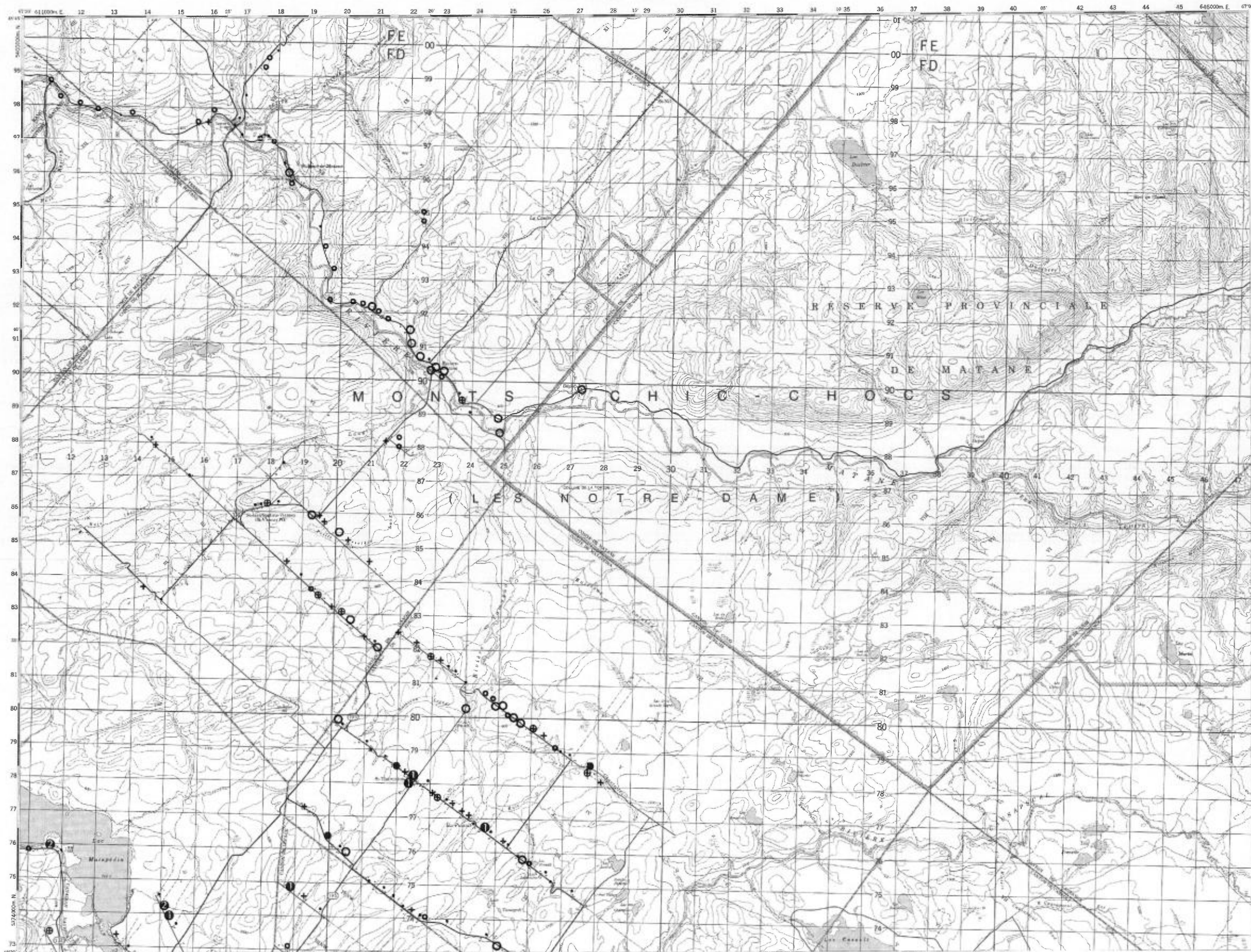


Service de la  
 GÉOCHIMIE-GÉOPHYSIQUE

SAINT-VIANNEY

TENEURS (ppb)

- 0.1 - 5.5
- 5.6 - 7.9
- 8.0 - 15.4
- + 15.5 - 25.9
- ⊕ 26.0 - 41.9
- 42.0 - 115.0
- ① 115.1 - 229.9
- ② 230.0 - 459.9
- ③ 460.0 - 919.9
- ④ 920.0 - 1839.9
- ⑤ 1840.0 - 3679.9



Échelle 1:125 000

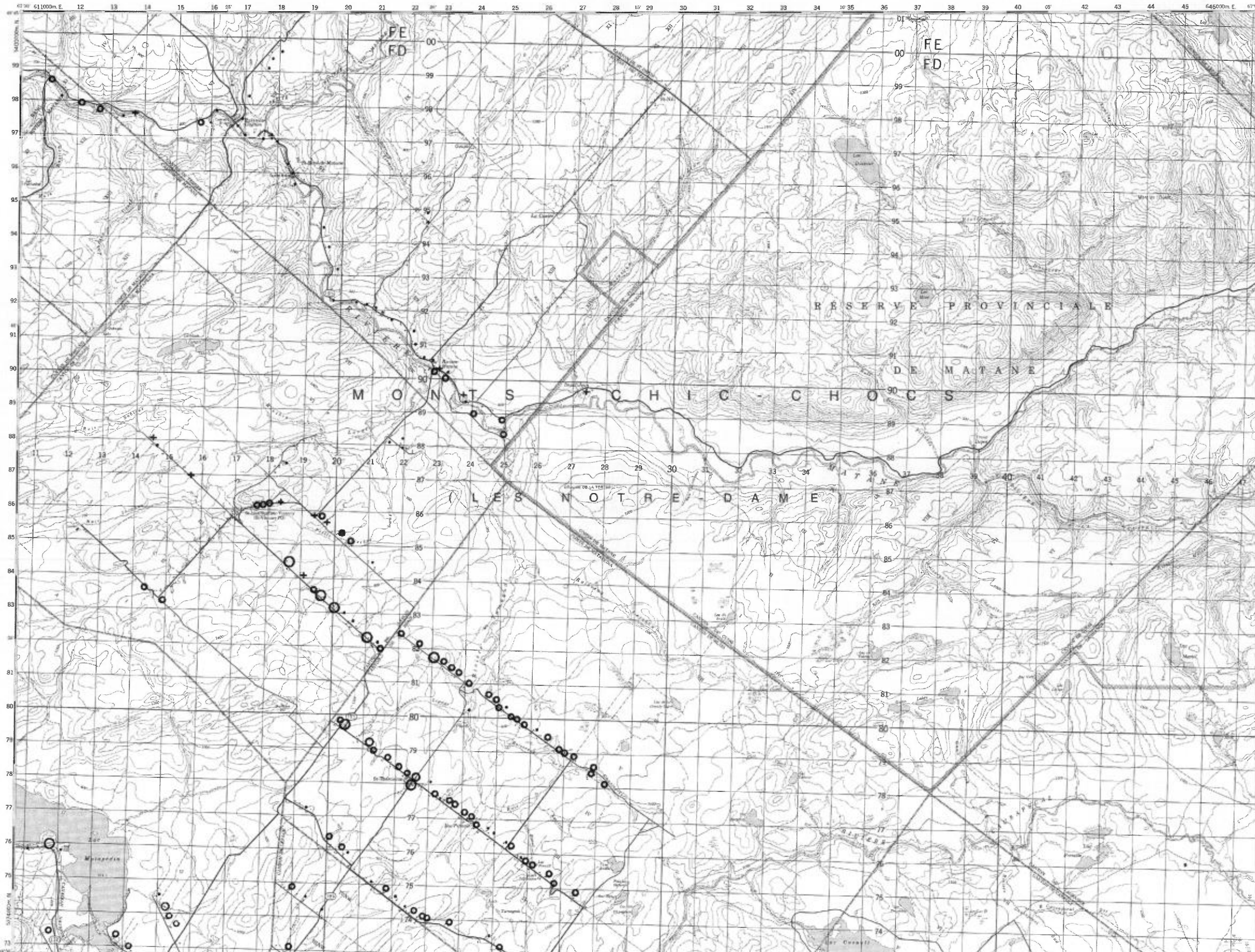


Service de la  
 GÉOCHIMIE-GÉOPHYSIQUE



TENEURS (unité)

- 0,0 — 5,7
- ⊕ 5,8 — 6,2
- + 6,3 — 6,7
- 6,8 — 7,2
- 7,3 — 7,7
- 7,8 — 8,2
- 8,3 — 14,0



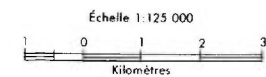
Échelle 1:125 000



Service de la  
 GÉOCHIMIE-GÉOPHYSIQUE

PROFONDEUR DES PUIITS

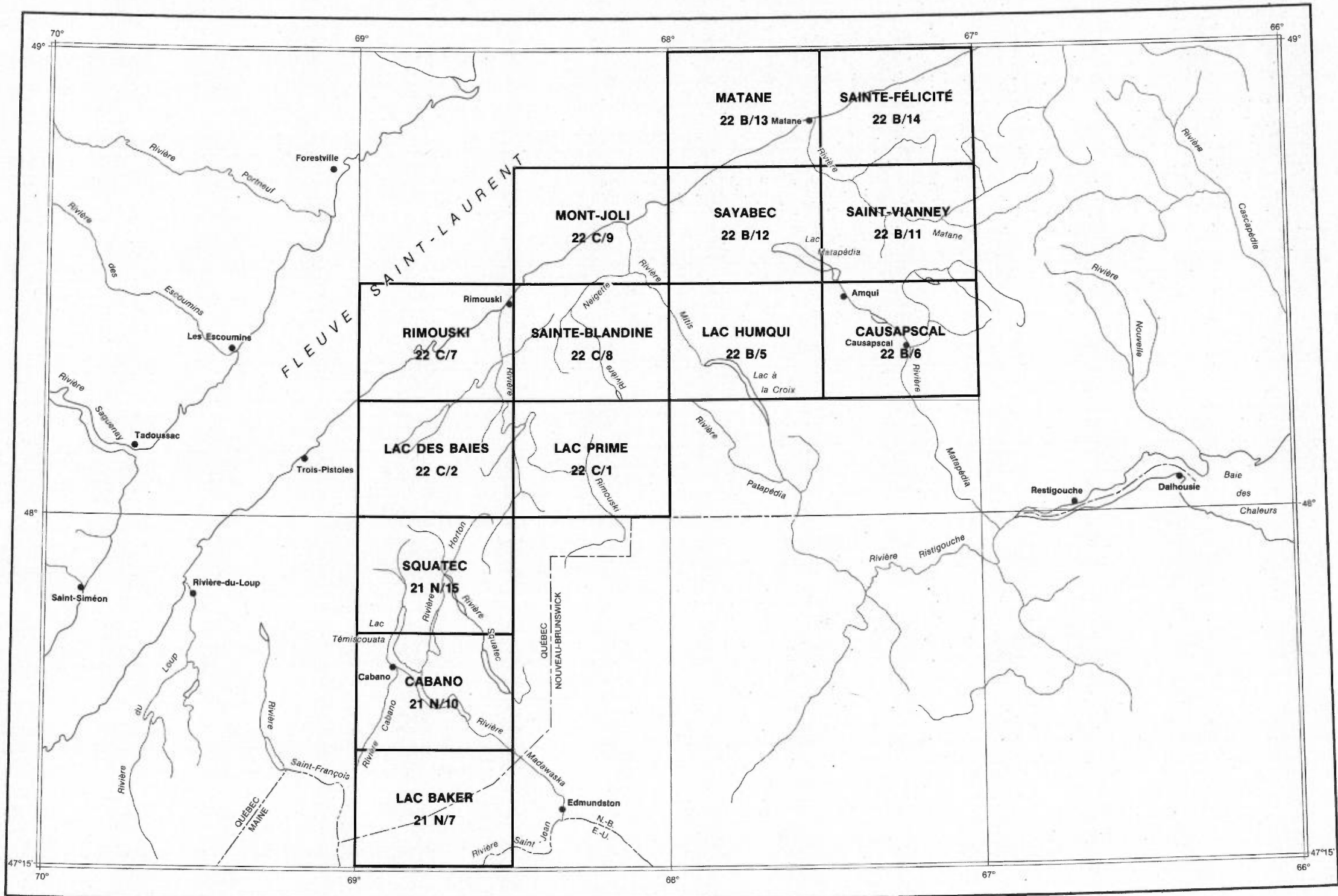
- pieds
- 1 - 75
  - + 76 - 150
  - ⊕ 151 - 300
  - 301 - 600



Service de la  
GÉOCHIMIE-GÉOPHYSIQUE



PROFONDEUR  
DES PUIITS

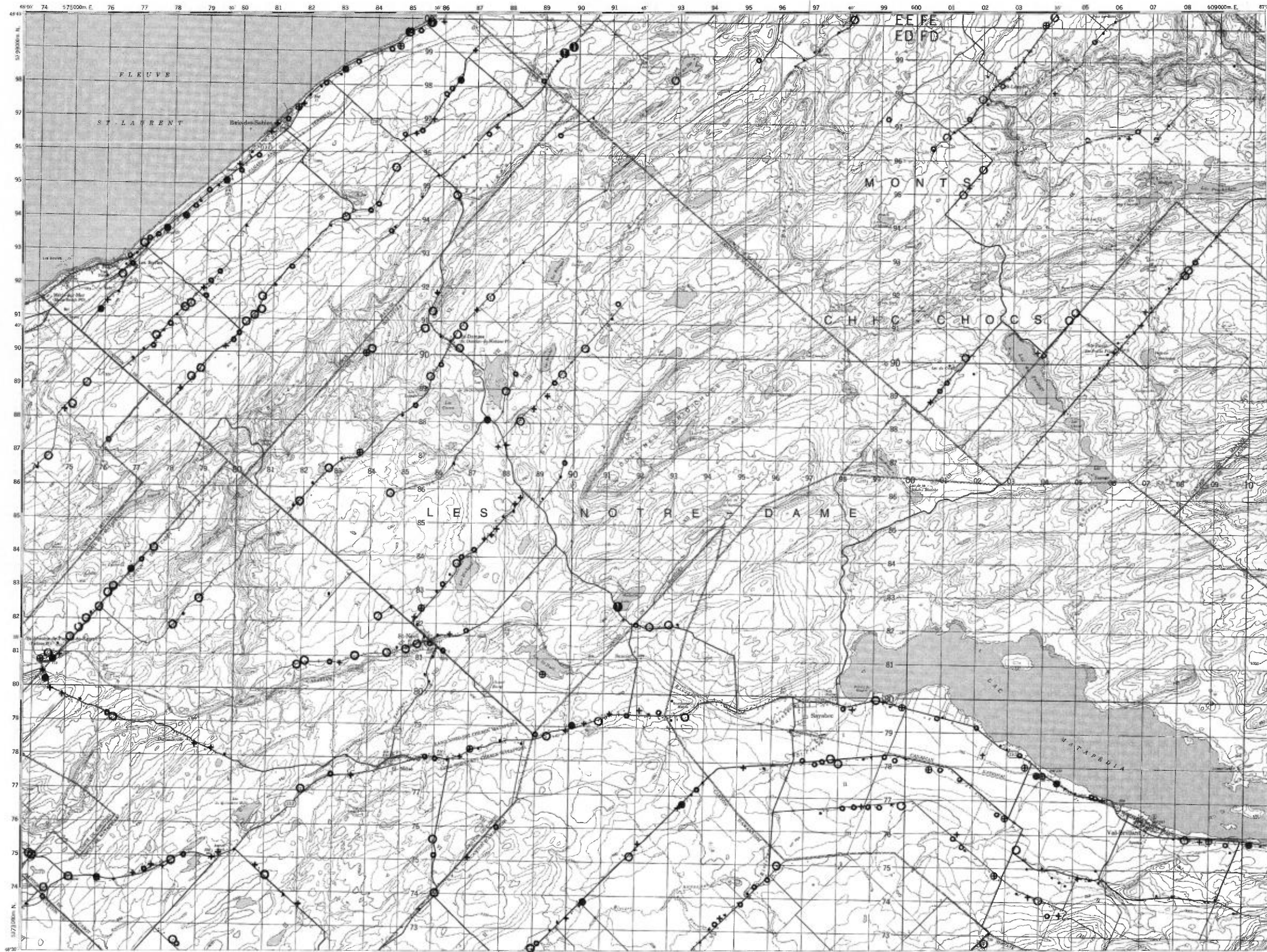


**INDEX DES CARTES GÉOCHIMIQUES  
RÉGION DU BAS SAINT-LAURENT**



TENEURS (ppb)

- 1 - 8
- 9 - 13
- 14 - 29
- + 30 - 54
- ⊕ 55 - 89
- 90 - 179
- ① 180 - 359
- ② 360 - 719
- ③ 720 - 1439
- ④ 1440 - 2879



Échelle 1:125 000



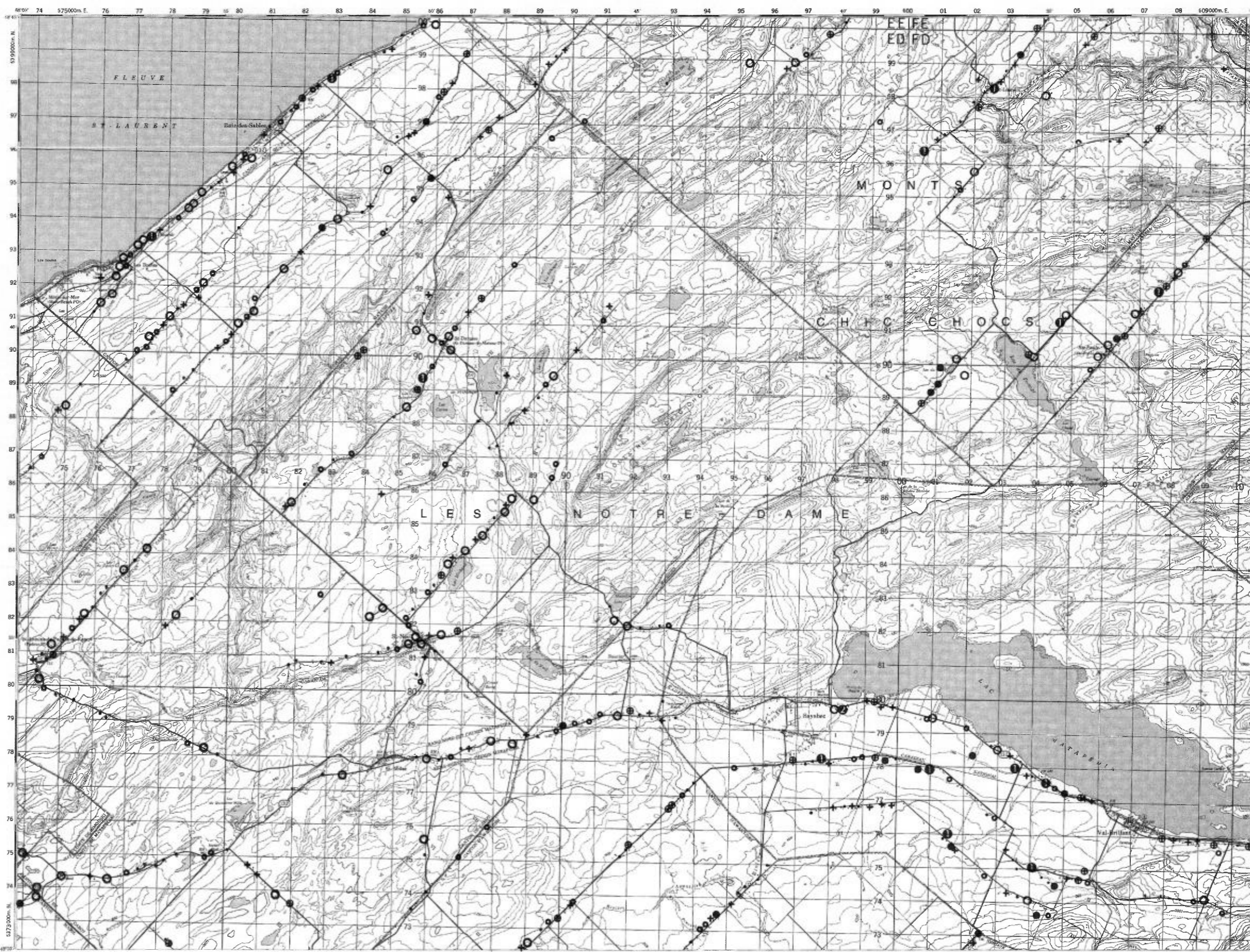
Service de la  
 GÉOCHIMIE-GÉOPHYSIQUE

SAYABEC

RÉGION DU BAS SAINT-LAURENT

TENEURS (ppb)

- 4 - 12
- 14 - 34
- 36 - 144
- + 146 - 338
- ⊕ 340 - 738
- 740 - 1498
- ⊙ 1500 - 2998
- 3000 - 5998
- 6000 - 11998
- 12000 - 23998



Échelle 1:125 000



Service de la  
 GÉOCHIMIE-GÉOPHYSIQUE

TENEURS (ppb)

- 1
- 2 - 4
- 5 - 9
- 10 - 19
- 20 - 39
- 40 - 79
- 80 - 159
- 160 - 219



Échelle 1:125 000



Service de la  
GÉOCHIMIE-GÉOPHYSIQUE

TENEURS (ppb)

- 1
- 2 - 5
- 6 - 11
- 12 - 24
- 25 - 49
- 50 - 99
- 100 - 199
- 200 - 399



Échelle 1:125 000



Service de la  
GÉOCHIMIE-GÉOPHYSIQUE

SAYABEC

TENEURS (ppb)

- 1
- 2 - 3
- 4 - 7
- 8 - 15
- 16 - 31
- 32 - 63



Service de la  
GÉOCHIMIE-GÉOPHYSIQUE







TENEURS (ppb)

- 0.1
- 0.2
- ① 0.3 - 0.5
- ② 0.6 - 1.1
- ③ 1.2 - 2.3
- ④ 2.4 - 4.9
- ⑤ 5.0 - 9.9
- ⑥ 10.0 - 19.9
- ⑦ 20.0 - 39.9
- ⑧ 40.0 - 79.9

Échelle 1:125 000



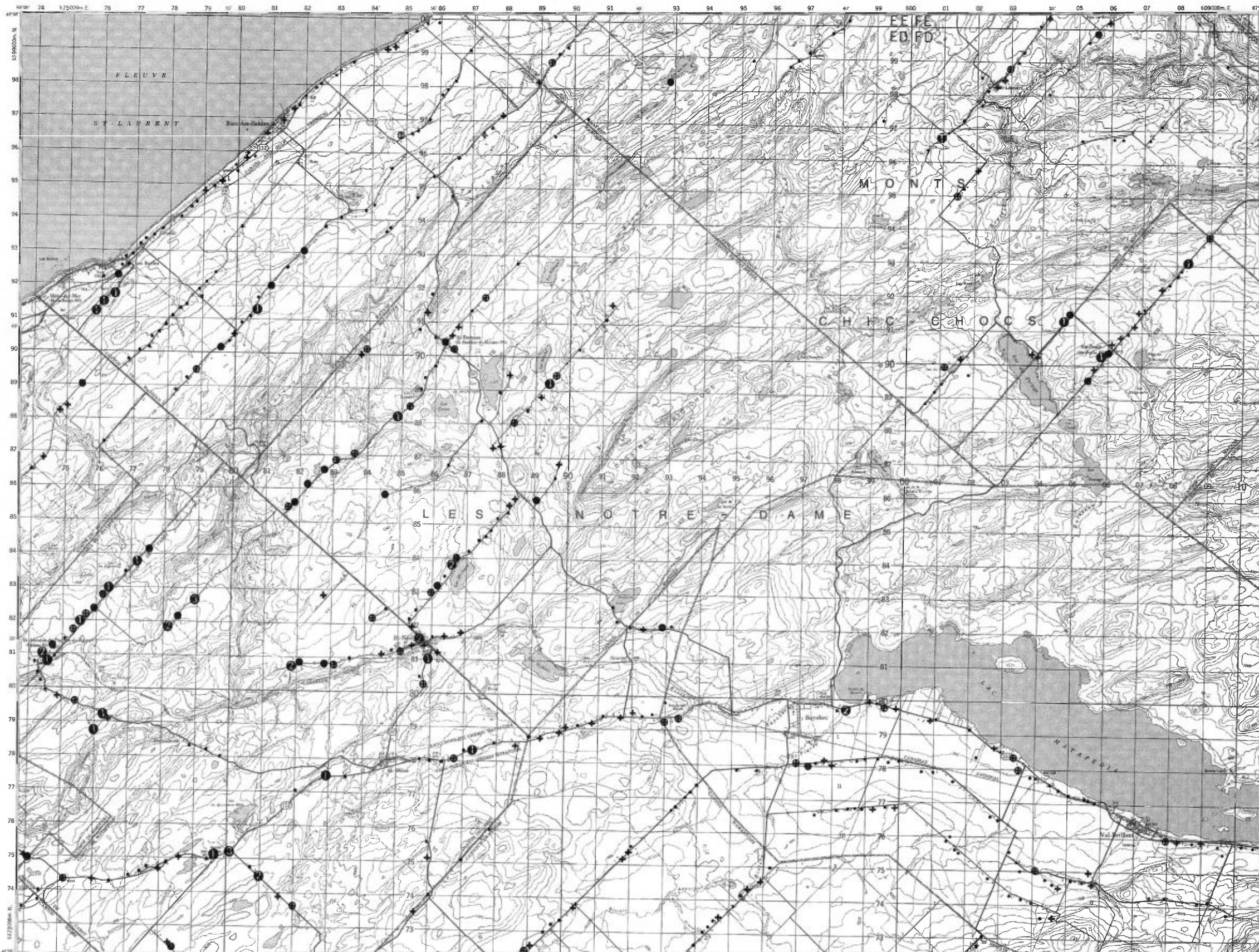
Service de la  
GÉOCHIMIE-GÉOPHYSIQUE

SAYABEC

RÉGION DU BAS SAINT-LAURENT

TENEURS (ppb)

- 5 - 10
- + 15 - 50
- ⊕ 55 - 145
- 150 - 455
- 460 - 895
- 900 - 1795
- 1800 - 3595



Échelle 1:125 000  
 1 0 1 2 3  
 Kilomètres

Service de la  
 GÉOCHIMIE-GÉOPHYSIQUE

SAYABEC

RÉGION DU BAS SAINT-LAURENT

TENEURS (ppm)

- 0.1
- + 0.2
- ⊕ 0.3 - 0.4
- 0.5 - 1.3
- 1.4 - 2.7
- 2.8 - 5.5
- 5.6 - 11.1



Service de la  
GÉOCHIMIE-GÉOPHYSIQUE

TENEURS (ppb)

- 1
- 2
- ⊙ 3 - 5
- ⦿ 6 - 11



Échelle 1:125 000



Service de la  
GÉOCHIMIE-GÉOPHYSIQUE

SAYABEC

RÉGION DU BAS SAINT-LAURENT



TENEURS (ppb)

- 2
- + 3 - 5
- ⊕ 6 - 11
- 12 - 23
- ⊙ 24 - 47
- ⦿ 48 - 95

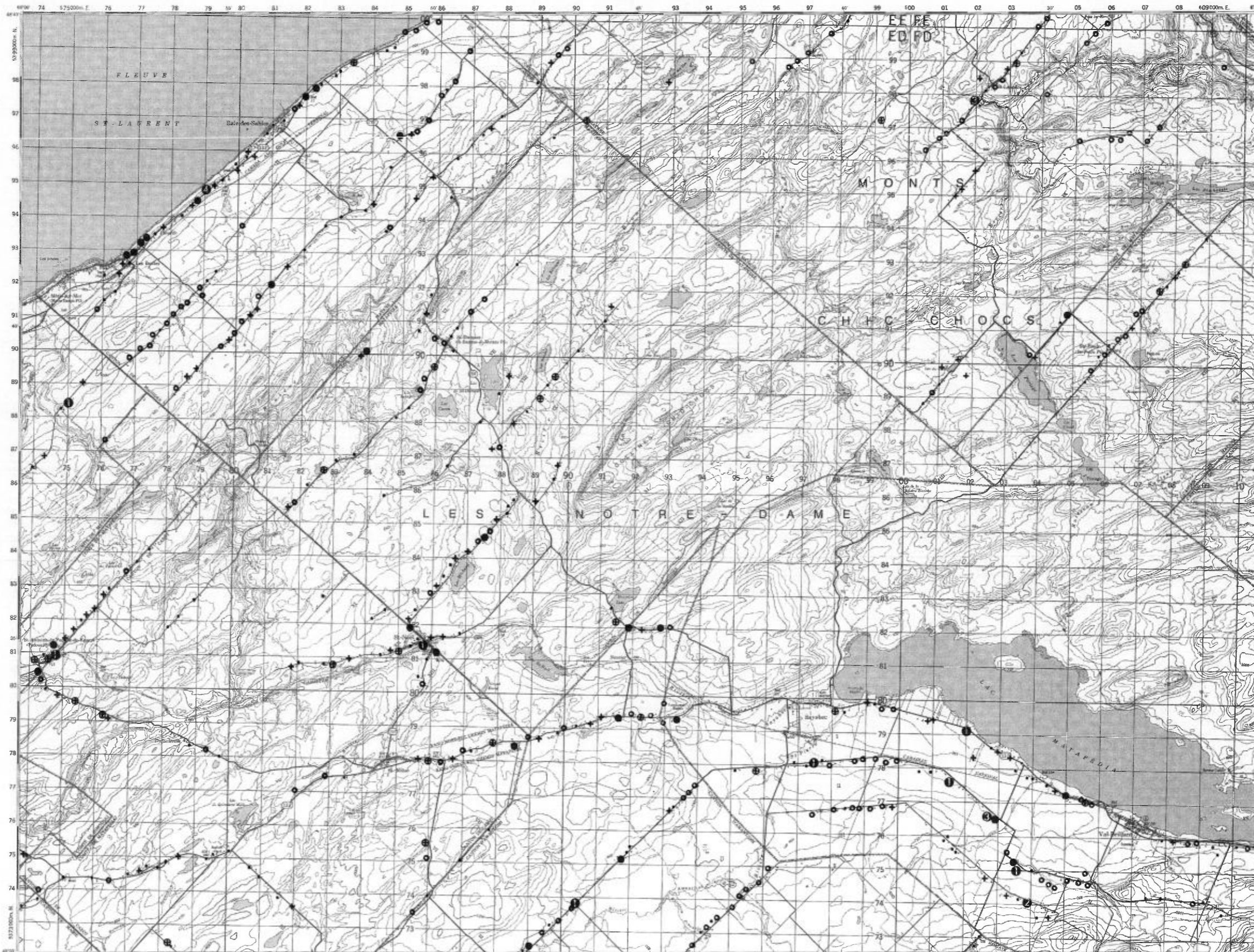
Échelle 1:125 000



Service de la  
GÉOCHIMIE-GÉOPHYSIQUE

TENEURS (ppm)

- 0,01 - 0,04
- ◊ 0,05 - 0,07
- ⊕ 0,08 - 0,12
- ⊗ 0,13 - 0,22
- 0,23 - 0,54
- ⊙ 0,55 - 1,09
- ⊚ 1,10 - 2,19
- ⊛ 2,20 - 4,39
- ⊜ 4,40 - 8,79



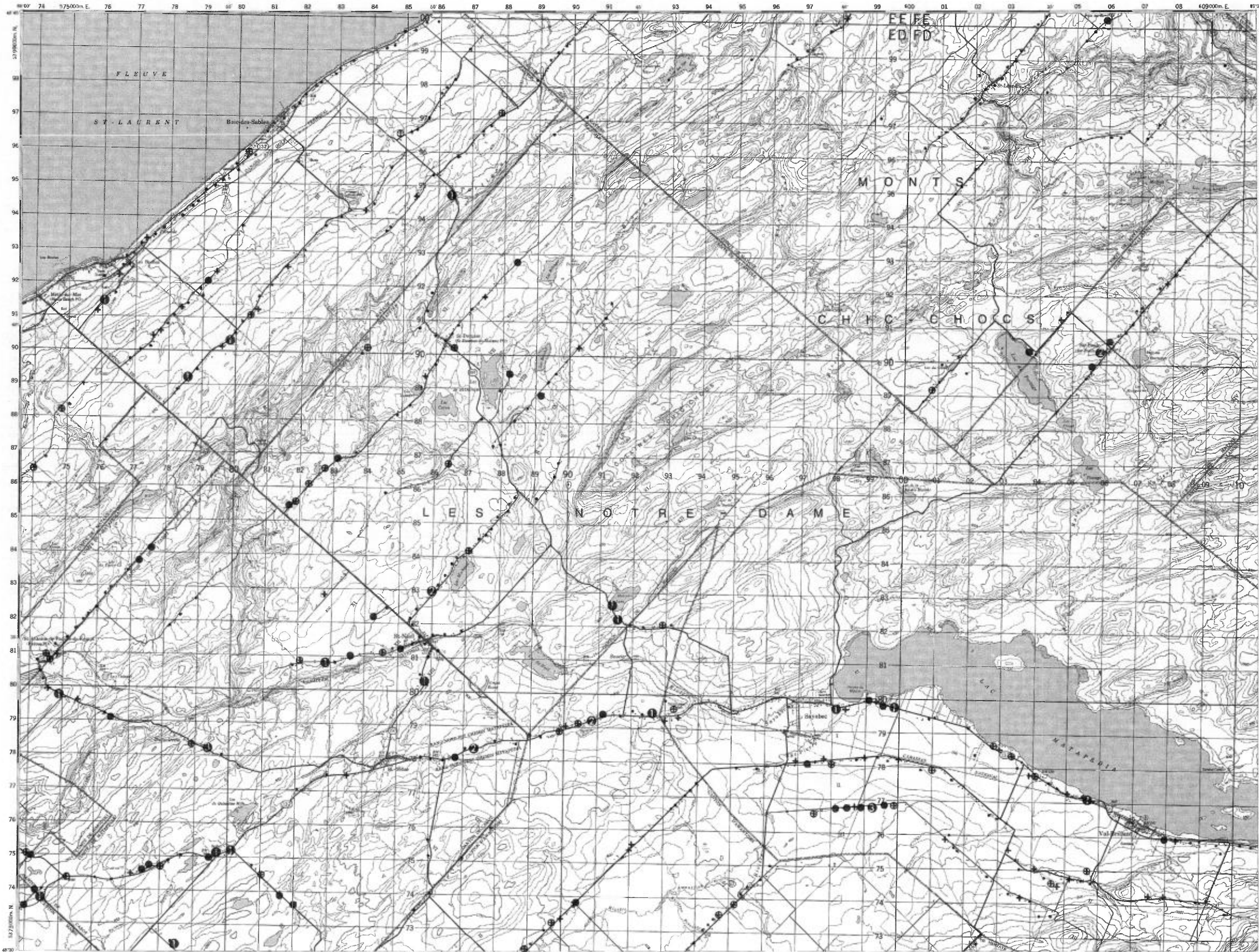
Échelle 1:125 000



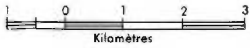
Service de la  
GÉOCHIMIE-GÉOPHYSIQUE

TENEURS (ppb)

- 2 - 3
- † 4 - 5
- ⊕ 6 - 8
- 9 - 19
- ⊙ 20 - 39
- ⊗ 40 - 79
- ⊠ 80 - 159



Échelle 1:125 000



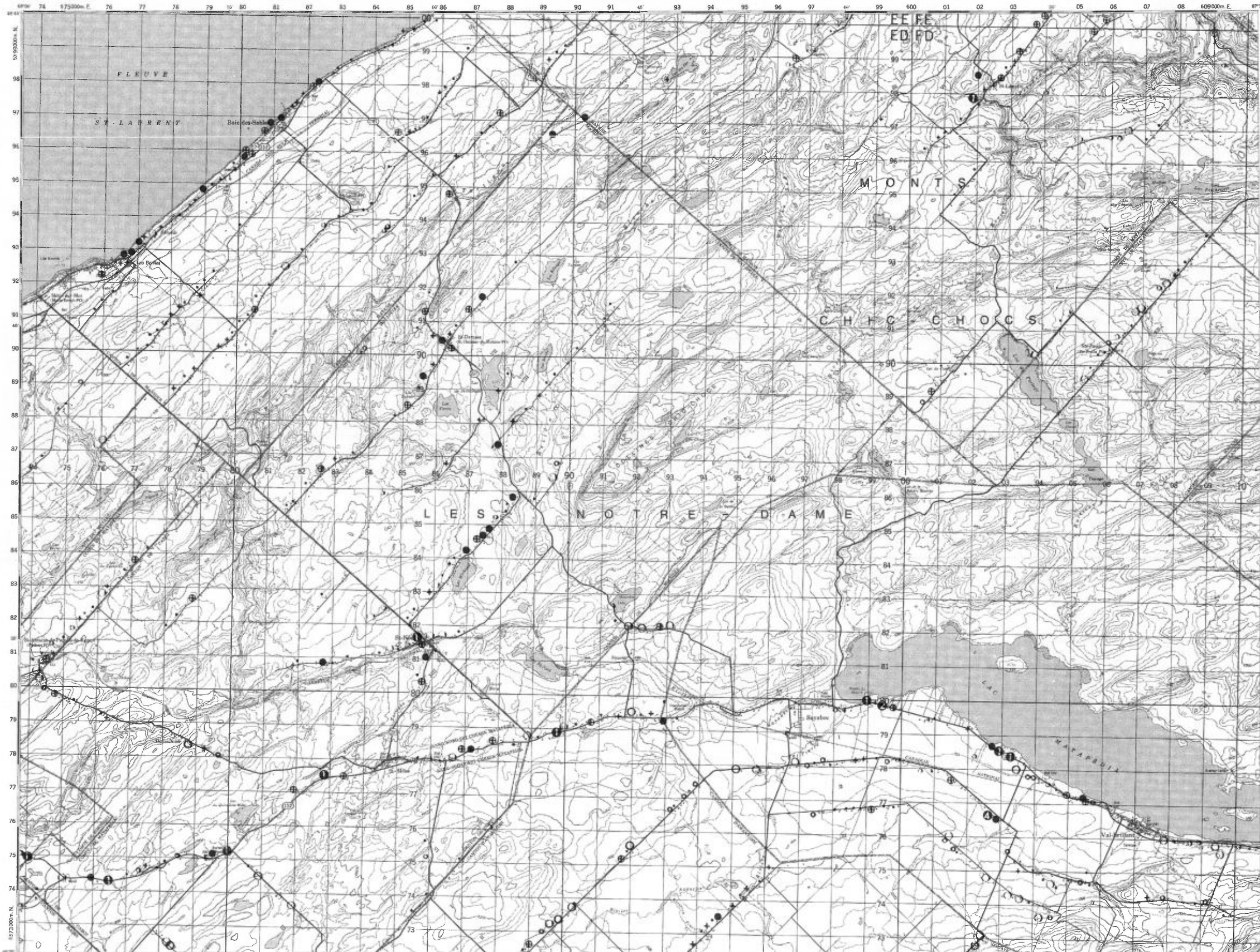
Service de la  
GÉOCHIMIE-GÉOPHYSIQUE

SAYABEC

RÉGION DU BAS SAINT-LAURENT

TENEURS (ppm)

- 1 - 4
- 5 - 6
- 7 - 17
- ⊕ 18 - 34
- ⊕ 35 - 65
- ⊕ 66 - 149
- ⊕ 150 - 299
- ⊕ 300 - 599
- ⊕ 600 - 1199
- ⊕ 1200 - 2399



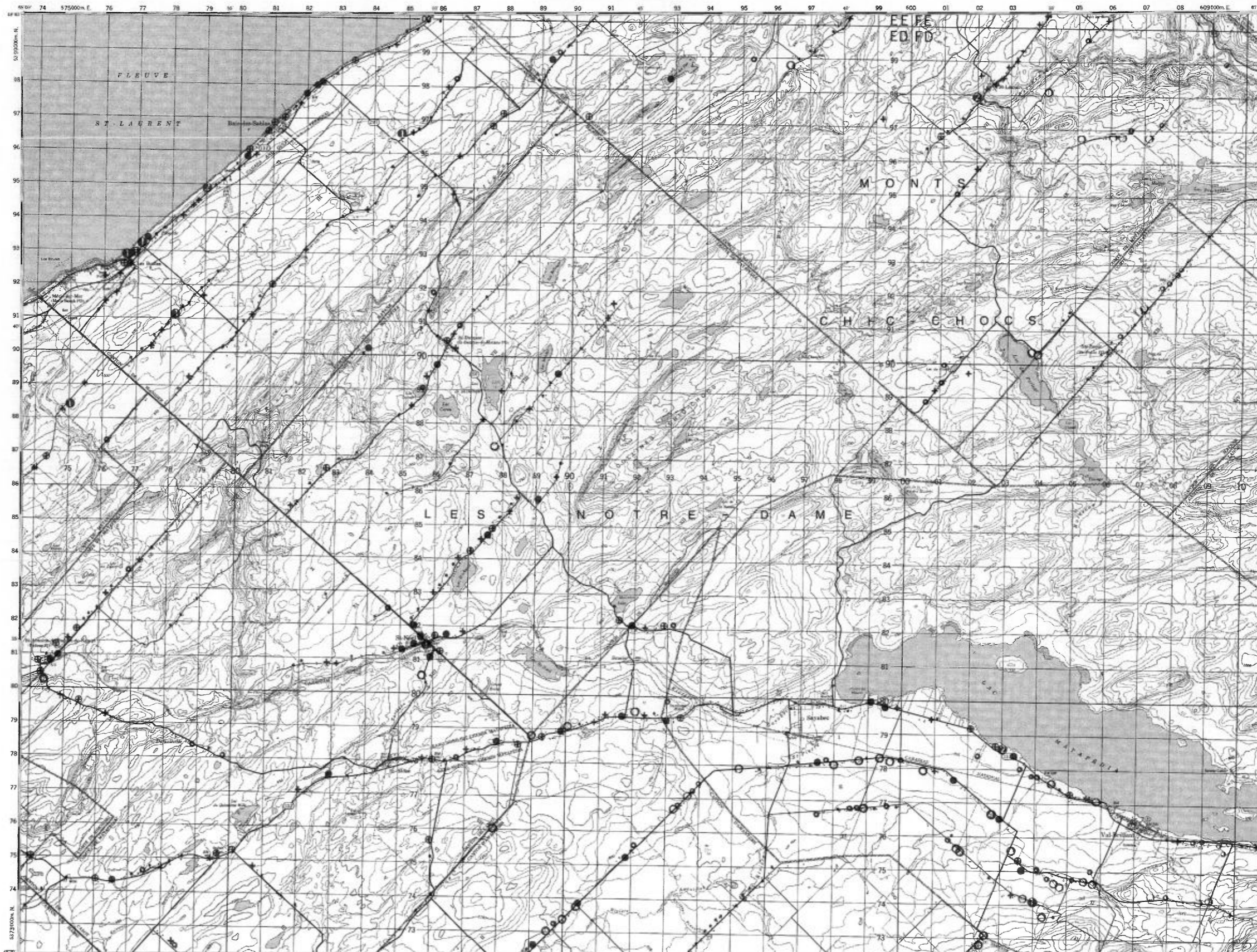
Échelle 1:125 000



Service de la  
GÉOCHIMIE-GÉOPHYSIQUE



SAYABEC



TENEURS (ppm)

- 0.9 - 2.9
- 3.0 - 4.5
- 4.6 - 11.4
- + 11.5 - 26.9
- ⊕ 27.0 - 54.9
- 55.0 - 122.9
- ⊕ 123.0 - 249.9
- ⊕ 250.0 - 499.9
- ⊕ 500.0 - 999.9
- ⊕ 1000.0 - 1999.9

Échelle 1:125 000



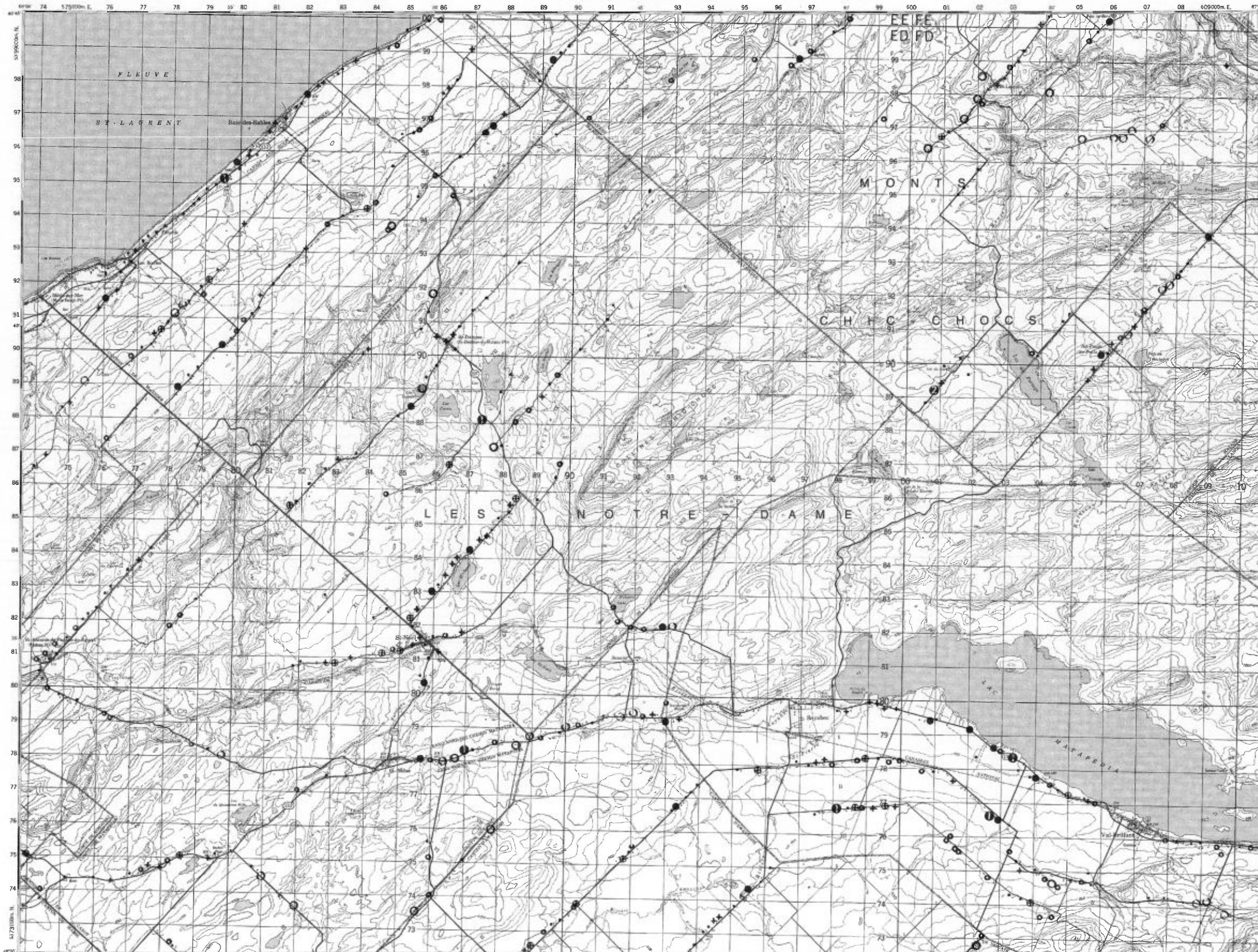
Service de la  
GÉOCHIMIE-GÉOPHYSIQUE

SAYABEC

RÉGION DU BAS SAINT-LAURENT

TENEURS (ppm)

- 0,2 - 0,5
- 0,6 - 0,9
- 1,0 - 2,1
- + 2,2 - 3,5
- ⊕ 3,6 - 4,9
- 5,0 - 8,9
- 9,0 - 17,9
- 18,0 - 35,9
- 36,0 - 71,9



Échelle 1:125 000

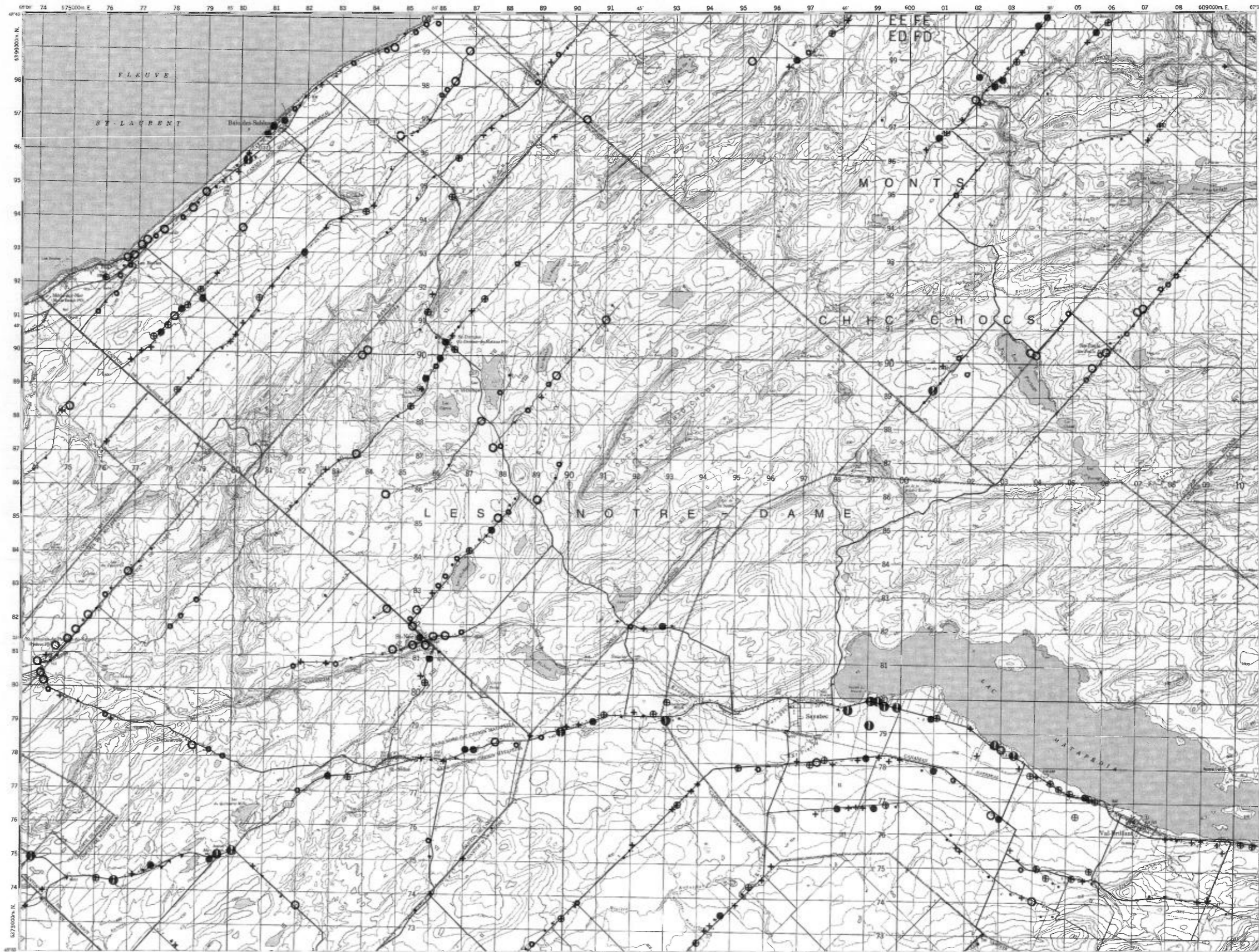


Service de la  
GÉOCHIMIE-GÉOPHYSIQUE

SAYABEC

TENEURS (ppm)

- 1,0 - 29,9
- 30,0 - 44,9
- 45,0 - 72,9
- + 73,0 - 88,9
- ⊕ 89,0 - 104,9
- 105,0 - 139,9
- ⊕ 140,0 - 279,9
- ⊕ 280,0 - 559,9



Échelle 1:125 000



Service de la  
GÉOCHIMIE-GÉOPHYSIQUE

SAYABEC

RÉGION DU BAS SAINT-LAURENT

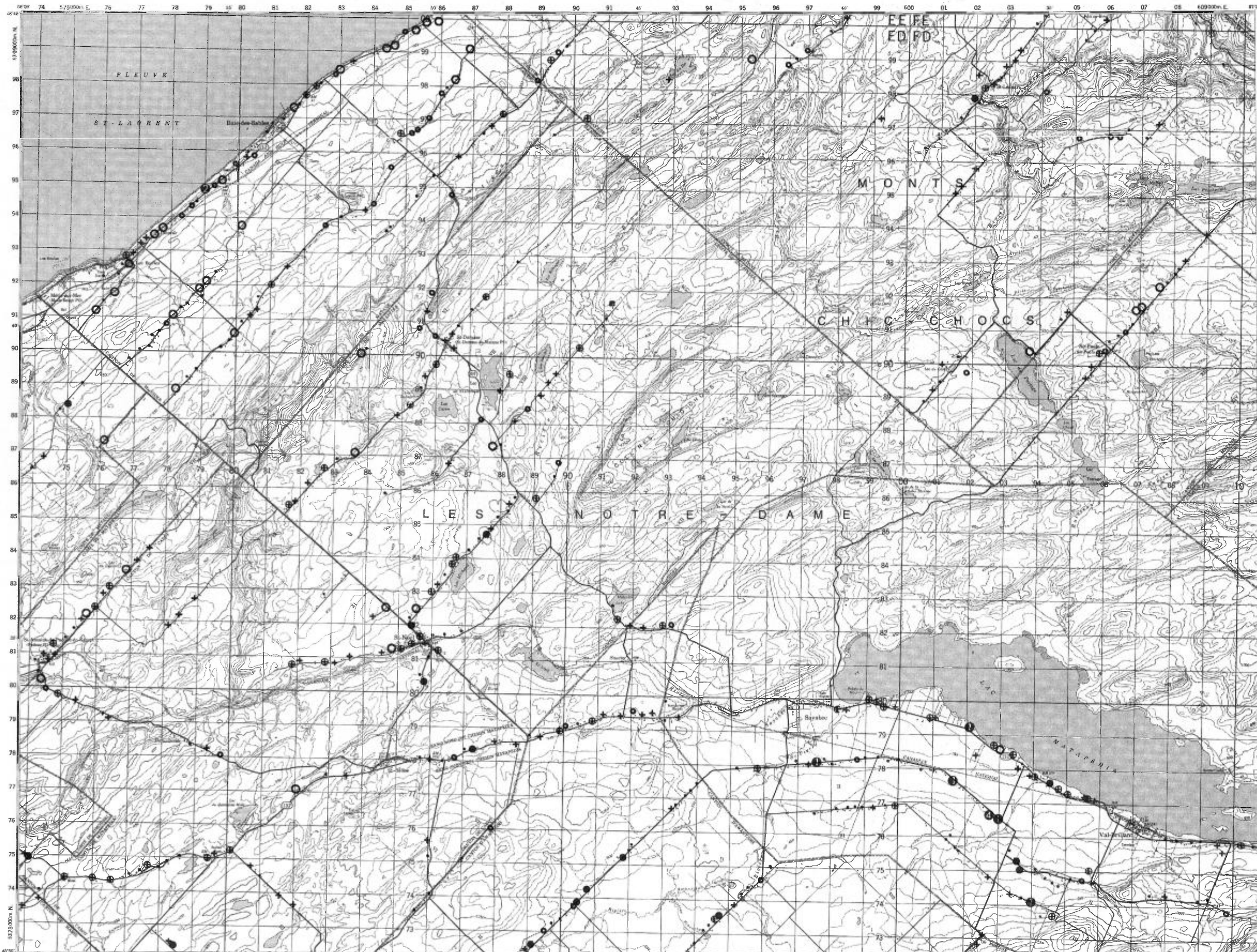
TENEURS (ppm)

- 0,1 — 4,2
- 4,3 — 6,3
- 6,4 — 11,9
- + 12,0 — 16,2
- ⊕ 16,3 — 20,0
- 20,1 — 27,9
- 28,0 — 55,9
- 56,0 — 111,9



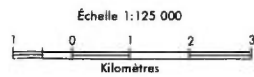
Service de la  
GÉOCHIMIE-GÉOPHYSIQUE





TENEURS (ppb)

- 0,1 — 5,5
- 5,5 — 7,9
- 8,0 — 15,4
- + 15,5 — 25,9
- ⊕ 26,0 — 41,9
- 42,0 — 115,0
- ① 115,1 — 229,9
- ② 230,0 — 459,9
- ③ 460,0 — 919,9
- ④ 920,0 — 1839,9
- ⑤ 1840,0 — 3679,9



Service de la  
 GÉOCHIMIE-GÉOPHYSIQUE

SAYABEC

RÉGION DU BAS SAINT-LAURENT

TENEURS (unité)

- 0.0 — 5.7
- ⊕ 5.8 — 6.2
- + 6.3 — 6.7
- 6.8 — 7.2
- 7.3 — 7.7
- 7.8 — 8.2
- 8.3 — 14.0

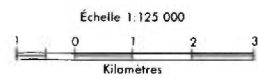


Service de la  
GÉOCHIMIE-GÉOPHYSIQUE

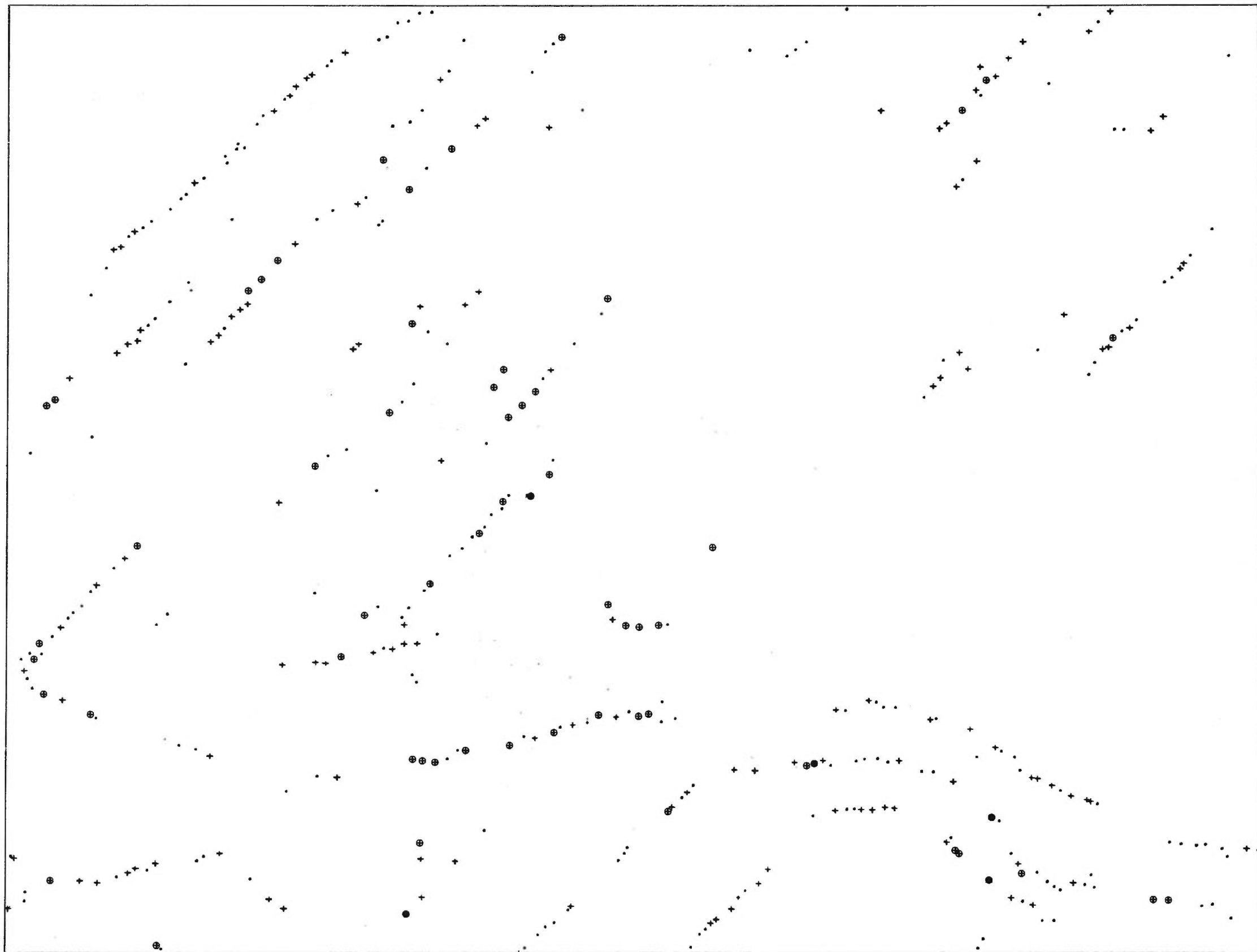


PROFONDEUR DES PUIITS

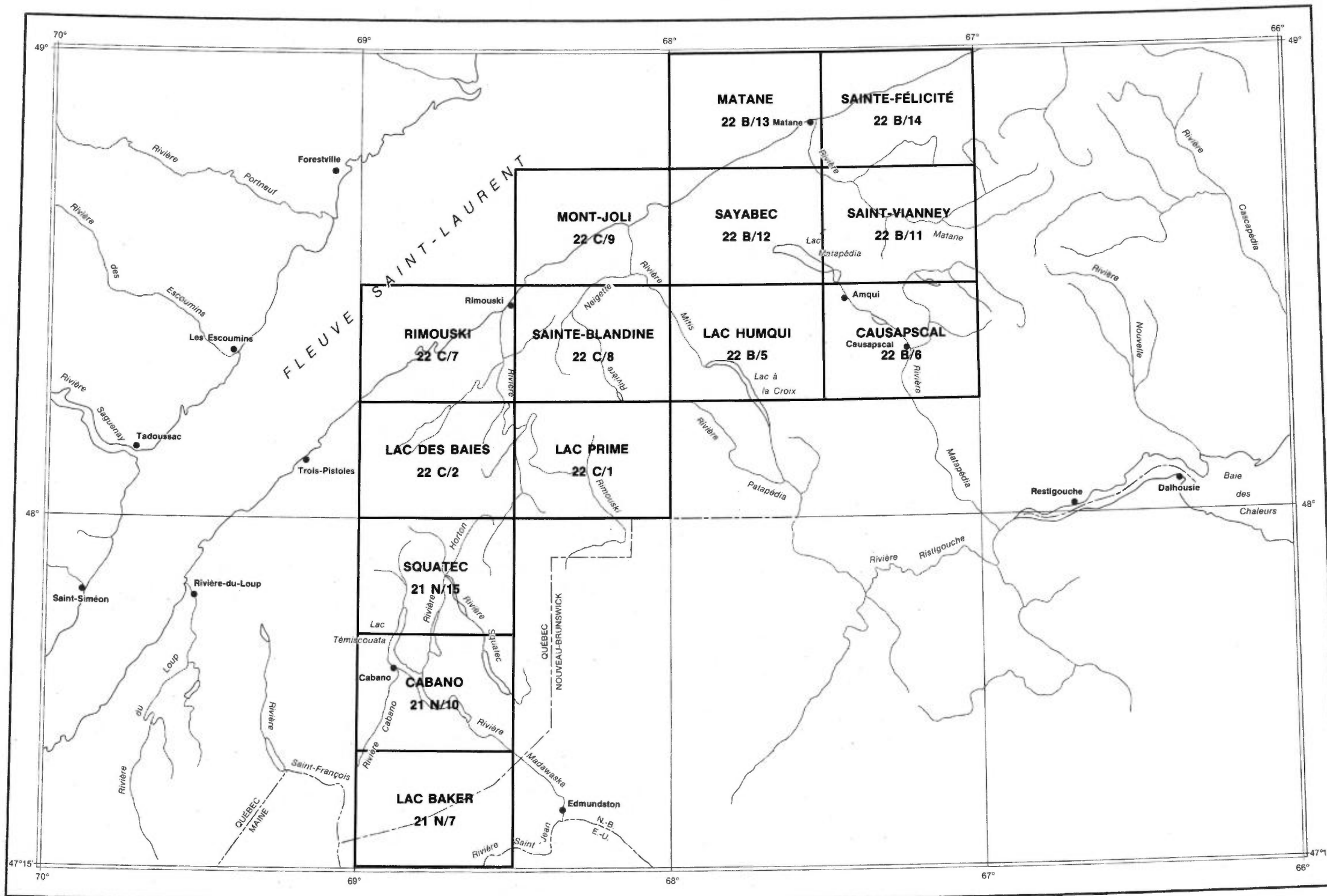
- pieds
- 1 — 75
  - + 76 — 150
  - ⊕ 151 — 300
  - 301 — 600



Service de la  
GÉOCHIMIE-GÉOPHYSIQUE



PROFONDEUR  
DES PUIITS



**INDEX DES CARTES GÉOCHIMIQUES  
RÉGION DU BAS SAINT-LAURENT**



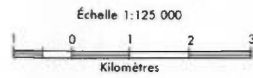


**MATANE**

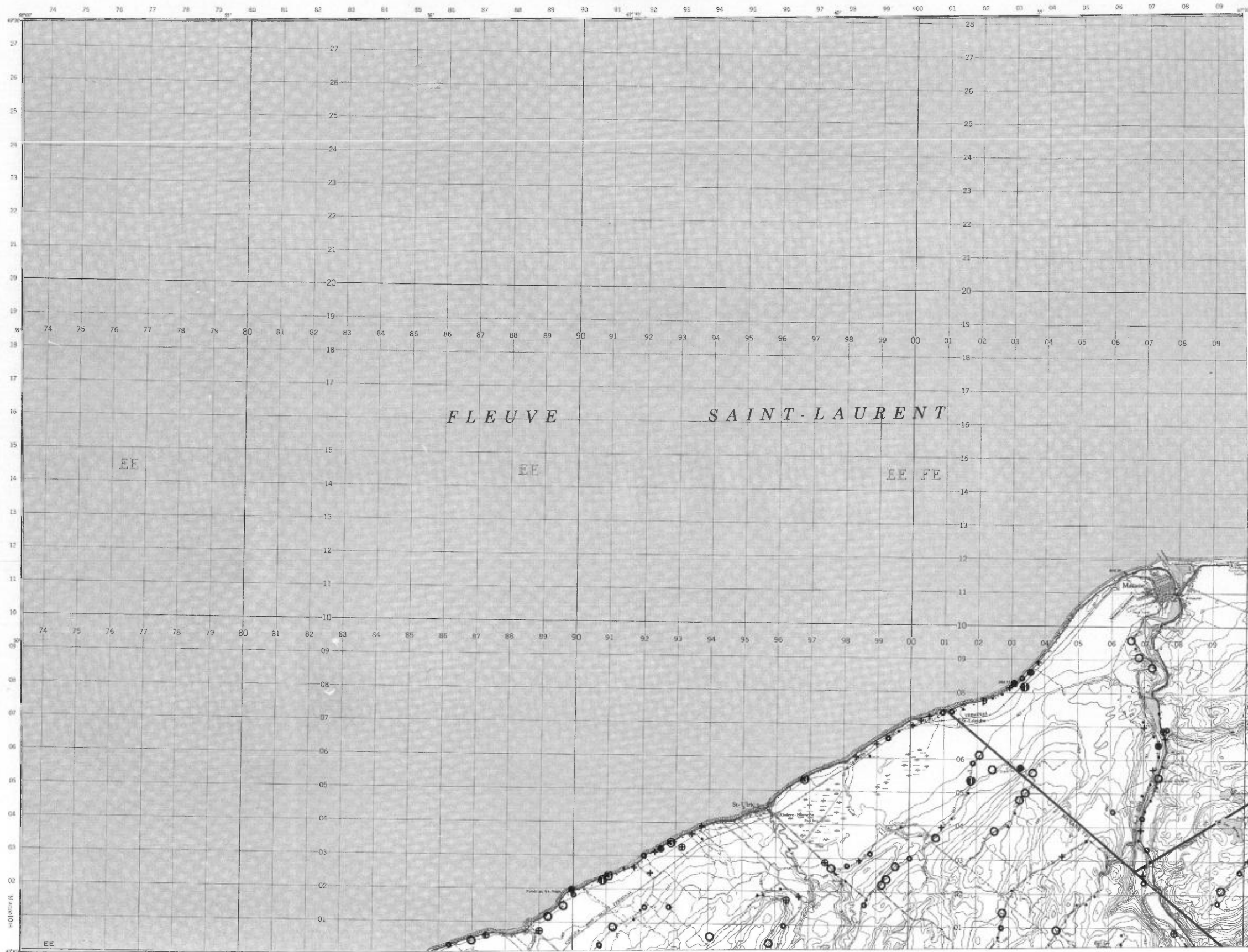
RÉGION DU BAS SAINT-LAURENT

TENEURS (ppb)

- 1 - 8
- 9 - 13
- 14 - 29
- ⊕ 30 - 54
- ⊕ 55 - 89
- 90 - 179
- ⊕ 180 - 359
- ⊕ 360 - 719
- ⊕ 720 - 1439
- ⊕ 1440 - 2879

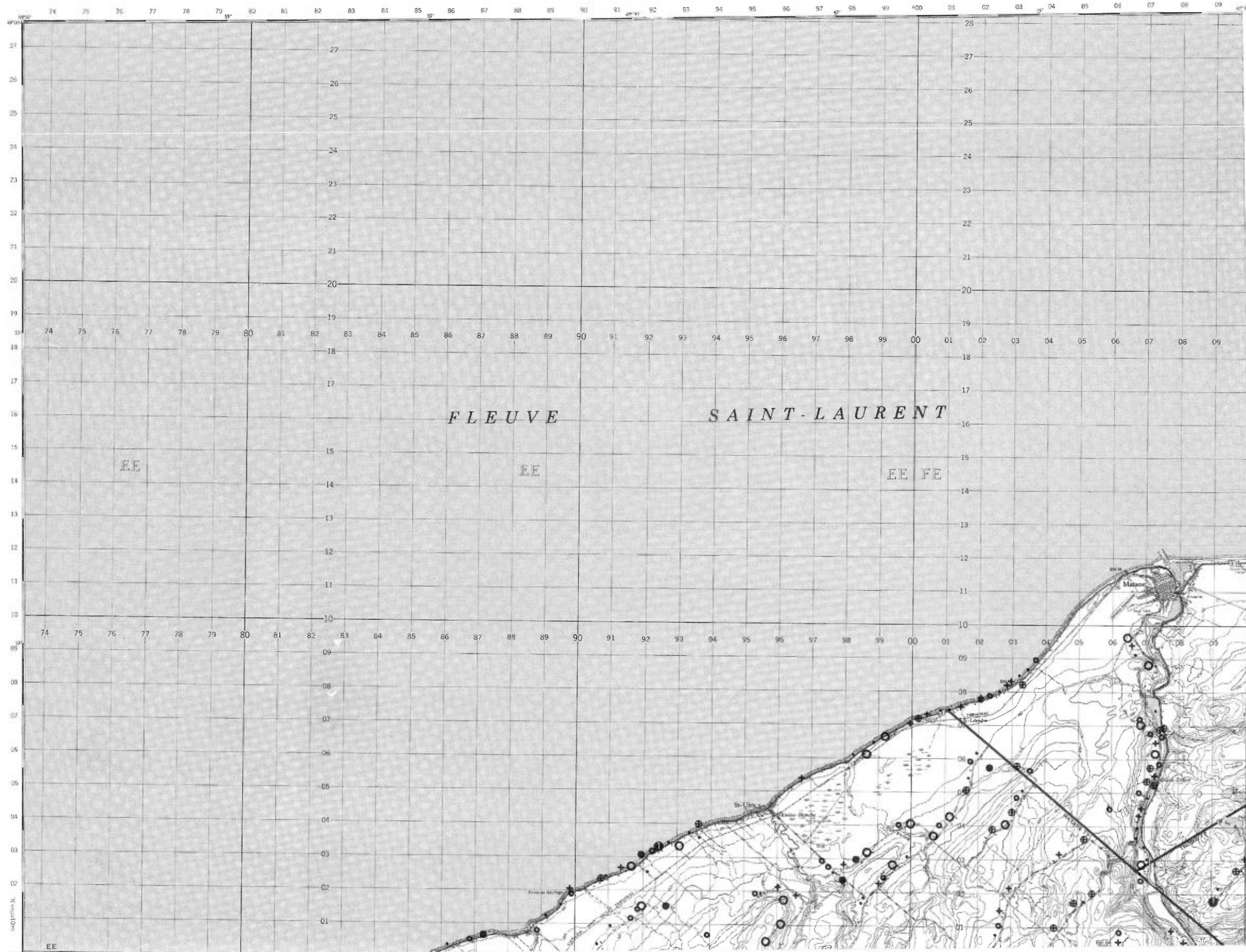


Service de la  
 GÉOCHIMIE-GÉOPHYSIQUE



TENEURS (ppb)

- 4 - 12
- 14 - 34
- 36 - 144
- ⊕ 146 - 338
- ⊕ 340 - 738
- 740 - 1498
- ① 1500 - 2998
- ② 3000 - 5998
- ③ 6000 - 11998
- ④ 12000 - 23998



Échelle 1:125 000

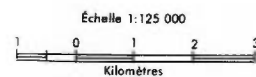


Service de la  
 GÉOCHIMIE-GÉOPHYSIQUE

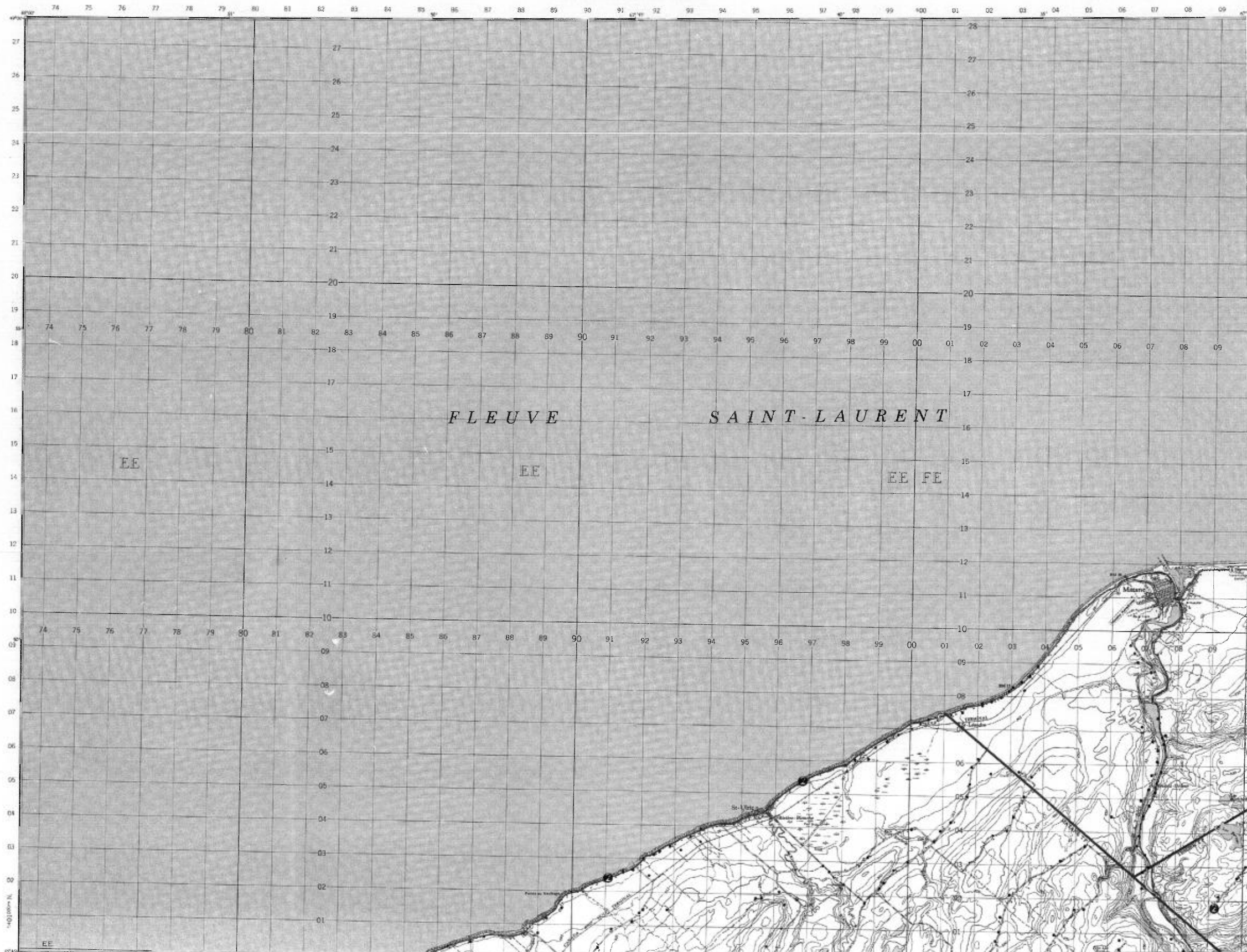
Zn

TENEURS (ppb)

- 1
- 2 - 4
- ① 5 - 9
- ② 10 - 19
- ③ 20 - 39
- ④ 40 - 79
- ⑤ 80 - 159
- ⑥ 160 - 219



Service de la  
 GÉOCHIMIE-GÉOPHYSIQUE

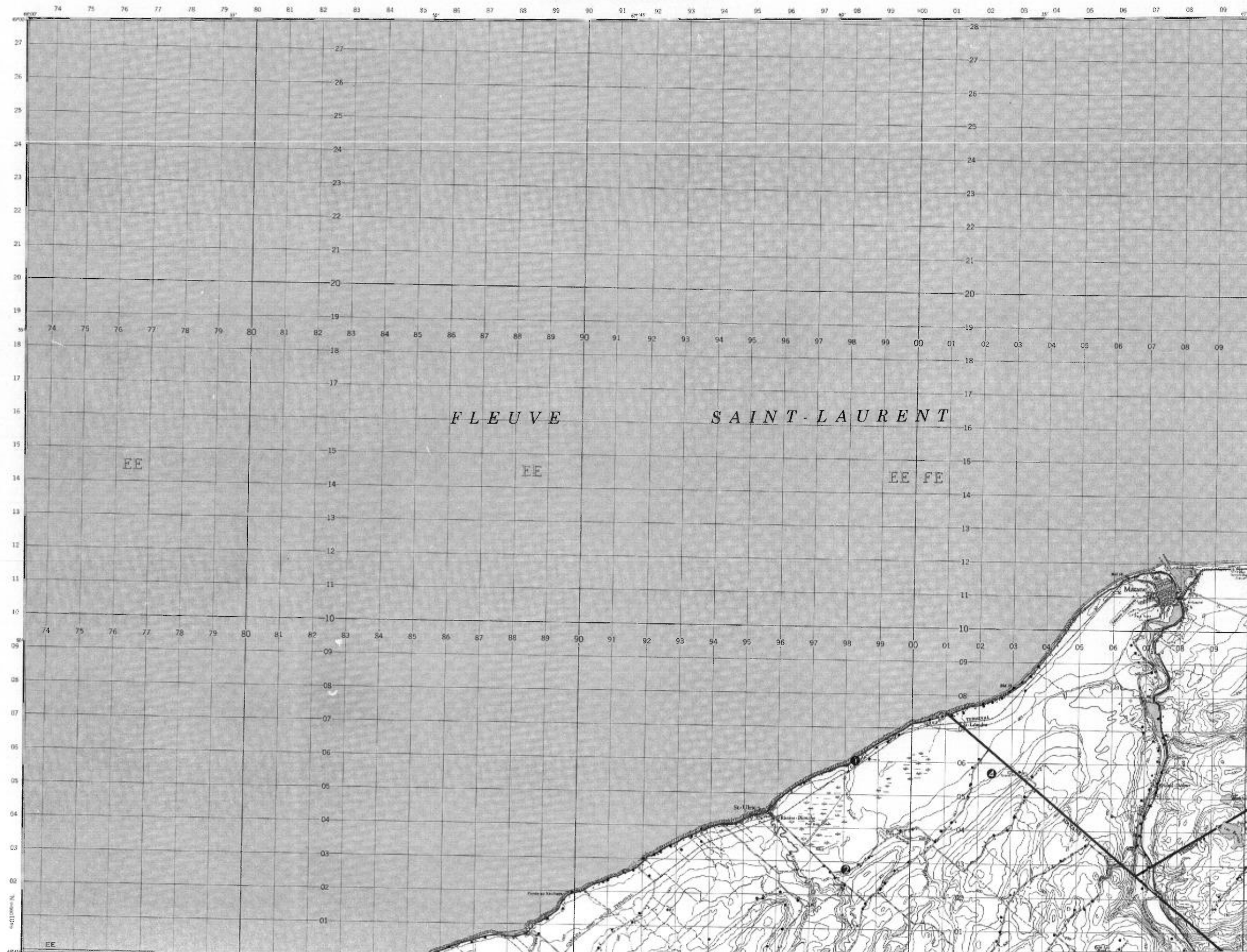


TENEURS (ppb)

- 1
- 2 - 5
- ① 6 - 11
- ② 12 - 24
- ③ 25 - 49
- ④ 50 - 99
- ⑤ 100 - 199
- ⑥ 200 - 399



Service de la  
 GÉOCHIMIE-GÉOPHYSIQUE

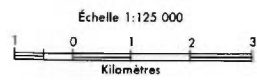


**MATANE**

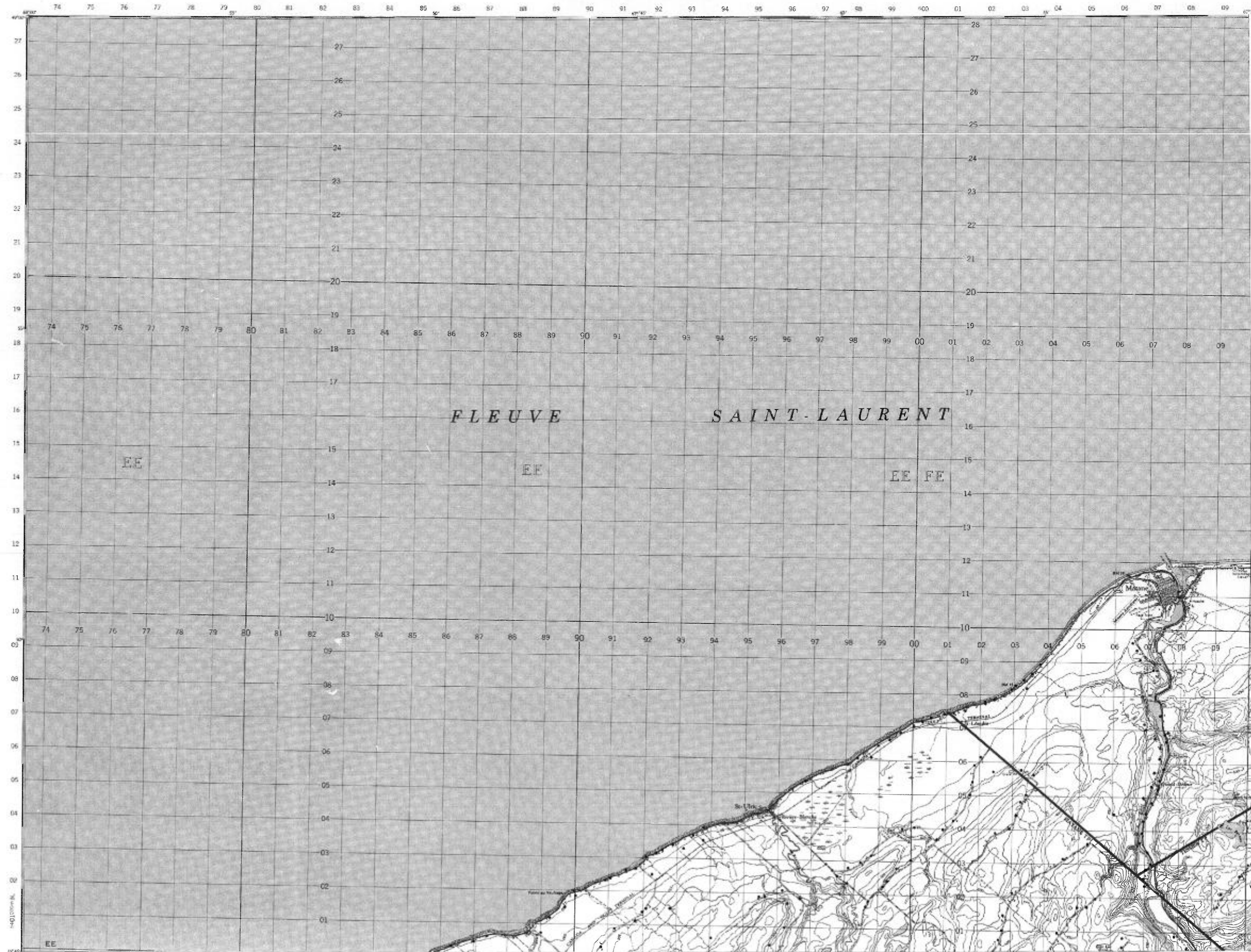
RÉGION DU BAS SAINT-LAURENT

TENEURS (ppb)

- 1
- 2 - 3
- 4 - 7
- 8 - 15
- 16 - 31
- 32 - 63



Service de la  
 GÉOCHIMIE-GÉOPHYSIQUE



**MATANE**

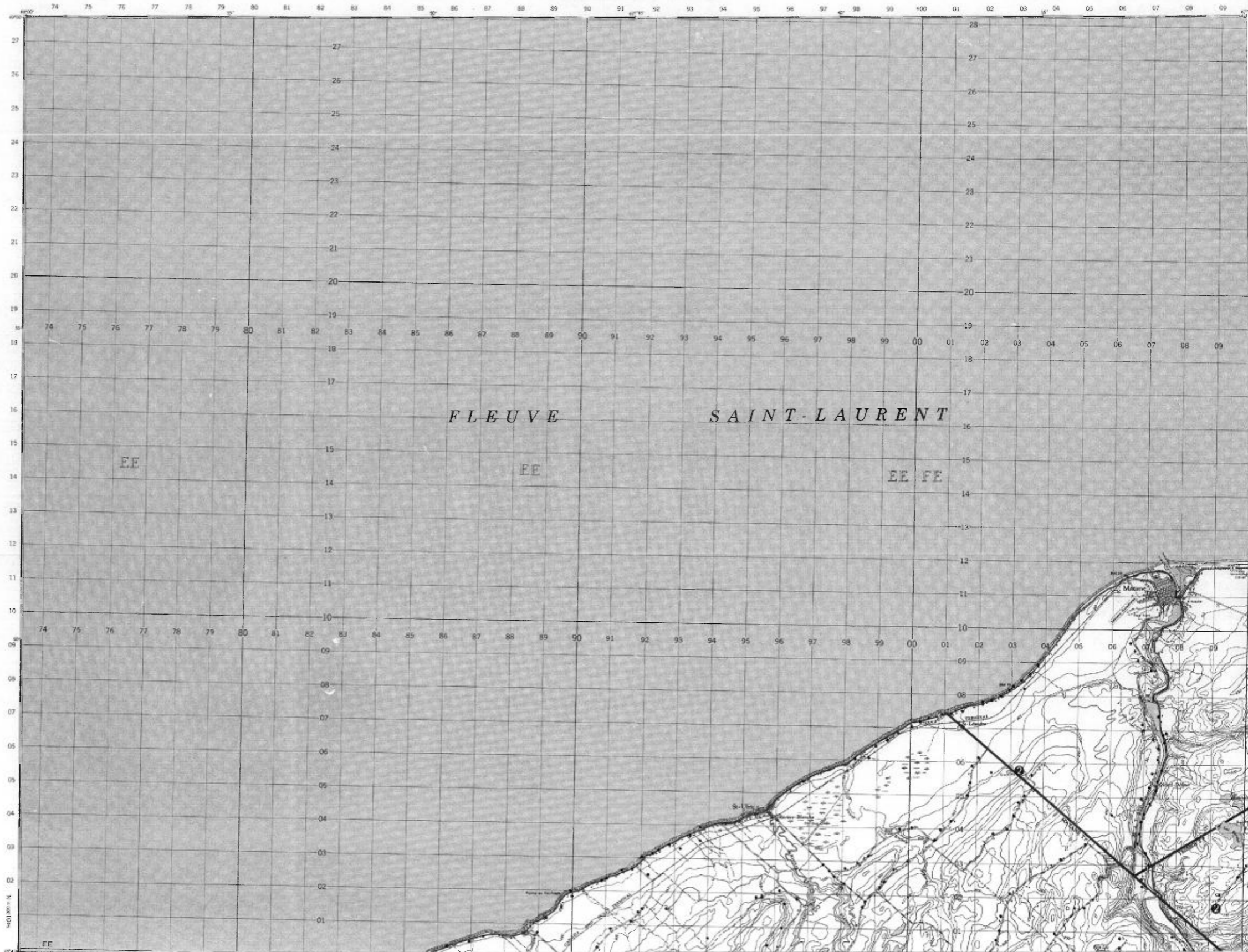
RÉGION DU BAS SAINT-LAURENT

TENEURS (ppb)

- 0,1
- 0,2
- ① 0,3 - 0,5
- ② 0,6 - 1,1
- ③ 1,2 - 2,3
- ④ 2,4 - 4,9
- ⑤ 5,0 - 9,9
- ⑥ 10,0 - 19,9
- ⑦ 20,0 - 39,9
- ⑧ 40,0 - 79,9

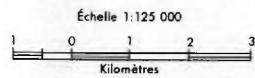


Service de la  
 GÉOCHIMIE-GÉOPHYSIQUE

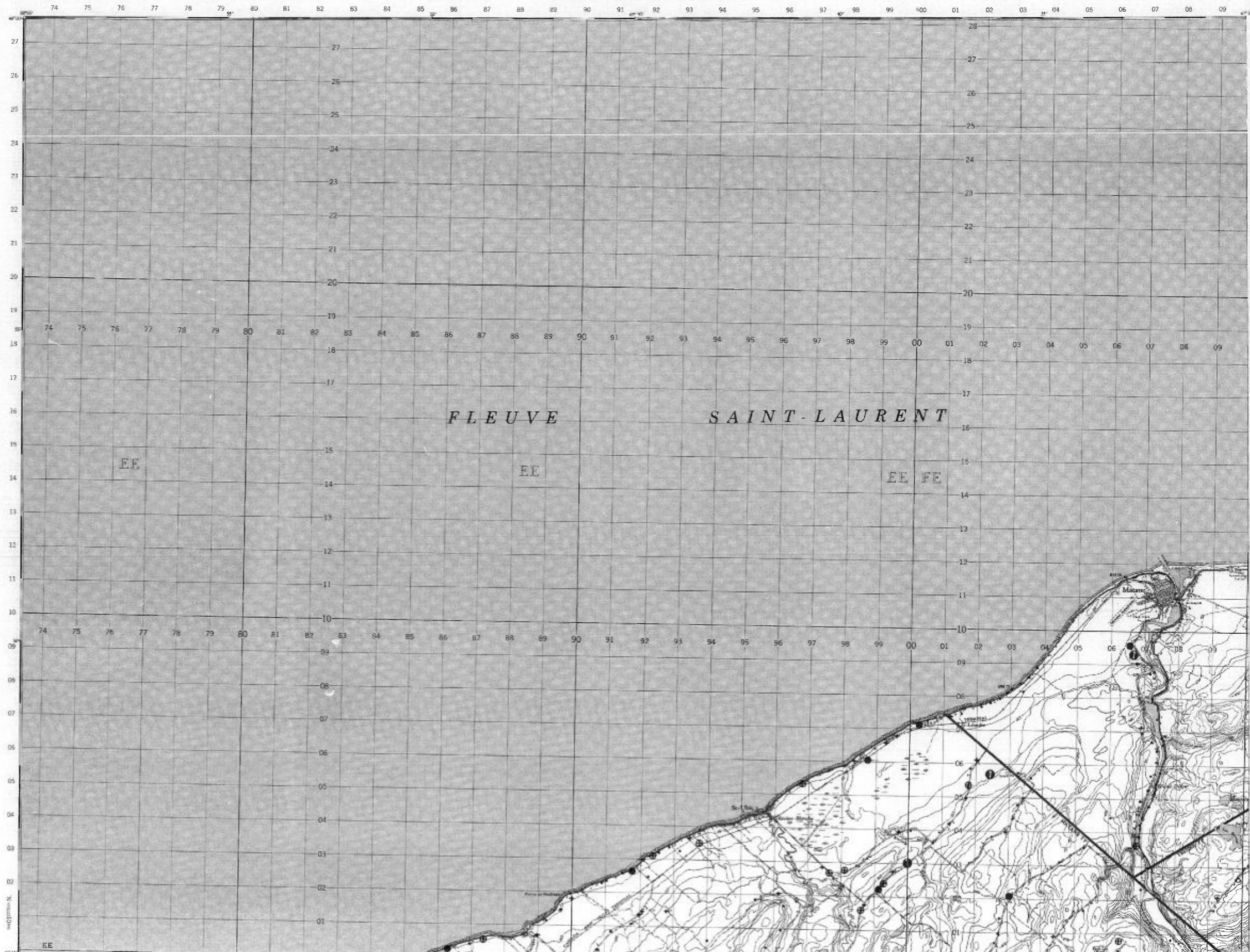


TENEURS (ppb)

- 5 - 10
- + 15 - 50
- ⊕ 55 - 145
- 150 - 455
- ① 460 - 895
- ② 900 - 1795
- ③ 1800 - 3595



Service de la  
GÉOCHIMIE-GÉOPHYSIQUE

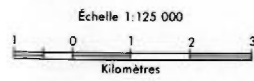


MATANE

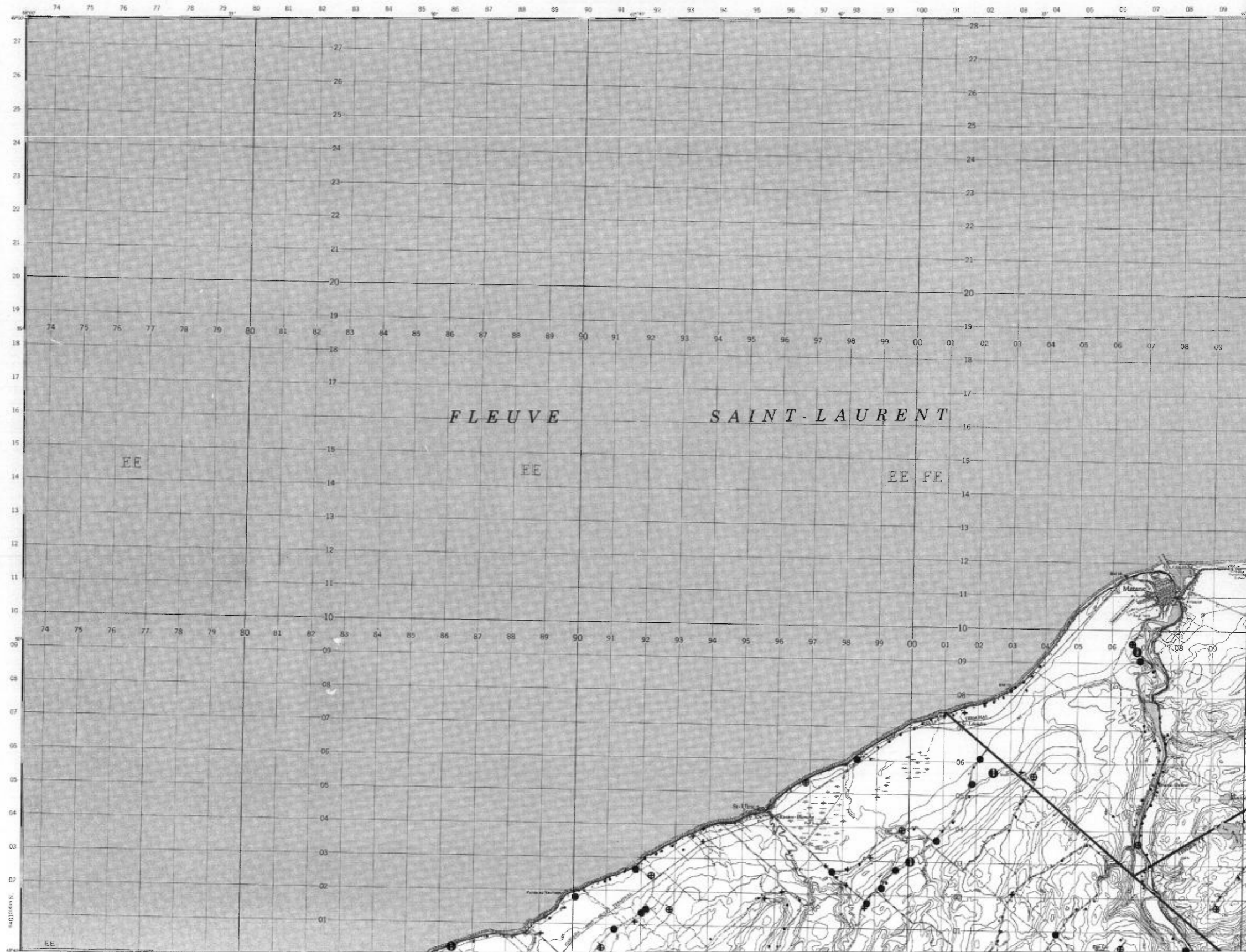
RÉGION DU BAS SAINT-LAURENT

TENEURS (ppm)

- 0,1
- + 0,2
- ⊕ 0,3 - 0,4
- 0,5 - 1,3
- ⊙ 1,4 - 2,7
- ⊗ 2,8 - 5,5
- ⊠ 5,6 - 11,1



Service de la  
GÉOCHIMIE-GÉOPHYSIQUE



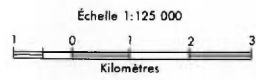


MATANE

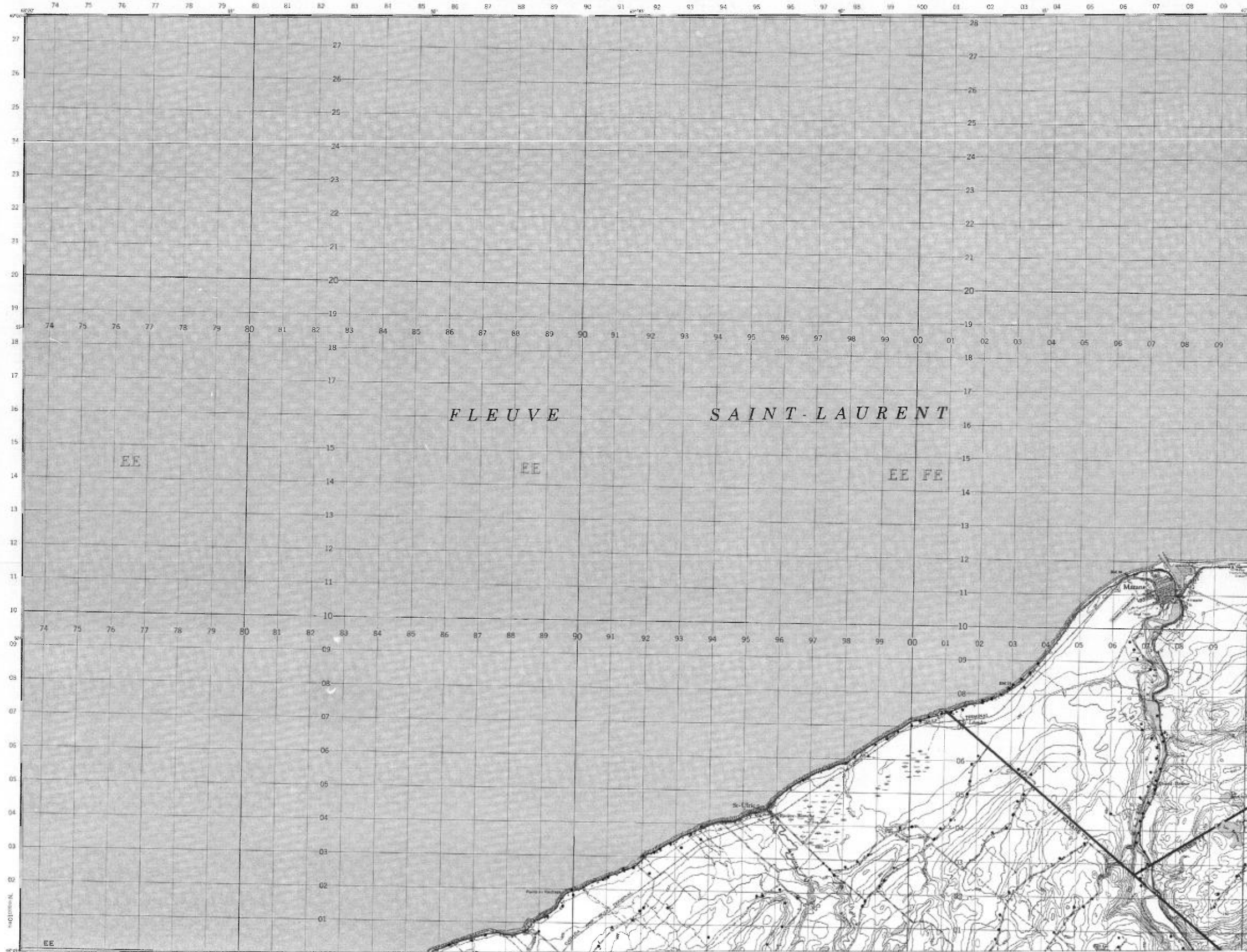
RÉGION DU BAS SAINT-LAURENT

TENEURS (ppb)

- 1
- 2
- ⊙ 3 - 5
- ⊚ 6 - 11

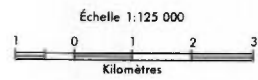


Service de la  
GÉOCHIMIE-GÉOPHYSIQUE

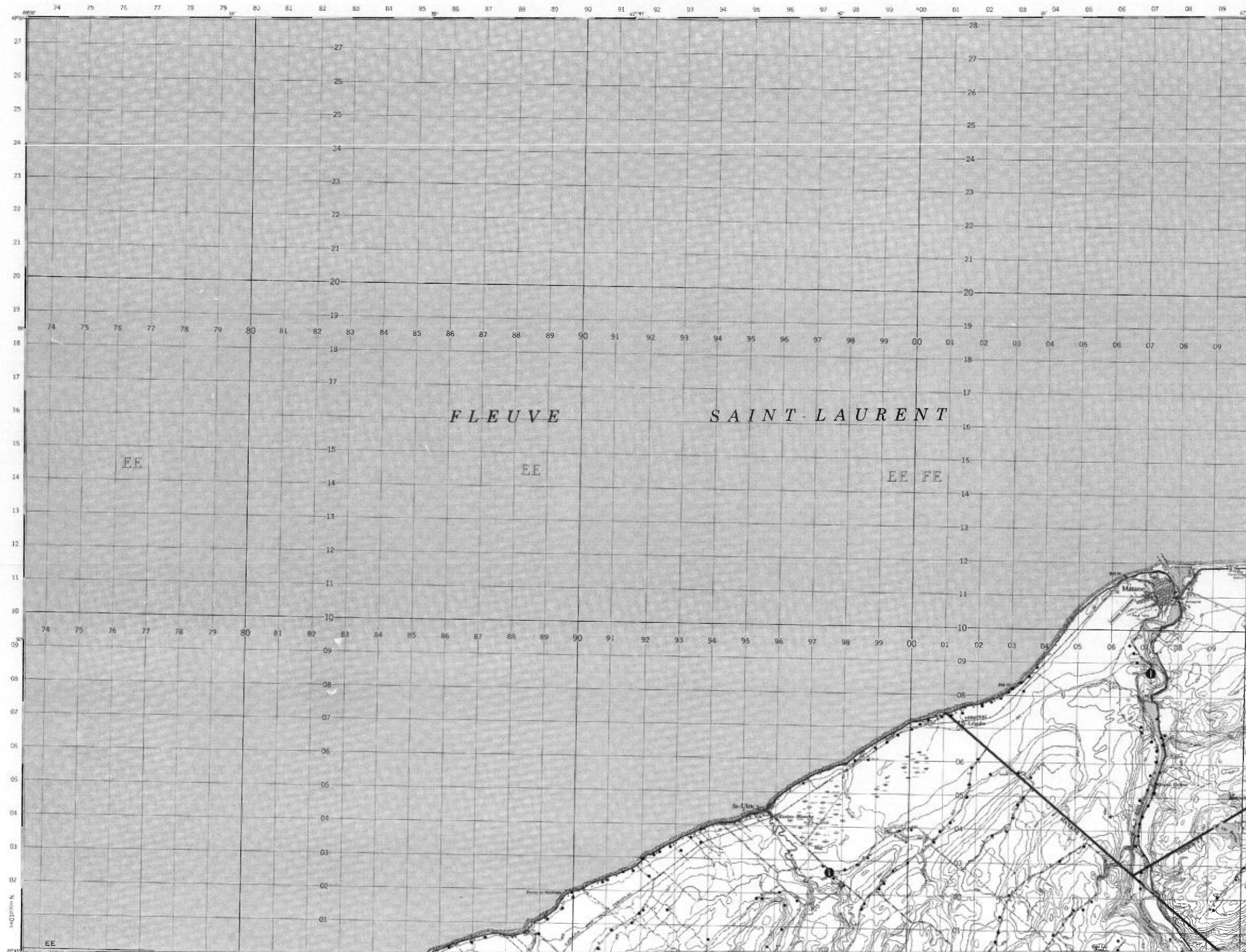


TENEURS (ppb)

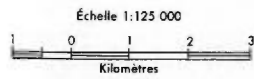
- 2
- + 3 - 5
- ⊕ 6 - 11
- 12 - 23
- ⊙ 24 - 47
- ⦿ 48 - 95



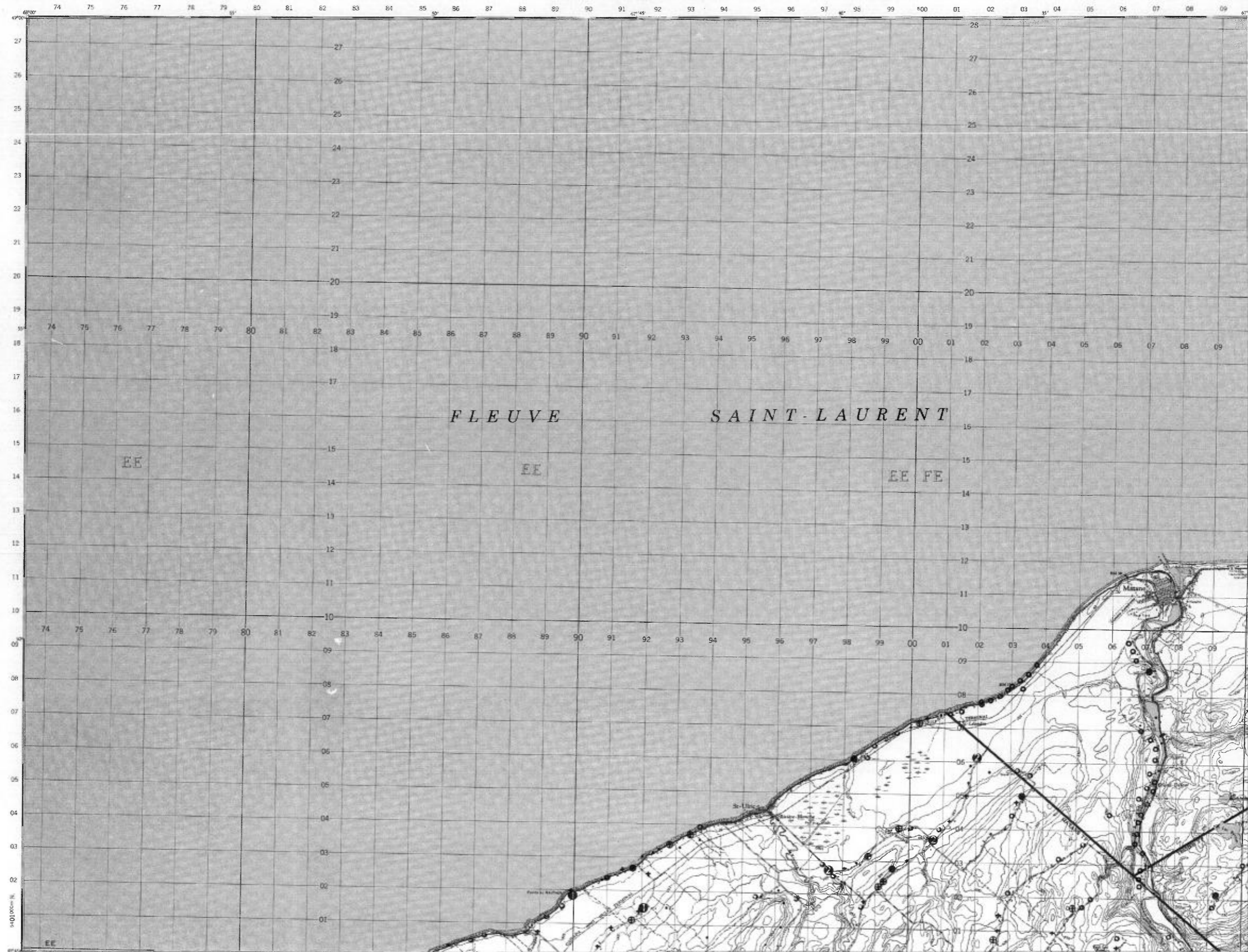
Service de la  
GÉOCHIMIE-GÉOPHYSIQUE



- TENEURS (ppm)
- 0,01 — 0,04
  - 0,05 — 0,07
  - + 0,08 — 0,12
  - ⊕ 0,13 — 0,22
  - 0,23 — 0,54
  - 0,55 — 1,09
  - 1,10 — 2,19
  - 2,20 — 4,39
  - 4,40 — 8,79



Service de la  
 GÉOCHIMIE-GÉOPHYSIQUE

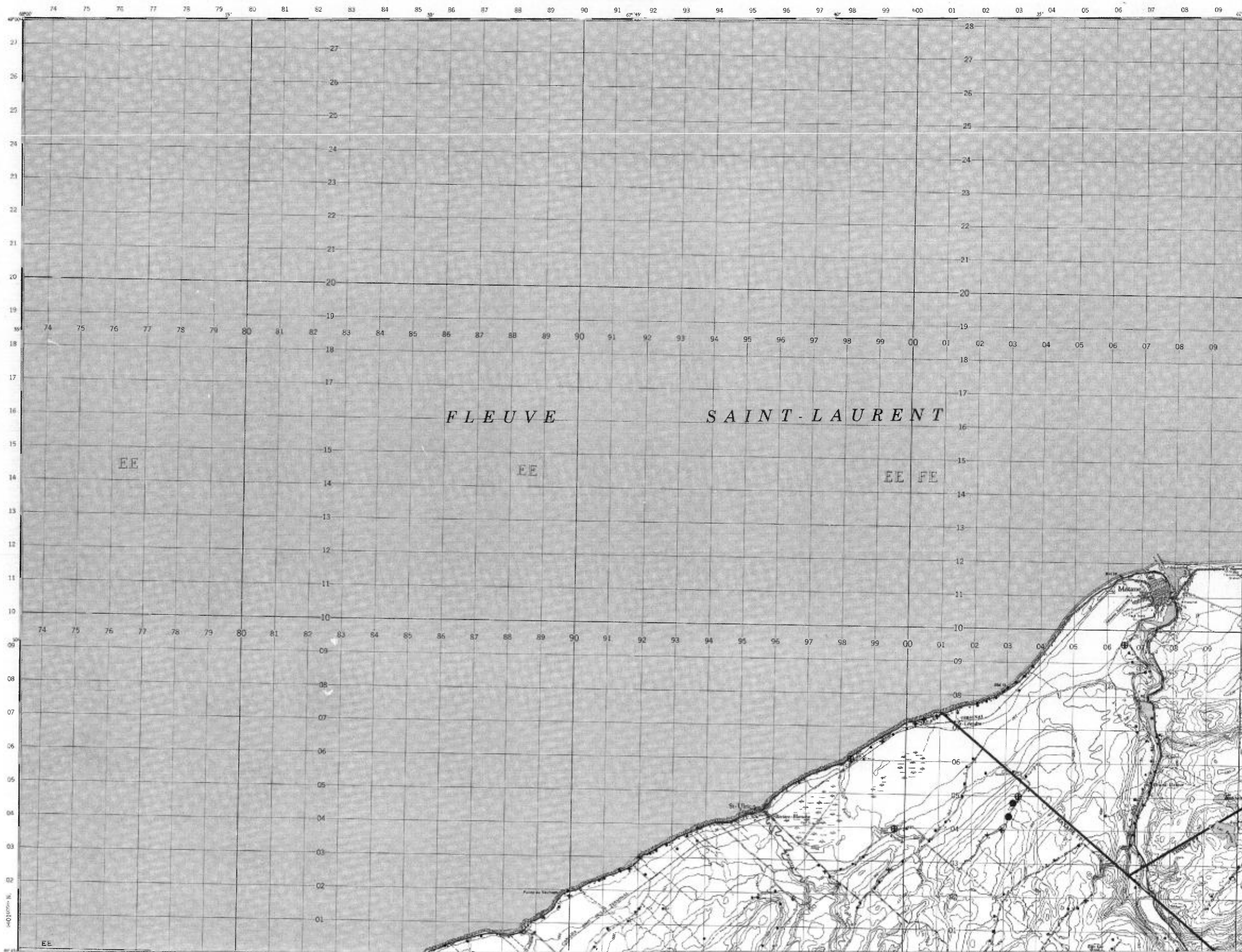


TENEURS (ppb)

- 2 - 3
- + 4 - 5
- ⊕ 6 - 8
- 9 - 19
- ① 20 - 39
- ② 40 - 79
- ③ 80 - 159



Service de la  
 GÉOCHIMIE-GÉOPHYSIQUE

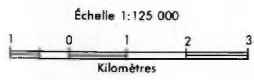
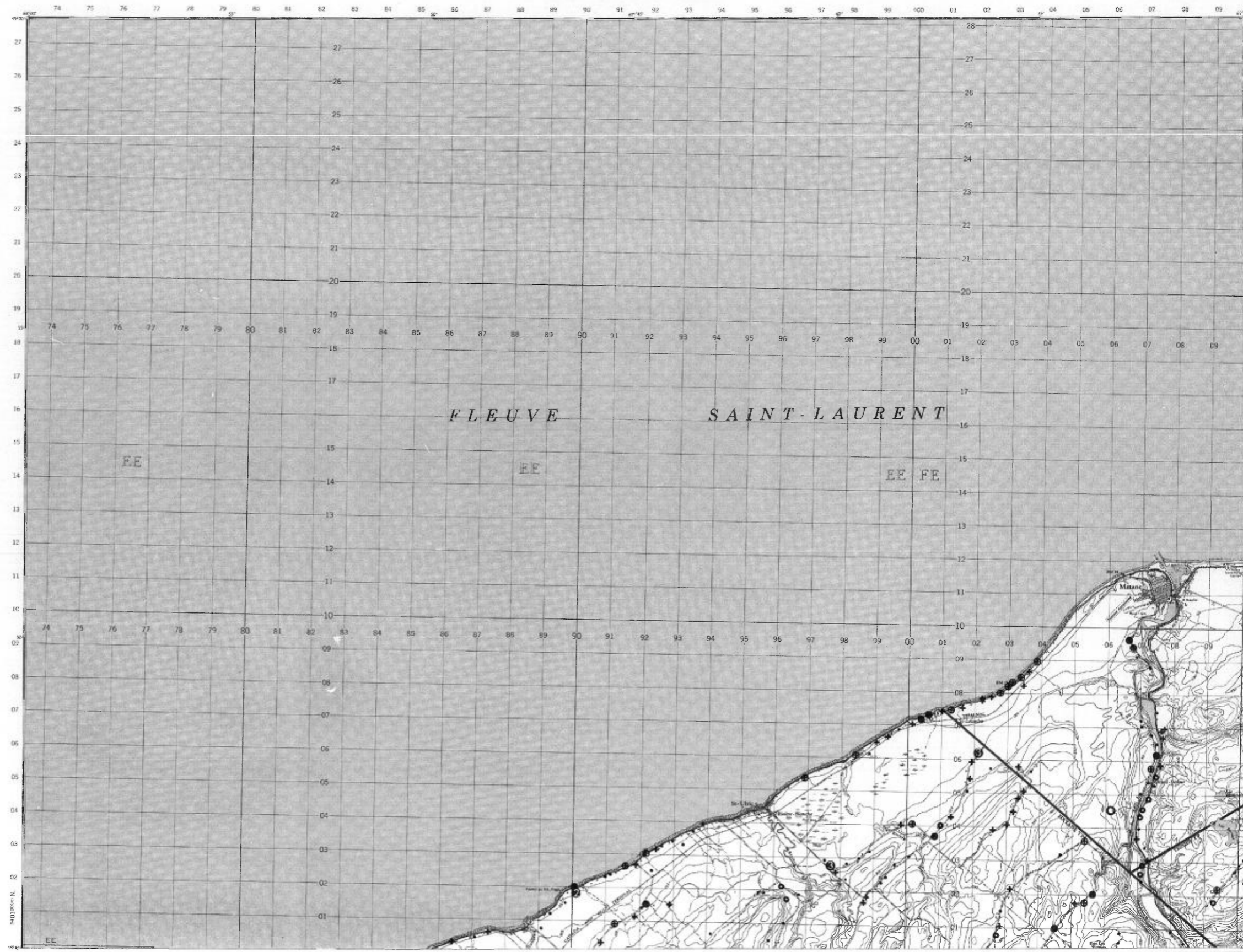


**MATANE**

RÉGION DU BAS SAINT-LAURENT

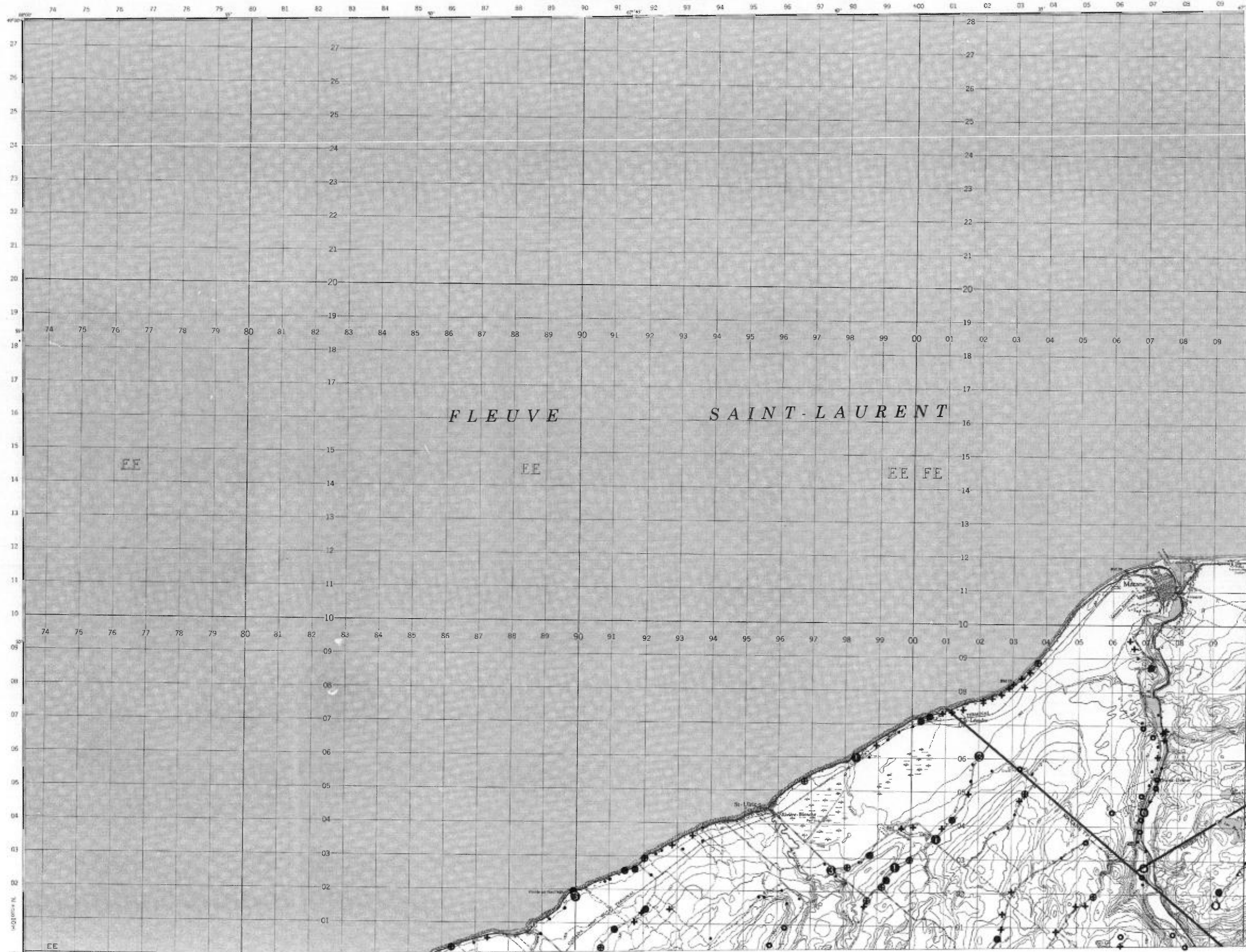
TENEURS (ppm)

- 1 - 4
- 5 - 6
- 7 - 17
- + 18 - 34
- ⊕ 35 - 65
- 66 - 149
- ① 150 - 299
- ② 300 - 599
- ③ 600 - 1199
- ④ 1200 - 2399



Service de la  
 GÉOCHIMIE-GÉOPHYSIQUE

- TENEURS (ppm)
- 0.9 — 2.9
  - 3.0 — 4.5
  - 4.6 — 11.4
  - ⊕ 11.5 — 26.9
  - ⊕ 27.0 — 54.9
  - 55.0 — 122.9
  - ⊕ 123.0 — 249.9
  - 250.0 — 499.9
  - ⊕ 500.0 — 999.9
  - ⊕ 1000.0 — 1999.9



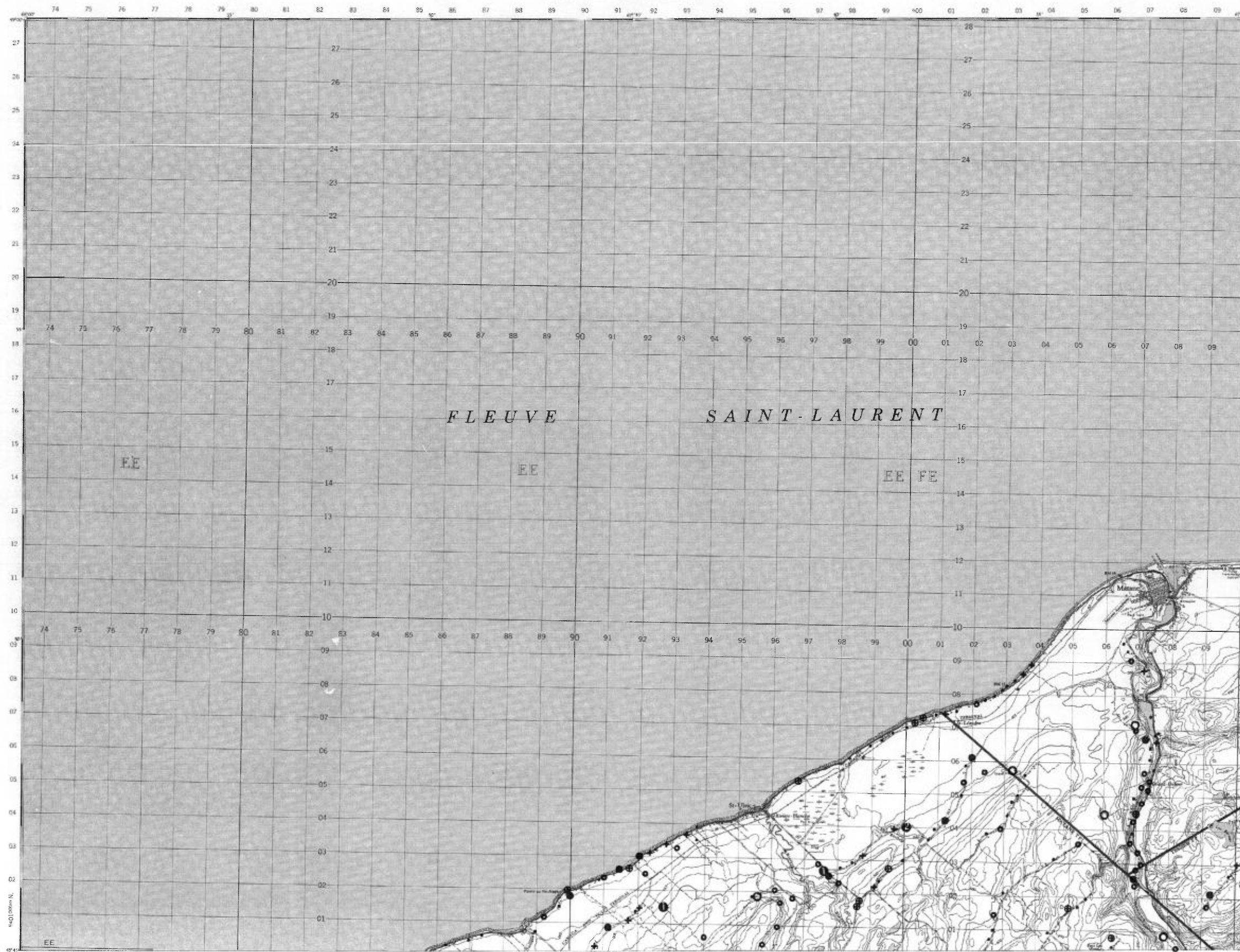
Service de la  
 GÉOCHIMIE-GÉOPHYSIQUE

**MATANE**

RÉGION DU BAS SAINT-LAURENT

**TENEURS (ppm)**

- 0,2 — 0,5
- 0,6 — 0,9
- 1,0 — 2,1
- + 2,2 — 3,5
- ⊕ 3,6 — 4,9
- 5,0 — 8,9
- ⊖ 9,0 — 17,9
- ⊗ 18,0 — 35,9
- ⊙ 36,0 — 71,9



Service de la  
 GÉOCHIMIE-GÉOPHYSIQUE

**MATANE**

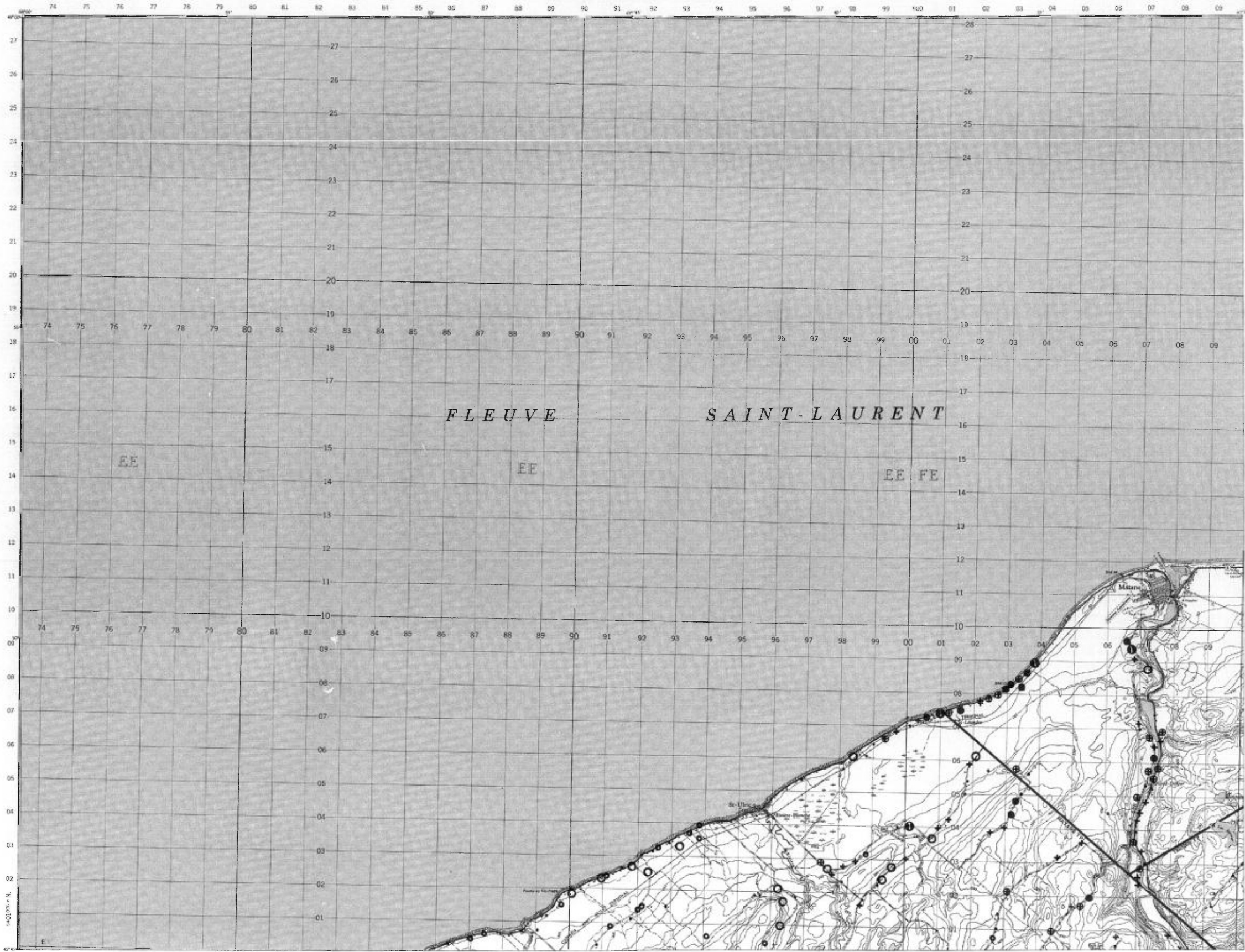
RÉGION DU BAS SAINT-LAURENT

TENEURS (ppm)

- 1,0 — 29,9
- 30,0 — 44,9
- 45,0 — 72,9
- + 73,0 — 88,9
- ⊕ 89,0 — 104,9
- 105,0 — 139,9
- ① 140,0 — 279,9
- ② 280,0 — 559,9



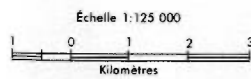
Service de la  
 GÉOCHIMIE-GÉOPHYSIQUE



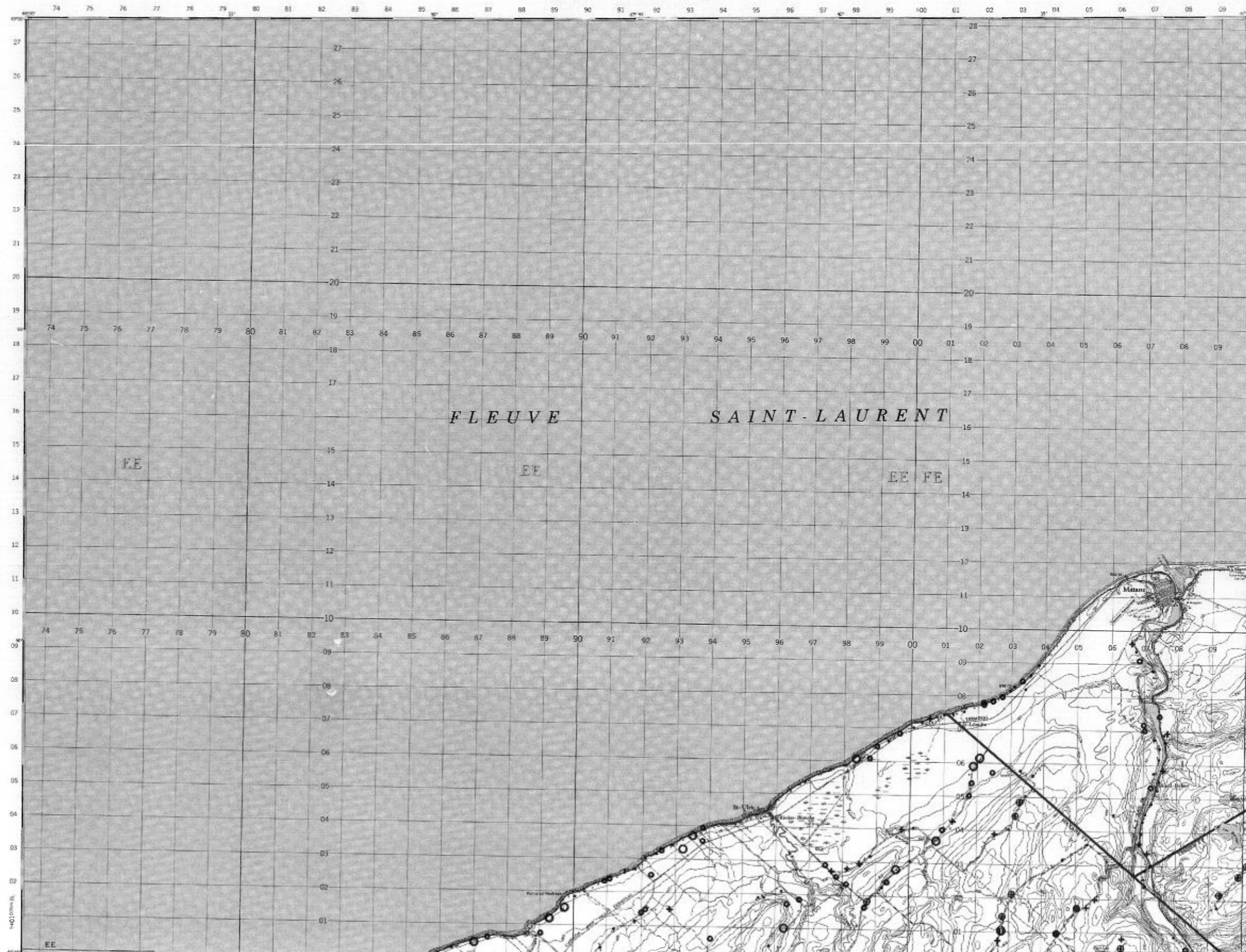


TENEURS (ppm)

- 0,1 - 4,2
- 4,3 - 6,3
- 6,4 - 11,9
- + 12,0 - 16,2
- ⊕ 16,3 - 20,0
- 20,1 - 27,9
- ⊕ 28,0 - 55,9
- 56,0 - 111,9

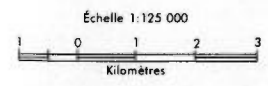
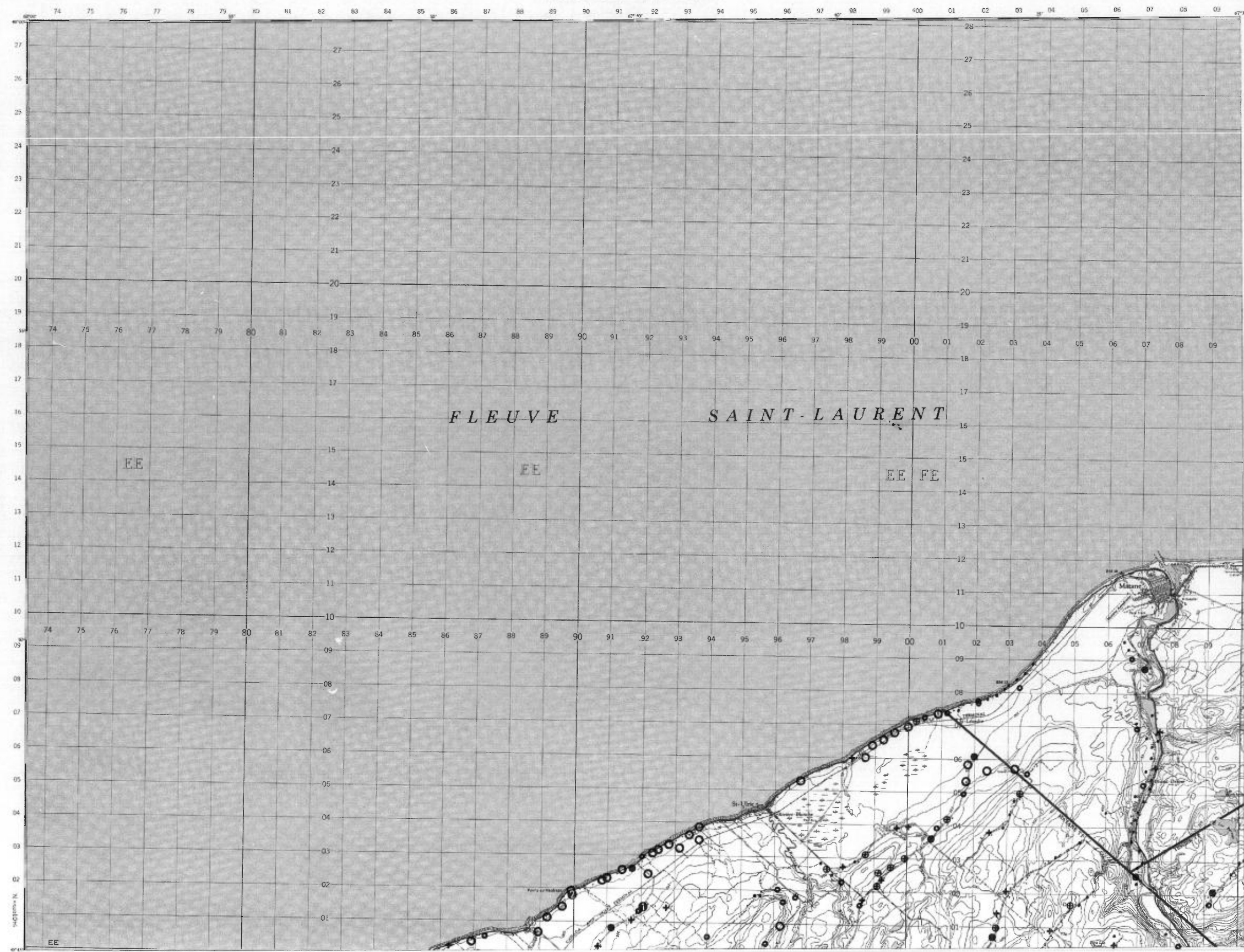


Service de la  
 GÉOCHIMIE-GÉOPHYSIQUE



**TENEURS (ppb)**

○	0,1 — 5,5
○	5,6 — 7,9
●	8,0 — 15,4
+	15,5 — 25,9
⊕	26,0 — 41,9
●	42,0 — 115,0
⊕	115,1 — 229,9
⊕	230,0 — 459,9
⊕	460,0 — 919,9
⊕	920,0 — 1839,9
⊕	1840,0 — 3679,9



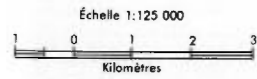
Service de la  
 GÉOCHIMIE-GÉOPHYSIQUE

**MATANE**

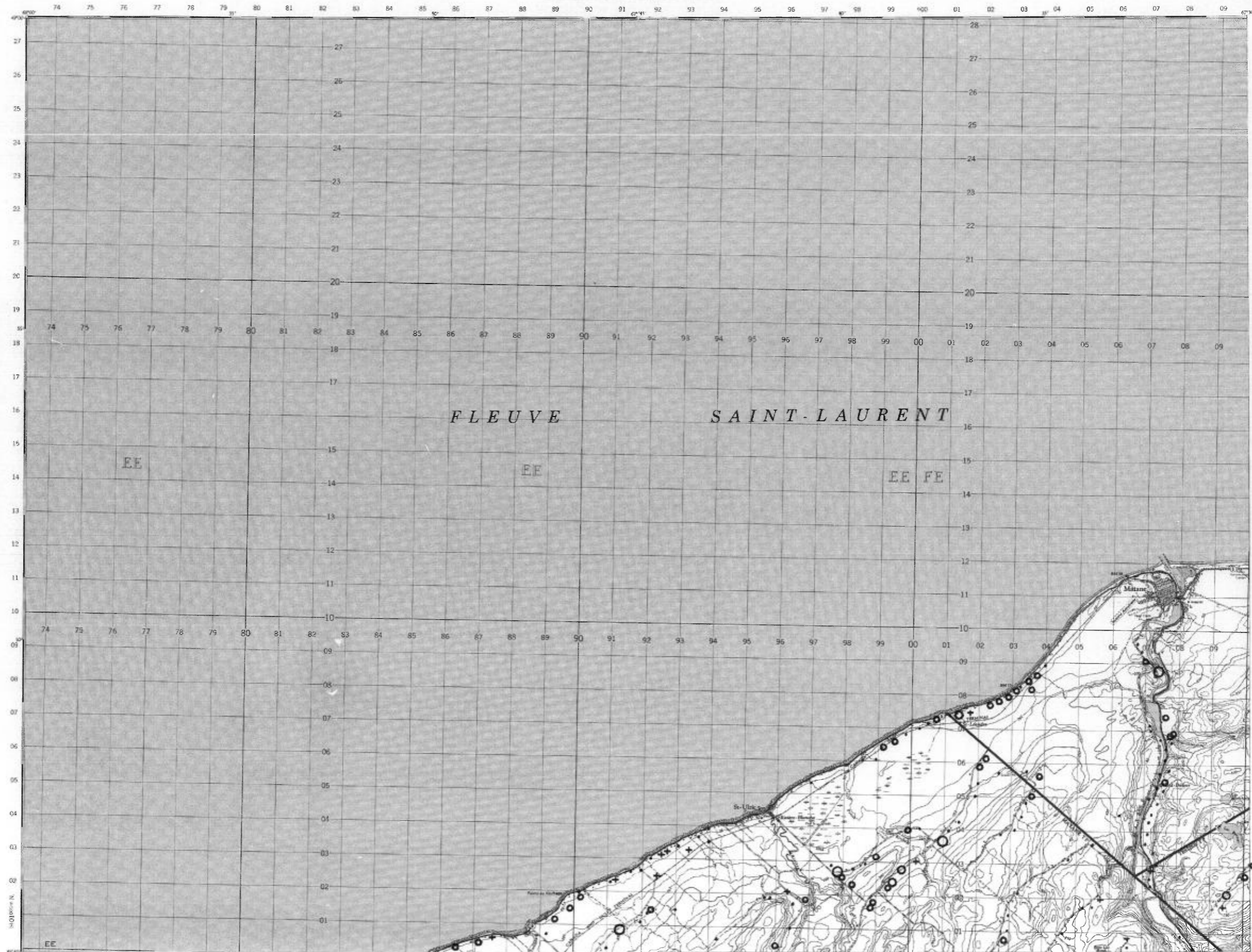
**RÉGION DU BAS SAINT-LAURENT**

TENEURS (unité)

- 0,0 — 5,7
- ⊕ 5,8 — 6,2
- + 6,3 — 6,7
- 6,8 — 7,2
- 7,3 — 7,7
- 7,8 — 8,2
- 8,3 — 14,0



Service de la  
GÉOCHIMIE-GÉOPHYSIQUE



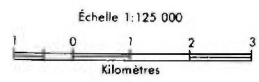
MATANE

RÉGION DU BAS SAINT-LAURENT

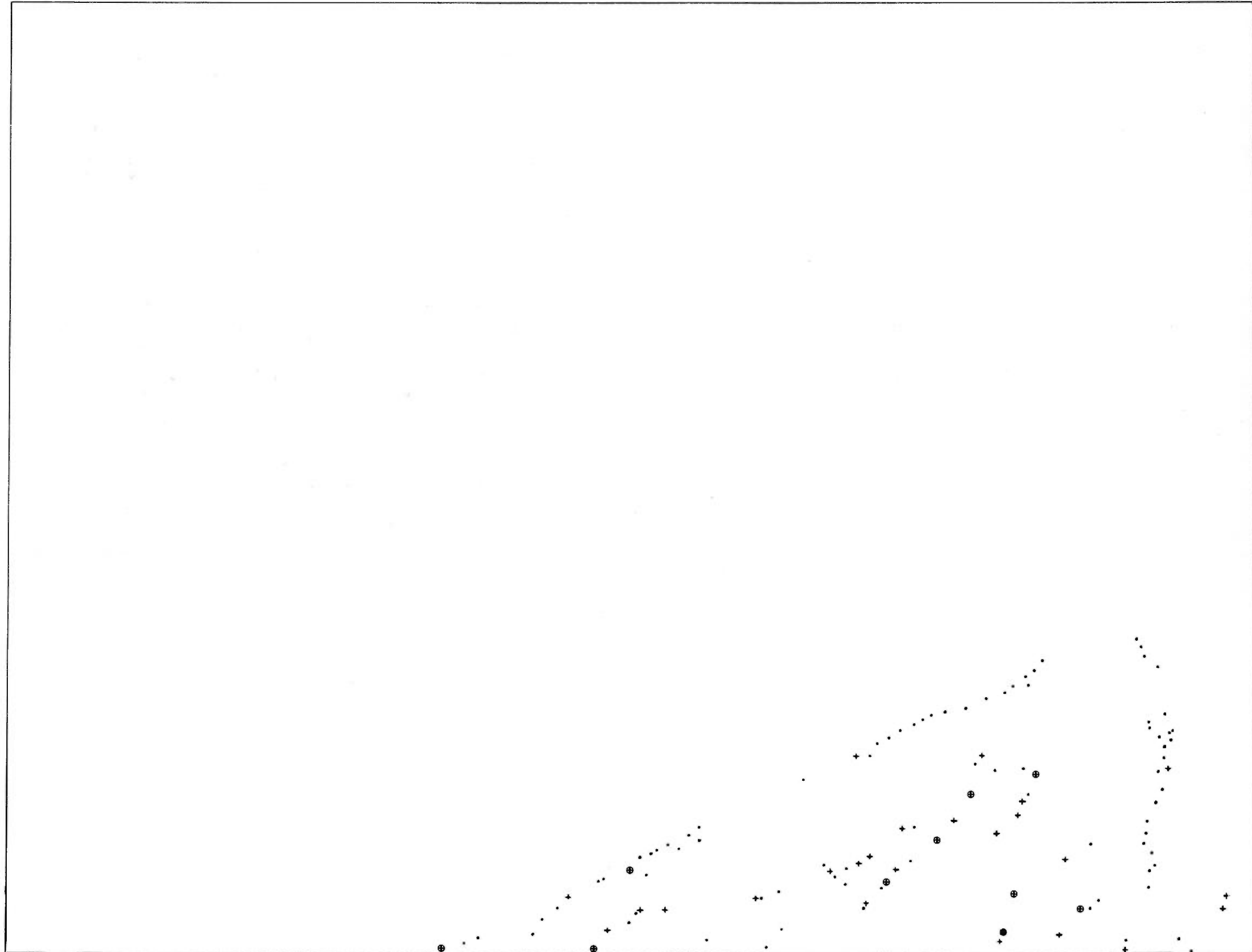
PROFONDEUR DES PUIITS

pieds

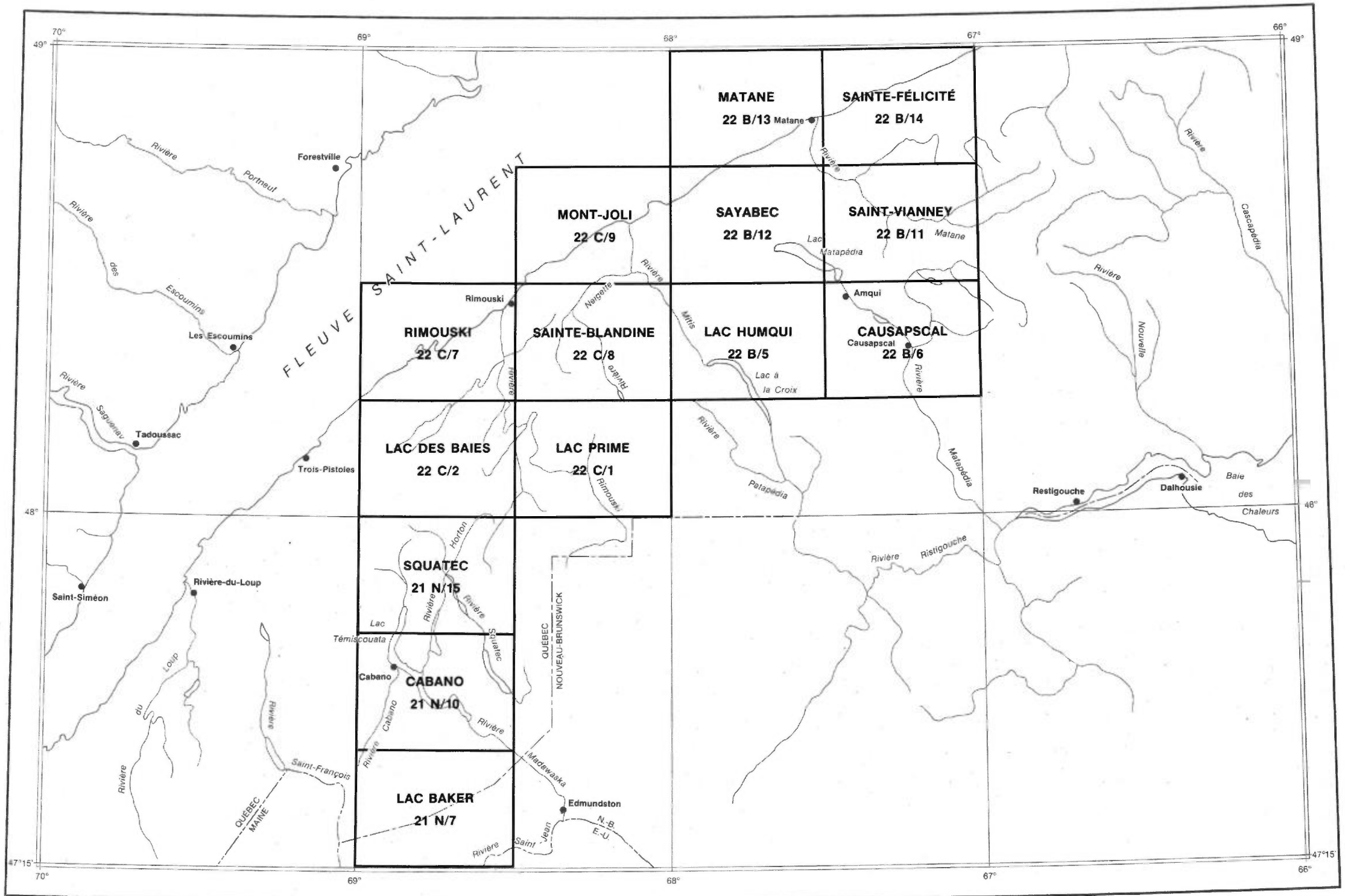
- 1 - 75
- + 76 - 150
- ⊕ 151 - 300
- 301 - 600



Service de la  
GÉOCHIMIE-GÉOPHYSIQUE



PROFONDEUR  
DES PUIITS

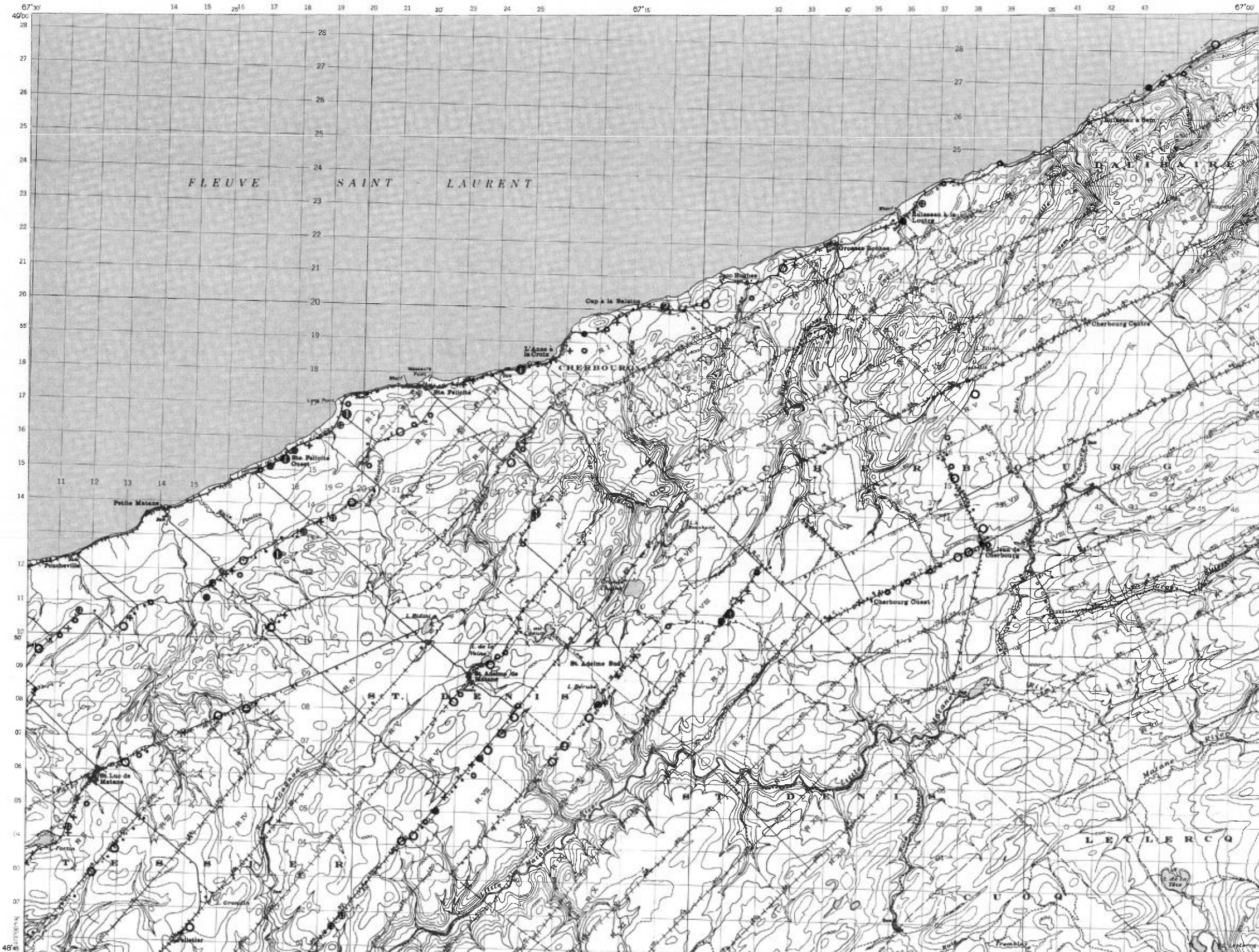


**INDEX DES CARTES GÉOCHIMIQUES  
RÉGION DU BAS SAINT-LAURENT**



TENEURS (ppb)

- 1 - 8
- 9 - 13
- 14 - 29
- ⊕ 30 - 54
- ⊗ 55 - 89
- ⊙ 90 - 179
- ⊖ 180 - 359
- ⊗ 360 - 719
- ⊙ 720 - 1439
- ⊖ 1440 - 2879



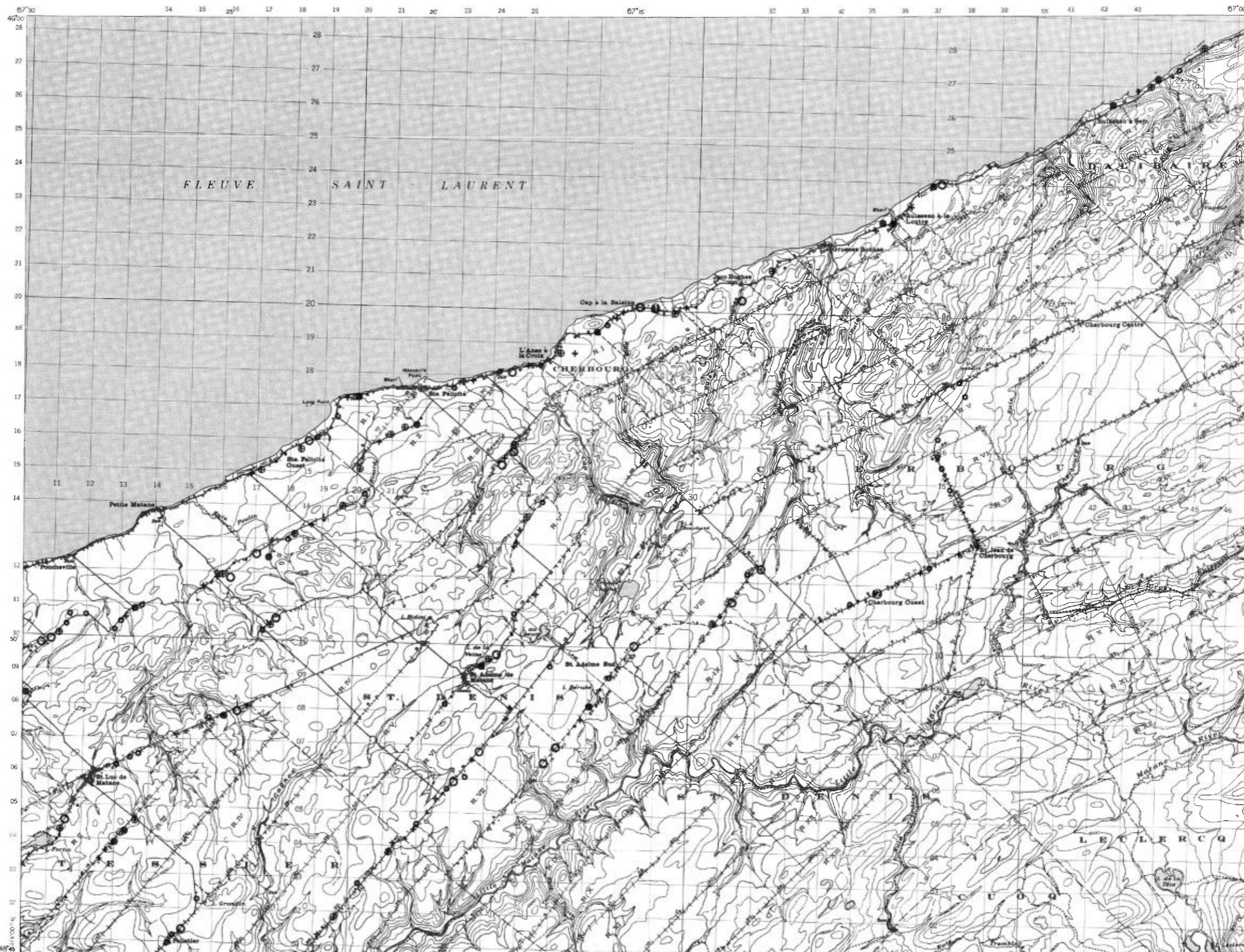
Échelle 1:125 000



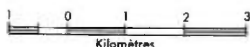
Service de la  
 GÉOCHIMIE-GÉOPHYSIQUE

TENEURS (ppb)

- 4 - 12
- 14 - 34
- 36 - 144
- + 146 - 338
- ⊕ 340 - 738
- 740 - 1498
- ① 1500 - 2998
- ② 3000 - 5998
- ③ 6000 - 11998
- ④ 12000 - 23998



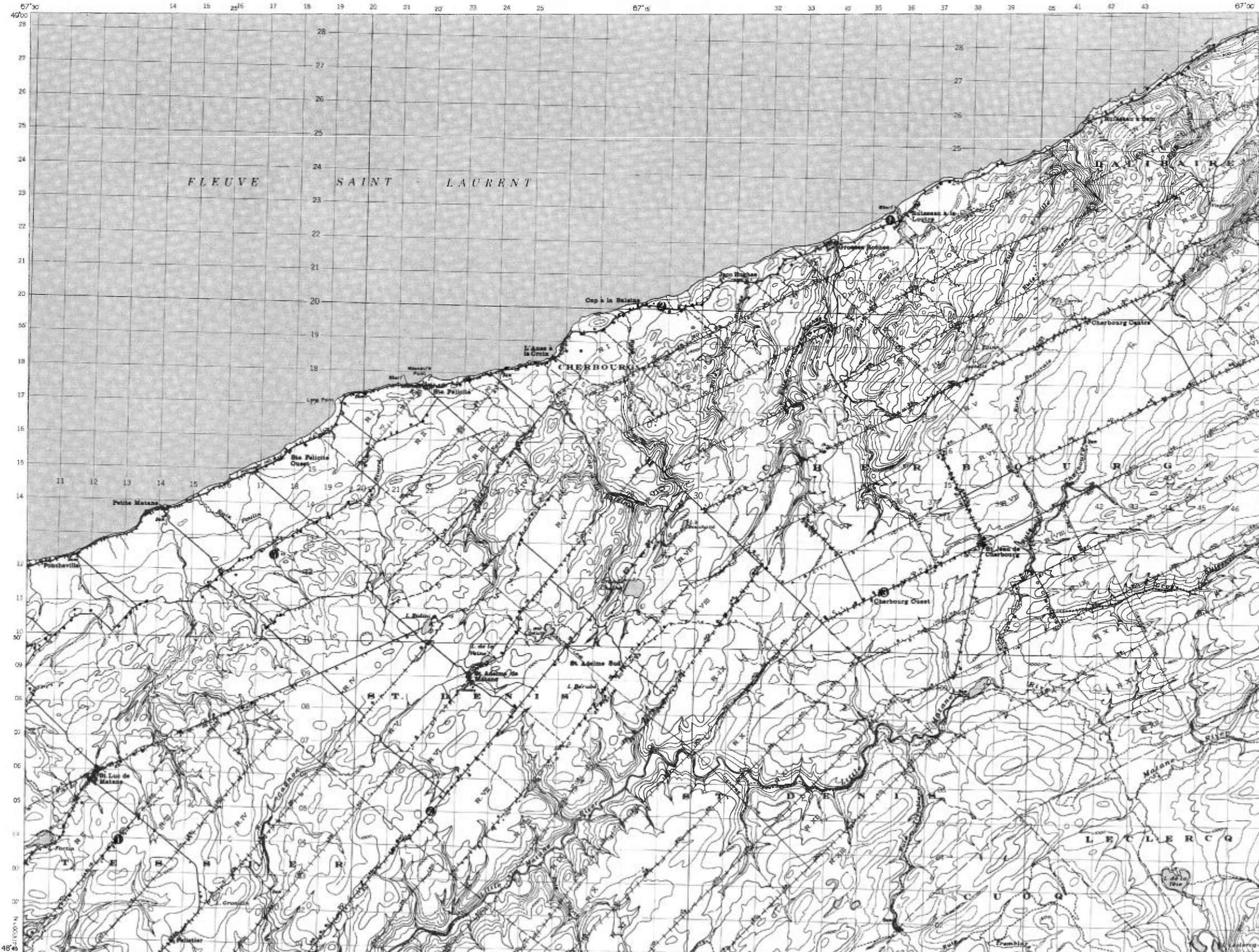
Échelle 1:125 000



Service de la  
 GÉOCHIMIE-GÉOPHYSIQUE

TENEURS (ppb)

- 1
- 2 - 4
- ⊙ 5 - 9
- ⊕ 10 - 19
- ⊗ 20 - 39
- ⊘ 40 - 79
- ⊙ 80 - 159
- ⊘ 160 - 219



Échelle 1:125 000



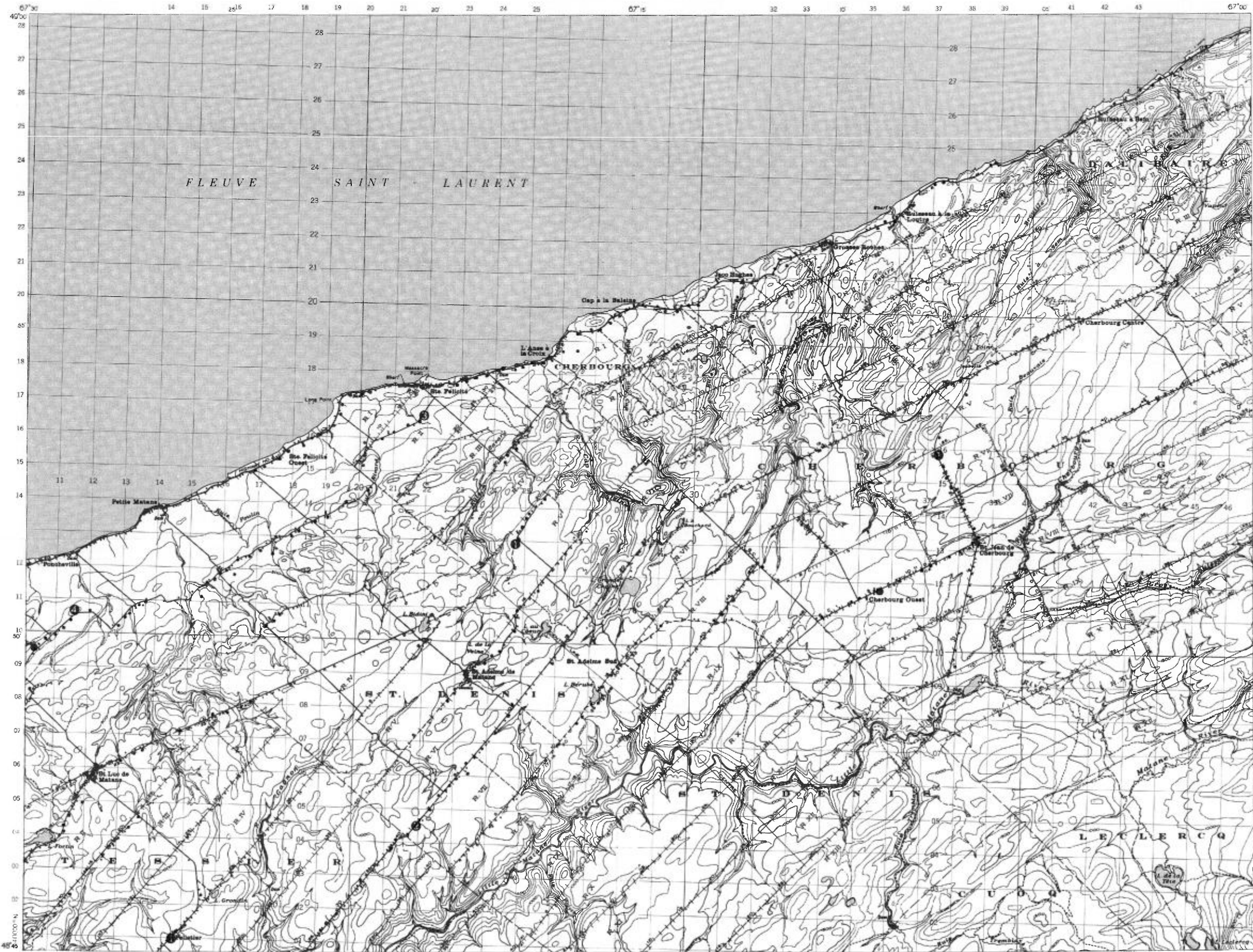
Service de la  
GÉOCHIMIE-GÉOPHYSIQUE

Pb



TENEURS (ppb)

- 1
- 2 - 5
- 6 - 11
- 12 - 24
- 25 - 49
- 50 - 99
- 100 - 199
- 200 - 399

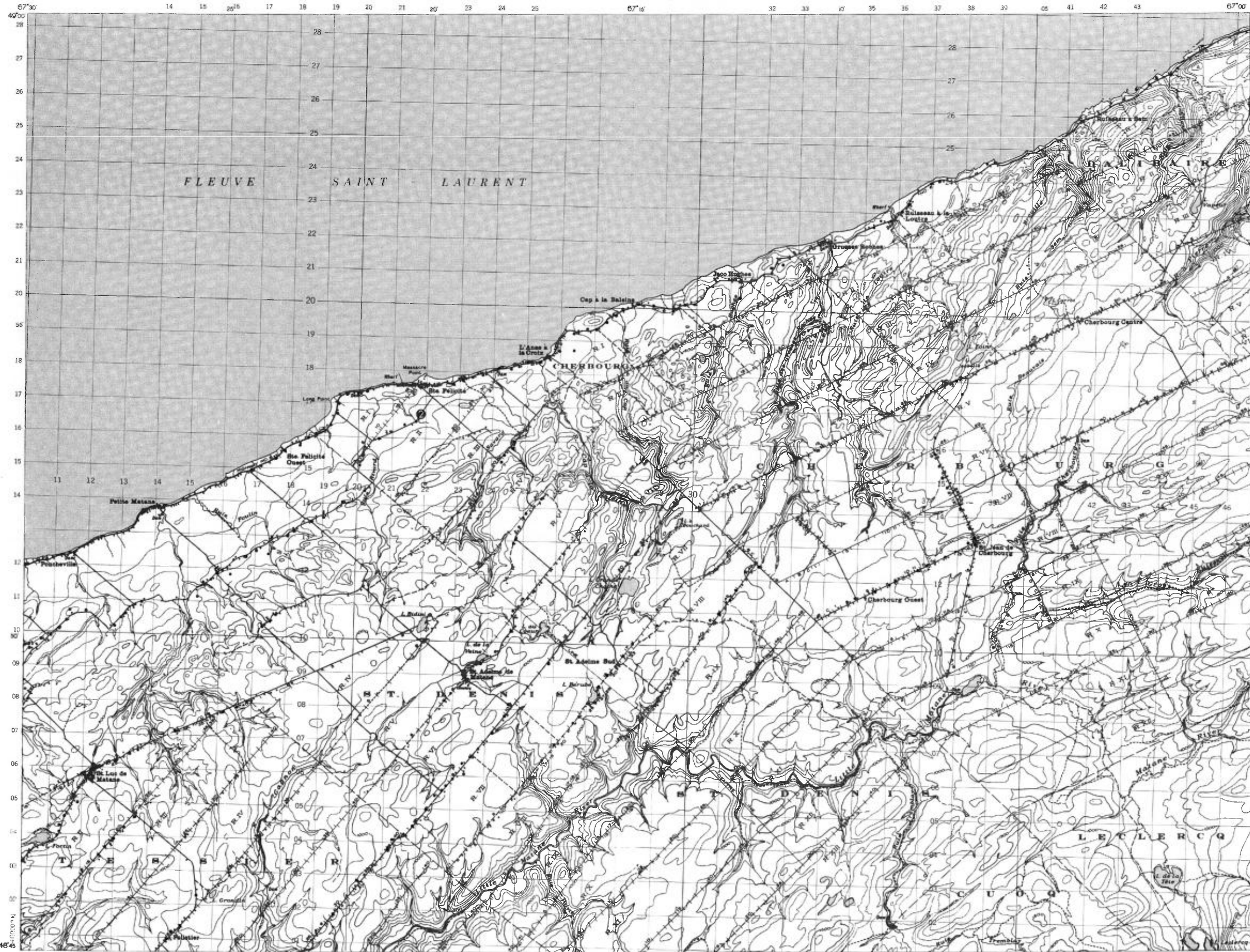


Échelle 1:125 000



Service de la  
 GÉOCHIMIE-GÉOPHYSIQUE

GÉOCHIMIE DES EAUX SOUTERRAINES  
**SAINTE-FÉLICITÉ**  
 RÉGION DU BAS SAINT-LAURENT



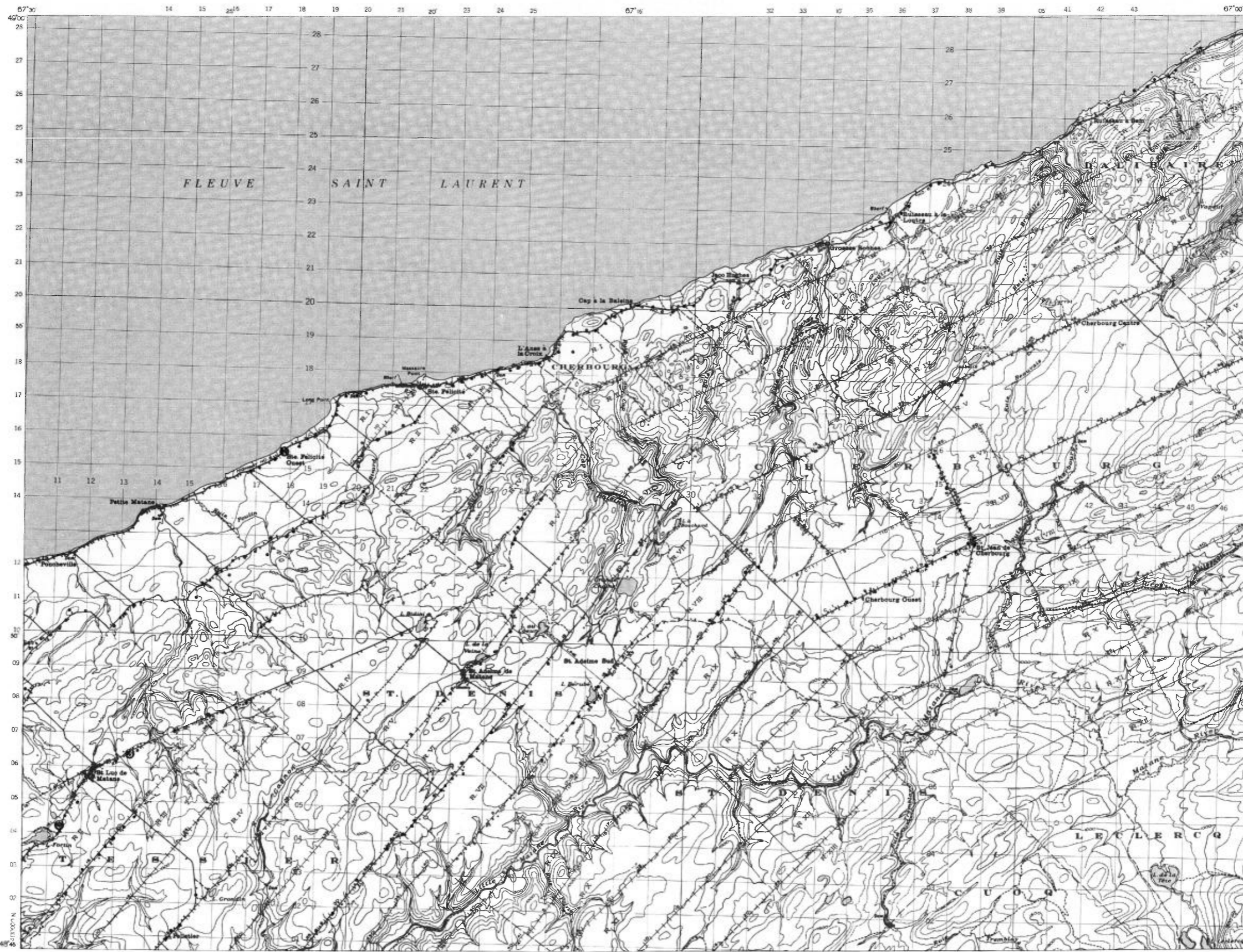
- TENEURS (ppb)
- 1
  - 2 - 3
  - ① 4 - 7
  - ② 8 - 15
  - ③ 16 - 31
  - ④ 32 - 63

Échelle 1:125 000  
 0 1 2 3  
 Kilomètres

Service de la  
 GÉOCHIMIE-GÉOPHYSIQUE

TENEURS (ppb)

- 0,1
- 0,2
- 0,3 - 0,5
- 0,6 - 1,1
- 1,2 - 2,3
- 2,4 - 4,9
- 5,0 - 9,9
- 10,0 - 19,9
- 20,0 - 39,9
- 40,0 - 79,9



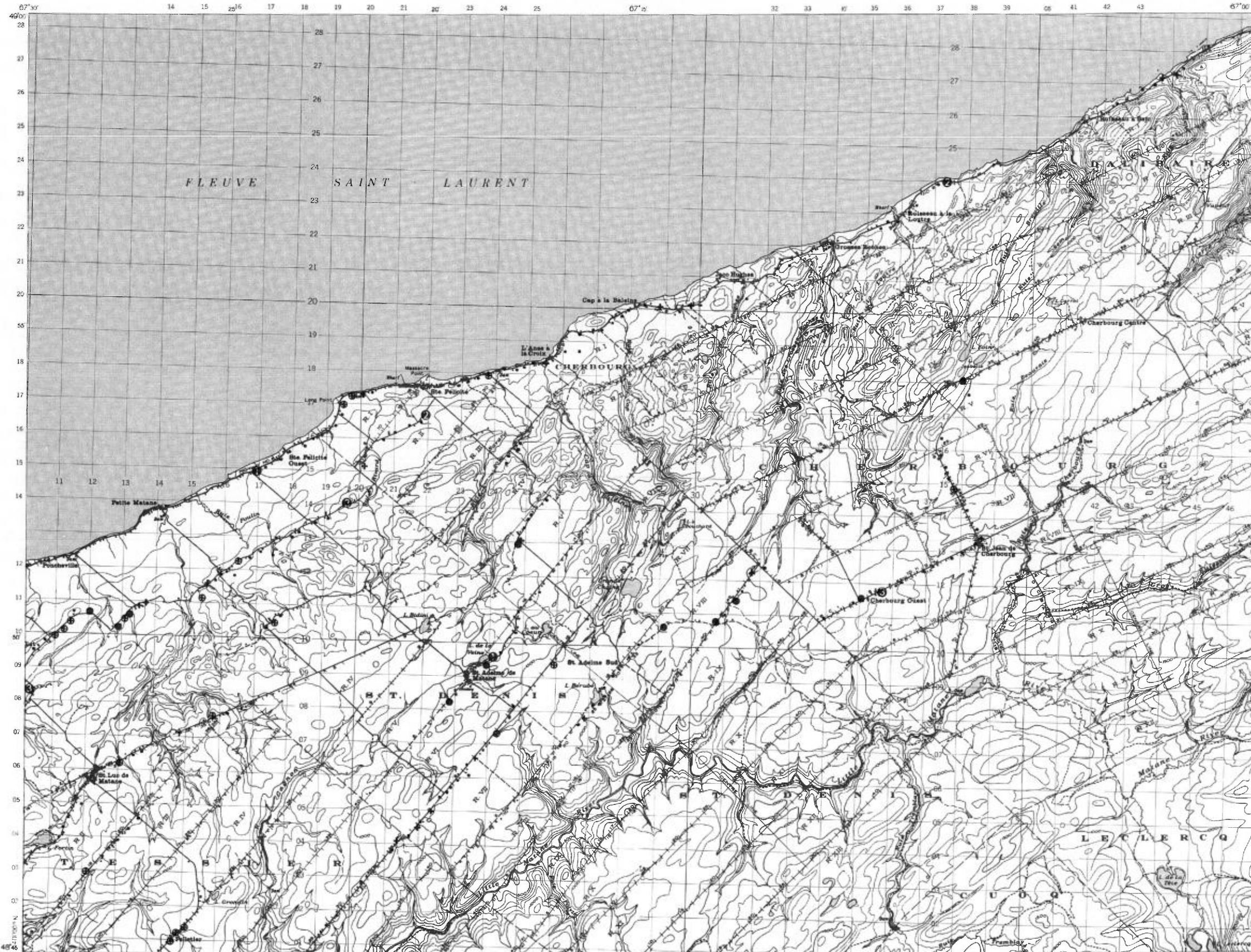
Échelle 1:125 000



Service de la  
 GÉOCHIMIE-GÉOPHYSIQUE

TENEURS (ppb)

- 5 - 10
- + 15 - 50
- ⊕ 55 - 145
- 150 - 455
- ① 460 - 895
- ② 900 - 1795
- ③ 1800 - 3595



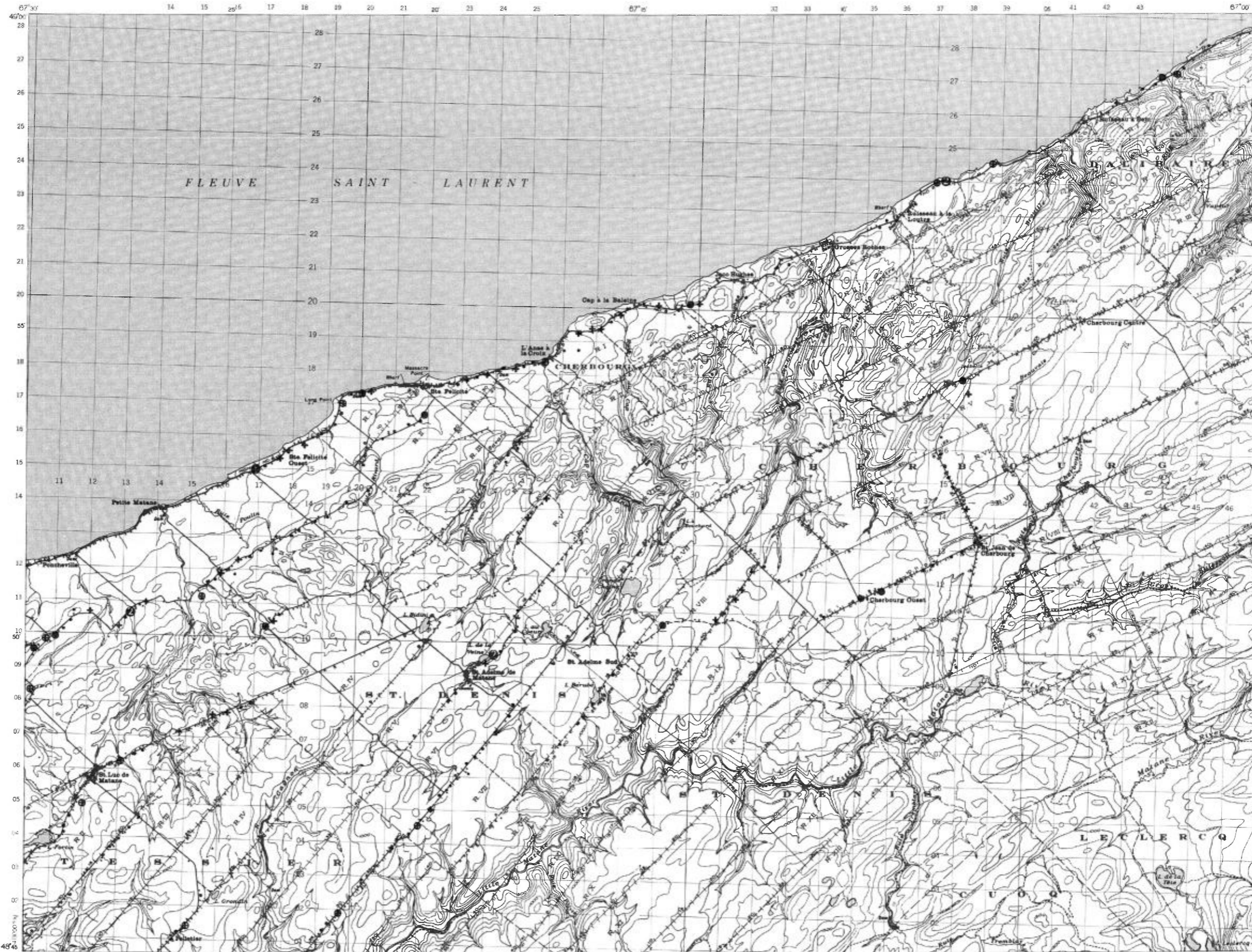
Échelle 1:125 000



Service de la  
 GÉOCHIMIE-GÉOPHYSIQUE

TENEURS (ppm)

- 0,1
- + 0,2
- ⊕ 0,3 - 0,4
- 0,5 - 1,3
- ⊙ 1,4 - 2,7
- ⊗ 2,8 - 5,5
- ⦿ 5,6 - 11,1

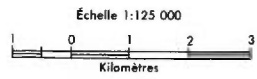


Échelle 1:125 000  
 1 0 1 2 3  
 Kilomètres

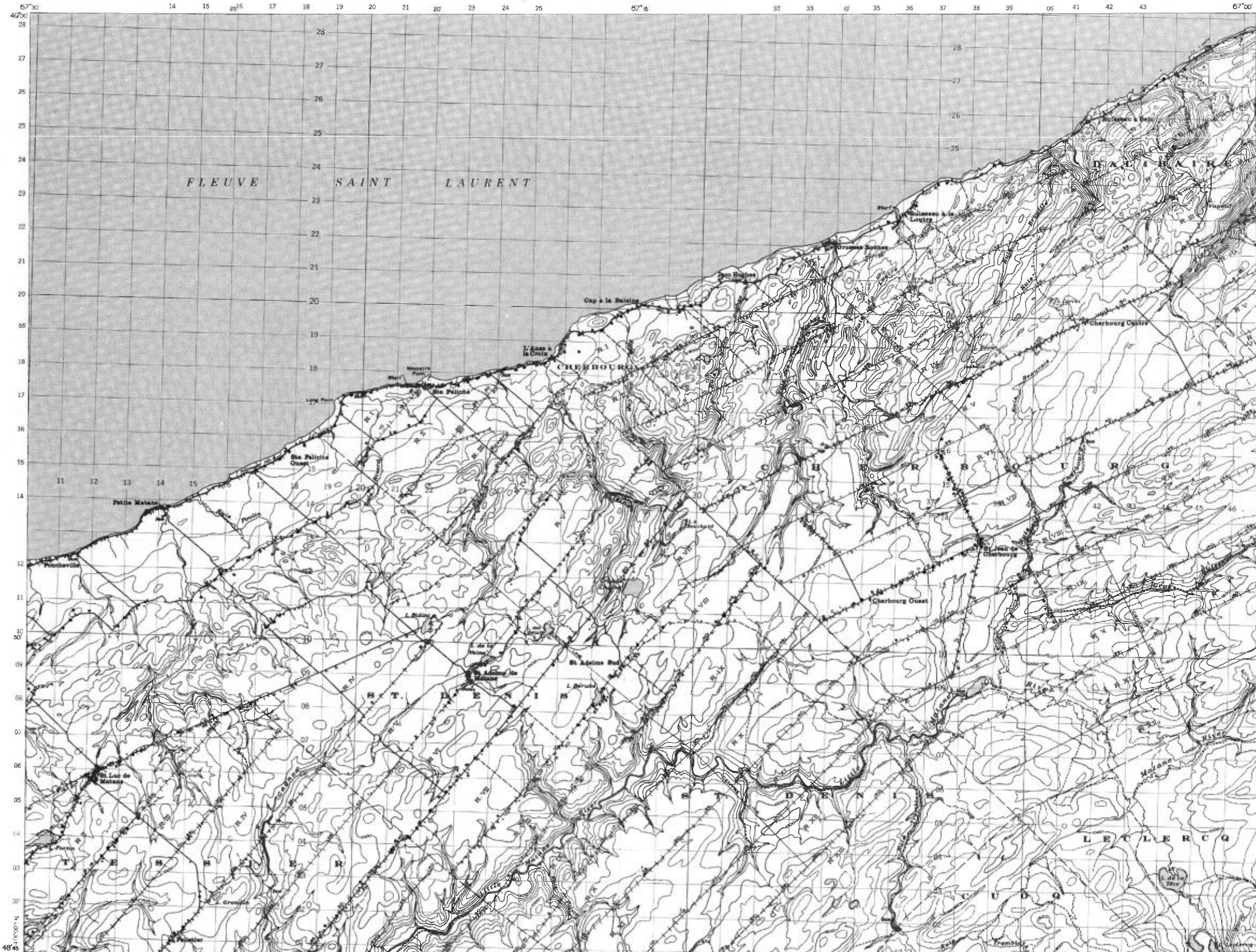
Service de la  
 GÉOCHIMIE-GÉOPHYSIQUE

TENEURS (ppb)

- 1
- 2
- ① 3 - 5
- ② 6 - 11

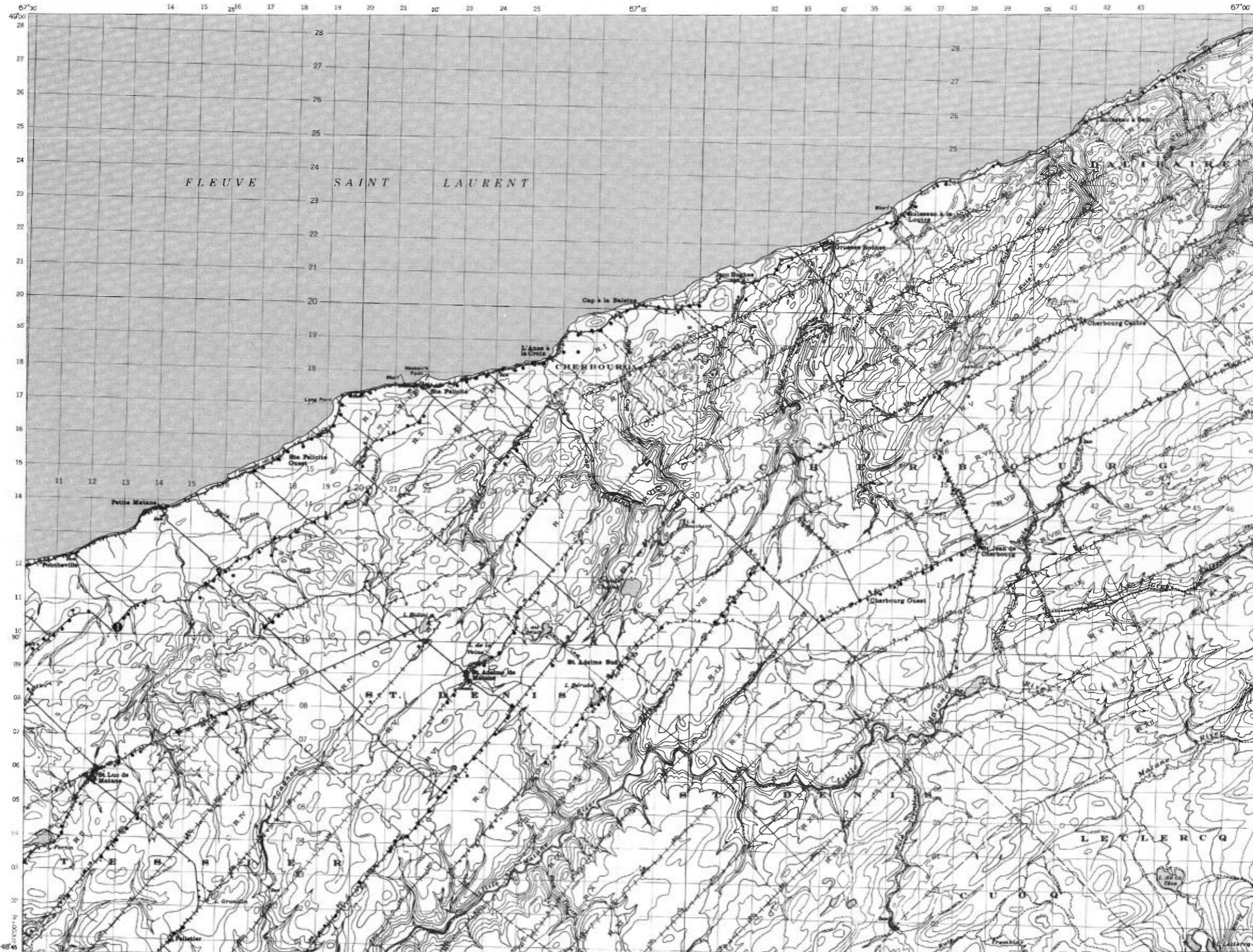


Service de la  
GÉOCHIMIE-GÉOPHYSIQUE



TENEURS (ppb)

- 2
- + 3 - 5
- ⊕ 6 - 11
- 12 - 23
- ⊙ 24 - 47
- ⦿ 48 - 95



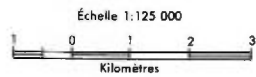
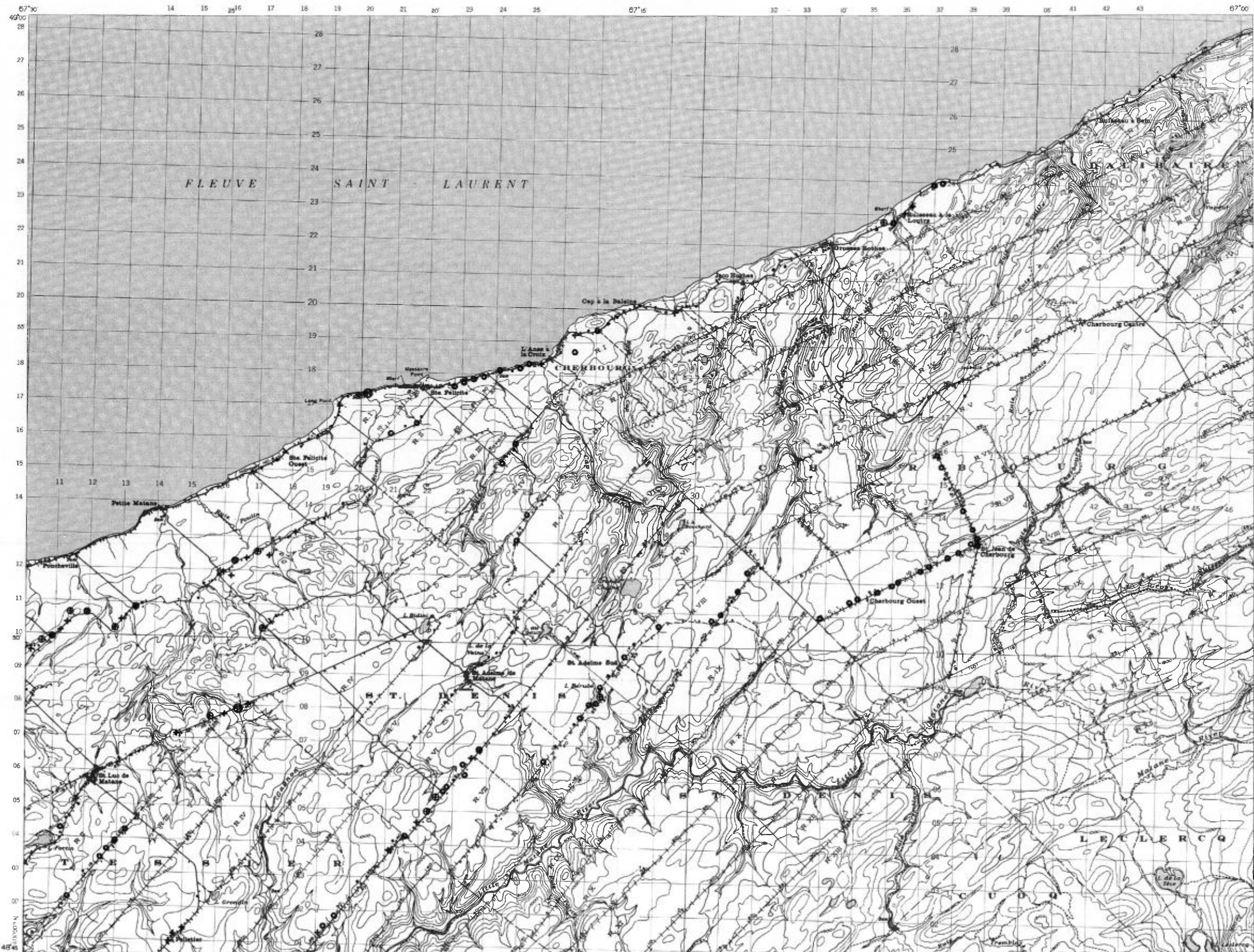
Échelle 1:125 000



Service de la  
 GÉOCHIMIE-GÉOPHYSIQUE

TENEURS (ppm)

- 0,01 — 0,04
- 0,05 — 0,07
- ⊕ 0,08 — 0,12
- ⊗ 0,13 — 0,22
- 0,23 — 0,54
- 0,55 — 1,09
- 1,10 — 2,19
- 2,20 — 4,39
- 4,40 — 8,79

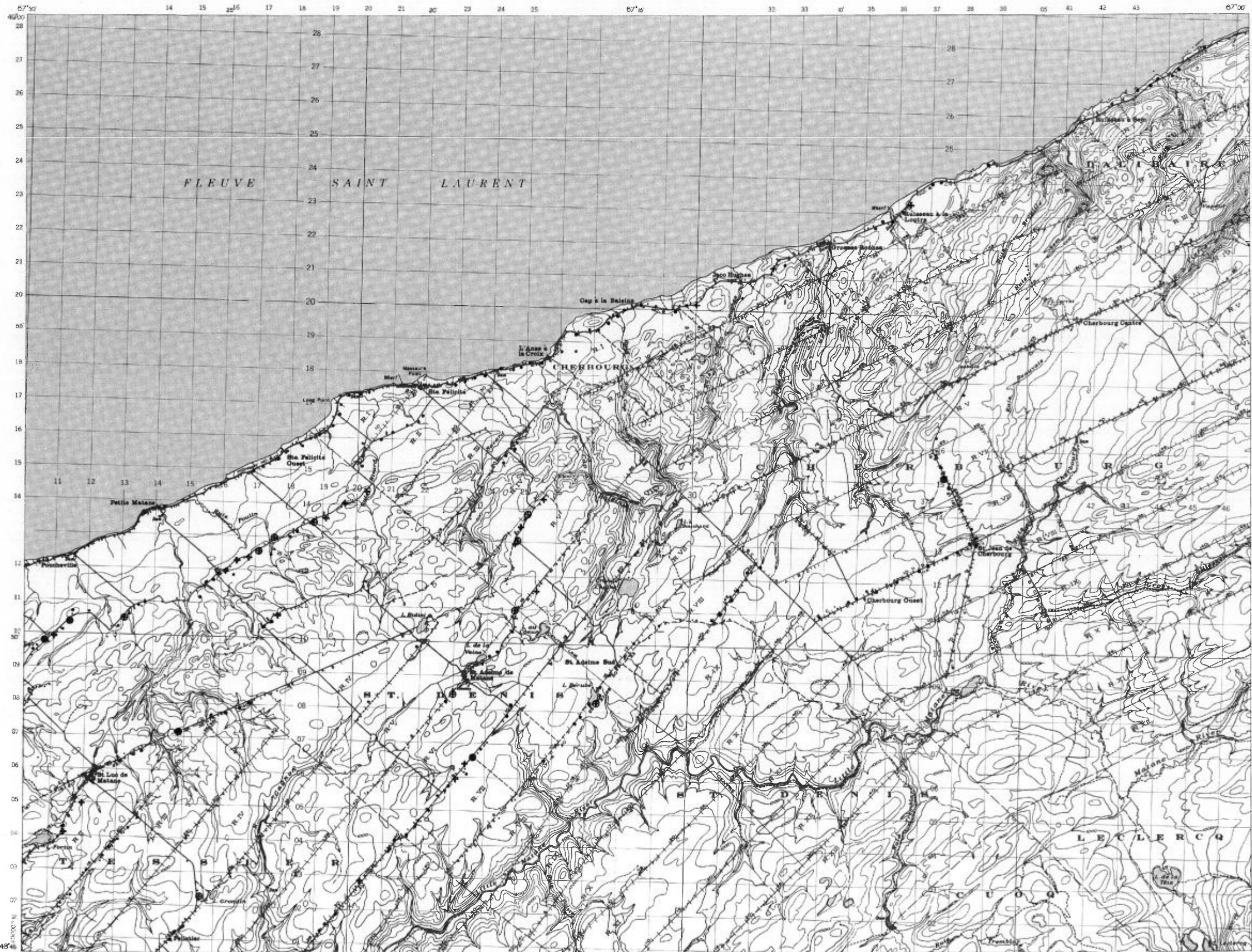


Service de la  
 GÉOCHIMIE-GÉOPHYSIQUE



TENEURS (ppb)

- 2 - 3
- + 4 - 5
- ⊕ 6 - 8
- 9 - 19
- ⊙ 20 - 39
- ⦿ 40 - 79
- ⦿ 80 - 159



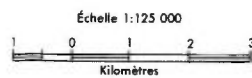
Échelle 1:125 000



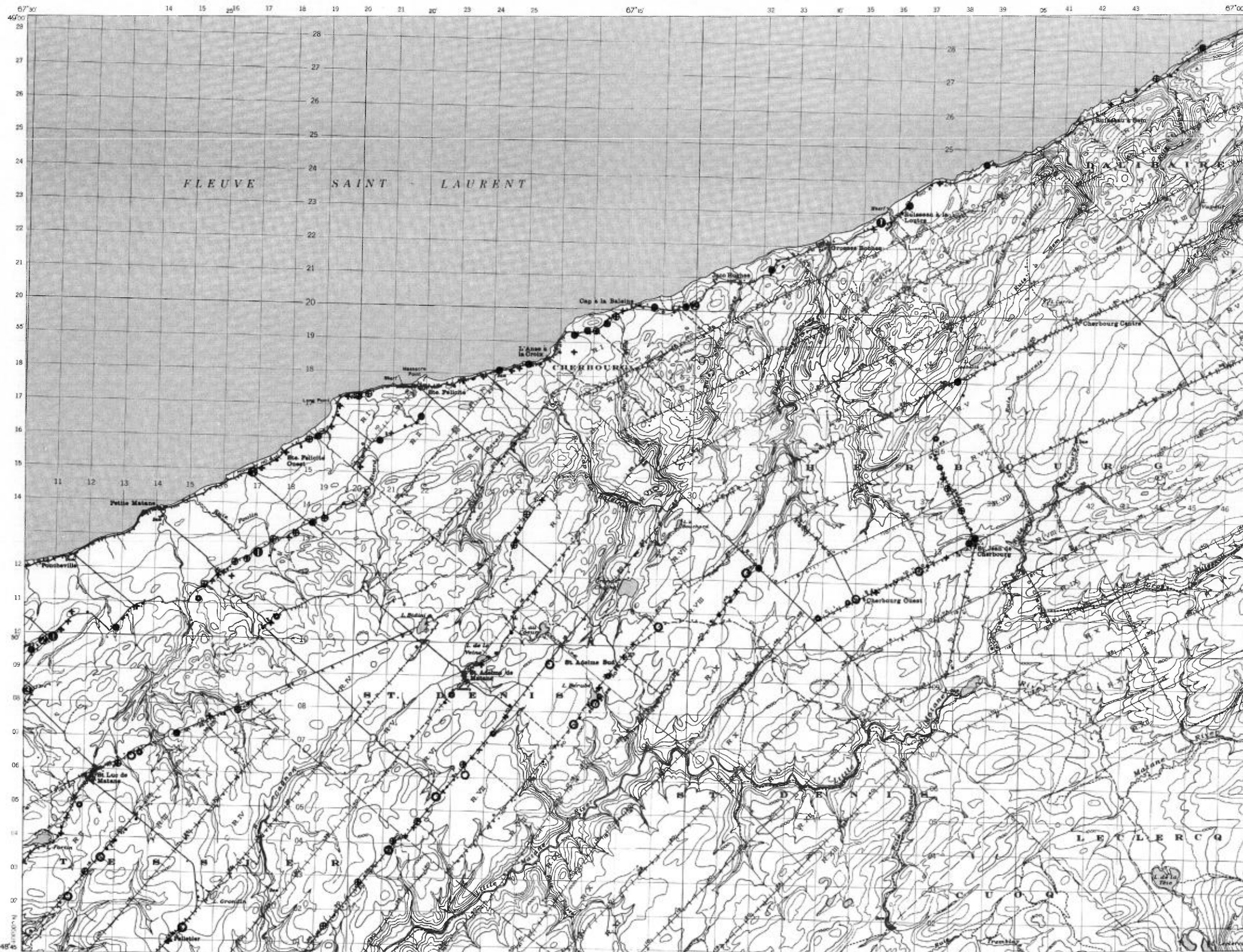
Service de la  
GÉOCHIMIE-GÉOPHYSIQUE

TENEURS (ppm)

- 1 - 4
- 5 - 6
- 7 - 17
- + 18 - 34
- ⊕ 35 - 65
- 66 - 149
- 150 - 299
- 300 - 599
- 600 - 1199
- 1200 - 2399

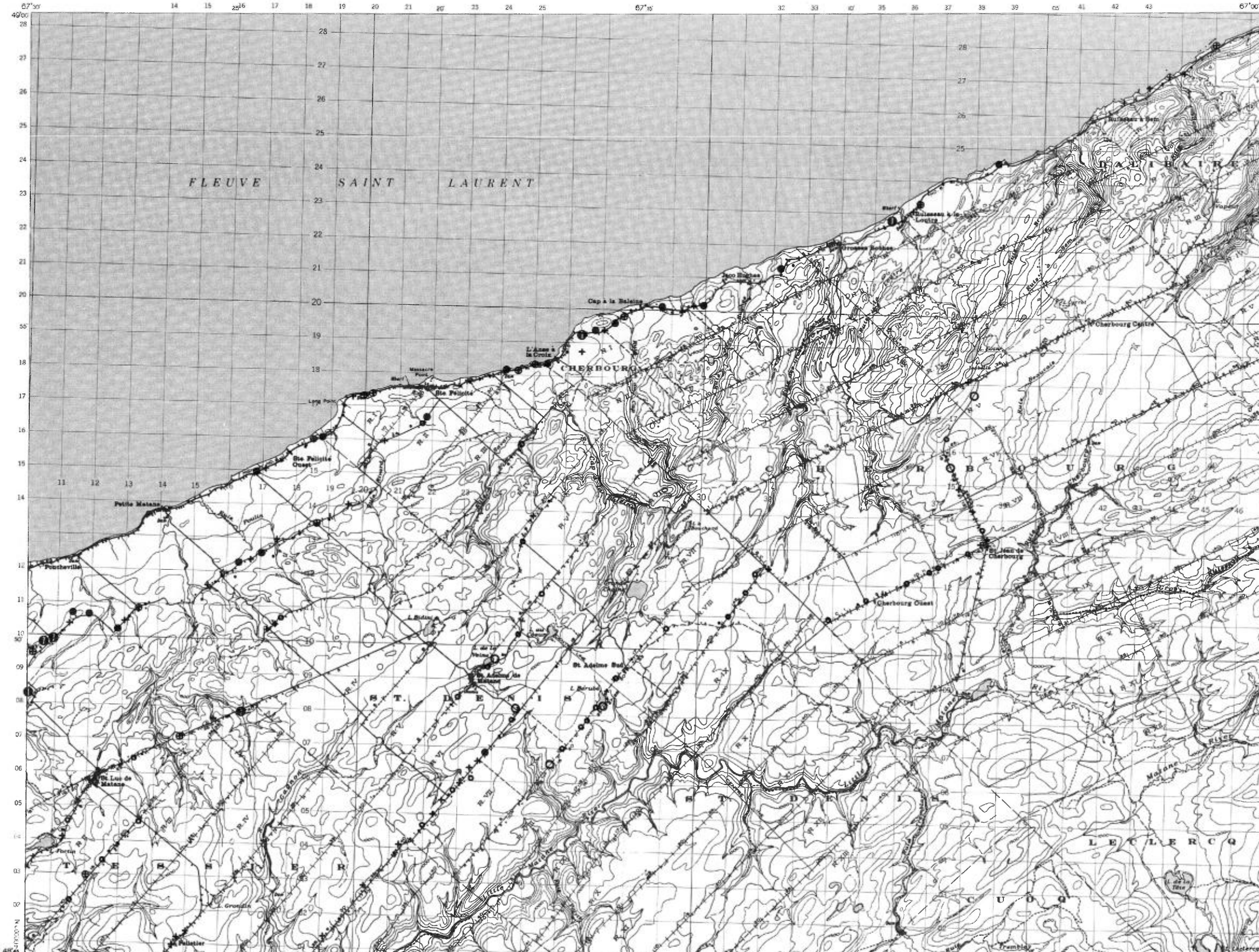


Service de la  
 GÉOCHIMIE-GÉOPHYSIQUE



TENEURS (ppm)

- 0,9 — 2,9
- 3,0 — 4,5
- 4,6 — 11,4
- + 11,5 — 26,9
- ⊕ 27,0 — 54,9
- 55,0 — 122,9
- 123,0 — 249,9
- 250,0 — 499,9
- 500,0 — 999,9
- 1000,0 — 1999,9



Échelle 1:125 000

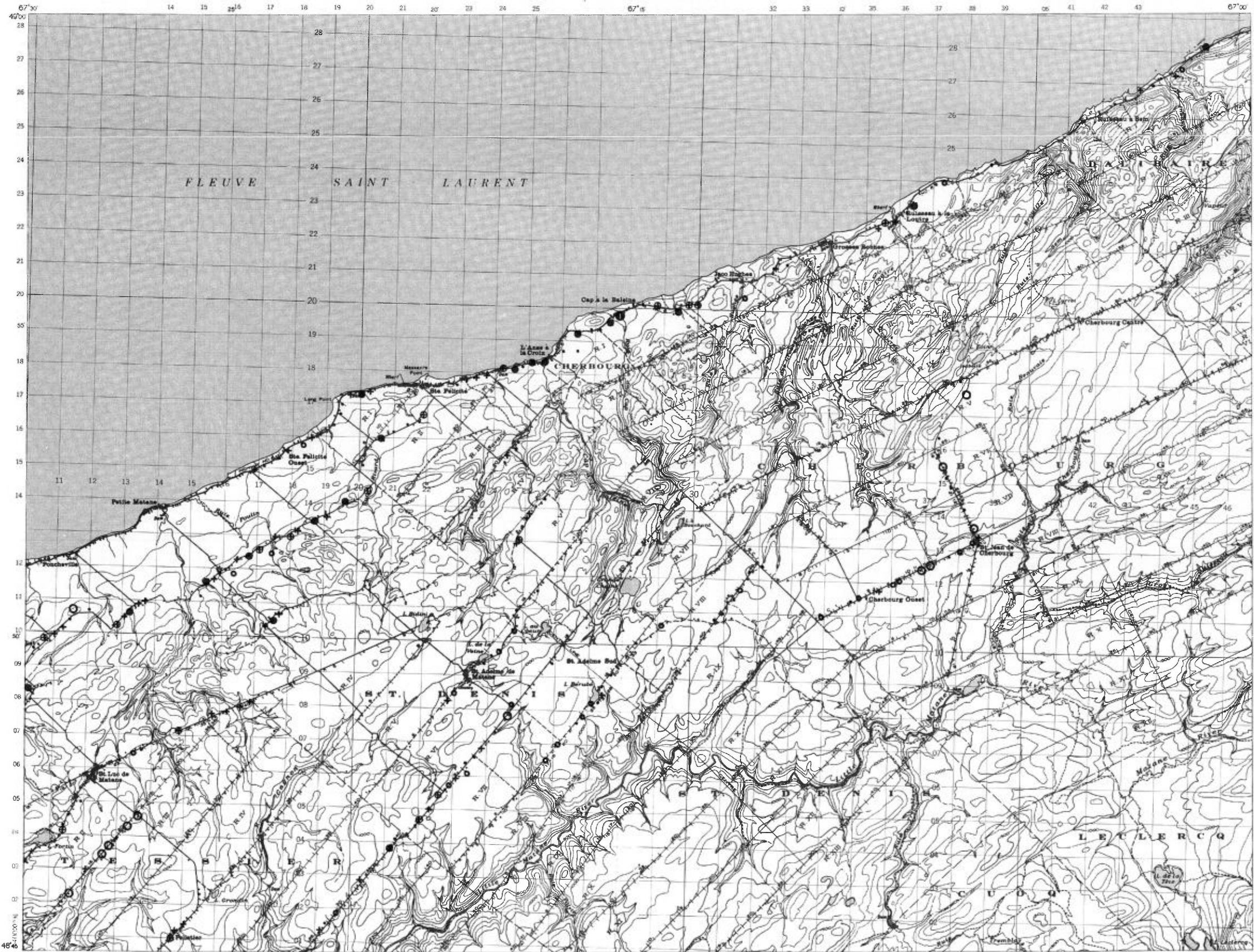


Service de la  
 GÉOCHIMIE-GÉOPHYSIQUE

GÉOCHIMIE DES EAUX SOUTERRAINES  
**SAINTE-FÉLICITÉ**  
 RÉGION DU BAS SAINT-LAURENT

TENEURS (ppm)

- 0,2 - 0,5
- 0,5 - 0,9
- 1,0 - 2,1
- + 2,2 - 3,5
- ⊕ 3,6 - 4,9
- 5,0 - 8,9
- ① 9,0 - 17,9
- ② 18,0 - 35,9
- ③ 36,0 - 71,9



Échelle 1:125 000

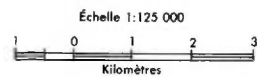


Service de la  
 GÉOCHIMIE-GÉOPHYSIQUE

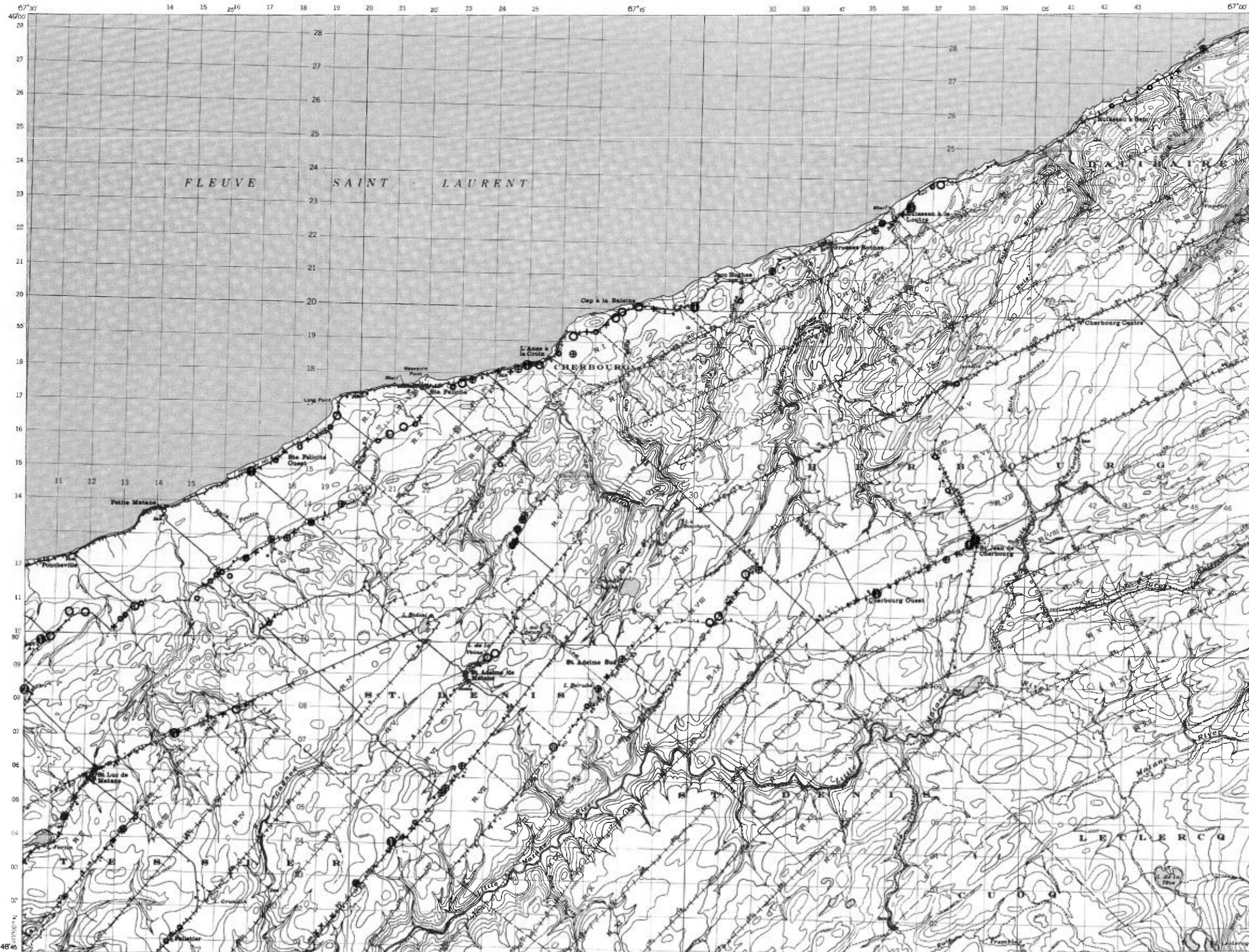
GÉOCHIMIE DES EAUX SOUTERRAINES  
**SAINTE-FÉLICITÉ**  
 RÉGION DU BAS SAINT-LAURENT

TENEURS (ppm)

- 1,0 — 29,9
- 30,0 — 44,9
- 45,0 — 72,9
- + 73,0 — 88,9
- ⊕ 89,0 — 104,9
- 105,0 — 139,9
- ⊖ 140,0 — 279,9
- 280,0 — 559,9

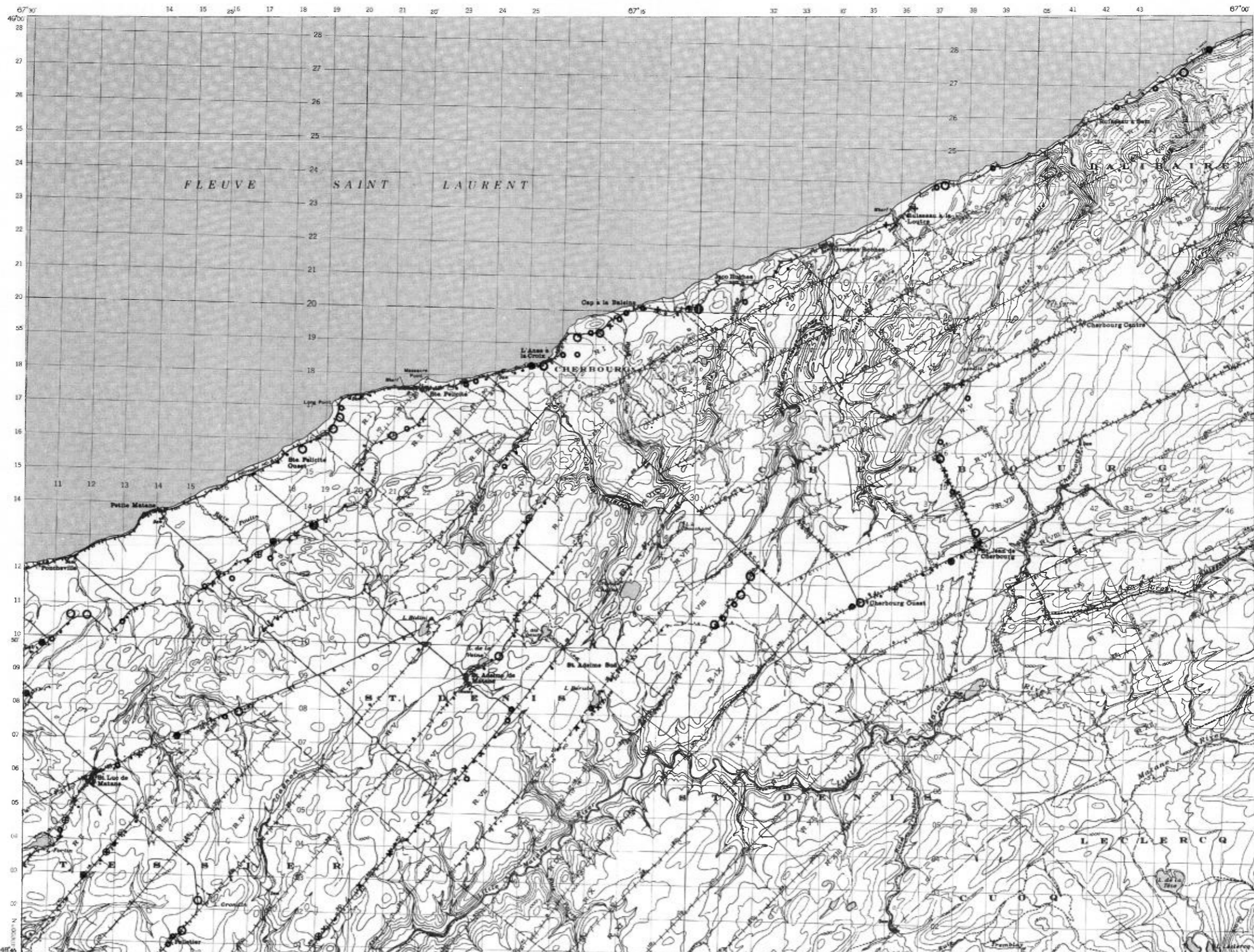


Service de la  
 GÉOCHIMIE-GÉOPHYSIQUE



TENEURS (ppm)

- 0,1 — 4,2
- 4,3 — 6,3
- 6,4 — 11,9
- + 12,0 — 16,2
- ⊕ 16,3 — 20,0
- 20,1 — 27,9
- ⊕ 28,0 — 55,9
- 56,0 — 111,9



Échelle 1:125 000



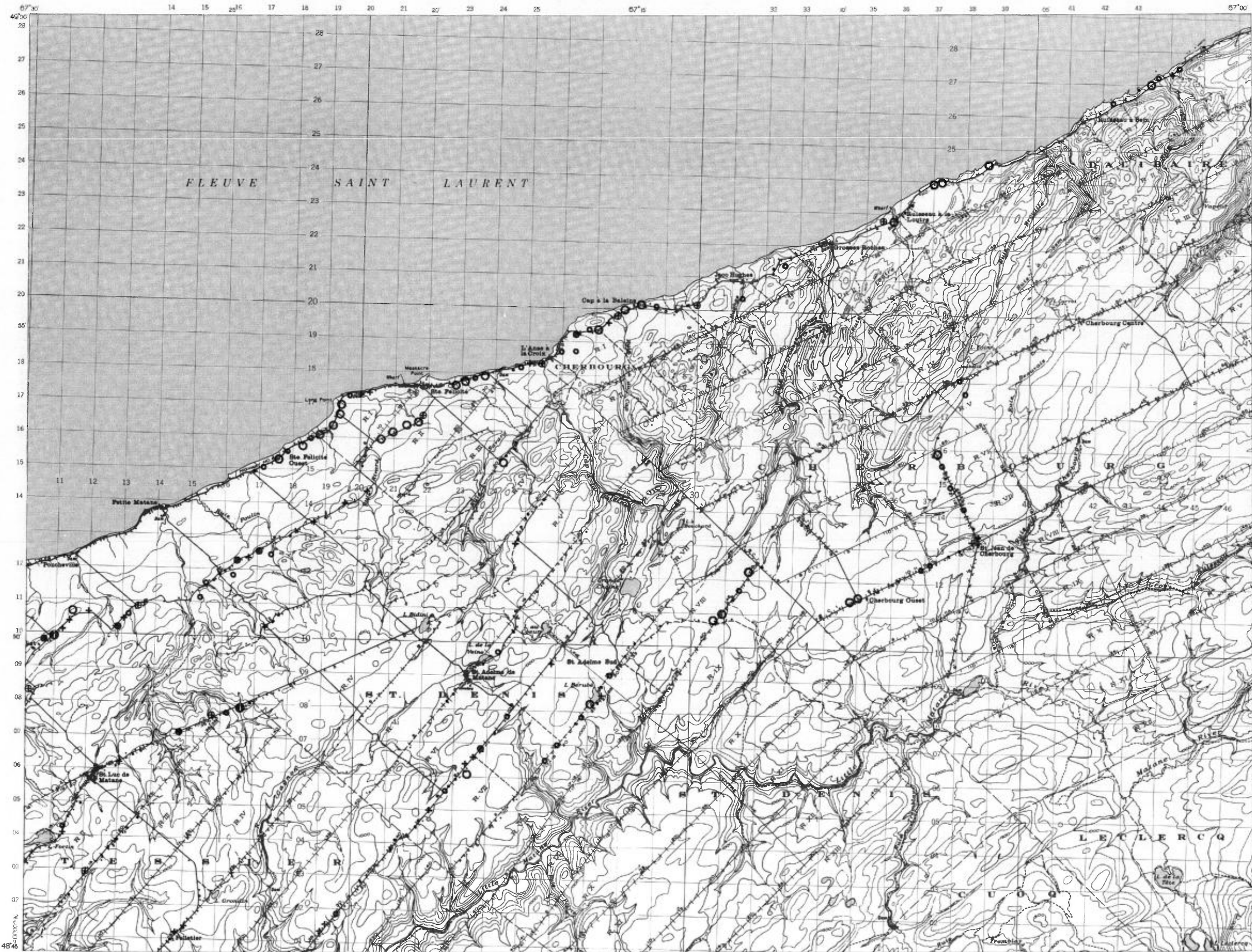
Service de la  
 GÉOCHIMIE-GÉOPHYSIQUE

TENEURS (ppb)

- 0,1 — 5,5
- 5,6 — 7,9
- 8,0 — 15,4
- ⊕ 15,5 — 25,9
- ⊗ 26,0 — 41,9
- ⊙ 42,0 — 115,0
- ⊠ 115,1 — 229,9
- ⊡ 230,0 — 459,9
- ⊢ 460,0 — 919,9
- ⊣ 920,0 — 1839,9
- ⊤ 1840,0 — 3679,9

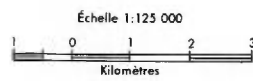


Service de la  
 GÉOCHIMIE-GÉOPHYSIQUE

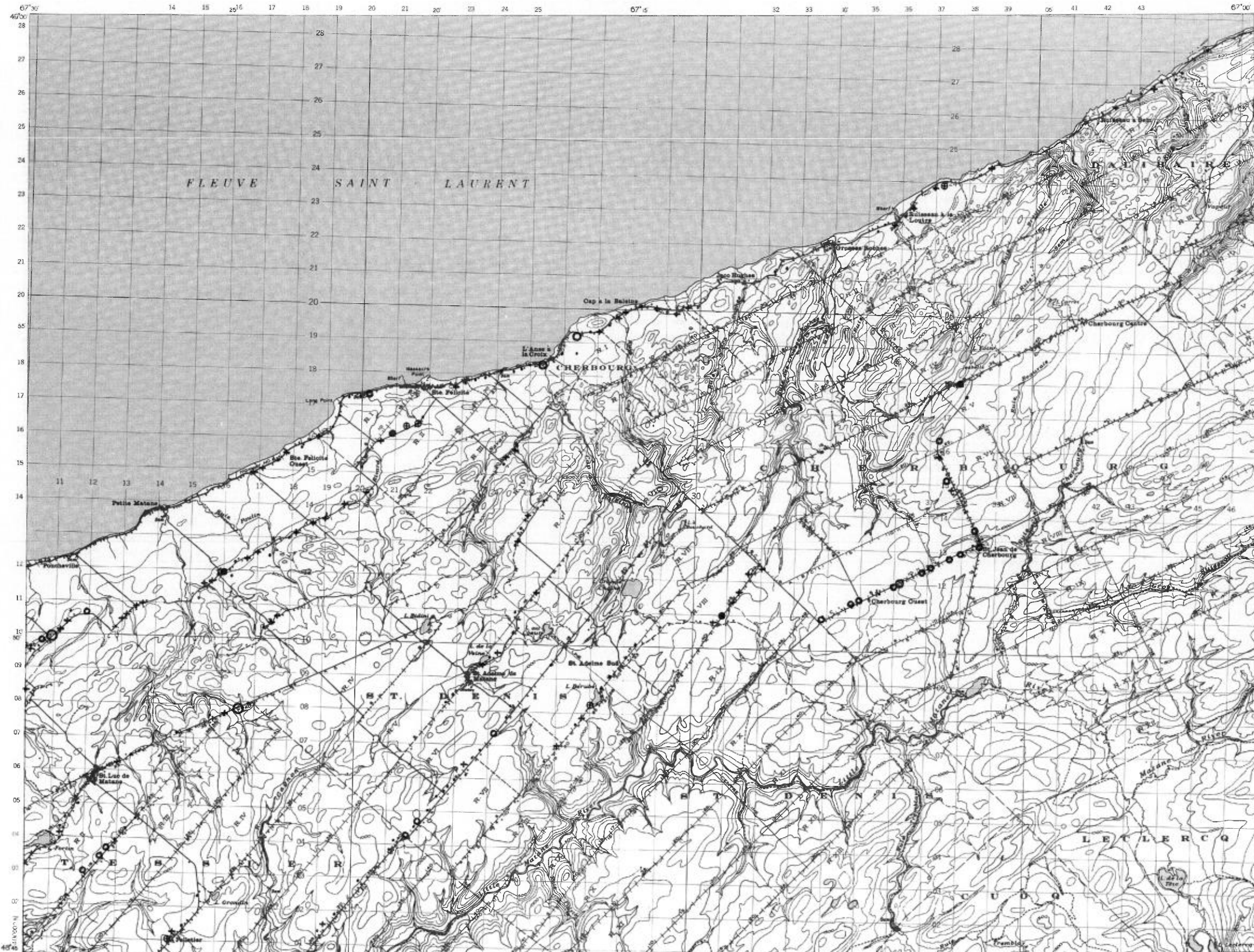


TENEURS (unité)

- 0.0 - 5.7
- ⊕ 5.8 - 6.2
- + 6.3 - 6.7
- 6.8 - 7.2
- 7.3 - 7.7
- 7.8 - 8.2
- 8.3 - 14.0



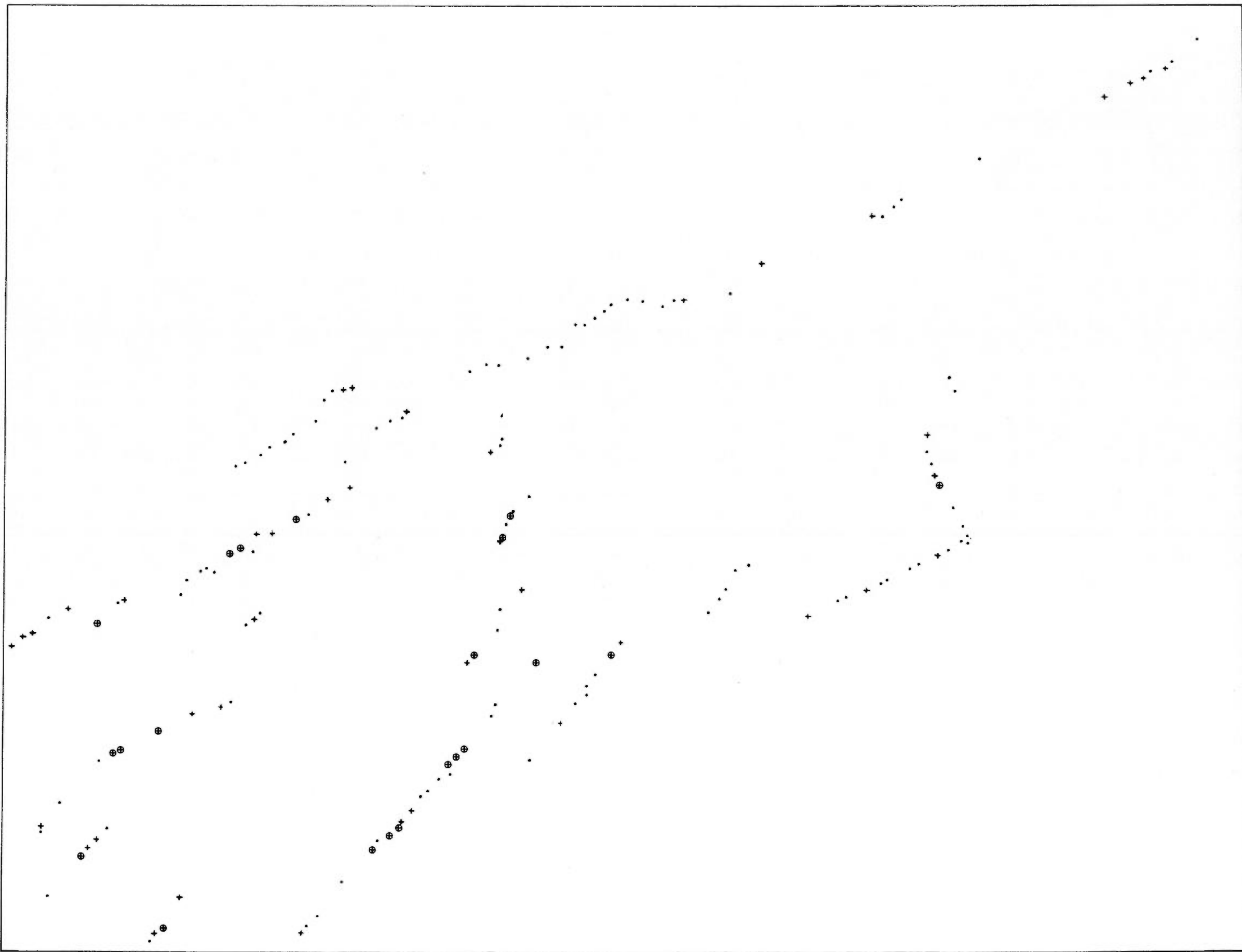
Service de la  
GÉOCHIMIE-GÉOPHYSIQUE



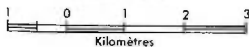


PROFONDEUR DES PUIITS

- pieds
- 1 - 75
  - + 76 - 150
  - ⊕ 151 - 300
  - 301 - 600

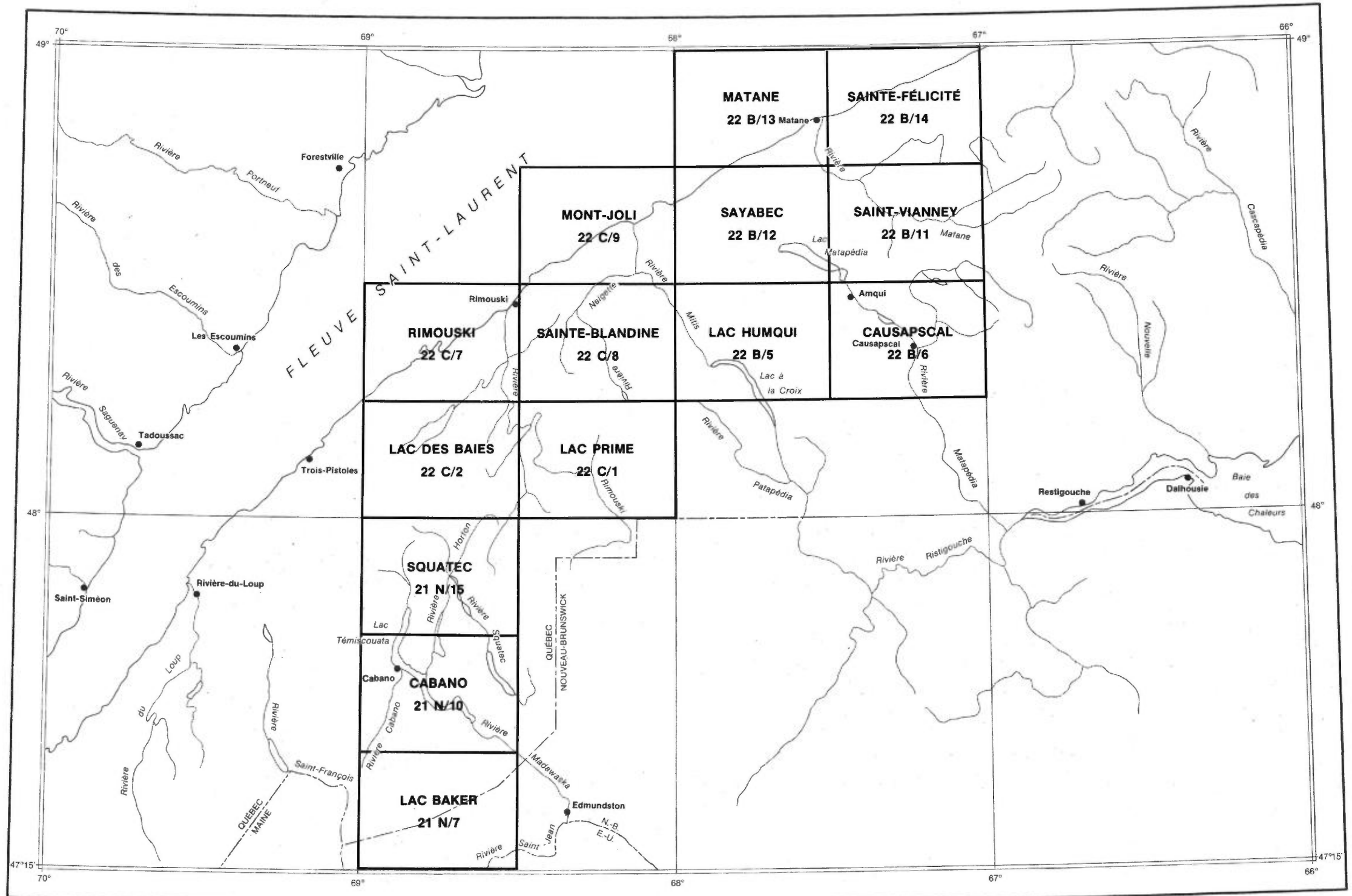


Échelle 1:125 000



Service de la  
GÉOCHIMIE-GÉOPHYSIQUE

PROFONDEUR  
DES PUIITS

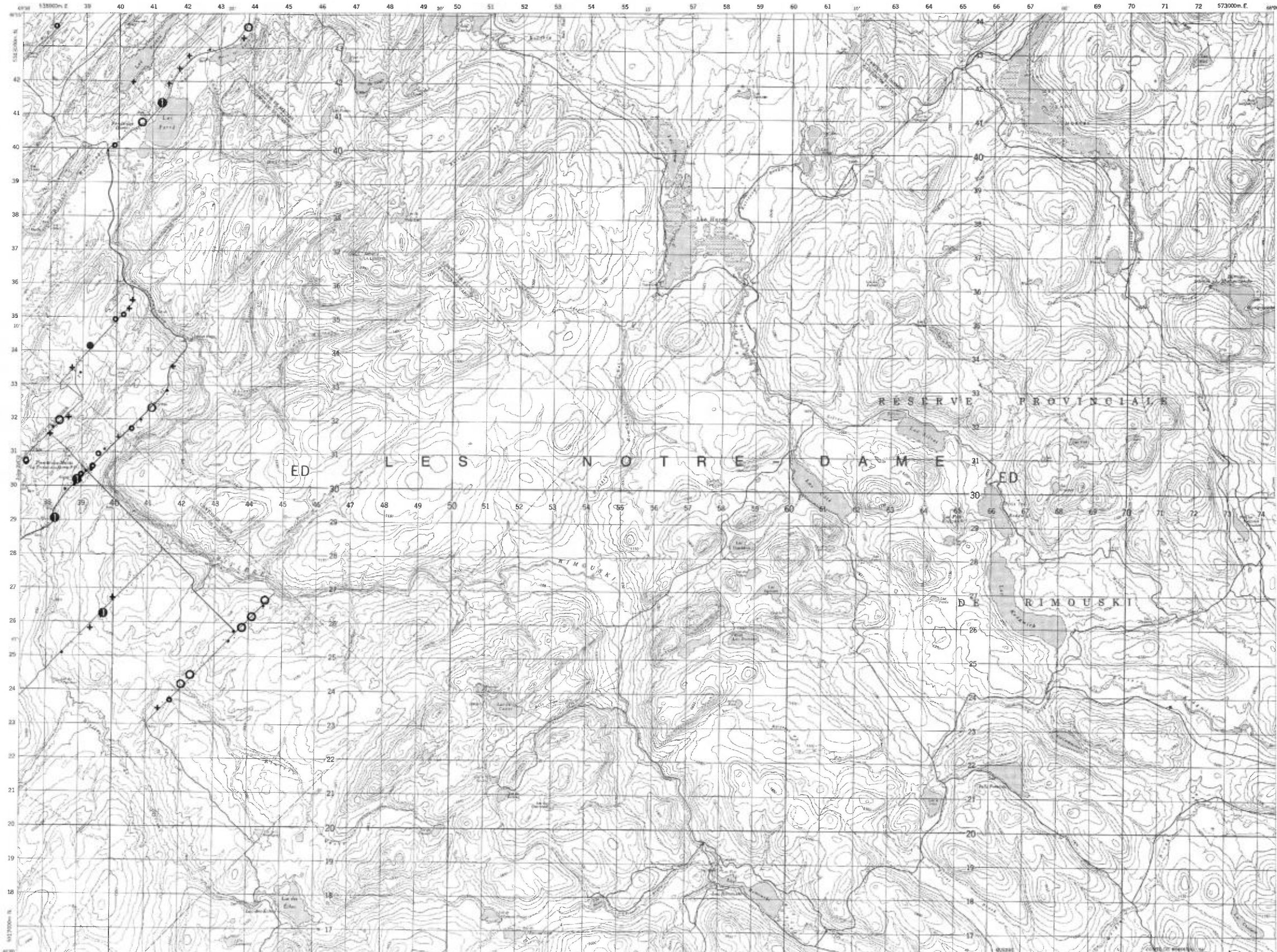


**INDEX DES CARTES GÉOCHIMIQUES  
RÉGION DU BAS SAINT-LAURENT**



TENEURS (ppb)

- 1 - 8
- ◊ 9 - 13
- 14 - 29
- ⊕ 30 - 54
- ⊗ 55 - 89
- 90 - 179
- ⊙ 180 - 359
- ⊚ 360 - 719
- ⊛ 720 - 1439
- ⊜ 1440 - 2879



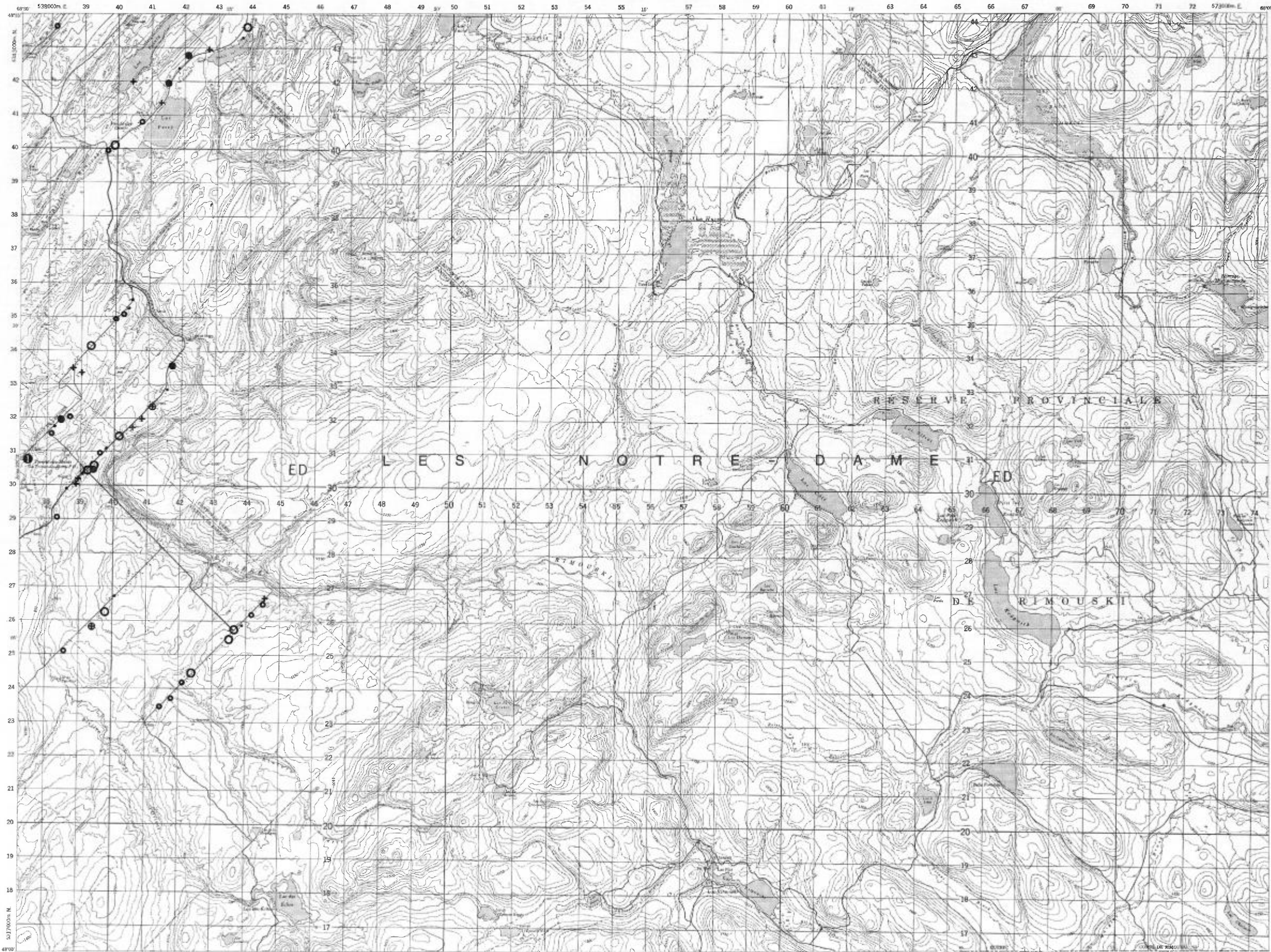
Échelle 1:125 000



Service de la  
 GÉOCHIMIE-GÉOPHYSIQUE

TENEURS (ppb)

- 4 - 12
- 14 - 34
- 36 - 144
- + 146 - 338
- ⊕ 340 - 738
- 740 - 1498
- ① 1500 - 2998
- ② 3000 - 5998
- ③ 6000 - 11998
- ④ 12000 - 23998



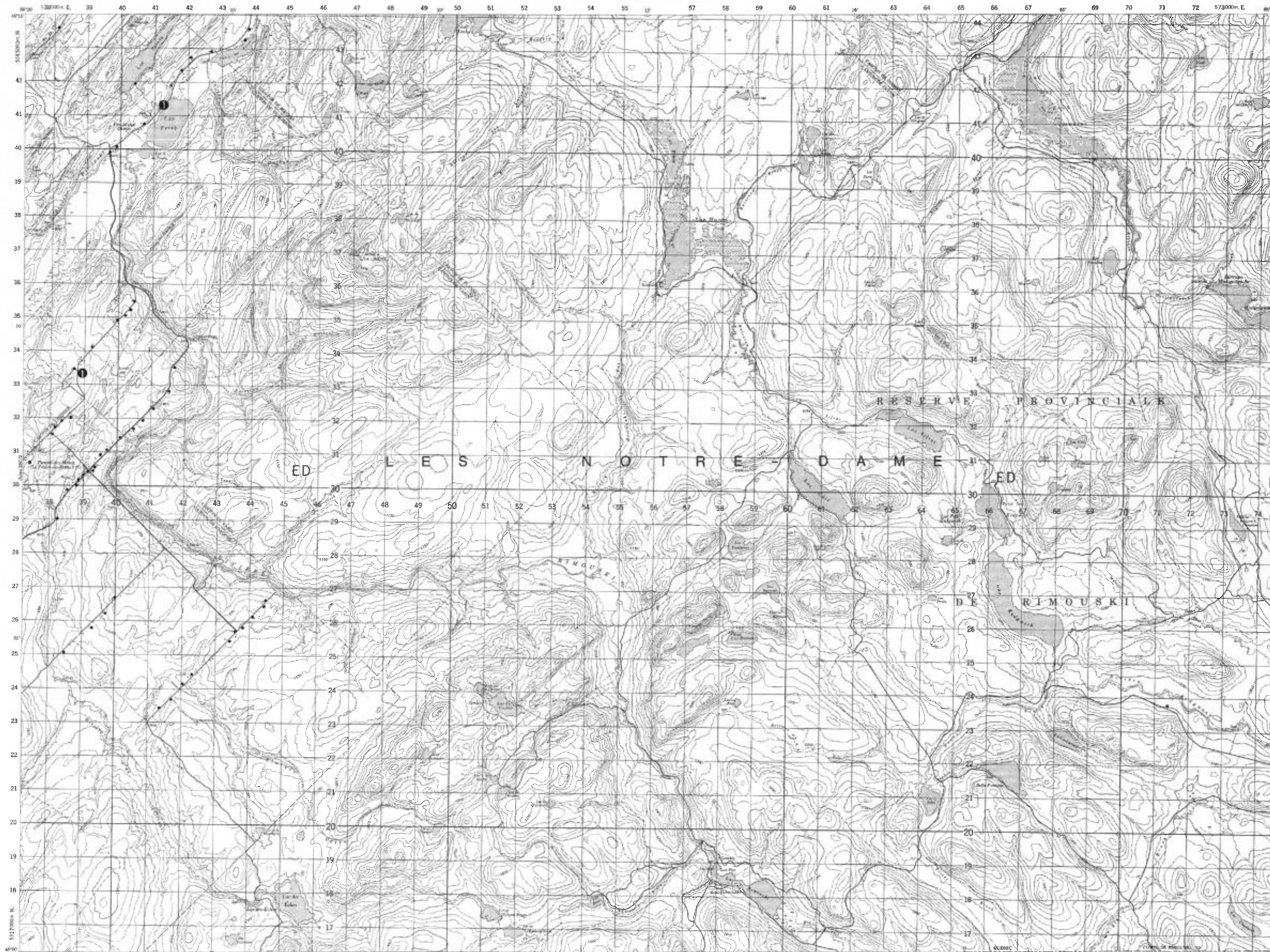
Échelle 1:125 000



Service de la  
 GÉOCHIMIE-GÉOPHYSIQUE

TENEURS (ppb)

- 1
- 2 - 4
- 5 - 9
- 10 - 19
- 20 - 39
- 40 - 79
- 80 - 159
- 160 - 219



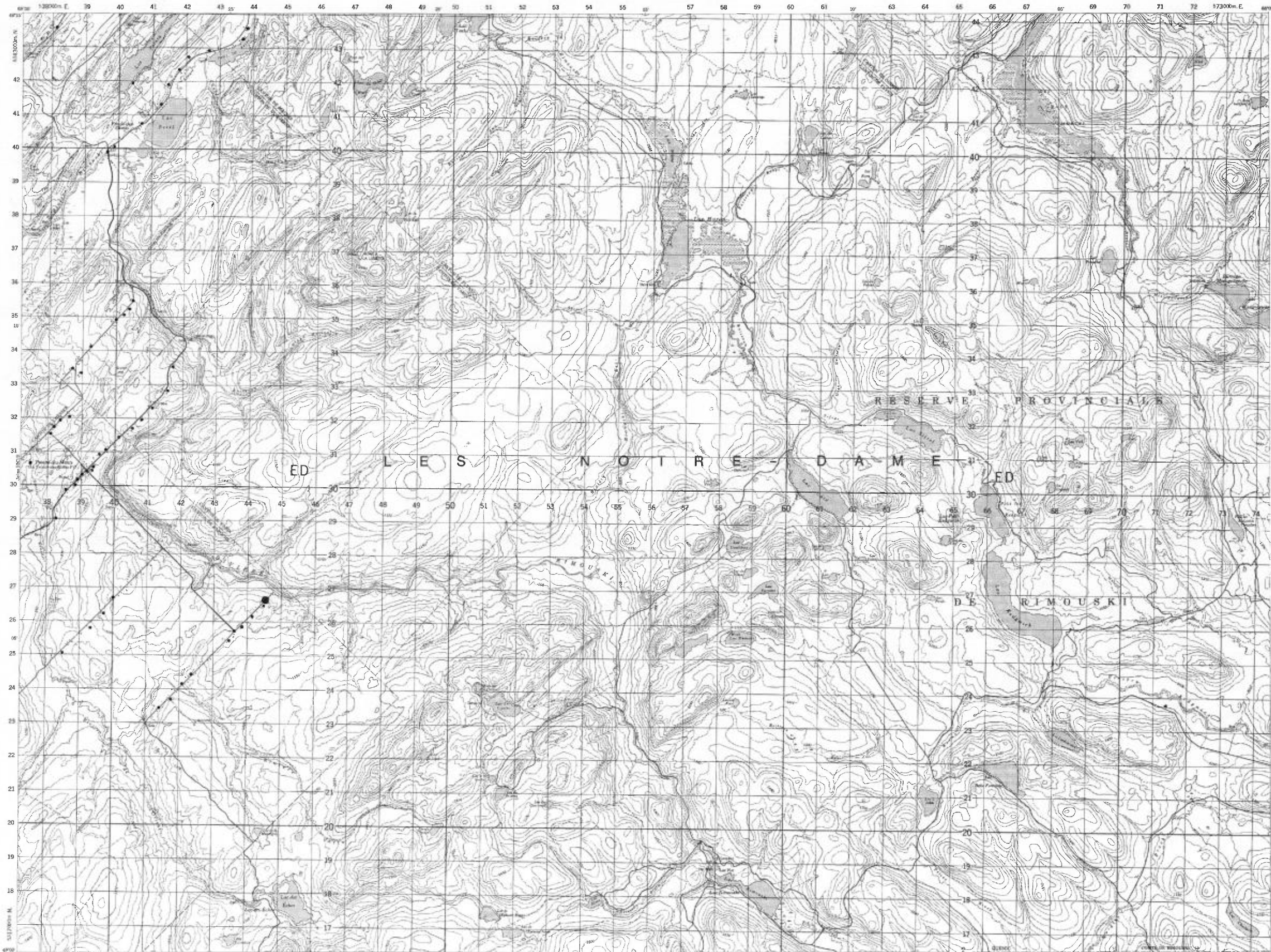
Échelle 1:125 000  
1 0 1 2 3  
Kilomètres

Service de la  
GÉOCHIMIE-GÉOPHYSIQUE

Pb

TENEURS (ppb)

- 1
- 2 - 5
- 6 - 11
- 12 - 24
- 25 - 49
- 50 - 99
- 100 - 199
- 200 - 399

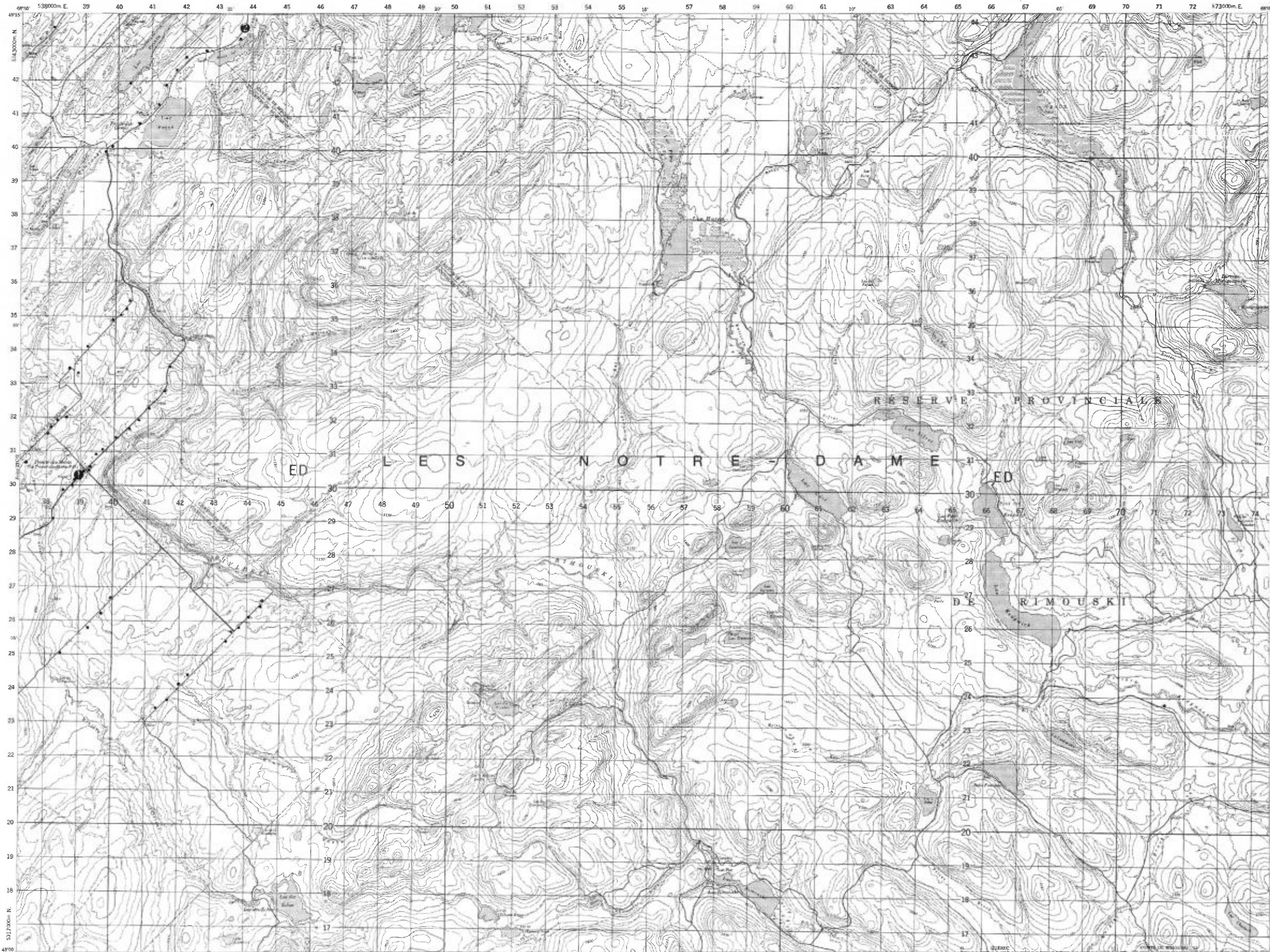


Échelle 1:125 000  
0 1 2 3  
Kilomètres

Service de la  
GÉOCHIMIE-GÉOPHYSIQUE

TENEURS (ppb)

- 1
- 2 - 3
- 4 - 7
- 8 - 15
- 16 - 31
- 32 - 63



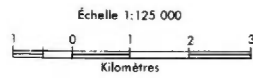
Échelle 1:125 000



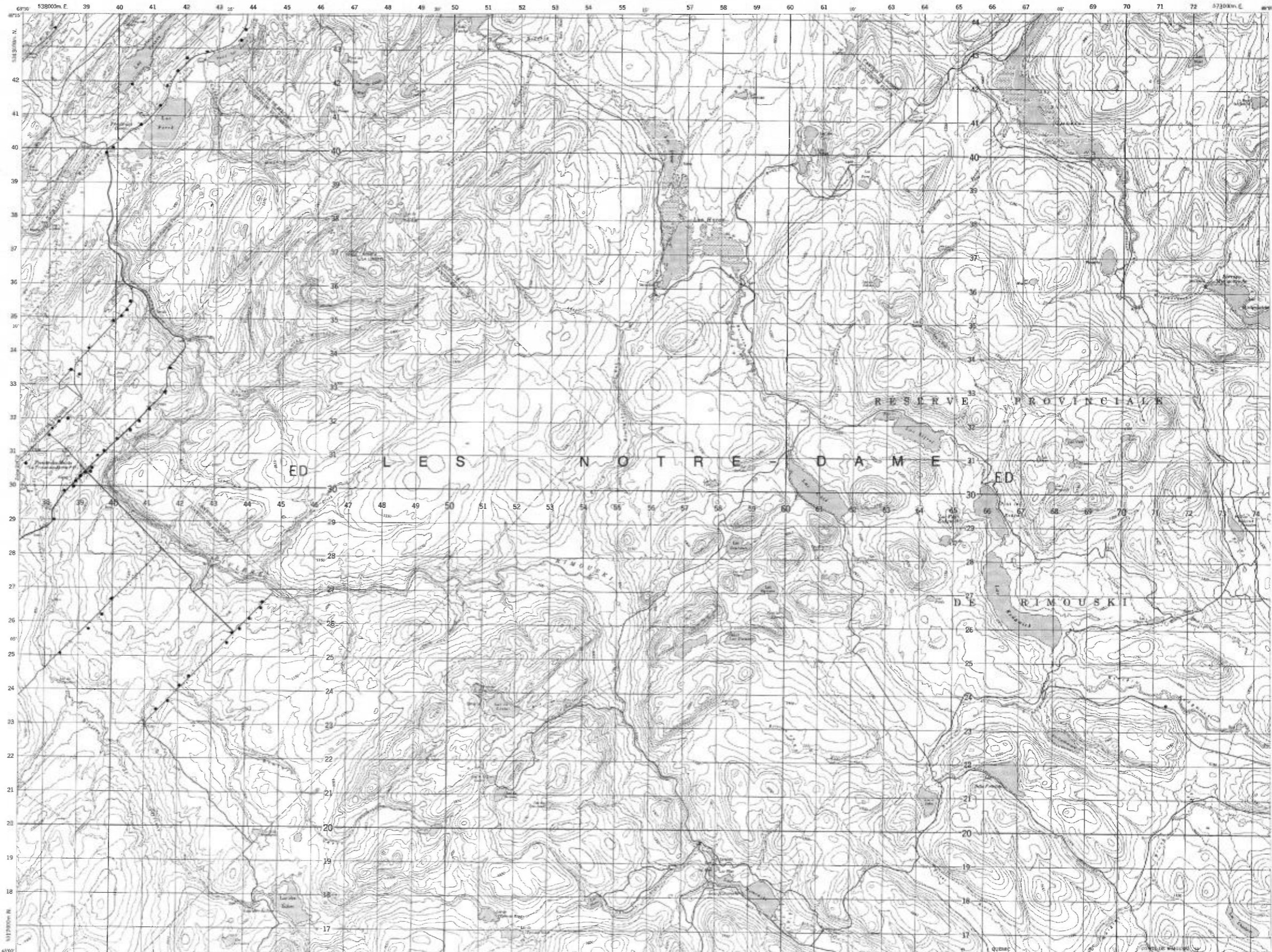
Service de la  
 GÉOCHIMIE-GÉOPHYSIQUE

TENEURS (ppb)

- 0.1
- 0.2
- ① 0.3 — 0.5
- ② 0.6 — 1.1
- ③ 1.2 — 2.3
- ④ 2.4 — 4.9
- ⑤ 5.0 — 9.9
- ⑥ 10.0 — 19.9
- ⑦ 20.0 — 39.9
- ⑧ 40.0 — 79.9



Service de la  
GÉOCHIMIE-GÉOPHYSIQUE



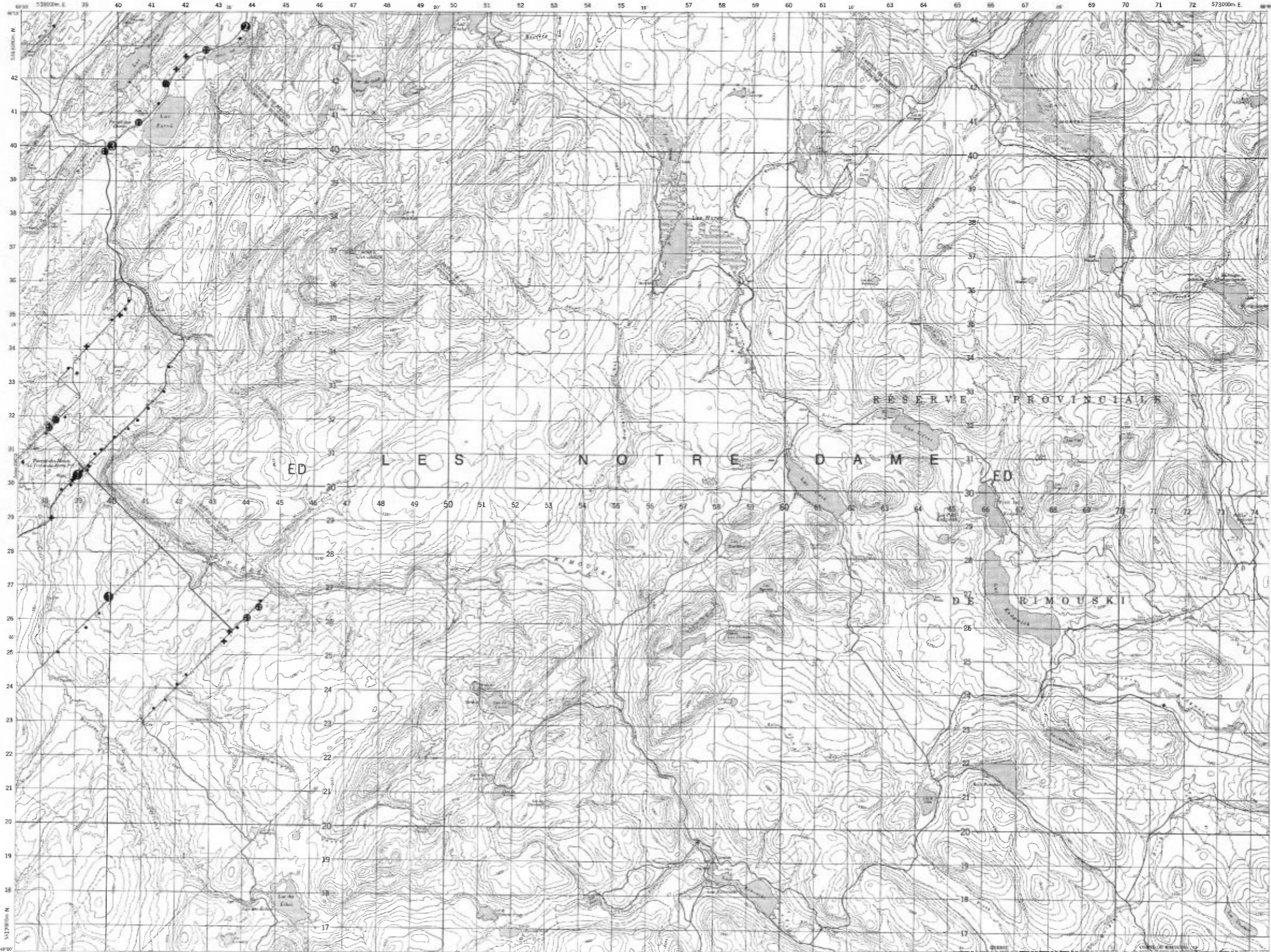


LAC PRIME

RÉGION DU BAS SAINT-LAURENT

TENEURS (ppb)

- 5 - 10
- + 15 - 50
- ⊕ 55 - 145
- 150 - 455
- ① 460 - 895
- ② 900 - 1795
- ③ 1800 - 3595

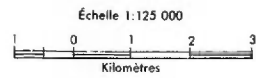


Échelle 1:125 000  
 1 0 1 2 3  
 Kilomètres

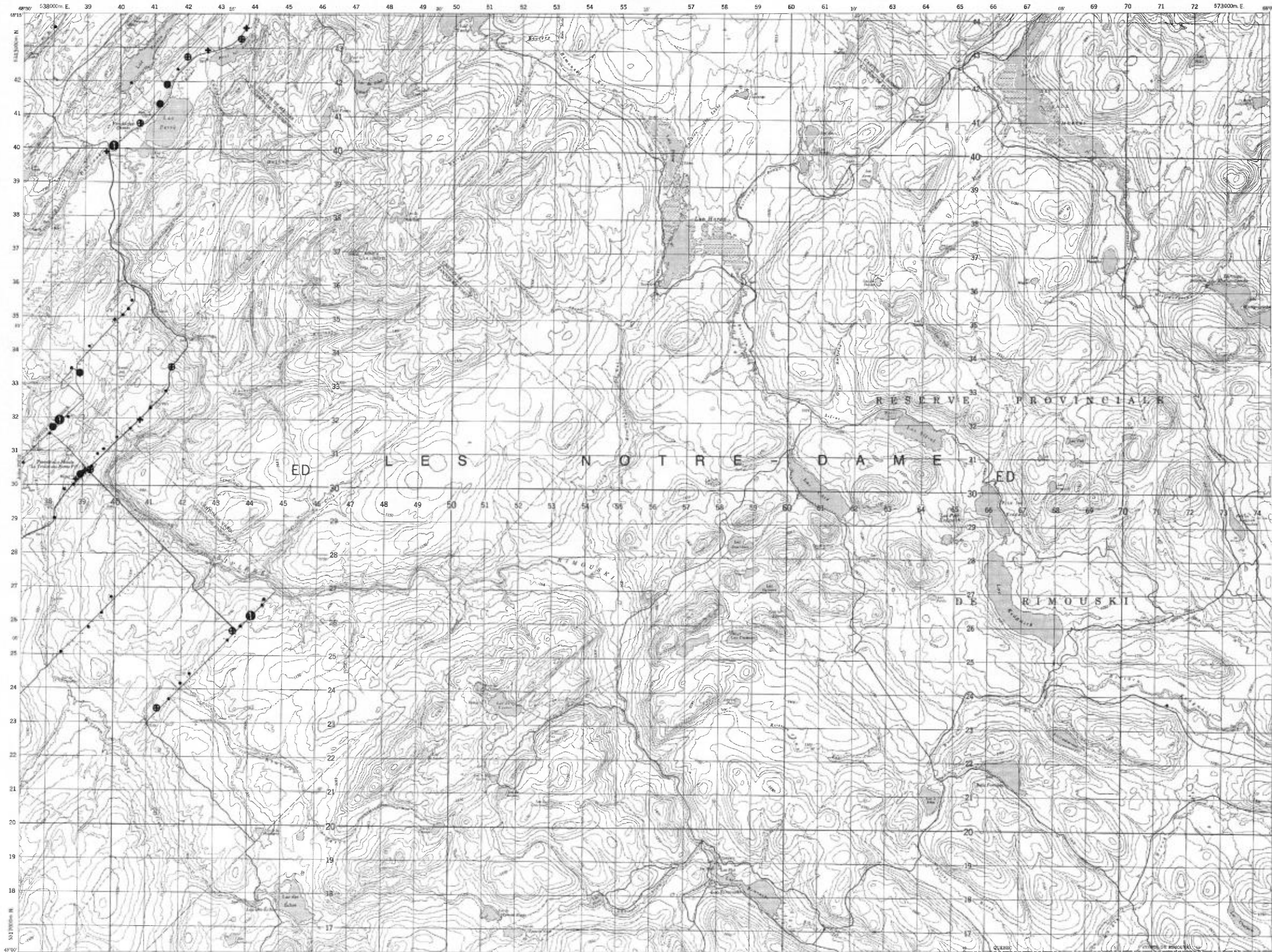
Service de la  
 GÉOCHIMIE-GÉOPHYSIQUE

TENEURS (ppm)

- 0,1
- † 0,2
- ⊕ 0,3 - 0,4
- 0,5 - 1,3
- ① 1,4 - 2,7
- ② 2,8 - 5,5
- ③ 5,6 - 11,1



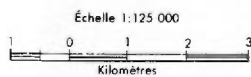
Service de la  
GÉOCHIMIE-GÉOPHYSIQUE



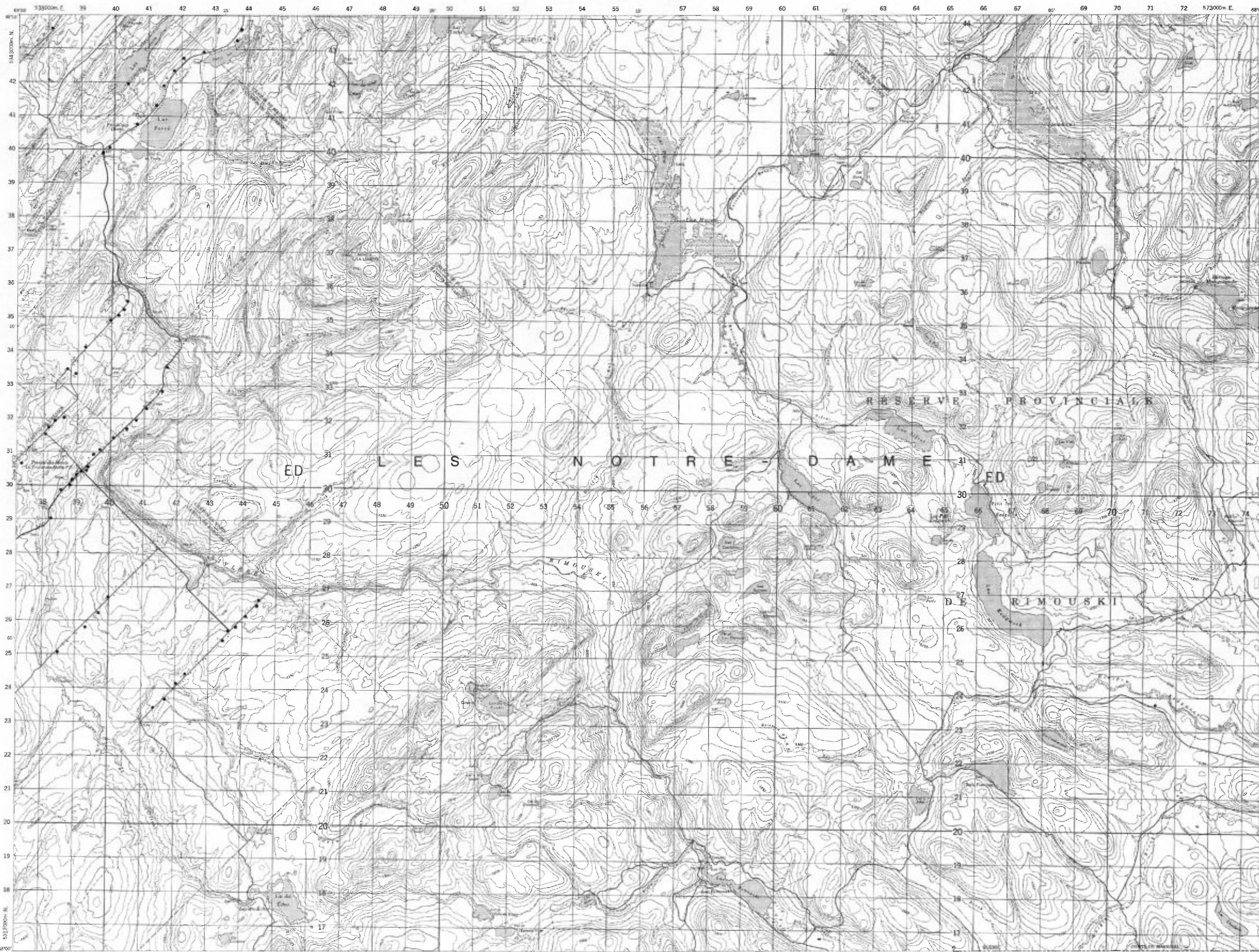
LAC PRIME

TENEURS (ppb)

- 1
- 2
- 3 - 5
- 6 - 11

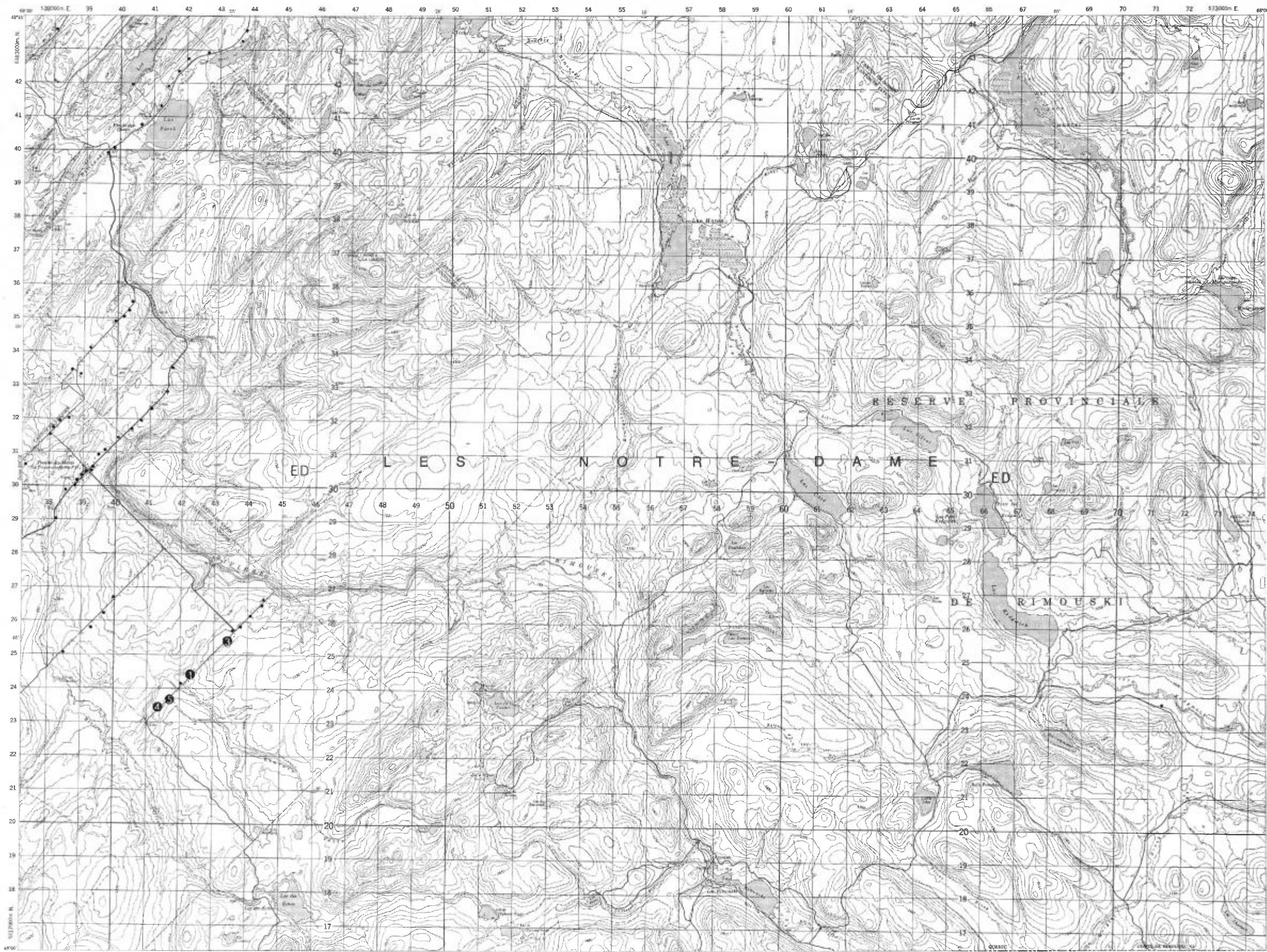


Service de la  
GÉOCHIMIE-GÉOPHYSIQUE



TENEURS (ppb)

- 2
- + 3 - 5
- ⊕ 6 - 11
- 12 - 23
- ⊙ 24 - 47
- ⦿ 48 - 95



Échelle 1:125 000



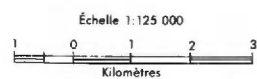
Service de la  
GÉOCHIMIE-GÉOPHYSIQUE

LAC PRIME

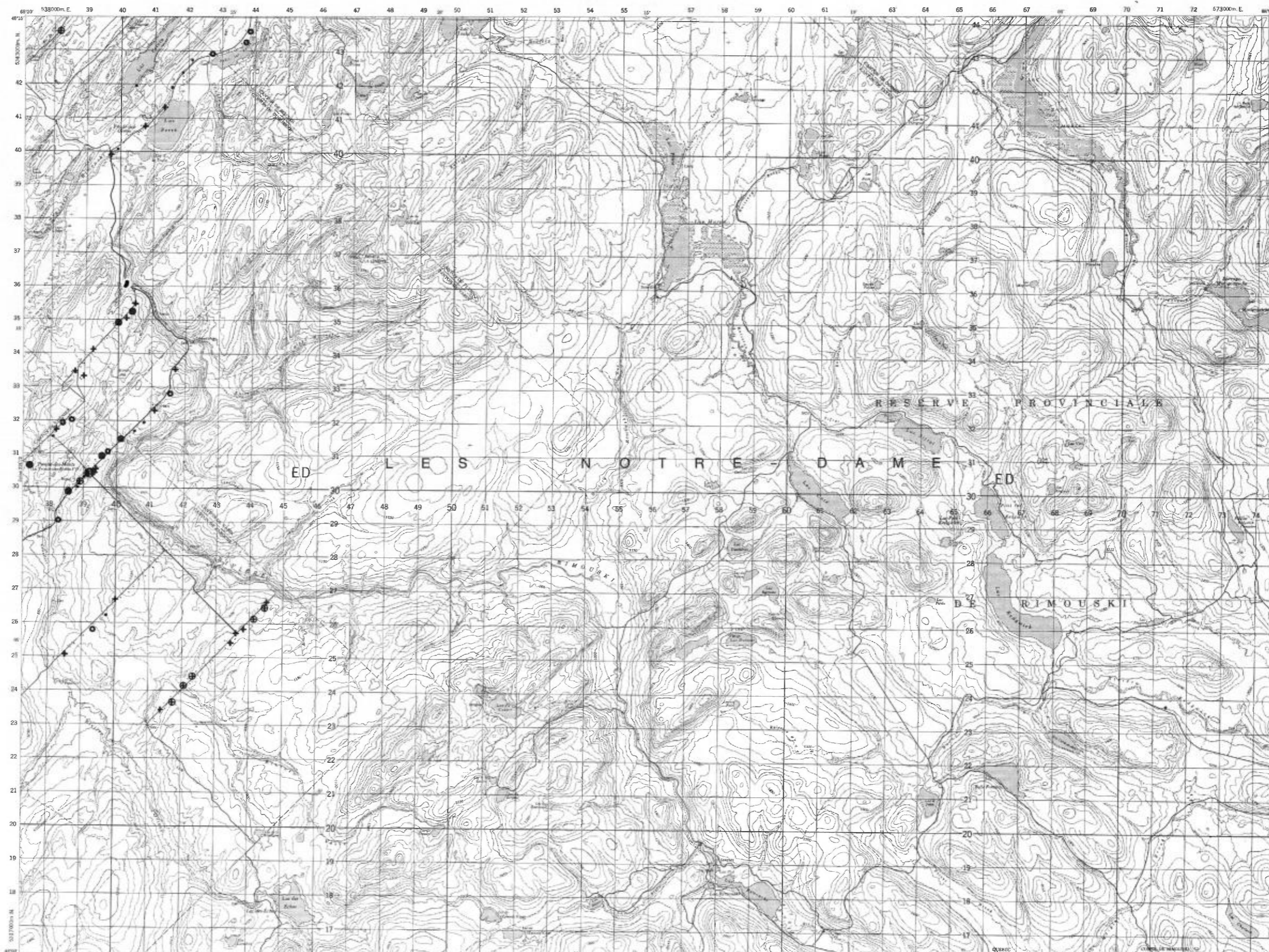
RÉGION DU BAS SAINT-LAURENT

TENEURS (ppm)

- 0,01 — 0,04
- ◊ 0,05 — 0,07
- ⊕ 0,08 — 0,12
- ⊕ 0,13 — 0,22
- 0,23 — 0,54
- ⊙ 0,55 — 1,09
- ⊙ 1,10 — 2,19
- ⊙ 2,20 — 4,39
- ⊙ 4,40 — 8,79



Service de la  
GÉOCHIMIE-GÉOPHYSIQUE

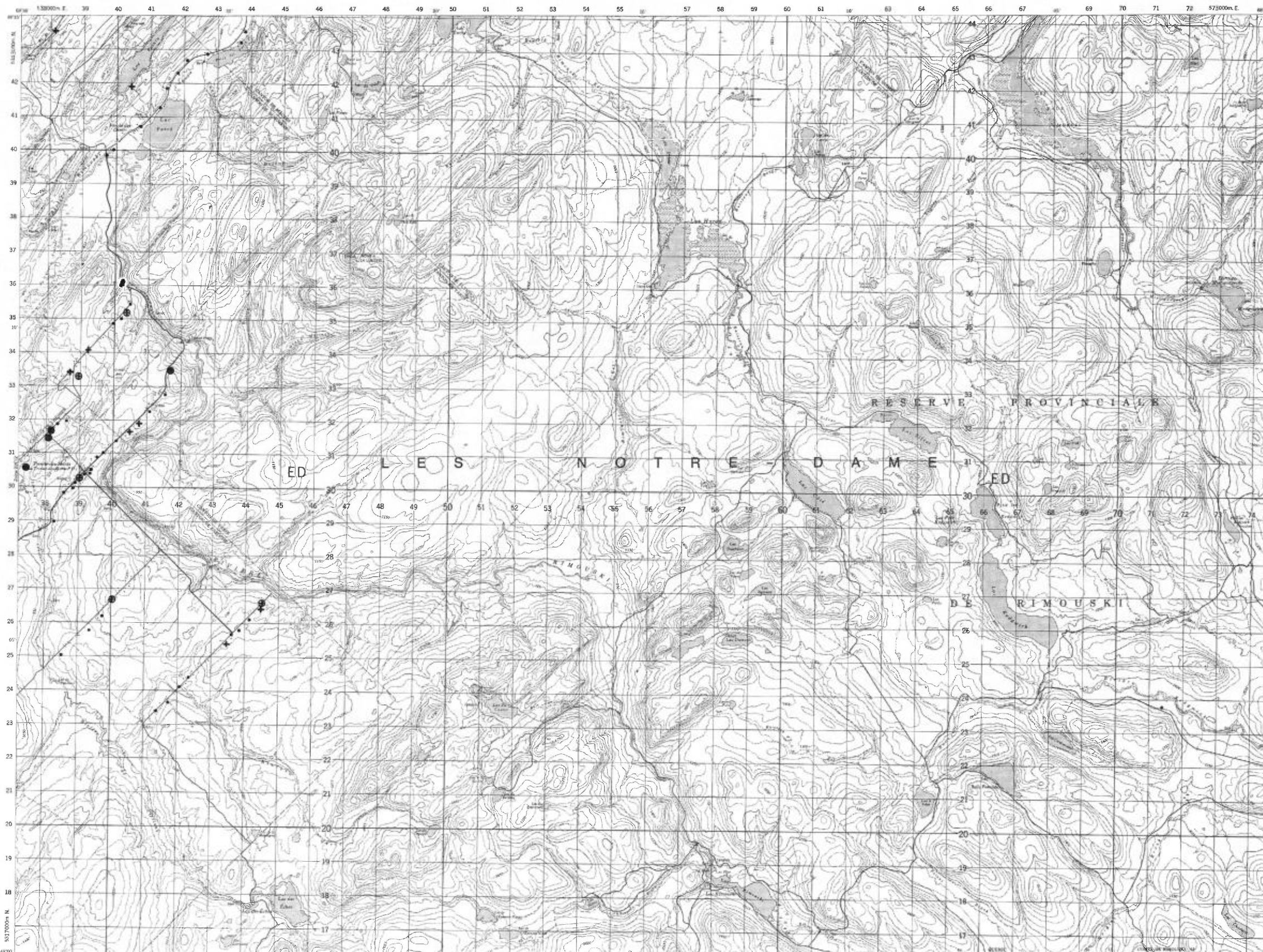


LAC PRIME

RÉGION DU BAS SAINT-LAURENT

TENEURS (ppb)

- 2 - 3
- + 4 - 5
- ⊕ 6 - 8
- ⊙ 9 - 19
- ⊖ 20 - 39
- ⊗ 40 - 79
- ⊛ 80 - 159



Échelle 1:125 000



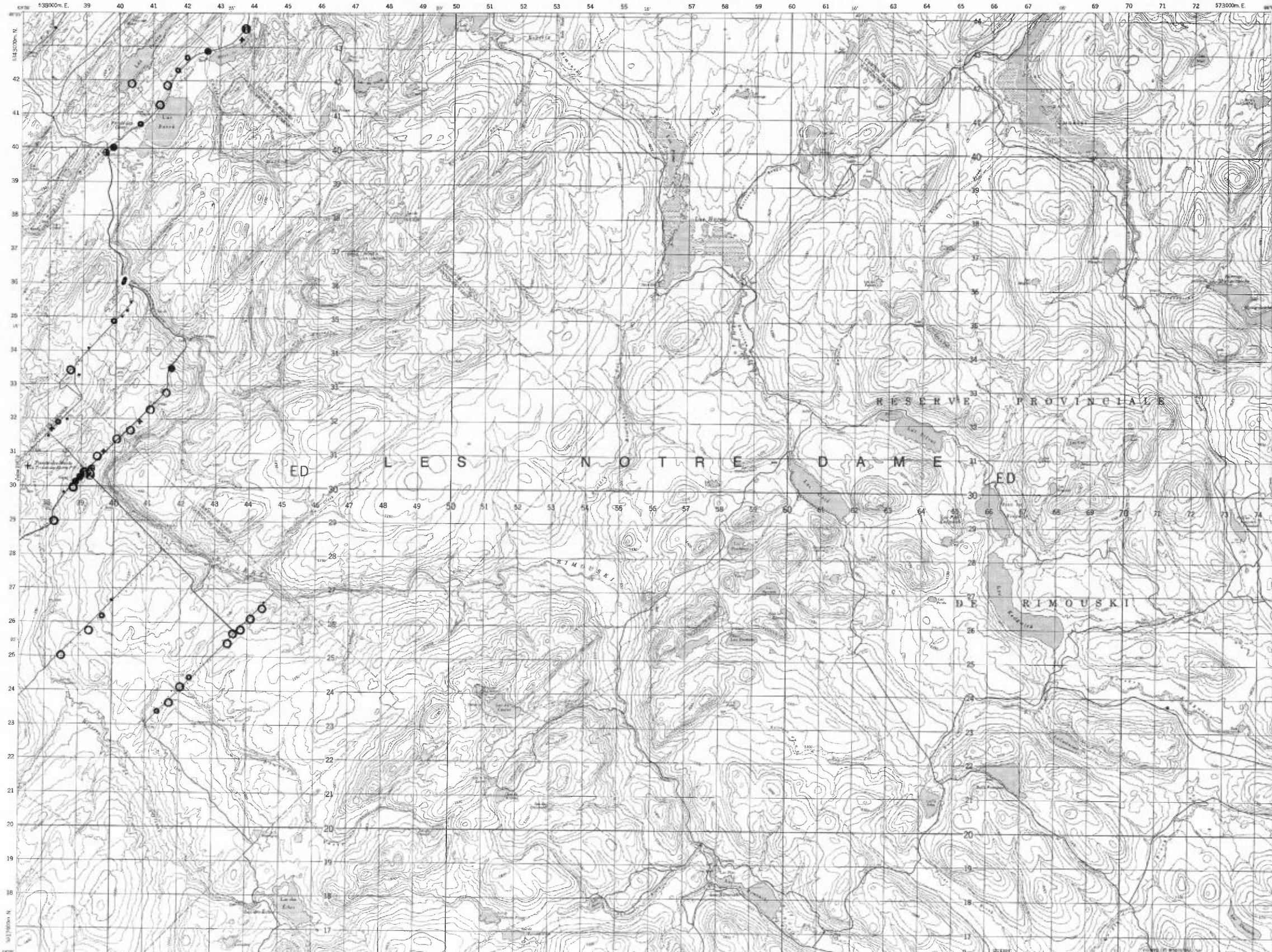
Service de la  
GÉOCHIMIE-GÉOPHYSIQUE

LAC PRIME

RÉGION DU BAS SAINT-LAURENT

TENEURS (ppm)

- 1 - 4
- 5 - 6
- 7 - 17
- + 18 - 34
- ⊕ 35 - 65
- 66 - 149
- ⊕ 150 - 299
- ⊕ 300 - 599
- ⊕ 600 - 1199
- ⊕ 1200 - 2399



Échelle 1:125 000



Service de la  
GÉOCHIMIE-GÉOPHYSIQUE

LAC PRIME

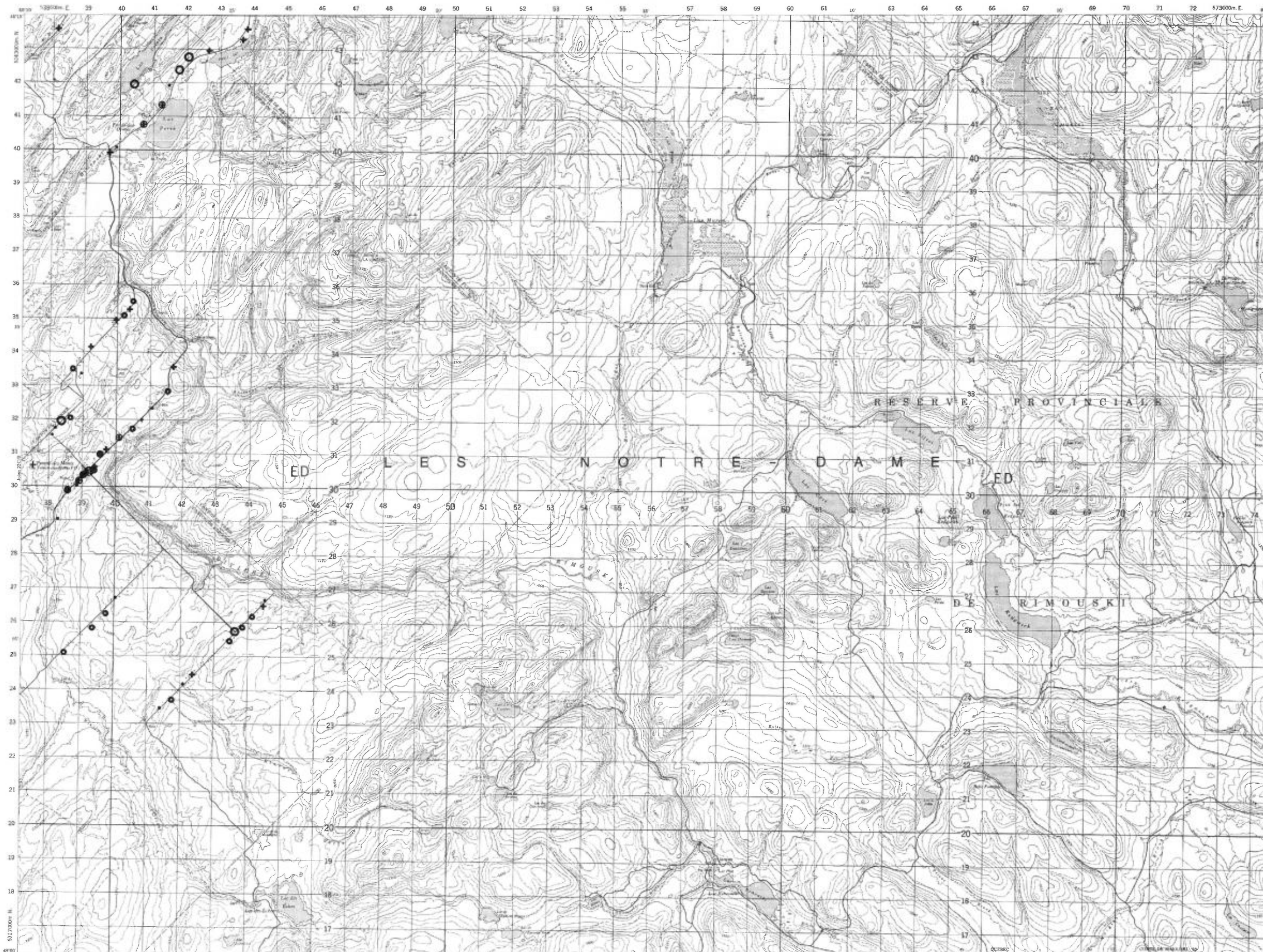
RÉGION DU BAS SAINT-LAURENT

TENEURS (ppm)

- 0,9 — 2,9
- 3,0 — 4,5
- 4,6 — 11,4
- ⊕ 11,5 — 26,9
- ⊕ 27,0 — 54,9
- 55,0 — 122,9
- ⊕ 123,0 — 249,9
- 250,0 — 499,9
- ⊕ 500,0 — 999,9
- 1000,0 — 1999,9



Service de la  
GÉOCHIMIE-GÉOPHYSIQUE



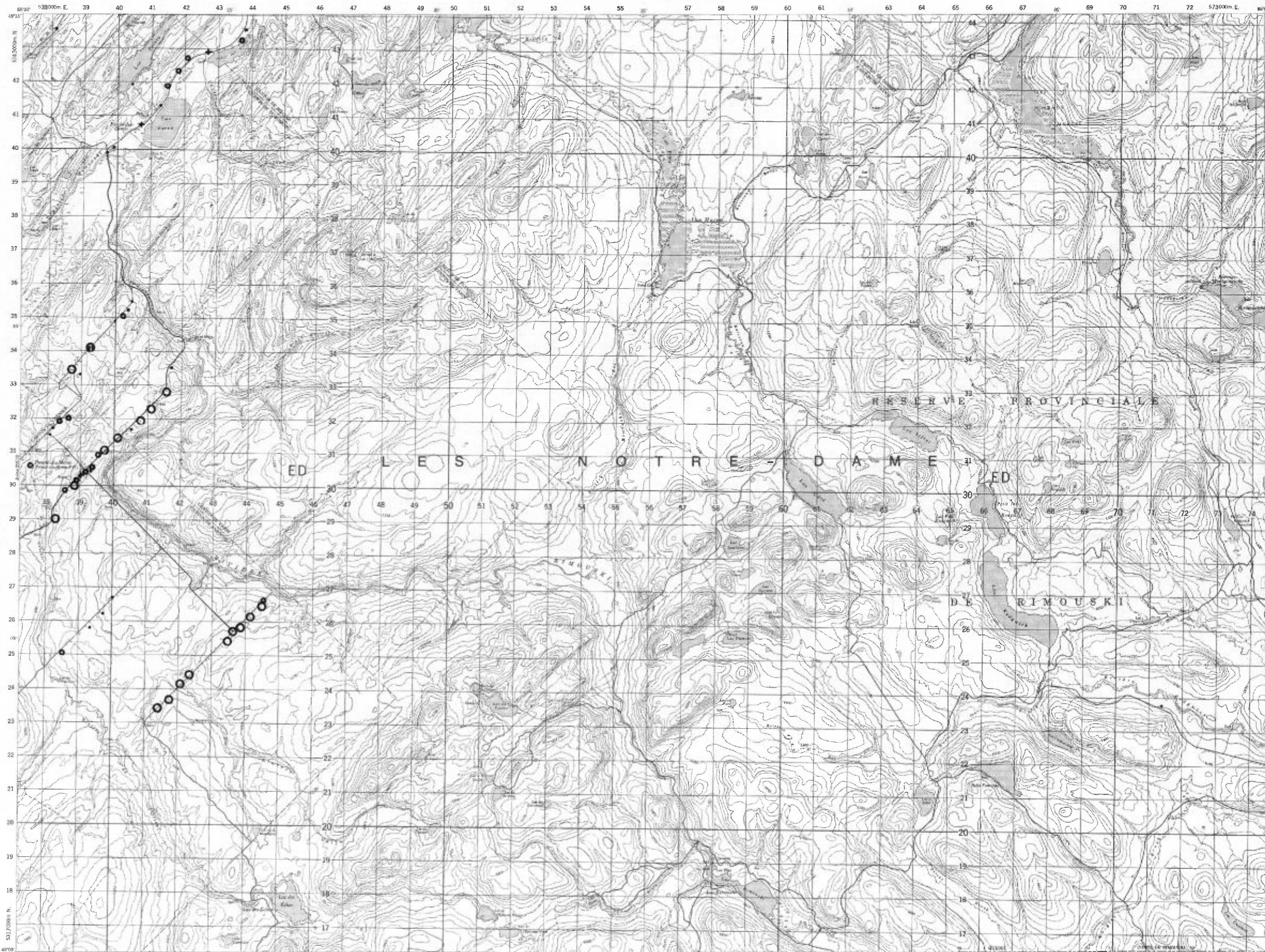


LAC PRIME

RÉGION DU BAS SAINT-LAURENT

TENEURS (ppm)

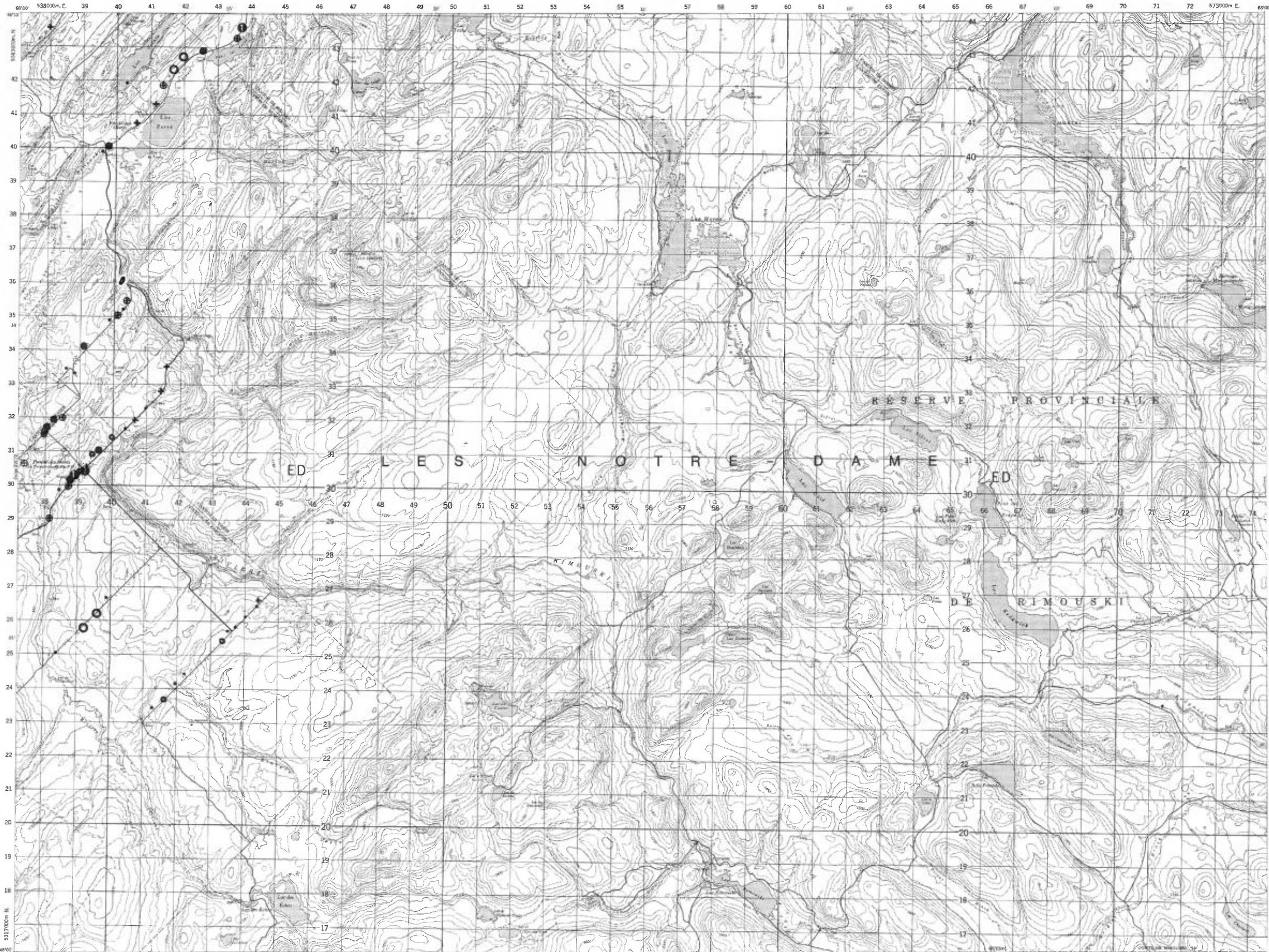
- 0,2 — 0,5
- 0,6 — 0,9
- 1,0 — 2,1
- + 2,2 — 3,5
- ⊕ 3,6 — 4,9
- 5,0 — 8,9
- ① 9,0 — 17,9
- ② 18,0 — 35,9
- ③ 36,0 — 71,9



Échelle 1:125 000



Service de la  
 GÉOCHIMIE-GÉOPHYSIQUE



TENEURS (ppm)

- 1,0 - 29,9
- 30,0 - 44,9
- 45,0 - 72,9
- + 73,0 - 88,9
- ⊕ 89,0 - 104,9
- 105,0 - 139,9
- ① 140,0 - 279,9
- ② 280,0 - 559,9

Échelle 1:125 000



Service de la  
GÉOCHIMIE-GÉOPHYSIQUE

LAC PRIME

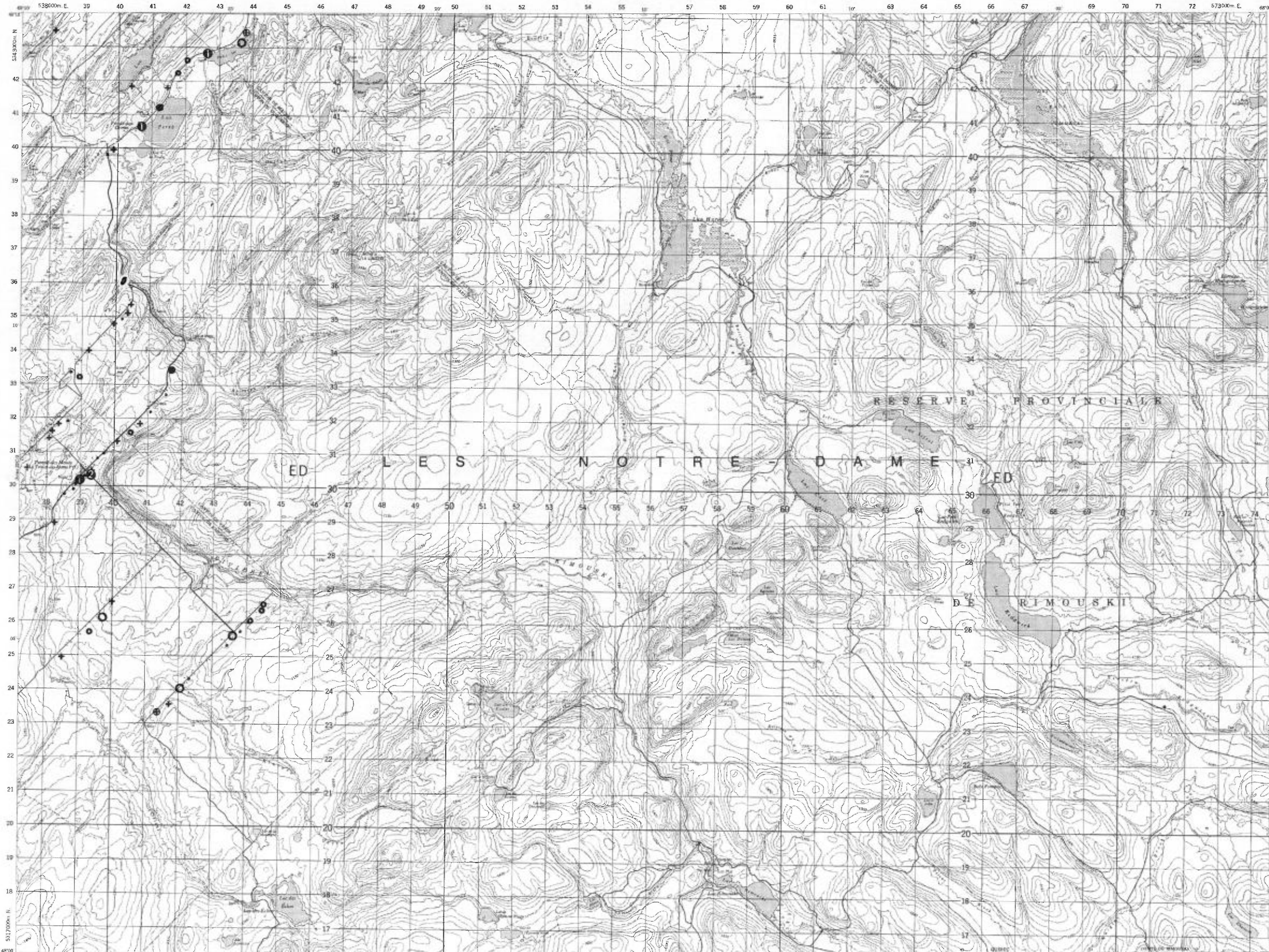
RÉGION DU BAS SAINT-LAURENT

TENEURS (ppm)

- 0,1 — 4,2
- 4,3 — 6,3
- 6,4 — 11,9
- + 12,0 — 16,2
- ⊕ 16,3 — 20,0
- 20,1 — 27,9
- ⊕ 28,0 — 55,9
- ⊕ 56,0 — 111,9



Service de la  
GÉOCHIMIE-GÉOPHYSIQUE

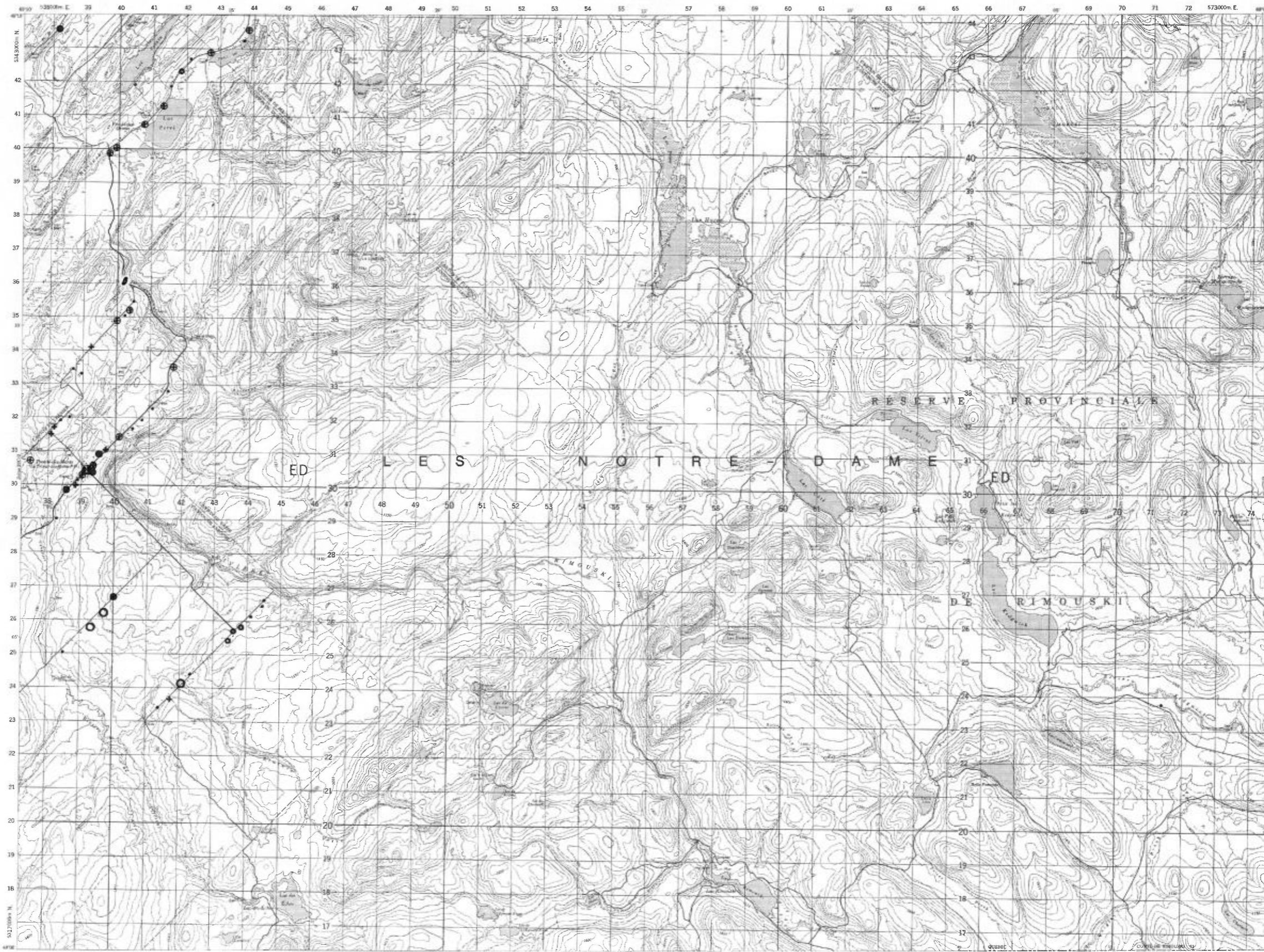


LAC PRIME

RÉGION DU BAS SAINT-LAURENT

TENEURS (ppb)

- 0.1 — 5.5
- 5.6 — 7.9
- 8.0 — 15.4
- + 15.5 — 25.9
- ⊕ 26.0 — 41.9
- 42.0 — 115.0
- ⊕ 115.1 — 229.9
- ⊕ 230.0 — 459.9
- ⊕ 460.0 — 919.9
- ⊕ 920.0 — 1839.9
- ⊕ 1840.0 — 3679.9



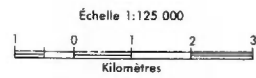
Échelle 1:125 000  
 1 0 1 2 3  
 Kilomètres

Service de la  
 GÉOCHIMIE-GÉOPHYSIQUE

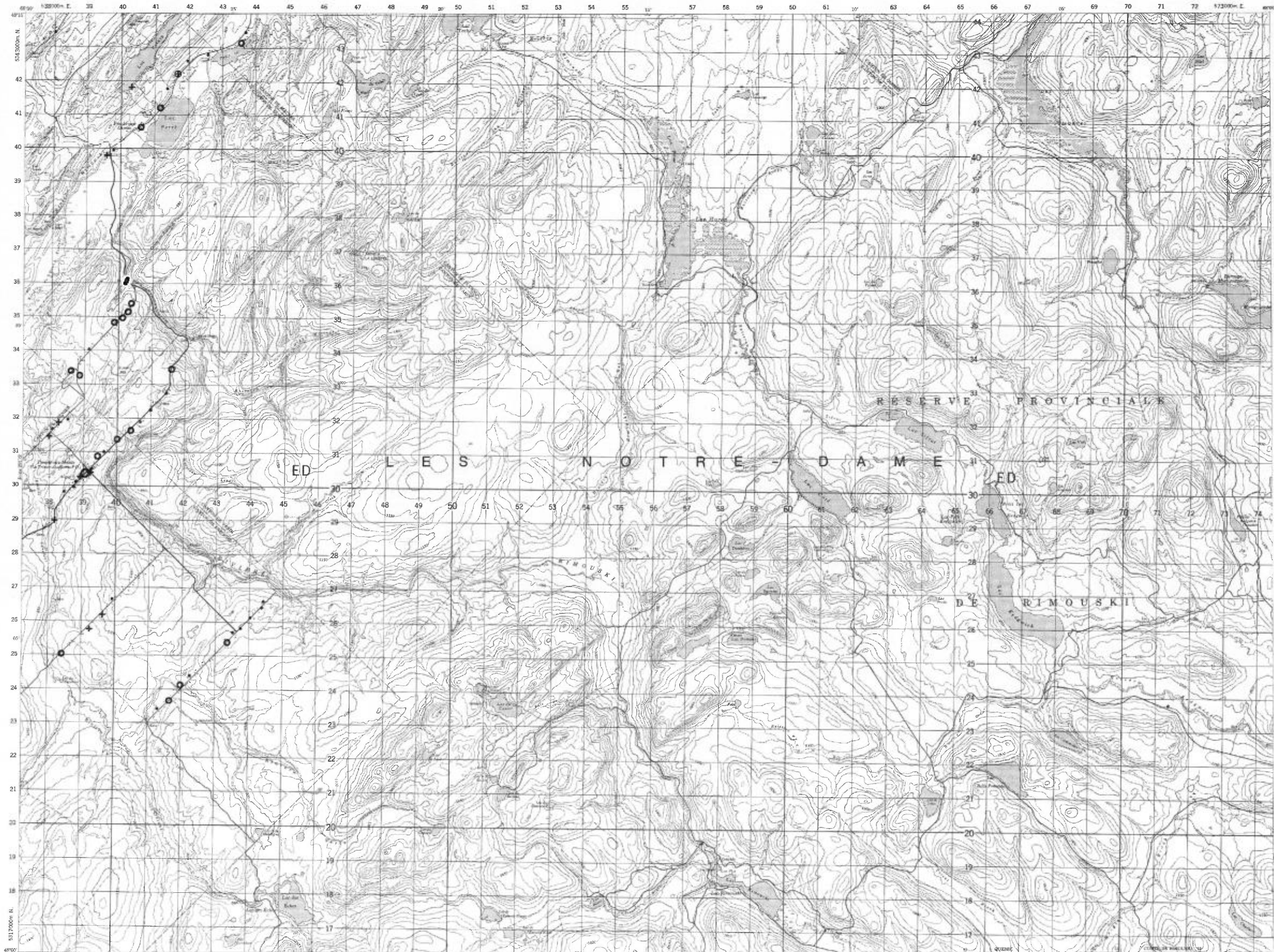
LAC PRIME

TENEURS (unité)

- 0,0 — 5,7
- ⊗ 5,8 — 6,2
- + 6,3 — 6,7
- 6,8 — 7,2
- 7,3 — 7,7
- 7,8 — 8,2
- 8,3 — 14,0

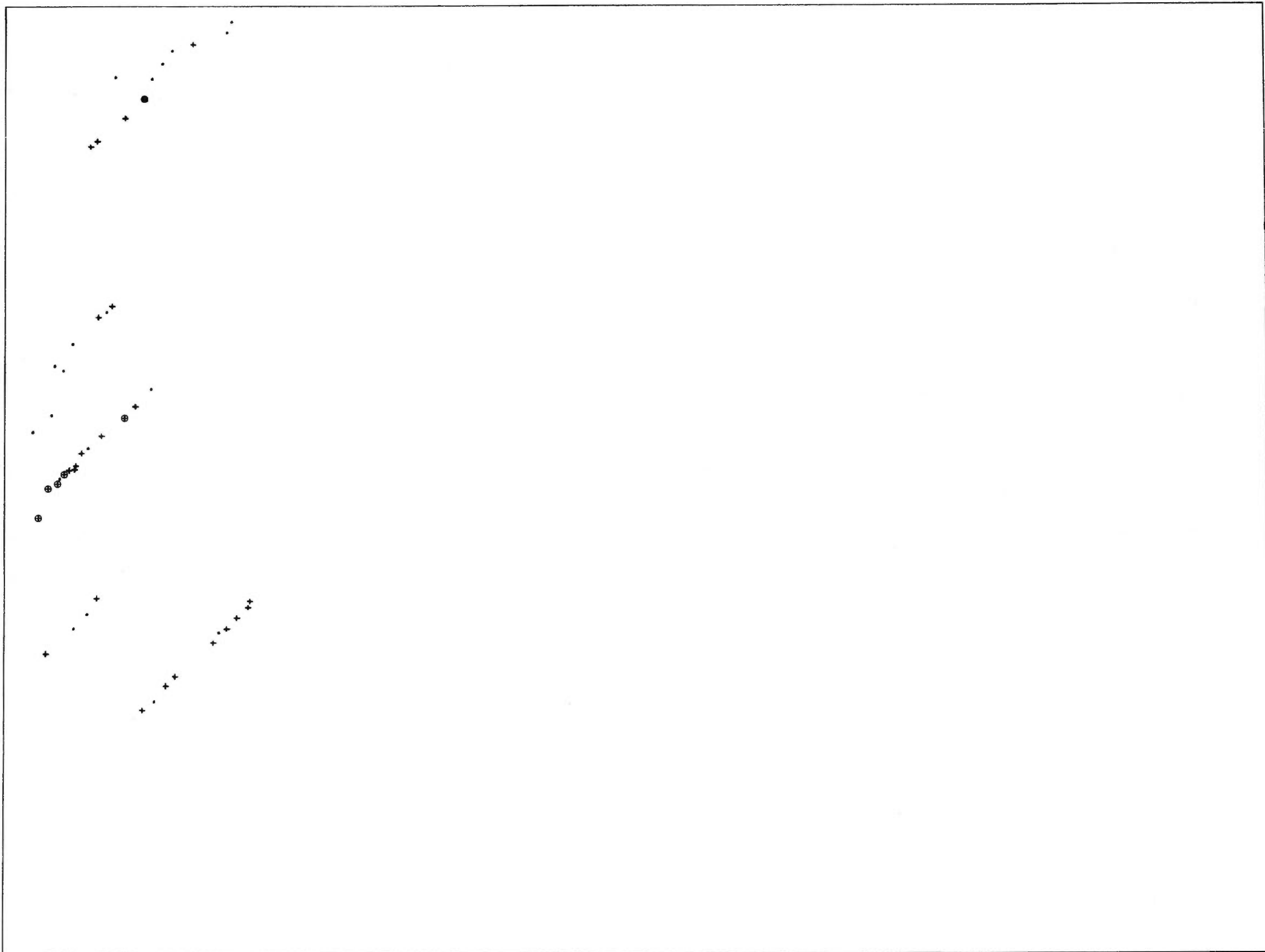


Service de la  
GÉOCHIMIE-GÉOPHYSIQUE



PROFONDEUR DES PUIITS

- pieds
- 1 - 75
  - + 76 - 150
  - ⊕ 151 - 300
  - 301 - 600

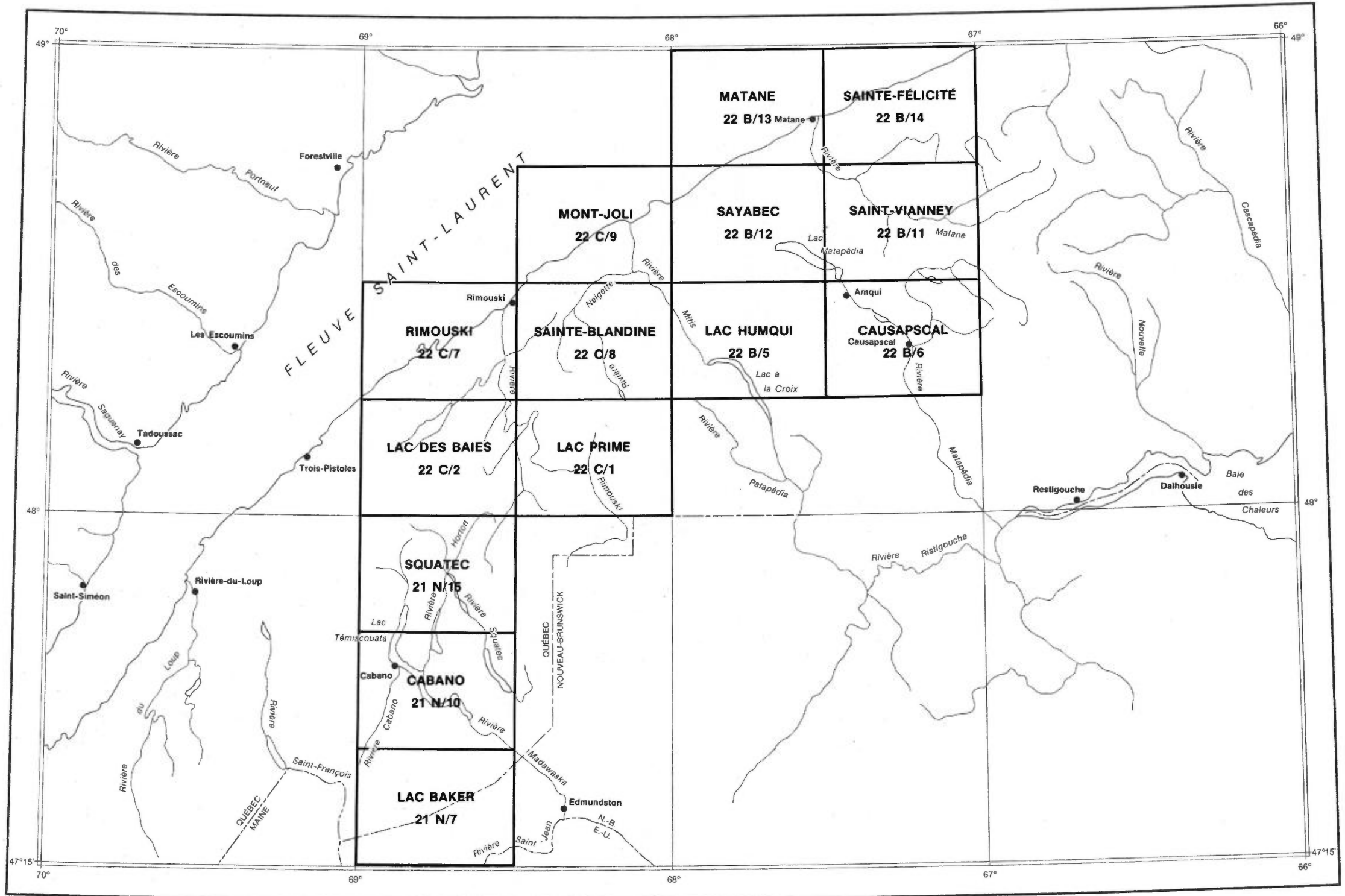


Échelle 1:125 000

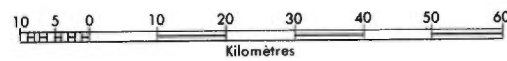


Service de la  
GÉOCHIMIE-GÉOPHYSIQUE

PROFONDEUR  
DES PUIITS

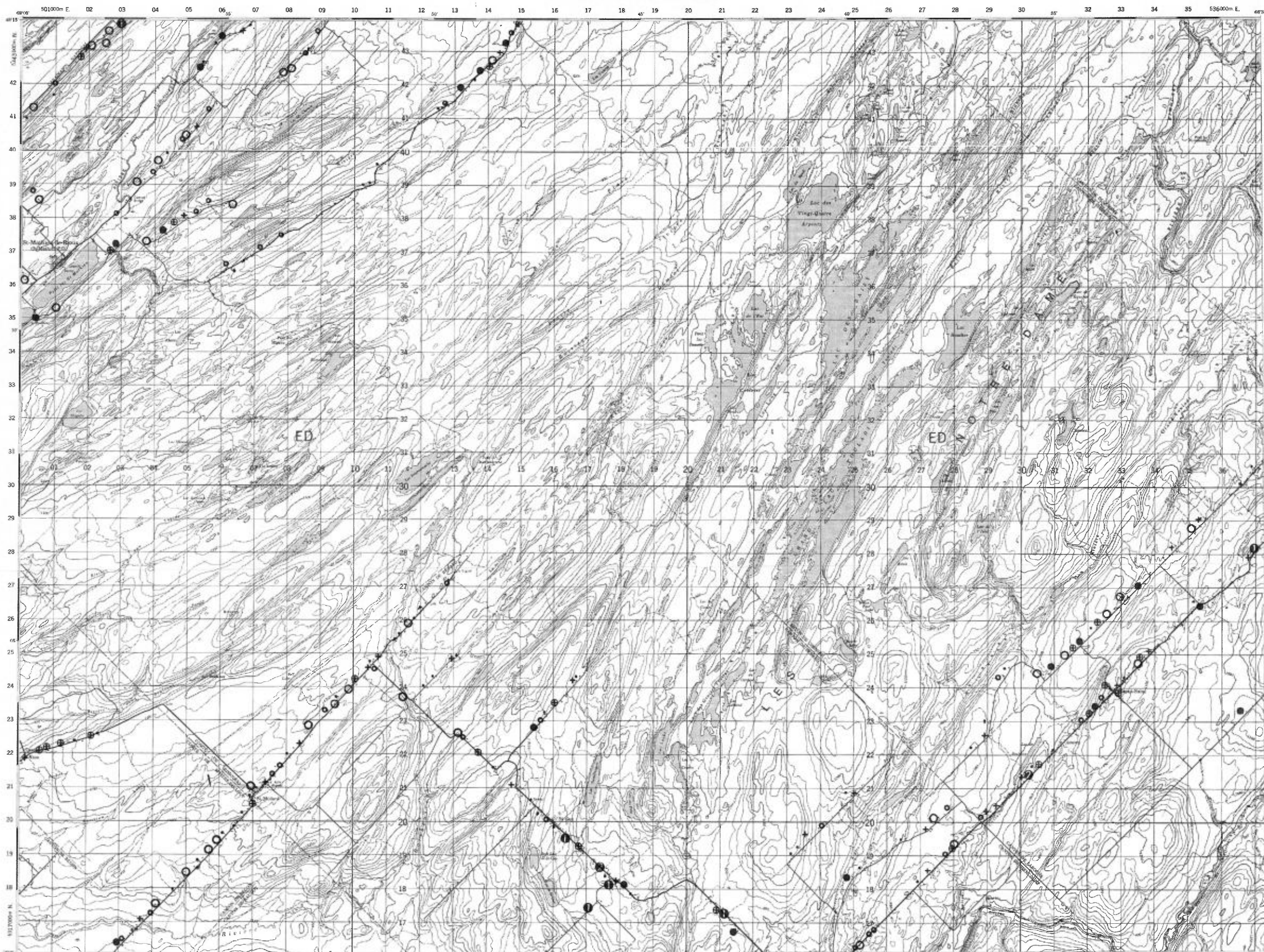


**INDEX DES CARTES GÉOCHIMIQUES  
RÉGION DU BAS SAINT-LAURENT**



TENEURS (ppb)

- 1 - 8
- 9 - 13
- 14 - 29
- ⊕ 30 - 54
- ⊕ 55 - 89
- 90 - 179
- ① 180 - 359
- ② 360 - 719
- ③ 720 - 1439
- ④ 1440 - 2879



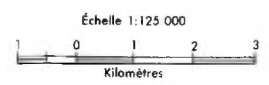
Échelle 1:125 000



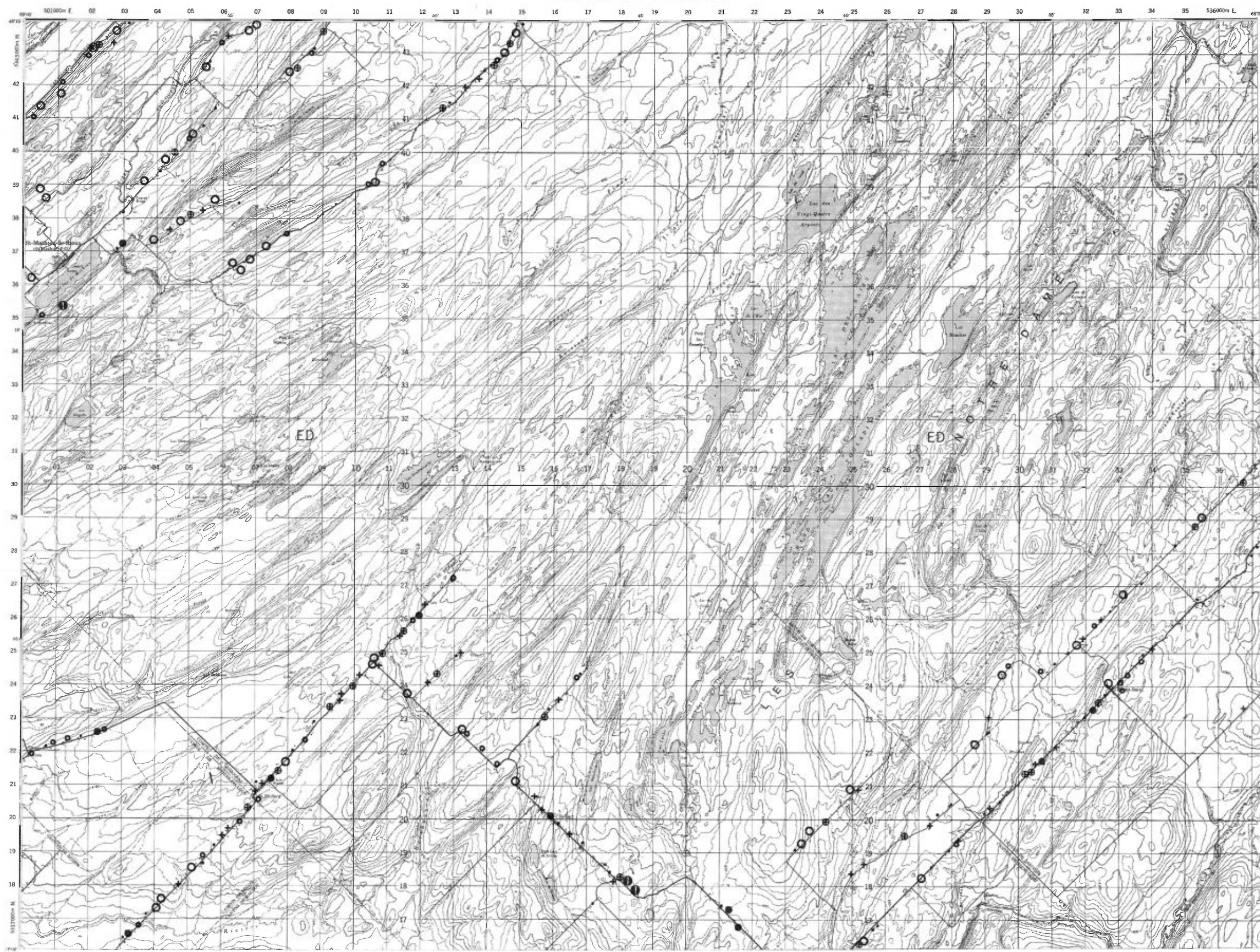
Service de la  
GÉOCHIMIE-GÉOPHYSIQUE



- TENEURS (ppb)
- 4 - 12
  - 14 - 34
  - 36 - 144
  - ⊕ 146 - 338
  - ⊗ 340 - 738
  - ⊙ 740 - 1498
  - ⊕ 1500 - 2998
  - ⊗ 3000 - 5998
  - ⊙ 6000 - 11998
  - ⊕ 12000 - 23998



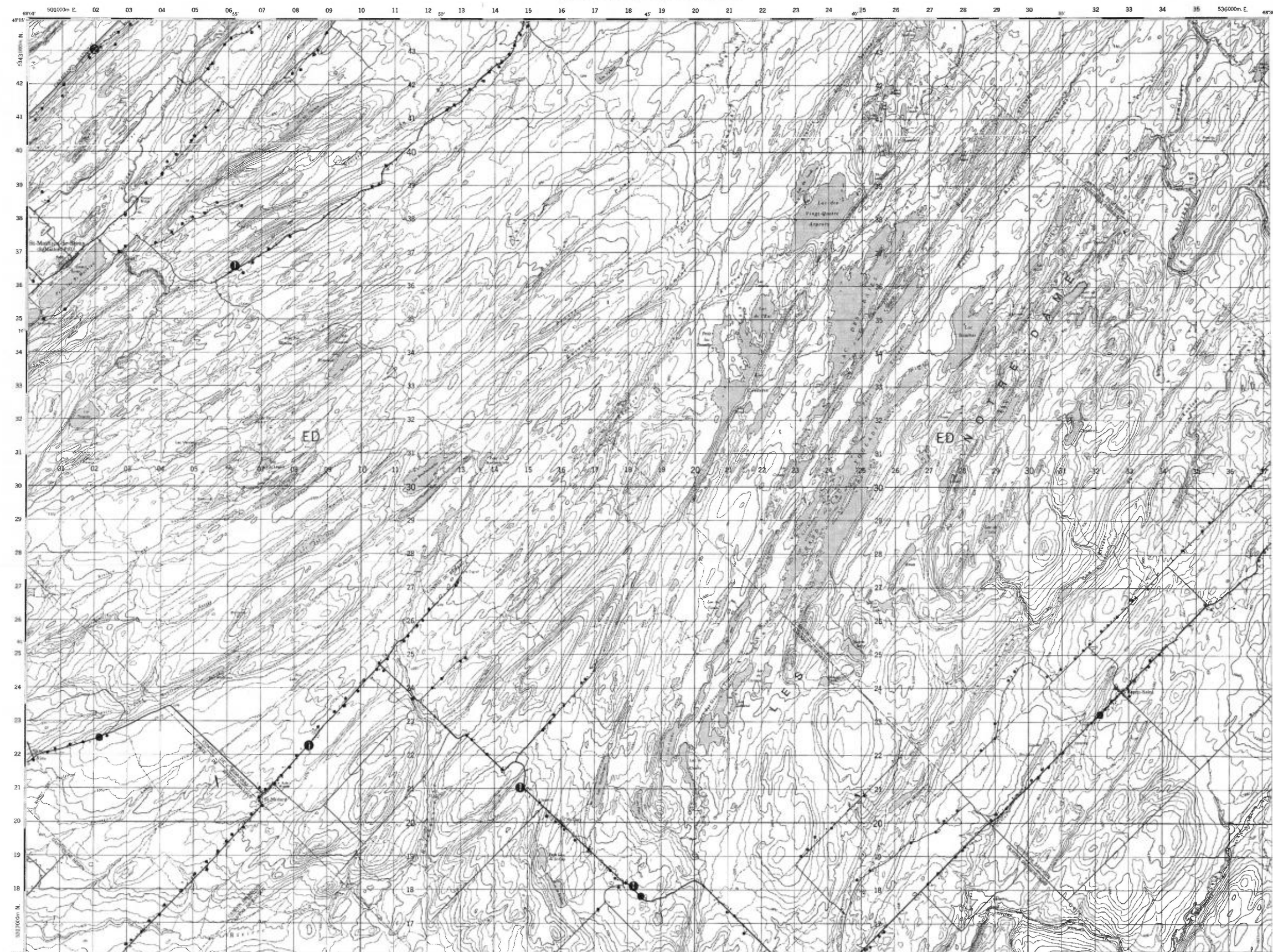
Service de la  
GÉOCHIMIE-GÉOPHYSIQUE

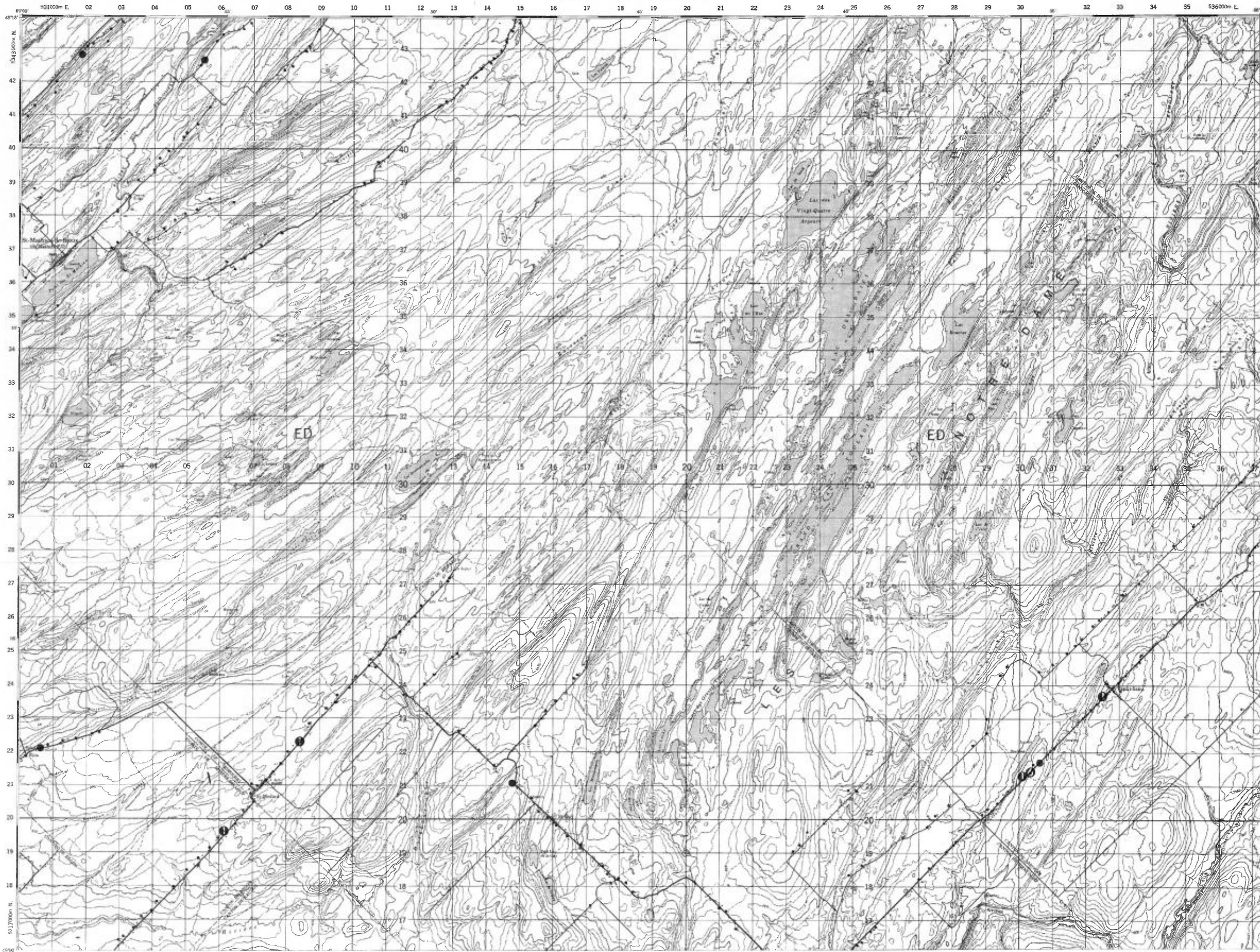


- TENEURS (ppb)
- 1
  - 2 - 4
  - ① 5 - 9
  - ② 10 - 19
  - ③ 20 - 39
  - ④ 40 - 79
  - ⑤ 80 - 159
  - ⑥ 160 - 219



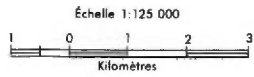
Service de la  
 GÉOCHIMIE-GÉOPHYSIQUE





TENEURS (ppb)

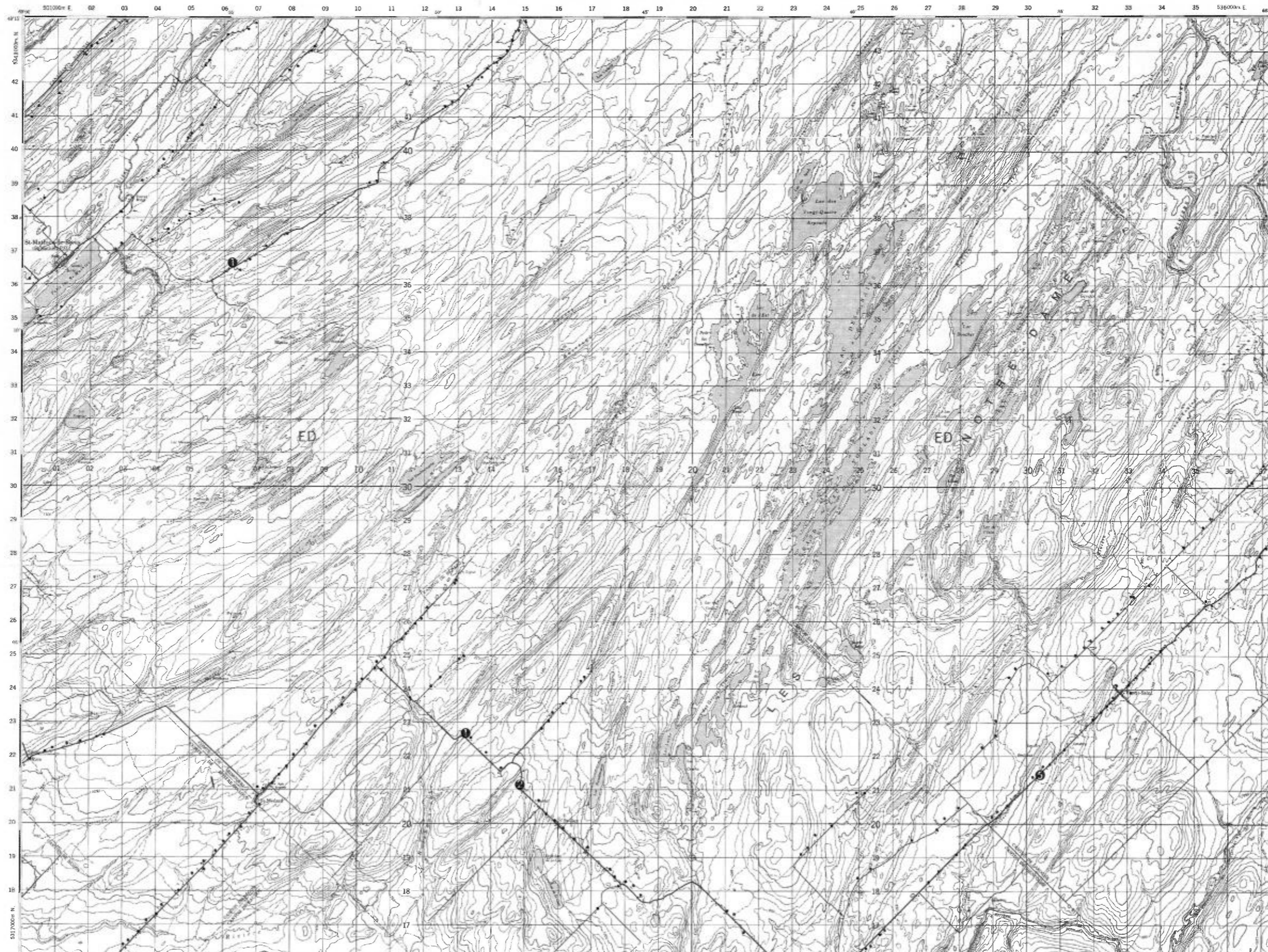
- 1
- 2 - 5
- ① 6 - 11
- ② 12 - 24
- ③ 25 - 49
- ④ 50 - 99
- ⑤ 100 - 199
- ⑥ 200 - 399



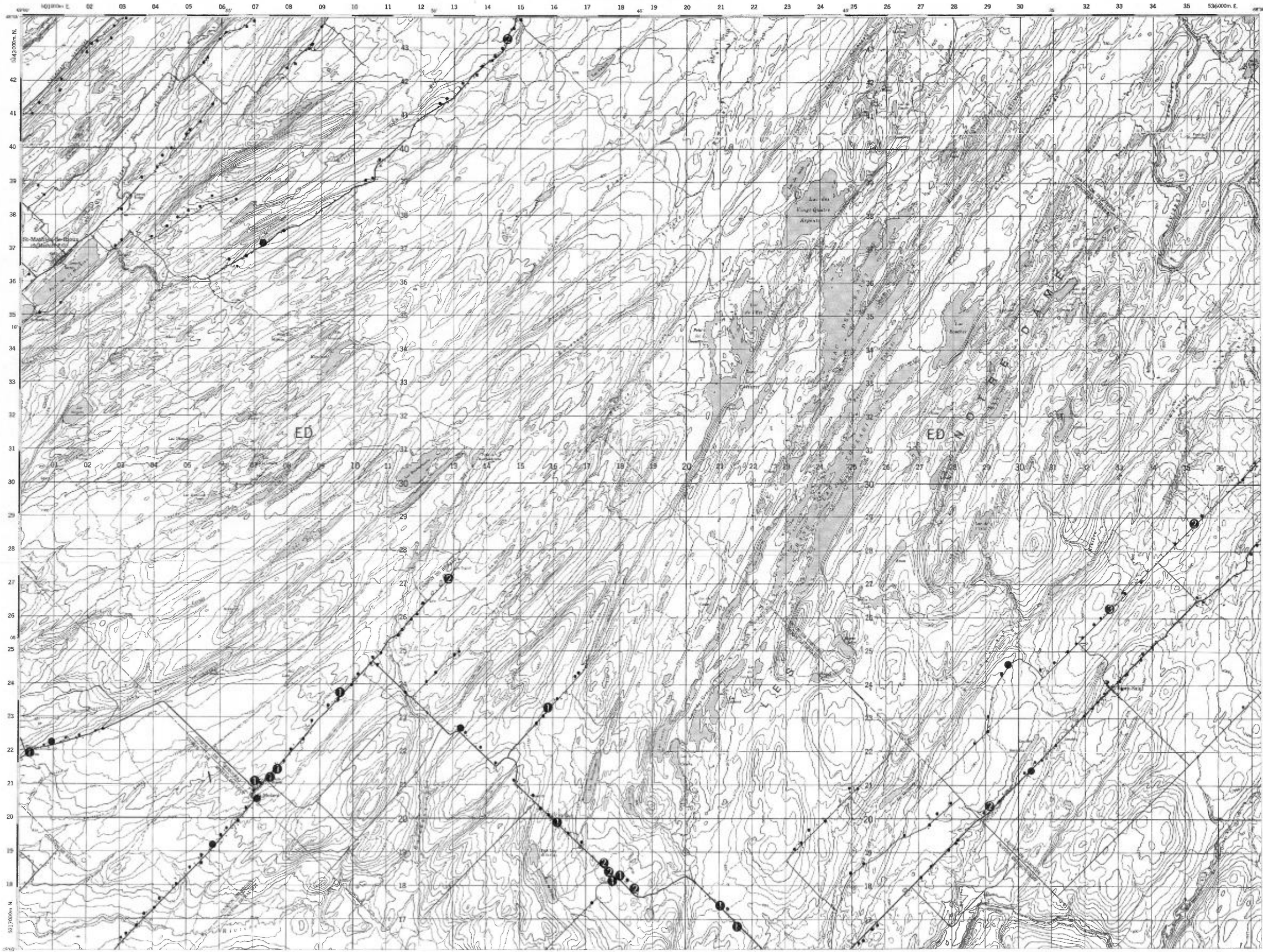
Service de la  
GÉOCHIMIE-GÉOPHYSIQUE

TENEURS (ppb)

- 1
- 2 - 3
- ① 4 - 7
- ② 8 - 15
- ③ 16 - 31
- ④ 32 - 63



Service de la  
GÉOCHIMIE-GÉOPHYSIQUE



TENEURS (ppb)

- 0.1
- 0.2
- 0.3 - 0.5
- 0.6 - 1.1
- 1.2 - 2.3
- 2.4 - 4.9
- 5.0 - 9.9
- 10.0 - 19.9
- 20.0 - 39.9
- 40.0 - 79.9

Échelle 1:125 000

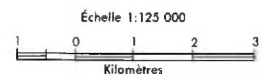


Service de la  
GÉOCHIMIE-GÉOPHYSIQUE

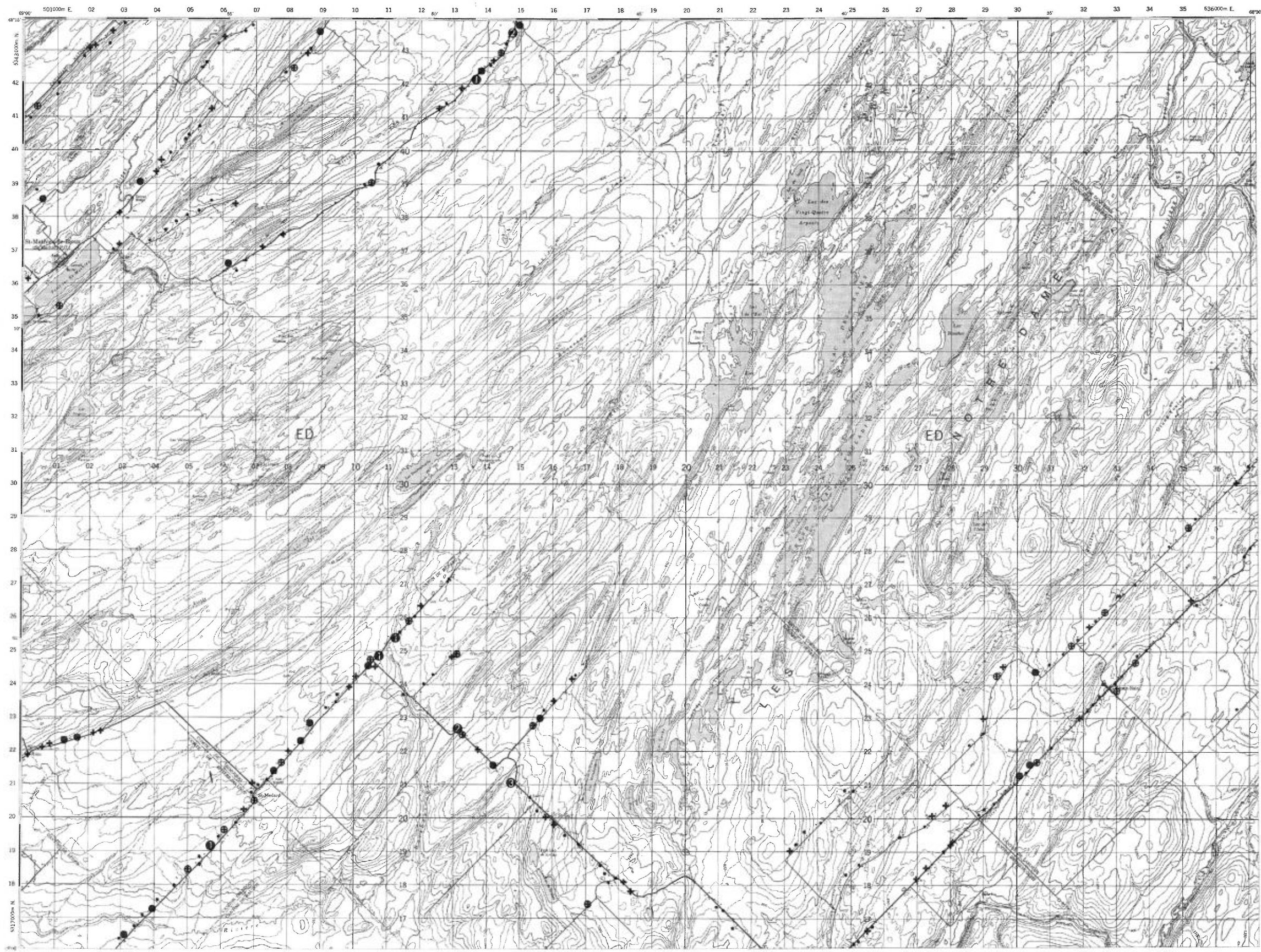
Cd

TENEURS (ppb)

- 5 - 10
- + 15 - 50
- ⊕ 55 - 145
- 150 - 455
- ⊕ 460 - 895
- ⊕ 900 - 1795
- ⊕ 1800 - 3595

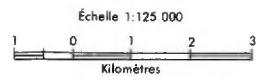


Service de la  
GÉOCHIMIE-GÉOPHYSIQUE

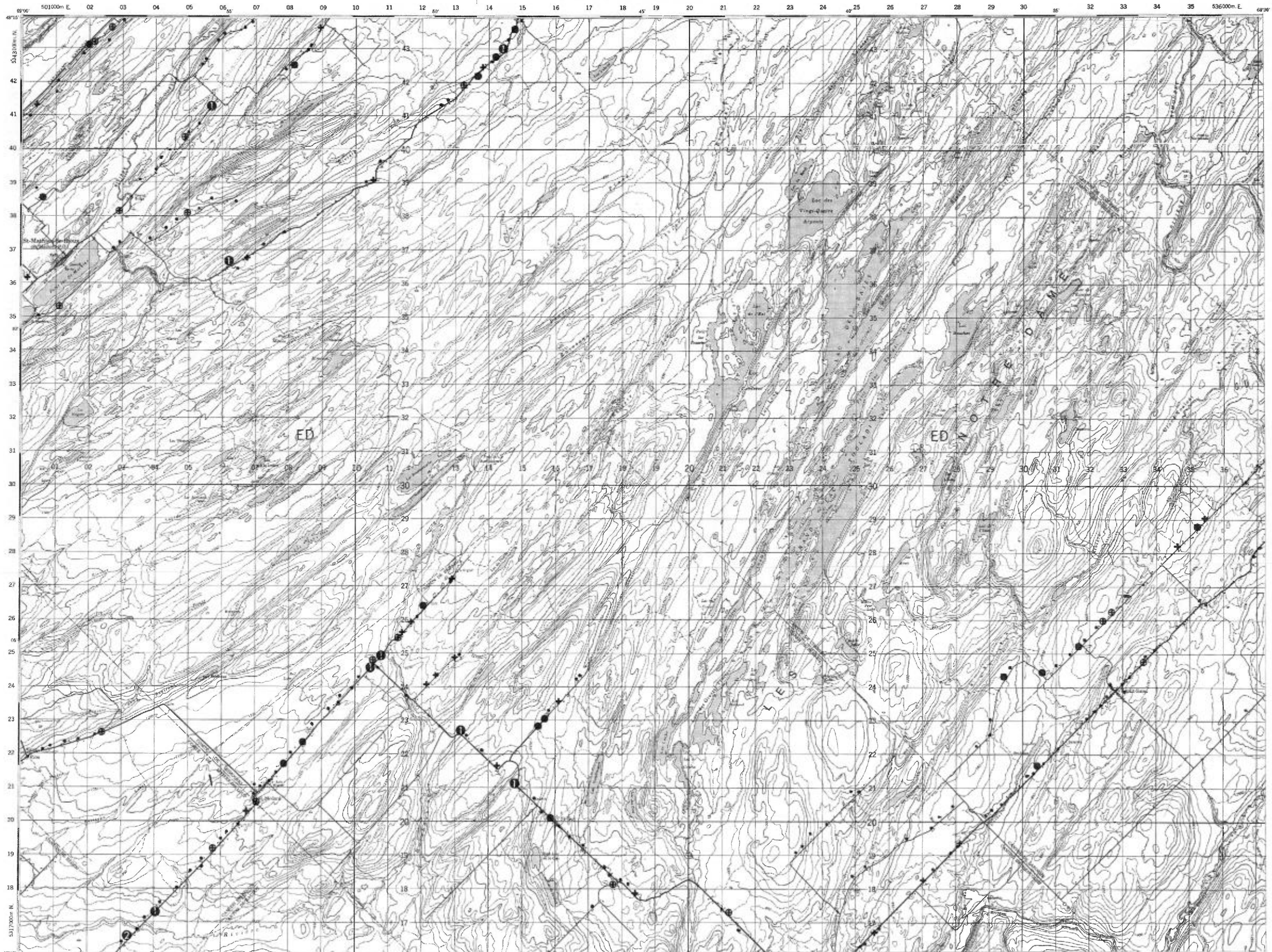


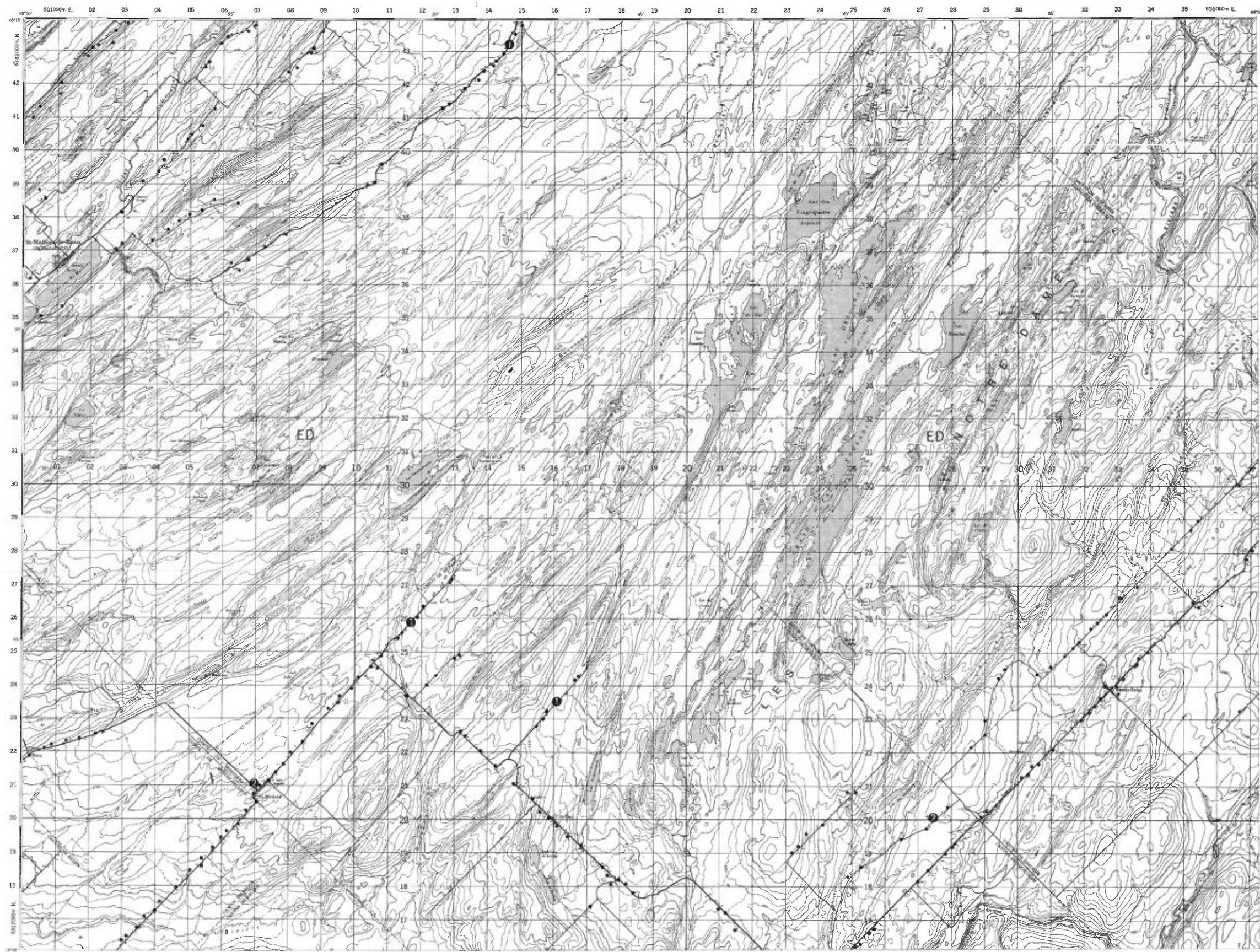
TENEURS (ppm)

- 0.1
- + 0.2
- ⊕ 0.3 - 0.4
- 0.5 - 1.3
- ⊙ 1.4 - 2.7
- ⦿ 2.8 - 5.5
- ⊚ 5.6 - 11.1



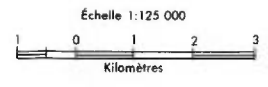
Service de la  
GÉOCHIMIE-GÉOPHYSIQUE





TENEURS (ppb)

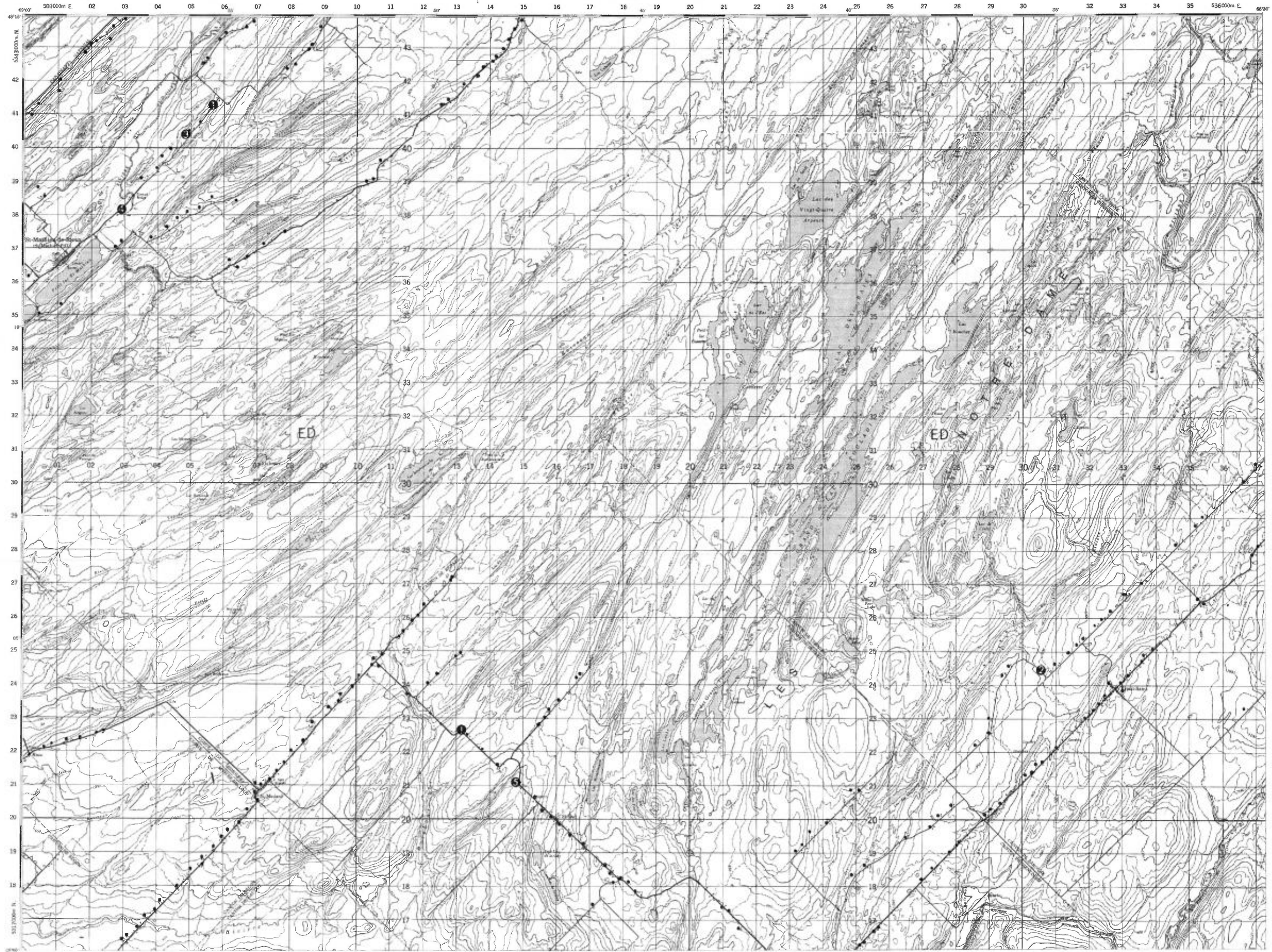
- 1
- 2
- ⊙ 3 - 5
- ⊚ 6 - 11



Service de la  
GÉOCHIMIE-GÉOPHYSIQUE



GÉOCHIMIE DES EAUX SOUTERRAINES  
LAC DES BAIES  
RÉGION DU BAS SAINT-LAURENT



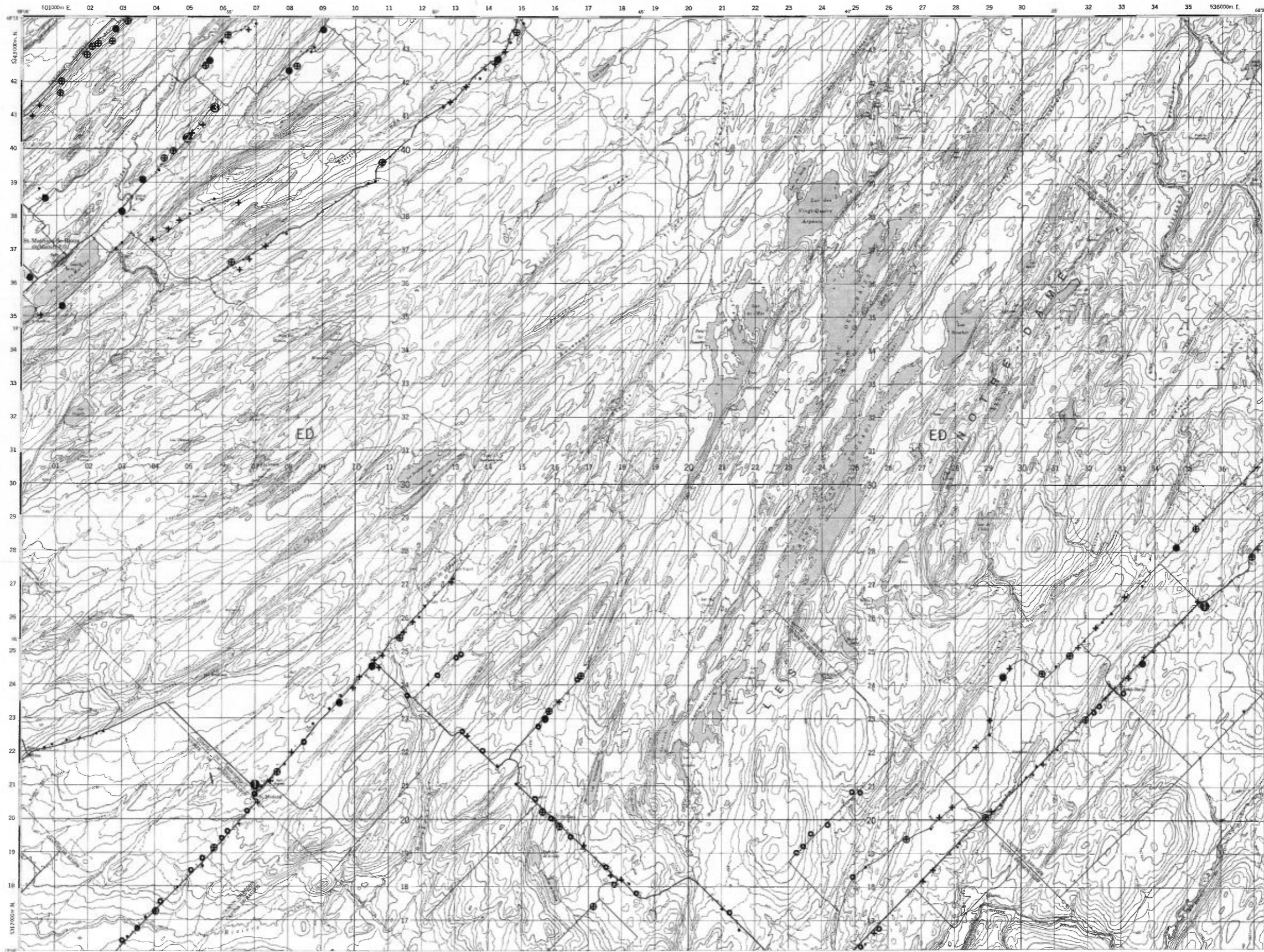
- TENEURS (ppb)
- 2
  - + 3 - 5
  - ⊕ 6 - 11
  - 12 - 23
  - ⊙ 24 - 47
  - ⦿ 48 - 95



Service de la  
GÉOCHIMIE-GÉOPHYSIQUE

TENEURS (ppm)

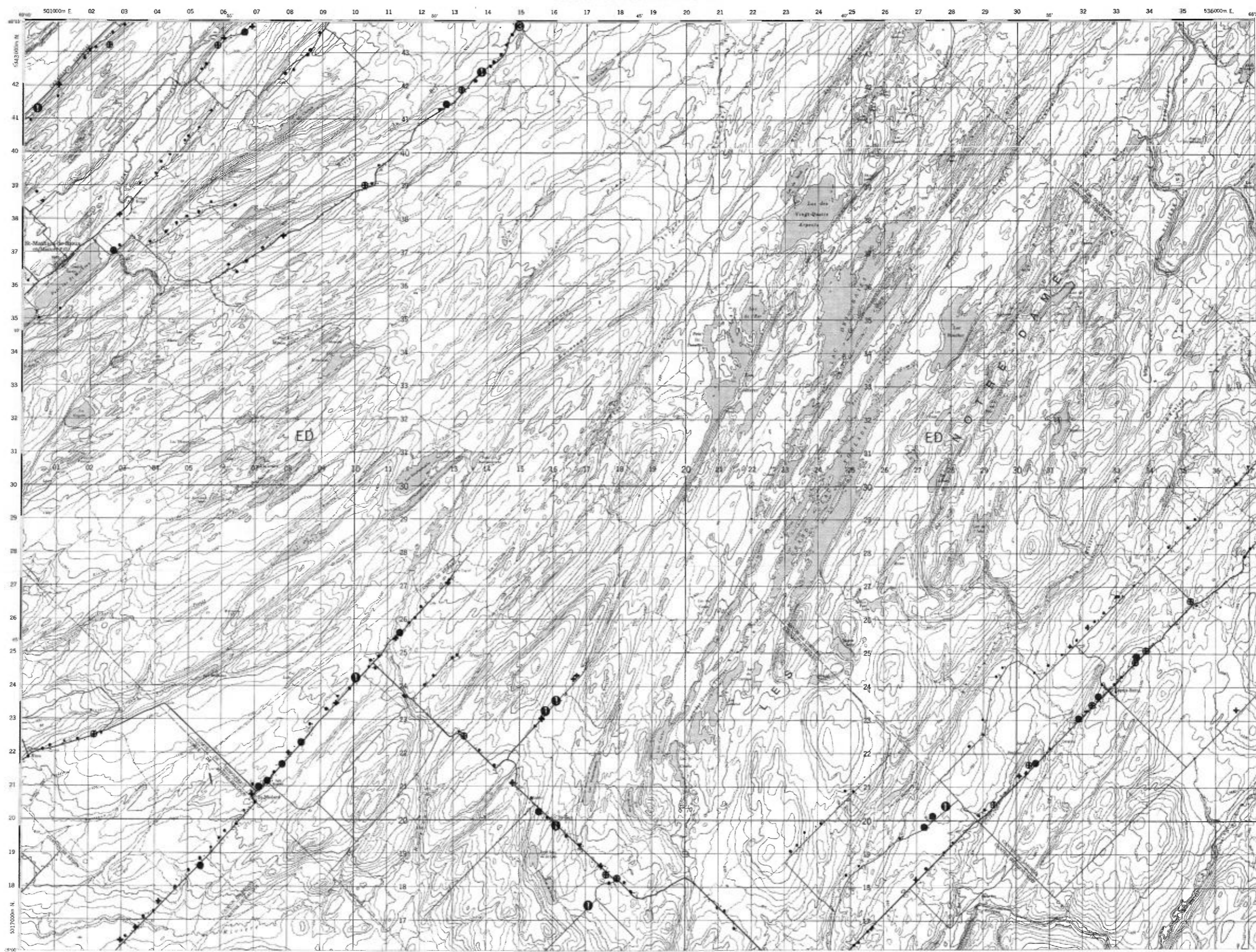
- 0.01 — 0.04
- 0.05 — 0.07
- ⊕ 0.08 — 0.12
- ⊗ 0.13 — 0.22
- ⊙ 0.23 — 0.54
- ⊚ 0.55 — 1.09
- ⊛ 1.10 — 2.19
- ⊜ 2.20 — 4.39
- ⊝ 4.40 — 8.79



Échelle 1:125 000

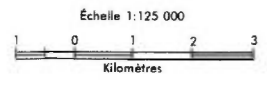


Service de la  
GÉOCHIMIE-GÉOPHYSIQUE



TENEURS (ppb)

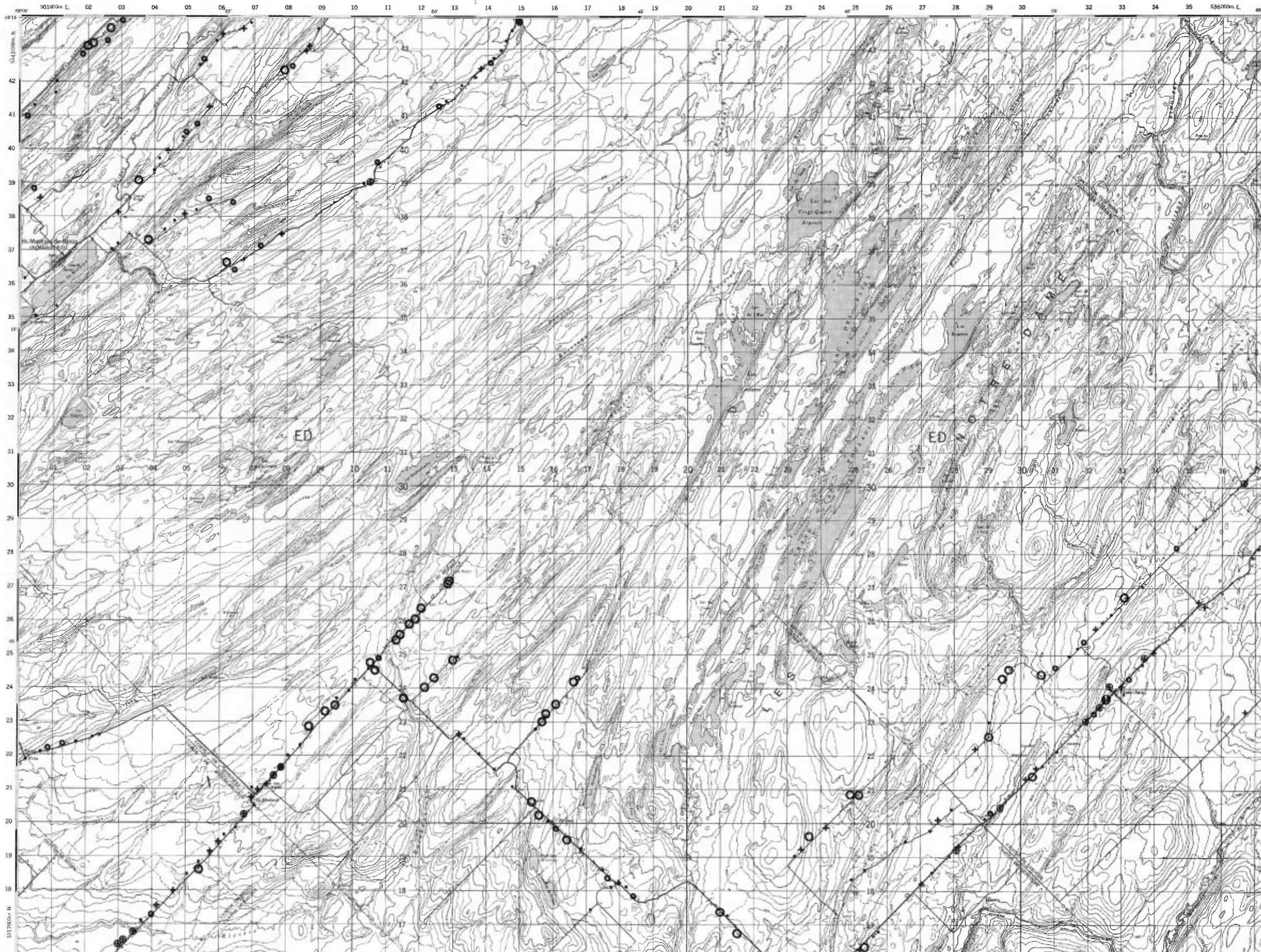
- 2 - 3
- + 4 - 5
- ⊕ 6 - 8
- 9 - 19
- ① 20 - 39
- ② 40 - 79
- ③ 80 - 159



Service de la  
GÉOCHIMIE-GÉOPHYSIQUE

LAC DES BAIES

RÉGION DU BAS SAINT-LAURENT



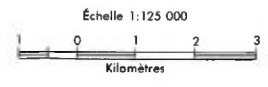
TENEURS (ppm)

- 1 - 4
- 5 - 6
- 7 - 17
- + 18 - 34
- ⊕ 35 - 65
- 66 - 149
- 150 - 299
- 300 - 599
- 600 - 1199
- 1200 - 2399

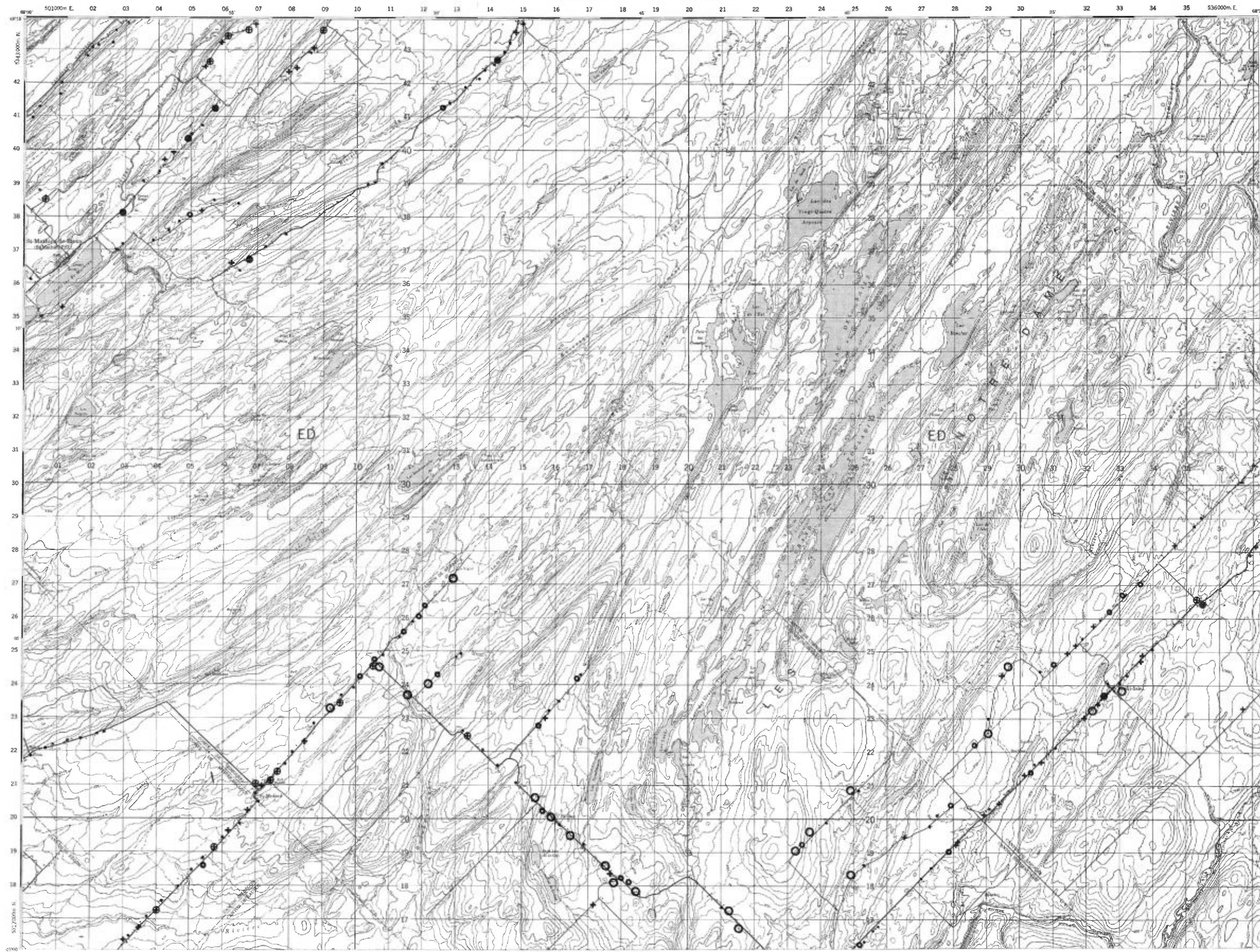


Service de la  
GÉOCHIMIE-GÉOPHYSIQUE

- TENEURS (ppm)
- 0,9 – 2,9
  - 3,0 – 4,5
  - 4,6 – 11,4
  - ⊕ 11,5 – 26,9
  - 27,0 – 54,9
  - 55,0 – 122,9
  - ① 123,0 – 249,9
  - ② 250,0 – 499,9
  - ③ 500,0 – 999,9
  - ④ 1000,0 – 1999,9

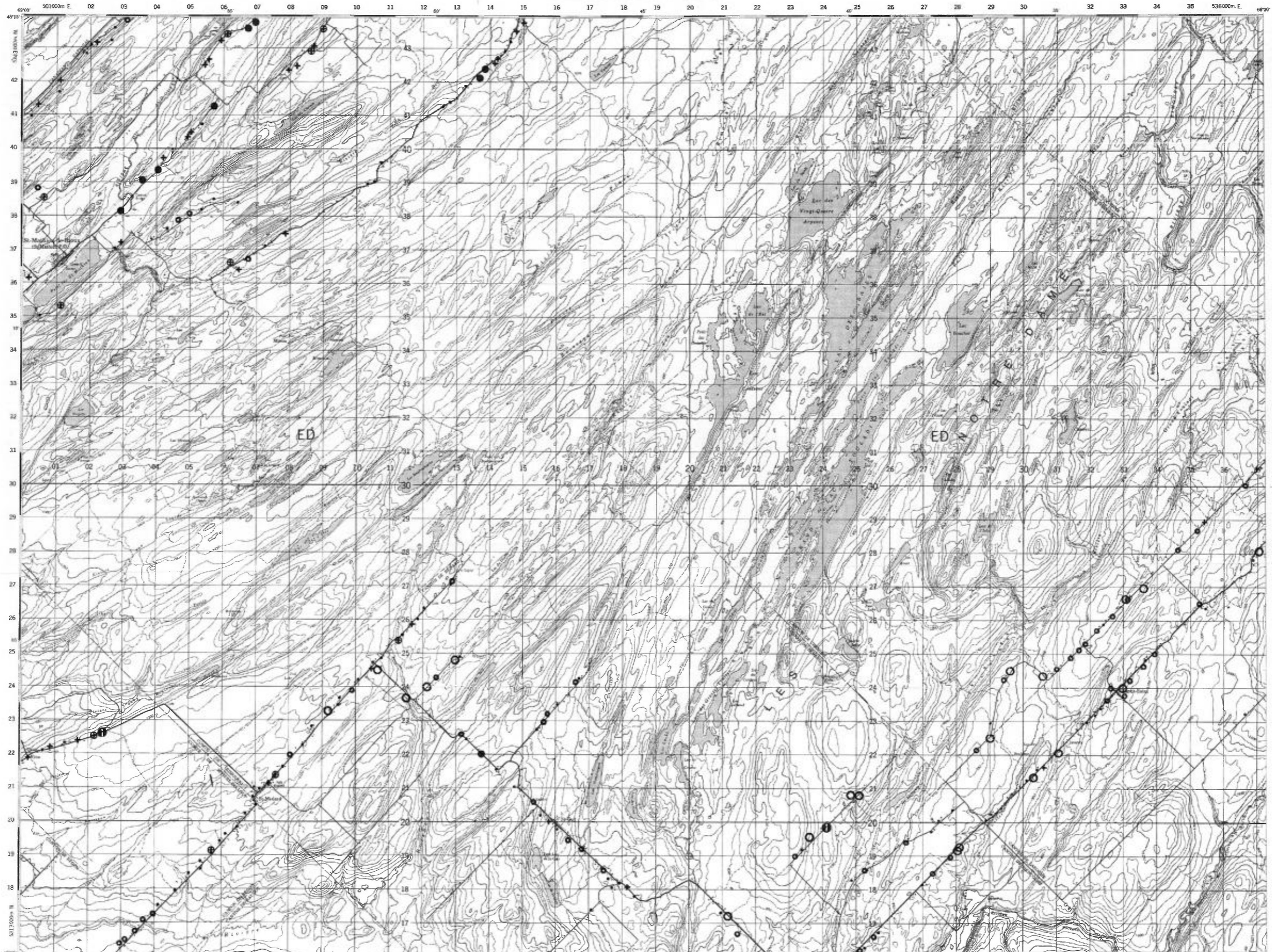


Service de la  
GÉOCHIMIE-GÉOPHYSIQUE



TENEURS (ppm)

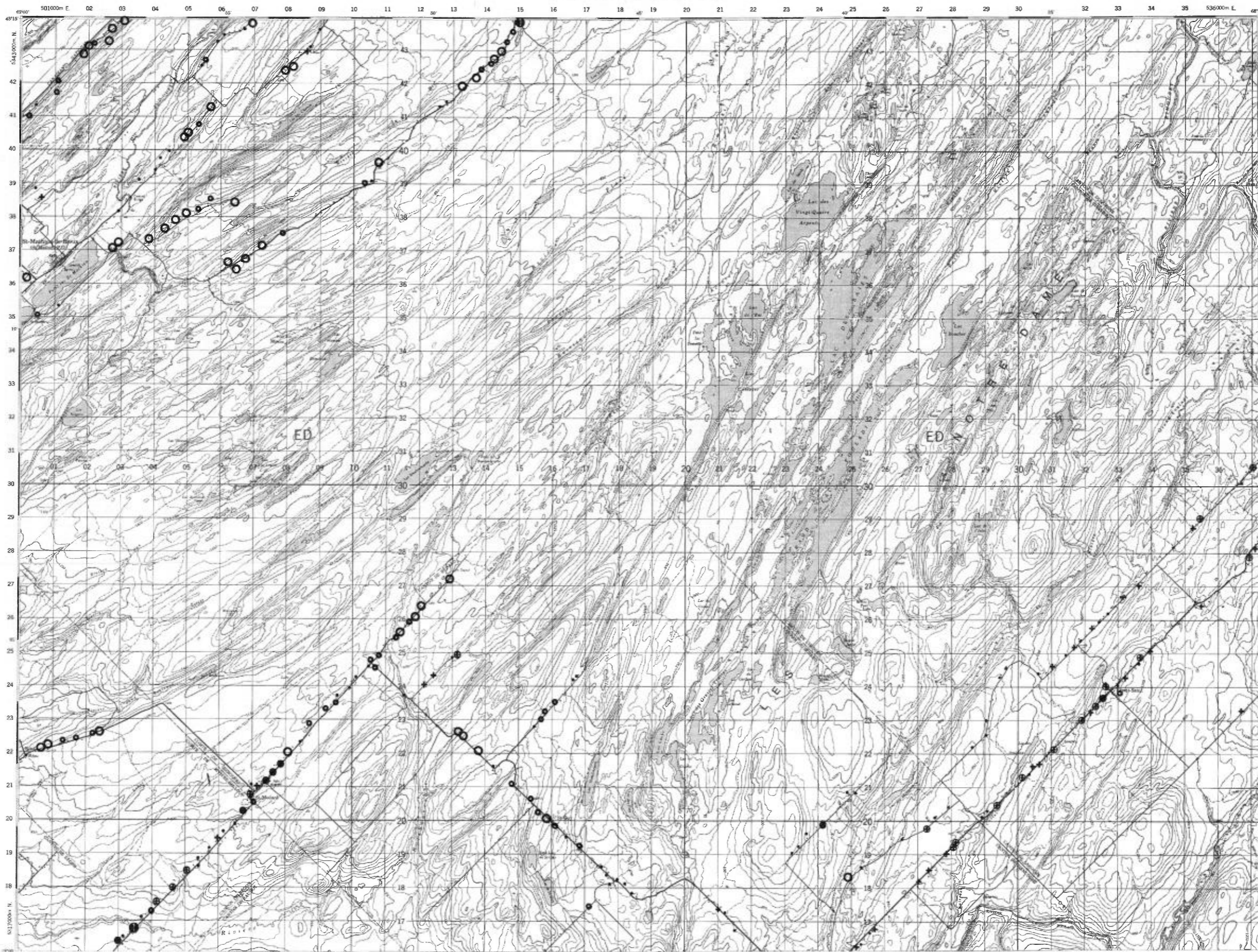
- 0,2 – 0,5
- 0,6 – 0,9
- 1,0 – 2,1
- + 2,2 – 3,5
- ⊕ 3,6 – 4,9
- 5,0 – 8,9
- ⊙ 9,0 – 17,9
- ⊗ 18,0 – 35,9
- ⊚ 36,0 – 71,9



Échelle 1:125 000



Service de la  
GÉOCHIMIE-GÉOPHYSIQUE



TENEURS (ppm)

- 1,0 - 29,9
- 30,0 - 44,9
- 45,0 - 72,9
- + 73,0 - 88,9
- ⊕ 89,0 - 104,9
- 105,0 - 139,9
- ⊖ 140,0 - 279,9
- ⊙ 280,0 - 559,9

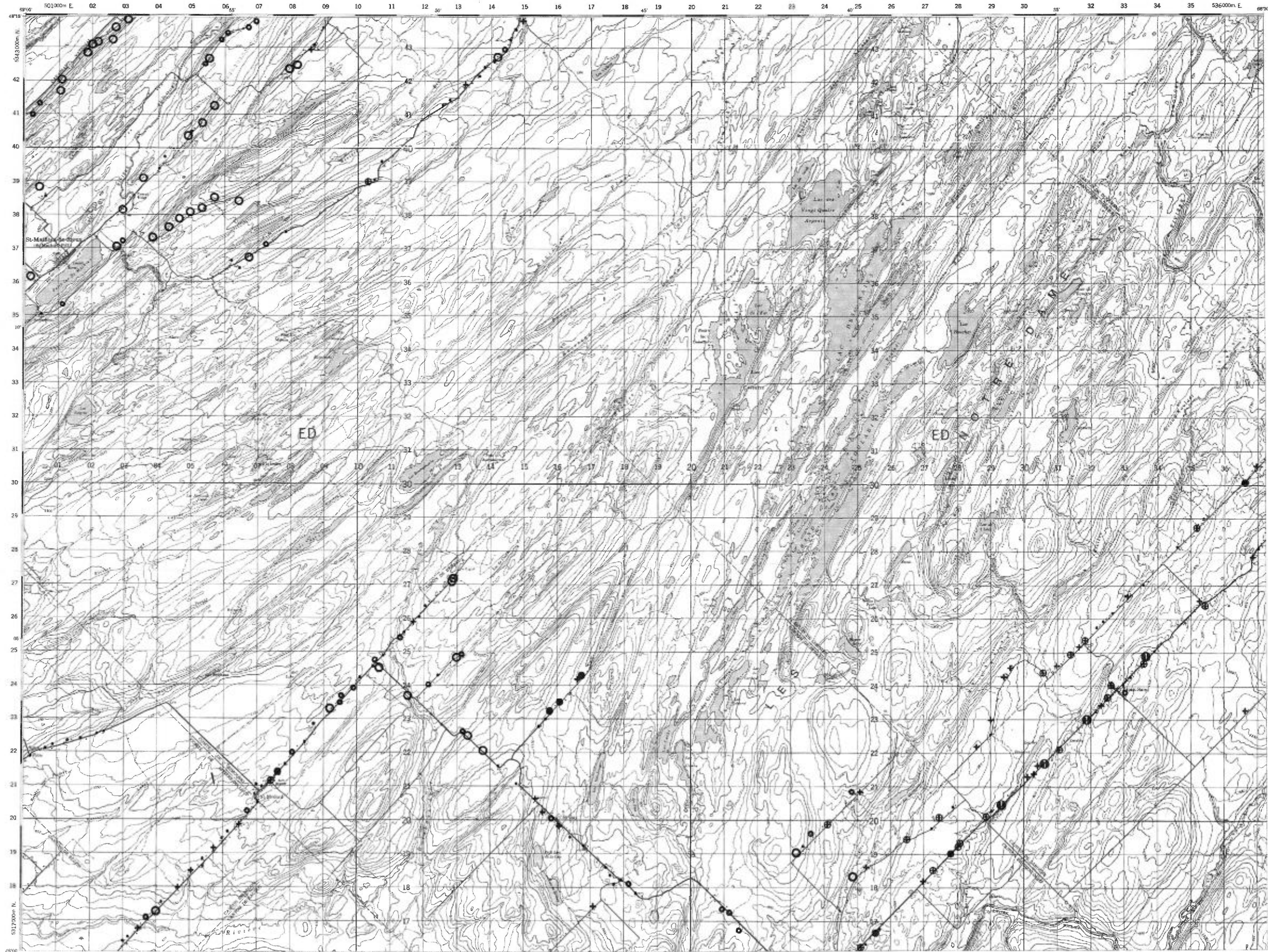
Échelle 1:125 000



Service de la  
GÉOCHIMIE-GÉOPHYSIQUE

Ca

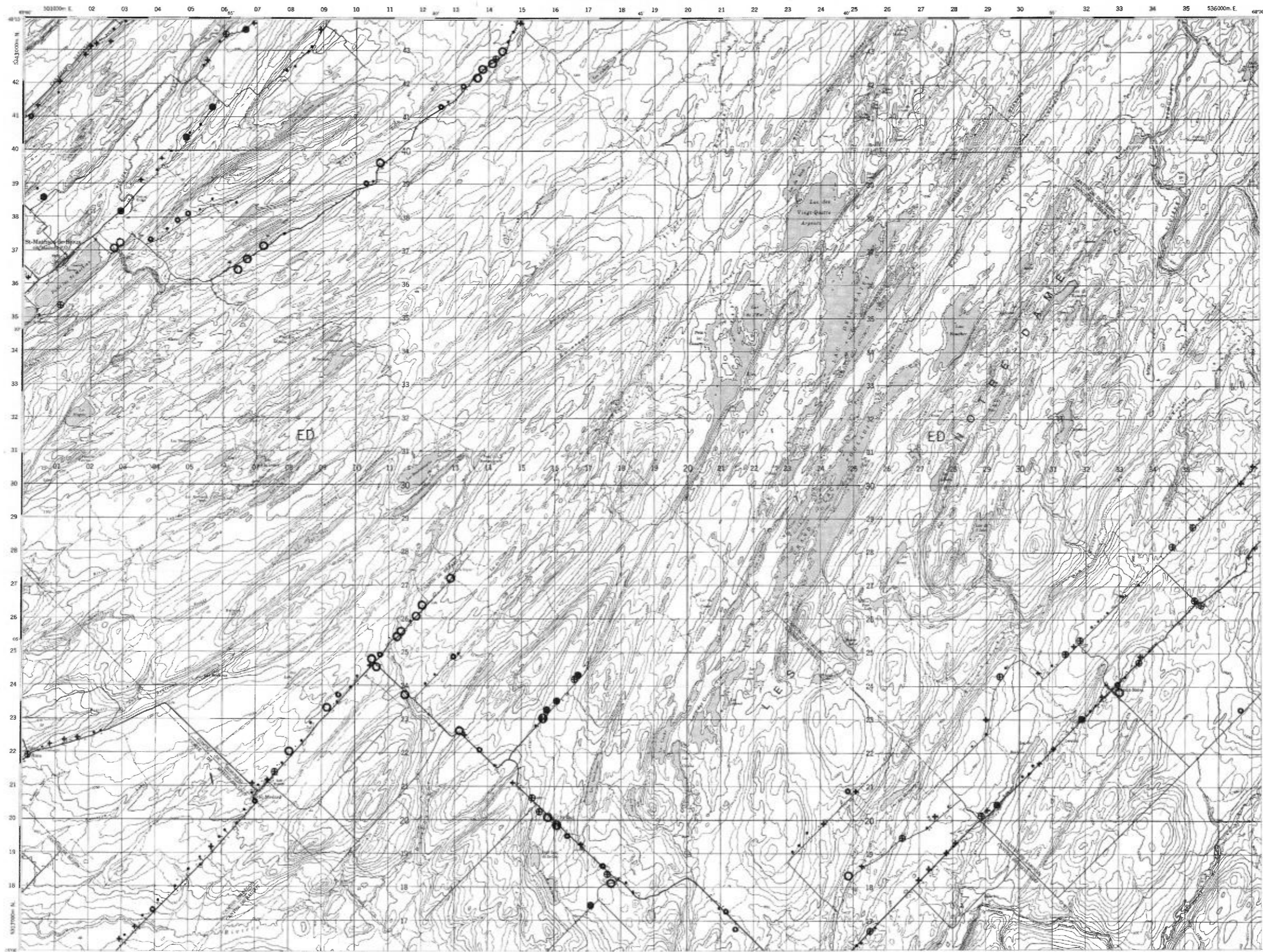
- TENEURS (ppm)
- 0,1 – 4,2
  - 4,3 – 6,3
  - 6,4 – 11,9
  - + 12,0 – 16,2
  - ⊕ 16,3 – 20,0
  - 20,1 – 27,9
  - ⊕ 28,0 – 55,9
  - ⊕ 56,0 – 111,9



Échelle 1:125 000  
 1 0 1 2 3  
 Kilomètres

Service de la  
 GÉOCHIMIE-GÉOPHYSIQUE





TENEURS (ppb)

- 0,1 — 5,5
- 5,6 — 7,9
- 8,0 — 15,4
- + 15,5 — 25,9
- ⊕ 26,0 — 41,9
- ⊙ 42,0 — 115,0
- ① 115,1 — 229,9
- ② 230,0 — 459,9
- ③ 460,0 — 919,9
- ④ 920,0 — 1839,9
- ⑤ 1840,0 — 3679,9

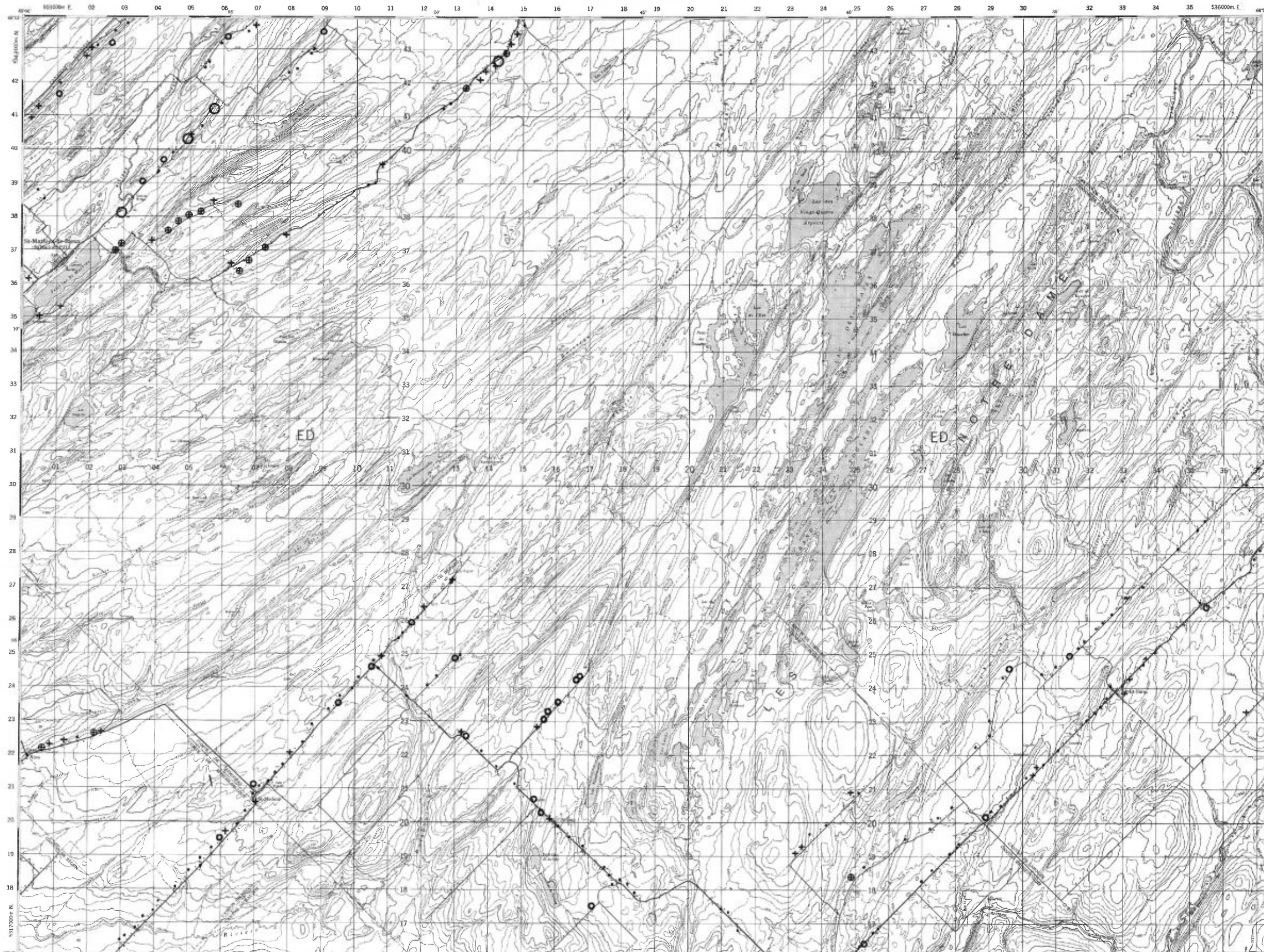
Échelle 1:125 000



Service de la  
GÉOCHIMIE-GÉOPHYSIQUE

TENEURS (unité)

- 0,0 — 5,7
- ⊕ 5,8 — 6,2
- + 6,3 — 6,7
- 6,8 — 7,2
- 7,3 — 7,7
- 7,8 — 8,2
- 8,3 — 14,0

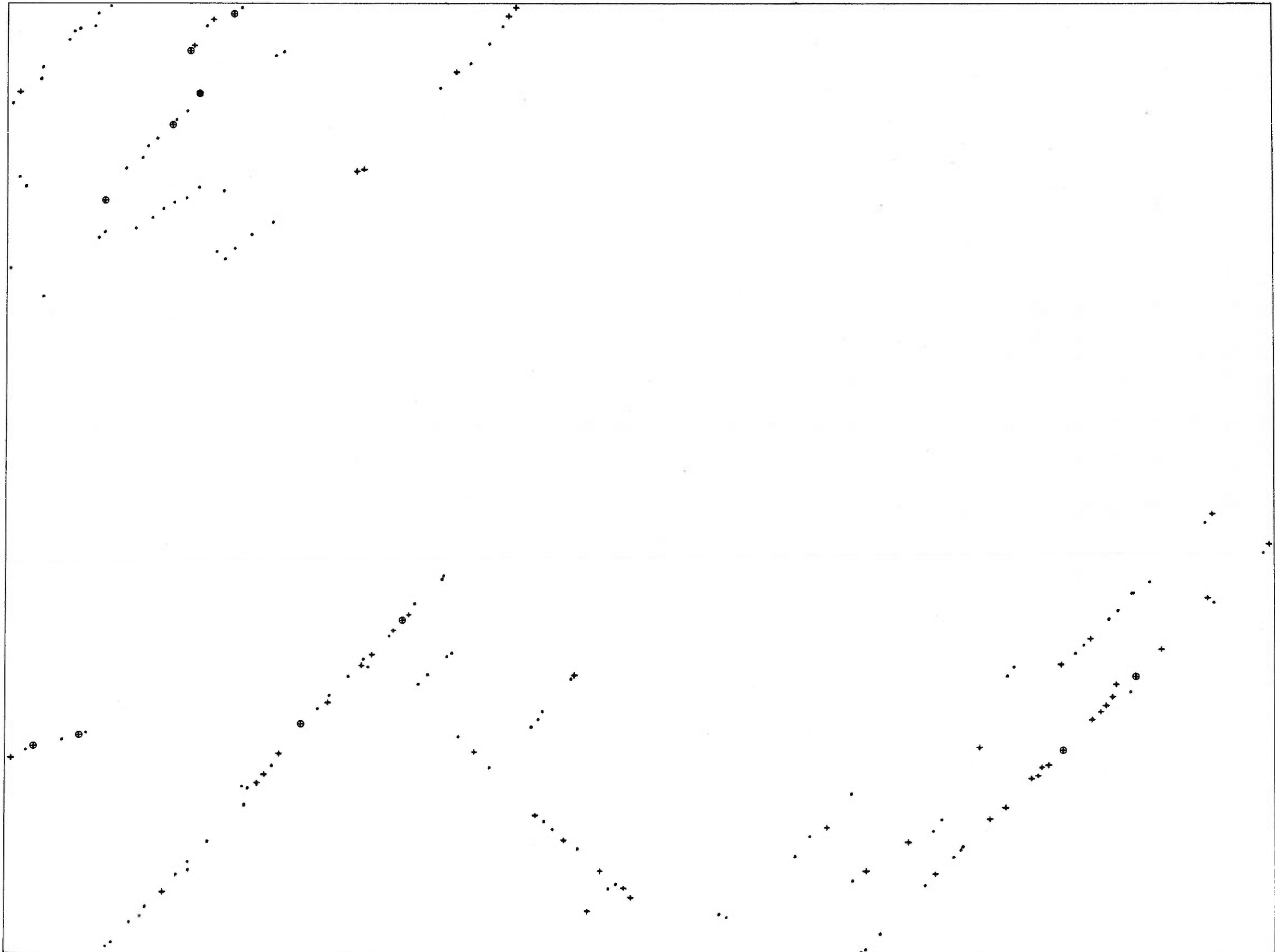


Service de la  
GÉOCHIMIE-GÉOPHYSIQUE

PROFONDEUR DES PUIITS

pieds

- 1 - 75
- + 76 - 150
- ⊕ 151 - 300
- 301 - 600

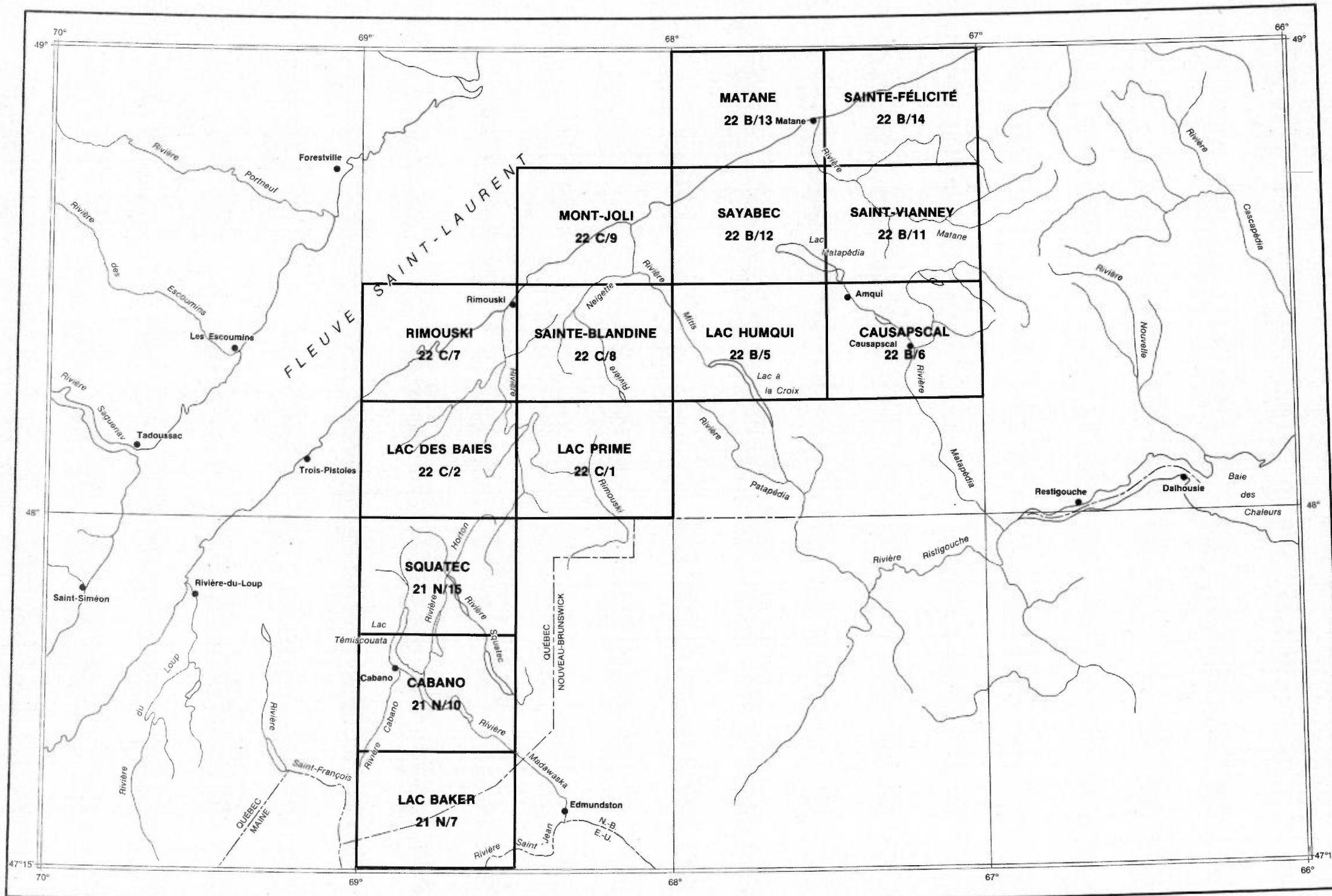


Échelle 1:125 000



Service de la  
GÉOCHIMIE-GÉOPHYSIQUE

PROFONDEUR  
DES PUIITS

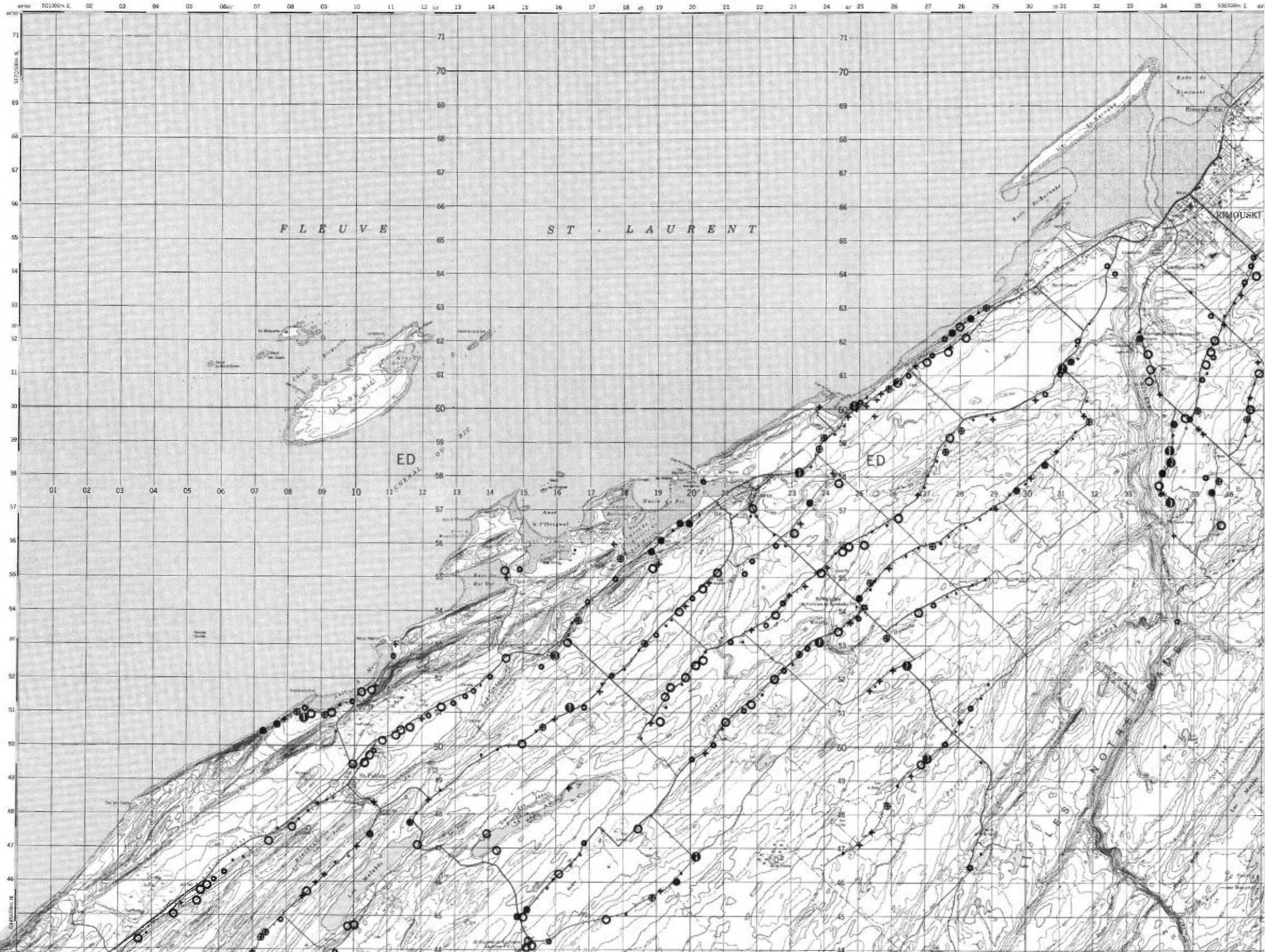


**INDEX DES CARTES GÉOCHIMIQUES  
RÉGION DU BAS SAINT-LAURENT**



TENEURS (ppb)

- 1 - 8
- 9 - 13
- 14 - 29
- ⊕ 30 - 54
- ⊕ 55 - 89
- 90 - 179
- ⊕ 180 - 359
- 360 - 719
- ⊕ 720 - 1439
- 1440 - 2879



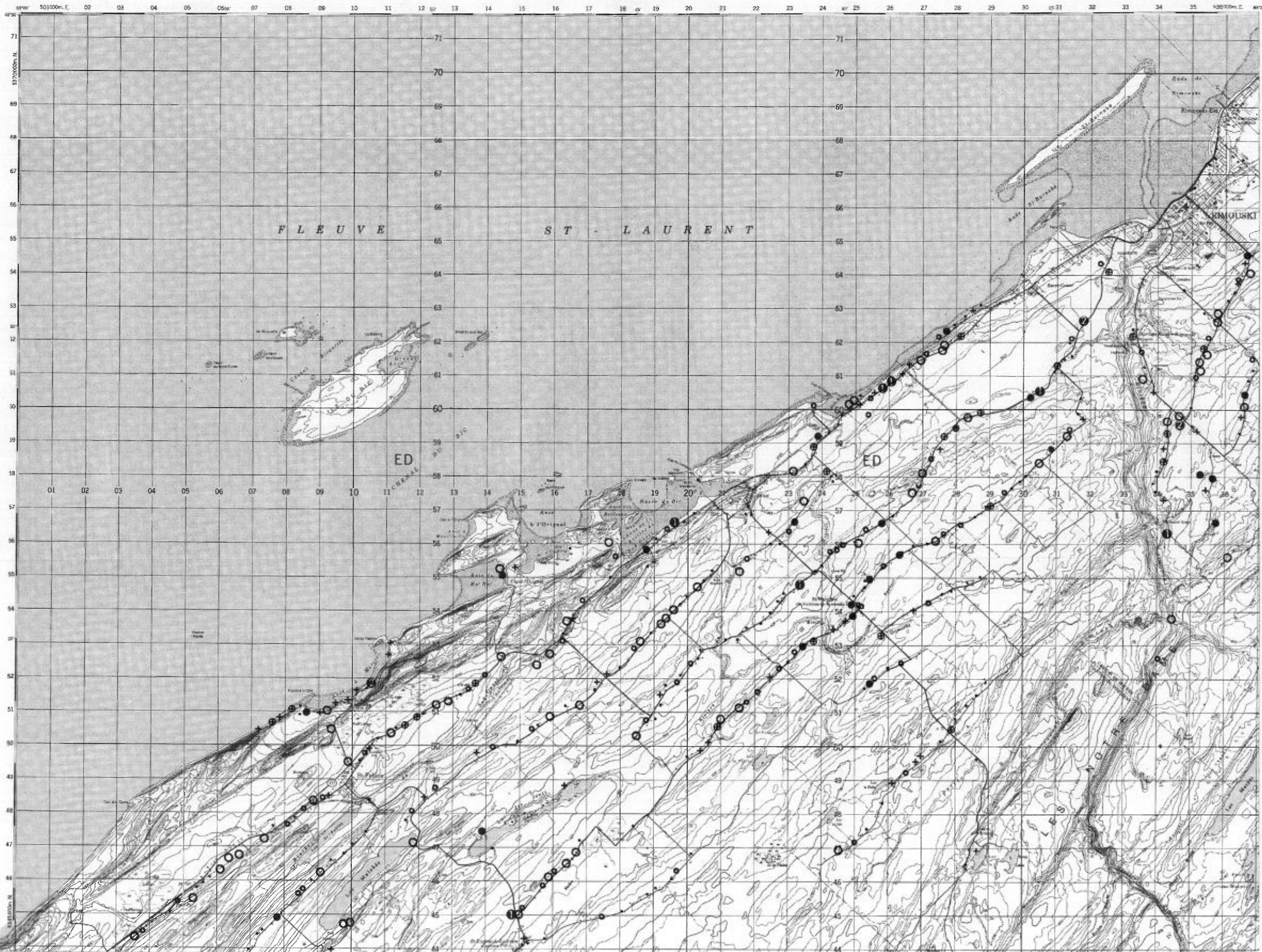
Échelle 1:125 000



Service de la  
 GÉOCHIMIE-GÉOPHYSIQUE

TENEURS (ppb)

- 4 - 12
- 14 - 34
- 36 - 144
- + 146 - 338
- ⊕ 340 - 738
- ⊗ 740 - 1498
- ⊙ 1500 - 2998
- ⊚ 3000 - 5998
- ⊛ 6000 - 11998
- ⊜ 12000 - 23998



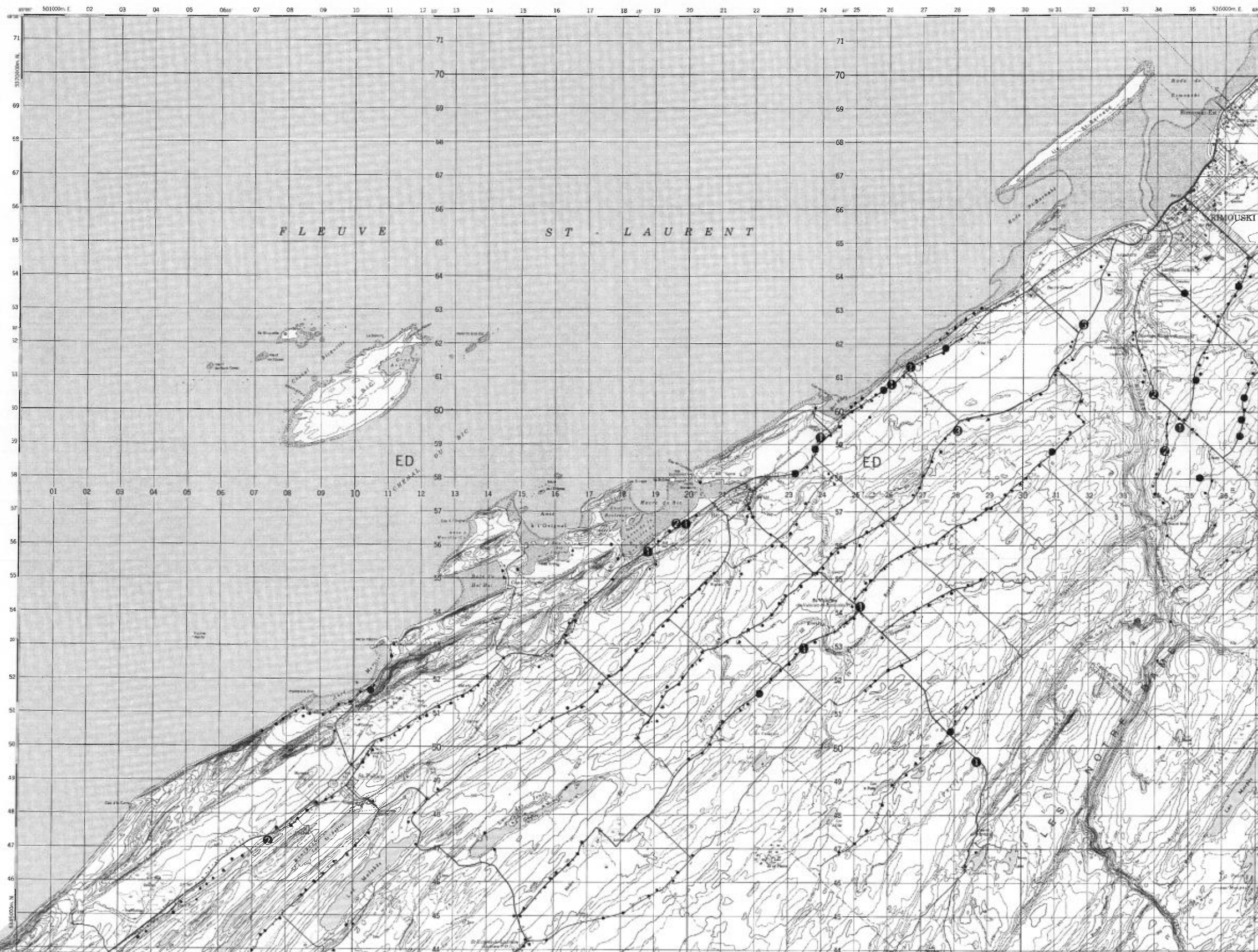
Échelle 1:125 000



Service de la  
 GÉOCHIMIE-GÉOPHYSIQUE

TENEURS (ppb)

- 1
- 2 - 4
- 5 - 9
- 10 - 19
- 20 - 39
- 40 - 79
- 80 - 159
- 160 - 219



Échelle 1:125 000



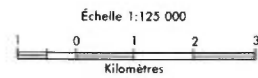
Service de la  
 GÉOCHIMIE-GÉOPHYSIQUE

RIMOUSKI

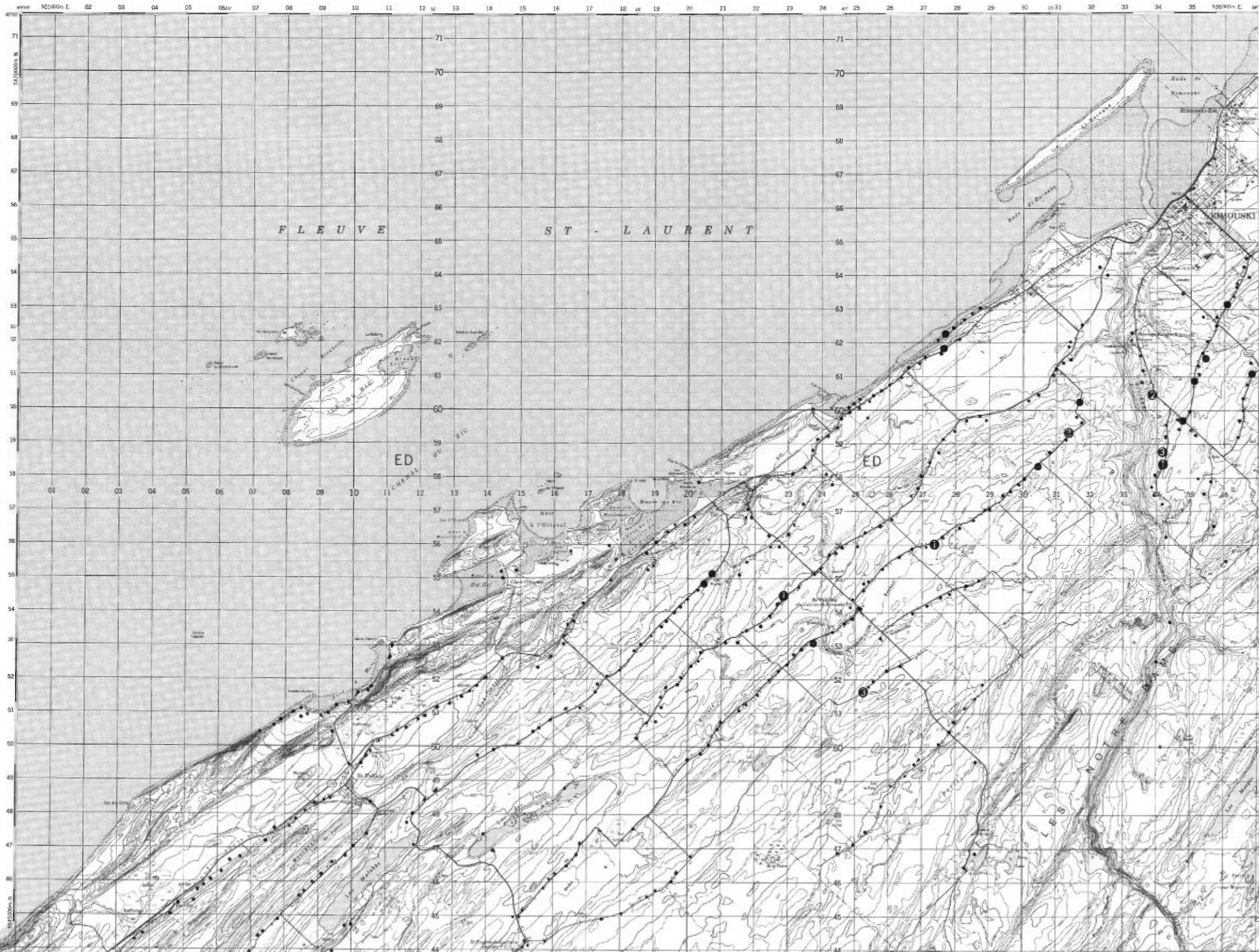
RÉGION DU BAS SAINT-LAURENT

TENEURS (ppb)

- 1
- 2 - 5
- ① 6 - 11
- ② 12 - 24
- ③ 25 - 49
- ④ 50 - 99
- ⑤ 100 - 199
- ⑥ 200 - 399



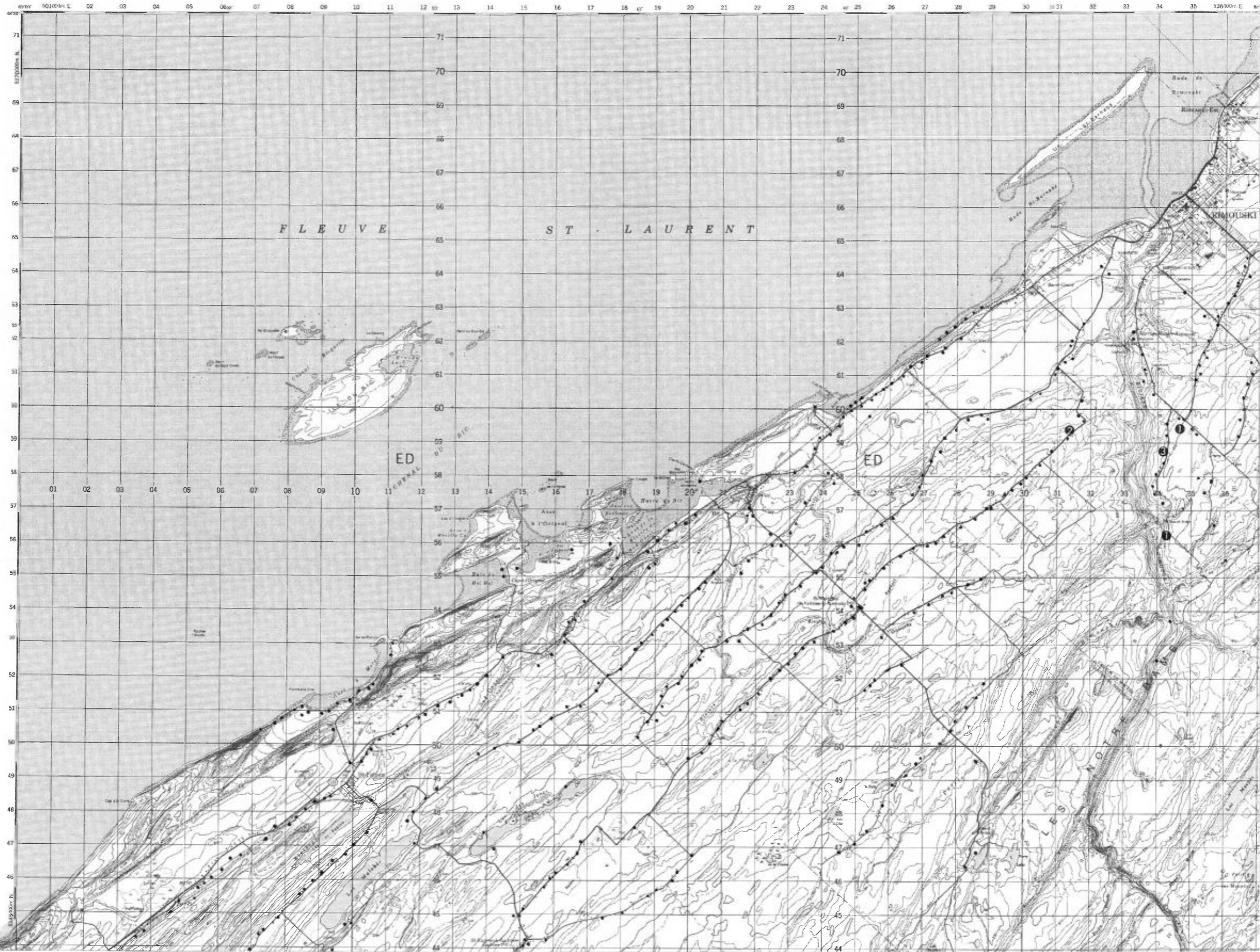
Service de la  
 GÉOCHIMIE-GÉOPHYSIQUE





TENEURS (ppb)

- 1
- 2 - 3
- ① 4 - 7
- ② 8 - 15
- ③ 16 - 31
- ④ 32 - 63



Échelle 1:125 000



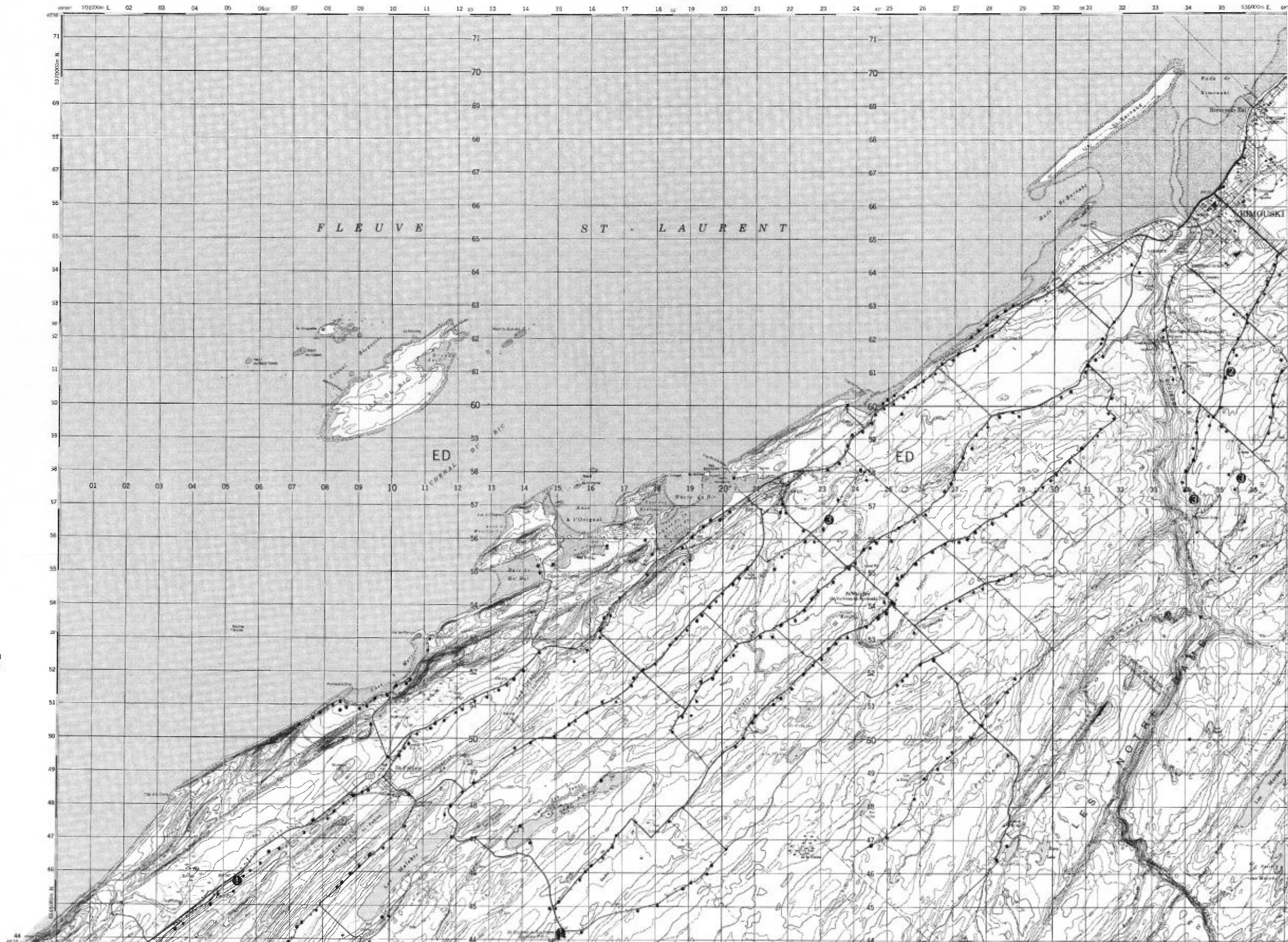
Service de la  
 GÉOCHIMIE-GÉOPHYSIQUE

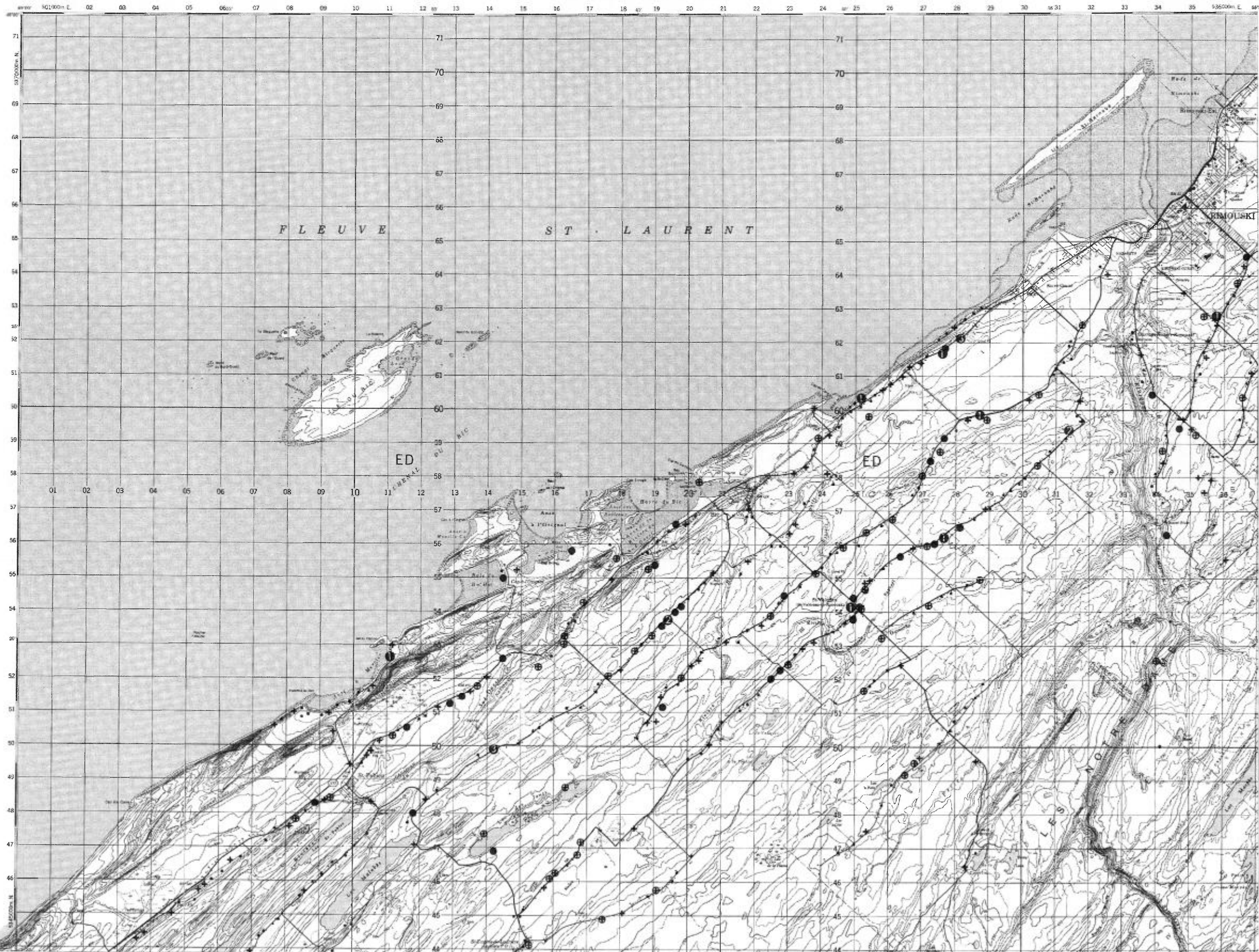
TENEURS (ppb)

- 0,1
- 0,2
- 0,3 — 0,5
- 0,6 — 1,1
- 1,2 — 2,3
- 2,4 — 4,9
- 5,0 — 9,9
- 10,0 — 19,9
- 20,0 — 39,9
- 40,0 — 79,9



Service de la  
GÉOCHIMIE-GÉOPHYSIQUE





TENEURS (ppb)

- 5 — 10
- + 15 — 50
- ⊕ 55 — 145
- 150 — 455
- ⊖ 460 — 895
- ⊕ 900 — 1795
- ⊖ 1800 — 3595

Échelle 1:125 000

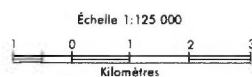


Service de la  
GÉOCHIMIE-GÉOPHYSIQUE

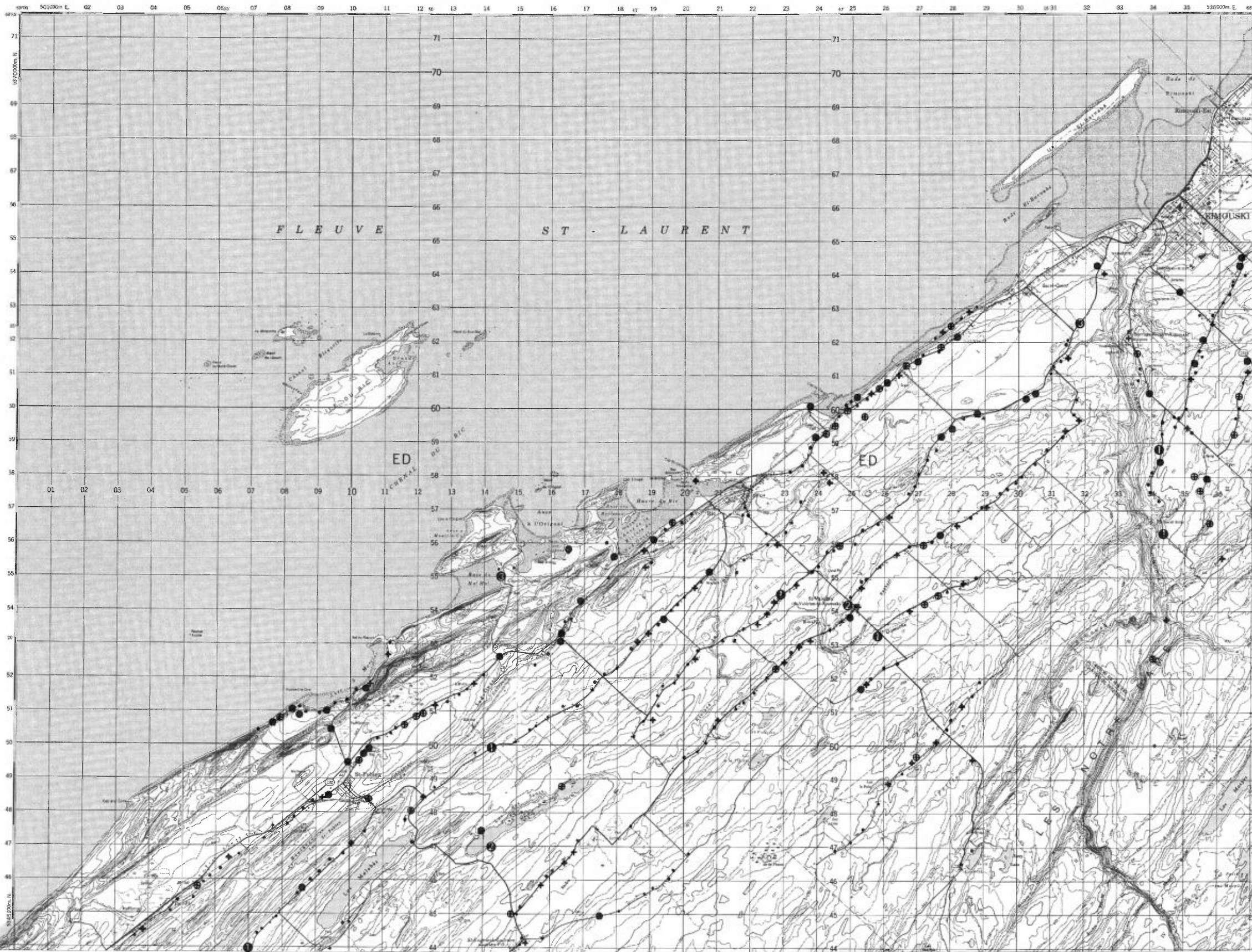
Mn

TENEURS (ppm)

- 0,1
- † 0,2
- ⊕ 0,3 — 0,4
- 0,5 — 1,3
- ⊙ 1,4 — 2,7
- ⊗ 2,8 — 5,5
- ⊚ 5,6 — 11,1



Service de la  
GÉOCHIMIE-GÉOPHYSIQUE

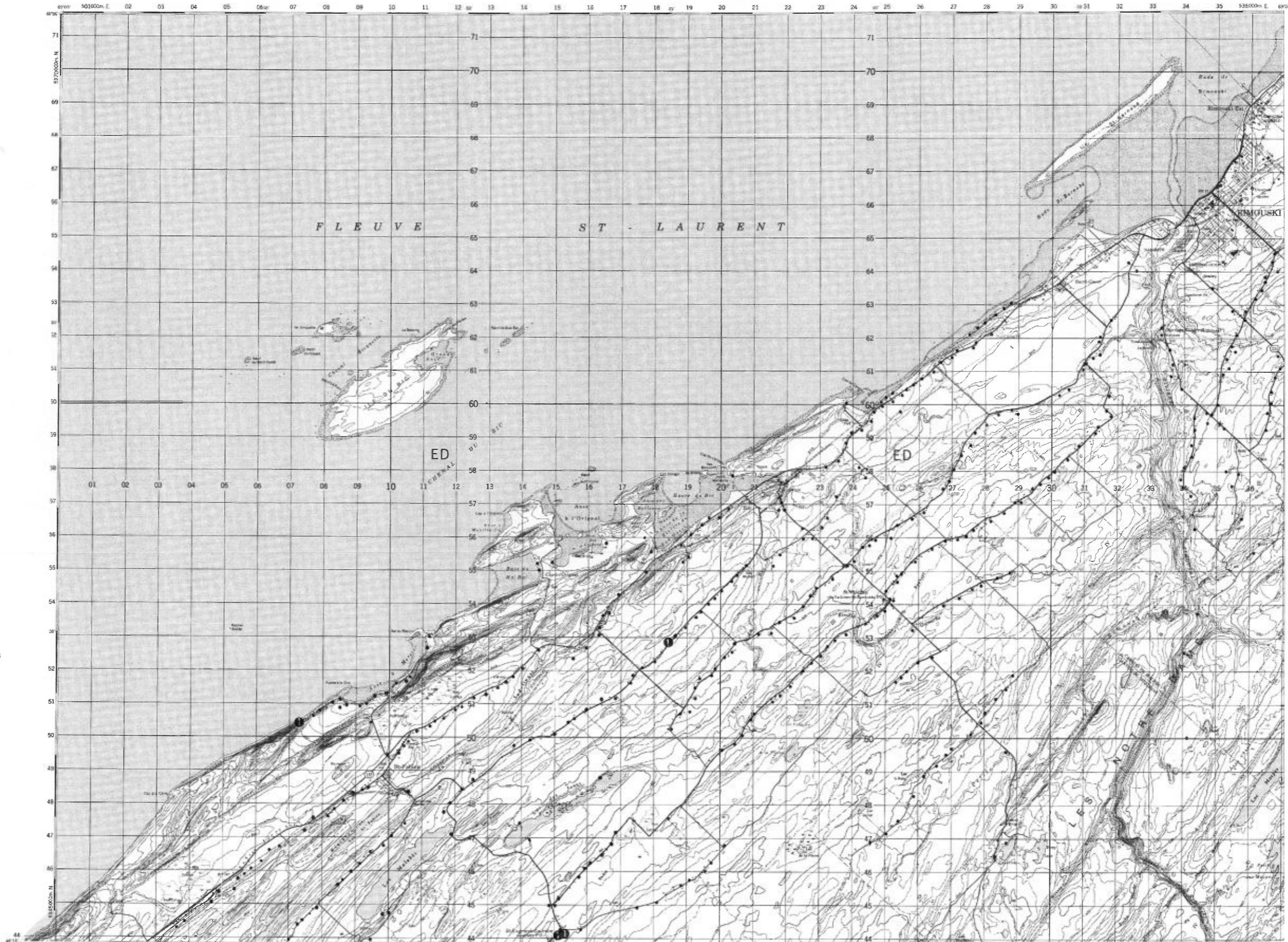


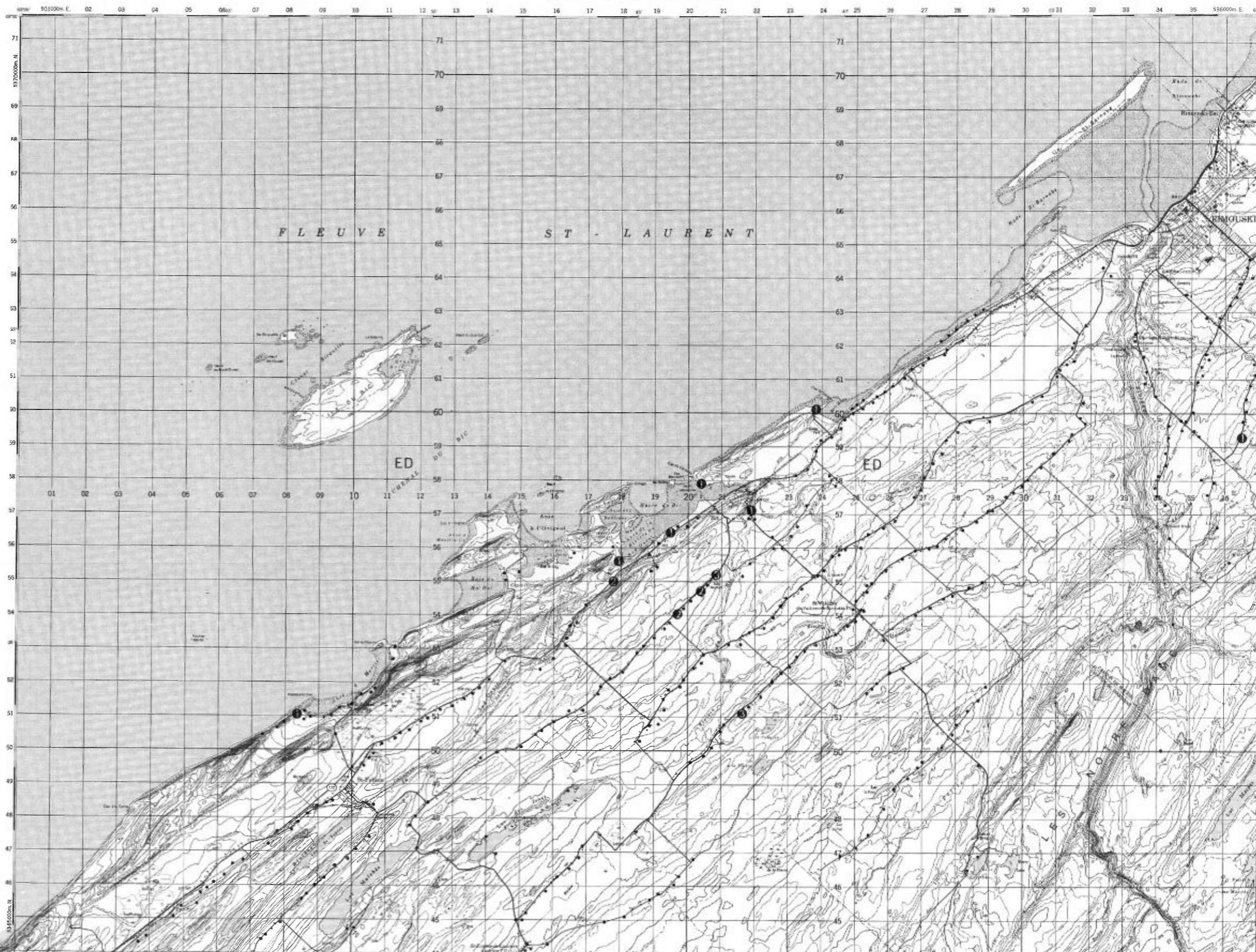
TENEURS (ppb)

- 1
- 2
- ⊙ 3 - 5
- ⊙ 6 - 11



Service de la  
GÉOCHIMIE-GÉOPHYSIQUE





TENEURS (ppb)

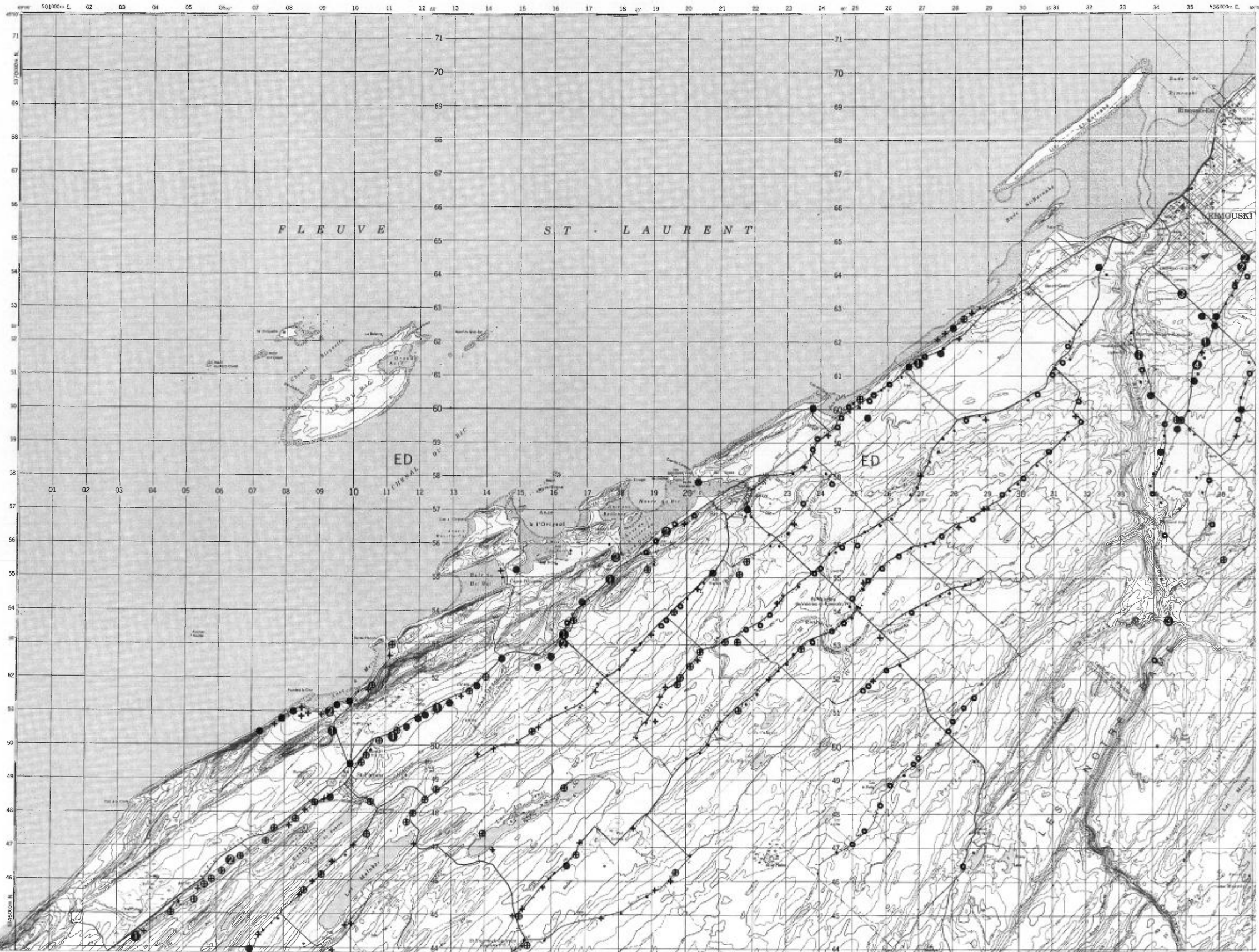
- 2
- + 3 - 5
- ⊙ 6 - 11
- 12 - 23
- ⊖ 24 - 47
- ⊕ 48 - 95



Service de la  
GÉOCHIMIE-GÉOPHYSIQUE

TENEURS (ppm)

- 0,01 - 0,04
- 0,05 - 0,07
- + 0,08 - 0,12
- ⊕ 0,13 - 0,22
- 0,23 - 0,54
- ⊖ 0,55 - 1,09
- ⊗ 1,10 - 2,19
- ⊙ 2,20 - 4,39
- ⊚ 4,40 - 8,79



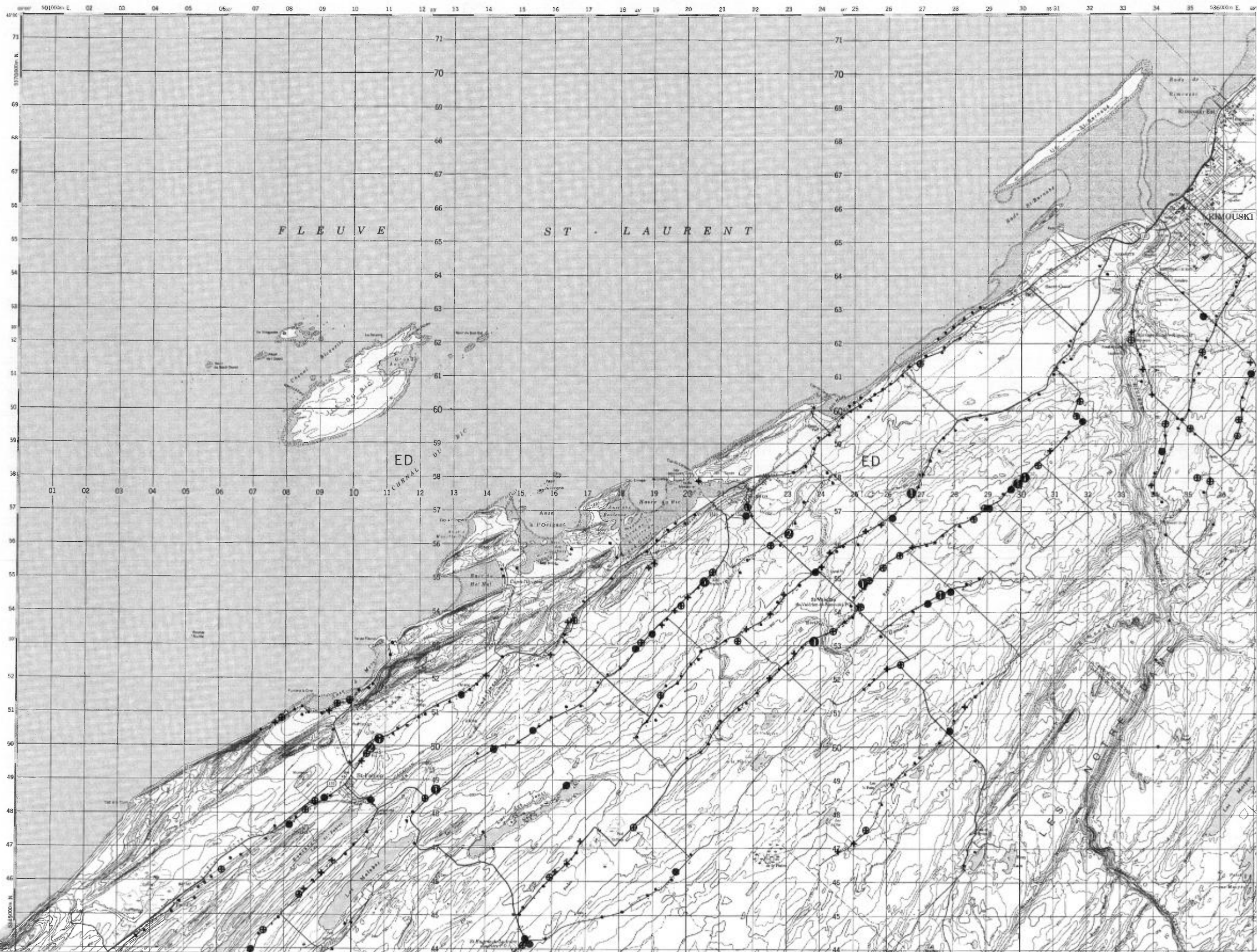
Échelle 1:125 000



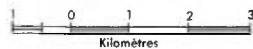
Service de la  
 GÉOCHIMIE-GÉOPHYSIQUE

TENEURS (ppb)

- 2 - 3
- + 4 - 5
- ⊕ 6 - 8
- 9 - 19
- ⊙ 20 - 39
- ⊗ 40 - 79
- ⊘ 80 - 159



Échelle 1:125 000

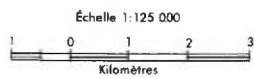
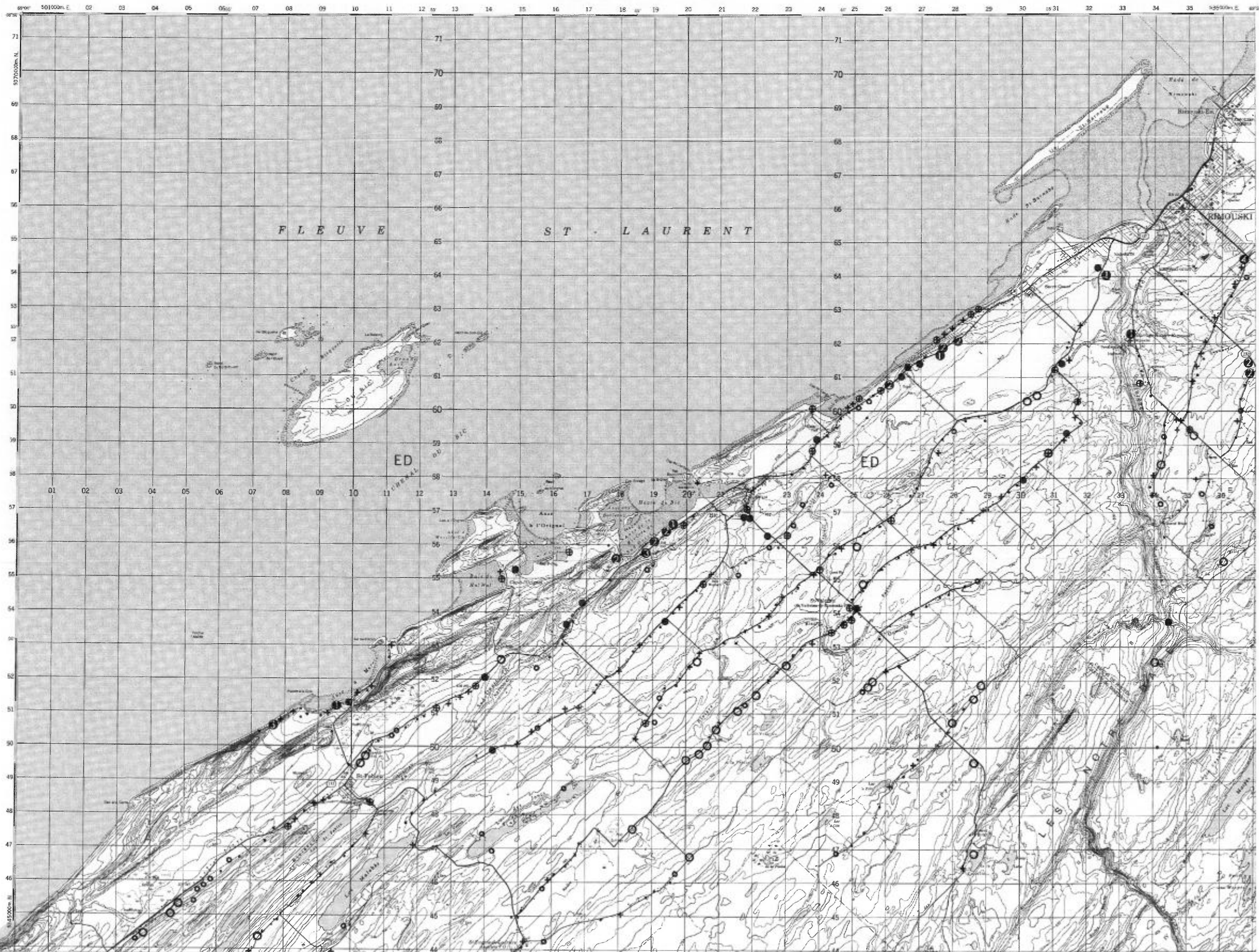


Service de la  
 GÉOCHIMIE-GÉOPHYSIQUE



TENEURS (ppm)

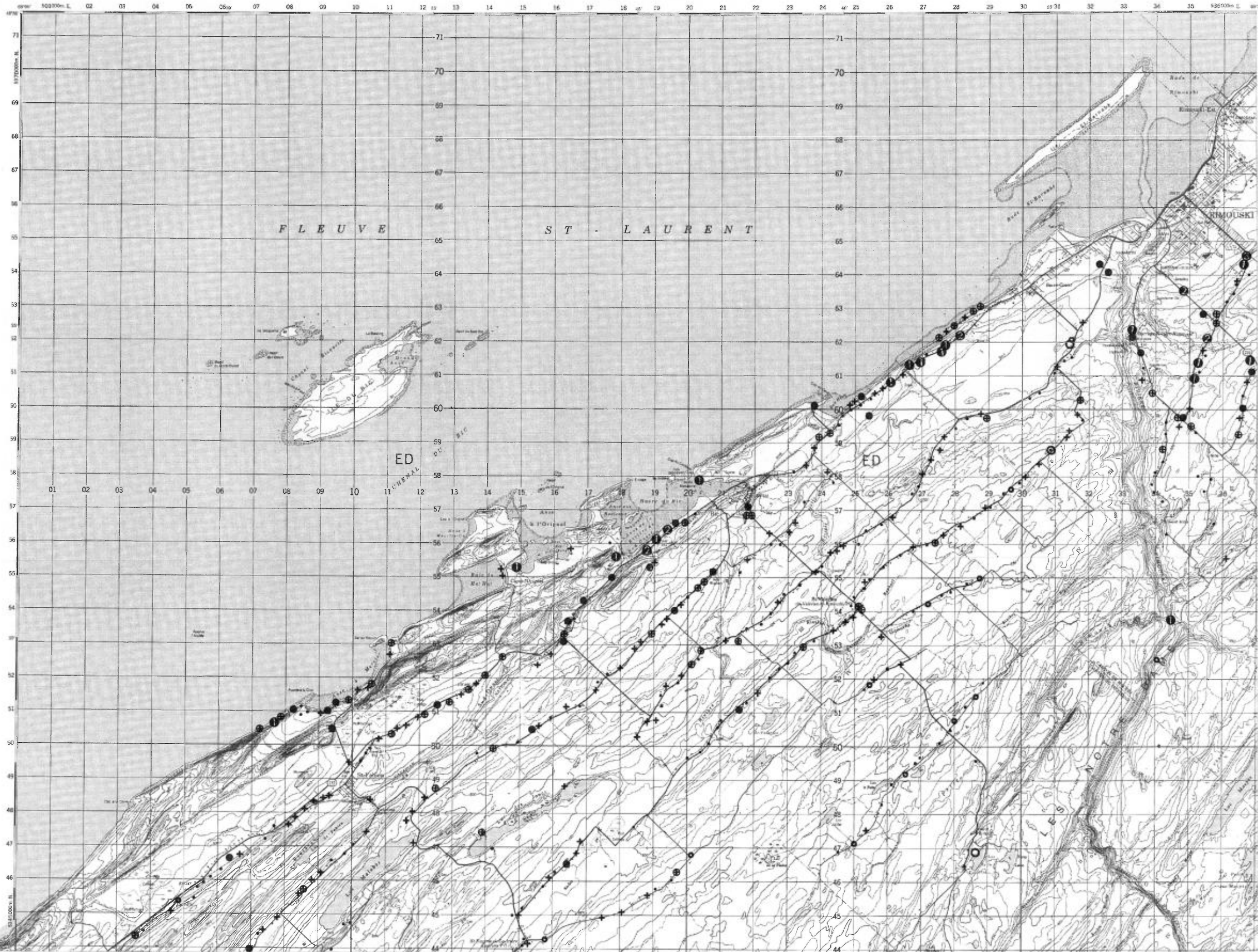
- 1 - 4
- ◊ 5 - 6
- 7 - 17
- + 18 - 34
- ⊕ 35 - 65
- ⊗ 66 - 149
- ⊙ 150 - 299
- ⊚ 300 - 599
- ⊛ 600 - 1199
- ⊜ 1200 - 2399



Service de la  
 GÉOCHIMIE-GÉOPHYSIQUE

TENEURS (ppm)

- 0,9 - 2,9
- 3,0 - 4,5
- 4,6 - 11,4
- + 11,5 - 26,9
- ⊕ 27,0 - 54,9
- 55,0 - 122,9
- 123,0 - 249,9
- 250,0 - 499,9
- 500,0 - 999,9
- 1000,0 - 1999,9



Échelle 1:125 000



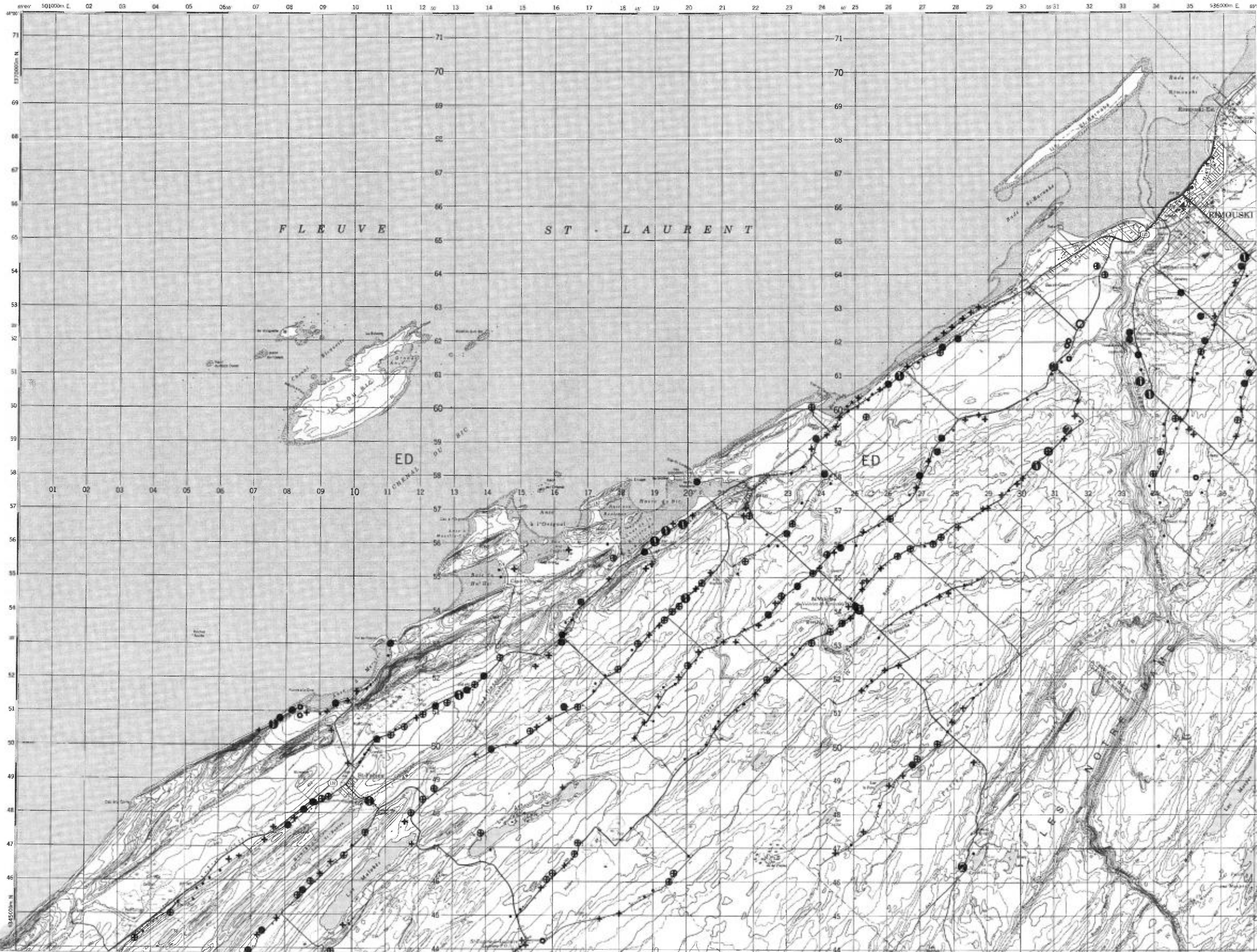
Service de la  
 GÉOCHIMIE-GÉOPHYSIQUE

RIMOUSKI

RÉGION DU BAS SAINT-LAURENT

TENEURS (ppm)

- 0,2 — 0,5
- 0,6 — 0,9
- 1,0 — 2,1
- + 2,2 — 3,5
- ⊕ 3,6 — 4,9
- 5,0 — 8,9
- ⊕ 9,0 — 17,9
- ⊕ 18,0 — 35,9
- ⊕ 36,0 — 71,9



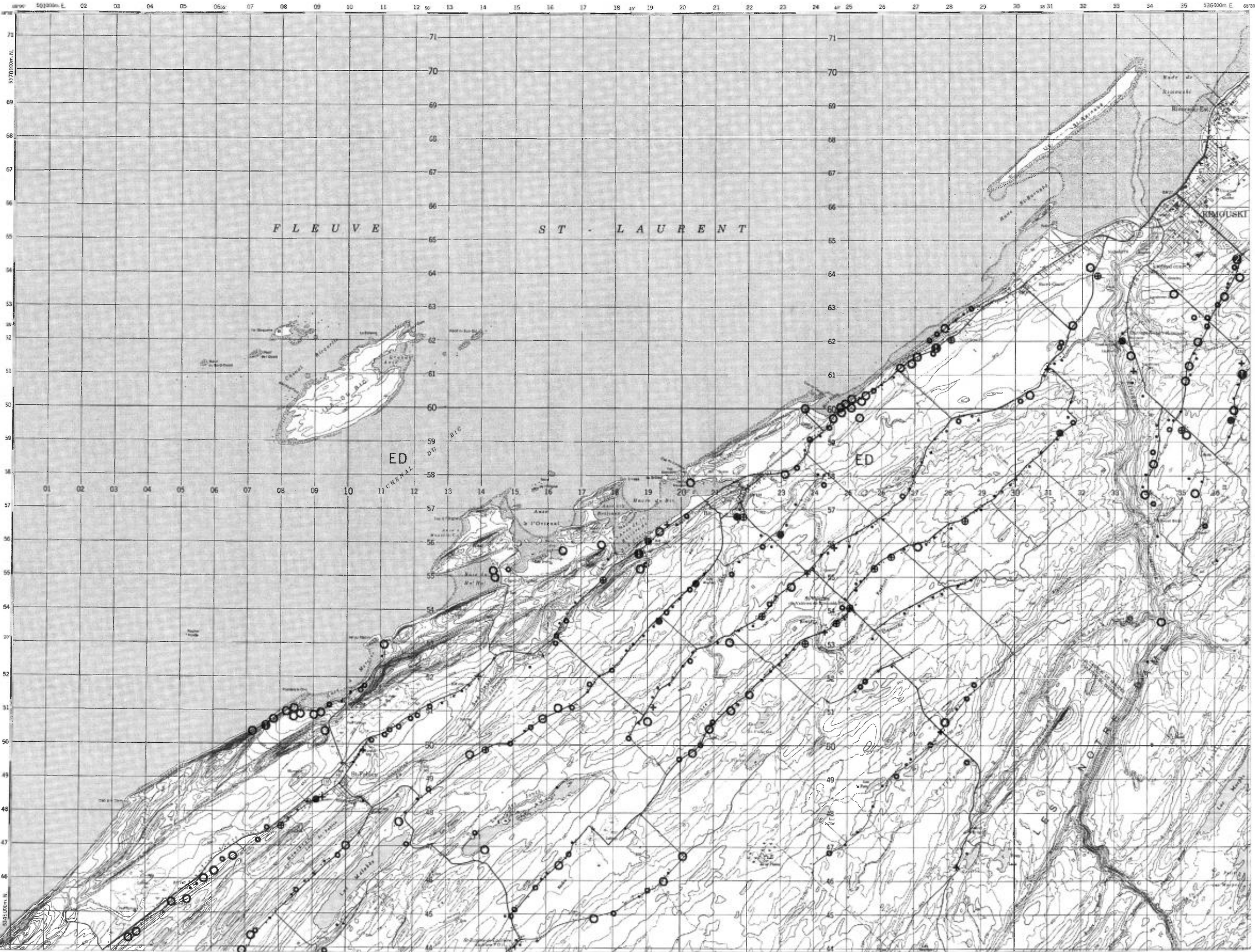
Échelle 1:125 000



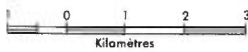
Service de la  
 GÉOCHIMIE-GÉOPHYSIQUE

TENEURS (ppm)

- 1,0 — 29,9
- 30,0 — 44,9
- 45,0 — 72,9
- + 73,0 — 88,9
- ⊕ 89,0 — 104,9
- 105,0 — 139,9
- 140,0 — 279,9
- 280,0 — 559,9



Échelle 1:125 000



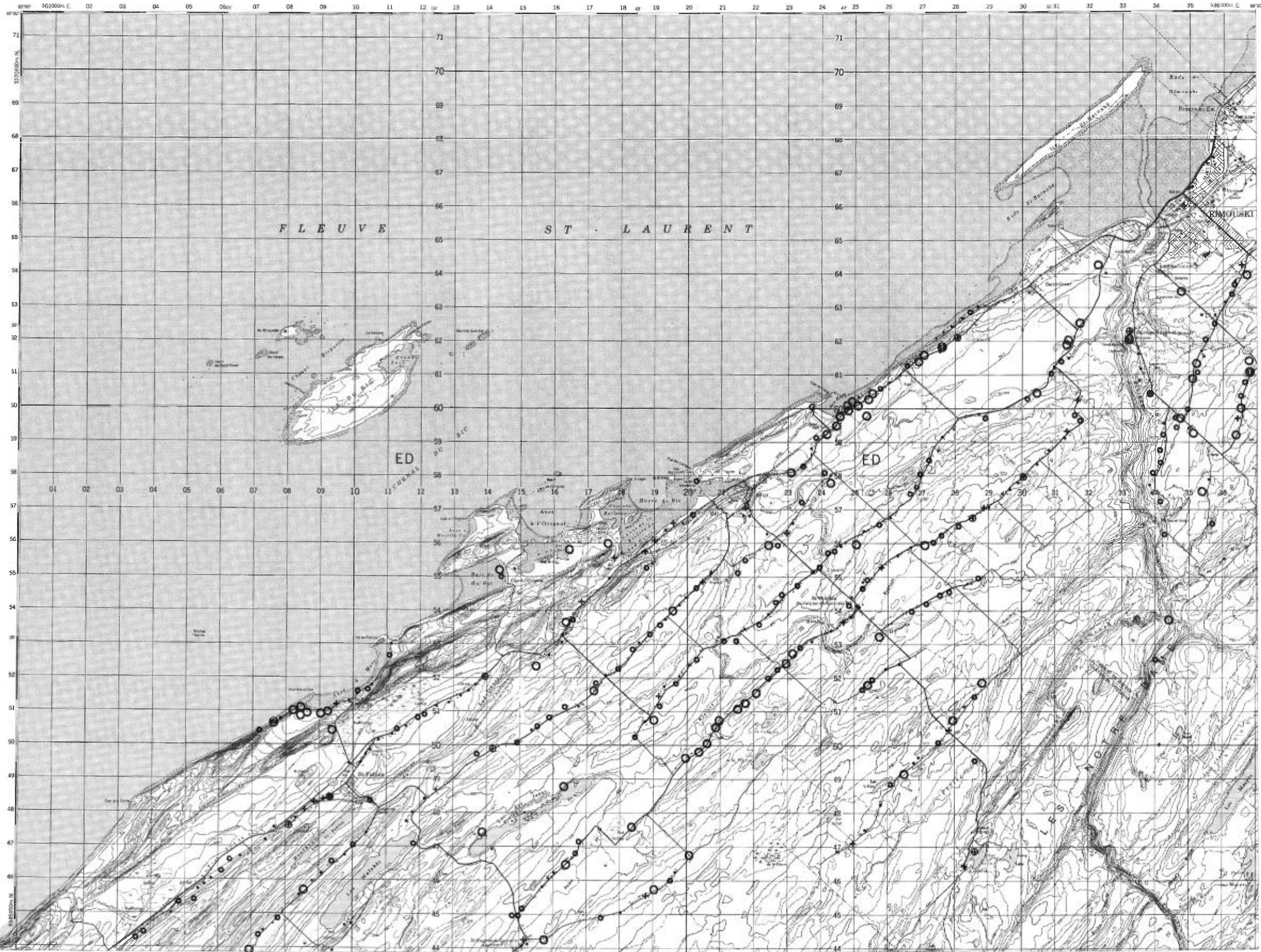
Service de la  
 GÉOCHIMIE-GÉOPHYSIQUE

RIMOUSKI

RÉGION DU BAS SAINT-LAURENT

TENEURS (ppm)

- 0,1 - 4,2
- 4,3 - 6,3
- 6,4 - 11,9
- + 12,0 - 16,2
- ⊕ 16,3 - 20,0
- 20,1 - 27,9
- 28,0 - 55,9
- 56,0 - 111,9



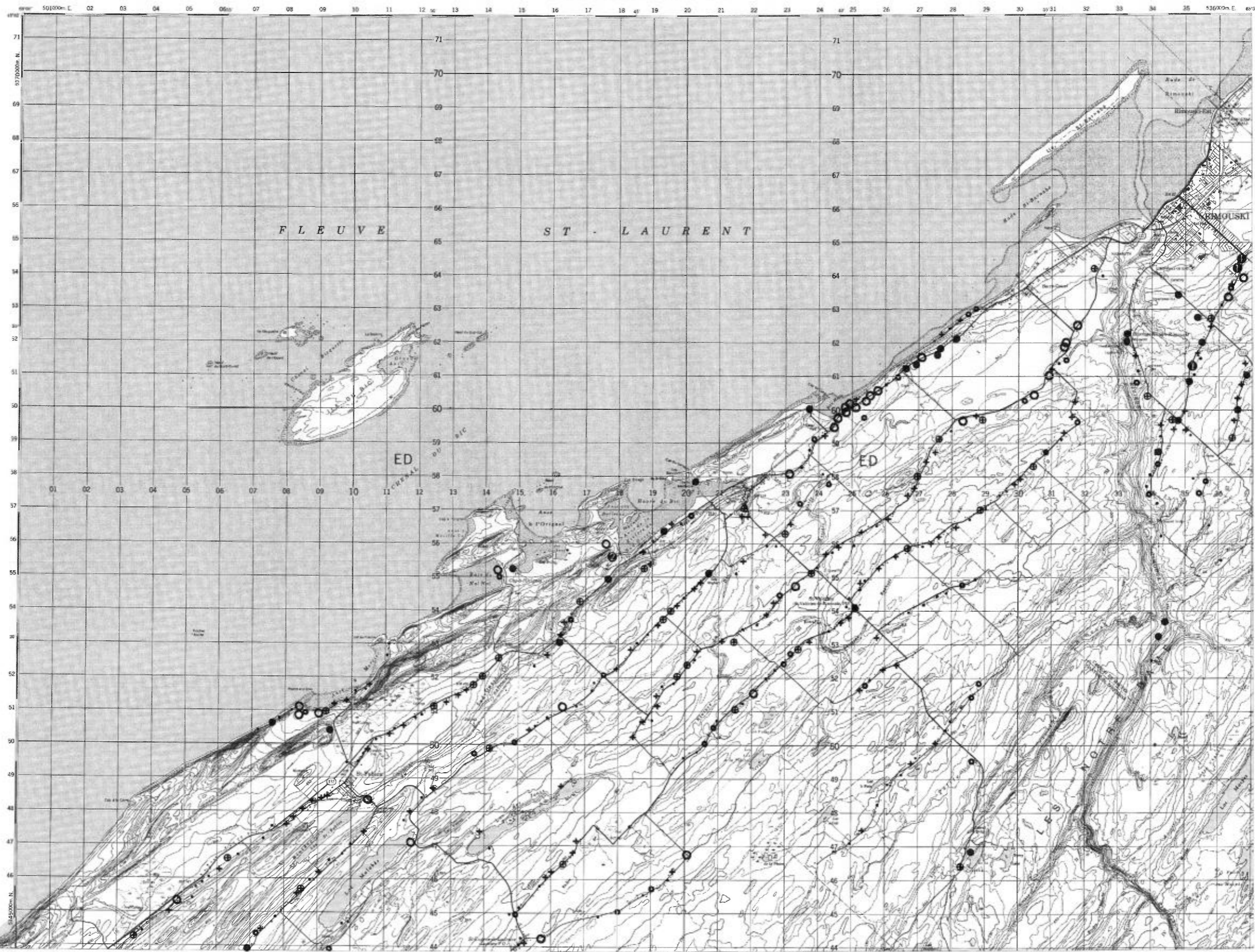
Échelle 1:125 000



Service de la  
 GÉOCHIMIE-GÉOPHYSIQUE

TENEURS (ppb)

- 0,1 - 5,5
- 5,6 - 7,9
- 8,0 - 15,4
- + 15,5 - 25,9
- ⊕ 26,0 - 41,9
- 42,0 - 115,0
- ① 115,1 - 229,9
- ② 230,0 - 459,9
- ③ 460,0 - 919,9
- ④ 920,0 - 1839,9
- ⑤ 1840,0 - 3679,9



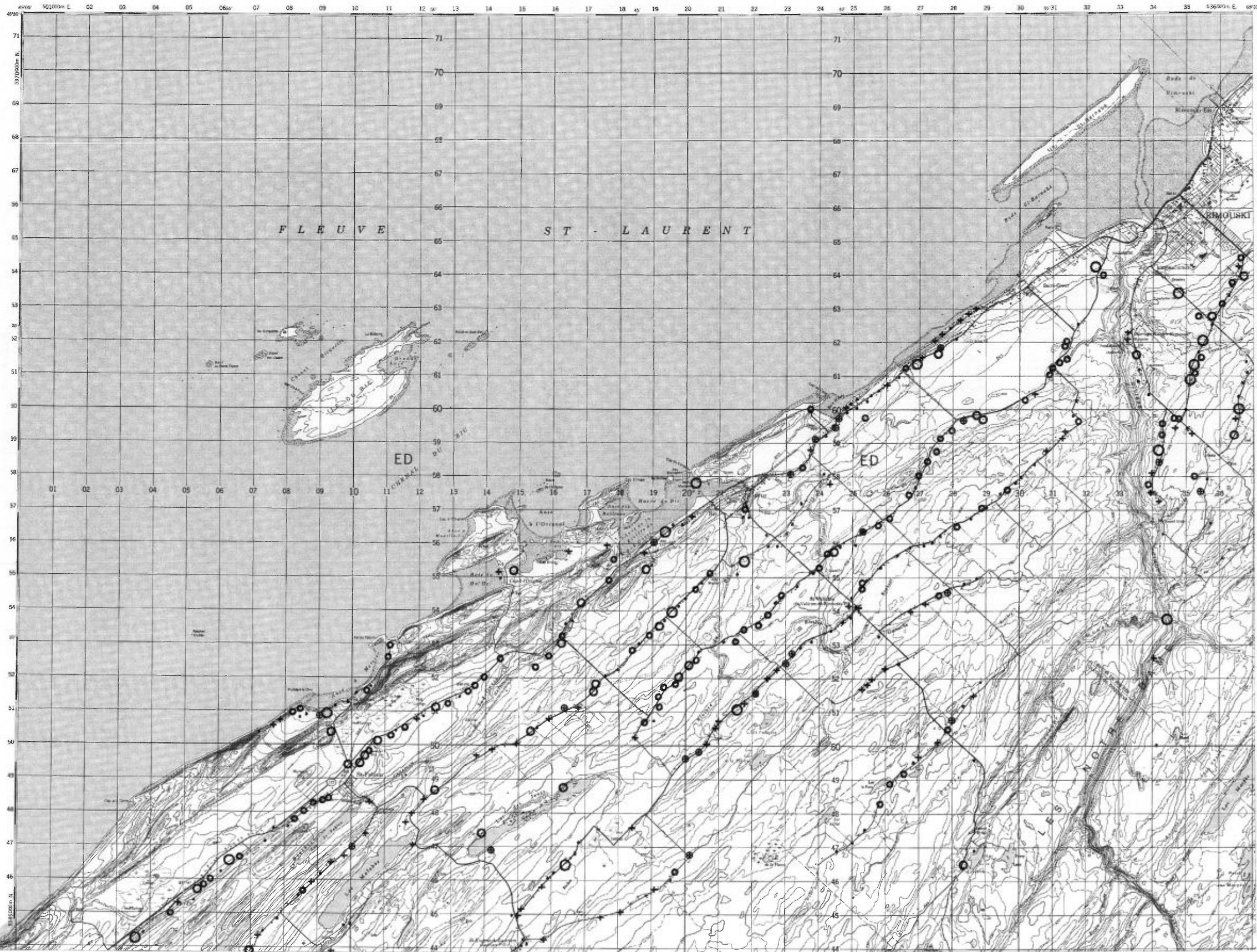
Échelle 1:125 000



Service de la  
 GÉOCHIMIE-GÉOPHYSIQUE

TENEURS (unité)

- 0,0 — 5,7
- ⊕ 5,8 — 6,2
- + 6,3 — 6,7
- 6,8 — 7,2
- 7,3 — 7,7
- 7,8 — 8,2
- 8,3 — 14,0



Échelle 1:125 000



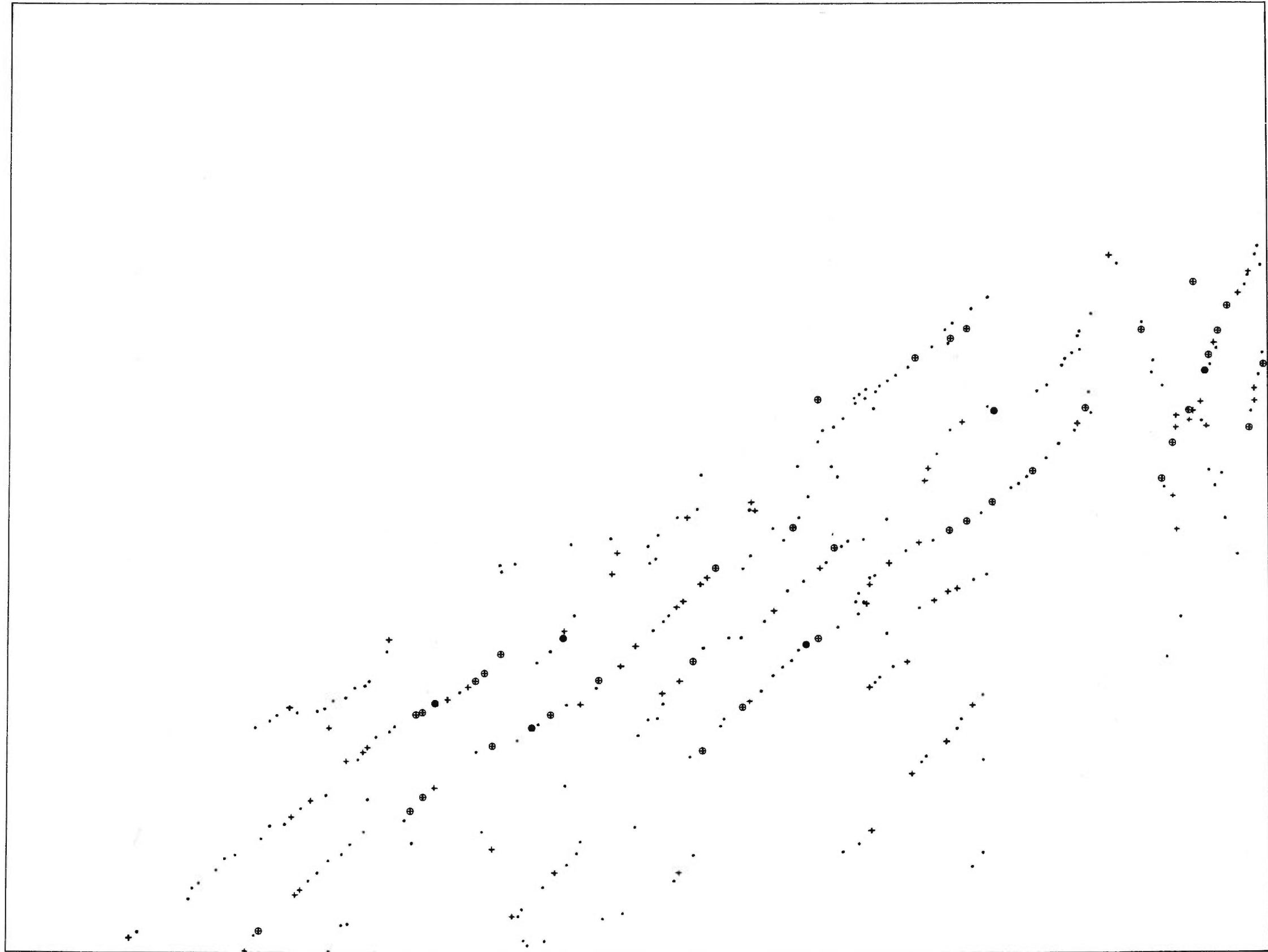
Service de la  
GÉOCHIMIE-GÉOPHYSIQUE

PROFONDEUR DES PUIITS

- pieds
- 1 - 75
  - + 76 - 150
  - ⊕ 151 - 300
  - 301 - 600

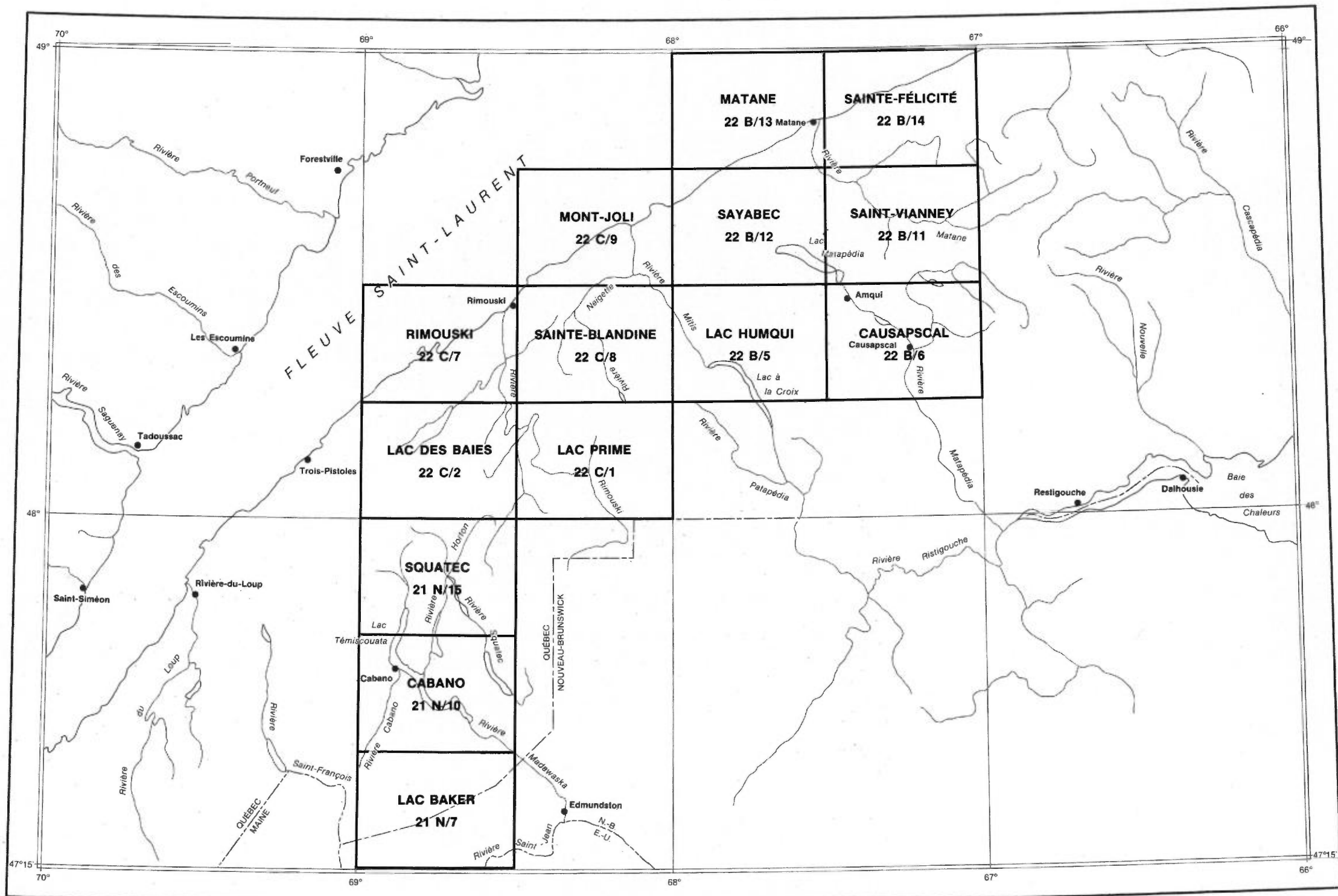


Service de la  
GÉOCHIMIE-GÉOPHYSIQUE



PROFONDEUR  
DES PUIITS



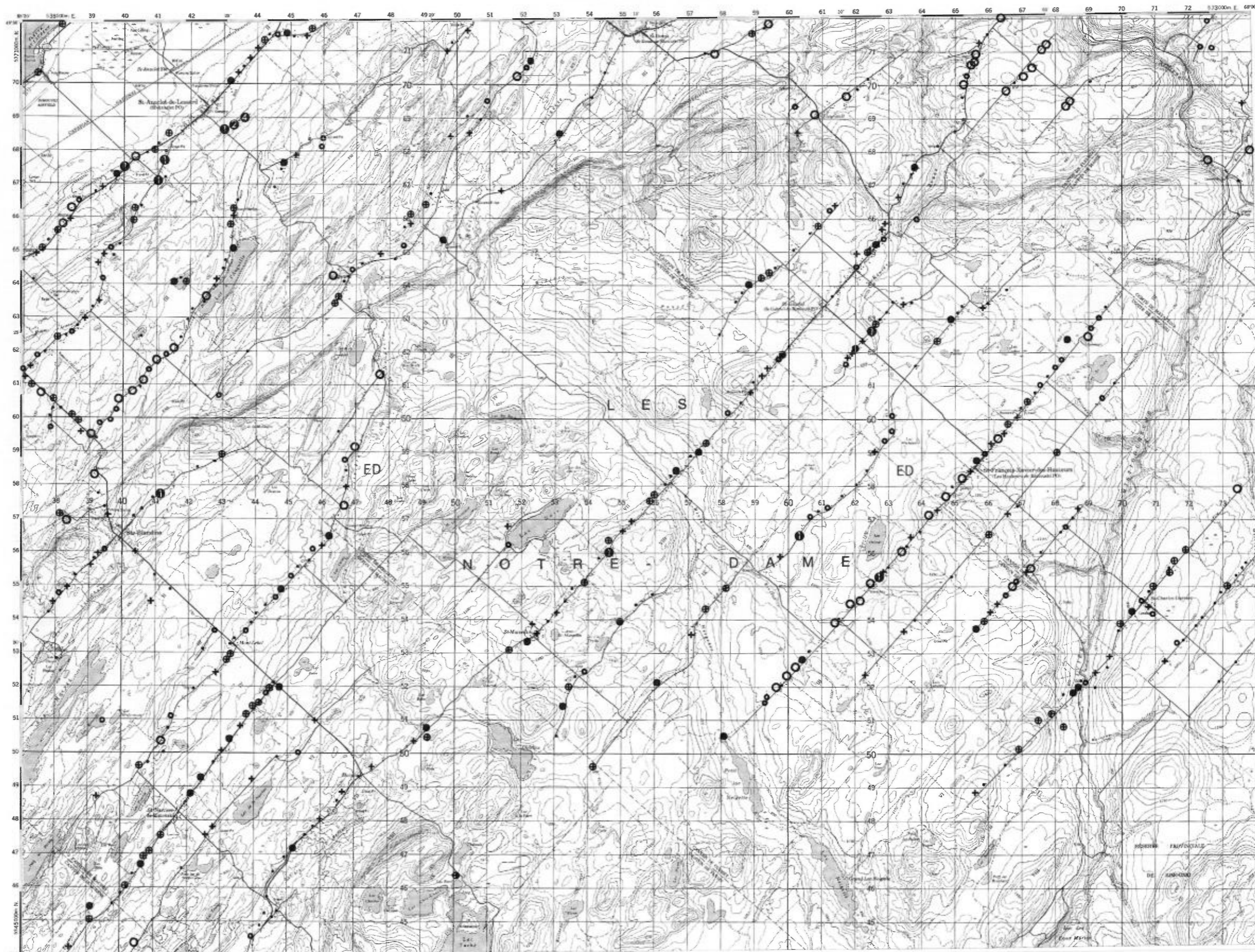


**INDEX DES CARTES GÉOCHIMIQUES  
RÉGION DU BAS SAINT-LAURENT**



TENEURS (ppb)

- 1 - 8
- 9 - 13
- 14 - 29
- ⊕ 30 - 54
- ⊗ 55 - 89
- ⊙ 90 - 179
- ⊚ 180 - 359
- ⊛ 360 - 719
- ⊜ 720 - 1439
- ⊝ 1440 - 2879



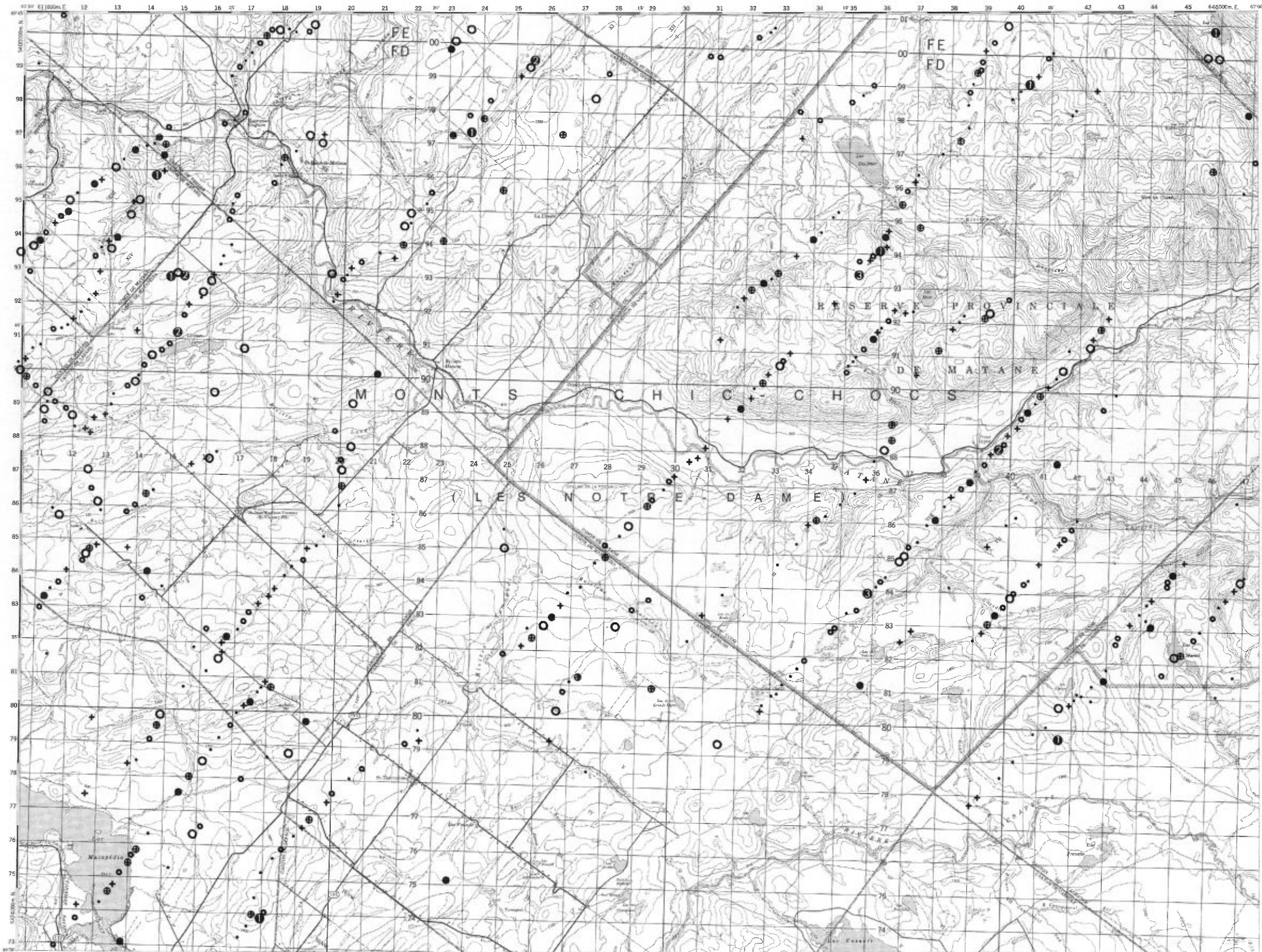
Échelle 1:125 000



Service de la  
 GÉOCHIMIE-GÉOPHYSIQUE

TENEURS (ppb)

- 4 - 12
- 14 - 34
- 36 - 144
- ⊕ 146 - 338
- ⊕ 340 - 738
- 740 - 1498
- ① 1500 - 2998
- ② 3000 - 5998
- ③ 6000 - 11998
- ④ 12000 - 23998



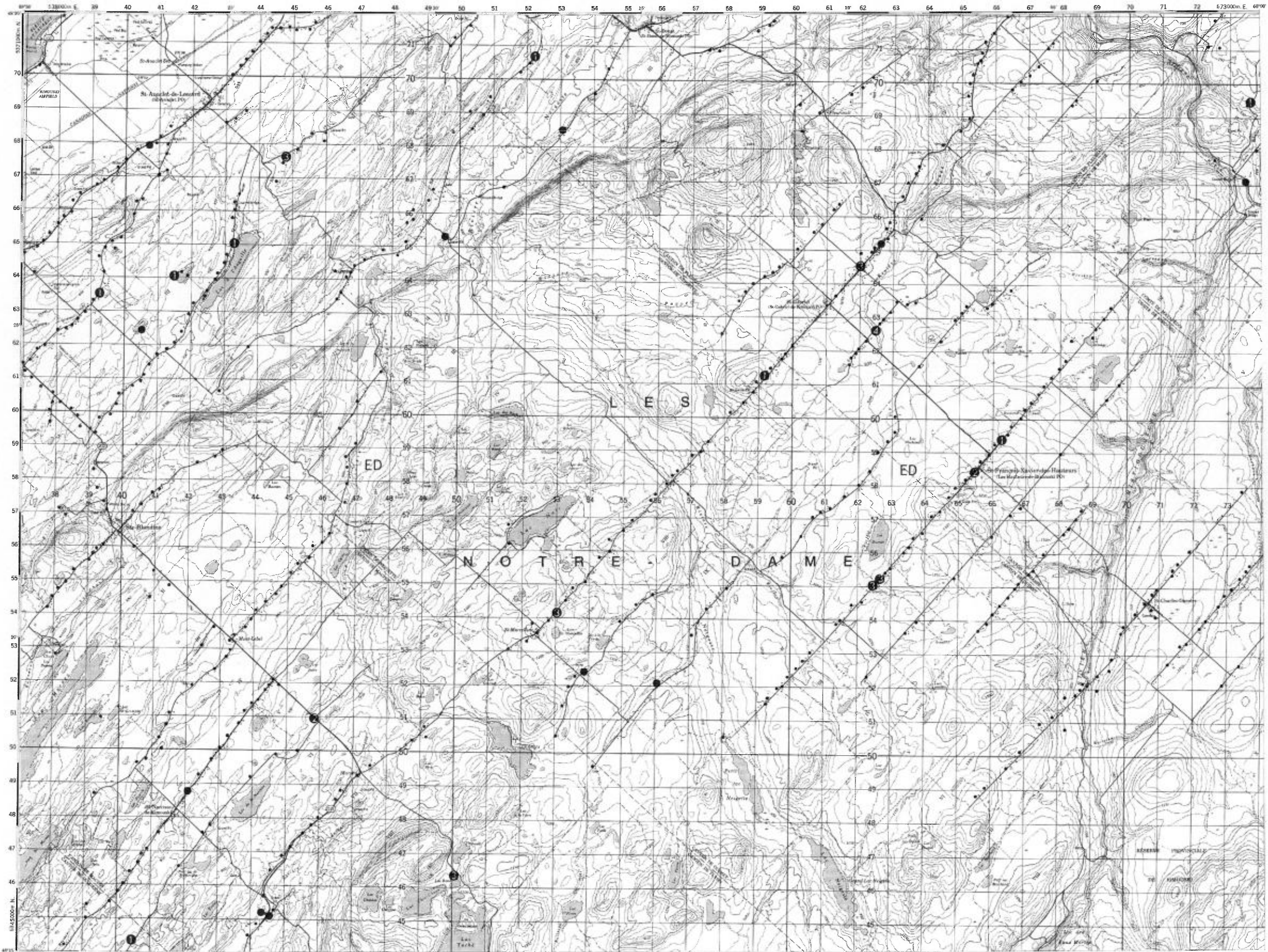
Échelle 1:125 000  
 0 1 2 3  
 Kilomètres

Service de la  
 GÉOCHIMIE-GÉOPHYSIQUE

Zn

TENEURS (ppb)

- 1
- 2 - 4
- 5 - 9
- 10 - 19
- 20 - 39
- 40 - 79
- 80 - 159
- 160 - 219



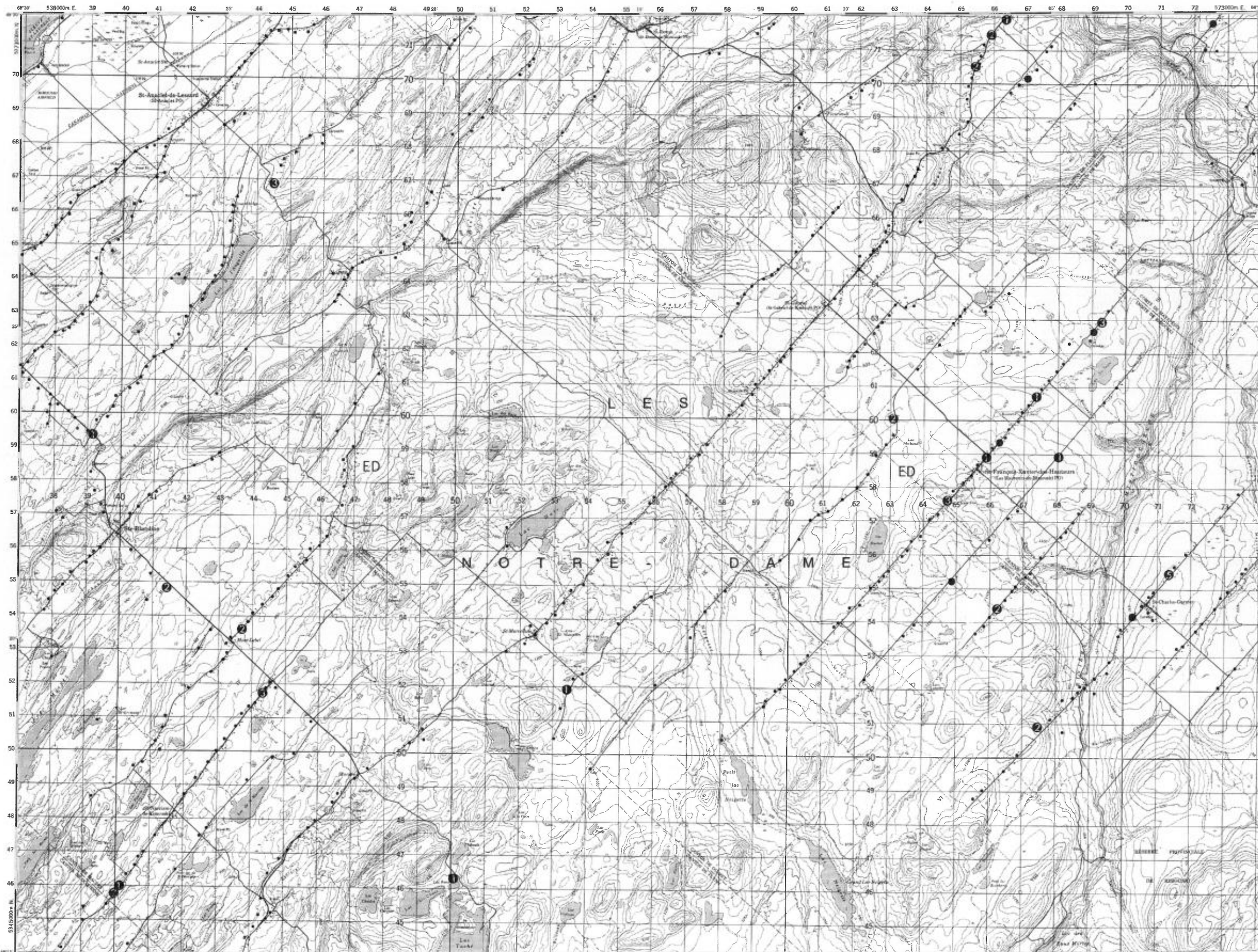
Échelle 1:125 000



Service de la  
GÉOCHIMIE-GÉOPHYSIQUE

TENEURS (ppb)

- 1
- 2 - 5
- ① 6 - 11
- ② 12 - 24
- ③ 25 - 49
- ④ 50 - 99
- ⑤ 100 - 199
- ⑥ 200 - 399



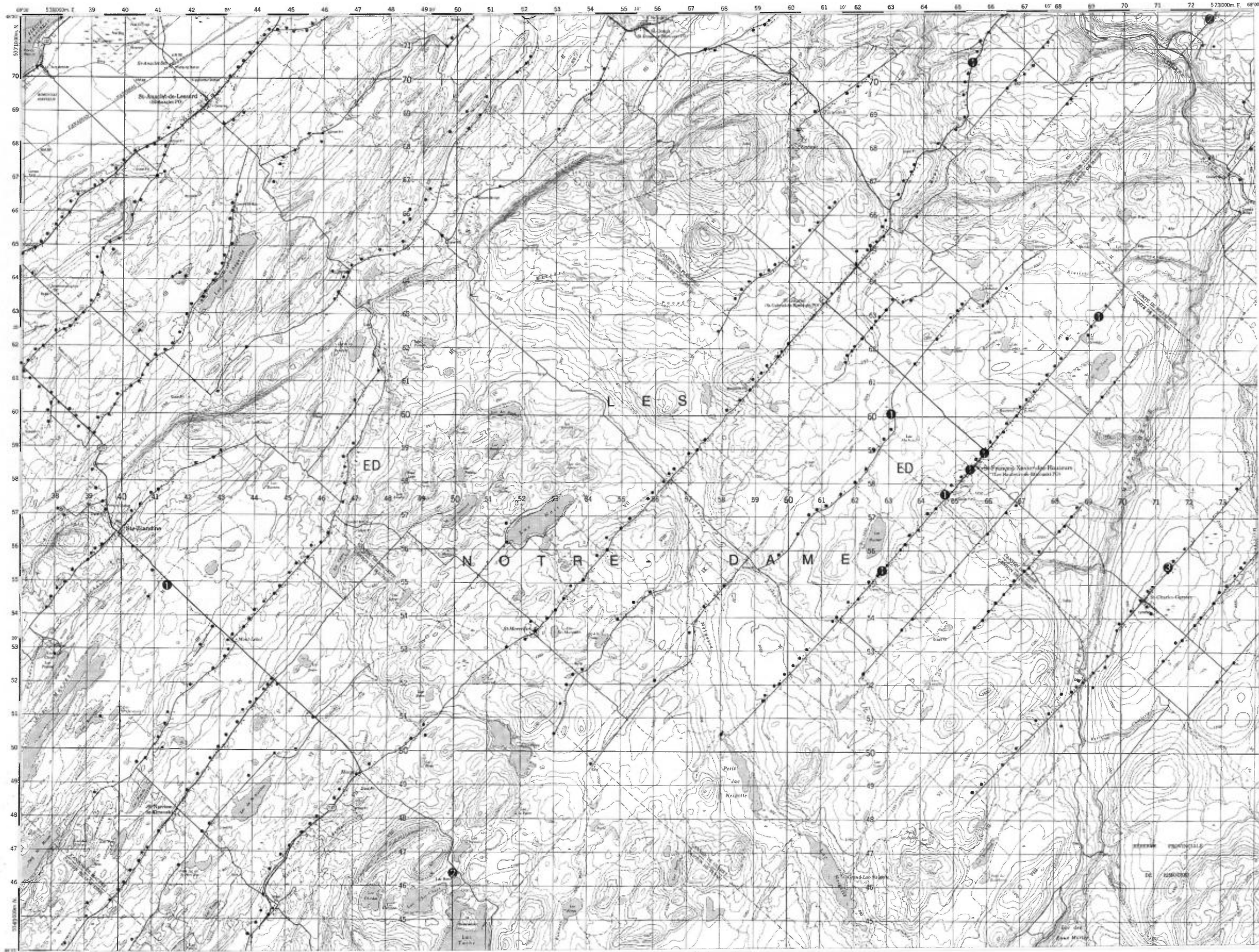
Échelle 1:125 000



Service de la  
 GÉOCHIMIE-GÉOPHYSIQUE

TENEURS (ppb)

- 1
- 2 - 3
- ⊙ 4 - 7
- ⊙ 8 - 15
- ⊙ 16 - 31
- ⊙ 32 - 63



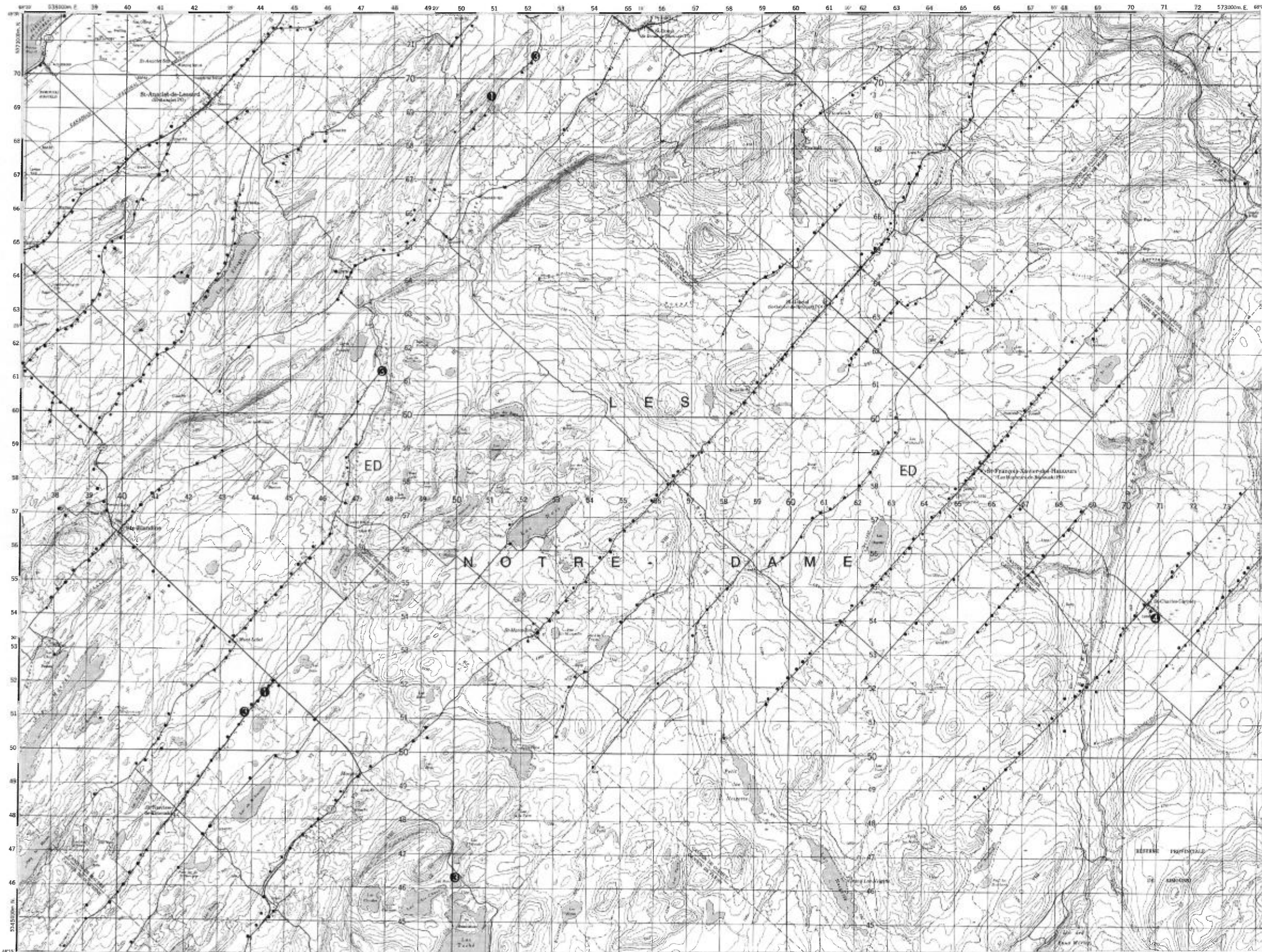
Échelle 1:125 000



Service de la  
GÉOCHIMIE-GÉOPHYSIQUE

TENEURS (ppb)

- 0,1
- 0,2
- ① 0,3 — 0,5
- ② 0,6 — 1,1
- ③ 1,2 — 2,3
- ④ 2,4 — 4,9
- ⑤ 5,0 — 9,9
- ⑥ 10,0 — 19,9
- ⑦ 20,0 — 39,9
- ⑧ 40,0 — 79,9



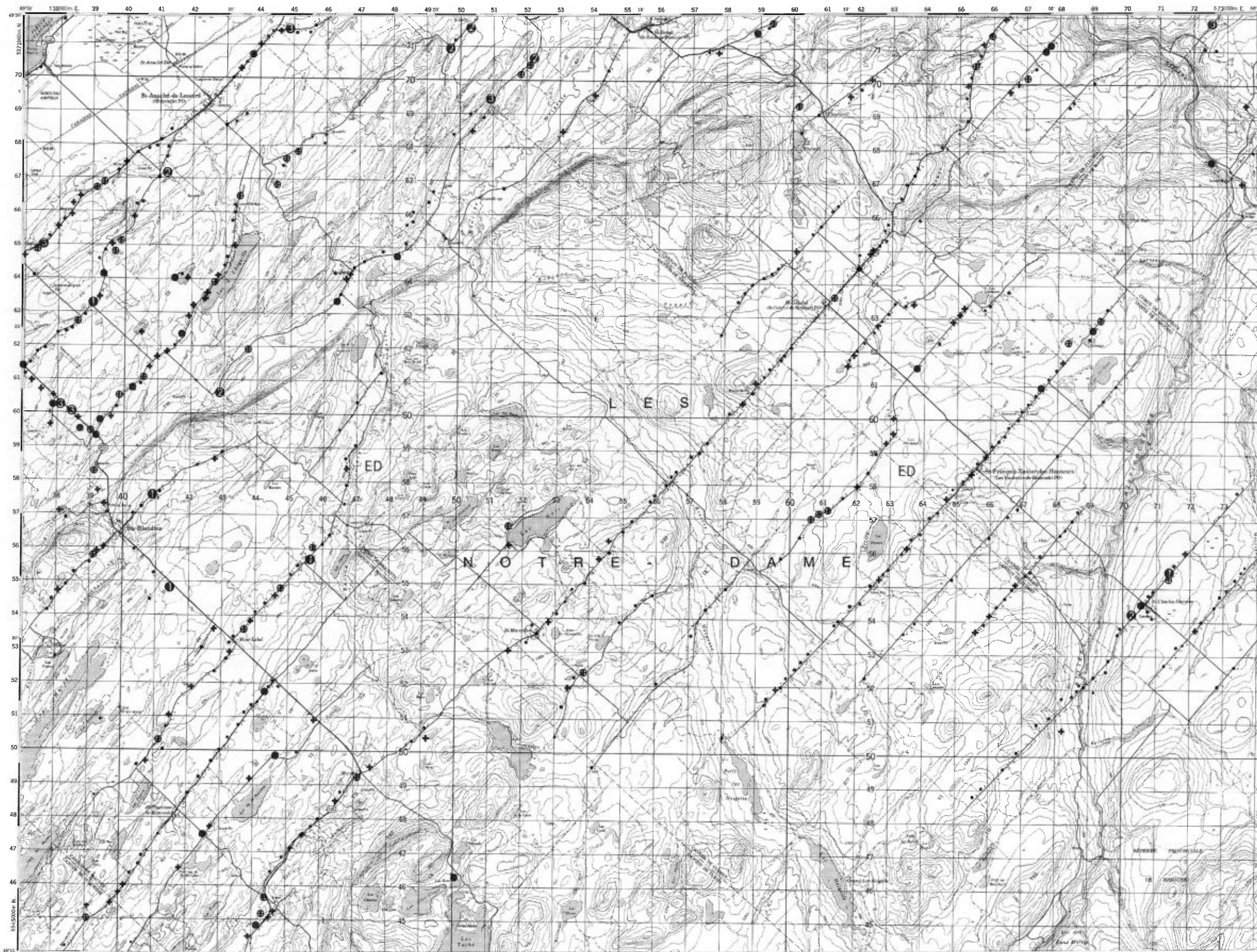
Échelle 1:125 000



Service de la  
GÉOCHIMIE-GÉOPHYSIQUE

TENEURS (ppb)

- 5 - 10
- + 15 - 50
- ⊕ 55 - 145
- 150 - 455
- ① 460 - 895
- ② 900 - 1795
- ③ 1800 - 3595



Échelle 1:125 000



Service de la  
GÉOCHIMIE-GÉOPHYSIQUE

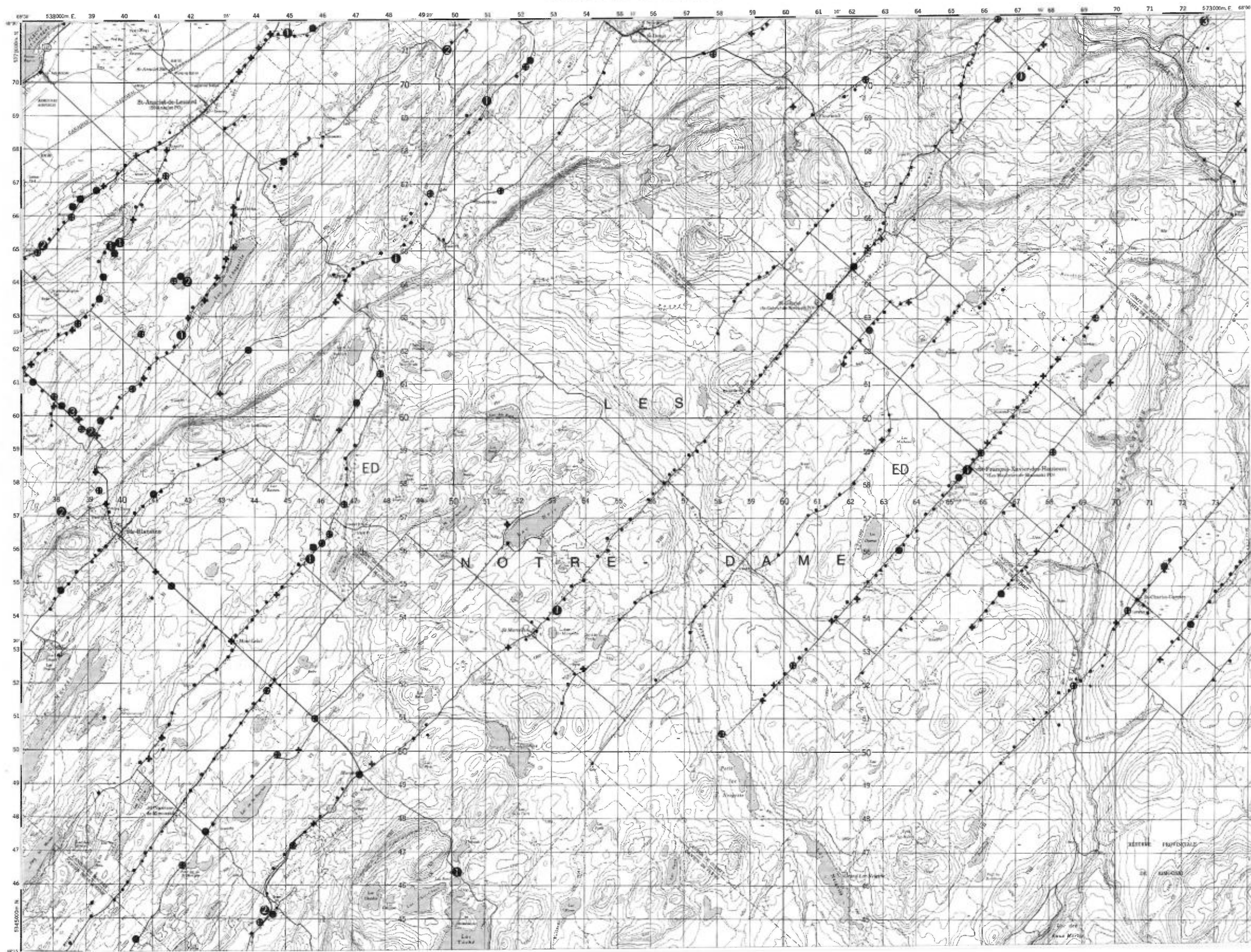


TENEURS (ppm)

- 0,1
- + 0,2
- ⊕ 0,3 - 0,4
- 0,5 - 1,3
- ① 1,4 - 2,7
- ② 2,8 - 5,5
- ③ 5,6 - 11,1



Service de la  
GÉOCHIMIE-GÉOPHYSIQUE

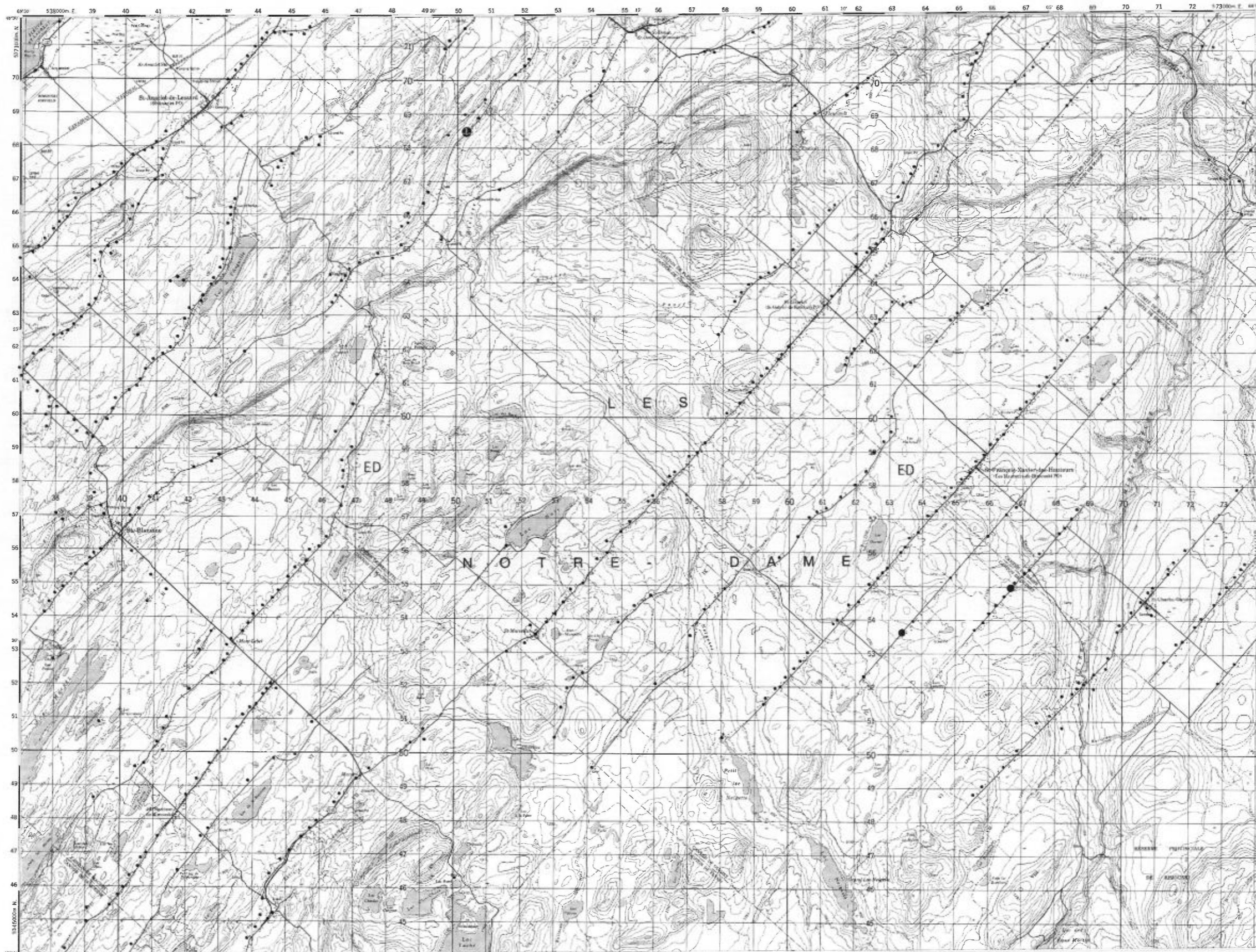


TENEURS (ppb)

- 1
- 2
- 3 - 5
- 6 - 11

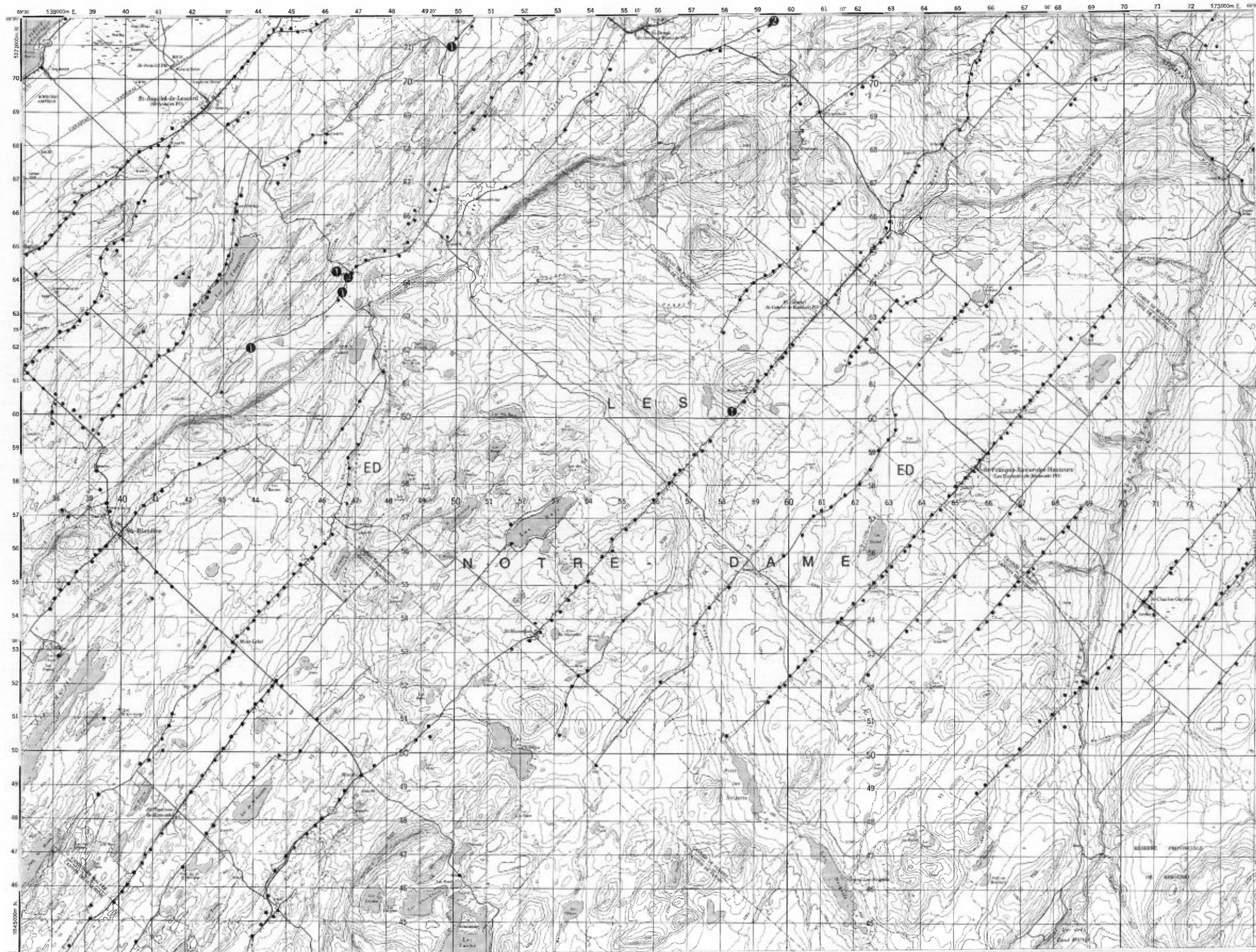


Service de la  
GÉOCHIMIE-GÉOPHYSIQUE



TENEURS (ppb)

- 2
- + 3 - 5
- ⊕ 6 - 11
- 12 - 23
- ⊙ 24 - 47
- ⊗ 48 - 95



Échelle 1:125 000



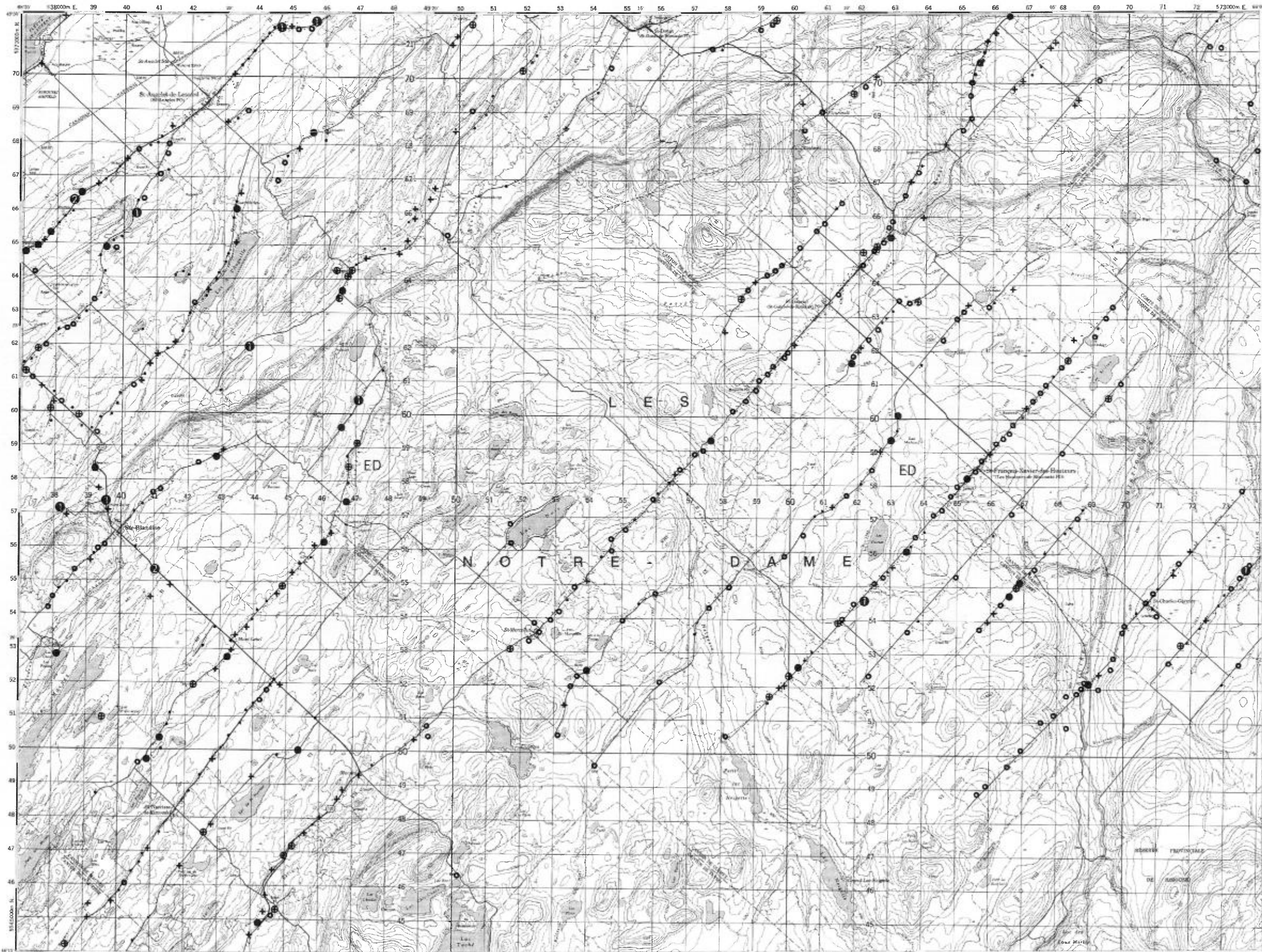
Service de la  
 GÉOCHIMIE-GÉOPHYSIQUE

SAINTE-BLANDINE

RÉGION DU BAS SAINT-LAURENT

TENEURS (ppm)

- 0,01 — 0,04
- 0,05 — 0,07
- + 0,08 — 0,12
- ⊕ 0,13 — 0,22
- 0,23 — 0,54
- ⊙ 0,55 — 1,09
- ⊙ 1,10 — 2,19
- ⊙ 2,20 — 4,39
- ⊙ 4,40 — 8,79



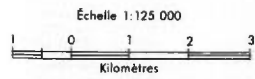
Échelle 1:125 000



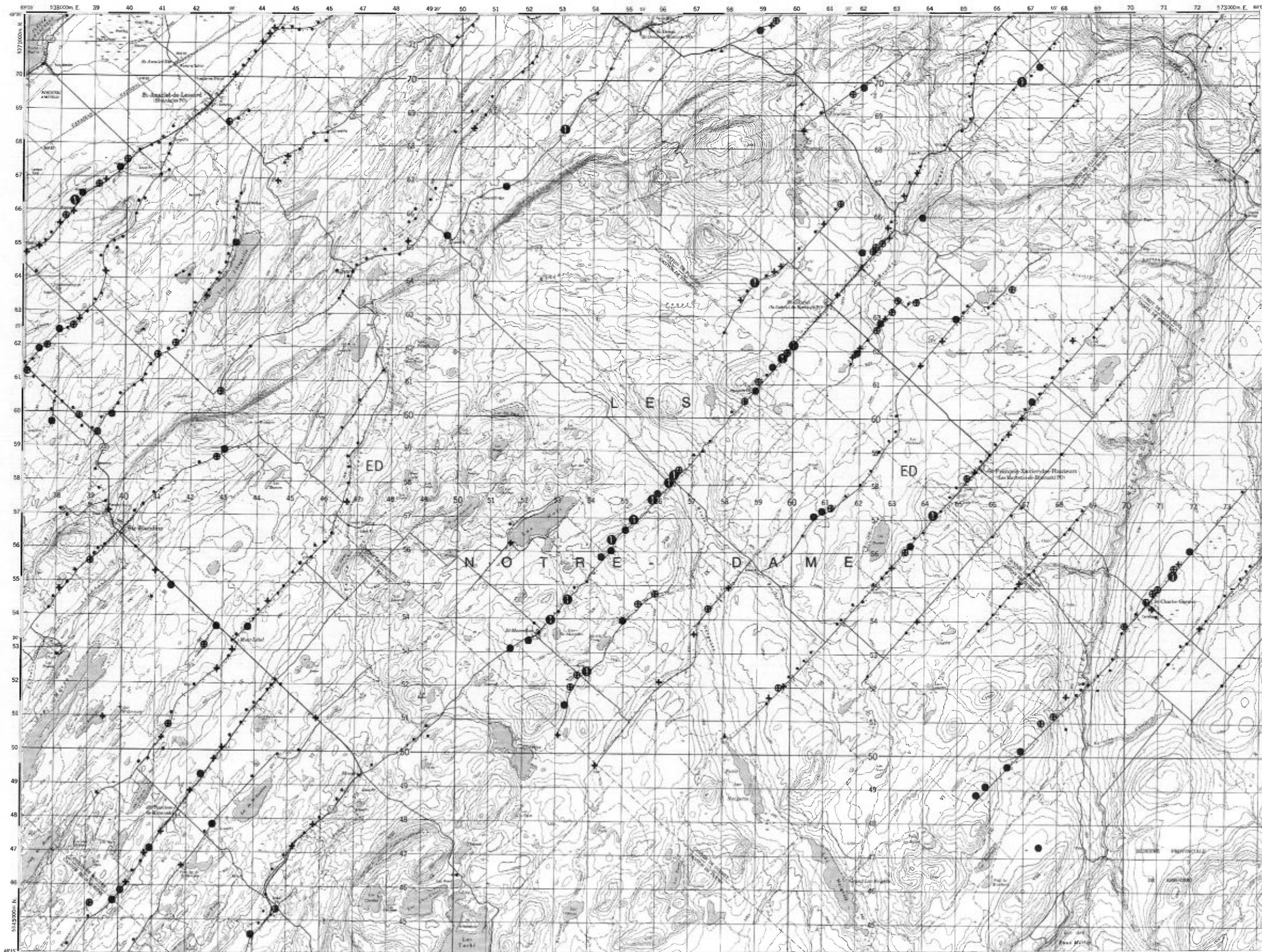
Service de la  
GÉOCHIMIE-GÉOPHYSIQUE

TENEURS (ppb)

- 2 - 3
- + 4 - 5
- ⊕ 6 - 8
- ⊙ 9 - 19
- ⦿ 20 - 39
- ⦿ 40 - 79
- ⦿ 80 - 159



Service de la  
GÉOCHIMIE-GÉOPHYSIQUE

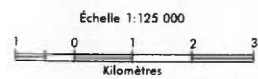


SAINTE-BLANDINE

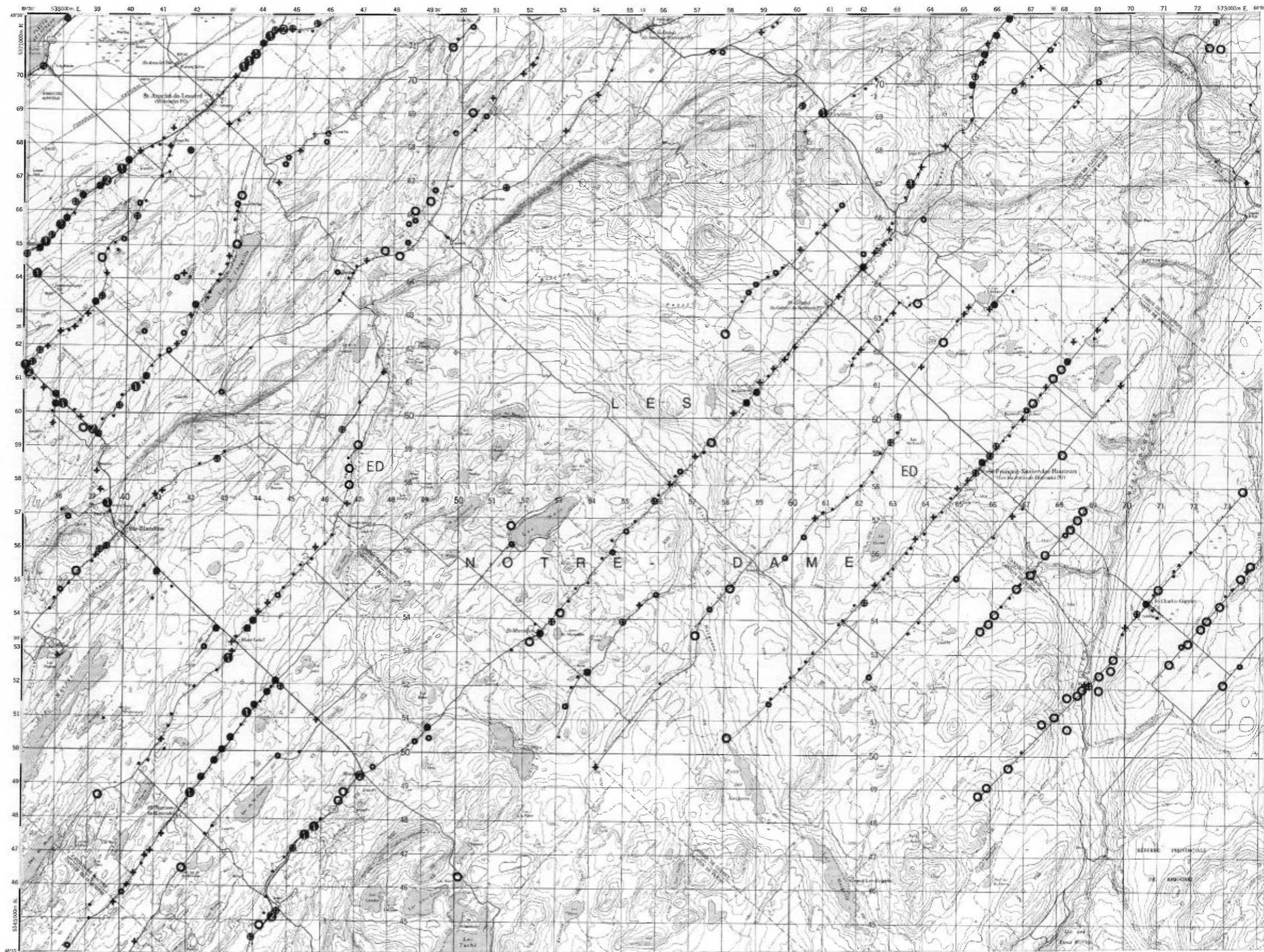
RÉGION DU BAS SAINT-LAURENT

TENEURS (ppm)

- 1 - 4
- 5 - 6
- 7 - 17
- ⊕ 18 - 34
- ⊗ 35 - 65
- 66 - 149
- ⊙ 150 - 299
- ⊕ 300 - 599
- ⊗ 600 - 1199
- ⊙ 1200 - 2399

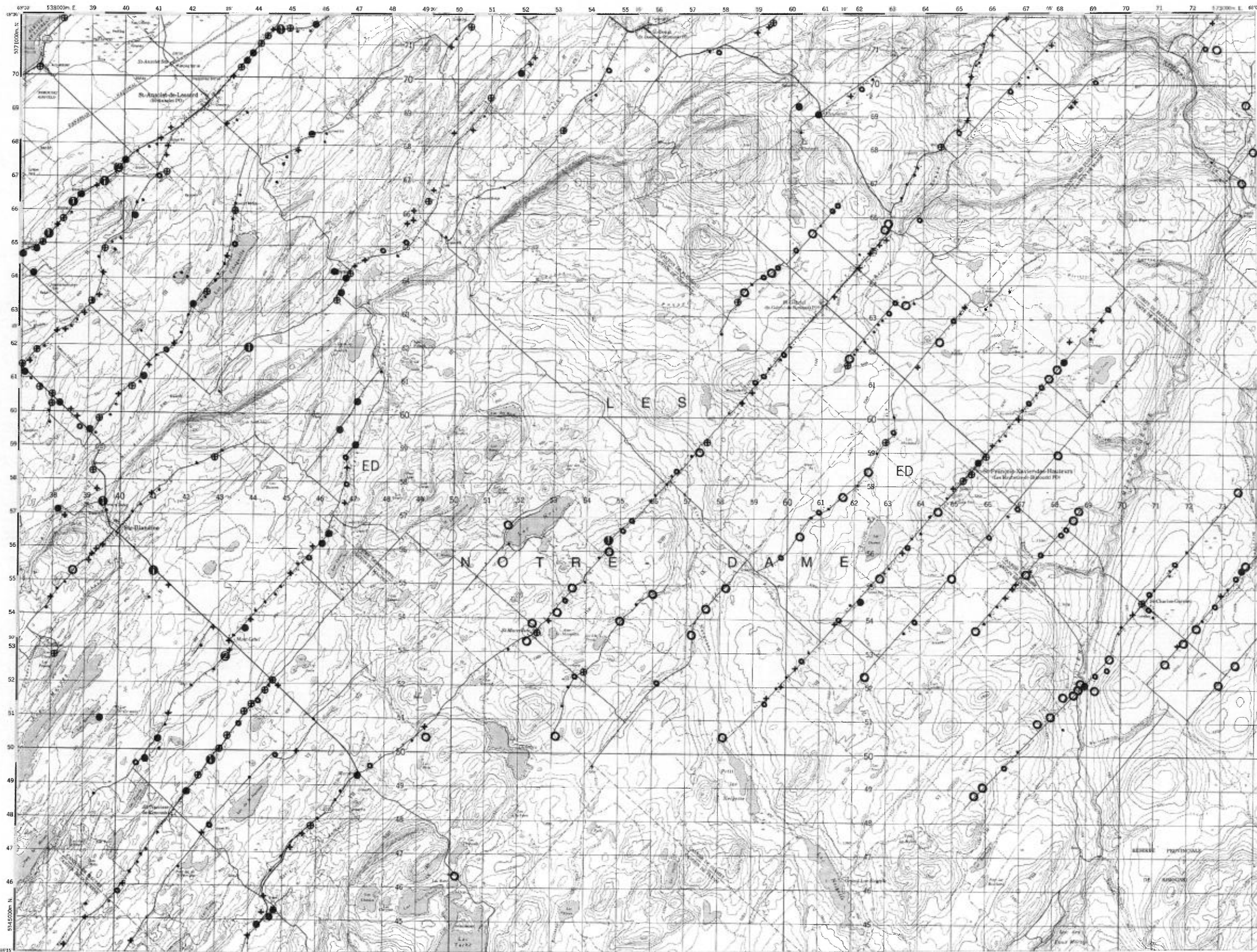


Service de la  
GÉOCHIMIE-GÉOPHYSIQUE



TENEURS (ppm)

- 0,9 - 2,9
- 3,0 - 4,5
- 4,6 - 11,4
- + 11,5 - 26,9
- ⊕ 27,0 - 54,9
- 55,0 - 122,9
- ① 123,0 - 249,9
- ② 250,0 - 499,9
- ③ 500,0 - 999,9
- ④ 1000,0 - 1999,9



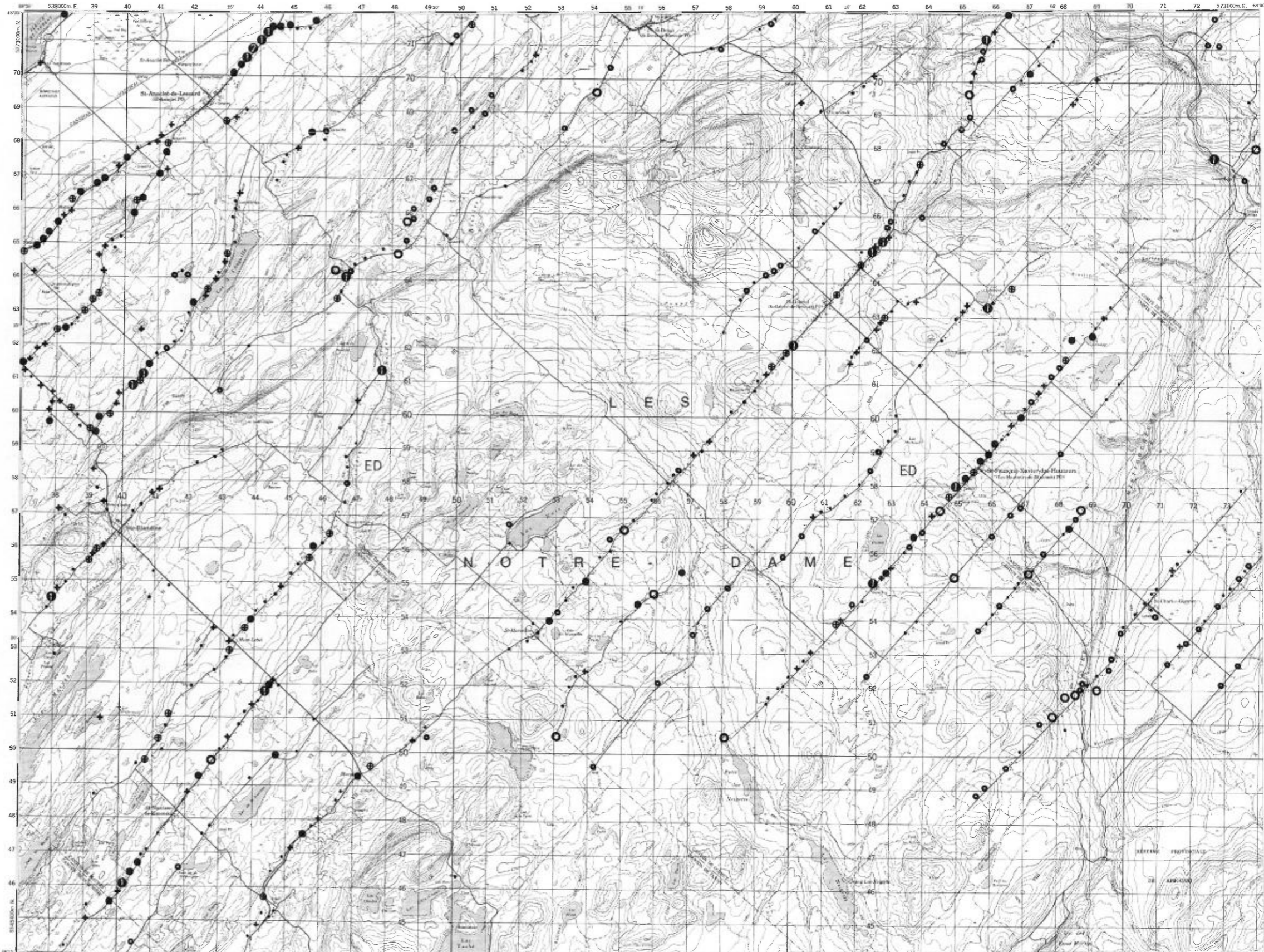
Échelle 1:125 000



Service de la  
 GÉOCHIMIE-GÉOPHYSIQUE

TENEURS (ppm)

- 0,2 - 0,5
- 0,6 - 0,9
- 1,0 - 2,1
- + 2,2 - 3,5
- ⊕ 3,6 - 4,9
- 5,0 - 8,9
- ① 9,0 - 17,9
- ② 18,0 - 35,9
- ③ 36,0 - 71,9



Échelle 1:125 000

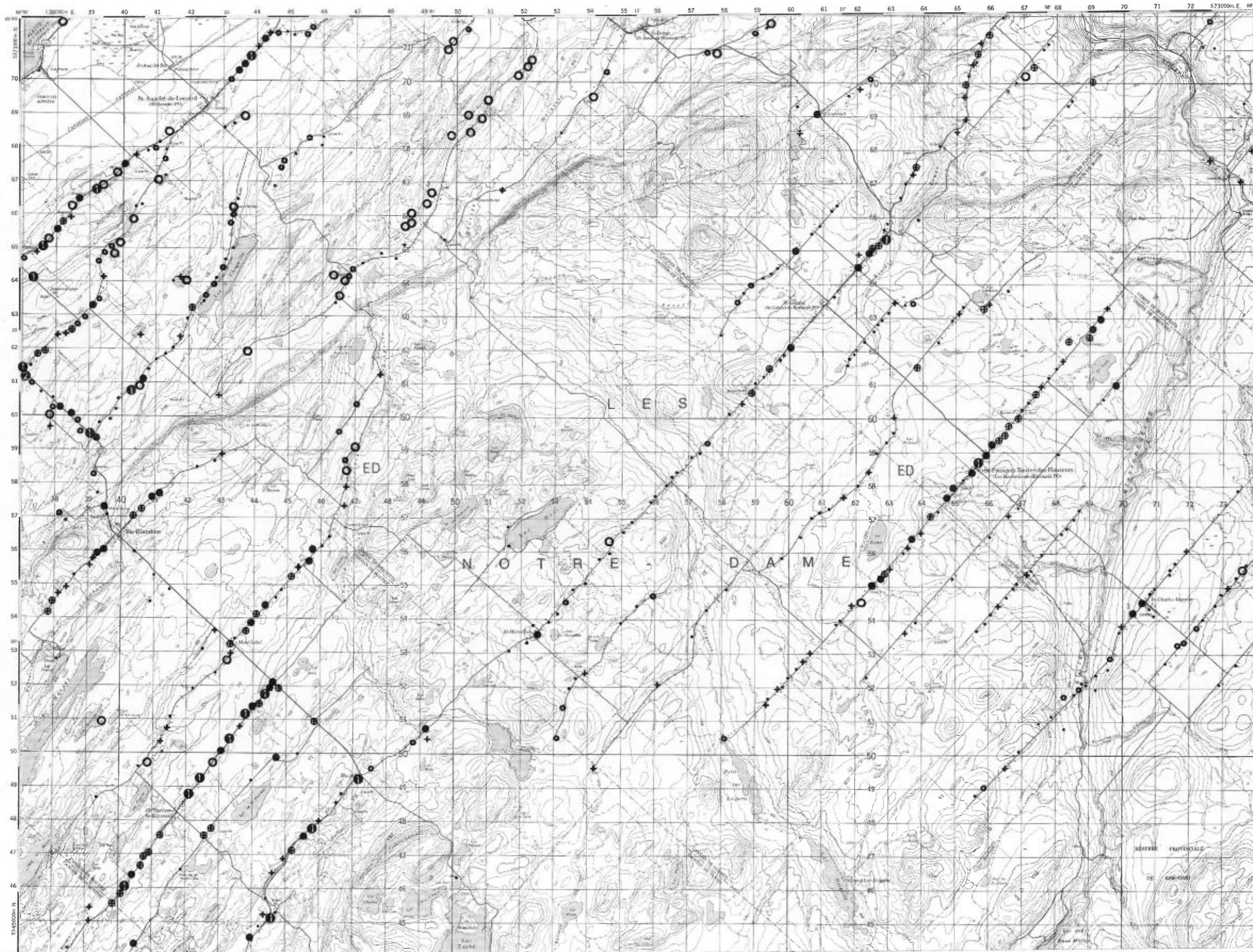


Service de la  
GÉOCHIMIE-GÉOPHYSIQUE

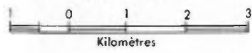


TENEURS (ppm)

- 1,0 - 29,9
- 30,0 - 44,9
- 45,0 - 72,9
- + 73,0 - 88,9
- ⊕ 89,0 - 104,9
- 105,0 - 139,9
- ⊙ 140,0 - 279,9
- 280,0 - 559,9



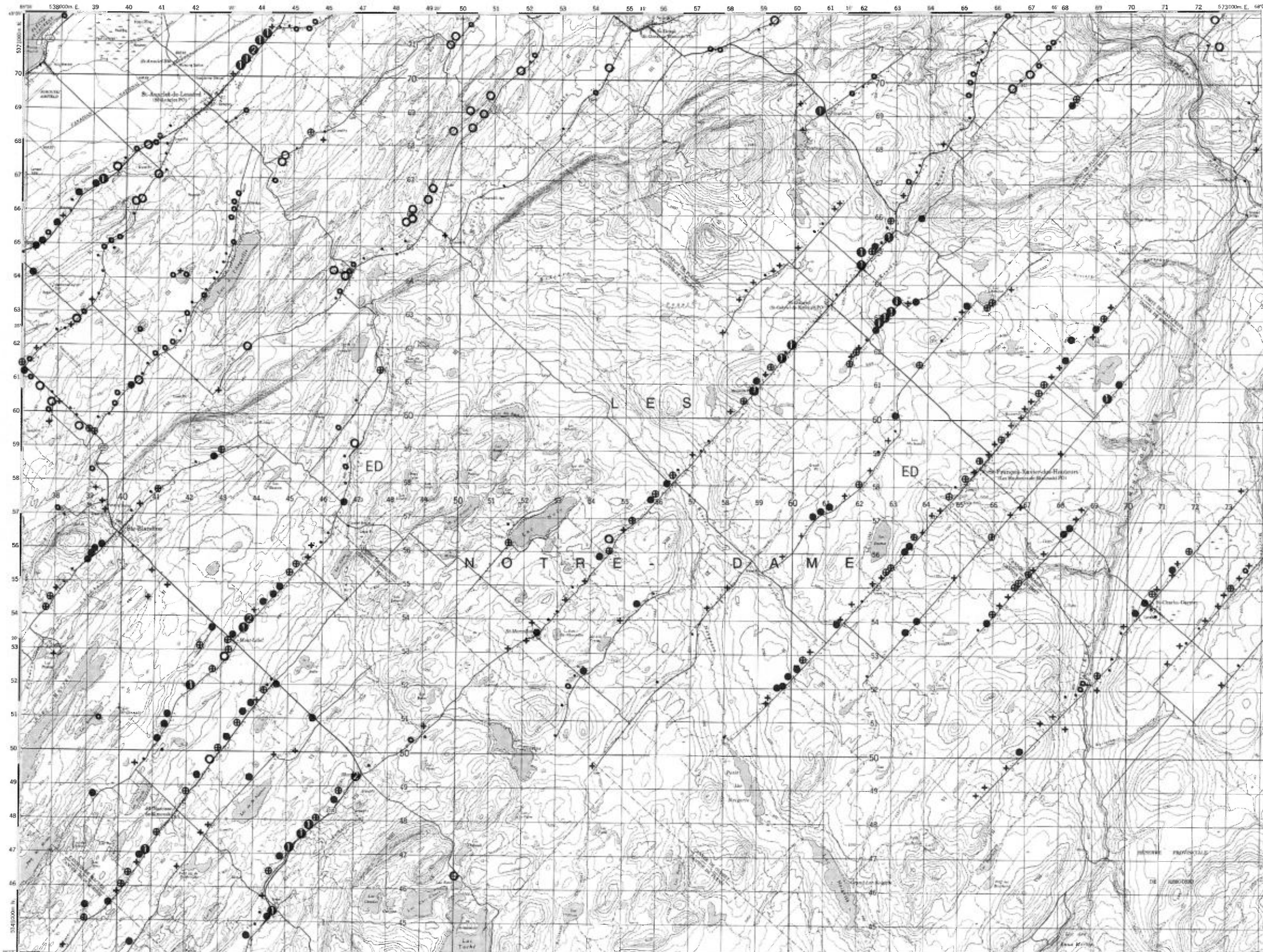
Échelle 1:125 000



Service de la  
GÉOCHIMIE-GÉOPHYSIQUE

TENEURS (ppm)

- 0,1 — 4,2
- 4,3 — 6,3
- 6,4 — 11,9
- + 12,0 — 16,2
- ⊕ 16,3 — 20,0
- 20,1 — 27,9
- ⊕ 28,0 — 55,9
- 56,0 — 111,9



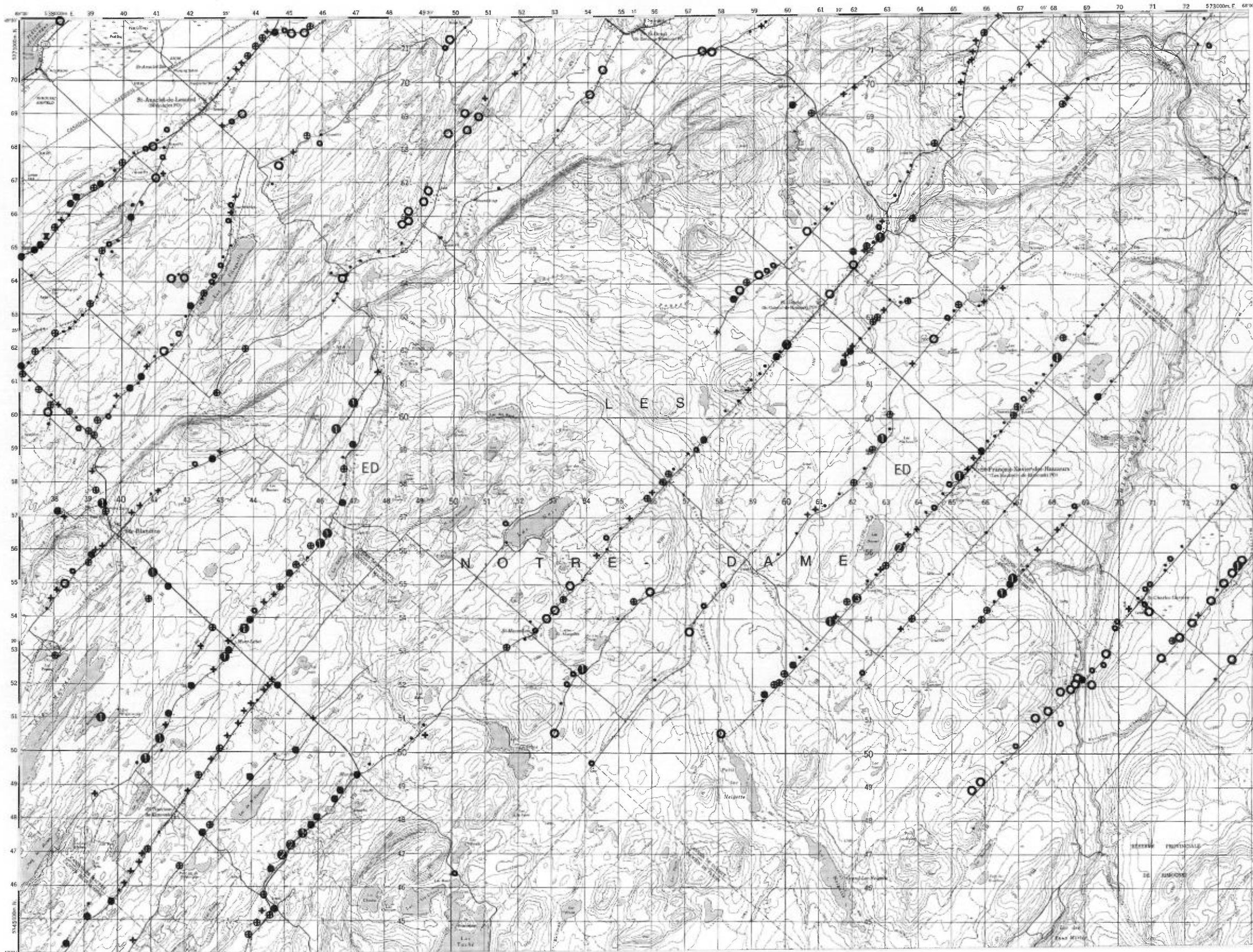
Échelle 1:125 000



Service de la  
GÉOCHIMIE-GÉOPHYSIQUE

TENEURS (ppb)

- 0,1 — 5,5
- 5,6 — 7,9
- 8,0 — 15,4
- + 15,5 — 25,9
- ⊕ 26,0 — 41,9
- 42,0 — 115,0
- ⊙ 115,1 — 229,9
- ⊙ 230,0 — 459,9
- ⊙ 460,0 — 919,9
- ⊙ 920,0 — 1839,9
- ⊙ 1840,0 — 3679,9



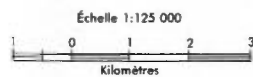
Échelle 1:125 000



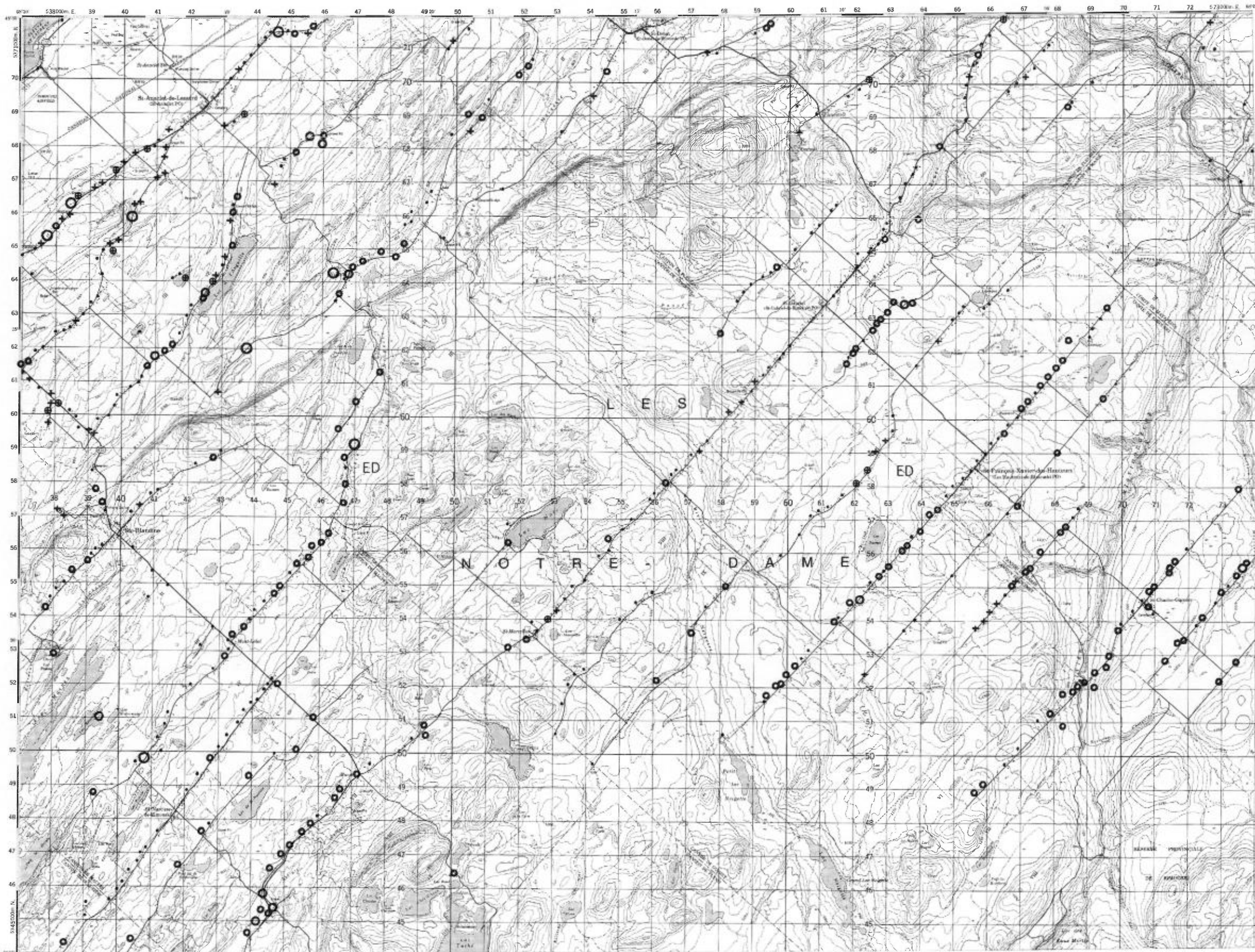
Service de la  
 GÉOCHIMIE-GÉOPHYSIQUE

TENEURS (unité)

- 0,0 - 5,7
- ⊕ 5,8 - 6,2
- + 6,3 - 6,7
- 6,8 - 7,2
- 7,3 - 7,7
- 7,8 - 8,2
- 8,3 - 14,0



Service de la  
GÉOCHIMIE-GÉOPHYSIQUE

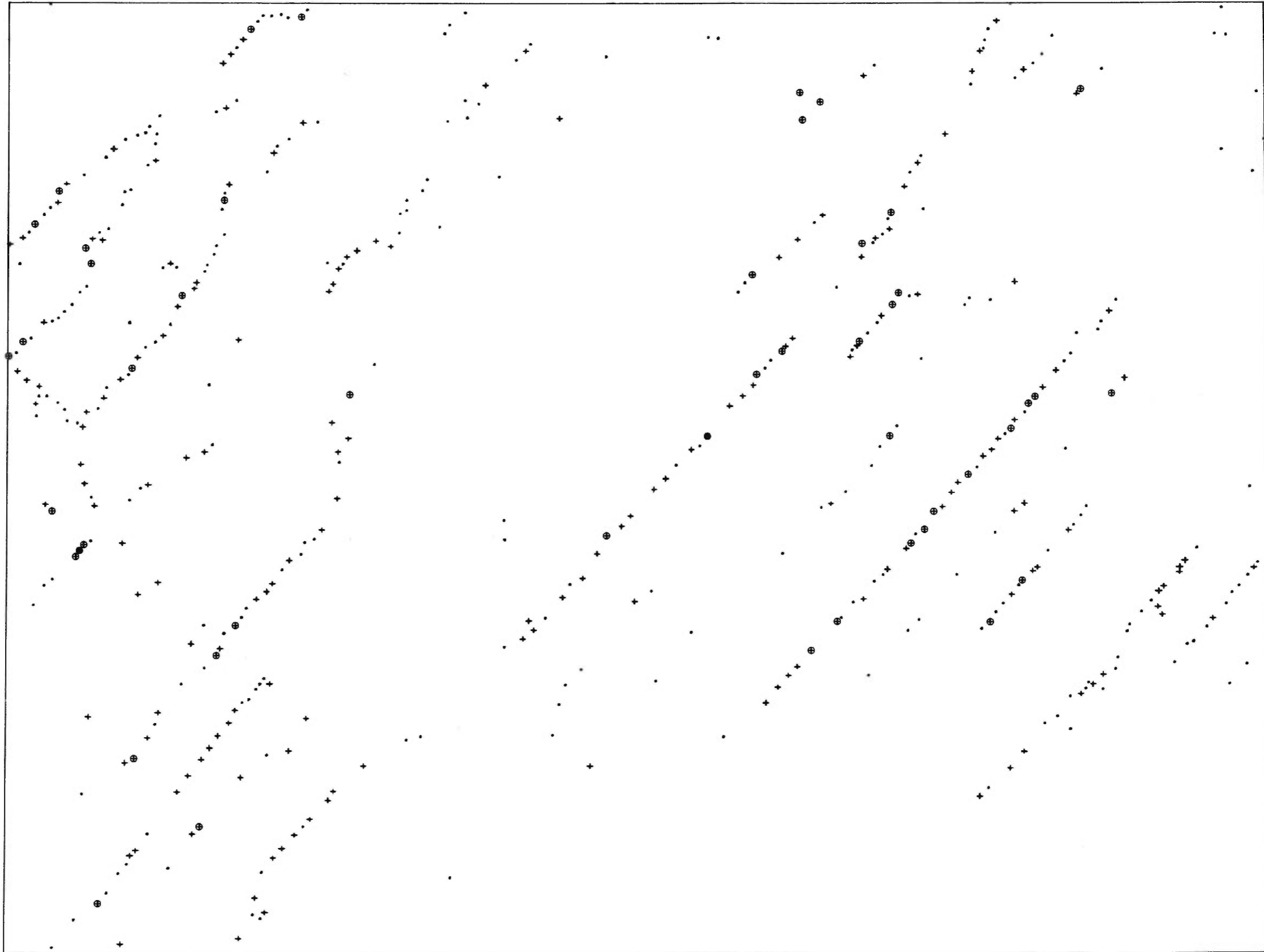


PROFONDEUR DES PUIITS

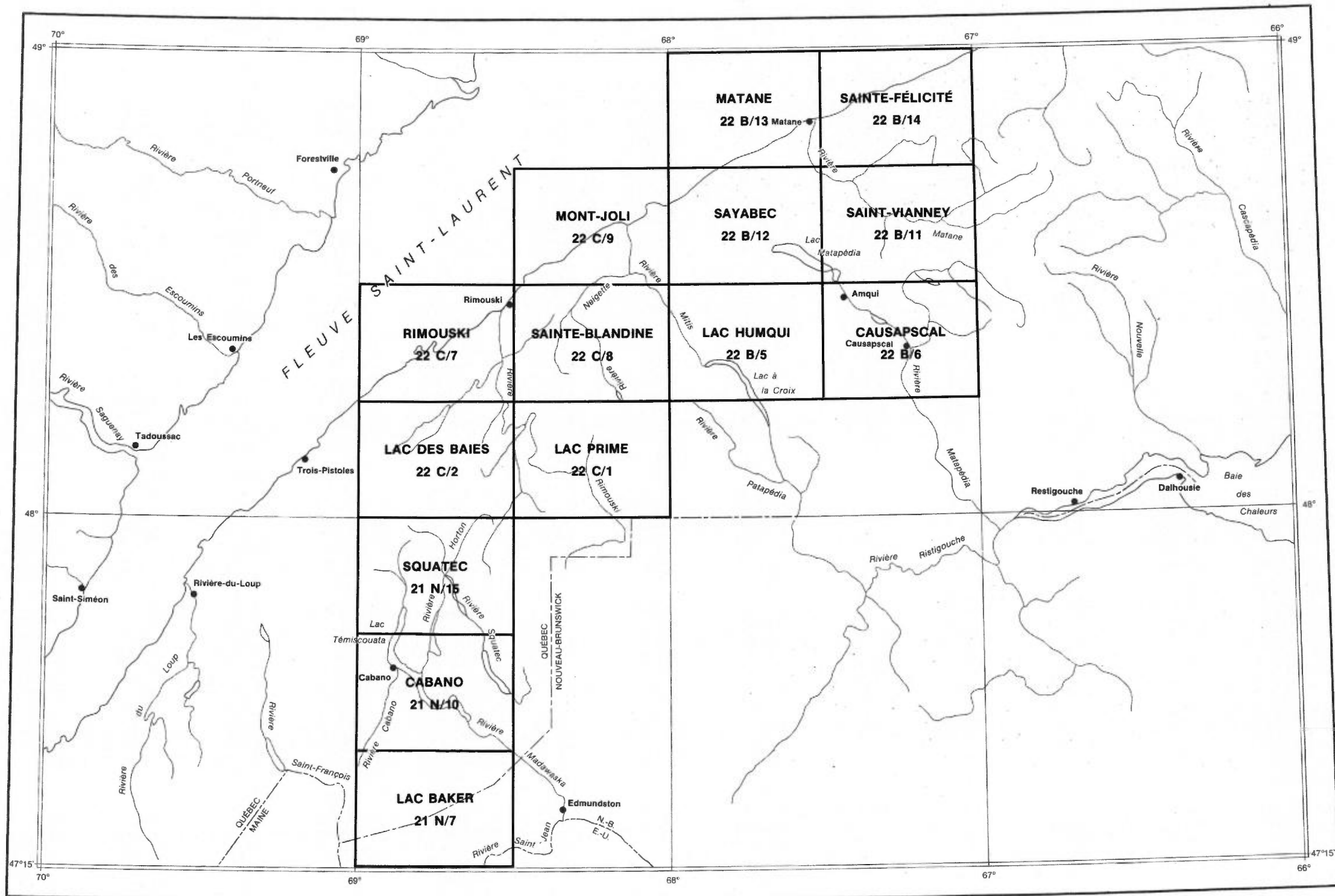
- pieds
- 1 - 75
  - + 76 - 150
  - ⊕ 151 - 300
  - 301 - 600



Service de la  
GÉOCHIMIE-GÉOPHYSIQUE



PROFONDEUR  
DES PUIITS

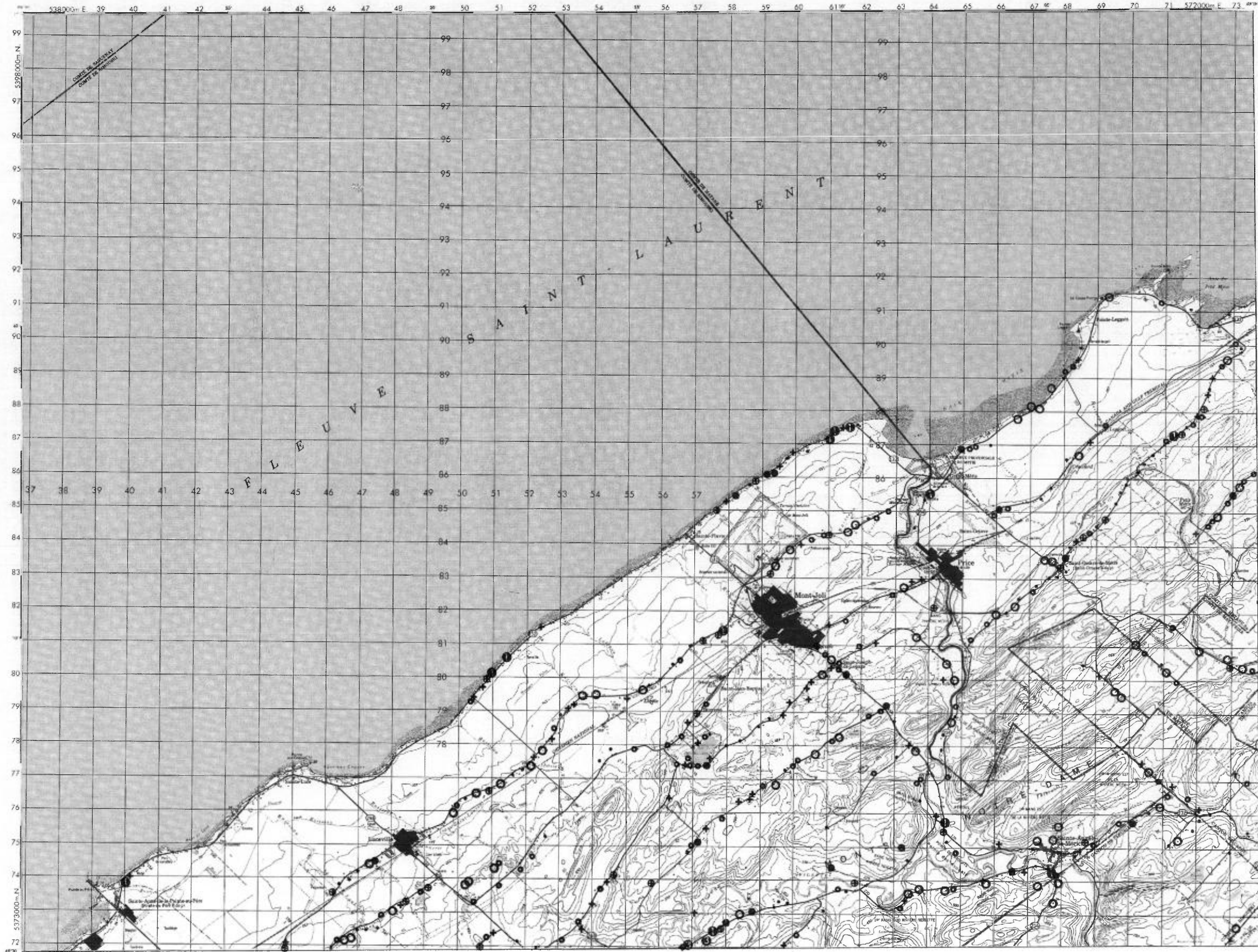


**INDEX DES CARTES GÉOCHIMIQUES  
RÉGION DU BAS SAINT-LAURENT**



TENEURS (ppb)

- 1 - 8
- 9 - 13
- 14 - 29
- + 30 - 54
- ⊕ 55 - 89
- 90 - 179
- 180 - 359
- 360 - 719
- 720 - 1439
- 1440 - 2879



Échelle 1:125 000

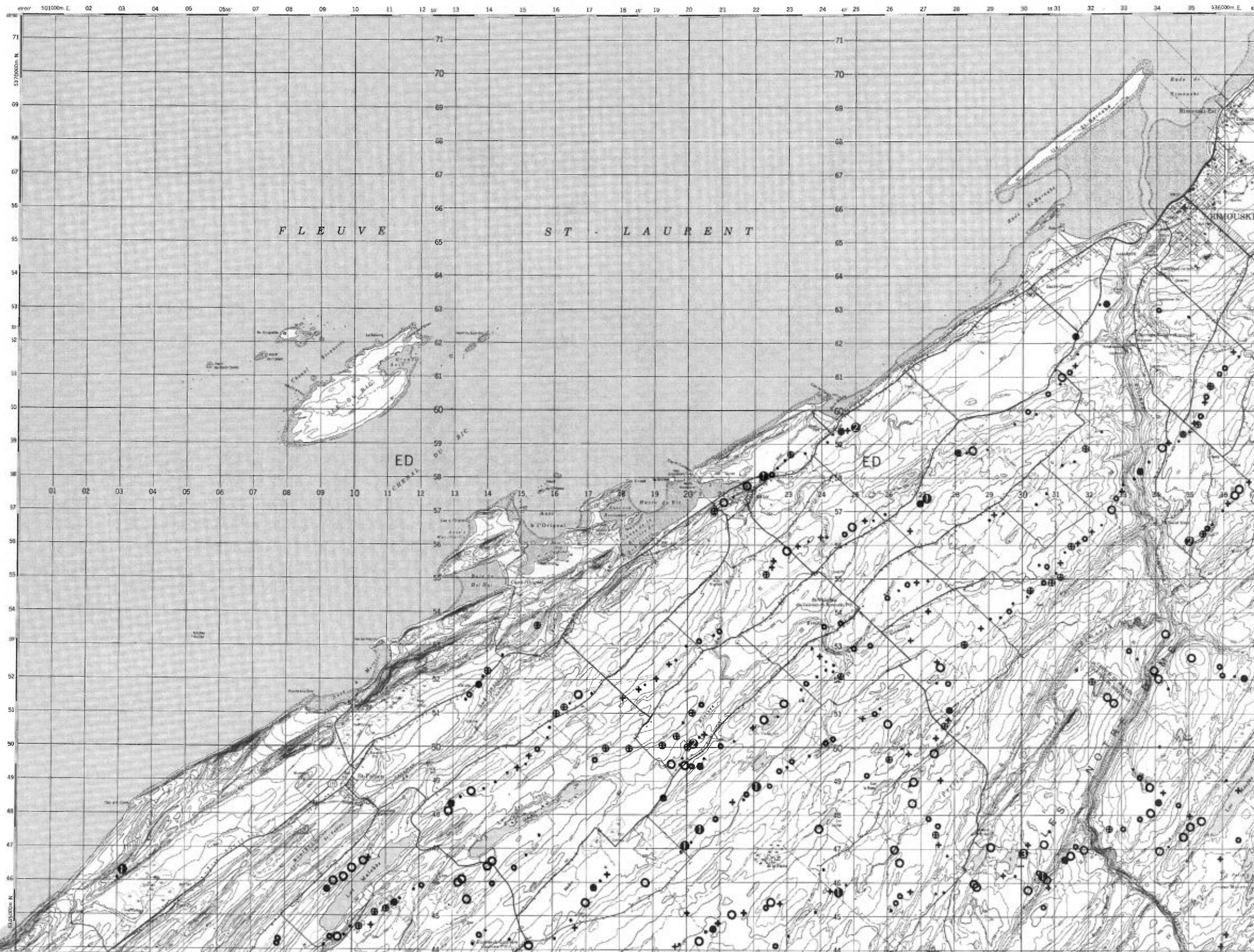


Service de la  
 GÉOCHIMIE-GÉOPHYSIQUE

Cu

TENEURS (ppb)

- 4 - 12
- 14 - 34
- 36 - 144
- + 146 - 338
- ⊕ 340 - 738
- 740 - 1498
- ① 1500 - 2998
- ② 3000 - 5998
- ③ 6000 - 11998
- ④ 12000 - 23998



Échelle 1:125 000



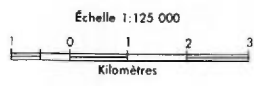
Service de la  
 GÉOCHIMIE-GÉOPHYSIQUE

Zn

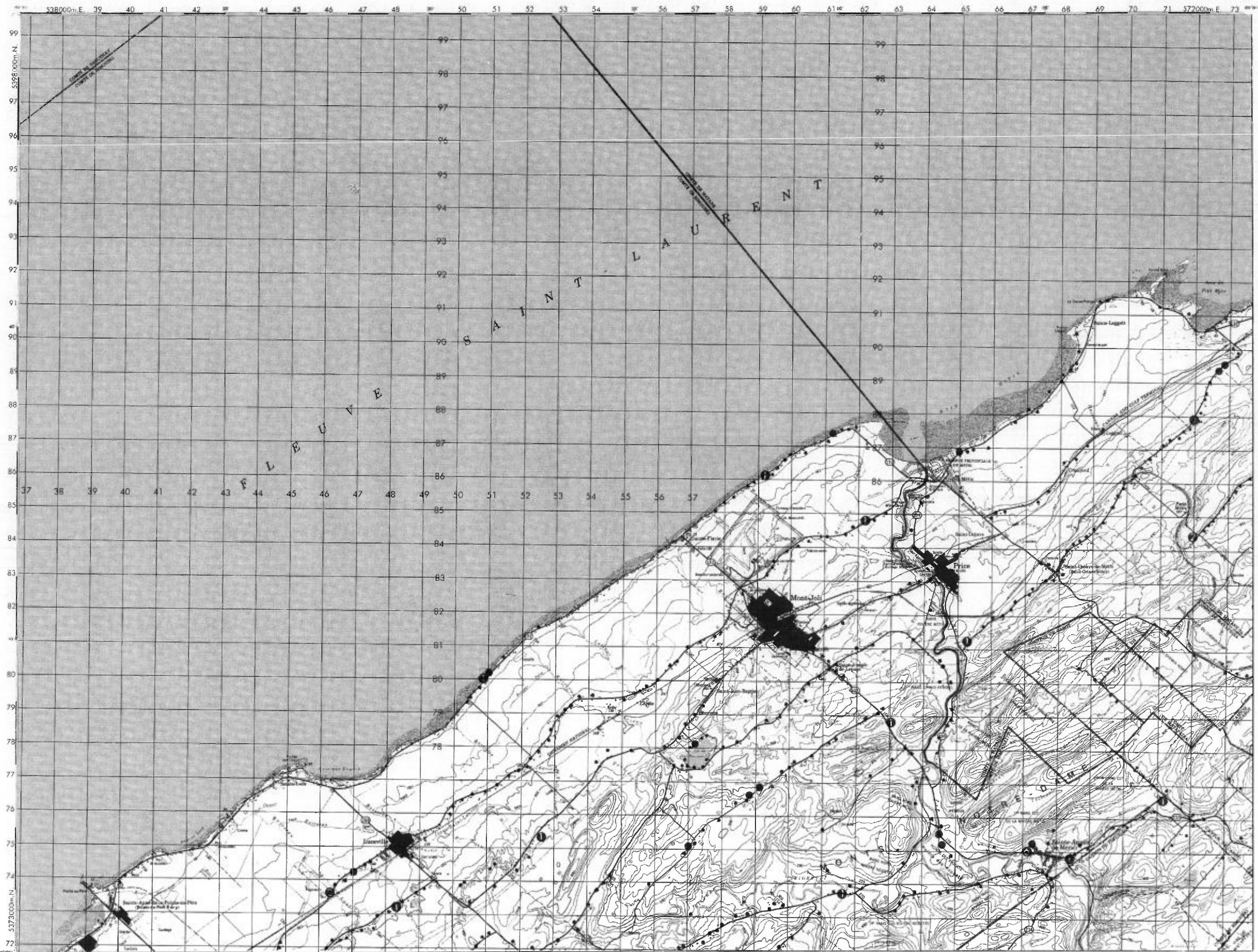


GÉOCHIMIE DES EAUX SOUTERRAINES  
MONT-JOLI  
RÉGION DU BAS SAINT-LAURENT

- TENEURS (ppb)
- 1
  - 2 - 4
  - 5 - 9
  - 10 - 19
  - 20 - 39
  - 40 - 79
  - 80 - 159
  - 160 - 219

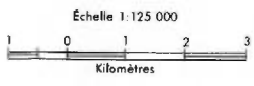


Service de la  
GÉOCHIMIE-GÉOPHYSIQUE

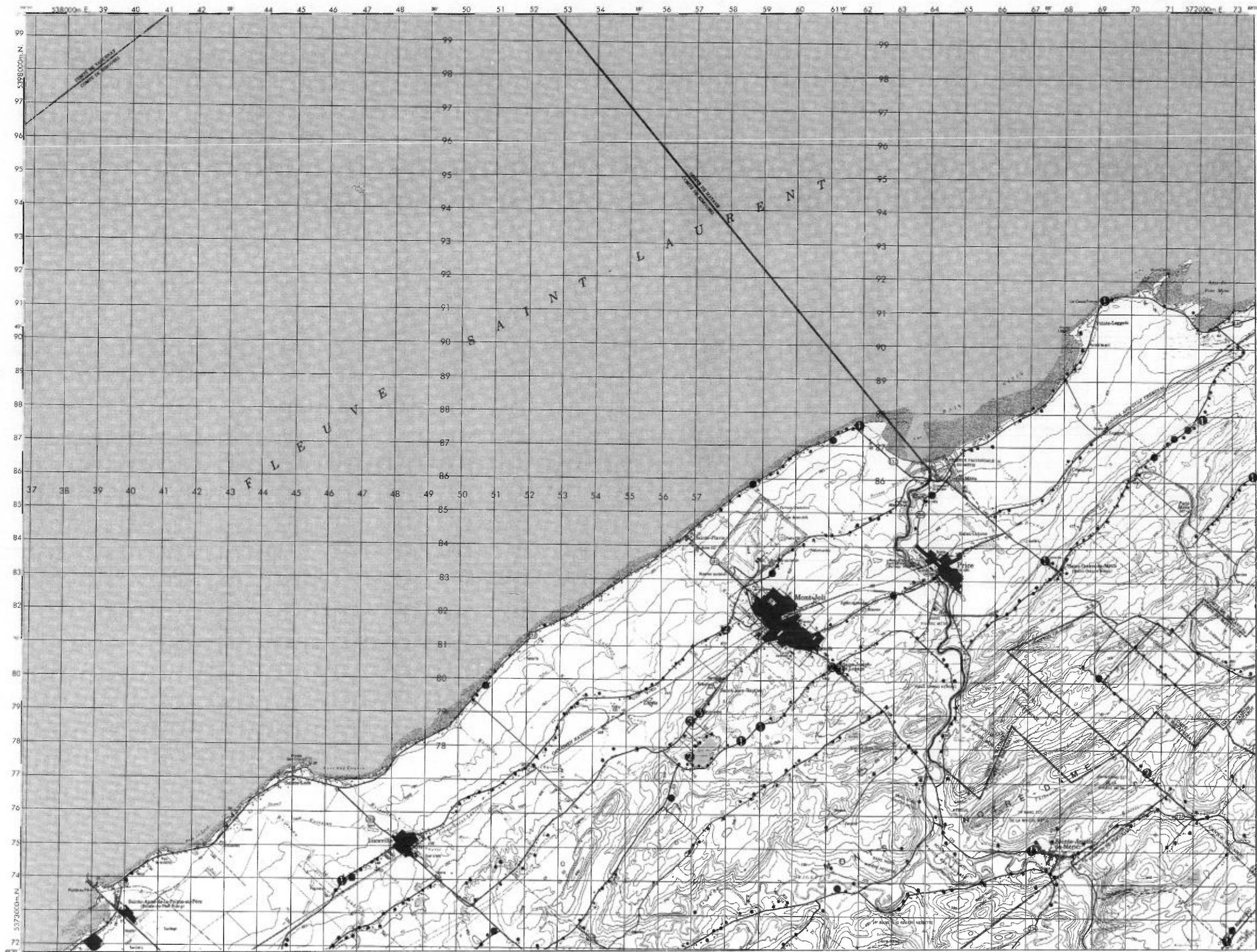


GÉOCHIMIE DES EAUX SOUTERRAINES  
**MONT-JOLI**  
 RÉGION DU BAS SAINT-LAURENT

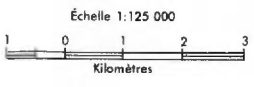
- TENEURS (ppb)
- 1
  - 2 - 5
  - ① 6 - 11
  - ② 12 - 24
  - ③ 25 - 49
  - ④ 50 - 99
  - ⑤ 100 - 199
  - ⑥ 200 - 399



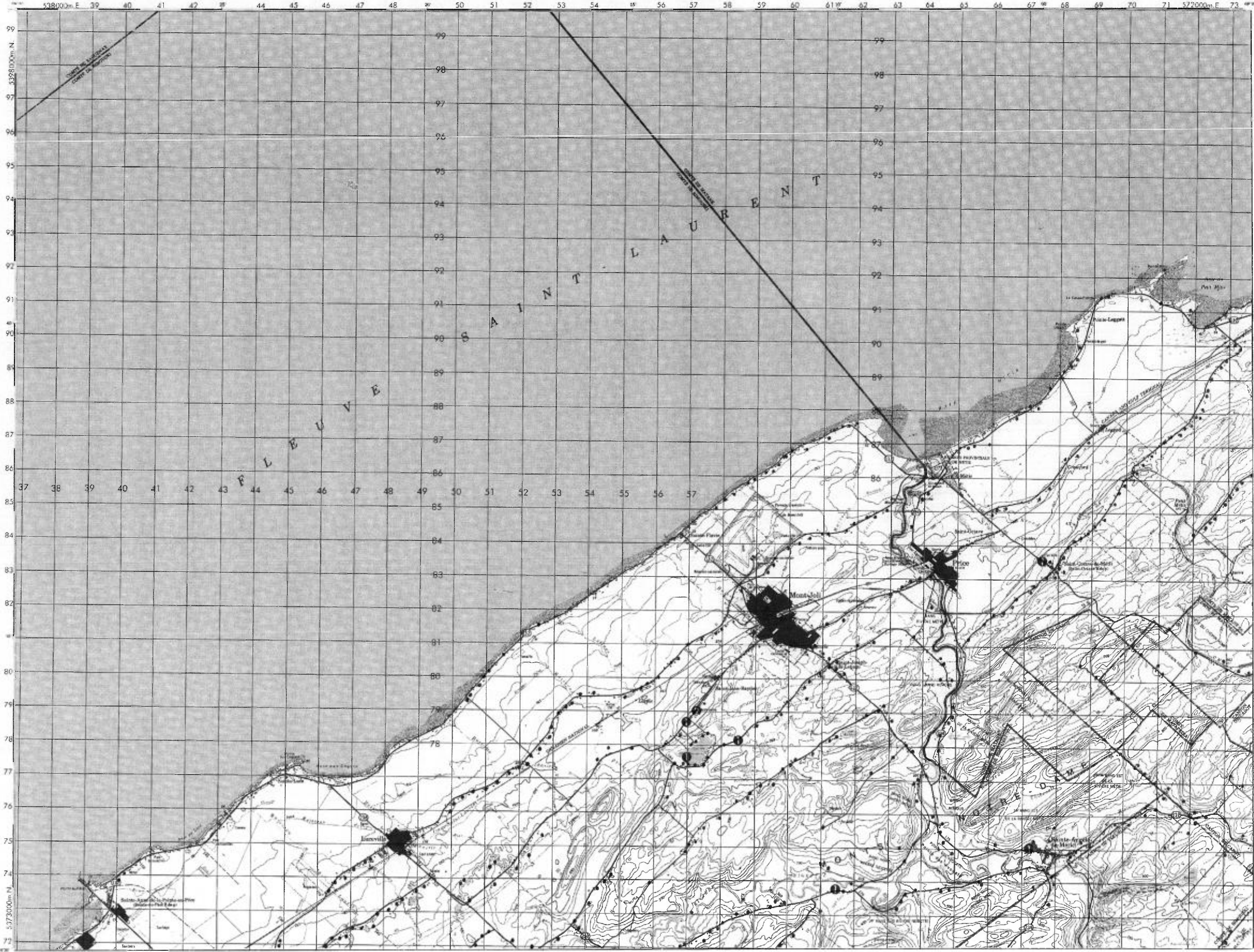
Service de la  
 GÉOCHIMIE-GÉOPHYSIQUE



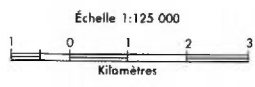
- TENEURS (ppb)
- 1
  - 2 - 3
  - ① 4 - 7
  - ② 8 - 15
  - ③ 16 - 31
  - ④ 32 - 63



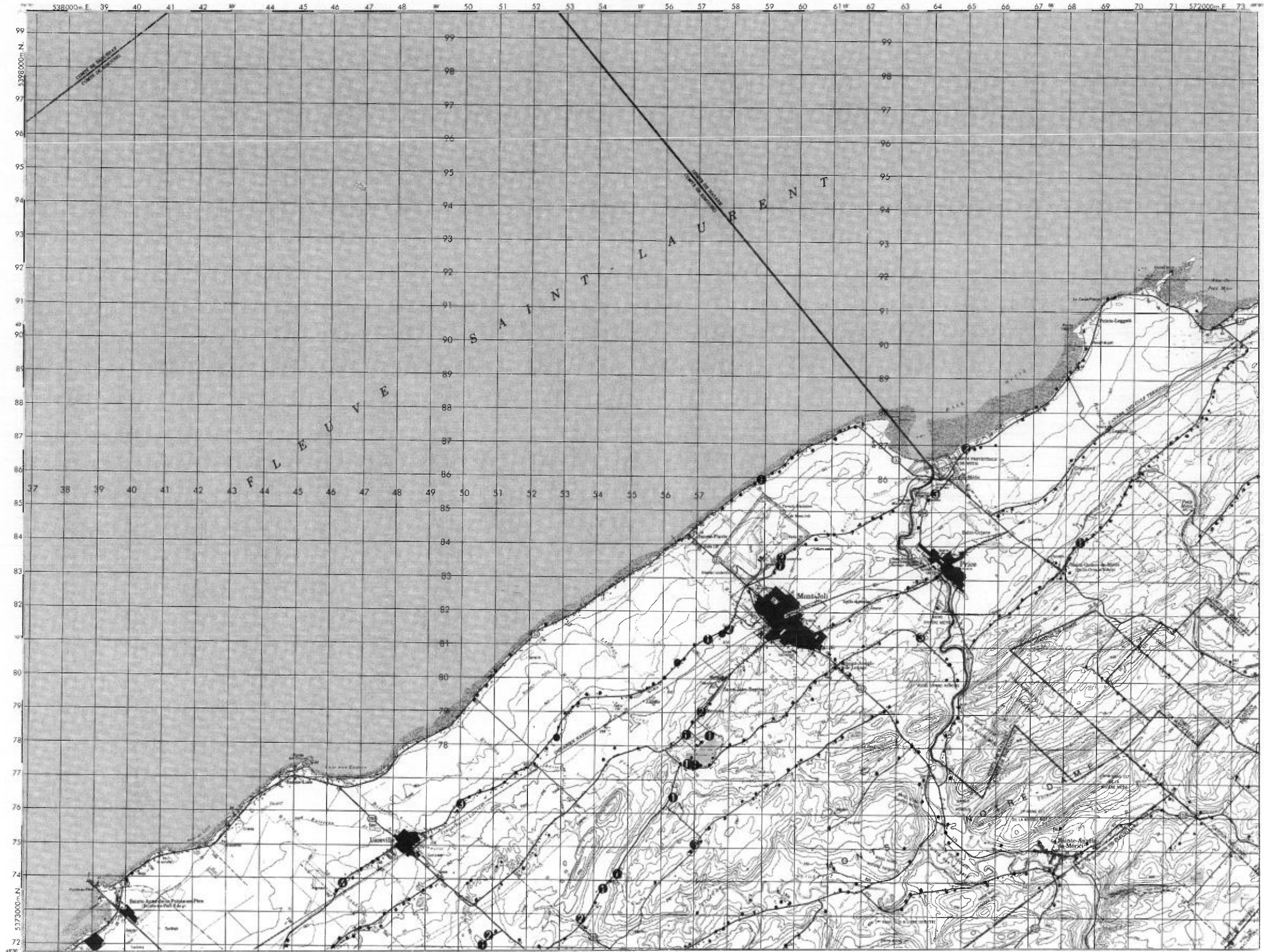
Service de la  
 GÉOCHIMIE-GÉOPHYSIQUE



- TENEURS (ppb)
- 0,1
  - 0,2
  - ① 0,3 — 0,5
  - ② 0,6 — 1,1
  - ③ 1,2 — 2,3
  - ④ 2,4 — 4,9
  - ⑤ 5,0 — 9,9
  - ⑥ 10,0 — 19,9
  - ⑦ 20,0 — 39,9
  - ⑧ 40,0 — 79,9

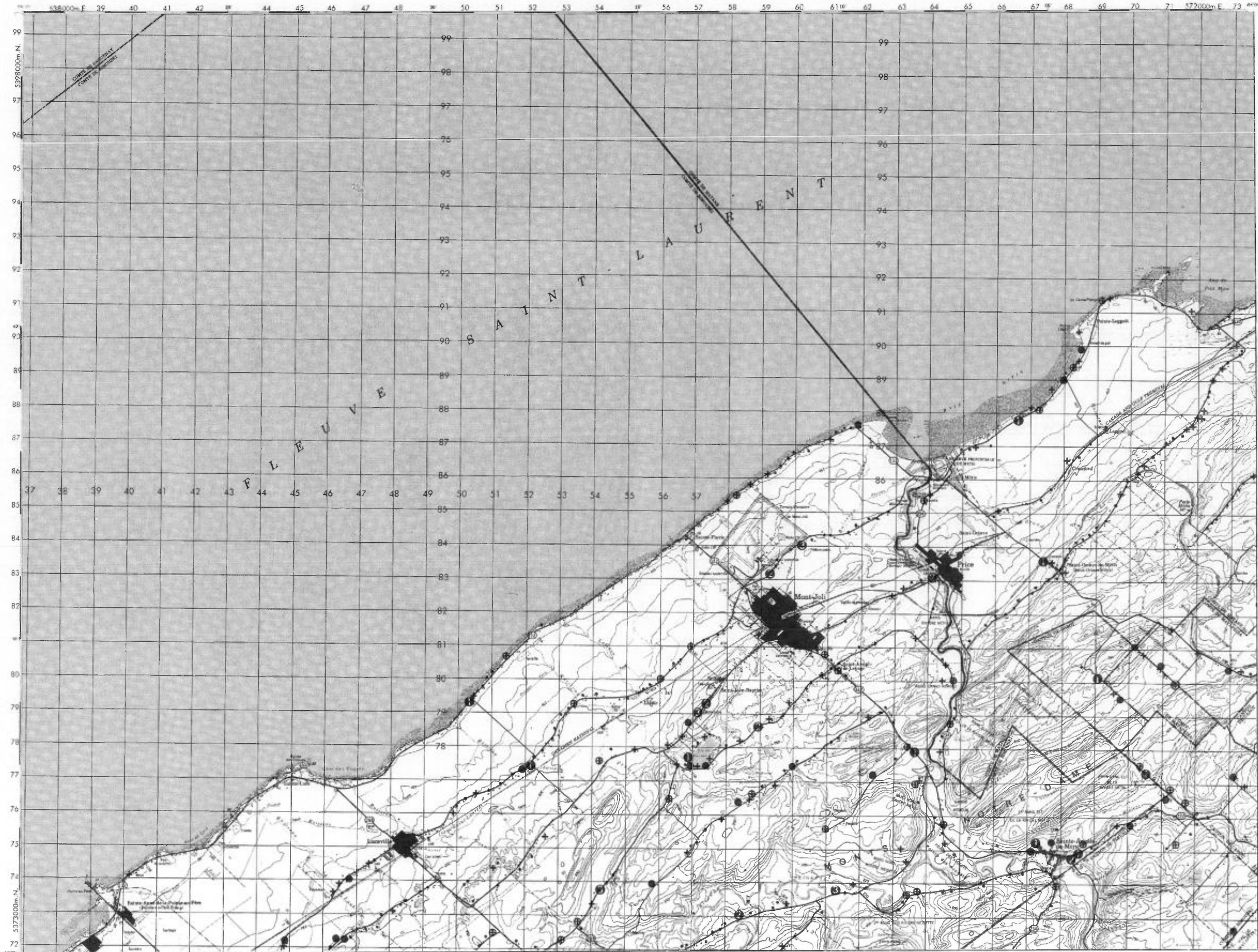


Service de la  
 GÉOCHIMIE-GÉOPHYSIQUE



TENEURS (ppb)

- 5 - 10
- + 15 - 50
- ⊕ 55 - 145
- ⊗ 150 - 455
- ⊙ 460 - 895
- ⦶ 900 - 1795
- ⊕ 1800 - 3595



Échelle 1:125 000

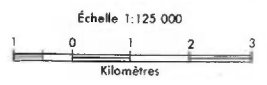


Service de la  
GÉOCHIMIE-GÉOPHYSIQUE

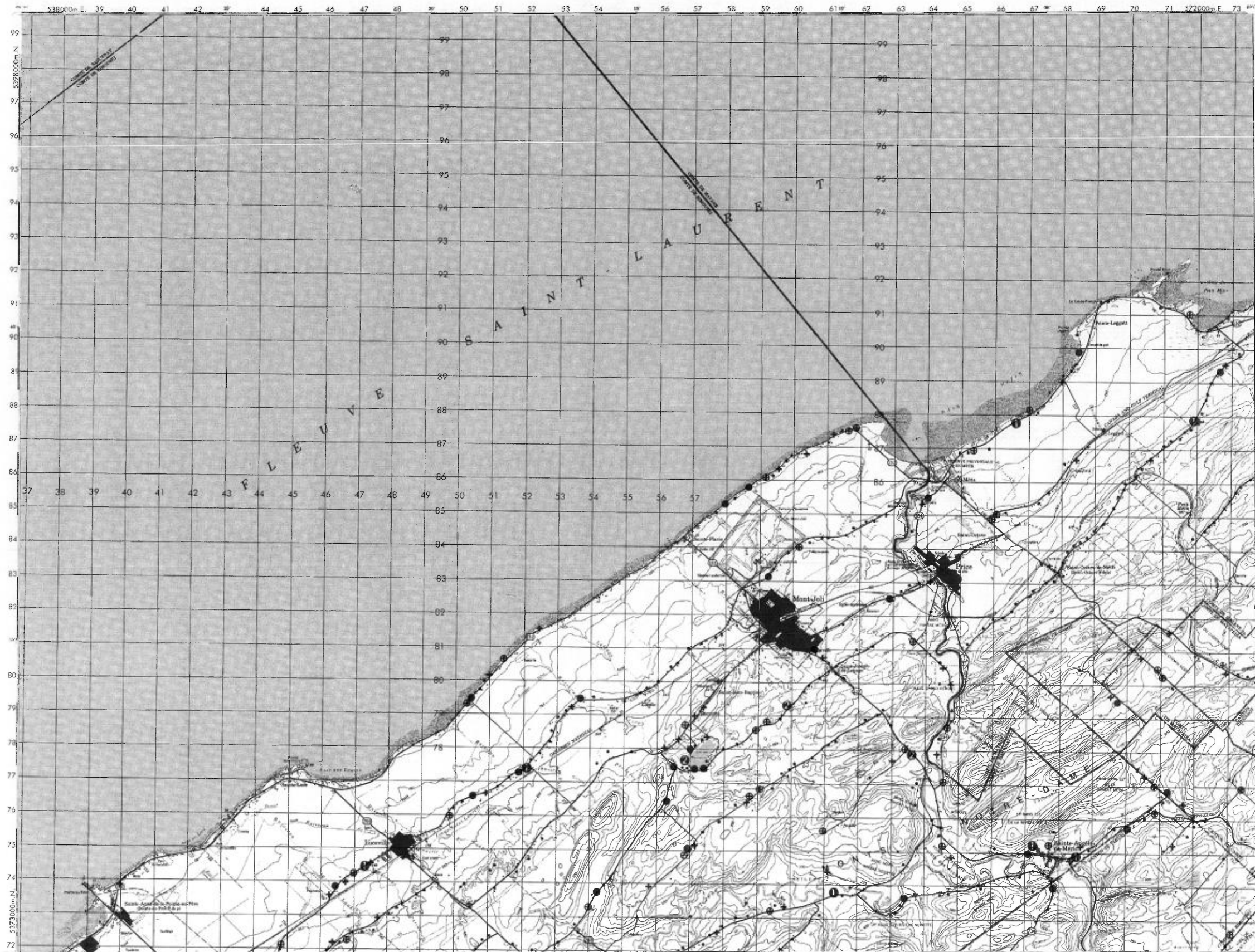
Mn

GÉOCHIMIE DES EAUX SOUTERRAINES  
**MONT-JOLI**  
 RÉGION DU BAS SAINT-LAURENT

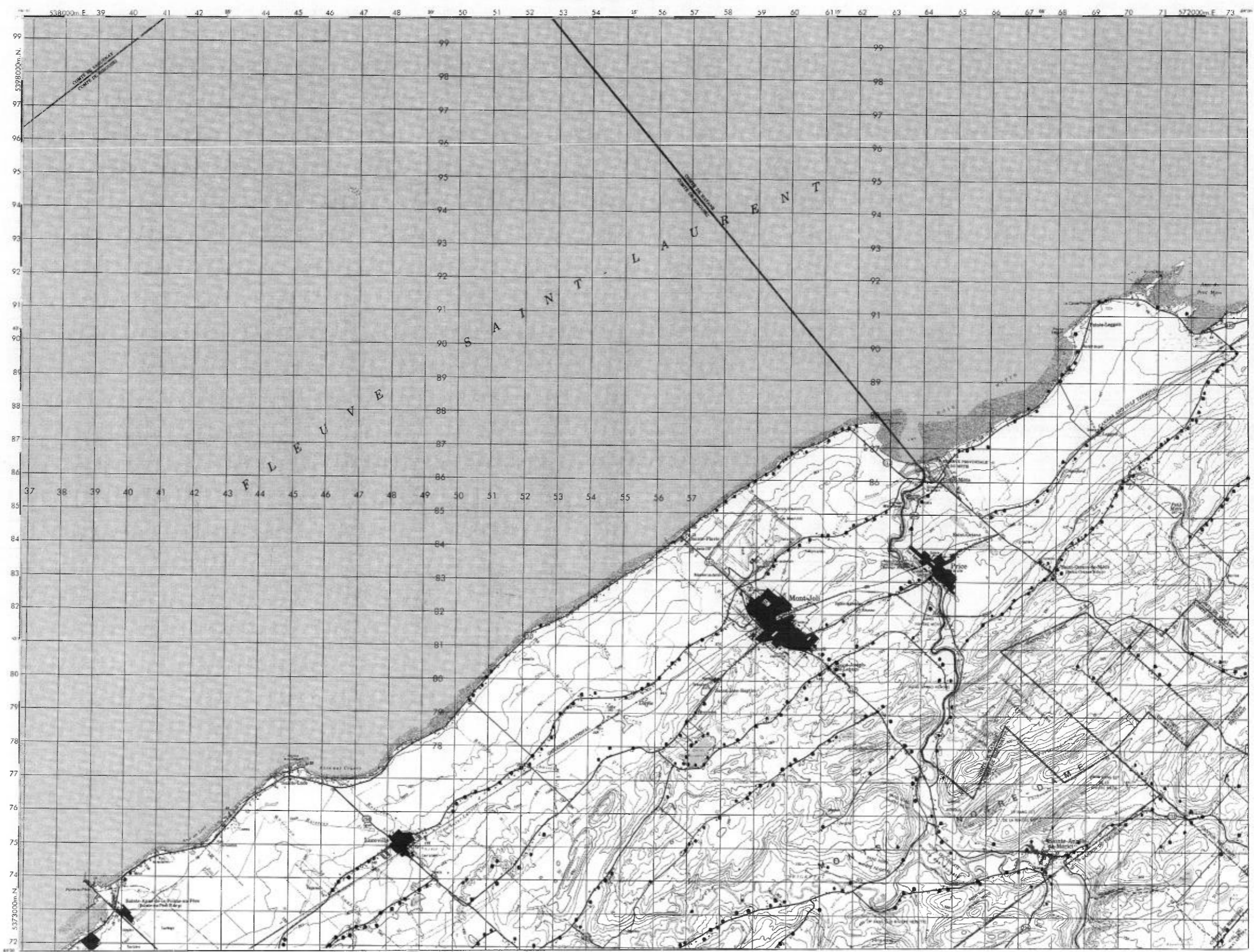
- TENEURS (ppm)
- 0,1
  - + 0,2
  - ⊕ 0,3 - 0,4
  - 0,5 - 1,3
  - ⊙ 1,4 - 2,7
  - ⊗ 2,8 - 5,5
  - ⊚ 5,6 - 11,1



Service de la  
 GÉOCHIMIE-GÉOPHYSIQUE



GÉOCHIMIE DES EAUX SOUTERRAINES  
**MONT-JOLI**  
RÉGION DU BAS SAINT-LAURENT



TENEURS (ppb)

- 1
- 2
- 3 - 5
- 6 - 11

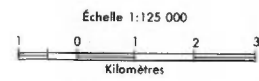
Échelle 1:125 000

Kilomètres

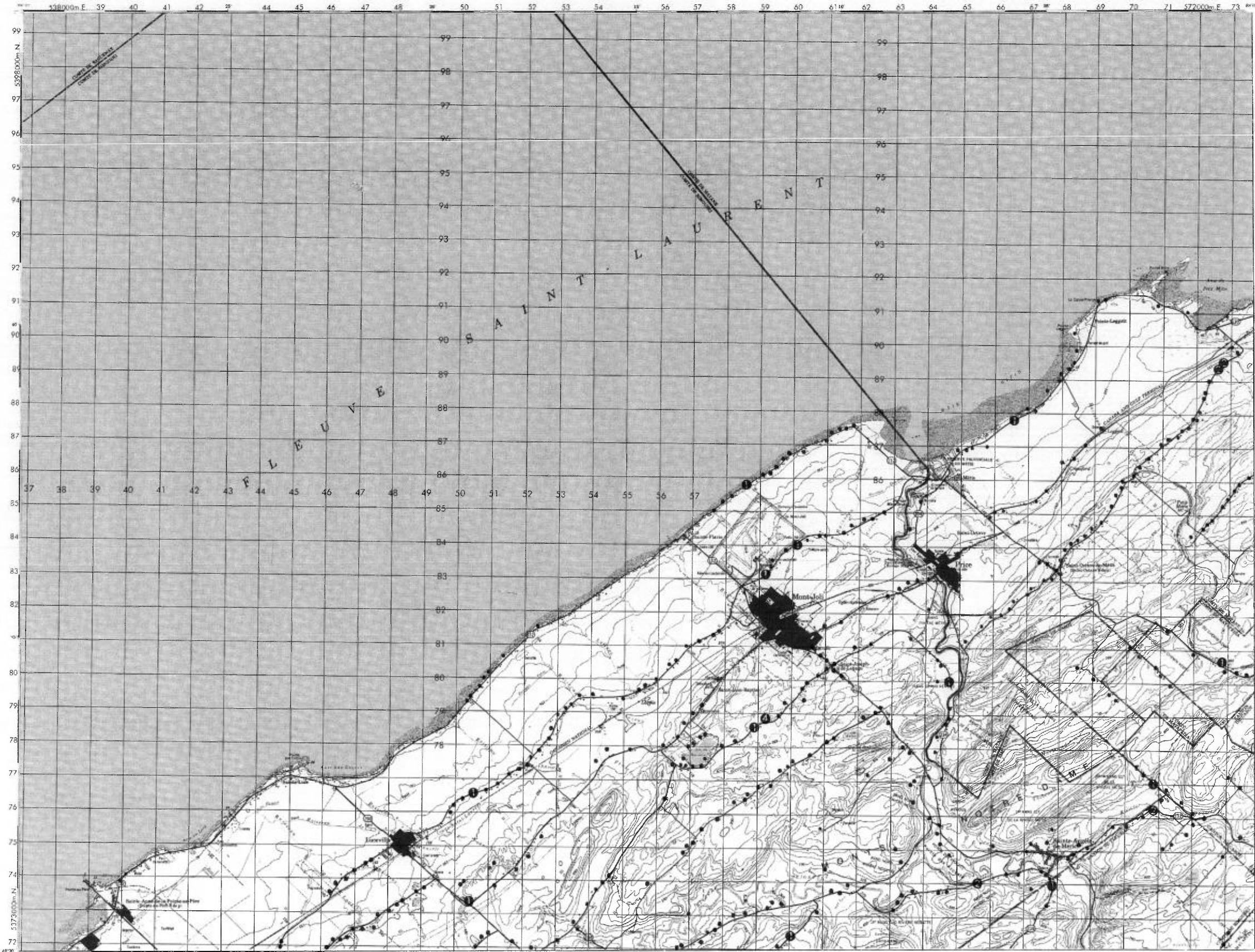
Service de la  
GÉOCHIMIE-GÉOPHYSIQUE

TENEURS (ppb)

- 2
- + 3 - 5
- ⊕ 6 - 11
- 12 - 23
- ⊙ 24 - 47
- ⊗ 48 - 95



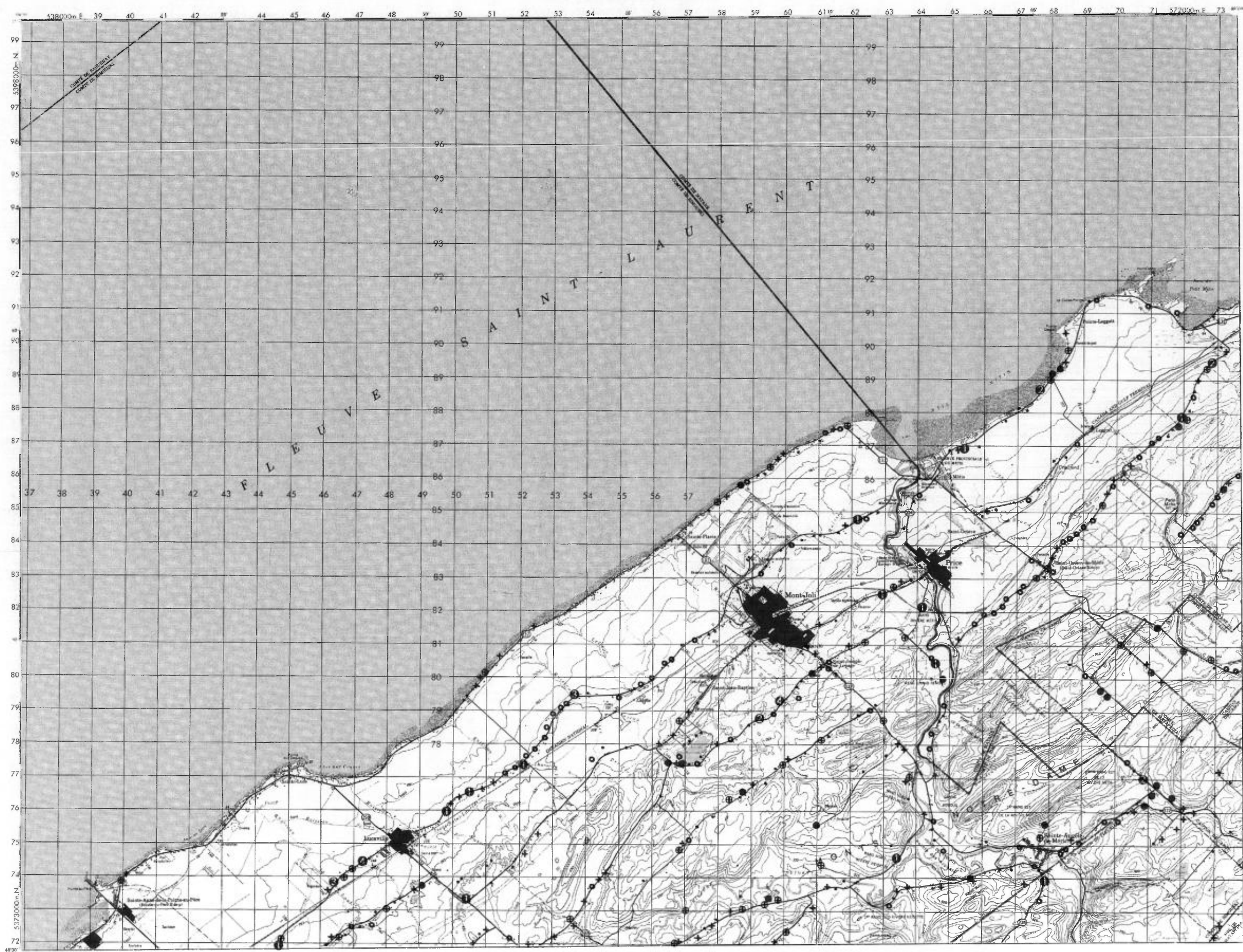
Service de la  
GÉOCHIMIE-GÉOPHYSIQUE





TENEURS (ppm)

- 0.01 — 0.04
- 0.05 — 0.07
- + 0.08 — 0.12
- ⊕ 0.13 — 0.22
- 0.23 — 0.54
- ① 0.55 — 1.09
- ② 1.10 — 2.19
- ③ 2.20 — 4.39
- ④ 4.40 — 8.79



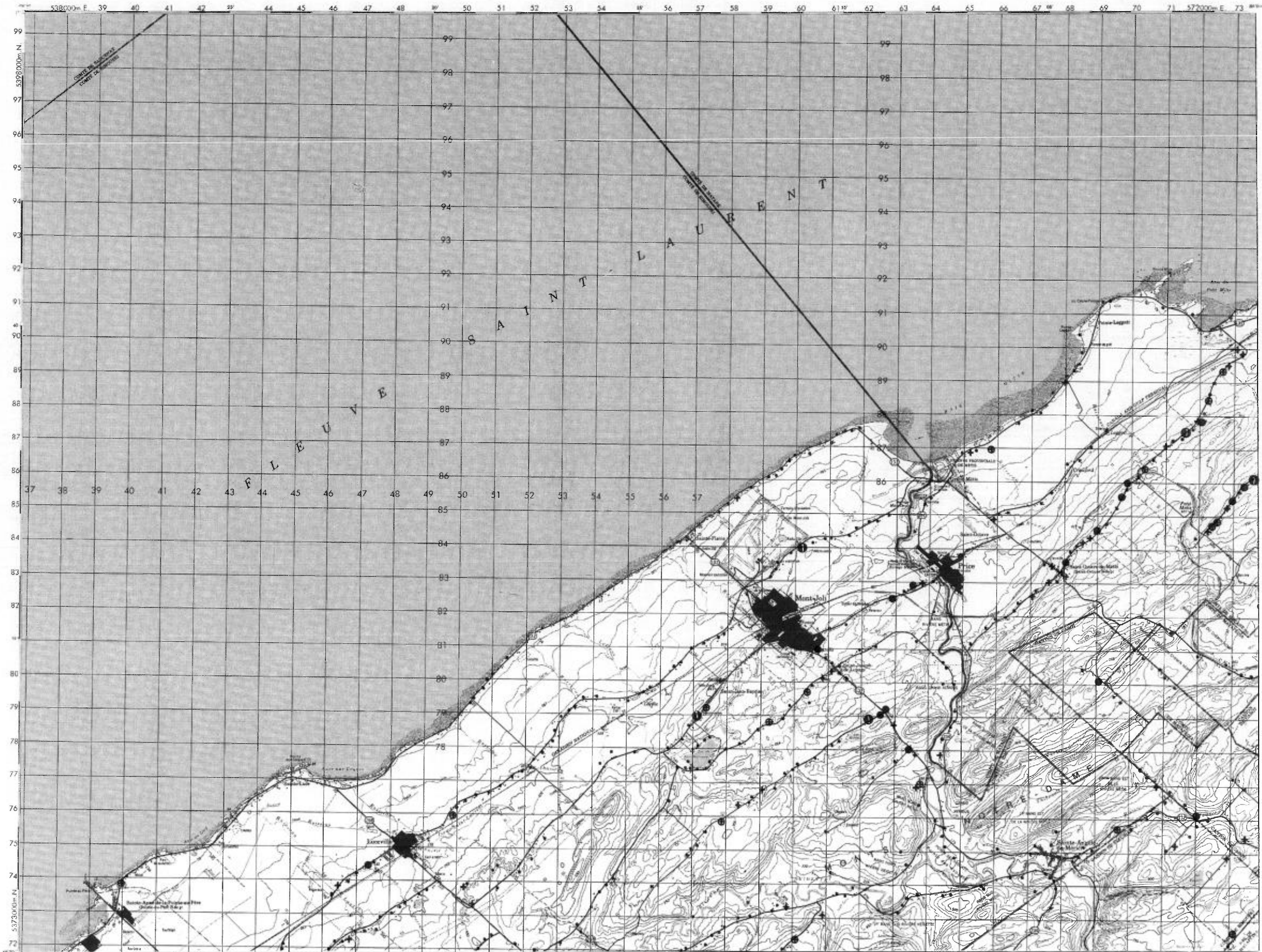
Échelle 1:125 000



Service de la  
 GÉOCHIMIE-GÉOPHYSIQUE

TENEURS (ppb)

- 2 - 3
- + 4 - 5
- ⊕ 6 - 8
- 9 - 19
- ⊕ 20 - 39
- ⊕ 40 - 79
- ⊕ 80 - 159

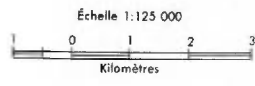


Échelle 1:125 000

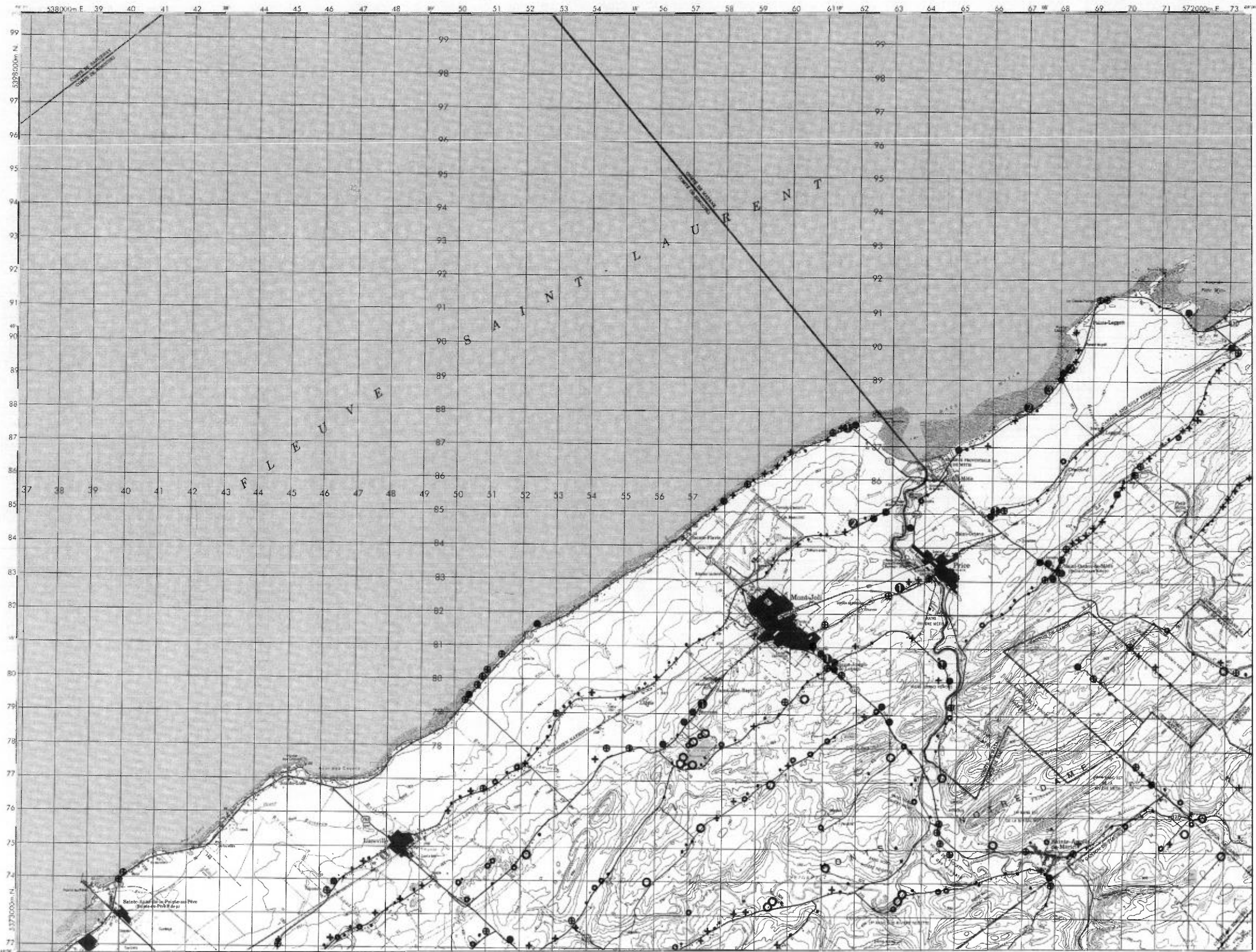


Service de la  
 GÉOCHIMIE-GÉOPHYSIQUE

- TENEURS (ppm)
- 1 - 4
  - 5 - 6
  - 7 - 17
  - + 18 - 34
  - ⊕ 35 - 65
  - 66 - 149
  - ⊙ 150 - 299
  - ⊙ 300 - 599
  - ⊙ 600 - 1199
  - ⊙ 1200 - 2399

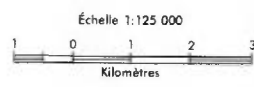
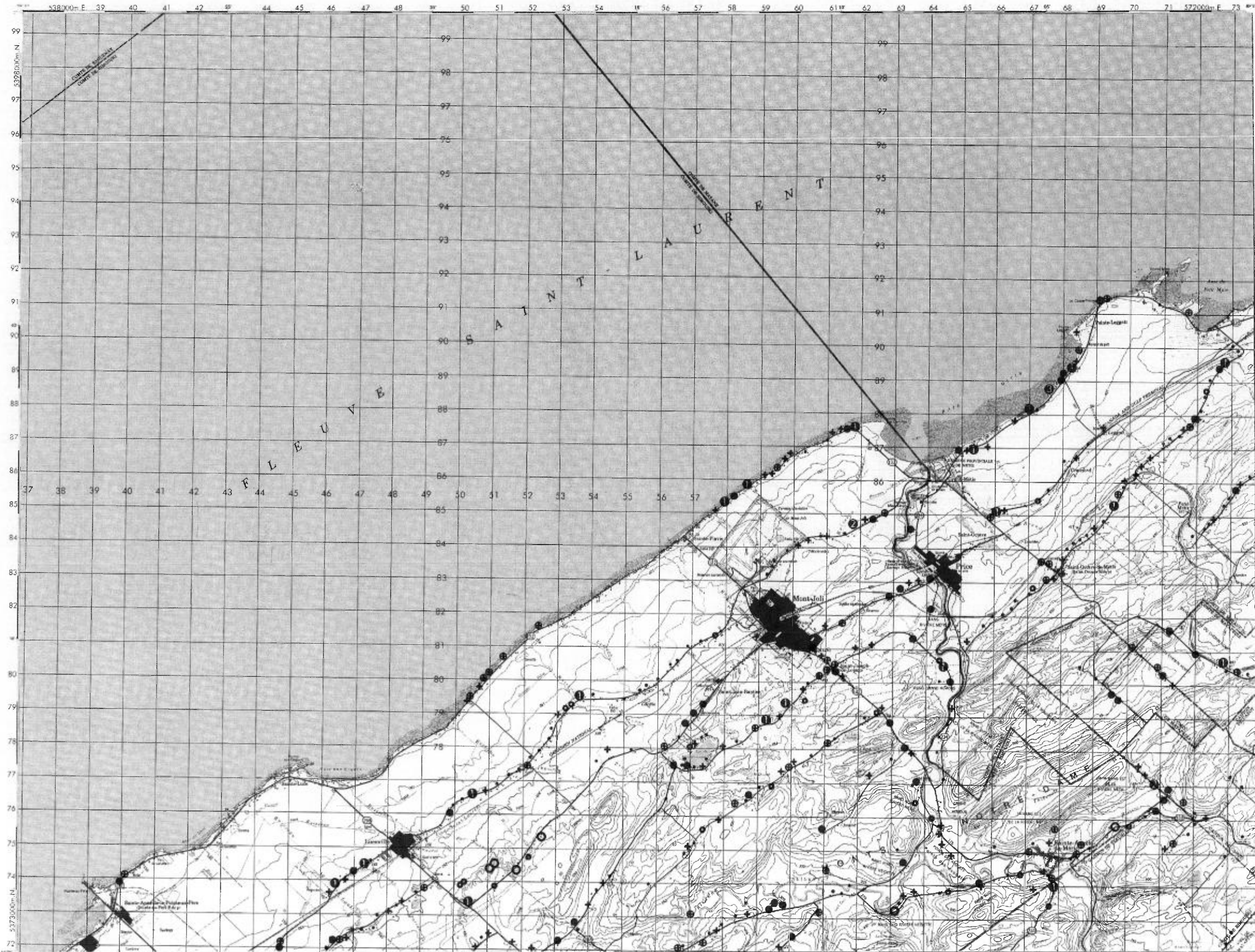


Service de la  
 GÉOCHIMIE-GÉOPHYSIQUE



TENEURS (ppm)

- 0,9 — 2,9
- 3,0 — 4,5
- 4,6 — 11,4
- + 11,5 — 26,9
- ⊕ 27,0 — 54,9
- 55,0 — 122,9
- ① 123,0 — 249,9
- ② 250,0 — 499,9
- ③ 500,0 — 999,9
- ④ 1000,0 — 1999,9

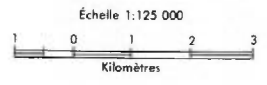


Service de la  
 GÉOCHIMIE-GÉOPHYSIQUE

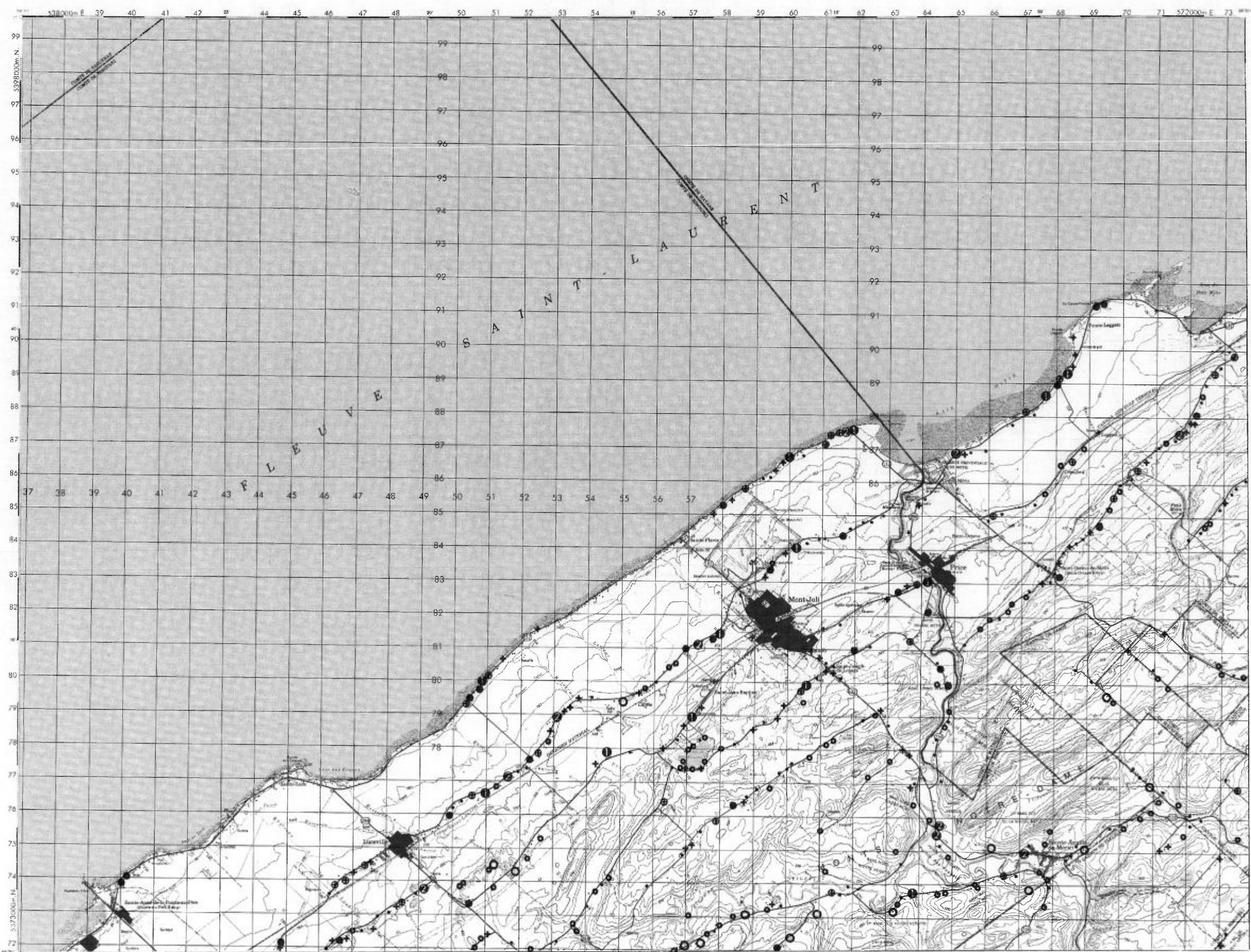
MONT-JOLI

RÉGION DU BAS SAINT-LAURENT

- TENEURS (ppm)
- 0,2 - 0,5
  - 0,6 - 0,9
  - 1,0 - 2,1
  - + 2,2 - 3,5
  - ⊕ 3,6 - 4,9
  - ⊗ 5,0 - 8,9
  - ⊙ 9,0 - 17,9
  - ⊚ 18,0 - 35,9
  - ⊛ 36,0 - 71,9



Service de la  
 GÉOCHIMIE-GÉOPHYSIQUE

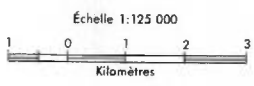


MONT-JOLI

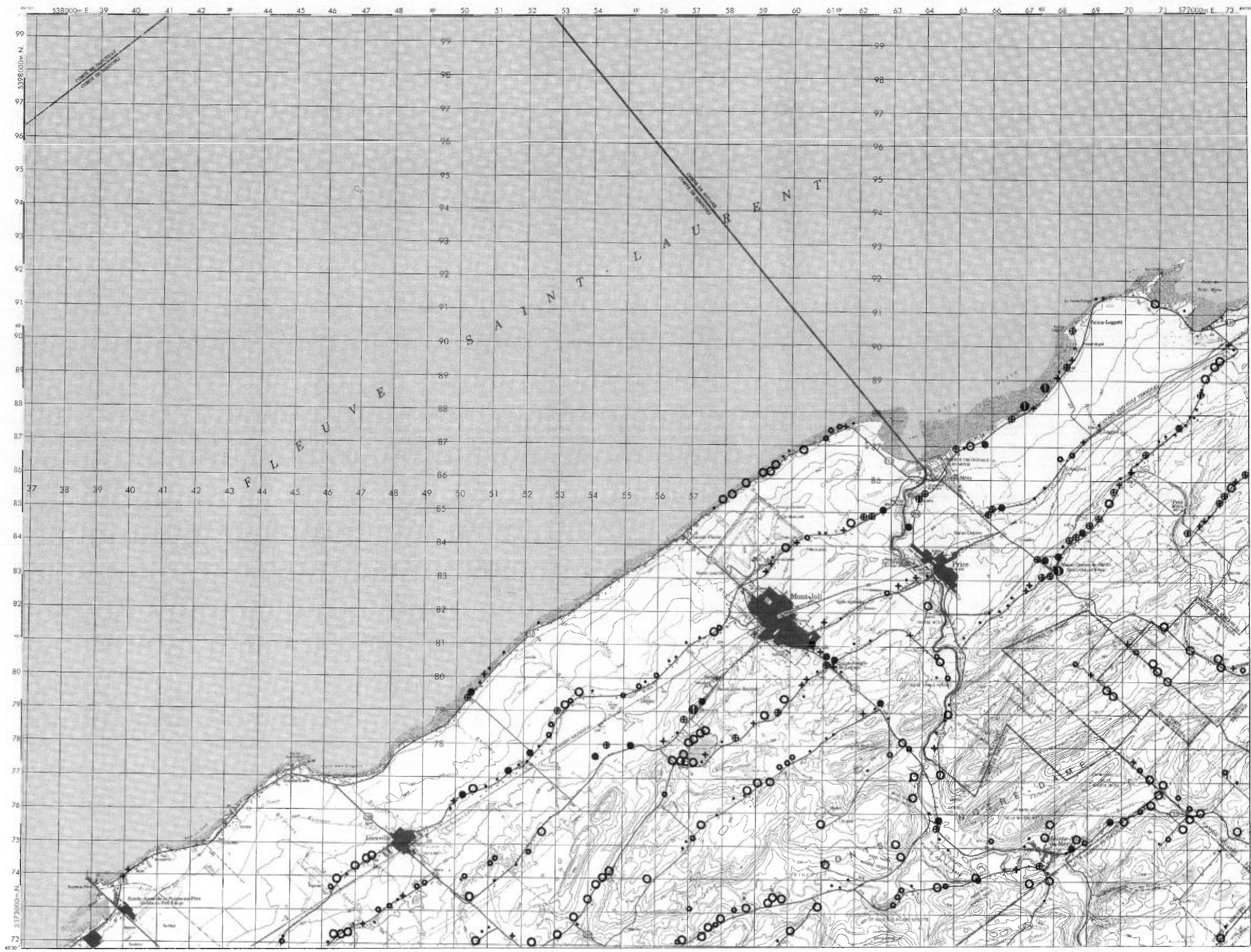
RÉGION DU BAS SAINT-LAURENT

TENEURS (ppm)

- 1,0 - 29,9
- 30,0 - 44,9
- 45,0 - 72,9
- + 73,0 - 88,9
- ⊕ 89,0 - 104,9
- 105,0 - 139,9
- ⊕ 140,0 - 279,9
- ⊕ 280,0 - 559,9



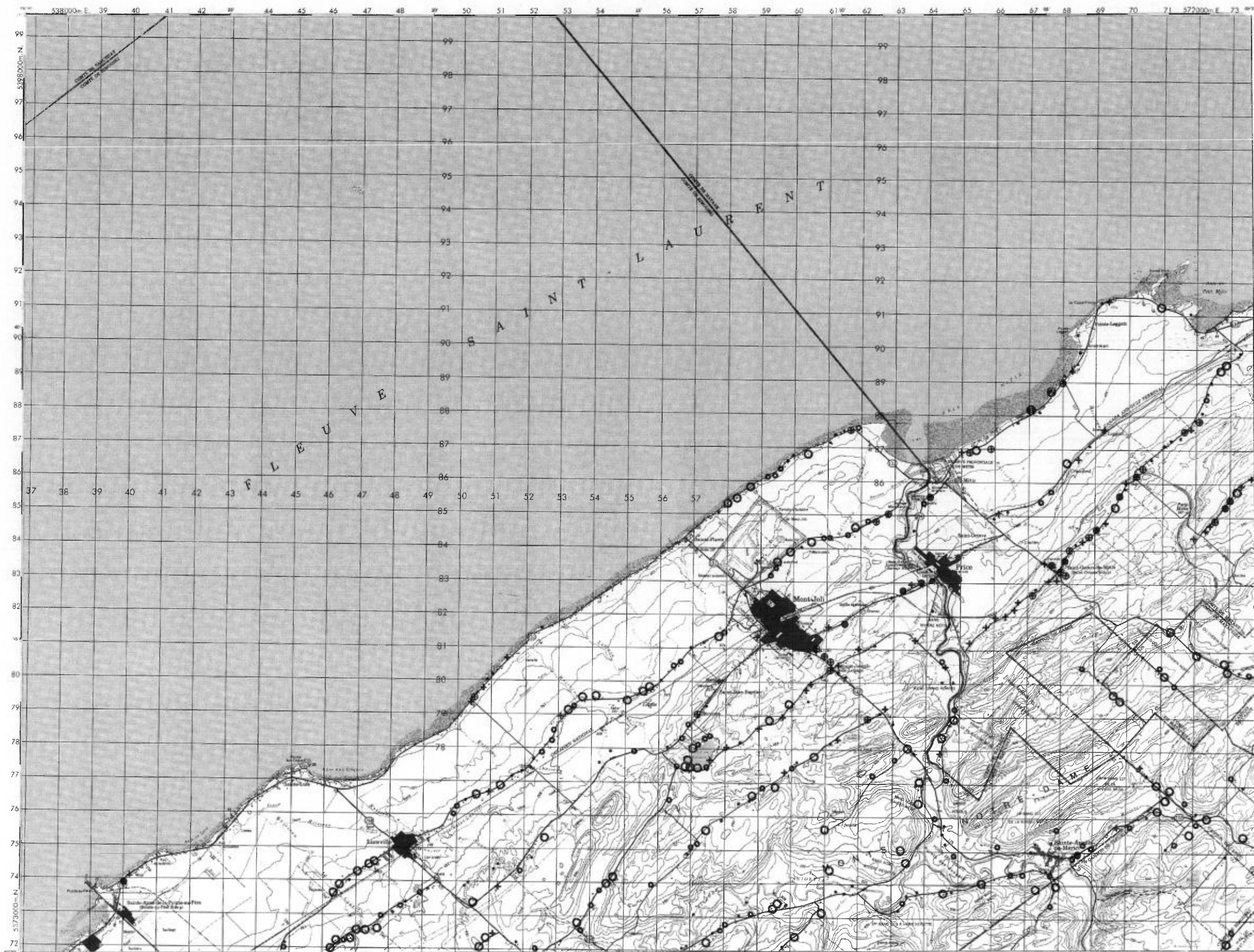
Service de la  
 GÉOCHIMIE-GÉOPHYSIQUE



MONT-JOLI

RÉGION DU BAS SAINT-LAURENT

- TENEURS (ppm)
- 0,1 - 4,2
  - 4,3 - 6,3
  - 6,4 - 11,9
  - + 12,0 - 16,2
  - ⊕ 16,3 - 20,0
  - 20,1 - 27,9
  - ⊕ 28,0 - 55,9
  - ⊕ 56,0 - 111,9



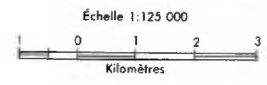
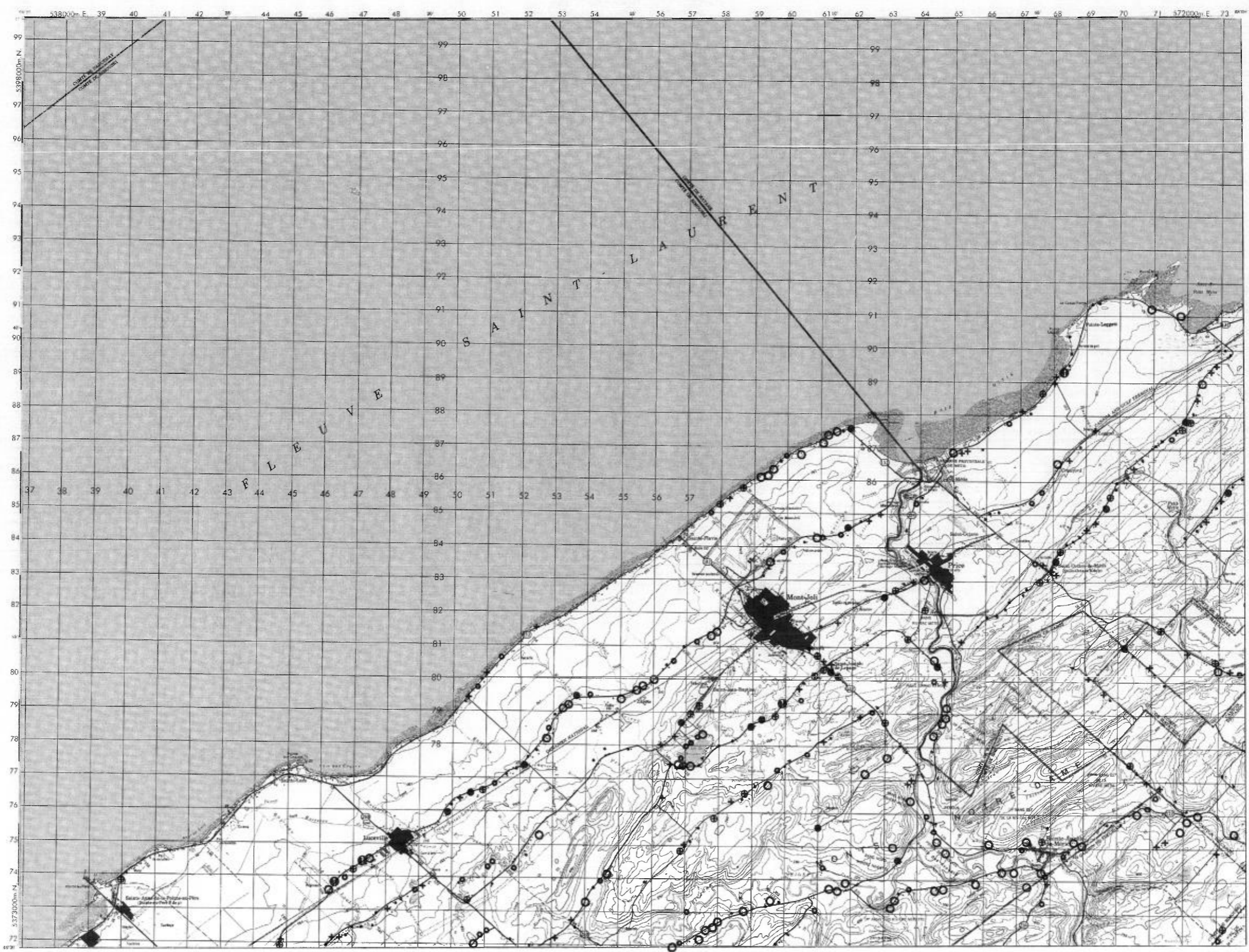
Échelle 1:125 000  
 0 1 2 3  
 Kilomètres

Service de la  
 GÉOCHIMIE-GÉOPHYSIQUE

MONT-JOLI

RÉGION DU BAS SAINT-LAURENT

- TENEURS (ppb)
- 0,1 — 5,5
  - 5,6 — 7,9
  - 8,0 — 15,4
  - + 15,5 — 25,9
  - ⊕ 26,0 — 41,9
  - 42,0 — 115,0
  - ① 115,1 — 229,9
  - ② 230,0 — 459,9
  - ③ 460,0 — 919,9
  - ④ 920,0 — 1839,9
  - ⑤ 1840,0 — 3679,9



Service de la  
 GÉOCHIMIE-GÉOPHYSIQUE

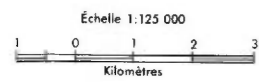


MONT-JOLI

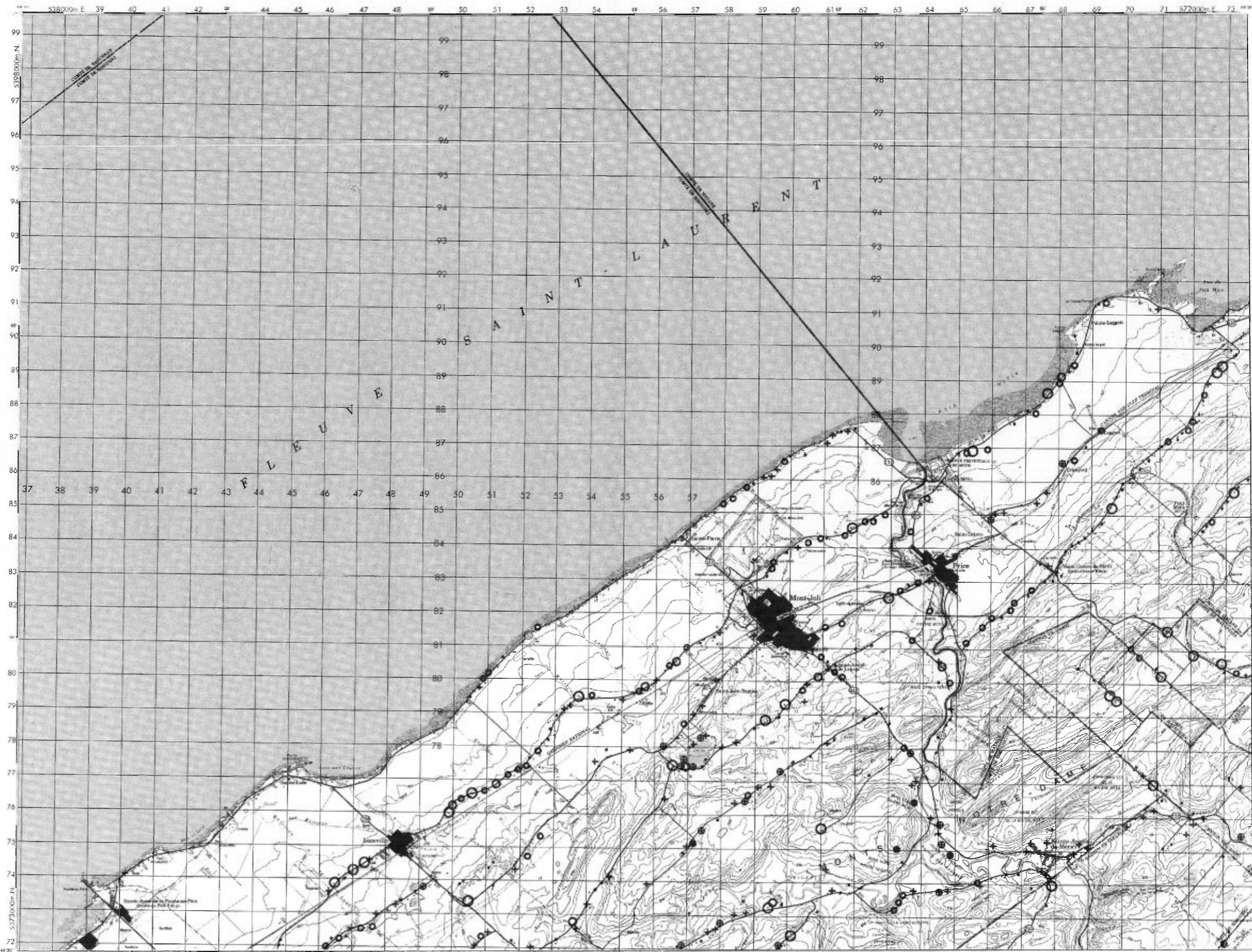
RÉGION DU BAS SAINT-LAURENT

TENEURS (unité)

- 0.0 — 5.7
- ⊕ 5.8 — 6.2
- + 6.3 — 6.7
- 6.8 — 7.2
- 7.3 — 7.7
- 7.8 — 8.2
- 8.3 — 14.0

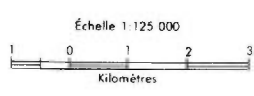


Service de la  
GÉOCHIMIE-GÉOPHYSIQUE

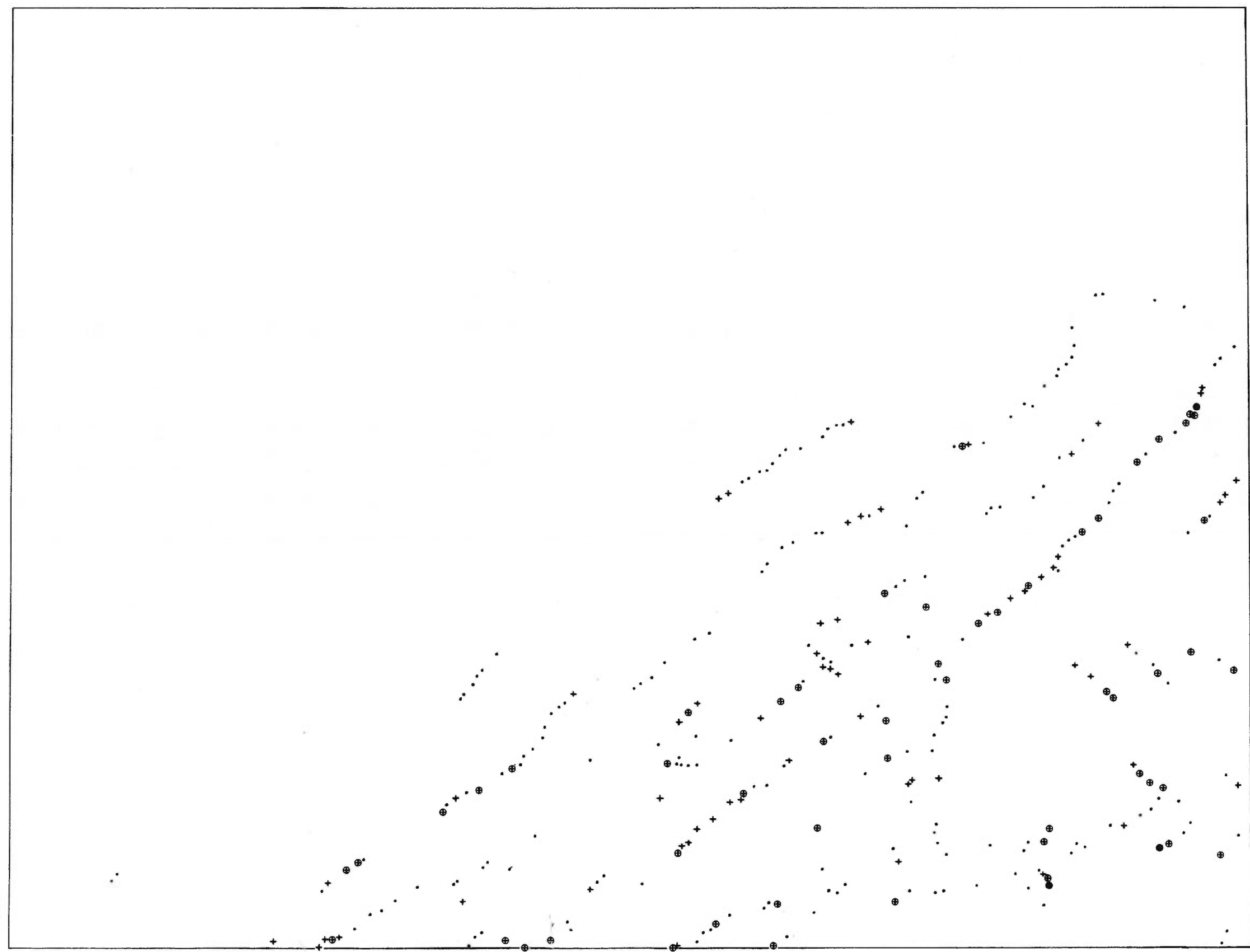


PROFONDEUR DES PUIITS

- pieds
- 1 - 75
  - + 76 - 150
  - ⊕ 151 - 300
  - 301 - 600



Service de la  
GÉOCHIMIE-GÉOPHYSIQUE



PROFONDEUR  
DES PUIITS